

COMMITTENTE



PROGETTAZIONE:



DIREZIONE TECNICA
U.O. INFRASTRUTTURE CENTRO

PROGETTO DEFINITIVO

RADDOPPIO CESANO – VIGNA DI VALLE

CAVALCAFERROVIA per soppressione PL km 29+500

Spalla A/B – Relazione di calcolo

SCALA:

-

COMMESSA LOTTO FASE ENTE TIPO DOC. OPERA/DISCIPLINA Progr. REV.

N R 1 J 0 1 D 2 9 C L I V 0 1 0 4 0 0 1 B

Rev.	Descrizione	Redatto	Data	Verificato	Data	Approvato	Data	Autore
A	EMISSIONE ESECUTIVA	F. Serrau	10-2018	M. Monda	10-2018	T. Paoletti	10-2018	F. Arduini
B	REVISIONE	F. Serrau	05-2020	M. Monda	05-2020	T. Paoletti	05-2020	F. Arduini
		<i>F. Serrau</i>		<i>MM</i>		<i>T. Paoletti</i>		

ITALFERR S.p.A.
Direzione Tecnica
Infrastrutture Centro
Dott. Ing. Fabrizio Arduini
Ingegneri nella Provincia di Roma
n. 25992/2014

INDICE

1	PREMESSA.....	4
2	DOCUMENTAZIONE DI RIFERIMENTO	5
2.1	NORMATIVE DI RIFERIMENTO	5
2.2	ELABORATI DI PROGETTO DI RIFERIMENTO.....	5
3	UNITÀ DI MISURA E SIMBOLOGIA	7
4	CARATTERISTICHE DEI MATERIALI.....	8
4.1	CALCESTRUZZO.....	8
	4.1.1 Magrone.....	8
	4.1.2 Calcestruzzo Elevazione	8
	4.1.3 Calcestruzzo Fondazione.....	8
	4.1.4 Calcestruzzo Pali di grande diametro	8
4.2	ACCIAIO	8
	4.2.1 Acciaio da C.A.....	8
5	INQUADRAMENTO GEOTECNICO.....	9
6	DESCRIZIONE INTERVENTO	10
7	ANALISI DEI CARICHI.....	11
	7.1.1 Carichi in condizioni statiche.....	11
	7.1.2 Azioni variabile da traffico agenti sulla soletta	14
	7.1.3 Ritiro del calcestruzzo	17
	7.1.4 Spinta del terreno	18
	7.1.5 Variazioni termiche	18
	7.1.6 Carichi in condizioni sismiche.....	18
	7.1.7 Sovrappinta sismica del terreno.....	19
	7.1.8 Azione eccezionale di urto di veicoli in svio.....	19
	7.1.9 Urto da traffico ferroviario	20
8	MODELLAZIONE DELLA STRUTTURA.....	21
8.1	CALCOLO DELLA RIGIDEZZA ORIZZONTALE DELLE MOLLE RAPPRESENTANTI IL TERRENO.....	21
8.2	CONDIZIONI ELEMENTARI DI CARICO	24
	8.2.1 Peso proprio	24
	8.2.2 Peso proprio del impalcato	25

 ITALFERR GRUPPO FERROVIE DELLO STATO ITALIANE	RADDOPPIO CESANO VIGNA DI VALLE PROGETTO DEFINITIVO					
	RELAZIONE DI CALCOLO	COMMESSA NR1J	LOTTO 01 D 29	CODIFICA CL	DOCUMENTO IV0104 001	REV. B

8.2.3	<i>Azioni sulla struttura di carichi variabili</i>	30
9	COMBINAZIONI DEI CARICHI	39
9.1	VERIFICHE ALLO STATO LIMITE ULTIMO	39
9.2	VERIFICHE IN ESERCIZIO	42
	9.2.1 <i>Verifica delle tensioni</i>	42
	9.2.2 <i>Verifica a fessurazione</i>	42
10	RISULTATI DELLE ANALISI	43
10.1	VERIFICHE STRUTTURALI E GEOTECNICHE	46
	10.1.1 <i>Muro frontale</i>	53
	10.1.1.1 Verifica a presso-flessione muro frontale	53
	10.1.1.2 Verifica a taglio muro frontale	66
	10.1.2 <i>Muro andatore</i>	67
	10.1.2.1 Verifica a presso-flessione muro andatore	67
	10.1.2.2 Verifica taglio muro andatore	79
	10.1.3 <i>Muro paraghiaia</i>	79
	10.1.3.1 Verifica a presso-flessione muro andatore	79
	10.1.3.2 Verifica taglio muro paraghiaia	89
	10.1.4 <i>Platea di fondazione</i>	90
	10.1.4.1 Verifica tirante puntone	90
	10.1.4.2 Verifica della platea di fondazione con i valori di sollecitazione da analisi	91
	10.1.4.3 Verifica taglio platea di fondazione	104
	10.1.4.4 Verifica a punzonamento	105
	10.1.5 <i>Pali di grande diametro</i>	106
	10.1.5.1 Verifica a presso-flessione del palo	108
	10.1.5.2 Verifica a taglio del palo	113
	10.1.5.3 Calcolo del carico limite orizzontale del palo	114
	10.1.5.4 Cedimento della palificata	116
	10.1.6 <i>Soletta superiore</i>	116
11	INCIDENZA ARMATURA	117
12	ALLEGATO	121
12.1	COMBINAZIONI DI CARICO	121
12.2	COMBINAZIONI DA URTO	340

1 PREMESSA

Il progetto di raddoppio della tratta Cesano – Vigna di Valle, sulla linea ferroviaria Roma – Viterbo, costituisce la prima fase funzionale del più esteso intervento di raddoppio tra Cesano e Bracciano, previsto dal recente Accordo Quadro tra Regione Lazio e RFI del 22/02/2018.

Il presente documento costituisce la relazione di calcolo delle sottostrutture (spalla) del cavalcaferrovia IV01 previsto nell'ambito dell'intervento della realizzazione del raddoppio della ferrovia Roma - Viterbo nella tratta extraurbana tra la stazione di Cesano di Roma e la stazione di Vigna di Valle, da progr. Km 27+811 a progr. Km 39+280, con relativa eliminazione dei passaggi a livello.

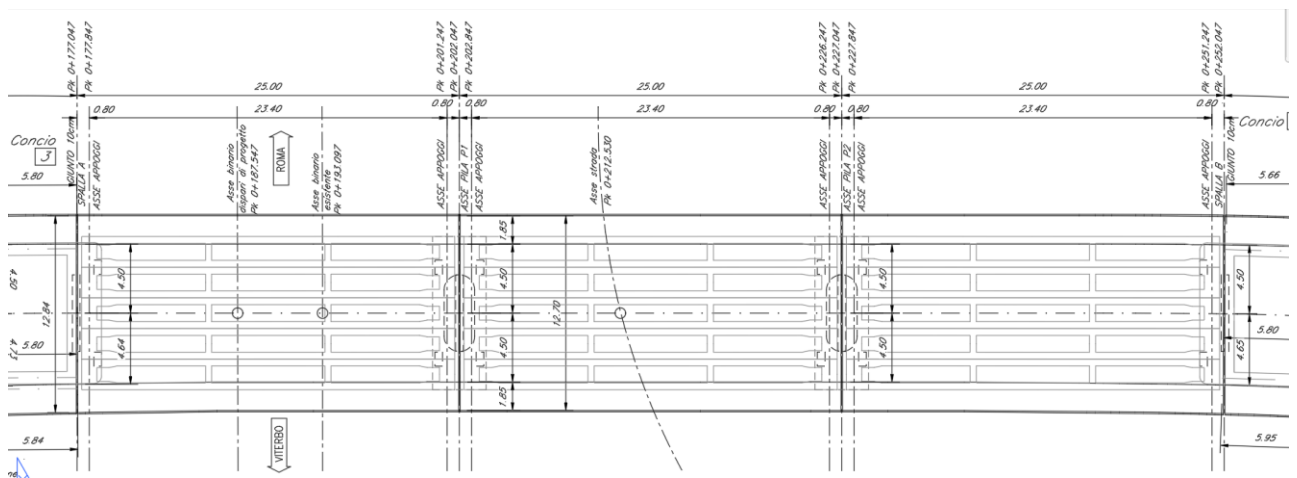


Fig. 1 – Inquadramento planimetrico opera IV01

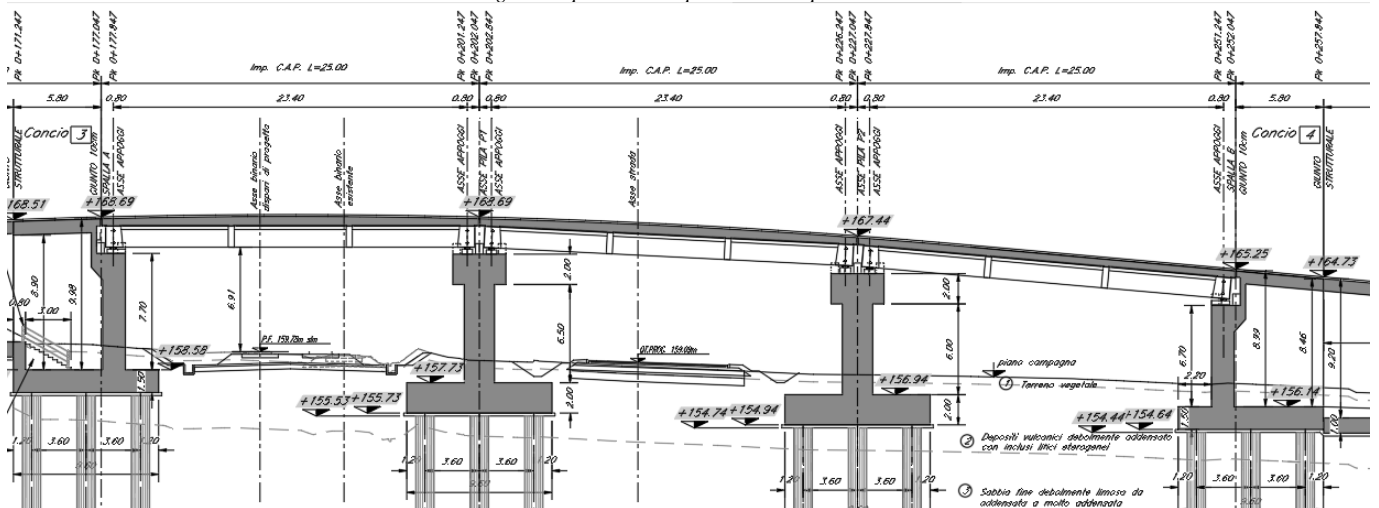


Fig. 2 – Profilo cavalcaferrovia IV01

 ITALFERR GRUPPO FERROVIE DELLO STATO ITALIANE	RADDOPPIO CESANO VIGNA DI VALLE PROGETTO DEFINITIVO					
	RELAZIONE DI CALCOLO	COMMESSA NRIJ	LOTTO 01 D 29	CODIFICA CL	DOCUMENTO IV0104 001	REV. B

2 DOCUMENTAZIONE DI RIFERIMENTO

2.1 Normative di riferimento

Le analisi strutturali e le verifiche di sicurezza sono state effettuate in accordo con le prescrizioni contenute nelle seguenti normative:

- [1] D.M. 17.01.2018 Aggiornamento delle “Norme tecniche per le costruzioni”;
- [2] Circolare n. 7 del 21 gennaio 2019 - Istruzioni per l’Applicazione delle Norme Tecniche Costruzioni di cui al Decreto Ministeriale 17 gennaio 2018;
- [3] RFI DTC SI CS MA IFS 001 B del 22-12-17: “Manuale di Progettazione delle Opere Civili” (MdP 2018) Parte II - Sezione 3: Corpo stradale;
- [4] RFI DTC SI CS MA IFS 001 B del 22-12-17: “Manuale di Progettazione delle Opere Civili” (MdP 2018) Parte II - Sezione 2: Ponti e strutture;
- [5] UNI EN 206-1:2016. “Calcestruzzo – Parte 1: Specificazione, prestazione, produzione e conformità”;
- [6] UNI 11104-2016: Calcestruzzo,” Classi di esposizione per calcestruzzo strutturale, in funzione delle condizioni ambientali”;
- [7] UNI EN 1992-1-1:2015. “Eurocodice 2: Progettazione delle strutture in calcestruzzo – Parte 1-1: Regole generali e regole per gli edifici”;
- [8] UNI EN 1997-1:2013 – “Eurocodice 7 – Progettazione geotecnica - Parte 1: Regole generali”;
- [9] UNI EN 1998-5:2005 – “Eurocodice 8 – Progettazione delle strutture per la resistenza sismica - Parte 5: Fondazioni, strutture di contenimento ed aspetti geotecnici”.

2.2 Elaborati di progetto di riferimento

IV01 - Relazione tecnica descrittiva	-	N	R	1	J	0	1	D	2	9	R	O	I	V	0	1	0	0	0	0	1
IV01 - Planimetria di progetto	1:500	N	R	1	J	0	1	D	2	9	P	8	I	V	0	1	0	0	0	0	1
IV01 - Relazione di calcolo impalcato	-	N	R	1	J	0	1	D	2	9	C	L	I	V	0	1	0	7	0	0	1
IV01 - Relazione di calcolo spalla	-	N	R	1	J	0	1	D	2	9	C	L	I	V	0	1	0	4	0	0	1
IV01 - Relazione di calcolo pila	-	N	R	1	J	0	1	D	2	9	C	L	I	V	0	1	0	5	0	0	1
IV01 - Relazione di calcolo scatolari di appoggio	-	N	R	1	J	0	1	D	2	9	C	L	I	V	0	1	0	0	0	0	1
IV01 - Fasi costruttive - Tav. 1/2	Varie	N	R	1	J	0	1	D	2	9	B	Z	I	V	0	1	0	0	0	0	3
IV01 - Fasi costruttive - Tav. 2/2	Varie	N	R	1	J	0	1	D	2	9	B	Z	I	V	0	1	0	0	0	0	4
IV01 - Scavi, demolizioni - Pianta e sezioni	Varie	N	R	1	J	0	1	D	2	9	P	Z	I	V	0	1	0	0	0	0	1
IV01 - Pianta fondazioni, pianta impalcato, prospetto e sezione longitudinale	Varie	N	R	1	J	0	1	D	2	9	P	Z	I	V	0	1	0	0	0	0	2
IV01 - Carpenteria impalcato	Varie	N	R	1	J	0	1	D	2	9	B	Z	I	V	0	1	0	7	0	0	1
IV01 - Carpenteria Spalla A	Varie	N	R	1	J	0	1	D	2	9	B	Z	I	V	0	1	0	4	0	0	1
IV01 - Carpenteria Spalla B	Varie	N	R	1	J	0	1	D	2	9	B	Z	I	V	0	1	0	4	0	0	2

RELAZIONE DI CALCOLO

COMMESSA	LOTTO	CODIFICA	DOCUMENTO	REV.	FOGLIO
NRIJ	01 D 29	CL	IV0104 001	B	6 di 341

IV01 - Carpenteria Pila P1	01:50	N	R	1	J	0	1	D	2	9	B	Z	I	V	0	1	0	5	0	0	1
IV01 - Carpenteria Pila P2	01:50	N	R	1	J	0	1	D	2	9	B	Z	I	V	0	1	0	5	0	0	2
IV01 - Sezioni tipo struttura scatolare	Varie	N	R	1	J	0	1	D	2	9	B	Z	I	V	0	1	0	0	0	0	5
IV01 - Apparecchi d'appoggio e giunti	Varie	N	R	1	J	0	1	D	2	9	B	Z	I	V	0	1	0	0	0	0	1
IV01 - Particolari costruttivi	Varie	N	R	1	J	0	1	D	2	9	B	Z	I	V	0	1	0	0	0	0	2
IV01 - Relazione di calcolo opere provvisionali	-	N	R	1	J	0	1	D	2	9	C	L	I	V	0	1	0	0	0	0	1

 ITALFERR GRUPPO FERROVIE DELLO STATO ITALIANE	RADDOPPIO CESANO VIGNA DI VALLE PROGETTO DEFINITIVO					
	RELAZIONE DI CALCOLO	COMMESSA NRIJ	LOTTO 01 D 29	CODIFICA CL	DOCUMENTO IV0104 001	REV. B

3 UNITÀ DI MISURA E SIMBOLOGIA

Si utilizza il Sistema Internazionale. Di seguito si riportano le descrizioni delle unità di misura principali:

- unità di misura principali

N (Newton) unità di forza
m (metro) unità di lunghezza
kg (kilogrammo-massa) unità di massa
s (secondo) unità di tempo

- unità di misura derivate

kN (kiloNewton) 10^3 N
MN (megaNewton) 10^6 N
kgf (kilogrammo-forza) $1 \text{ kgf} = 9.81 \text{ N}$
cm (centimetro) 10^{-2} m
mm (millimetro) 10^{-3} m
Pa (Pascal) 1 N/m^2
kPa (kiloPascal) 10^3 N/m^2
Mpa (megaPascal) 10^6 N/m^2
N/m³ (peso specifico)
g (accelerazione di gravità) $\sim 9.81 \text{ m/s}^2$

- corrispondenze notevoli

$1 \text{ MPa} = 1 \text{ N/mm}^2$
 $1 \text{ MPa} \sim 10 \text{ kgf/cm}^2$
 $1 \text{ kN/m}^3 \sim 100 \text{ kgf/m}^3$

Si utilizzano i seguenti principali simboli con le relative unità di misura normalmente adottate:

γ (gamma)	peso dell'unità di volume	(kN/m^3)
σ (sigma)	tensione normale	(N/mm^2)
τ (tau)	tensione tangenziale	(N/mm^2)
ϵ (epsilon)	deformazione	(m/m - adimensionale)
φ (fi)	angolo di resistenza	(° sessagesimali)

4 CARATTERISTICHE DEI MATERIALI

4.1 Calcestruzzo

4.1.1 Magrone

Classe di resistenza = C12/15

4.1.2 Calcestruzzo Elevazione

CALCESTRUZZO ELEVAZIONE SPALLE

Classe	C32/40		
$R_{ck} =$	40.00	N/mm ²	resistenza caratteristica cubica
$f_{ck} =$	32.00	N/mm ²	resistenza caratteristica cilindrica
$\gamma_M =$	1.5	-	coefficiente parziale di sicurezza SLU
$f_{cd} =$	18.13	N/mm ²	resistenza di progetto
$c =$	40	mm	copriferro minimo
	XC4	-	Classe di esposizione

4.1.3 Calcestruzzo Fondazione

CALCESTRUZZO FONDAZIONE SPALLE

Classe	C25/30		
$R_{ck} =$	30.00	N/mm ²	resistenza caratteristica cubica
$f_{ck} =$	25.00	N/mm ²	resistenza caratteristica cilindrica
$\gamma_M =$	1.5	-	coefficiente parziale di sicurezza SLU
$f_{cd} =$	14.17	N/mm ²	resistenza di progetto
$c =$	40	mm	copriferro minimo
	XC2	-	Classe di esposizione

4.1.4 Calcestruzzo Pali di grande diametro

CALCESTRUZZO PALI DI GRANDE DIAMETRO

Classe	C25/30		
$R_{ck} =$	30.00	N/mm ²	resistenza caratteristica cubica
$f_{ck} =$	25.00	N/mm ²	resistenza caratteristica cilindrica
$\gamma_M =$	1.5	-	coefficiente parziale di sicurezza SLU
$f_{cd} =$	14.17	N/mm ²	resistenza di progetto
$c =$	60	mm	copriferro minimo
	XC2	-	Classe di esposizione

4.2 Acciaio

4.2.1 Acciaio da C.A

ACCIAIO PER ARMATURE ORDINARIE

B 450 C			controllato in stabilimento
$f_{yk} \geq$	450.0	N/mm ²	tensione caratteristica di snervamento
$\gamma_M =$	1.15	-	coefficiente parziale di sicurezza SLU elastico
$f_{yd} =$	391.3	N/mm ²	resistenza di progetto
$E_s =$	210000	N/mm ²	modulo elastico

 ITALFERR GRUPPO FERROVIE DELLO STATO ITALIANE	RADDOPPIO CESANO VIGNA DI VALLE PROGETTO DEFINITIVO					
	RELAZIONE DI CALCOLO	COMMESSA NR1J	LOTTO 01 D 29	CODIFICA CL	DOCUMENTO IV0104 001	REV. B

5 INQUADRAMENTO GEOTECNICO

Per l'inquadramento geotecnico dell'opera si riporta l'estratto dell'elaborato Relazione Geotecnica [NR1J00D29GEGE0005001A] di cui si riporta un estratto per i dati geotecnici di interesse.

Tabelle contenenti la stratigrafia di progetto per l'opera in esame e i relativi parametri geotecnici di calcolo:

Modello 2a_2 – Da pk 29+350 a 29+650

Come detto, dal punto di vista stratigrafico tra la progressiva 29+350-29+650, nei primi 3.5m circa da piano campagna, si è incontrata una litologia limo sabbiosa (U2a) pertanto per le opere IN04, IV01 e muro di sostegno 29+568-29+650 verrà utilizzata la tabella seguente.

MODELLO 2a_2 Dalla pk 29+350 alla pk 29+650

Unità geotecnica	Descrizione	z iniz (m)	z fin (m)	spessore (m)	z media (m da p.c.)	Peso di volume (kN/m ³)	Tipo di terreno	Densità relativa (%)	Angolo di resistenza al taglio ϕ' picco (°)	Angolo di resistenza al taglio ϕ'_{cv} (°)
U2a	Limo argilloso sabbioso	0	3,5	3,5	1,75	17	GG	45	26	23
U3a	PVI- Depositi vulcanici limoso sabbiosi debolmente argillosi	3,5	5	1,5	0,75	16,5	GG/GF	45	25	22
U3b	PVS-Depositi vulcanici: sabbia limosa debolmente addensato con rari inclusi litici eterogenei	5	20	15	7,5	16,5	GG	85	30	22
U3c	PVL-Depositi vulcanici litoidi addensato con inclusi litici eterogenei di tufo	20	30	10	5	16	GG	-	36	-
U4a	Vulcanite di origine basaltica	30	35	5	2,5	27	R	-	34	-
U3c	PVL-Depositi vulcanici addensato con inclusi litici eterogenei di tufo	35	45	10	5	16	GG	-	36	-

Coesione efficace c' (kPa)	Coesione non drenata C_u (kPa)	Modulo elastico Eop,1 (MPa)	Modulo elastico Eop,2 (MPa)	Modulo non drenato E_u (MPa)	Modulo edometrico M (Mpa)	K rilevata (cm/s)	K media (cm/s)	Coefficiente di consolidazione c_v (m ² /s)	RQD (%)	GSI	Resistenza a compressione (Mpa)
10	60	20	40	54	26	$1,48 \cdot 10^{-3} / 9,88 \cdot 10^{-5}$	$8 \cdot 10^{-4}$	$2,1E-02$	-	-	-
10	45	25	50	40	34	$3,07 \cdot 10^{-3} / 1,38 \cdot 10^{-5}$	$5 \cdot 10^{-5}$	$5 \cdot 10^{-1}$	-	-	-
0	-	35	70	-	47	$5,30 \cdot 10^{-5}$	$5,30 \cdot 10^{-5}$	-	-	-	9
200	-	340	-	-	-	-	-	-	-	20	27
1500	-	2500	-	-	-	-	-	-	60	46	28
200	-	340	-	-	-	-	-	-	-	20	28

Categoria suolo E

- Modello geotecnico 2a: pk 29+050-29+650 - falda 2.82m da piano campagna

6 DESCRIZIONE INTERVENTO

Le spalle, con paramento e muri, sono caratterizzate da un'altezza massima del fusto pari a pari a 10.25 m. La parete frontale ha una larghezza di 10.70 m ed uno spessore di 1.60 m dalla sezione di intradosso baggioli fino alla sezione di estradosso fondazione e uno spessore di 0.50 m dalla sezione di intradosso baggioli fino alla sezione di intradosso soletta. I due muri andatori ed il setto centrale hanno uno spessore pari a 0.85 m. Le fondazioni delle spalle, di tipo indiretto, sono costituite da platea su pali di grande diametro. La platea ha uno spessore di 1.50 m e dimensioni in pianta massime 14.20 m x 9.60m rispettivamente in direzione trasversale e longitudinale. Le palificate sono costituite da 16 pali di grande diametro aventi diametro 1.20 m disposti allineati nelle due direzioni principali in pianta X e Y ad un interasse minimo di 3.60 m per entrambe. La lunghezza dei pali di grande diametro è pari a 30.0 m.

Lo schema di vincolo dell'impalcato prevede un sistema di semplice appoggio.

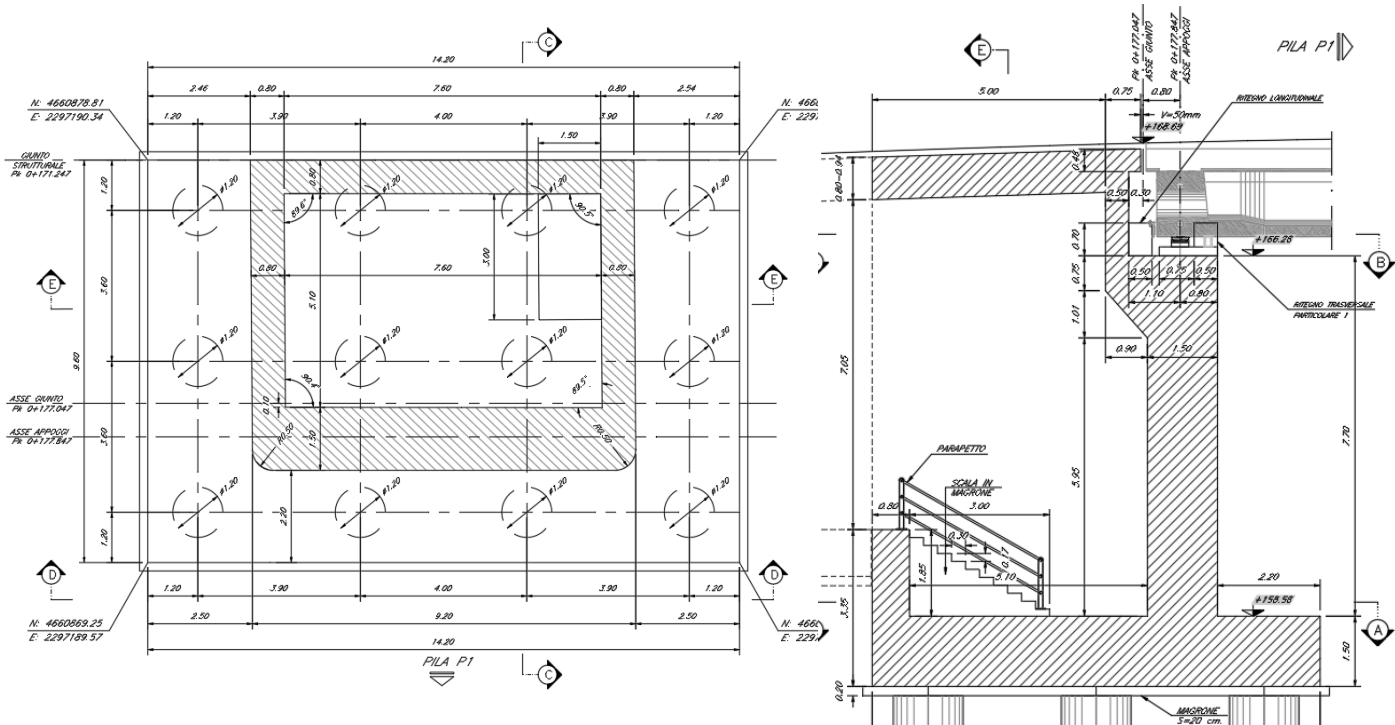


Fig. 3 – Sezione longitudinale e vista in pianta

 <p>ITALFERR GRUPPO FERROVIE DELLO STATO ITALIANE</p>	<p>RADDOPPIO CESANO VIGNA DI VALLE PROGETTO DEFINITIVO</p>					
<p>RELAZIONE DI CALCOLO</p>	<p>COMMESSA NR1J</p>	<p>LOTTO 01 D 29</p>	<p>CODIFICA CL</p>	<p>DOCUMENTO IV0104 001</p>	<p>REV. B</p>	<p>FOGLIO 11 di 341</p>

7 ANALISI DEI CARICHI

Le azioni agenti sulla spalla sono riassunte nel seguito, distinguendo condizioni statiche e condizioni sismiche.

Azioni elementari in condizioni statiche

- peso proprio degli elementi strutturali;
- sovraccarico permanente del pacchetto stradale;
- spinta litostatica del terreno
- Azioni trasmesse da impalcato (per le azioni agenti sulla sovrastruttura si rimanda alla relazione di calcolo dell'impalcato elaborato NR1J00D29CLIV0107001B).

Azioni elementari in condizioni sismiche

- peso proprio degli elementi strutturali;
- peso proprio del terreno gravante direttamente sulla spalla;
- spinta litostatica del terreno;
- azioni permanenti trasmesse dall'impalcato;
- azioni di inerzia legate alle masse degli elementi strutturali;
- azioni di inerzia legate alla massa del terreno;
- azioni di inerzia legate alla massa dell'impalcato.

7.1.1 Carichi in condizioni statiche

- **Peso proprio degli elementi strutturali:**
Il peso proprio degli elementi strutturali costituenti la spalla viene calcolato assumendo per il calcestruzzo un peso per unità di volume $\gamma_{cls} = 25 \text{ kN/m}^3$.
- **Pacchetto stradale:**
Sul solettone superiore si considera uno spessore di pavimentazione stradale pari a 0.12m con peso di unità di volume $\gamma_{pav_str} = 20.00 \text{ kN/m}^3$, ovvero verrà applicato sulla soletta per la parte di competenza un carico pari a $2,40 \text{ kN/m}^2 = 20 \text{ kN/m}^3 \times 0.12 \text{ m} = 2.4 \text{ kN/m}^2$
- **Barriera**
Sulla soletta di copertura la presenza della barriera stradale viene simulata applicando un carico verticale longitudinali pari a 1.4 kN/m
- **Veletta**
Sulla soletta di copertura la presenza della veletta ai bordi viene simulata applicando un carico verticale longitudinale sul bordo pari a 2,5 kN/m
- **Parapetto**

Sulla soletta di copertura la presenza del parapetto viene simulata applicando un carico verticale longitudinali pari a 1 kN/m sul bordo.

- **Impianti**

Sulla soletta di copertura la presenza degli impianti viene simulata applicando un carico verticale longitudinali pari a 1 kN/m sul bordo.

RELAZIONE DI CALCOLO

COMMESSA	LOTTO	CODIFICA	DOCUMENTO	REV.	FOGLIO
NRIJ	01 D 29	CL	IV0104 001	B	12 di 341

- Azioni trasmesse dall'impalcato:

Le azioni trasferite sugli apparecchi di appoggio sono ricavate dall'analisi strutturale dell'impalcato oggetto di relazione di calcolo dedicata. Viene di seguito riportato un riepilogo degli scarichi massimi agli appoggi:

	App_1		
	<i>F trasv [KN]</i>	<i>F long [KN]</i>	<i>F vert [KN]</i>
1_G1_trave	0	0	-228.88
17_qfk	0	0	-293.68
19_q3_frenatura	0	0	-272.18
2_G1_soletta	0	0	-236.66
20_q4_centr	0	0	-31.06
21_q8	0	0	10.38
22_q_ritiro	0	0	-12.64
24_q_vento	0	0	103.63
25_Sisma X	0	0	243.383
26_Sisma Y	0	0	-29.053
27_Sisma Z	0	0	-87.23
3_G1_marciapiede	0	0	-268.60
38_temp U +	0	0	-25.30
39_temp U -	0	0	-32.00
4_G1_traverso	0	0	-87.23
5_G2_veletta	0	0	-30.35
6_G2_impianti	0	0	-96.81
7_G2_parapetti	0	0	-11.74
8_G2_pavimentazione	0	0	-53.42
9_G2_sicurvia	0	0	-12.48
10_q1k	0	0	-176.05
12_q2k	0	0	-12.79
14_q3k	0	0	0.21
11_Q1k_	0	0	-379.80
13_Q2k_	0	0	-52.80
15_Q3k_	0	0	18.80

	App_2		
	<i>F trasv [KN]</i>	<i>F long [KN]</i>	<i>F vert [KN]</i>
1_G1_trave	0	0	-229.8
17_qfk	5.5	0.0	-227.5
19_q3_frenatura	-24.9	267.1	25.8
2_G1_soletta	2.3	0.0	-227.4
20_q4_centr	-63.3	-26.9	0.7
21_q8	-3.6	24.5	0.3
22_q_ritiro	0.0	0.0	-2.5
24_q_vento	175.9	84.3	-21.4
25_Sisma X	860.01	27.50	-41.23
26_Sisma Y	-13.74	1715.32	105.11
27_Sisma Z	0.0	0.0	-87.2
3_G1_marciapiede	15.2	0.0	-31.5
38_temp U +	-0.9	0.0	-48.8
39_temp U -	0.0	0.0	-87.23
4_G1_traverso	-0.8	0.0	-48.7
5_G2_veletta	2.3	0.0	2.5
6_G2_impianti	6.3	0.0	-4.8
7_G2_parapetti	161.4	0.0	0.6
8_G2_pavimentazione	0.5	0.0	-51.4
9_G2_sicurvia	0.5	0.0	-2.6
10_q1k	-22.57	-268.52	-133.02

RELAZIONE DI CALCOLO

COMMESSA	LOTTO	CODIFICA	DOCUMENTO	REV.	FOGLIO
NRIJ	01 D 29	CL	IV0104 001	B	13 di 341

12_q2k	-1.15	-9.12	-17.22
14_q3k	6.50	74.59	1.03
11_Q1k_	-36.32	-424.74	-369.95
13_Q2k_	-6.38	-31.74	-101.18
15_Q3k_	12.10	141.58	2.53

	App_3		
	<i>F trasv [KN]</i>	<i>F long [KN]</i>	<i>F vert [KN]</i>
1_G1_trave	0	0	-228.88
17_qfk	0	0	-238.89
19_q3_frenatura	0	0	-64.68
2_G1_soletta	0	0	-238.89
20_q4_centr	0	0	-2.09
21_q8	0	0	-12.37
22_q_ritiro	0	0	0.00
24_q_vento	0	0	-4.99
25_Sisma X	0	0	0
26_Sisma Y	0	0	-0.6
27_Sisma Z	0	0	-87.23
3_G1_marciapiede	0	0	-66.99
38_temp U +	0	0	0.00
39_temp U -	0	0	-87.23
4_G1_traverso	0	0	-48.00
5_G2_veletta	0	0	-5.28
6_G2_impianti	0	0	-22.38
7_G2_parapetti	0	0	-2.20
8_G2_pavimentazione	0	0	-53.96
9_G2_sicurvia	0	0	-3.95
10_q1k	0	0	-47.55
12_q2k	0	0	-28.37
14_q3k	0	0	-12.02
11_Q1k_	0	0	-80.55
13_Q2k_	0	0	-259.28
15_Q3k_	0	0	-26.85

	App_4		
	<i>F trasv [KN]</i>	<i>F long [KN]</i>	<i>F vert [KN]</i>
1_G1_trave	0	0	-228.88
17_qfk	-5.54	0	-227.47
19_q3_frenatura	-18.61	150.10	6.51
2_G1_soletta	-2.31	0.00	-227.36
20_q4_centr	-63.30	26.89	-0.47
21_q8	7.83	-24.53	-114.37
22_q_ritiro	-0.61	0.00	0.00
24_q_vento	172.09	-84.34	21.23
25_Sisma X	860.01	-27.5	41.23
26_Sisma Y	13.74	1715.32	105.32
27_Sisma Z	0.00	0.00	-87.23
3_G1_marciapiede	-15.18	0.00	-31.51
38_temp U +	0.00	0.00	-48.76
39_temp U -	0.00	0.00	-87.23
4_G1_traverso	0.81	0.00	-48.70
5_G2_veletta	-2.25	0.00	2.49
6_G2_impianti	-6.28	0.00	-4.85
7_G2_parapetti	-0.83	0.00	6.31
8_G2_pavimentazione	-0.49	0.00	-51.36
9_G2_sicurvia	-2.05	0.00	-2.62
10_q1k	0.063	268.523	3.72

RELAZIONE DI CALCOLO

COMMESSA	LOTTO	CODIFICA	DOCUMENTO	REV.	FOGLIO
NRIJ	01 D 29	CL	IV0104 001	B	14 di 341

12_q2k	-0.773	-9.12	-17.22
14_q3k	-0.043	-74.59	-36.95
11_Q1k	-36.291	-28.387	-19.93
13_Q2k	-2.687	-31.736	-101.18
15_Q3k	-1.187	-141.581	-123.32

	App_5		
	<i>F trasv [KN]</i>	<i>F long [KN]</i>	<i>F vert [KN]</i>
1_G1_trave	0	0	-228.88
17_qfk	0	0	-236.55
19_q3_frenatura	0	0	4.97
2_G1_soletta	0	0	-236.66
20_q4_centra	0	0	31.06
21_q8	0	0	-266.70
22_q_ritiro	0	0	-12.6
24_q_vento	0	0	-102.82
25_Sisma X	0	0	-243.83
26_Sisma Y	0	0	-29.05
27_Sisma Z	0	0	-87.23
3_G1_marciapiede	0	0	-268.60
38_temp U +	0	0	-32.0
39_temp U -	0	0	-87.23
4_G1_traverso	0	0	-32.10
5_G2_veletta	0	0	-30.35
6_G2_impianti	0	0	-96.81
7_G2_parapetti	0	0	-87.67
8_G2_pavimentazione	0	0	-53.42
9_G2_sicurvia	0	0	-12.48
10_q1k	0	0	-0.65
12_q2k	0	0	-12.00
14_q3k	0	0	-48.00
11_Q1k	0	0	-1.76
13_Q2k	0	0	-52.00
15_Q3k	0	0	-126.00

7.1.2 Azioni variabile da traffico agenti sulla soletta

In conformità alla normativa di riferimento (N.T.C.2018 §5.1.3.3), si prendono in considerazione i carichi mobili per ponti di 1° categoria di seguito riportati:

- prima colonna di carico costituita da due carichi assiali $Q_{1k} = 300\text{kN}$ e un carico uniformemente distribuito $q_{1k} = 9\text{kN/m}^2$ su una larghezza convenzionale pari a 3.00m;
- seconda colonna di carico, analoga alla precedente, ma con carichi rispettivamente pari a $Q_{2k} = 200\text{kN}$ e $q_{2k} = 2.5\text{kN/m}^2$;
- terza colonna di carico, analoga alla precedente, ma con carichi rispettivamente pari a $Q_{3k} = 100\text{kN}$ e $q_{3k} = 2.5\text{kN/m}^2$;
- quarta colonna di carico e/o area rimanente costituita da un carico uniformemente distribuito pari a $q_{rk} = 2.5\text{kN/m}^2$.

I valori dei carichi stradali forniti dalle vigenti NTC18 sono già comprensivi degli incrementi di natura dinamica. La dimensione delle impronte dei carichi tandem e la loro posizione relativa sono:

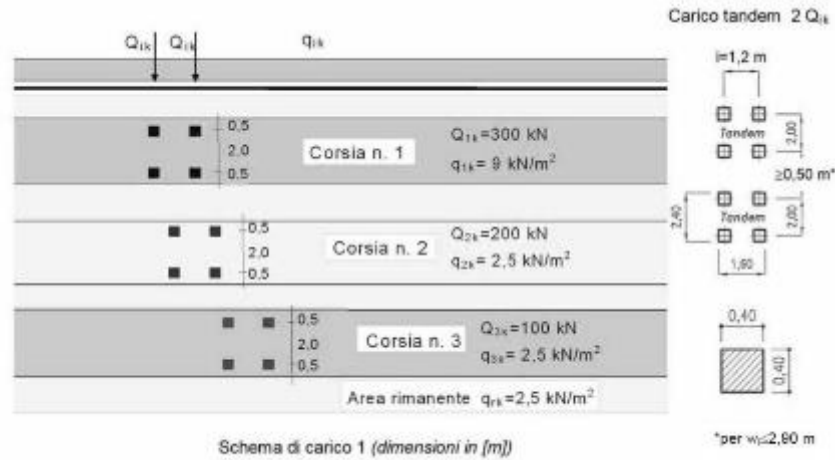


Fig. 4 – Schema di carico 1

Corsie convenzionali (§5.1.3.3.2)

In relazione alle dimensioni della carreggiata sono state considerate n° 3 “corsie convenzionali” da 3,00 m. I sovraccarichi mobili sono considerati nelle diverse disposizioni longitudinali e trasversali atte a generare le massime sollecitazioni nelle sezioni di verifica.

Numero guard-rail laterali	2		
Larghezza pavimentazione	9.00	m	
Larghezza carreggiata (w)	9.00	m	
Numero di corsie convenzionali (n)	3	m	Tab. 5.1.I
Larghezza di una corsia convenzionale	3.00	m	Tab. 5.1.I
Larghezza zona rimanente	2.50	m	Tab. 5.1.I

Esclusivamente per le verifiche locali, lo **Schema 2** costituito da un singolo asse applicato su specifiche impronte di pneumatico di forma rettangolare, di larghezza 0,60 m e di altezza 0,35 m. Nel caso sia più gravoso, si considera il peso di una singola ruota da 200 kN.

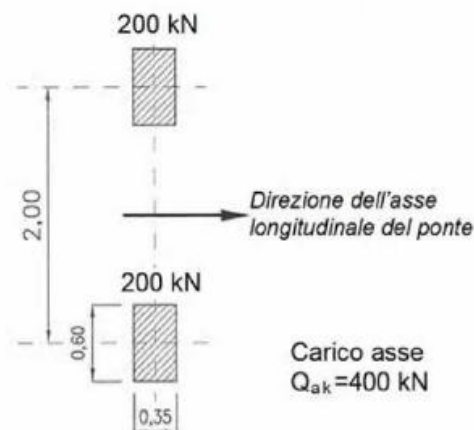
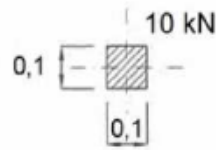


Fig. 5 – Schema di carico 2 NTC18

Dati tutti i marciapiedi e passerelle pedonali provvisti di sicurtia, si è escluso lo schema 3. Queste sono state comunque verificate localmente considerando lo schema 4 dato da un carico isolato di 10 kN con impronta quadrata di lato 0,10 m:



Schema di carico 4
(dimensioni in [m])

Fig. 6 – Schema di carico 4 NTC18

- L'effetto della folla su tutta la carreggiata, inclusi marciapiedi e piste ciclabili è computato considerando lo schema 5 di folla compatta che considera un carico di 5 KN/m² da applicare su tutte le zone significative della superficie di influenza. Data la luce dell'impalcato inferiore ai 300 m, si è escluso lo schema 6.
- Azione longitudinale di frenamento o di accelerazione (q₃)

Per i ponti di 1° categoria la forza di frenamento/accelerazione è determinata secondo la seguente relazione:

$$180\text{kN} \leq q_3 = 0.6 (2Q_{1k}) + 0.1q_{1k} w_1 L \leq 900\text{kN}$$

Q _{1k}	300.00	KN
q _{1k}	9	KN/m ²
w ₁	3.00	m
L	25	m
Calcolo	427.5	KN
Frenatura e accelerazione	427.5	KN
Forza distribuita sull'impalcato	17.1	KN/m

- Azione centrifuga (q₄)

Una parte marginale dell'impalcato è interessato da una curva planimetrica di raggio R = 100 [m], pertanto si è scelto di considerare la presenza della azione centrifuga, nell'ottica di condurre un calcolo in favore di sicurezza. Come riportato nella normativa di riferimento (punto 5.1.3.6 - D.M. 04.02.2008; Tab 5.1.III), a seconda del raggio planimetrico è fornita l'espressione del carico dovuto all'azione centrifuga:

Tabella 5.1.III - Valori caratteristici delle forze centrifughe

Raggio di curvatura [m]	Q ₄ [kN]
R < 200	0.2·Q _v
200 ≤ R ≤ 1500	40·Q _v /R
1500 ≤ R	0

Quindi:

R	100	m
Q _v	1200	KN
Q ₄	240	KN

I carichi da traffico sono stati implementati nel programma di calcolo utilizzato SAP 2000, in cui sono stati definiti gli schemi da traffico da normativa sopra esposti. La disposizione e la numerazione delle corsie è stata determinata in modo da indurre le più sfavorevoli condizioni di progetto. Per ogni singola

 ITALFERR GRUPPO FERROVIE DELLO STATO ITALIANE	RADDOPPIO CESANO VIGNA DI VALLE PROGETTO DEFINITIVO					
	RELAZIONE DI CALCOLO	COMMESSA NRIJ	LOTTO 01 D 29	CODIFICA CL	DOCUMENTO IV0104 001	REV. B

verifica sono state valutate il numero di corsie caricate, la loro disposizione sulla carreggiata e la loro numerazione, in modo che gli effetti della disposizione dei carichi risultassero i più sfavorevoli.

7.1.3 Ritiro del calcestruzzo

Il ritiro viene applicato come un carico termico equivalente.

$$\Delta T_{\text{rit}} = \varepsilon_s / [(1+\phi) \times \alpha_T] = -7.8 \text{ }^\circ\text{C}.$$

Gli effetti del ritiro vanno valutati a “lungo termine” attraverso il calcolo dei coefficienti di ritiro finale $\varepsilon_{cs}(t, t_0)$ e di viscosità $\phi(t, t_0)$, come definiti nell'EUROCODICE 2- UNI EN 1992-1-1 e D. M. 17-01-2018.

Coefficiente di viscosità		
$\phi(t, t_0) = \phi_0 * \beta_c(t, t_0)$	1.6406	creep coefficient
$\phi_0 = \phi_{RH} * \beta(f_{cm}) * \beta(t_0) =$	1.7066	nominal creep coefficient
ϕ_{RH}	1.1685	per $f_{cm} > 35$ Mpa
ϕ_{RH}		per $f_{cm} \leq 35$ Mpa
RH	80 [%]	
$\beta(f_{cm})$	2.6563	
$\beta(t_0)$	0.5498	
h_0	753.623188 [mm]	
A_c	104000 [cm ²]	
u	2760 [cm]	
$\beta_c(t, t_0)$	0.9613	
t	10000 [days]	
t_0	15 [days]	
$t - t_0$	9985 [days]	
β_H	1403.12 TRUE	per $f_{cm} > 35$ Mpa
β_H		per $f_{cm} \leq 35$ Mpa
α_1	0.9108	
α_2	0.9736	
α_3	0.9354	
f_{cm}	40.00 [MPa]	
f_{ck}	32.00 [MPa]	

RELAZIONE DI CALCOLO

COMMESSA	LOTTO	CODIFICA	DOCUMENTO	REV.	FOGLIO
NRIJ	01 D 29	CL	IV0104 001	B	18 di 341

DEFORMAZIONE TOTALE DA RITIRO

$\varepsilon_{cs} = \varepsilon_{cd} + \varepsilon_{ca} =$	0.00020565	deformazione totale da ritiro
$\varepsilon_{cd} =$	0.00016973	deformazione da ritiro per essiccamento
$\varepsilon_{ca} =$	3.5913E-05	deformazione da ritiro autogeno

DEFORMAZIONE DA RITIRO PER ESSICCAMENTO

$\varepsilon_{cd\infty} = k_h * \varepsilon_{cd0}$	0.0001838	
$\varepsilon_{cd0} =$	0.00026257	appendix B for ε_{cd0}
$\alpha_{ds1} =$	4 CLS class N	
$\alpha_{ds2} =$	0.12 CLS class N	
$\beta_{RH} =$	0.7564	
$RH_0 =$	100 [%]	
$f_{cm0} =$	10 [MPa]	
$\beta_{ds}(t, t_s) =$	0.92346441	

h_0	k_h
100	1.00
200	0.85
300	0.75
≥ 500	0.70

t 10000

ts 15

DEFORMAZIONE DA RITIRO AUTOGENO

$\beta_{as}(t) =$	0.6529549
t	28
$\varepsilon_{ca}(\infty) =$	0.000055

7.1.4 Spinta del terreno

La spinta del terreno a tergo dei muri andatori e del muro frontale, è applicata sulle pareti come un carico superficiale distribuito di forma triangolare.

Il carico è applicato mediante la sovrapposizione di carichi sugli elementi shell delle pareti e di carichi distribuiti lungo linee di carico disposte ortogonalmente allo spessore delle pareti e della platea di fondazione:

Considerando un angolo di attrito del terreno pari a $\phi = 28^\circ$, si adotta un coefficiente di spinta $K_0 = 0.531$; da cui, considerando l'asse della soletta di fondazione a 2.5 da p.c., si ottengono i valori di spinta seguenti: 14.44 kN/m² al piede della parete e 21.24 kN/m sulla linea di carico a quota asse soletta di fondazione. Per ottenere gli effetti più gravosi, le spinte sulle pareti opposte non sono state applicate simmetricamente, ma con coefficienti 1 e 0.6.

7.1.5 Variazioni termiche

Sono state applicate una variazione termica uniforme $\Delta T_u = \pm 15^\circ$ ed un gradiente termico $\Delta T_g = \pm 5^\circ$ alle strutture in elevazione, tenendo conto di un modulo di elasticità del calcestruzzo ridotto per le azioni a lungo termine.

7.1.6 Carichi in condizioni sismiche

Le forze sismiche agenti sulla struttura sono state determinate con riferimento allo Stato Limite di Salvaguardia della Vita (SLV), avendo considerato per il dimensionamento dei pali di grande diametro di fondazione un fattore di struttura $q=1.5$, mentre per il dimensionamento delle strutture in elevazione un fattore $q=1$; di seguito si illustrano i parametri sismici relativi agli spettri utilizzati:

- Vita nominale $V_N = 100$ anni
- Classe d'uso III $C_u = 2$

– Periodo di riferimento per l'azione sismica

$$V_R = V_N \cdot C_u = 200$$

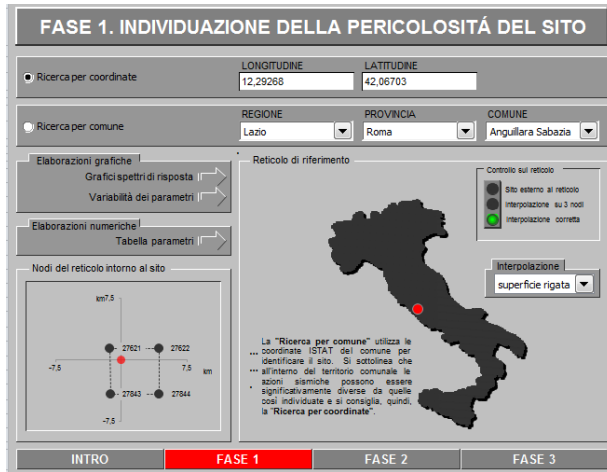
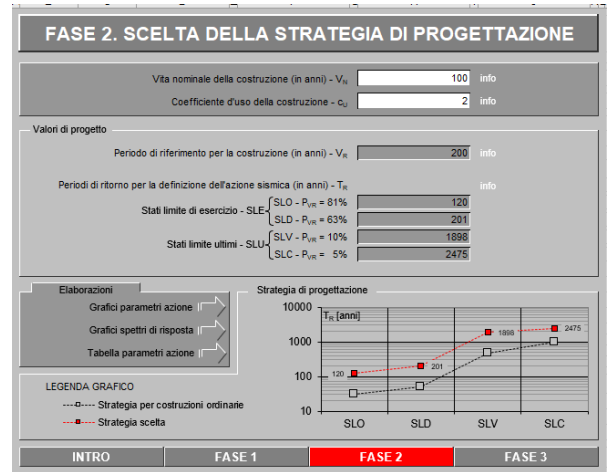
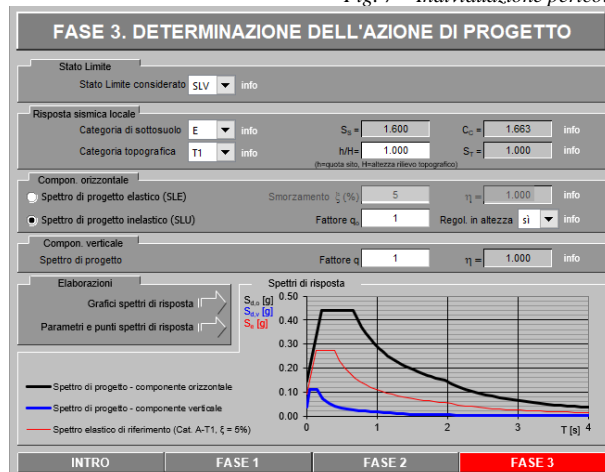



Fig. 7 – Individuazione pericolosità sito e strategia di progettazione, $q=1$



SLATO LIMITE	T_R [anni]	a_g [g]	F_o [-]	T_c^* [s]
SLO	120	0.050	2.710	0.293
SLD	201	0.056	2.784	0.312
SLV	1898	0.090	3.046	0.398
SLC	2475	0.095	3.072	0.413

Fig. 8 – Determinazione dell'azione di progetto e parametri azione, $q=1$

Per il calcolo in condizioni sismiche si utilizza il metodo dell'analisi lineare dinamica con spettro di risposta come definito in [7.3.3 NTC 18]. Gli effetti dell'azione sismica sono valutati tenendo conto delle masse associate ai seguenti carichi gravitazionali:

$$G_1 + G_2 + \psi_{2j} Q_{kj}$$

Nel caso specifico per i carichi dovuti al transito dei veicoli stradali si assume $\psi_{2j} = 0.2$

7.1.7 Sovrappinta sismica del terreno

Si mostra l'applicazione della distribuzione rettangolare secondo la teoria di Wood:

$$\text{Valore sovrappinta sismica : } \Delta p[\text{SLV}] = (a_g/g) \cdot St \cdot S_s \cdot \gamma \cdot H = 5.76 \text{ kN/m}^2$$

7.1.8 Azione eccezionale di urto di veicoli in svio

Ai parapetti sono applicate forze orizzontali pari a 1.5kN/m applicate al corrimano. Gli elementi strutturali su cui insistono i sicurvia sono stati dimensionati considerando una forza orizzontale di 100 kN applicata su una striscia lunga 0.5m e posta ad un'altezza di 1.0m.

 <p>ITALFERR GRUPPO FERROVIE DELLO STATO ITALIANE</p>	<p>RADDOPPIO CESANO VIGNA DI VALLE PROGETTO DEFINITIVO</p>					
<p>RELAZIONE DI CALCOLO</p>	<p>COMMESSA NRIJ</p>	<p>LOTTO 01 D 29</p>	<p>CODIFICA CL</p>	<p>DOCUMENTO IV0104 001</p>	<p>REV. B</p>	<p>FOGLIO 20 di 341</p>

La pressione aereodinamica del treno non è stata considerata nel calcolo degli stessi perché non è dimensionante.

7.1.9 Urto da traffico ferroviario

In considerazione del punto §3.6.3.4 delle NTC18, al verificarsi di un deragliamento può esservi il rischio di collisione fra i veicoli deragliati e le strutture adiacenti la ferrovia.

In mancanza di specifiche analisi di rischio possono assumersi le seguenti azioni statiche equivalenti, in funzione della distanza d degli elementi esposti dall'asse del binario:

- per $d \leq 5$ m:
 - 4000 kN in direzione parallela alla direzione di marcia dei convogli ferroviari;
 - 1500 kN in direzione perpendicolare alla direzione di marcia dei convogli ferroviari;
- per $5 \text{ m} < d \leq 15$ m:
 - 2000 kN in direzione parallela alla direzione di marcia dei convogli ferroviari;
 - 750 kN in direzione perpendicolare alla direzione di marcia dei convogli ferroviari;
- per $d > 15$ m pari a zero in entrambe le direzioni.

Queste forze dovranno essere applicate a 1,80 m dal piano del ferro e non dovranno essere considerate agenti simultaneamente.

La spalla A si trova ad una distanza minima di circa 10.50m

Nel modello di calcolo l'azione dovuta all'urto è applicata come:

- Direzione asse viadotto: forza concentrata posta al centro del paramento verticale
- Direzione ortogonale all'asse viadotto: forza concentrate posta in corrispondenza dell'intersezione del muro andatore con il muro frontale.

 <p>ITALFERR GRUPPO FERROVIE DELLO STATO ITALIANE</p>	<p>RADDOPPIO CESANO VIGNA DI VALLE PROGETTO DEFINITIVO</p>					
<p>RELAZIONE DI CALCOLO</p>	<p>COMMESSA NRIJ</p>	<p>LOTTO 01 D 29</p>	<p>CODIFICA CL</p>	<p>DOCUMENTO IV0104 001</p>	<p>REV. B</p>	<p>FOGLIO 21 di 341</p>

8 MODELLAZIONE DELLA STRUTTURA

La struttura viene schematizzata con un modello di calcolo tridimensionale mediante un'analisi elastico-lineare svolta con il programma di calcolo agli elementi finiti SAP2000 v.20.1 della Computers and Structures.

Gli elementi costituenti la struttura in elevazione sono stati modellati nei rispettivi piani medi con elementi bidimensionali di tipo *shell*, se del caso collegati mediante bracci rigidi di tipo *link*. La mesh utilizzata per la discretizzazione delle varie pareti è caratterizzata da una geometria poligonale quadrilatera i cui lati hanno mediamente una lunghezza compresa tra 60 ÷ 180 cm.

I pali di grande diametro di fondazione sono stati modellati in modo esplicito con elementi frame, vincolati lateralmente tramite delle molle con opportuna rigidità funzione della profondità. Il collegamento della testa dei pali di grande diametro con la platea di fondazione è stato realizzato con una corona di link rigidi.

8.1 Calcolo della rigidità orizzontale delle molle rappresentanti il terreno

La rigidità orizzontale viene stimata tramite la determinazione del modulo di reazione laterale:

Linear Modulus of Subsoil Reaction

The modulus of subsoil reaction at a depth z is given by equation:

$$k_h = k \left(0,308 + 1,584 \frac{d}{l} \right) \frac{z}{rl}$$

where:	d	-	pile diameter [m]
	l	-	length of pile [m]
	k	-	soil parameter (modulus) according to Bowles [MN/m ³]
	r	-	reduced width of pile [m], which is given by equation:

$$r = d + 2d \tan \beta$$

where:	d	-	pile diameter [m]
	β	-	angle of dispersion - is input with respect to the angle of internal friction in the range of $\varphi/4 \div \varphi$

Representative range of values of lateral modulus k [MN/m³] according to Bowles:

dense sandy gravel	220 - 400
medium dense gravel	155 - 300
medium-graded sand	110 - 280
fine sand	80 - 200
stiff clay	60 - 220
saturated stiff clay	30 - 110
plastic clay	40 - 140
saturated plastic clay	10 - 80
soft clay	2 - 40

Literature:

Bowles, J. E.: *Foundations Analysis and Design*. 5th edition, New York: McGraw-Hill Book Company, 1997, ISBN 0-07-118844-4, chapter 16-15.2, s. 941 (table 16-4).

Pochman, R., Simek, J.: *Pilotové zaklady - Komentář k CSN 73 1002*. 1st edition, Prague, Vydavatelství norem, 1989, . 80 p.

dove Δz = passo di discretizzazione dei pali di grande diametro, nel caso è stato considerate $\Delta z = 2.0$ m.

RELAZIONE DI CALCOLO

COMMESSA	LOTTO	CODIFICA	DOCUMENTO	REV.	FOGLIO
NRIJ	01 D 29	CL	IV0104 001	B	23 di 341

Suolo	spessore [m]	k	β
Limo sabbioso	24	80	10

pilo		
d [m]	l [m]	r
1.2	24	1.62

z [m]	Kh [kN/m ² /m]
0	0
2	1590
4	3181
6	4771
8	6361
10	7951
12	9542
14	11132
16	12722
18	14313
20	15903
22	17493
24	19083
26	20674

L'estremità inferiore del palo è stata vincolata con un vincolo rigido, che limita gli spostamenti verticali.

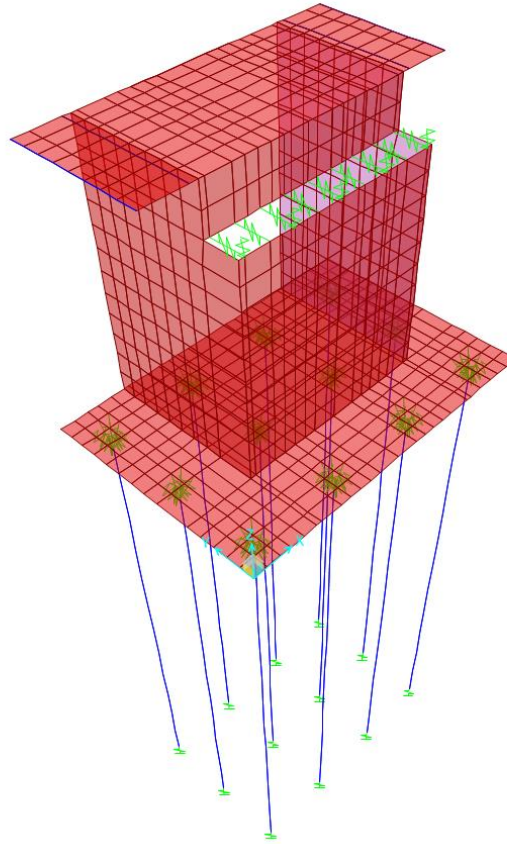


Fig. 9 – Modello 3D – Vista estrusa degli elementi

Gli scarichi agli appoggi dell'impalcato sono stati applicati in sommità al muro frontale, collocando spazialmente nella reale posizione i nodi corrispondenti, tramite link rigidi.

8.2 Condizioni elementari di carico

8.2.1 Peso proprio

Il peso proprio degli elementi strutturali in c.a. viene calcolato in automatico dal codice di calcolo in base alle dimensioni di carpenteria degli elementi e al peso unitario del materiale calcestruzzo.

8.2.2 Peso proprio del impalcato

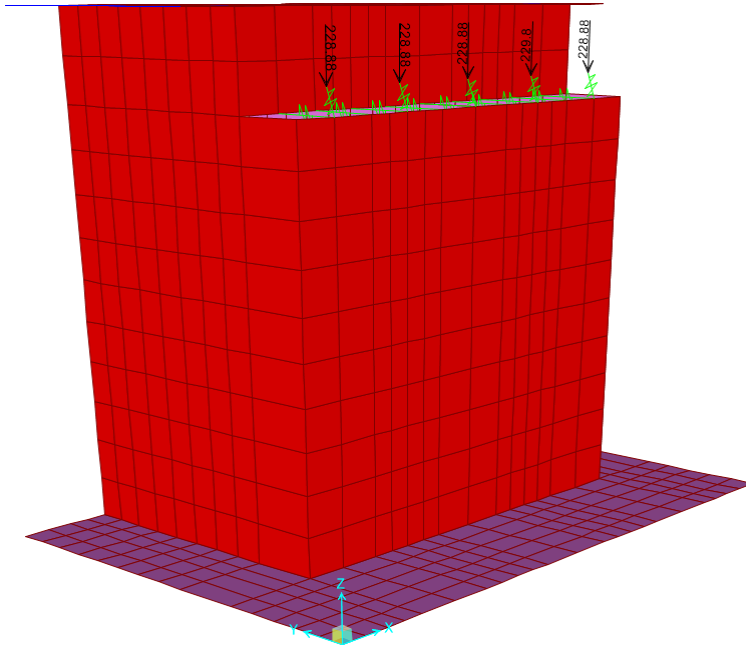


Fig. 10 – Carico di travi dell'impalcato

All Object Loading (2_G1_soletta) (GLOBAL CSys)

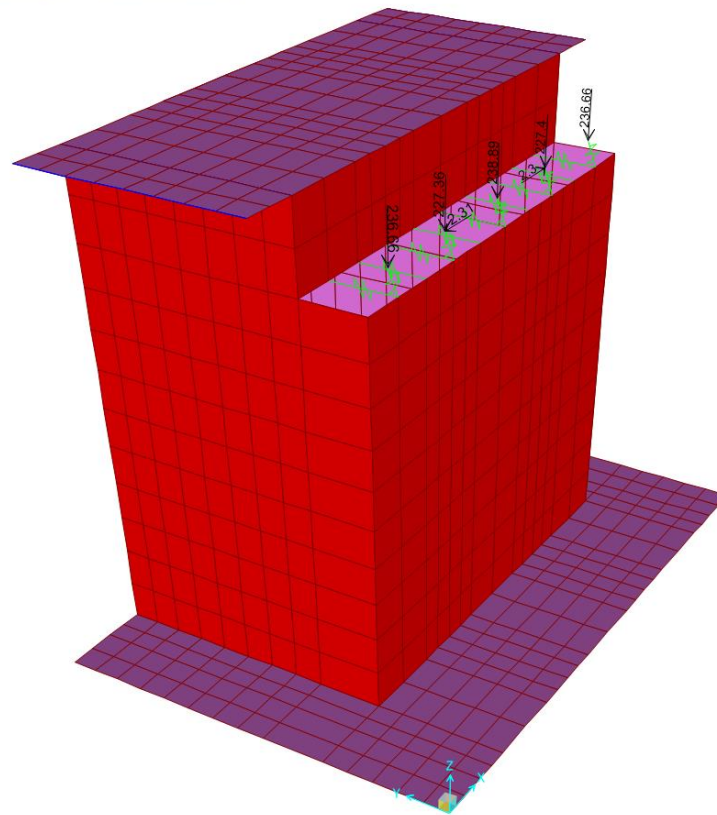


Fig. 11 – Carico da soletta dell'impalcato

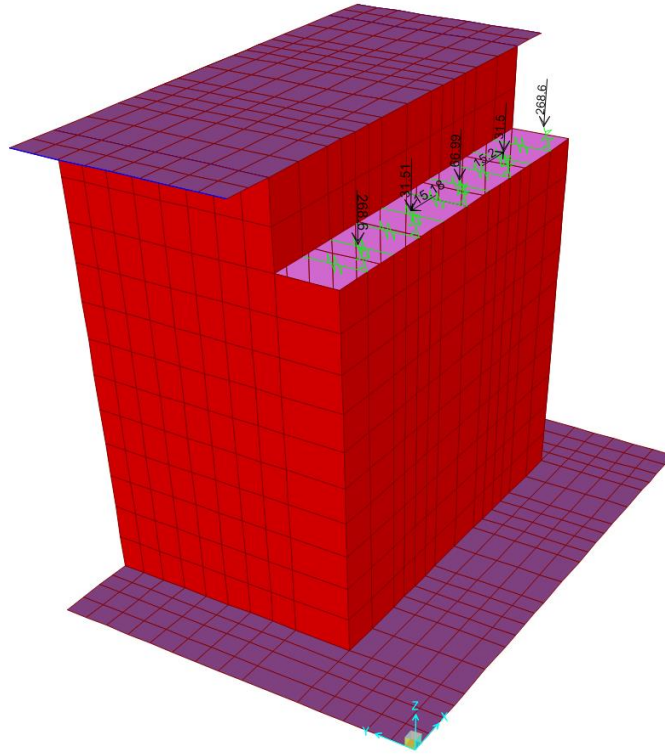


Fig. 12 – Carico di marciapiedi dell'impalcato

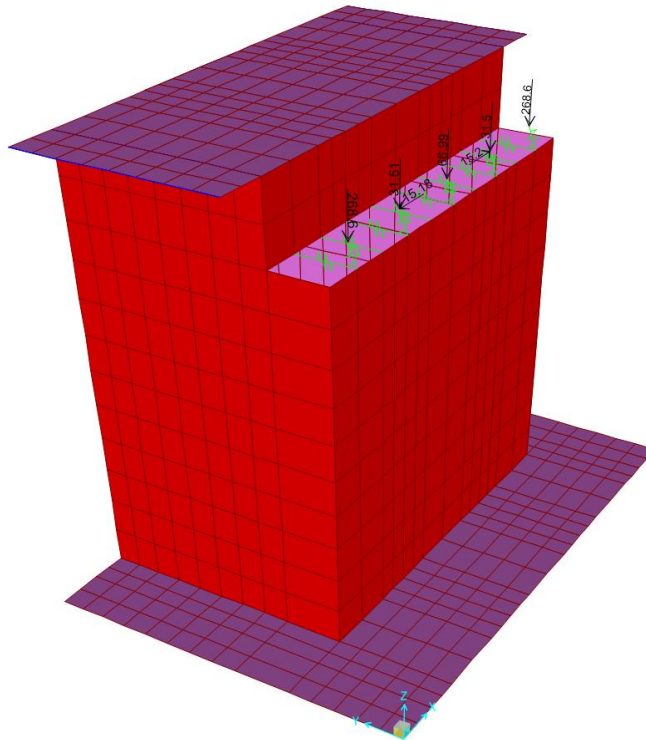


Fig. 13 – Carico di travi trasversali dell'impalcato

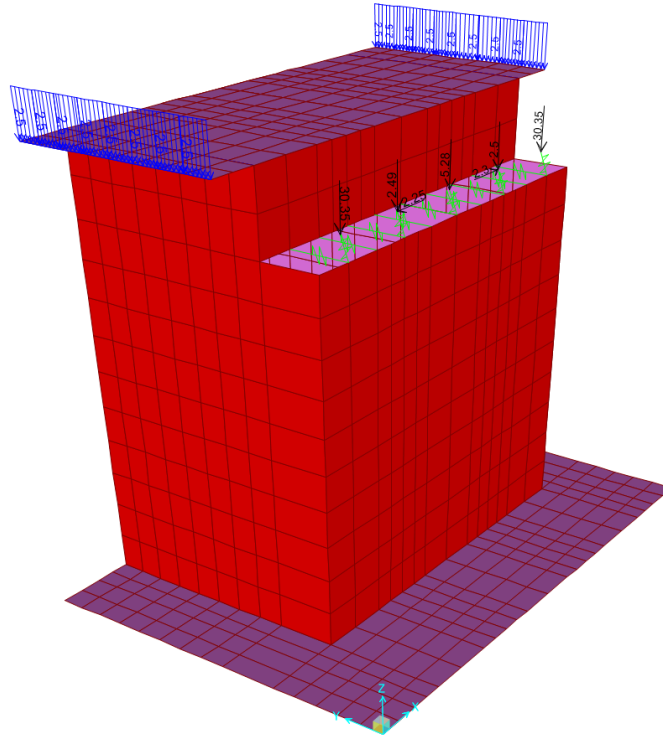


Fig. 14 – Carico da veletta

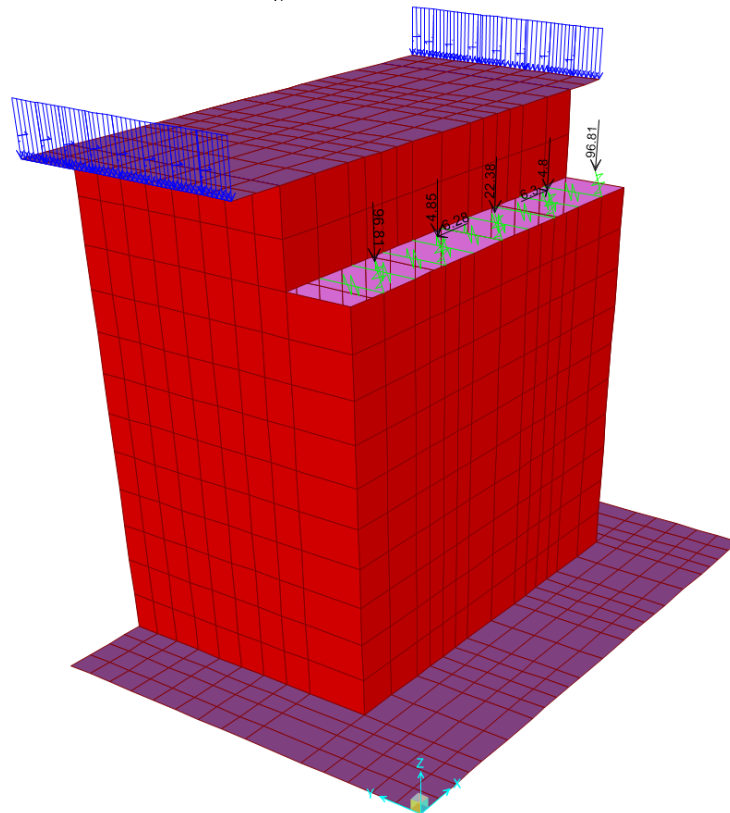


Fig. 15 – Carico di impianti

All Object Loading (9_G2_sicuria) (GLOBAL CSys)

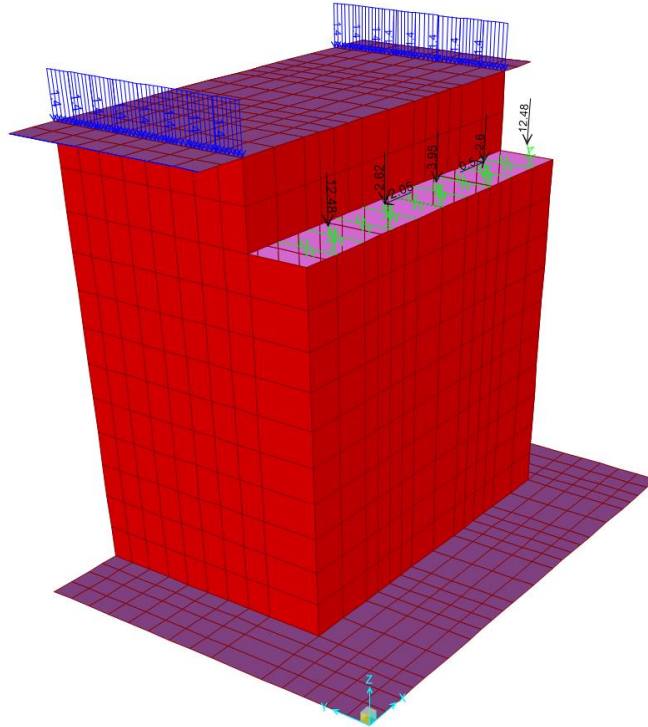


Fig. 18 – Carico de barriera sicuria

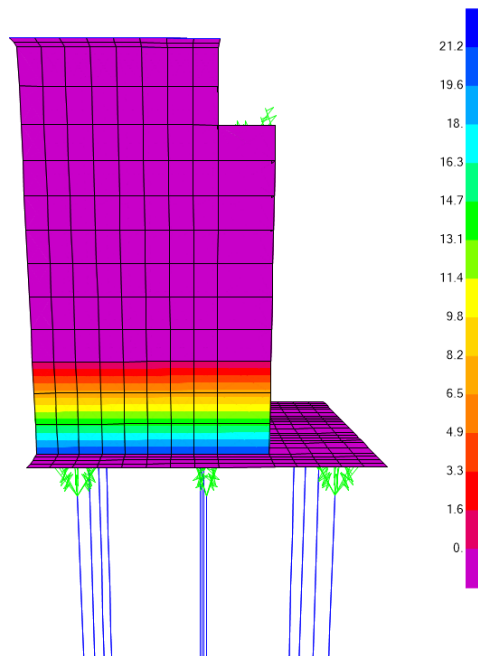


Fig. 19 – Carichi dovuti alla spinta del terreno

8.2.3 Azioni sulla struttura di carichi variabili

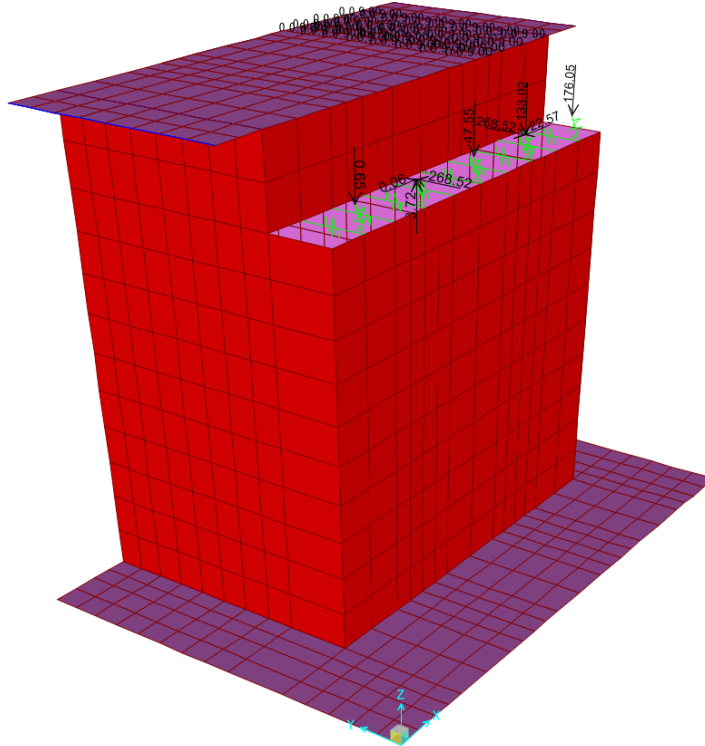


Fig. 20 – Azioni de carico distribuito q_{1k}

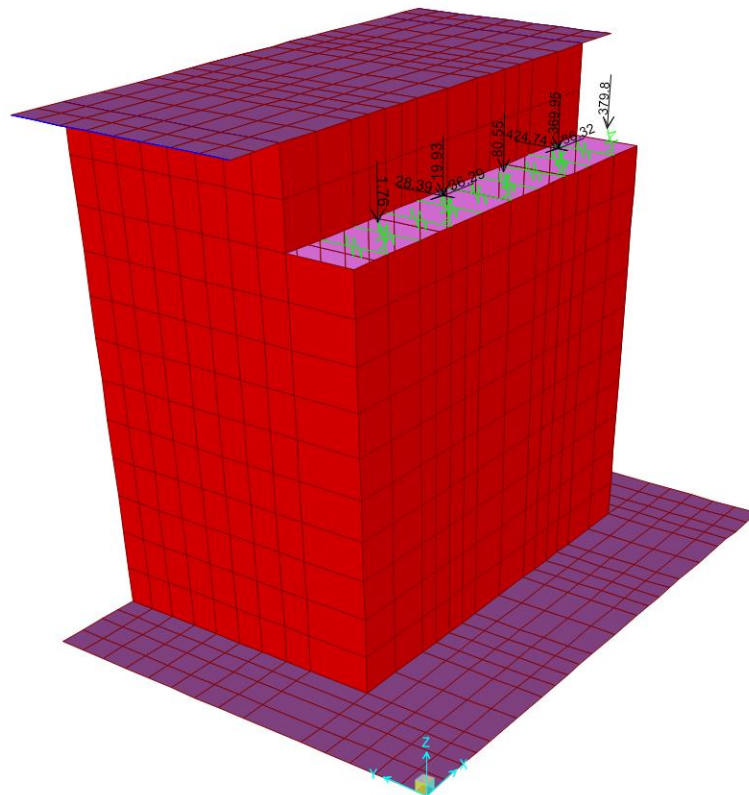


Fig. 21 – Azioni de carico Q_{1k}

RELAZIONE DI CALCOLO

COMMESSA	LOTTO	CODIFICA	DOCUMENTO	REV.	FOGLIO
NRIJ	01 D 29	CL	IV0104 001	B	31 di 341

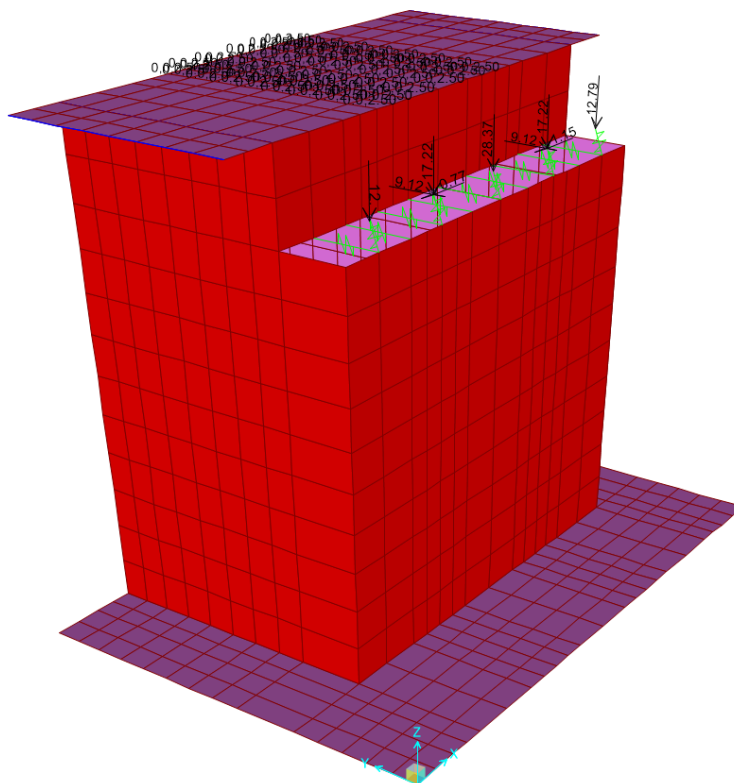


Fig. 22 - Azioni de carico distribuito q_{2k}

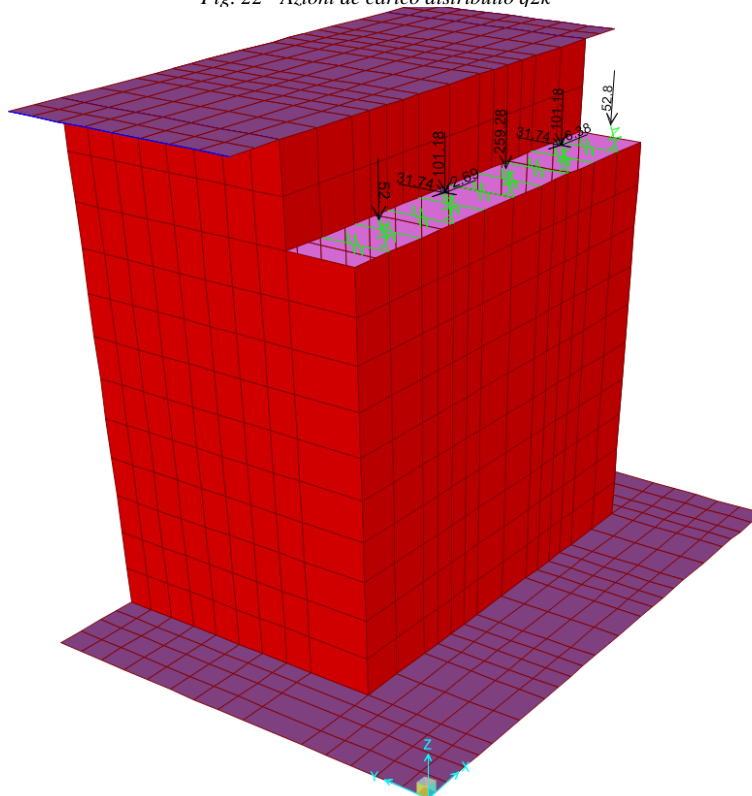


Fig. 23 - Azioni de carico Q_{2k}

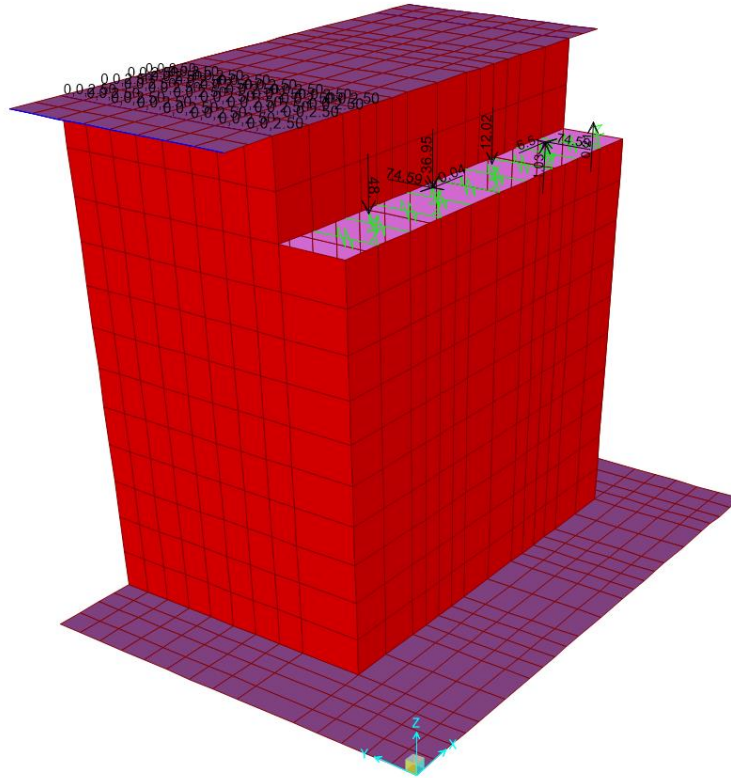


Fig. 24 - Azioni de carico distribuito q3k

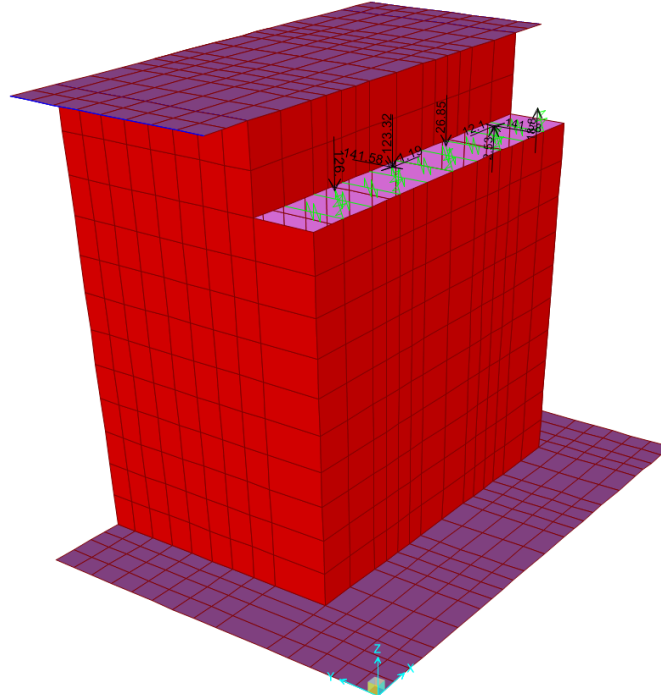


Fig. 25 - Azioni de carico Q3k

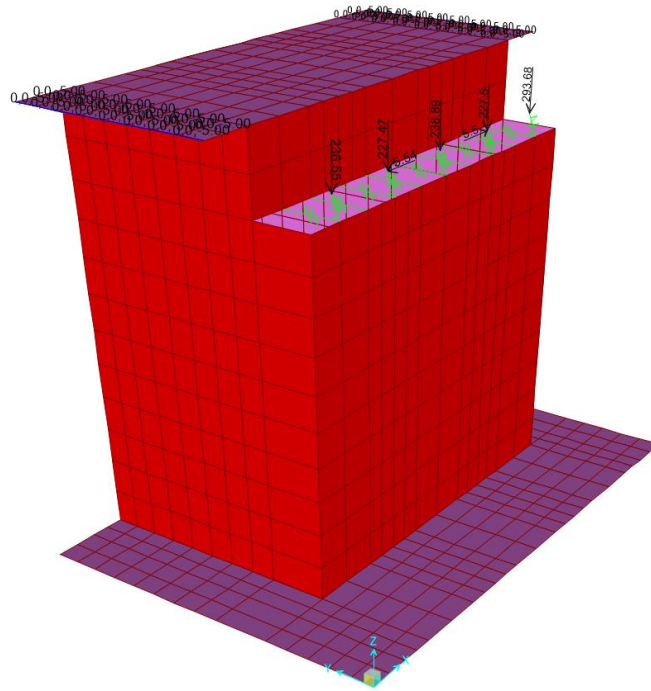


Fig. 26 - Azioni de carico distribuito q_{fk}

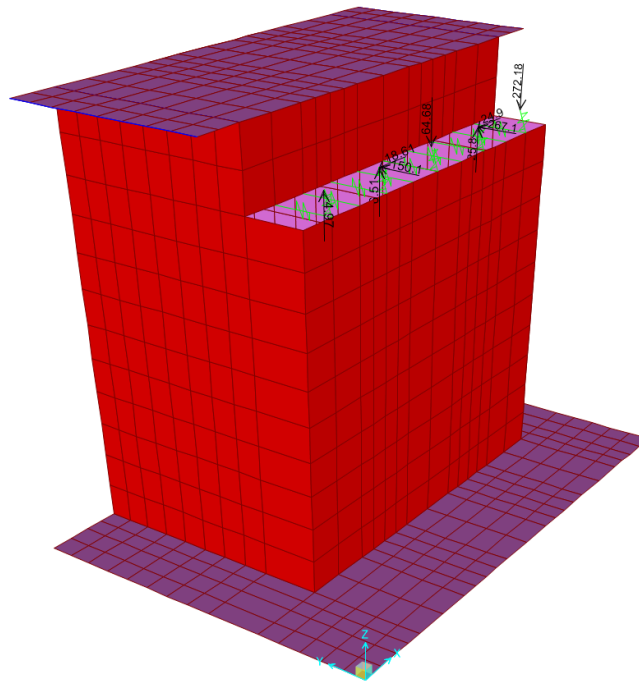


Fig. 27 - Azioni de carico dalla frenatura

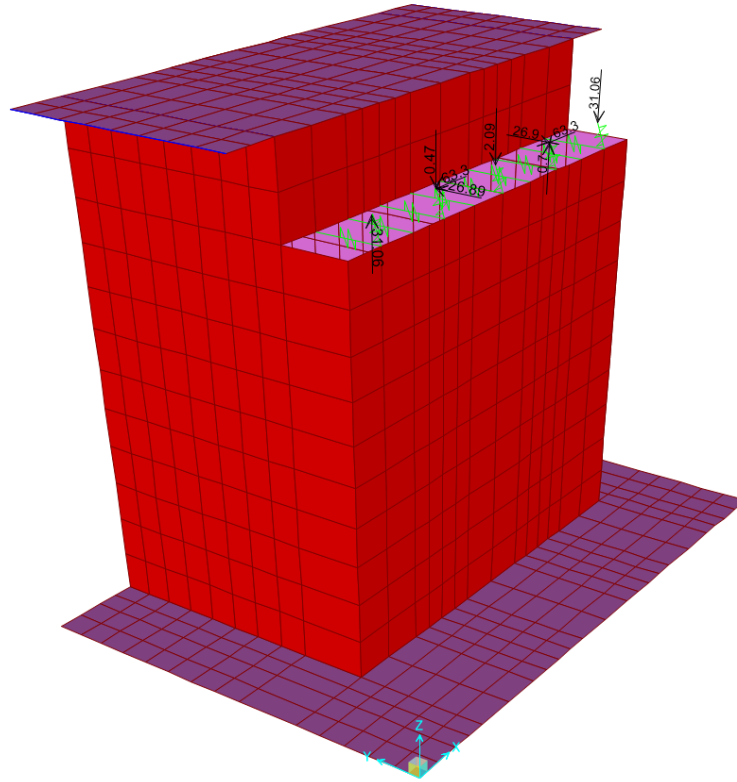


Fig. 28 - Azioni de carico dalla centrifuga

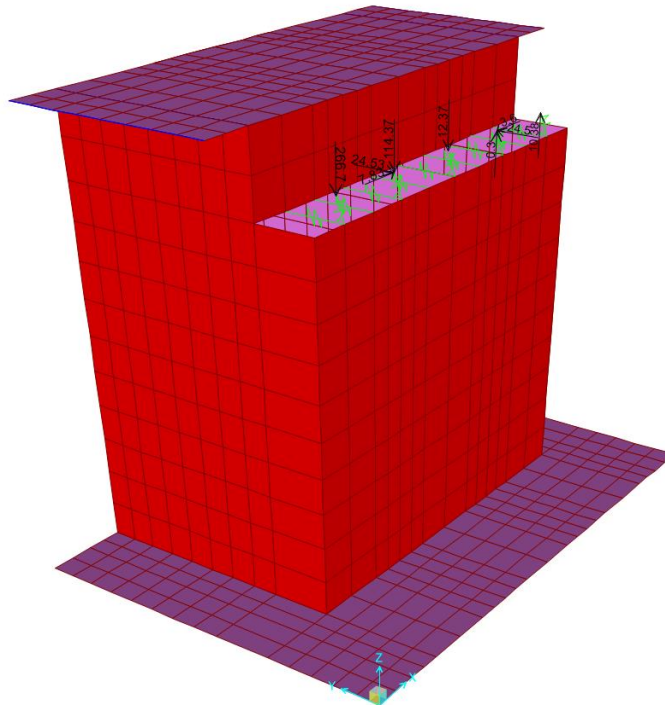


Fig. 29 - Azione eccezionale di urto di veicoli in svio

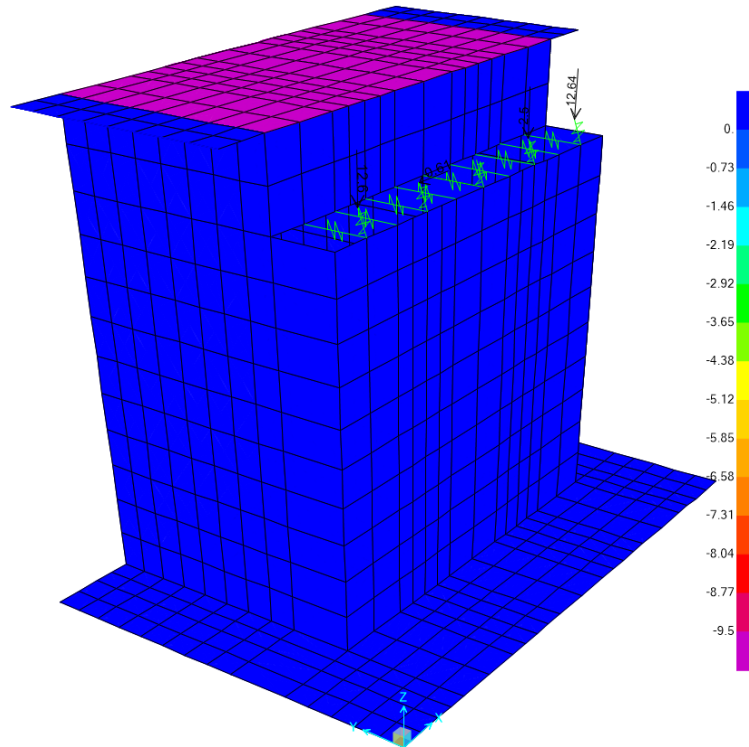


Fig. 30 - Azioni de ritiro

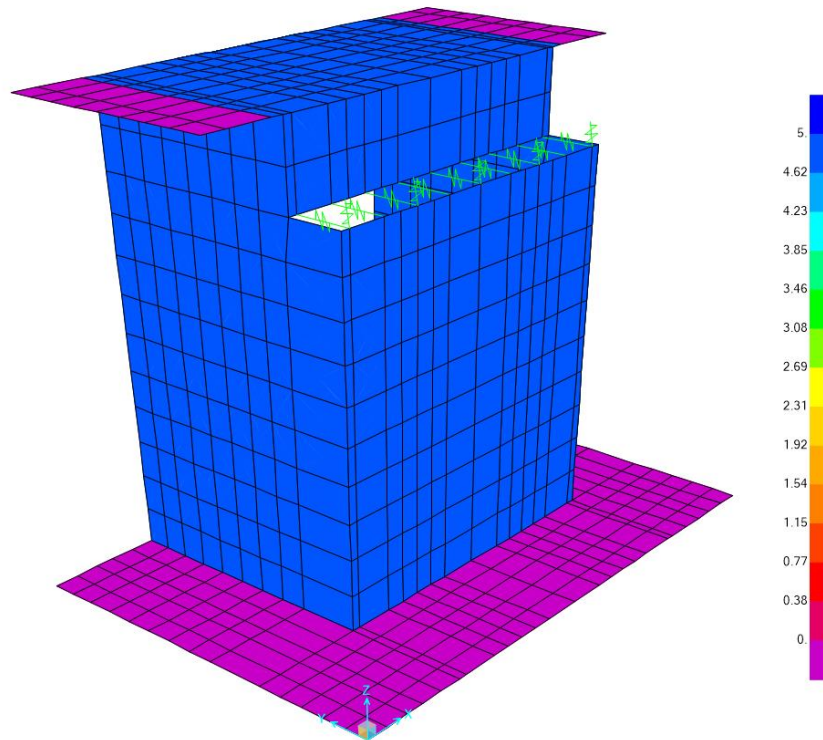


Fig. 31 - Azione termica

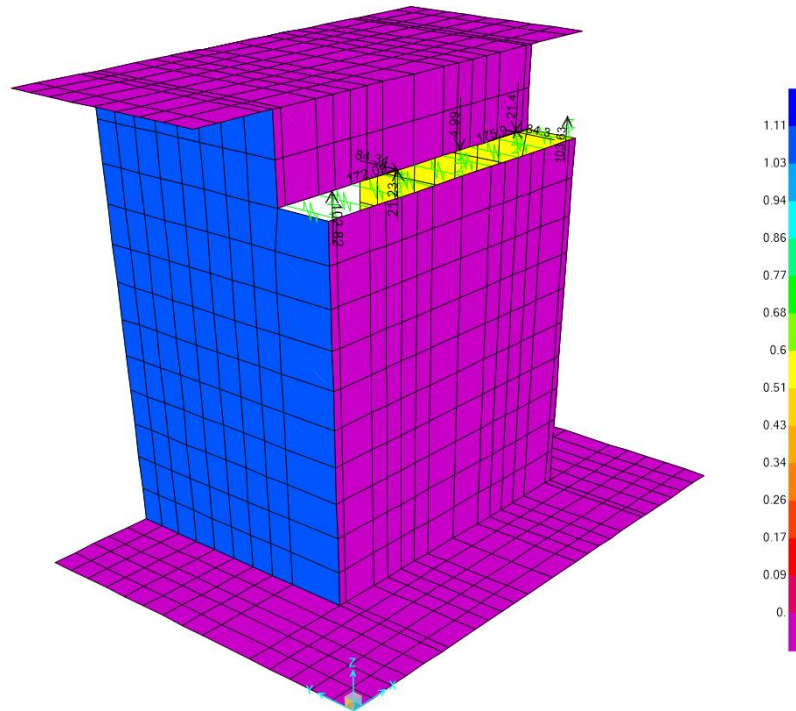


Fig. 32 - Carico dell'vento

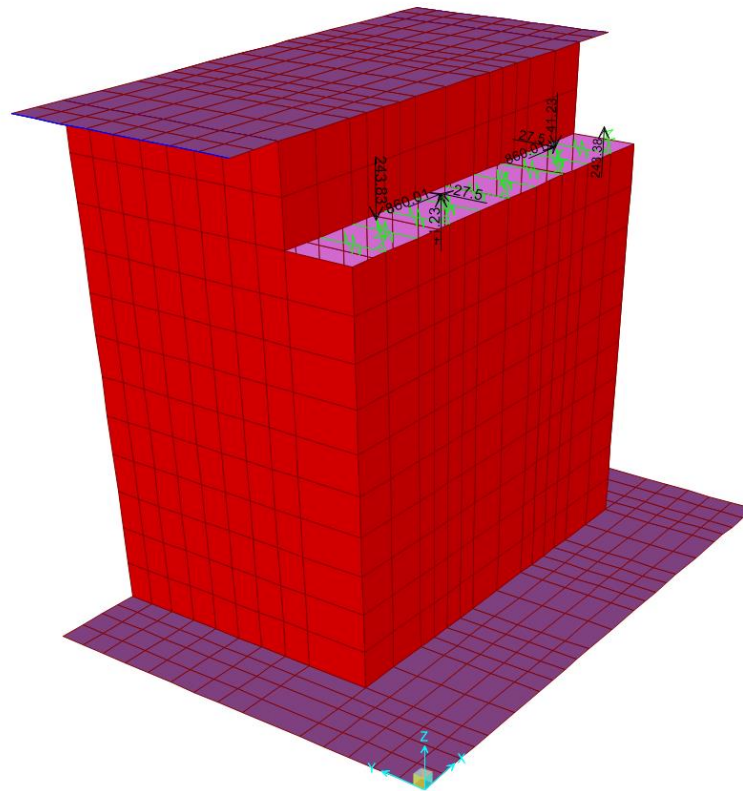


Fig. 33 - Azione sismica trasversale de impalcato

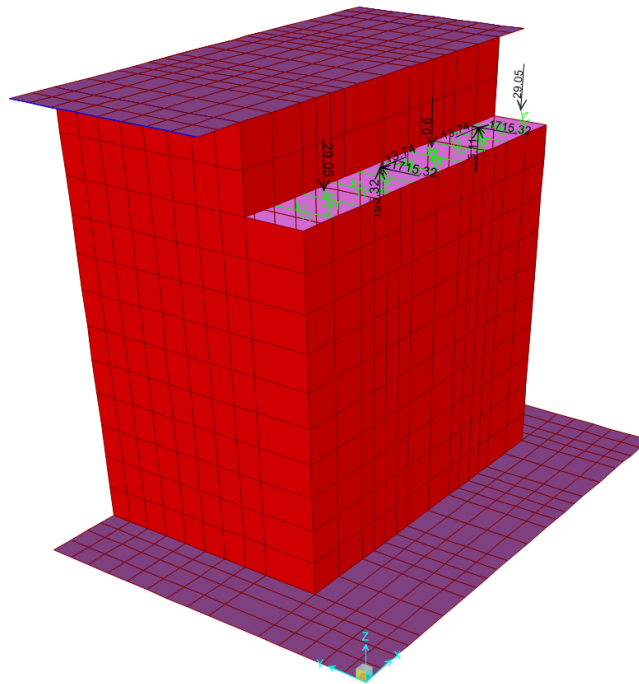


Fig. 34 - Azione sismica longitudinale de impalcato

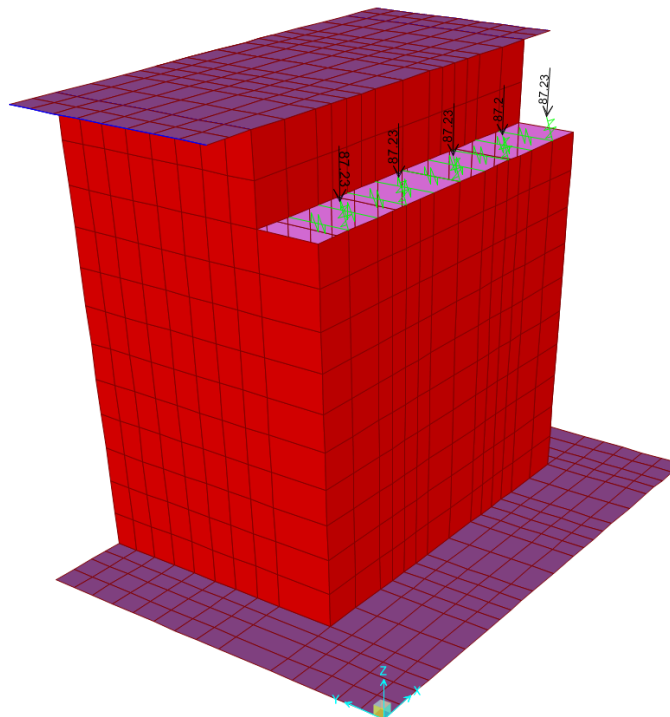


Fig. 35 - Azione sismica verticale de impalcato

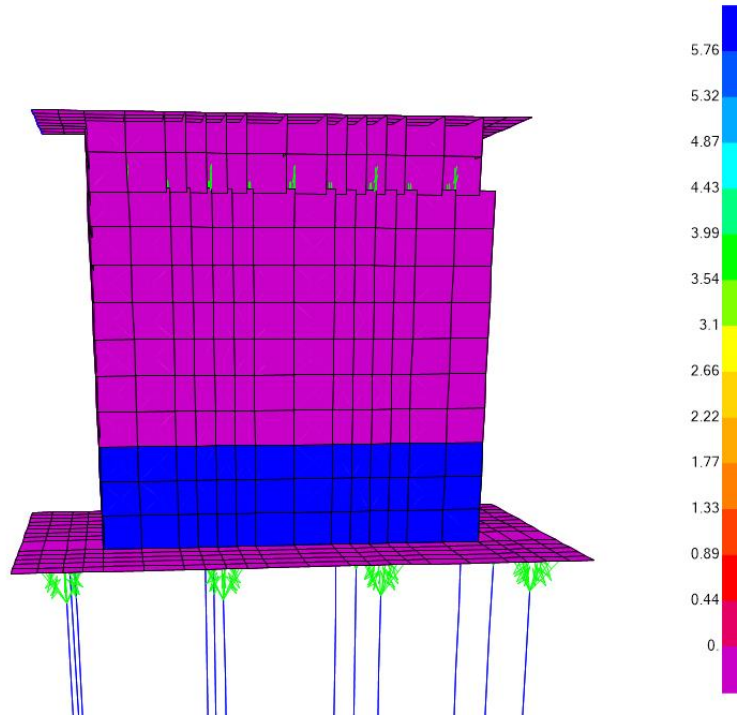


Fig. 36 – Carichi dovuti alla sovrappinta sismica del terreno

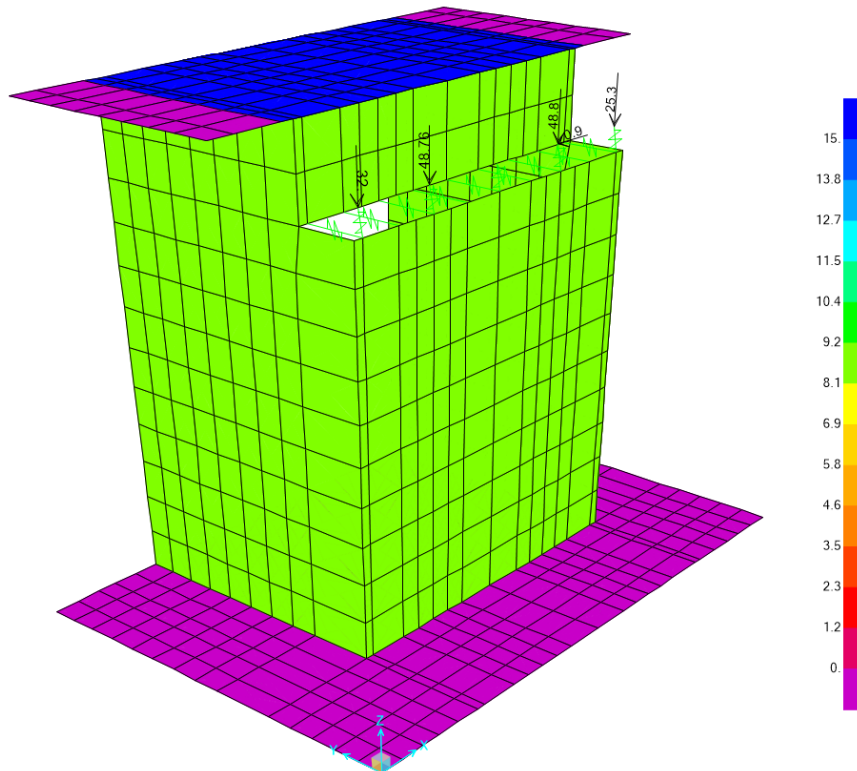


Fig. 37 – Carichi termici

 ITALFERR GRUPPO FERROVIE DELLO STATO ITALIANE	RADDOPPIO CESANO VIGNA DI VALLE PROGETTO DEFINITIVO					
	RELAZIONE DI CALCOLO	COMMESSA NRLJ	LOTTO 01 D 29	CODIFICA CL	DOCUMENTO IV0104 001	REV. B

9 COMBINAZIONI DEI CARICHI

I casi di carico elementari precedentemente analizzati sono combinati tra loro al fine di ottenere le sollecitazioni di progetto relative agli elementi strutturali di volta in volta considerati. Ai fini delle verifiche degli stati limite si definiscono le seguenti combinazioni delle azioni:

- Combinazione fondamentale, impiegata per gli stati limite ultimi (S.L.U.):

$$\gamma_{G1} \cdot G_1 + \gamma_{G2} \cdot G_2 + \gamma_P \cdot P + \gamma_{Q1} \cdot Q_{k1} + \gamma_{Q2} \cdot \psi_{02} \cdot Q_{k2} + \gamma_{Q3} \cdot \psi_{03} \cdot Q_{k3} + \dots$$
- Combinazione caratteristica (rara), generalmente impiegata per gli stati limite di esercizio (S.L.E.) irreversibili:

$$G_1 + G_2 + P + Q_{k1} + \psi_{02} \cdot Q_{k2} + \psi_{03} \cdot Q_{k3} + \dots$$
- Combinazione frequente, generalmente impiegata per gli stati limite di esercizio (S.L.E.) reversibili:

$$G_1 + G_2 + P + \psi_{11} \cdot Q_{k1} + \psi_{22} \cdot Q_{k2} + \psi_{23} \cdot Q_{k3} + \dots$$
- Combinazione quasi permanente, generalmente impiegata per gli effetti a lungo termine (S.L.E.):

$$G_1 + G_2 + P + \psi_{21} \cdot Q_{k1} + \psi_{22} \cdot Q_{k2} + \psi_{23} \cdot Q_{k3} + \dots$$
- Combinazione sismica, impiegata per gli stati limite ultimi e di esercizio connessi all'azione sismica E (S.L.V.):

$$E + G_1 + G_2 + P + \psi_{21} \cdot Q_{k1} + \psi_{22} \cdot Q_{k2} + \dots$$
- Combinazione eccezionale, impiegata per gli stati limite ultimi connessi alle azioni eccezionali di progetto Ad:

$$G_1 + G_2 + P + A_d + \psi_{21} \cdot Q_{k1} + \psi_{22} \cdot Q_{k2} + \dots$$

Dove:

G = Azioni Permanenti;

Q = Azioni Variabili;

P = Azioni di Precompressione;

E = Valore di Progetto dell'Azionazione Sismica;

A_d = Azione eccezionale di progetto;

9.1 Verifiche allo stato limite ultimo

La verifica di sicurezza agli stati limite ultimi è stata condotta controllando che risultasse, per ciascuna sollecitazione considerata:

$$R_d \geq E_d$$

in cui R_d rappresentano le resistenze di calcolo e E_d le sollecitazioni di calcolo nei vari elementi strutturali valutate per le azioni di calcolo F_d ottenute combinando le azioni caratteristiche nella forma

$$F_d = \sum_{j=1}^m \gamma_{Gj} \cdot G_{kj} + \gamma_{Q1} \cdot Q_{k1} + \sum_{i=2}^n \psi_{0i} \cdot \gamma_{Qki} \cdot Q_{ki} \quad : \text{combinazione statica}$$

$$F_d = E + G_k + \sum_i \psi_{2i} \cdot Q_{ki} \quad : \text{combinazione sismica}$$

in cui si sono indicati:

G_{kj}: valore caratteristico della j-esima azione permanente

Q_{k1}: valore caratteristico della azione variabile base per ogni combinazione

Q_{ki}: valore caratteristico della i-esima azione variabile

E: valore caratteristico dell'azione sismica

I valori γ e Ψ sono riportati nelle seguenti tabelle.

RELAZIONE DI CALCOLO

COMMESSA	LOTTO	CODIFICA	DOCUMENTO	REV.	FOGLIO
NRIJ	01 D 29	CL	IV0104 001	B	40 di 341

Azione	Simbolo	Coefficiente parziale
Permanente sfavorevole	γ_G	1.35
Permanente favorevole		1.0
Variabile sfavorevole	γ_Q	1.5
Variabile favorevole		0.0

Tabella 1: coefficienti parziali relativi alle azioni per la verifica agli SLU combinazione A1

Azione	Simbolo	Coefficiente parziale
Permanente sfavorevole	γ_G	1.0
Permanente favorevole		1.0
Variabile veicolare sfavorevole veicolare	γ_Q	1.35
Variabile veicolare favorevole		0.0

Tabella 2: coefficienti parziali relativi alle azioni per la verifica agli SLU combinazione A2

Le azioni di cui ai paragrafi precedenti sono combinate tra loro, al fine di ottenere le sollecitazioni di progetto relative agli elementi strutturali di volta in volta considerati in base a quanto prescritto dalle N.T.C nei § 2.5.3 e §5.1.3.12.

Tabella 5.1.IV – Valori caratteristici delle azioni dovute al traffico

Gruppo di azioni	Carichi sulla carreggiata				Carichi su marciapiedi e piste ciclabili	
	Carichi verticali			Carichi orizzontali		Carichi verticali
	Modello principale (Schema di carico 1, 2, 3, 4, 6)	Veicoli speciali	Folla (Schema di carico 5)	Frenatura q_3	Forza centrifuga q_4	Carico uniformemente distribuito
1	Valore caratteristico					Schema di carico 5 con valore di combinazione 2,5 kN/m ²
2 a	Valore frequente			Valore caratteristico		
2 b	Valore frequente				Valore caratteristico	
3 ^(*)						Schema di carico 5 con valore caratteristico 5,0 kN/m ²
4 ^(**)			Schema di carico 5 con valore caratteristico 5,0 kN/m ²			Schema di carico 5 con valore caratteristico 5,0 kN/m ²
5 ^(***)	Da definirsi per il singolo progetto	Valore caratteristico o nominale				

^(*) Ponti di 3^a categoria
^(**) Da considerare solo se richiesto dal particolare progetto (ad es. ponti in zona urbana)
^(***) Da considerare solo se si considerano veicoli speciali

RELAZIONE DI CALCOLO

COMMESSA	LOTTO	CODIFICA	DOCUMENTO	REV.	FOGLIO
NRIJ	01 D 29	CL	IV0104 001	B	41 di 341

Tabella 5.1.V – Coefficienti parziali di sicurezza per le combinazioni di carico agli SLU

		Coefficiente	EQU ⁽¹⁾	A1 STR	A2 GEO
Carichi permanenti	favorevoli	γ_{G1}	0,90	1,00	1,00
	sfavorevoli		1,10	1,35	1,00
Carichi permanenti non strutturali ⁽²⁾	favorevoli	γ_{G2}	0,00	0,00	0,00
	sfavorevoli		1,50	1,50	1,30
Carichi variabili da traffico	favorevoli	γ_Q	0,00	0,00	0,00
	sfavorevoli		1,35	1,35	1,15
Carichi variabili	favorevoli	γ_{Gs}	0,00	0,00	0,00
	sfavorevoli		1,50	1,50	1,30
Distorsioni e presollecitazioni di progetto	favorevoli	γ_{e1}	0,90	1,00	1,00
	sfavorevoli		1,00 ⁽³⁾	1,00 ⁽⁴⁾	1,00
Ritiro e viscosità, Variazioni termiche, Cedimenti vincolari	favorevoli	$\gamma_{c2}, \gamma_{c3}, \gamma_{c4}$	0,00	0,00	0,00
	sfavorevoli		1,20	1,20	1,00

⁽¹⁾ Equilibrio che non coinvolga i parametri di deformabilità e resistenza del terreno; altrimenti si applicano i valori di GEO.
⁽²⁾ Nel caso in cui i carichi permanenti non strutturali (ad es. carichi permanenti portati) siano compiutamente definiti si potranno adottare gli stessi coefficienti validi per le azioni permanenti.
⁽³⁾ 1,30 per instabilità in strutture con precompressione esterna
⁽⁴⁾ 1,20 per effetti locali

Tabella 5.1.VI - Coefficienti ψ per le azioni variabili per ponti stradali e pedonali

Azioni	Gruppo di azioni (Tabella 5.1.IV)	Coefficiente ψ_0 di combinazione	Coefficiente ψ_1 (valori frequenti)	Coefficiente ψ_2 (valori quasi permanenti)
Azioni da traffico (Tabella 5.1.IV)	Schema 1 (Carichi tandem)	0,75	0,75	0,0
	Schemi 1, 5 e 6 (Carichi distribuiti)	0,40	0,40	0,0
	Schemi 3 e 4 (carichi concentrati)	0,40	0,40	0,0
	Schema 2	0,0	0,75	0,0
	2	0,0	0,0	0,0
	3	0,0	0,0	0,0
	4 (folla)	----	0,75	0,0
Vento q_5	Vento a ponte scarico SLU e SLE	0,6	0,2	0,0
	Esecuzione	0,8	----	0,0
	Vento a ponte carico	0,6		
Neve q_5	SLU e SLE	0,0	0,0	0,0
	esecuzione	0,8	0,6	0,5
Temperatura	T_k	0,6	0,6	0,5

 <p>ITALFERR GRUPPO FERROVIE DELLO STATO ITALIANE</p>	<p>RADDOPPIO CESANO VIGNA DI VALLE PROGETTO DEFINITIVO</p>					
<p>RELAZIONE DI CALCOLO</p>	<p>COMMESSA NR1J</p>	<p>LOTTO 01 D 29</p>	<p>CODIFICA CL</p>	<p>DOCUMENTO IV0104 001</p>	<p>REV. B</p>	<p>FOGLIO 42 di 341</p>

9.2 Verifiche in esercizio

Al fine di verificare la funzionalità della struttura in condizioni d'esercizio, sono state condotte le verifiche agli SLE previste dalle NTC 2018. In particolare sono stati effettuati i seguenti controlli:

- Verifica delle tensioni in esercizio
- Verifica a fessurazione

9.2.1 Verifica delle tensioni

La verifica tensionale in esercizio è stata effettuata controllando che le tensioni di lavoro dei materiali risultassero inferiori alle tensioni massime consentite per ciascuna delle seguenti combinazioni di carico:

Combinazioni frequenti

$$F_d = G_1 + G_2 + \psi_{11} \cdot Q_{k1} + \sum_{i=2}^n \psi_{2i} \cdot Q_{ki}$$

Combinazioni quasi permanenti

$$F_d = G_1 + G_2 + \sum_{i=1}^n \psi_{2i} \cdot Q_{ki}$$

in cui si sono indicati:

G_{kj}	valore caratteristico della j-esima azione permanente
Q_{k1}	valore caratteristico della azione variabile base per ogni combinazione
Q_{ki}	valore caratteristico della i-esima azione variabile

Per i valori dei coefficienti Ψ_{11} e Ψ_{22} si rimanda al paragrafo 9

9.2.2 Verifica a fessurazione

Per tutte le strutture in cemento armato normale e precompresso, le verifiche a fessurazione saranno eseguite adottando i criteri definiti al p.to 4.1.2.2.4.5 del DM 17.01.2018.

10 RISULTATI DELLE ANALISI

Si riportano di seguito una sintesi dei risultati delle analisi espressi in forma di diagrammi delle sollecitazioni lungo gli elementi per gli involucri allo stato limite ultimo. Si sottolinea che per l'azione sismica, relativamente al dimensionamento delle sovrastrutture, il fattore di struttura considerato è pari ad uno. Le sollecitazioni per le verifiche sono state estratte dal modello mediante *section cuts* effettuate nelle opportune posizioni.

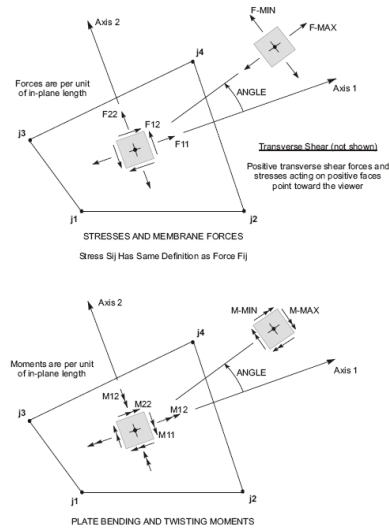


Fig. 38 – Convenzioni per elementi shell SAP2000

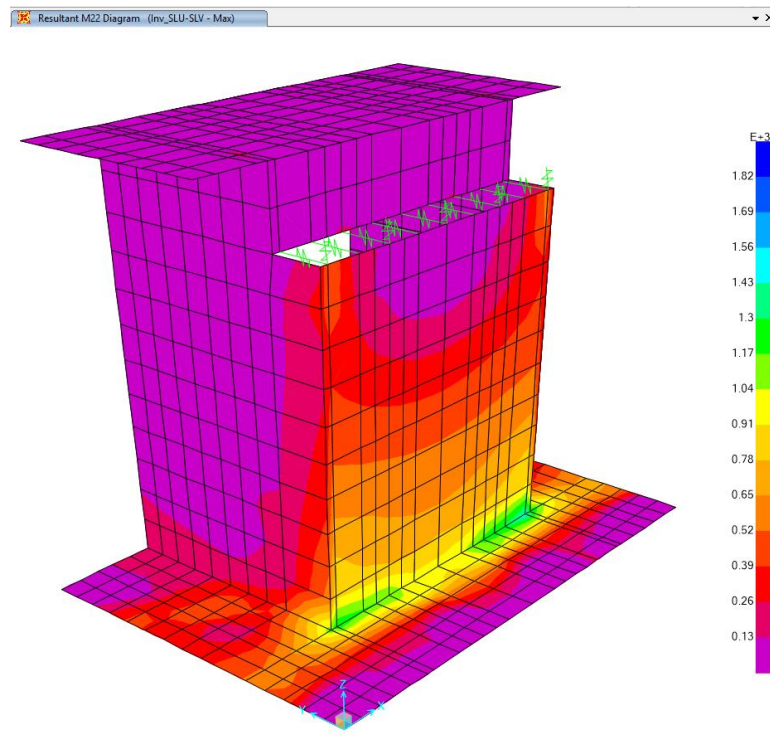


Fig. 39 – Modello 3D – sollecitazioni M22 dell'involucro Inv SLU-SLV_Max

RELAZIONE DI CALCOLO

COMMESSA	LOTTO	CODIFICA	DOCUMENTO	REV.	FOGLIO
NRIJ	01 D 29	CL	IV0104 001	B	44 di 341

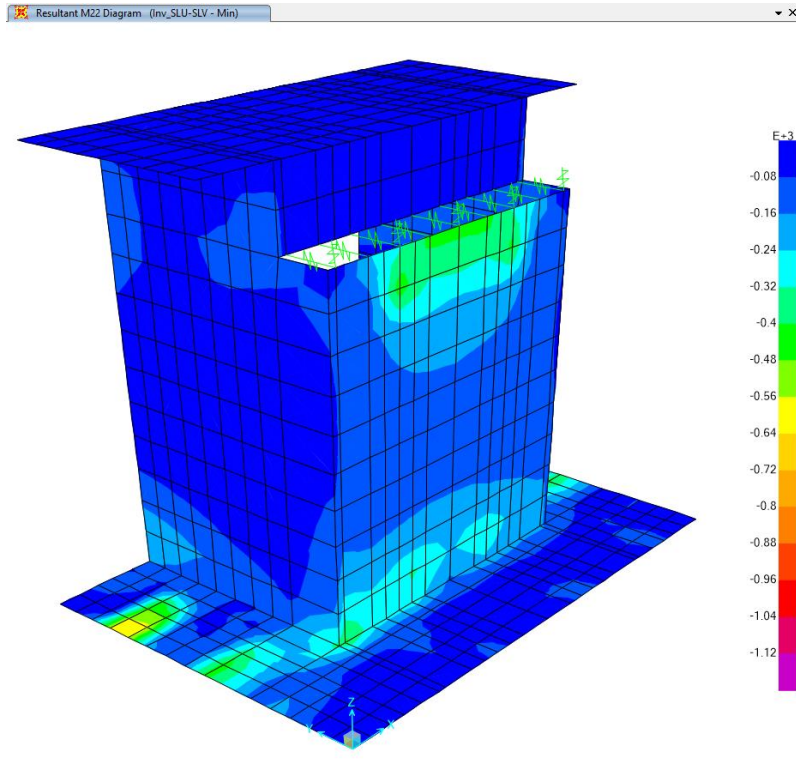


Fig. 40 - Modello 3D – sollecitazioni M22 dell'involuppo Inv SLU-SLV_Min

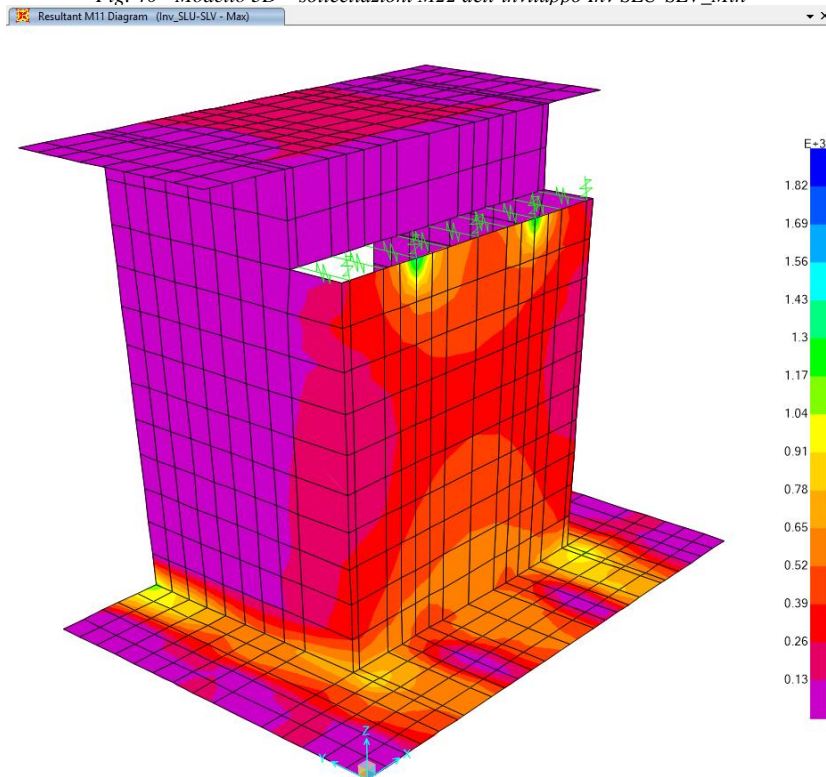


Fig. 41 - Modello 3D – sollecitazioni M11 dell'involuppo Inv SLU-SLV_Min

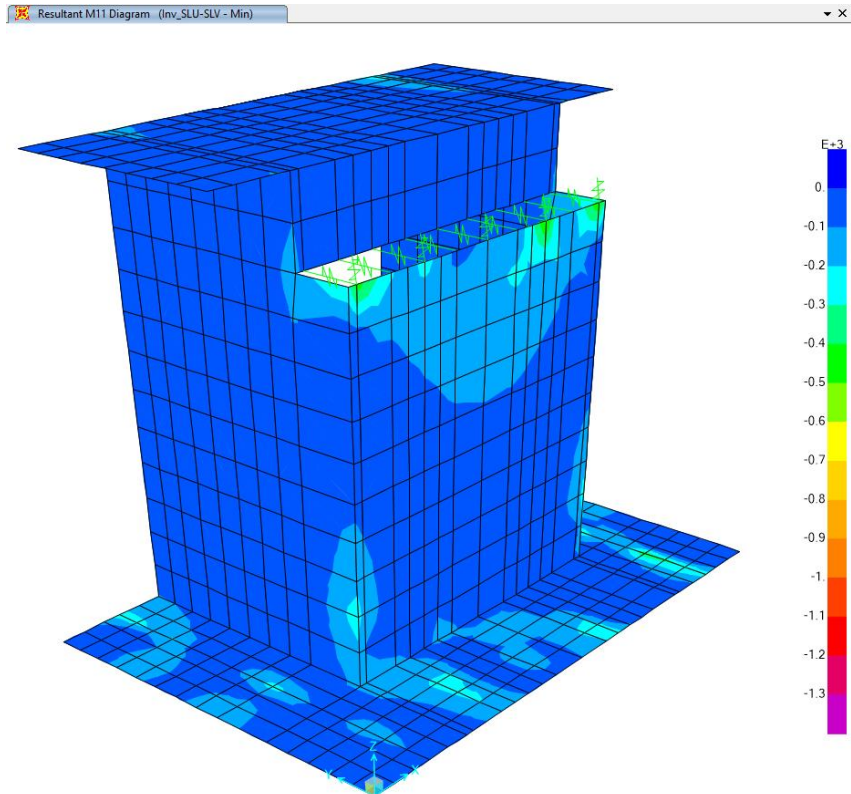


Fig. 42 – Modello 3D – sollecitazioni M11 dell'involuppo Inv SLU-SLV_Min

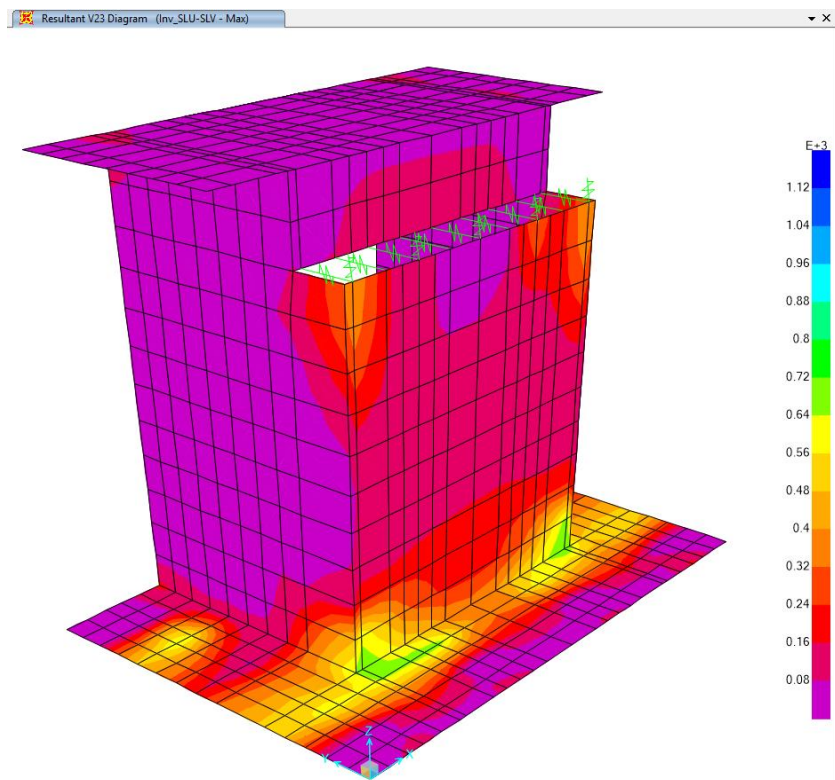


Fig. 43 – Modello 3D – sollecitazioni V23 dell'involuppo Inv SLU-SLV_Min

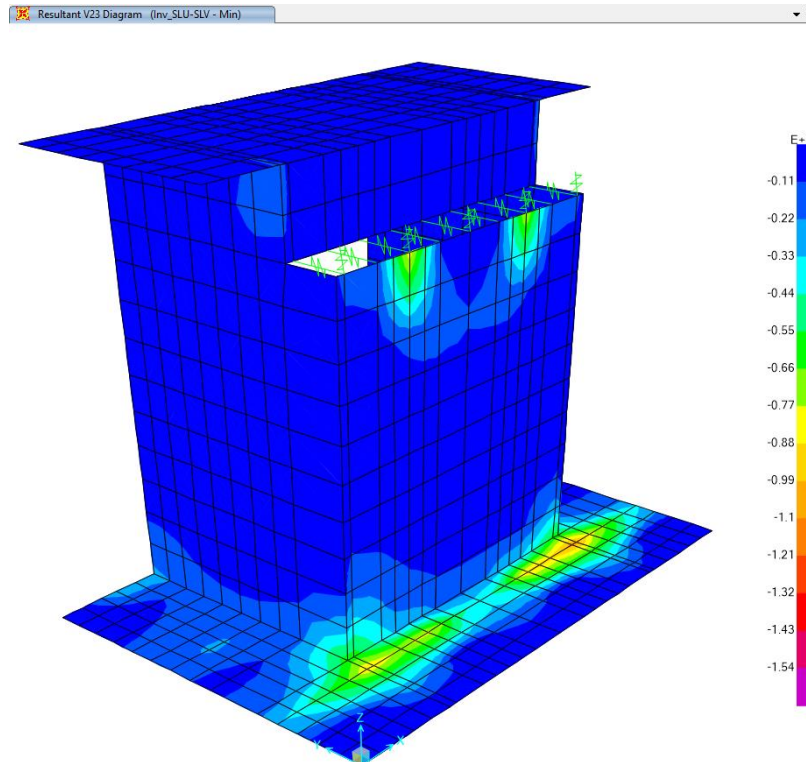


Fig. 44 – Modello 3D – sollecitazioni V23 dell'involuppo Inv SLU-SLV_Min

10.1 Verifiche strutturali e geotecniche

Si riportano nel presente paragrafo le verifiche relative ai seguenti elementi strutturali. Il dimensionamento è stato eseguito nel rispetto delle limitazioni sui quantitativi di armatura riportati nel § 4.1.6 e 7.4.6 del DM Infrastrutture 17 gennaio 2018 e in relazione alle sollecitazioni agenti nella sezione in esame.

- Muro frontale:
 - sezione in mezzera alla quota di spiccato fondazione
 - sezione di incastro con muro centrale a due quote differenti

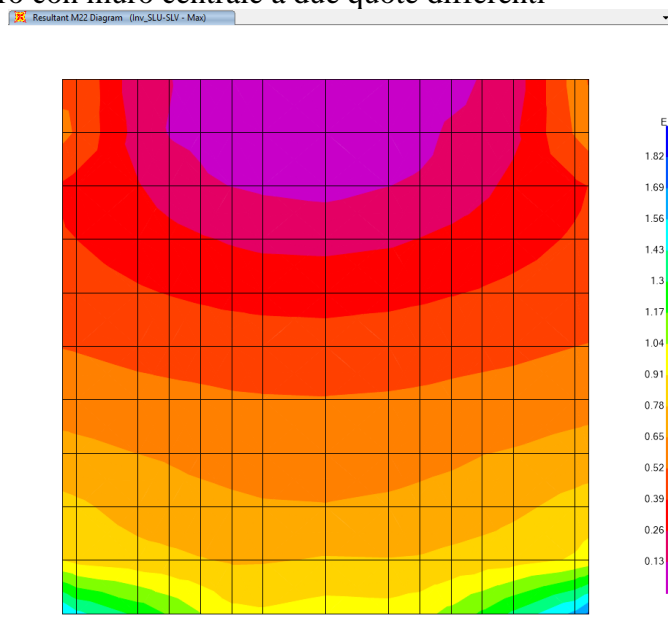


Fig. 45 – Sollecitazioni M22 muro frontale – Inv SLU-SLV

RELAZIONE DI CALCOLO

COMMESSA	LOTTO	CODIFICA	DOCUMENTO	REV.	FOGLIO
NRIJ	01 D 29	CL	IV0104 001	B	47 di 341

Resultant M11 Diagram (Inv_SLU-SLV - Max)

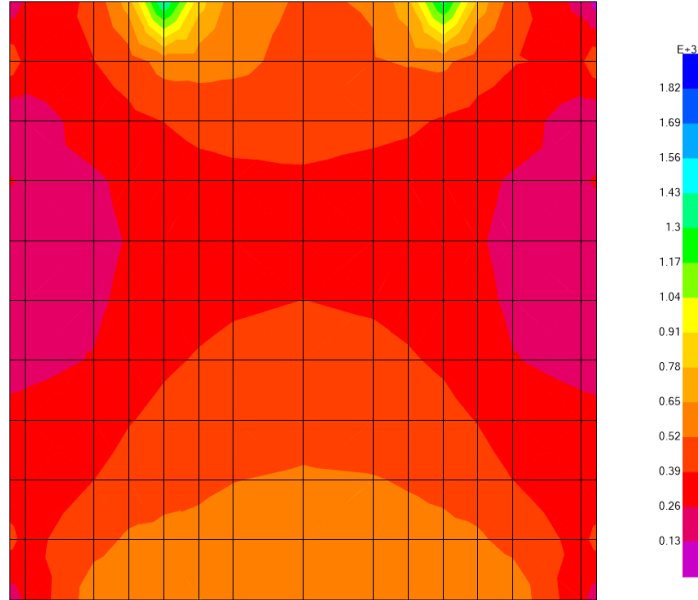


Fig. 46 - Sollecitazioni M11 muro frontale – Inv SLU-SLV

Resultant V13 Diagram (Inv_SLU-SLV - Max)

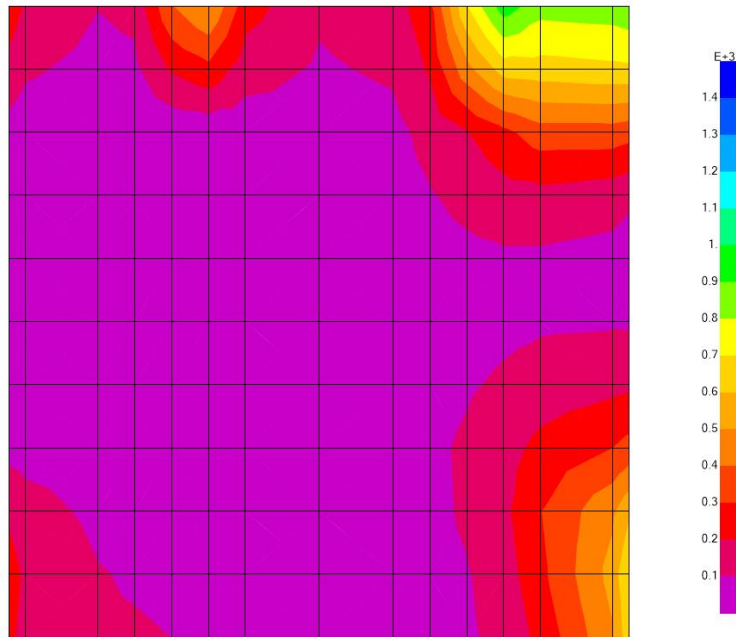


Fig. 47 - Sollecitazioni V13 muro frontale – Inv SLU-SLV

Resultant V23 Diagram (Inv_SLU-SLV - Max)

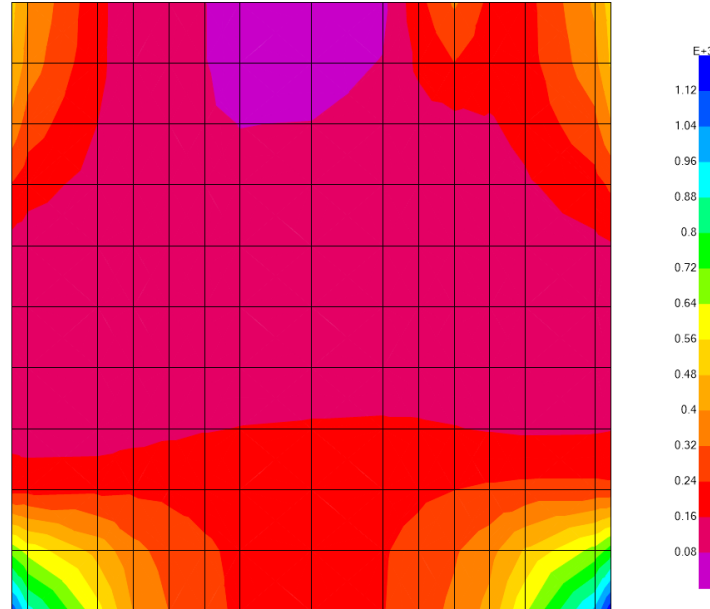


Fig. 48 - Sollecitazioni V23 muro frontale – Inv SLU-SLV

- Muro andatore:
 - sezione di estremità (lato scotolari) alla quota di spiccato fondazione
 - sezione di incastro muro frontale

Resultant M22 Diagram (Inv_SLU-SLV - Max)

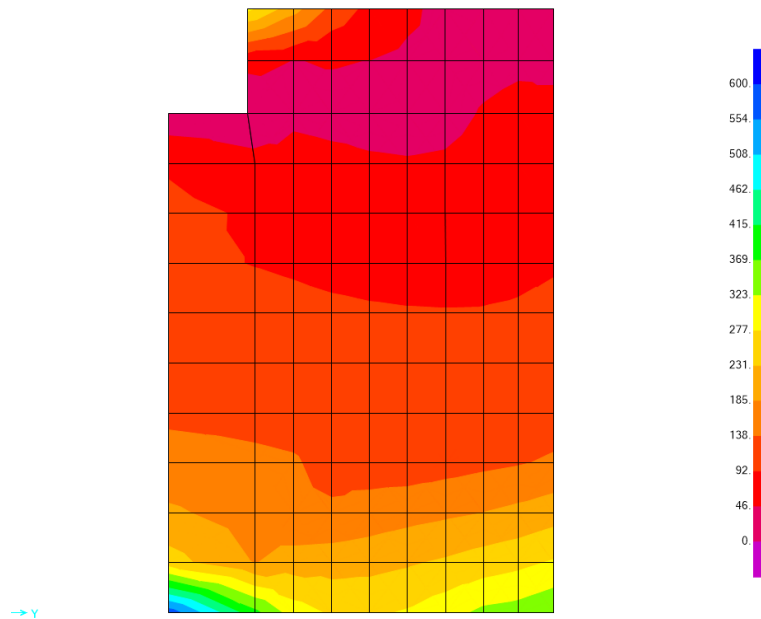


Fig. 49 – Sollecitazioni M22 muro andatore – Inv SLU-SLV

RELAZIONE DI CALCOLO

COMMESSA	LOTTO	CODIFICA	DOCUMENTO	REV.	FOGLIO
NRIJ	01 D 29	CL	IV0104 001	B	49 di 341

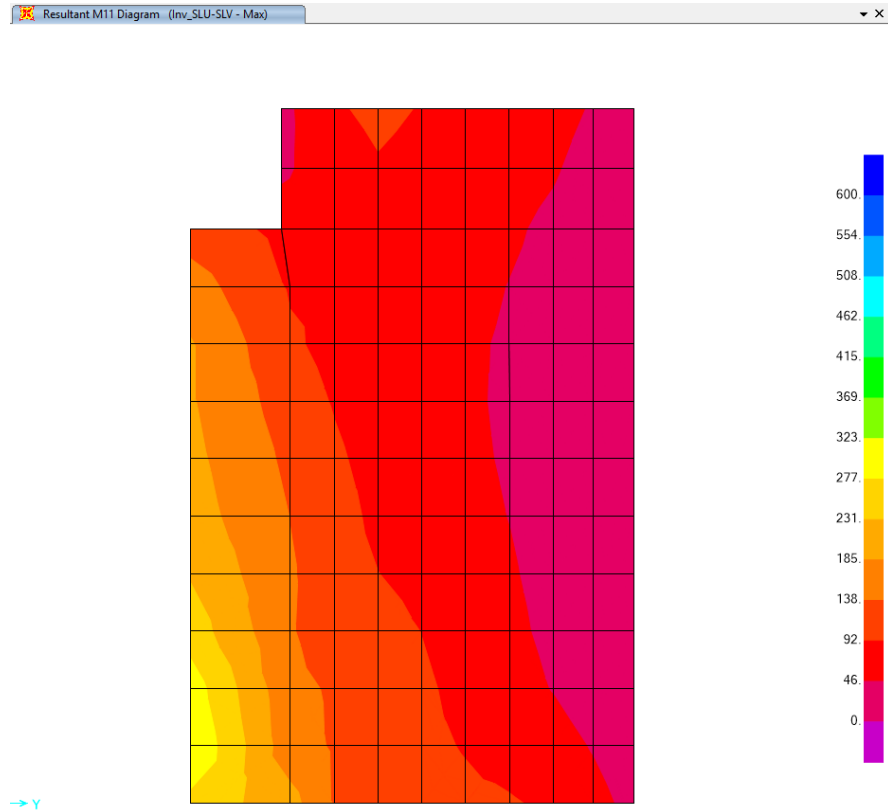


Fig. 50 – Sollecitazioni M11 muro andotare – Inv SLU-SLV

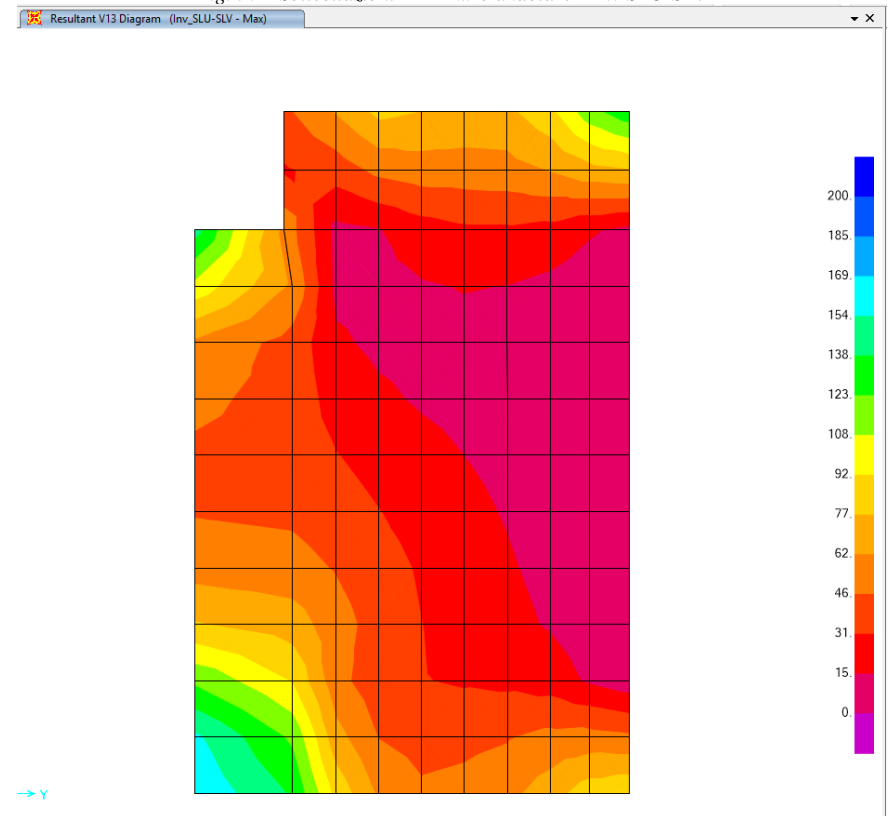


Fig. 51 - Sollecitazioni V13 muro andotare – Inv SLU-SLV

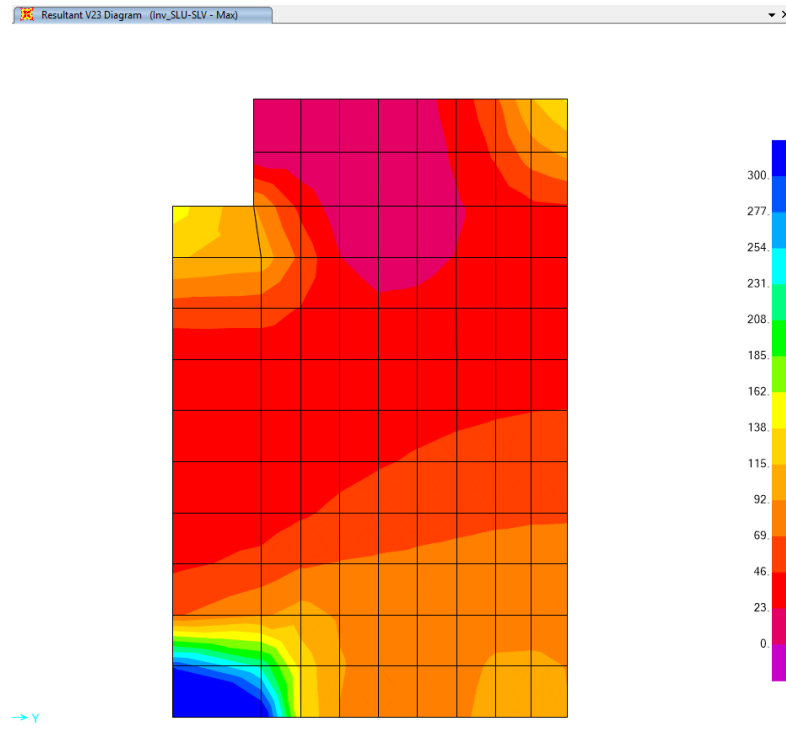


Fig. 52 - Sollecitazioni V23 muro andotare – Inv SLU-SLV

- Muro paraghiaia:
 - sezione di incastro con muro centrale

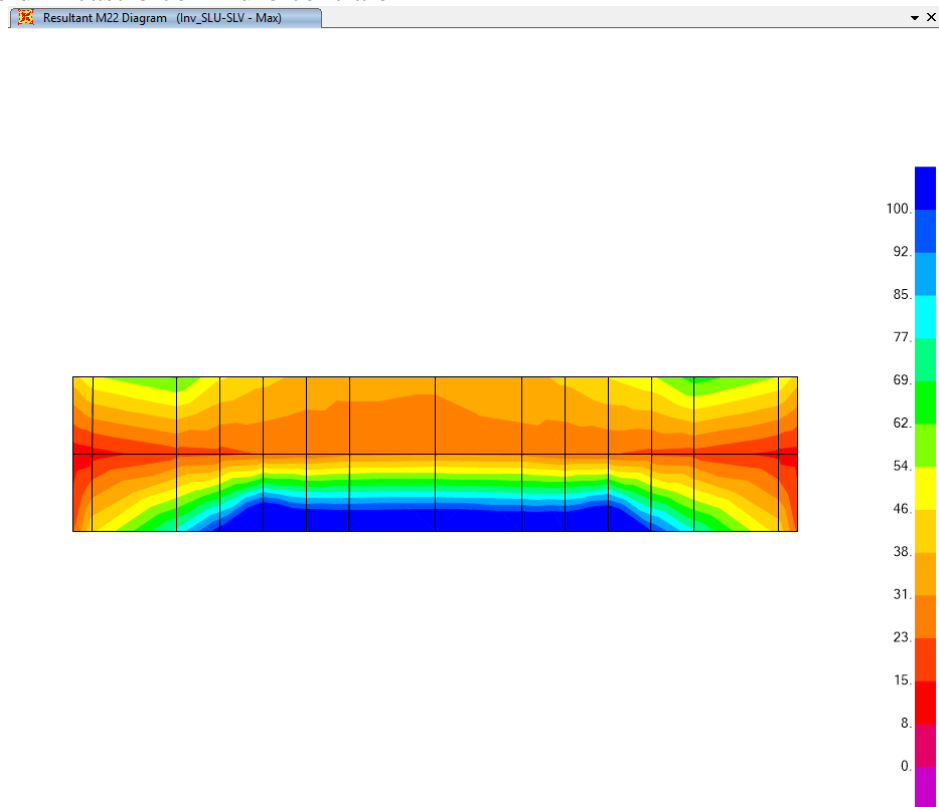


Fig. 53 – Sollecitazioni M22 muro paraghiaia – Inv SLU-SLV

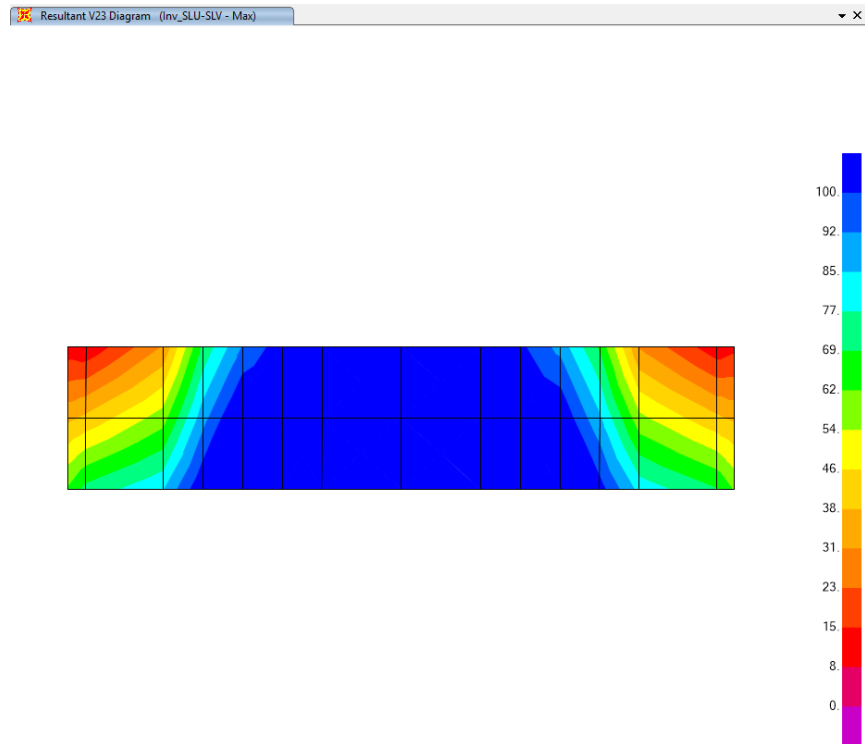


Fig. 54 - Sollecitazioni V23 muro paraghiaia – Inv SLU-SLV

- Platea di fondazione:
 - sezione longitudinale in prossimità dell'incastro con muro andatore
 - sezione trasversale in prossimità dell'incastro con muro frontale

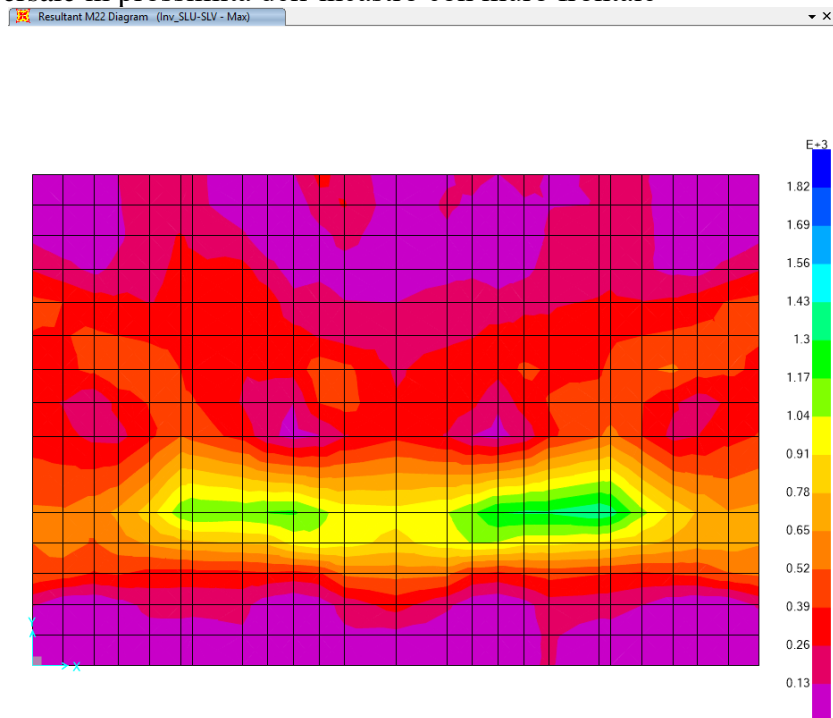


Fig. 55 – Sollecitazioni M22 soletta fondazione – Inv SLU-SLV

Resultant M11 Diagram (Inv_SLU-SLV - Max)

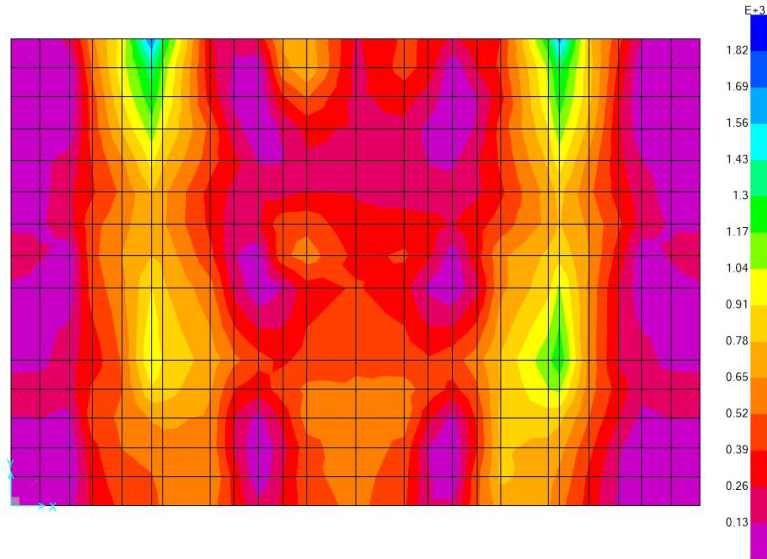


Fig. 56 – Sollecitazioni M11 soleta fondazione – Inv SLU-SLV

Resultant V13 Diagram (Inv_SLU-SLV - Max)

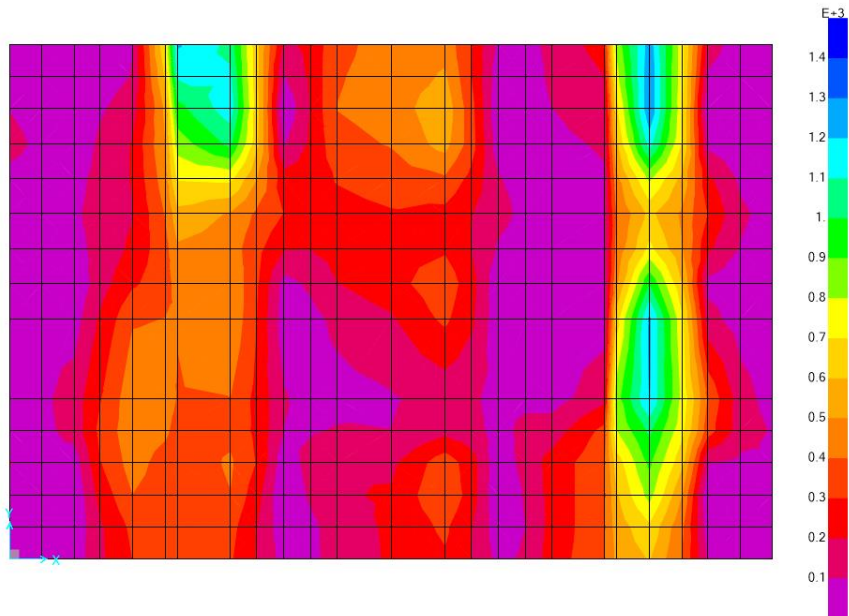


Fig. 57 - Sollecitazioni V13 soleta fondazione – Inv SLU-SLV

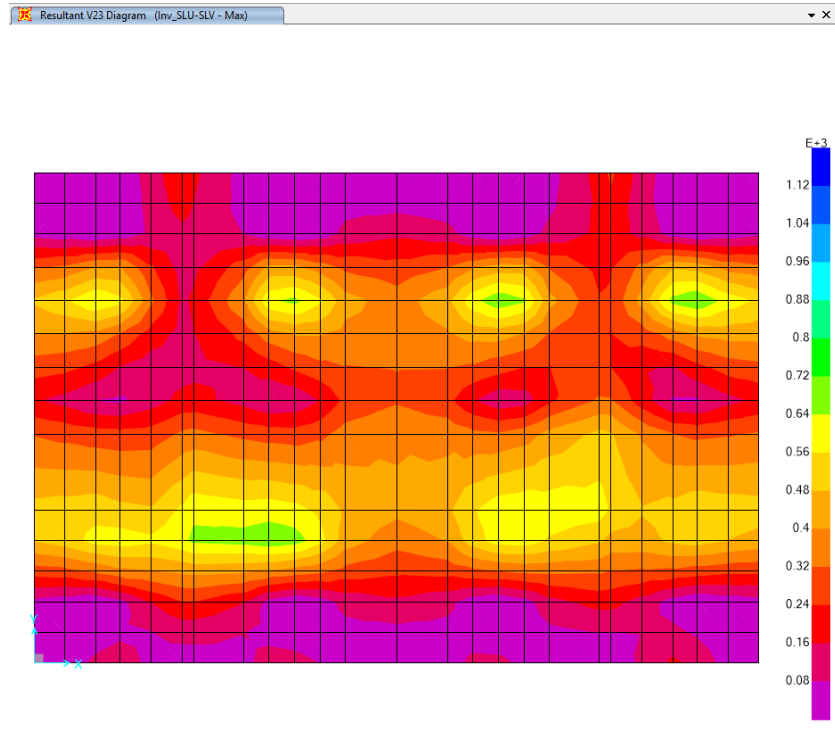


Fig. 58 - Sollecitazioni V23 soletta fondazione – Inv SLU-SLV

10.1.1 Muro frontale

10.1.1.1 Verifica a presso-flessione muro frontale

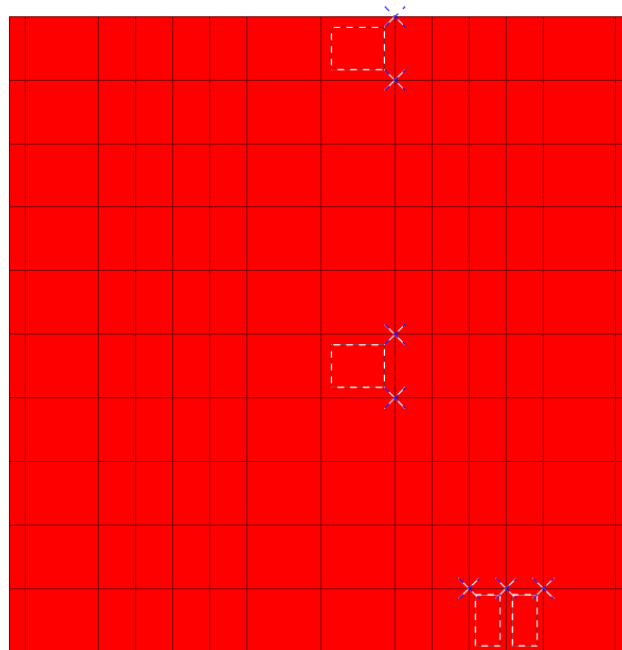


Fig. 59 – Section cuts muro frontale

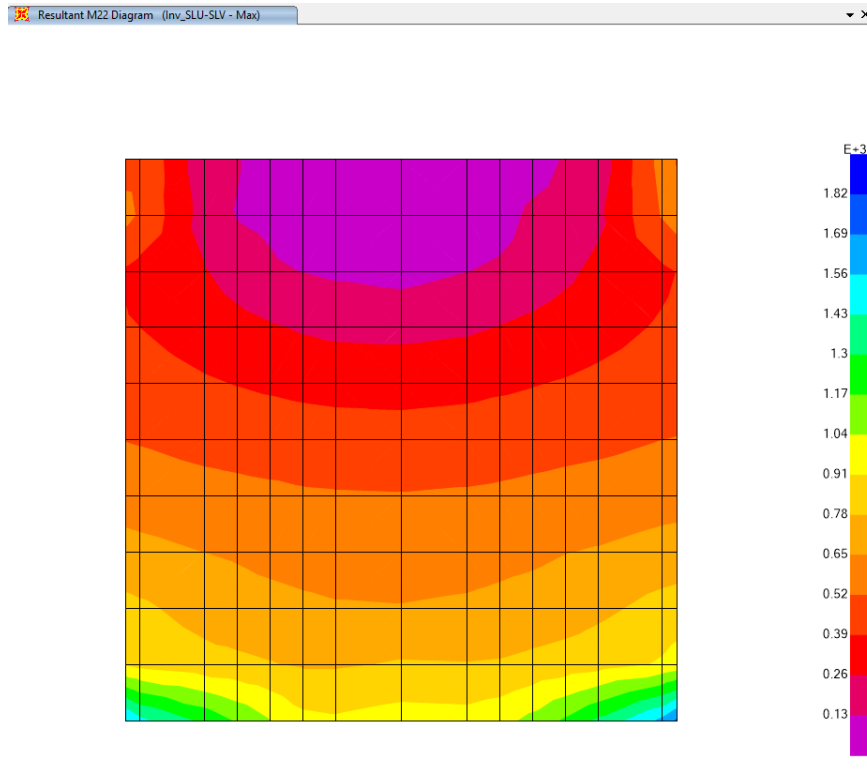
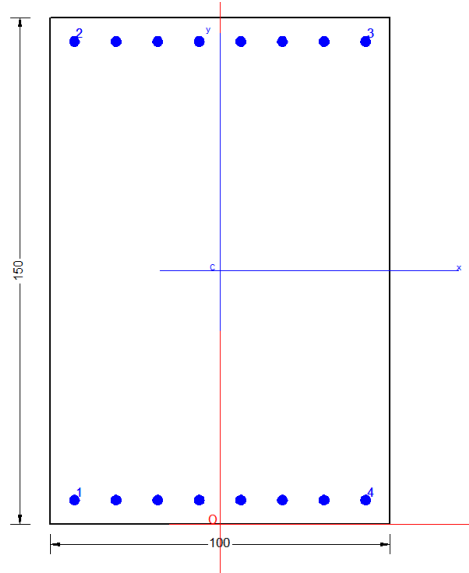


Fig. 60 – Sollecitazioni M22 muro frontale – Inv SLU-SLV

TABELLA: Sollecitazioni nel muro frontale			
P	M11	M22	
800	600	0,00	Min M11
-800	-200	0,00	Max M11
255	0,00	832	Min M22
-987	0,00	300	Max M22
Sollecitazioni SLE			
800	480	0,00	SLE crit. Min M11
-576	-130	0,00	SLE crit. Max M11
-320	0,00	700	SLE crit. Min M22
-900	0,00	-300	SLE crit. Max M22

- Sezione in mezzeria alla quota di spiccato platea di fondazione:

In direzione verticale è stata assunta un'armatura lato interno disposta su due strati $\Phi 30/15$, mentre per il lato esterno si è assunta una armatura $\Phi 30/15$ disposta su un unico strato.



GENERAL DATA OF GENERIC RC CROSS-SECTION

Section Name: Muro_frontale_sp_f.secEC

(File path: S:\Projects\18005_0549D07_Cesano Vigna di Valle\Work\01 Cavalcaferrovia\IV01_km 29+500\SAP2000 Model Abutment\Excel\IRC-SEC_rev1\Muro_frontale_sp_f.secEC)

Section description:
 Section type: Beam
 Reference code: EC2/EC8 Italian Annex
 Exposure Class: XC4 - Carbonation (cyclic wet and dry)
 Stress path: Constant axial force force to achieve bending ULS
 Reference of assigned forces: Principal axes y,y of inertia

MATERIALS DATA

CONCRETE -	Class:	C32/40
	Design compressive strength fcd:	18.1 MPa
	Shear reduced compressive strength $v1*fcd$:	9.1 MPa (6.9)EC2
	Strain at max strength ec2:	0.0020
	Ultimate strain ecu:	0.0035
	Compression diagram stress-strain:	Parabola-Rectangle
	Mean Elastic Modulus Ecm:	33345.8 MPa
	Mean tensile strength fctm:	3.0 MPa
	Es/Ec in SLS combination:	15.00
	Stress limit in SLS Characteristic comb.:	19.2 kN/cm?
STEEL -	Longitudinal Bars and Stirrups:	B450C
	Characteristic yield stress fyk:	450.00 MPa
	Tensile strength ftk:	540.0 MPa
	Design yield stress fyd:	391.3 MPa
	Design strength ftd:	391.3 MPa
	Design ultimate strain esu:	0.068
	Mean elastic modulus Es:	200000.0 MPa
	SLS Charact. - Ss Limit:	360.00 MPa

GEOMETRICAL DATA OF CONCRETE CROSS-SECTION

RELAZIONE DI CALCOLO

COMMESSA	LOTTO	CODIFICA	DOCUMENTO	REV.	FOGLIO
NRIJ	01 D 29	CL	IV0104 001	B	56 di 341

Shape of Region: Polygonal
Concrete Class: C32/40

Vertex N.:	X [cm]	Y [cm]
1	-50.0	0.0
2	-50.0	150.0
3	50.0	150.0
4	50.0	0.0

DATA ISOLATED LONGITUDINAL BARS

Bar N.	X [cm]	Y [cm]	Diam \varnothing [mm]
1	-42.9	7.1	30
2	-42.9	142.9	30
3	42.9	142.9	30
4	42.9	7.1	30

DATA OF LINEAR GENERATIONS OF LONGITUDINAL BARS

N. Gen. Number of generated bars of the current linear generation
N.Initial Bar Order number of initial bar (between the isolated bars just defined)
N.Final Bar Order number of final bar (between the isolated bars just defined)
N. Bars Number of bars generated equidistant in the current generation
 \varnothing Diameter [mm] of generated bars

Gen.N.	Initial Bar	Final Bar	N. Bars	\varnothing
1	1	4	6	30
2	2	3	6	30

ULTIMATE LIMIT STATE - ASSIGNED DESIGN FORCES FOR EACH COMBINATION

N d Design axial force [kN] applied at centroid of concrete section (+ if compressive)
Mx d Design bending force [kNm] around x principal axis of inertia
My d Design bending force [kNm] around y principal axis of inertia
Vy d Design shear component [kN] parallel to y principal axis of inertia
Vx d Design shear component [kN] parallel to x principal axis of inertia

Comb.N.	N d	Mx d	My d	Vy d	Vx d
1	-800.00	600.00	0.00	0.00	0.00
2	800.00	-200.00	0.00	0.00	0.00

SERVICEABILITY LIMIT STATES - CHARACTERISTIC COMB. - ASSIGNED INTERNAL FORCES FOR EACH COMBINATION

N Axial force [kN] applied at the centroid of concrete section (+ if compressive)
Mx Bending force [kNm] around x principal axis of inertia. First cracking value is shown between brackets.
My Bending force [kNm] around y principal axis of inertia. First cracking value is shown between brackets.

Comb.N.	N	Mx	My
1	-800.00	480.00	0.00
2	576.00	-130.00	0.00

CHECKS RESULTS

Checks OK for all assigned combinations

Min edge cover of longitudinal bars: 5.6 cm
Min distance between longitudinal bars: 9.3 cm

RELAZIONE DI CALCOLO

COMMESSA	LOTTO	CODIFICA	DOCUMENTO	REV.	FOGLIO
NRIJ	01 D 29	CL	IV0104 001	B	57 di 341

ULTIMATE LIMIT STATES - N-MX-MY CAPACITY CHECKS

Check	Result of check
N	Design axial force [kN] applied at the centroid of concrete section (+ if compressive)
Mx	Design bending moment [kNm] around x axis principal of inerzia
My	Design bending moment [kNm] around y axis principal of inerzia
N ult	Axial force capacity [kN] (+ if compressive)
Mx ult	Bending moment capacity [kNm] around x axis principal of inertia
My ult	Bending moment capacity [kNm] around y axis principal of inertia
S.F.	Safety Factor = vectorial ratio of (N ult,Mx ult,My ult) to (N,Mx,My). Check OK if ratio >=1.00
As Tension	Area [cm ²] of bars in tension (beam section). Min area for code is shown between brackets [eq.(9.1N) EC2]

Comb.N.	Check	N	Mx	My	N ult	Mx ult	My ult	S.F.	As Tension
1	OK	-800.00	600.00	0.00	-800.26	2505.56	0.00	4.176	56.5(25.0)
2	OK	800.00	-200.00	0.00	799.91	-3588.86	0.00	17.944	56.5(0.0)

ULTIMATE LIMIT STATE - BENDING AND AXIAL FORCE - STRAIN VALUES

ec max	Ultimate compressive strain in concrete
ec*	Strain in the concrete fiber at ec2/ecu of depth (if ec*>0 then the section is all compressed)
Xc max	X-coordinate [cm] in the concrete point in wich is ec max
Yc max	Y-coordinate [cm] in the concrete point in wich is ec max
es max	Max strain in steel bars (+ if compressive)
Xs max	X-coordinate [cm] of bar in wich is es max
Ys max	Y-coordinate [cm] of bar in wich is es max
es min	Min strain in steel bars (+ if compressive)
Xs min	X-coordinate [cm] of bar in wich is es min
Ys min	Y-coordinate [cm] of bar in wich is es min

Comb.N.	ec max	ec*	Xc max	Yc max	es max	Xs max	Ys max	es min	Xs min	Ys min
1	0.00350	-0.02588	-50.0	150.0	0.00026	-42.9	142.9	-0.06181	-42.9	7.1
2	0.00350	-0.01698	-50.0	0.0	0.00124	-42.9	7.1	-0.04203	-42.9	142.9

BENDING COMBINATION N. 1 : ULTIMATE STRESS AND STRAIN

Concrete vertices:

N.Vertex	Assigned numbers to concrete vertices
Reg.	Number of concrete region to which it relates the vertices
Xc, Yc	X-coordinate, Y-coordinate [cm] of vertices in the reference X,Y,O
Sc	Stress [Mpa] in each vertex (+ if compressive)
ec	Strain in each vertex

Vert.N.	Reg.	Xc	Yc	Sc	ec
1	1	-50.00	0.00	0.00	-0.0650538
2	1	-50.00	150.00	18.13	0.0035000
3	1	50.00	150.00	18.13	0.0035000
4	1	50.00	0.00	0.00	-0.0650538

Longitudinal Bars:

Bar N.	Order numbers assigned to the bars
Xs, Ys	X-coordinate, Y-coordinate [cm] of single bar in the reference X,Y,O
Ss	Stress [Mpa] in each bar (+ if compressive)
es	Strain in each bar

Bar N.	Xs	Ys	Ss	es
1	-42.90	7.10	-391.30	-0.0618089
2	-42.90	142.90	51.02	0.0002551
3	42.90	142.90	51.02	0.0002551
4	42.90	7.10	-391.30	-0.0618089
5	-30.64	7.10	-391.30	-0.0618089
6	-18.39	7.10	-391.30	-0.0618089
7	-6.13	7.10	-391.30	-0.0618089
8	6.13	7.10	-391.30	-0.0618089
9	18.39	7.10	-391.30	-0.0618089

RELAZIONE DI CALCOLO

COMMESSA	LOTTO	CODIFICA	DOCUMENTO	REV.	FOGLIO
NRIJ	01 D 29	CL	IV0104 001	B	58 di 341

10	30.64	7.10	-391.30	-0.0618089
11	-30.64	142.90	51.02	0.0002551
12	-18.39	142.90	51.02	0.0002551
13	-6.13	142.90	51.02	0.0002551
14	6.13	142.90	51.02	0.0002551
15	18.39	142.90	51.02	0.0002551
16	30.64	142.90	51.02	0.0002551

BENDING COMBINATION N. 2 : ULTIMATE STRESS AND STRAIN

Concrete vertices:

Vert.N.	Reg.	Xc	Yc	Sc	e c
1	1	-50.00	0.00	18.13	0.0035000
2	1	-50.00	150.00	0.00	-0.0442969
3	1	50.00	150.00	0.00	-0.0442969
4	1	50.00	0.00	18.13	0.0035000

Longitudinal Bars:

Bar N.	Xs	Ys	Ss	e s
1	-42.90	7.10	247.52	0.0012376
2	-42.90	142.90	-391.30	-0.0420345
3	42.90	142.90	-391.30	-0.0420345
4	42.90	7.10	247.52	0.0012376
5	-30.64	7.10	247.52	0.0012376
6	-18.39	7.10	247.52	0.0012376
7	-6.13	7.10	247.52	0.0012376
8	6.13	7.10	247.52	0.0012376
9	18.39	7.10	247.52	0.0012376
10	30.64	7.10	247.52	0.0012376
11	-30.64	142.90	-391.30	-0.0420345
12	-18.39	142.90	-391.30	-0.0420345
13	-6.13	142.90	-391.30	-0.0420345
14	6.13	142.90	-391.30	-0.0420345
15	18.39	142.90	-391.30	-0.0420345
16	30.64	142.90	-391.30	-0.0420345

ULTIMATE LIMIT STATE - POSITION OF NEUTRAL AXIS FOR EACH COMBINATION

a, b, c Coeff. a, b, c in neutral axis equation: $aX+bY+c=0$ reference X,Y,O
x/d Ratio of the depth of neutral axis to the effective depth of the section
D Ratio of redistributed moment to the elastic moment in continuous beams [eq.(5.10)EC2]

Comb.N.	a	b	c	x/d	D
1	0.000000000	0.000457025	-0.065053759	0.054	0.700
2	0.000000000	-0.000318646	0.003500000	0.077	0.700

SLS CHARACTERISTIC COMBINATIONS - STRESS LIMITATION [§ 7.2 EC2]

Tension in concrete: Not considered in any case
Check Result of Check
Reg Number of current concrete sub-region of the cross section
Sc max (Sc lim) Max compressive stress (+) in concrete [Mpa]. Code limit stress Sc lim is shown between brackets
Xc max, Yc max X-coordinate, Y-coordinate [cm] of concrete vertex corresponding to Sc max (reference X,Y,O)
Ss min (Ss lim) Min stress (- if tensile) in steel bars [Mpa], Code limit stress is shown between brackets
Xs min, Ys min X-coordinate, Y-coordinate [cm] of bar corresponding to Ss min (reference X,Y,O)
Ac eff Effective tension area [cm²] that is the area of concrete surrounding the tension reinforcement (for crack width control)
As eff Area of tension steel bars [cm²] within Ac eff (for crack width control)
r eff Geometrical ratio Ac eff / Ac eff [eq.(7.10) Ec2]

NComb	Reg	Check	Sc max	Xc max	Yc max	Ss min	Xs min	Ys min	Ac eff	As eff	r eff
1	1	OK	0.0	50.0	150.0	-133.2 (360.0)	-30.6	7.1	5556	113.1	0.020
2	1	OK	0.62 (19.2)	50.0	0.0	1.5 (360.0)	42.9	----	2347	----	----

SLS CHARACTERISTIC - CRACK WIDTH [§ 7.3.4 EC2]

RELAZIONE DI CALCOLO

COMMESSA	LOTTO	CODIFICA	DOCUMENTO	REV.	FOGLIO
NRLJ	01 D 29	CL	IV0104 001	B	59 di 341

Check	Section is assumed always cracked even if flexural tensile stress does not exceeds f_{ctm}
e1	Result of check
e2	Greater concrete tensile strain (tension is -) assessed in cracked section
k1	Lesser concrete tensile strain within the entire section (tension is -) assessed in cracked section
kt	= 0.8 high bond bars assigned [see eq.(7.11) EC2]
k2	= 0.6 for frequent and characteristic SLS; = 0.4 for q.perm SLS [see eq.(7.9) EC2]
k3	= 0.5 for bending; $=(e1 + e2)/(2 \cdot e1)$ for eccentric tension [see eq.(7.13) EC2]
k4	= 3.400 Coeff. in eq. (7.11) according to national annex
Ш	= 0.425 Coeff. in eq. (7.11) according to national annex
e sm - e cm	Bar diameter [mm] or equivalent diameter of tensile bars in A_c eff [eq.(7.11)]
sr max	Difference between the mean strain of tensile steel and concrete [eq.(7.8)]
wk	Between brackets: Minimum value of eq.(7.9) = $0.6 S_{max} / E_s$
MX crack	Max final crack [mm] spacing
MY crack	Calculated value [mm] of crack width = $sr \max \cdot (e \text{ sm} - e \text{ cm})$ [eq.(7.8)]. Limit value of wk is shown between brackets
	First cracking bending moment around X axis [kNm]
	First cracking bending moment around Y axis [kNm]

Comb.N.	Check	e1	e2	k2	Ш	e sm - e cm	sr max	wk	Mx crack	My crack
1	OK	-0.00070	-0.00001	0.506	30.0	0.00040 (0.00040)	444	0.177	980.27	0.00
2	OK	-0.00035	0	----	----	----	----	----	-302.01	0.00

SLS - CHARACTERISTIC COMBINATION N. 1 : RELEVANT STRESS AND STRAIN

N.Vertex	Assigned numbers to concrete vertices
Reg.	Number of concrete region to which it relates the vertices
Xc, Yc	X-coordinate, Y-coordinate [cm] of vertices in the reference X,Y,O
Sc	Stress [Mpa] in each vertex (+ if compressive)
e c	Strain in each vertex

Concrete region:

N.Vertex	Reg.	Xc	Yc	Sc	e c
1	1	-50.0	0.0	0.000	-0.0006989
2	1	-50.0	150.0	0.000	-0.0000085
3	1	50.0	150.0	0.000	-0.0000085
4	1	50.0	0.0	0.000	-0.0006989

Longitudinal bars:

N. Bar	Assigned numbers to each bar
Xs, Ys	X-coordinate, Y-coordinate [cm] of each bar in the reference X,Y,O
Ss	Stress [Mpa] in each bar (+ if compressive)
e s	Strain in each bar

N. Bar	Xs	Ys	Ss	e s
1	-42.9	7.1	-133.24	-0.0006662
2	-42.9	142.9	-8.23	-0.0000411
3	42.9	142.9	-8.23	-0.0000411
4	42.9	7.1	-133.24	-0.0006662
5	-30.6	7.1	-133.24	-0.0006662
6	-18.4	7.1	-133.24	-0.0006662
7	-6.1	7.1	-133.24	-0.0006662
8	6.1	7.1	-133.24	-0.0006662
9	18.4	7.1	-133.24	-0.0006662
10	30.6	7.1	-133.24	-0.0006662
11	-30.6	142.9	-8.23	-0.0000411
12	-18.4	142.9	-8.23	-0.0000411
13	-6.1	142.9	-8.23	-0.0000411
14	6.1	142.9	-8.23	-0.0000411
15	18.4	142.9	-8.23	-0.0000411
16	30.6	142.9	-8.23	-0.0000411

SLS - CHARACTERISTIC COMBINATION N. 2 : RELEVANT STRESS AND STRAIN

Concrete region:

N.Vertex	Reg.	Xc	Yc	Sc	e c
1	1	-50.0	0.0	0.616	0.0000462

RELAZIONE DI CALCOLO

COMMESSA	LOTTO	CODIFICA	DOCUMENTO	REV.	FOGLIO
NRIJ	01 D 29	CL	IV0104 001	B	60 di 341

2	1	-50.0	150.0	0.074	0.0000055
3	1	50.0	150.0	0.074	0.0000055
4	1	50.0	0.0	0.616	0.0000462

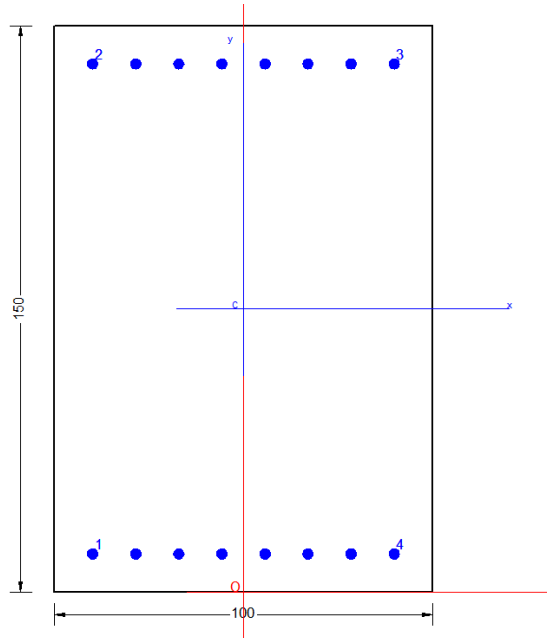
Longitudinal bars:

N. Bar	Xs	Ys	Ss	e s
1	-42.9	7.1	8.86	0.0000443
2	-42.9	142.9	1.49	0.0000075
3	42.9	142.9	1.49	0.0000075
4	42.9	7.1	8.86	0.0000443
5	-30.6	7.1	8.86	0.0000443
6	-18.4	7.1	8.86	0.0000443
7	-6.1	7.1	8.86	0.0000443
8	6.1	7.1	8.86	0.0000443
9	18.4	7.1	8.86	0.0000443
10	30.6	7.1	8.86	0.0000443
11	-30.6	142.9	1.49	0.0000075
12	-18.4	142.9	1.49	0.0000075
13	-6.1	142.9	1.49	0.0000075
14	6.1	142.9	1.49	0.0000075
15	18.4	142.9	1.49	0.0000075
16	30.6	142.9	1.49	0.0000075

RELAZIONE DI CALCOLO

COMMESSA	LOTTO	CODIFICA	DOCUMENTO	REV.	FOGLIO
NRIJ	01 D 29	CL	IV0104 001	B	61 di 341

- Sezione di incastro muro andotare



GENERAL DATA OF GENERIC RC CROSS-SECTION

Section Name: Muro_frontale_sp_m.secEC

(File path: S:\Projects\18005_0549D07_Cesano Vigna di Valle\Work\01 Cavalcaferrovia\IV01_km 29+500\SAP2000 Model Abutment\Excel\IRC-SEC_rev1\Muro_frontale_sp_m.secEC)

Section description:	
Section type:	Beam
Reference code:	EC2/EC8 Italian Annex
Exposure Class:	XC4 - Carbonation (cyclic wet and dry)
Stress path:	Constant axial force force to achieve bending ULS
Reference of assigned forces:	Principal axes y,y of inertia

MATERIALS DATA

CONCRETE -	Class:	C32/40
	Design compressive strength fcd:	18.1 MPa
	Shear reduced compressive strenght $v1*fcd$:	9.1 MPa (6.9)EC2
	Strain at max strength ec2:	0.0020
	Ultimate strain ecu:	0.0035
	Compression diagram stress-strain:	Parabola-Rectangle
	Mean Elastic Modulus Ecm:	33345.8 MPa
	Mean tensile strength fctm:	3.0 MPa
	Es/Ec in SLS combination:	15.00
	Stress limit in SLS Characteristic comb.:	19.2 kN/cm?
STEEL -	Longitudinal Bars and Stirrups:	B450C
	Characteristic yield stress fyk:	450.00 MPa
	Tensile strength ftk:	540.0 MPa
	Design yield stress fyd:	391.3 MPa
	Design strength ftd:	391.3 MPa
	Design ultimate strain esu:	0.068
	Mean elastic modulus Es:	200000.0 MPa
	SLS Charact. - Ss Limit:	360.00 MPa

GEOMETRICAL DATA OF CONCRETE CROSS-SECTION

Shape of Region:	Polygonal
Concrete Class:	C32/40

RELAZIONE DI CALCOLO

COMMESSA	LOTTO	CODIFICA	DOCUMENTO	REV.	FOGLIO
NRIJ	01 D 29	CL	IV0104 001	B	62 di 341

Vertex N.:	X [cm]	Y [cm]
1	-50.0	0.0
2	-50.0	150.0
3	50.0	150.0
4	50.0	0.0

DATA ISOLATED LONGITUDINAL BARS

Bar N.	X [cm]	Y [cm]	Diam \varnothing [mm]
1	-39.9	10.1	28
2	-39.9	139.9	28
3	39.9	139.9	28
4	39.9	10.1	28

DATA OF LINEAR GENERATIONS OF LONGITUDINAL BARS

N. Gen.	Number of generated bars of the current linear generation
N.Initial Bar	Order number of initial bar (between the isolated bars just defined)
N.Final Bar	Order number of final bar (between the isolated bars just defined)
N. Bars	Number of bars generated equidistant in the current generation
\varnothing	Diameter [mm] of generated bars

Gen.N.	Initial Bar	Final Bar	N. Bars	\varnothing
1	1	4	6	28
2	2	3	6	28

ULTIMATE LIMIT STATE - ASSIGNED DESIGN FORCES FOR EACH COMBINATION

N d	Design axial force [kN] applied at centroid of concrete section (+ if compressive)
Mx d	Design bending force [kNm] around x principal axis of inertia
My d	Design bending force [kNm] around y principal axis of inertia
Vy d	Design shear component [kN] parallel to y principal axis of inertia
Vx d	Design shear component [kN] parallel to x principal axis of inertia

Comb.N.	N d	Mx d	My d	Vy d	Vx d
1	-255.00	832.00	0.00	0.00	0.00
2	987.00	-300.00	0.00	0.00	0.00

SERVICEABILITY LIMIT STATES - CHARACTERISTIC COMB. - ASSIGNED INTERNAL FORCES FOR EACH COMBINATION

N	Axial force [kN] applied at the centroid of concrete section (+ if compressive)
Mx	Bending force [kNm] around x principal axis of inertia. First cracking value is shown between brackets.
My	Bending force [kNm] around y principal axis of inertia. First cracking value is shown between brackets.

Comb.N.	N	Mx	My
1	320.00	700.00	0.00
2	900.00	-300.00	0.00

CHECKS RESULTS

Checks OK for all assigned combinations

Min edge cover of longitudinal bars:	8.7	cm
Min distance between longitudinal bars:	8.6	cm

ULTIMATE LIMIT STATES - N-MX-MY CAPACITY CHECKS

RELAZIONE DI CALCOLO

COMMESSA	LOTTO	CODIFICA	DOCUMENTO	REV.	FOGLIO
NRIJ	01 D 29	CL	IV0104 001	B	63 di 341

Check	Result of check
N	Design axial force [kN] applied at the centroid of concrete section (+ if compressive)
Mx	Design bending moment [kNm] around x axis principal of inerzia
My	Design bending moment [kNm] around y axis principal of inerzia
N ult	Axial force capacity [kN] (+ if compressive)
Mx ult	Bending moment capacity [kNm] around x axis principal of inertia
My ult	Bending moment capacity [kNm] around y axis principal of inertia
S.F.	Safety Factor = vectorial ratio of (N ult,Mx ult,My ult) to (N,Mx,My). Check OK if ratio >=1.00
As Tension	Area [cm ²] of bars in tension (beam section). Min area for code is shown between brackets [eq.(9.1N) EC2]

Comb.N.	Check	N	Mx	My	N ult	Mx ult	My ult	S.F.	As Tension
1	OK	-255.00	832.00	0.00	-255.04	2424.80	0.00	2.914	49.3(24.4)
2	OK	987.00	-300.00	0.00	986.83	-3230.96	0.00	10.770	49.3(0.0)

ULTIMATE LIMIT STATE - BENDING AND AXIAL FORCE - STRAIN VALUES

ec max	Ultimate compressive strain in concrete
ec*	Strain in the concrete fiber at ec2/ecu of depth (if ec*>0 then the section is all compressed)
Xc max	X-coordinate [cm] in the concrete point in wich is ec max
Yc max	Y-coordinate [cm] in the concrete point in wich is ec max
es max	Max strain in steel bars (+ if compressive)
Xs max	X-coordinate [cm] of bar in wich is es max
Ys max	Y-coordinate [cm] of bar in wich is es max
es min	Min strain in steel bars (+ if compressive)
Xs min	X-coordinate [cm] of bar in wich is es min
Ys min	Y-coordinate [cm] of bar in wich is es min

Comb.N.	ec max	ec*	Xc max	Yc max	es max	Xs max	Ys max	es min	Xs min	Ys min
1	0.00350	-0.01793	-50.0	150.0	0.00013	-39.9	139.9	-0.04314	-39.9	10.1
2	0.00350	-0.01293	-50.0	0.0	0.00092	-39.9	10.1	-0.03226	-39.9	139.9

BENDING COMBINATION N. 1 : ULTIMATE STRESS AND STRAIN

Concrete vertices:

N.Vertex	Assigned numbers to concrete vertices
Reg.	Number of concrete region to which it relates the vertices
Xc, Yc	X-coordinate, Y-coordinate [cm] of vertices in the reference X,Y,O
Sc	Stress [Mpa] in each vertex (+ if compressive)
e c	Strain in each vertex

Vert.N.	Reg.	Xc	Yc	Sc	e c
1	1	-50.00	0.00	0.00	-0.0465082
2	1	-50.00	150.00	18.13	0.0035000
3	1	50.00	150.00	18.13	0.0035000
4	1	50.00	0.00	0.00	-0.0465082

Longitudinal Bars:

Bar N.	Order numbers assigned to the bars
Xs, Ys	X-coordinate, Y-coordinate [cm] of single bar in the reference X,Y,O
Ss	Stress [Mpa] in each bar (+ if compressive)
e s	Strain in each bar

Bar N.	Xs	Ys	Ss	e s
1	-39.90	10.10	-391.30	-0.0431410
2	-39.90	139.90	26.56	0.0001328
3	39.90	139.90	26.56	0.0001328
4	39.90	10.10	-391.30	-0.0431410
5	-28.50	10.10	-391.30	-0.0431410
6	-17.10	10.10	-391.30	-0.0431410
7	-5.70	10.10	-391.30	-0.0431410
8	5.70	10.10	-391.30	-0.0431410
9	17.10	10.10	-391.30	-0.0431410
10	28.50	10.10	-391.30	-0.0431410
11	-28.50	139.90	26.56	0.0001328

RELAZIONE DI CALCOLO

COMMESSA	LOTTO	CODIFICA	DOCUMENTO	REV.	FOGLIO
NRLJ	01 D 29	CL	IV0104 001	B	64 di 341

12	-17.10	139.90	26.56	0.0001328
13	-5.70	139.90	26.56	0.0001328
14	5.70	139.90	26.56	0.0001328
15	17.10	139.90	26.56	0.0001328
16	28.50	139.90	26.56	0.0001328

BENDING COMBINATION N. 2 : ULTIMATE STRESS AND STRAIN

Concrete vertices:

Vert.N.	Reg.	Xc	Yc	Sc	e c
1	1	-50.00	0.00	18.13	0.0035000
2	1	-50.00	150.00	0.00	-0.0348412
3	1	50.00	150.00	0.00	-0.0348412
4	1	50.00	0.00	18.13	0.0035000

Longitudinal Bars:

Bar N.	Xs	Ys	Ss	e s
1	-39.90	10.10	183.67	0.0009184
2	-39.90	139.90	-391.30	-0.0322596
3	39.90	139.90	-391.30	-0.0322596
4	39.90	10.10	183.67	0.0009184
5	-28.50	10.10	183.67	0.0009184
6	-17.10	10.10	183.67	0.0009184
7	-5.70	10.10	183.67	0.0009184
8	5.70	10.10	183.67	0.0009184
9	17.10	10.10	183.67	0.0009184
10	28.50	10.10	183.67	0.0009184
11	-28.50	139.90	-391.30	-0.0322596
12	-17.10	139.90	-391.30	-0.0322596
13	-5.70	139.90	-391.30	-0.0322596
14	5.70	139.90	-391.30	-0.0322596
15	17.10	139.90	-391.30	-0.0322596
16	28.50	139.90	-391.30	-0.0322596

ULTIMATE LIMIT STATE - POSITION OF NEUTRAL AXIS FOR EACH COMBINATION

a, b, c Coeff. a, b, c in neutral axis equation: $aX+bY+c=0$ reference X,Y,O
x/d Ratio of the depth of neutral axis to the effective depth of the section
D Ratio of redistributed moment to the elastic moment in continuous beams [eq.(5.10)EC2]

Comb.N.	a	b	c	x/d	D
1	0.000000000	0.000333388	-0.046508175	0.075	0.700
2	0.000000000	-0.000255608	0.003500000	0.098	0.700

SLS CHARACTERISTIC COMBINATIONS - STRESS LIMITATION [§ 7.2 EC2]

Tension in concrete: Not considered in any case
Check Result of Check
Reg Number of current concrete sub-region of the cross section
Sc max (Sc lim) Max compressive stress (+) in concrete [Mpa]. Code limit stress Sc lim is shown between brackets
Xc max, Yc max X-coordinae, Y-coordinate [cm] of concrete vertex corresponding to Sc max (reference X,Y,O)
Ss min (Ss lim) Min stress (- if tensile) in steel bars [Mpa], Code limit stress is shown between brackets
Xs min, Ys min X-coordinae, Y-coordinate [cm] of bar corresponding to Ss min (reference X,Y,O)
Ac eff Effective tension area [cm²] that is the area of concrete surrounding the tension reinforcement (for crack width control)
As eff Area of tension steel bars [cm²] within Ac eff (for crack width control)
r eff Geometrical ratio Ac eff/As eff [eq.(7.10) Ec2]

NComb	Reg	Check	Sc max	Xc max	Yc max	Ss min	Xs min	Ys min	Ac eff	As eff	r eff
1	1	OK	2.56 (19.2)	50.0	150.0	-81.4 (360.0)	-39.9	10.1	2550	49.3	0.019
2	1	OK	1.21 (19.2)	50.0	0.0	-0.6 (360.0)	28.5	139.9	1000	49.3	0.049

SLS CHARACTERISTIC - CRACK WIDTH [§ 7.3.4 EC2]

Section is assumed always cracked even if flexural tensile stress does not exceeds f_{ctm}

RELAZIONE DI CALCOLO

COMMESSA	LOTTO	CODIFICA	DOCUMENTO	REV.	FOGLIO
NRLJ	01 D 29	CL	IV0104 001	B	65 di 341

Check	Result of check
e1	Greater concrete tensile strain (tension is -) assessed in cracked section
e2	Lesser concrete tensile strain within the entire section (tension is -) assessed in cracked section
k1	= 0.8 high bond bars assigned [see eq.(7.11) EC2]
kt	= 0.6 for frequent and characteristic SLS; = 0.4 for q.perm SLS [see eq.(7.9) EC2]
k2	= 0.5 for bending; $=(e1 + e2)/(2 \cdot e1)$ for eccentric tension [see eq.(7.13) EC2]
k3	= 3.400 Coeff. in eq. (7.11) according to national annex
k4	= 0.425 Coeff. in eq. (7.11) according to national annex
∅	Bar diameter [mm] or equivalent diameter of tensile bars in Ac eff [eq.(7.11)]
e sm - e cm	Difference between the mean strain of tensile steel and concrete [eq.(7.8)]
	Between brackets: Minimum value of eq.(7.9) = 0.6 Smax / Es
sr max	Max final crack [mm] spacing
wk	Calculated value [mm] of crack width = sr max*(e sm - e cm) [eq.(7.8)]. Limit value of wk is shown between brackets
MX crack	First cracking bending moment around X axis[kNm]
MY crack	First cracking bending moment around Y axis[kNm]

Comb.N.	Check	e1	e2	k2	∅	e sm - e cm	sr max	wk	Mx crack	My crack
1	OK	-0.00045	0	0.500	28.0	0.00024 (0.00024)	542	0.132	1586.46	0.00
2	OK	-0.00001	0	0.500	28.0	0.00000 (0.00000)	392	0.001	-8334.53	0.00

SLS - CHARACTERISTIC COMBINATION N. 1 : RELEVANT STRESS AND STRAIN

N.Vertex	Assigned numbers to concrete vertices
Reg.	Number of concrete region to which it relates the vertices
Xc, Yc	X-coordinate, Y-coordinate [cm] of vertices in the reference X,Y,O
Sc	Stress [Mpa] in each vertex (+ if compressive)
e c	Strain in each vertex

Concrete region:

N.Vertex	Reg.	Xc	Yc	Sc	e c
1	1	-50.0	0.0	0.000	-0.0004500
2	1	-50.0	150.0	2.560	0.0001920
3	1	50.0	150.0	2.560	0.0001920
4	1	50.0	0.0	0.000	-0.0004500

Longitudinal bars:

N. Bar	Assigned numbers to each bar
Xs, Ys	X-coordinate, Y-coordinate [cm] of each bar in the reference X,Y,O
Ss	Stress [Mpa] in each bar (+ if compressive)
e s	Strain in each bar

N. Bar	Xs	Ys	Ss	e s
1	-39.9	10.1	-81.36	-0.0004068
2	-39.9	139.9	29.75	0.0001488
3	39.9	139.9	29.75	0.0001488
4	39.9	10.1	-81.36	-0.0004068
5	-28.5	10.1	-81.36	-0.0004068
6	-17.1	10.1	-81.36	-0.0004068
7	-5.7	10.1	-81.36	-0.0004068
8	5.7	10.1	-81.36	-0.0004068
9	17.1	10.1	-81.36	-0.0004068
10	28.5	10.1	-81.36	-0.0004068
11	-28.5	139.9	29.75	0.0001488
12	-17.1	139.9	29.75	0.0001488
13	-5.7	139.9	29.75	0.0001488
14	5.7	139.9	29.75	0.0001488
15	17.1	139.9	29.75	0.0001488
16	28.5	139.9	29.75	0.0001488

SLS - CHARACTERISTIC COMBINATION N. 2 : RELEVANT STRESS AND STRAIN

Concrete region:

N.Vertex	Reg.	Xc	Yc	Sc	e c
1	1	-50.0	0.0	1.210	0.0000907
2	1	-50.0	150.0	0.000	-0.0000907
3	1	50.0	150.0	0.000	-0.0000907

RELAZIONE DI CALCOLO

COMMESSA	LOTTO	CODIFICA	DOCUMENTO	REV.	FOGLIO
NRIJ	01 D 29	CL	IV0104 001	B	66 di 341

4 1 50.0 0.0 1.210 0.0000907

Longitudinal bars:

N. Bar	Xs	Ys	Ss	e s
1	-39.9	10.1	16.80	0.0000840
2	-39.9	139.9	-0.58	-0.0000029
3	39.9	139.9	-0.58	-0.0000029
4	39.9	10.1	16.80	0.0000840
5	-28.5	10.1	16.80	0.0000840
6	-17.1	10.1	16.80	0.0000840
7	-5.7	10.1	16.80	0.0000840
8	5.7	10.1	16.80	0.0000840
9	17.1	10.1	16.80	0.0000840
10	28.5	10.1	16.80	0.0000840
11	-28.5	139.9	-0.58	-0.0000029
12	-17.1	139.9	-0.58	-0.0000029
13	-5.7	139.9	-0.58	-0.0000029
14	5.7	139.9	-0.58	-0.0000029
15	17.1	139.9	-0.58	-0.0000029
16	28.5	139.9	-0.58	-0.0000029

Le verifiche risultano soddisfatte adottando armatura $\Phi 30/15$ disposta sia su un lato esterno (verticale e orizzontale) e un lato interno (verticale e orizzontale).

10.1.1.2 Verifica a taglio muro frontale

Si verifica la sezione del muro frontale per il massimo taglio agente

VERIFICA A TAGLIO DELLA SEZIONE IN C.A. SECONDO D.M. 17/01/2018 § 4.1.2.3.5

• Caratteristiche della sezione

$b_w = 1000$ mm	larghezza	$f_{yk} = 450$ MPa	resist. caratteristica
$h = 1500$ mm	altezza	$\gamma_s = 1.15$	coeff. sicurezza
$c = 60$ mm	copriferro	$f_{yd} = 391.3$ MPa	resist. di calcolo
$f_{ck} = 32$ MPa	resist. caratteristica	Armatura longitudinale tesa:	
$\gamma_c = 1.50$	coeff. sicurezza	$A_{s1,1} = 8 \text{ } \emptyset 30$	$= 56.55 \text{ cm}^2$
$\alpha_{cc} = 0.85$	coeff. riduttivo	$A_{s1,2} = 0 \text{ } \emptyset 0$	$= 0.00 \text{ cm}^2$
$d = 1440$ mm	altezza utile	$A_{s1,3} = 0 \text{ } \emptyset 0$	$= 0.00 \text{ cm}^2$
$f_{cd} = 18.13$ MPa	resist. di calcolo		56.55 cm^2

• Sollecitazioni (compressione < 0, trazione > 0, taglio in valore assoluto)

$N_{ed} = 0.0$ kN $V_{ed} = 825.0$ kN

• Elementi senza armature trasversali resistenti a taglio

$k = 1 + (200/d)^{1/2} < 2$	$k = 1.373$	< 2
$v_{min} = 0.035 k^3 f_{ck}^{1/2}$	$v_{min} = 0.318$	
$\rho_1 = A_{sl}/(b_w \times d) < 0.02$	$\rho_1 = 0.004$	< 0.02
$\sigma_{cp} = N_{ed}/A_c < 0.2 f_{cd}$	$\sigma_{cp} = 0.00$ MPa	< 0.2 fcd

$$V_{Rd} = (0.18 \times k \times (100 \times \rho_1 \times f_{ck})^{1/3} / g_c + 0.15 \times \sigma_{cp}) \times b_w \times d > (v_{min} + 0.15 \times \sigma_{cp}) \times b_w \times d$$

$V_{Rd} = 551.5$ kN; (con $(v_{min} + 0.15 \times \sigma_{cp}) \times b_w \times d = 458.5$ kN)

$V_{Rd} = 551.5$ kN valore di calcolo

la sezione NON è verificata in assenza di armature per il taglio

• Elementi con armature trasversali resistenti a taglio

$\theta = 45.0$ ° inclinaz. bielle cls angolo ammissibile
 $\alpha = 90.0$ ° inclinaz. staffe

Armatura a taglio (staffatura):

A_{sw}/s staffe = $\emptyset 10$ mm con n° bracci (trasv) = 4 passo = 15 cm = 0.209 cm²/cm

$$V_{Rsd} = 0.90 \times d \times (A_{sw}/s) \times f_{yd} \times (\cot \alpha + \cot \theta) \times \sin \alpha$$

$V_{Rsd} = 1062.2$ kN

$f_{cd} = 9.07$ MPa resist. di calcolo ridotta
 $\alpha_c = 1.000$ coeff. maggiorativo

$$V_{Rcd} = 0.90 \times d \times b_w \times \alpha_c \times f_{cd} \times (\cot \alpha + \cot \theta) / (1 + \cot \theta^2 a)$$

$V_{Rcd} = 587.5$ kN

$V_{Rd} = \min(V_{Rcd}, V_{Rsd}) = 1062.2 > 825.0$ kN c.s. = 1.3

RELAZIONE DI CALCOLO

COMMESSA	LOTTO	CODIFICA	DOCUMENTO	REV.	FOGLIO
NRIJ	01 D 29	CL	IV0104 001	B	67 di 341

la sezione armata a taglio risulta verificata.

Le verifiche risulta soddisfatta adottando staffe $\Phi 10/15$ cm .

10.1.2 Muro andatore

10.1.2.1 Verifica a presso-flessione muro andatore

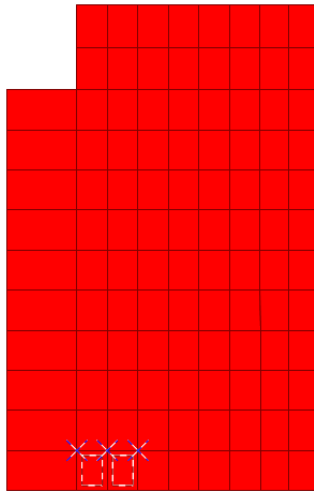


Fig. 61 – Section cuts muro andatore

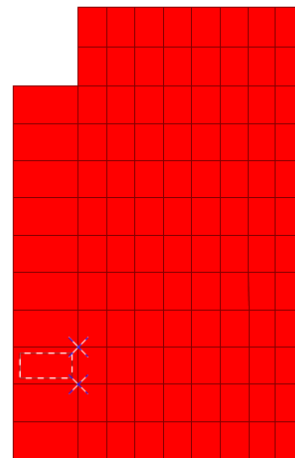


Fig. 62 – Section cuts muro andatore

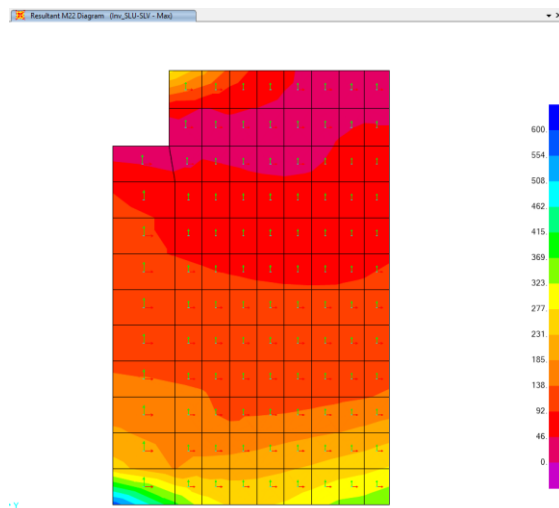


Fig. 63 – Sollecitazioni M22 muro andatore

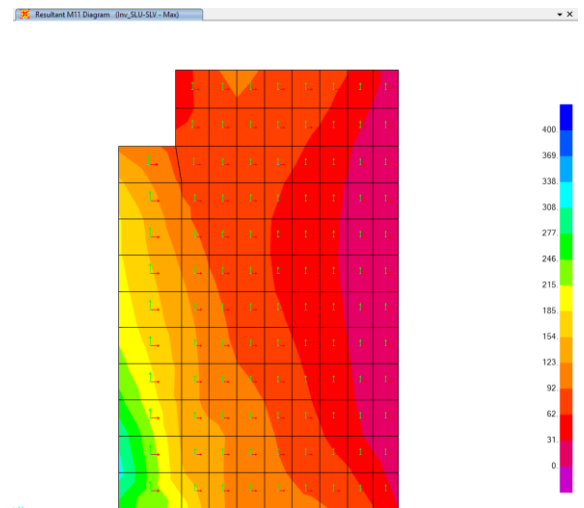


Fig. 64 – Sollecitazioni M11 muro andatore

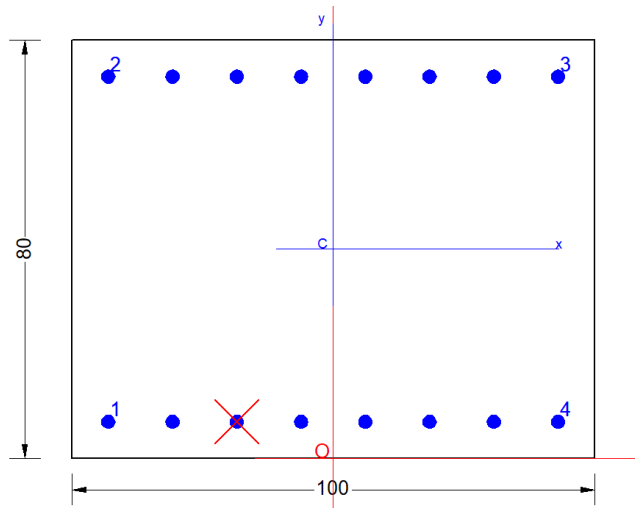
 ITALFERR GRUPPO FERROVIE DELLO STATO ITALIANE	RADDOPPIO CESANO VIGNA DI VALLE PROGETTO DEFINITIVO					
	RELAZIONE DI CALCOLO	COMMESSA NRIJ	LOTTO 01 D 29	CODIFICA CL	DOCUMENTO IV0104 001	REV. B

Sollecitazioni dimensionamenti:

TABELLA: Sollecitazioni nei muri andatori			
P	M11	M22	
500	270	0,00	Min M11
-630	-150	0,00	Max M11
60	0,00	290	Min M22
-380	0,00	-160	Max M22
Sollecitazioni SLE			
300	236	0,00	SLE crit. Min M11
-400	-160	0,00	SLE crit. Max M11
-370	0,00	300	SLE crit. Min M22
-280	0,00	-100	SLE crit. Max M22

- Sezione di estremità (lato scatolari) alla quota di spiccato fondazione

In direzione verticale è stata assunta internamente un'armatura longitudinale $\Phi 26/15$ per il lato interno ed esterno.



GENERAL DATA OF GENERIC RC CROSS-SECTION

Section Name: Muro_and_sp_f.secEC

(File path: S:\Projects\18005_0549D07_Cesano Vigna di Valle\Work\01 Cavalcaferrovia\IV01_km 29+50\ISAP2000 Model Abutment\Excell\IRC-SEC_rev1\Muro_and_sp_f.secEC)

Section description:

Section type:

Reference code:

Exposure Class:

Stress path:

Reference of assigned forces:

Beam

EC2/EC8 Italian Annex

XC4 - Carbonation (cyclic wet and dry)

Constant axial force force to achieve bending ULS

Principal axes y,y of inertia

MATERIALS DATA

RELAZIONE DI CALCOLO

COMMESSA	LOTTO	CODIFICA	DOCUMENTO	REV.	FOGLIO
NRIJ	01 D 29	CL	IV0104 001	B	69 di 341

CONCRETE -	Class:	C32/40
	Design compressive strength fcd:	18.1 MPa
	Shear reduced compressive strenght v1*fcd:	9.1 MPa (6.9)EC2
	Strain at max strength ec2:	0.0020
	Ultimate strain ecu:	0.0035
	Compression diagram stress-strain:	Parabola-Rettangle
	Mean Elastic Modulus Ecm:	33345.8 MPa
	Mean tensile strength fctm:	3.0 MPa
	Es/Ec in SLS combination:	15.00
	Stress limit in SLS Characteristic comb.:	19.2 kN/cm?
STEEL -	Longitudinal Bars and Stirrups:	B450C
	Characteristic yield stress fyk:	450.00 MPa
	Tensile strength ftk:	540.0 MPa
	Design yield stress fyd:	391.3 MPa
	Design strength ftd:	391.3 MPa
	Design ultimate strain esu:	0.068
	Mean elastic modulus Es:	200000.0 MPa
	SLS Charact. - Ss Limit:	360.00 MPa

GEOMETRICAL DATA OF CONCRETE CROSS-SECTION

Shape of Region: Polygonal
Concrete Class: C32/40

Vertex N.:	X [cm]	Y [cm]
1	-50.0	0.0
2	-50.0	80.0
3	50.0	80.0
4	50.0	0.0

DATA ISOLATED LONGITUDINAL BARS

Bar N.	X [cm]	Y [cm]	Diam \varnothing [mm]
1	-43.0	7.0	26
2	-43.0	73.0	26
3	43.0	73.0	26
4	43.0	7.0	26

DATA OF LINEAR GENERATIONS OF LONGITUDINAL BARS

N. Gen. Number of generated bars of the current linear generation
N.Initial Bar Order number of initial bar (between the isolated bars just defined)
N.Final Bar Order number of final bar (between the isolated bars just defined)
N. Bars Number of bars generated equidistant in the current generation
 \varnothing Diameter [mm] of generated bars

Gen.N.	Initial Bar	Final Bar	N. Bars	\varnothing
1	1	4	6	26
2	2	3	6	26

ULTIMATE LIMIT STATE - ASSIGNED DESIGN FORCES FOR EACH COMBINATION

N d Design axial force [kN] applied at centroid of concrete section (+ if compressive)
Mx d Design bending force [kNm] around x principal axis of inertia
My d Design bending force [kNm] around y principal axis of inertia
Vy d Design shear component [kN] parallel to y principal axis of inertia
Vx d Design shear component [kN] parallel to x principal axis of inertia

RELAZIONE DI CALCOLO

COMMESSA	LOTTO	CODIFICA	DOCUMENTO	REV.	FOGLIO
NRLJ	01 D 29	CL	IV0104 001	B	70 di 341

Comb.N.	N d	Mx d	My d	Vy d	Vx d
1	-500.00	270.00	0.00	0.00	0.00
2	630.00	-150.00	0.00	0.00	0.00

SERVICEABILITY LIMIT STATES - CHARACTERISTIC COMB. - ASSIGNED INTERNAL FORCES FOR EACH COMBINATION

N Axial force [kN] applied at the centroid of concrete section (+ if compressive)
Mx Bending force [kNm] around x principal axis of inertia. First cracking value is shown between brackets.
My Bending force [kNm] around y principal axis of inertia. First cracking value is shown between brackets.

Comb.N.	N	Mx	My
1	-300.00	236.00	0.00
2	400.00	-160.00	0.00

CHECKS RESULTS

Checks OK for all assigned combinations

Min edge cover of longitudinal bars: 5.7 cm
Min distance between longitudinal bars: 9.7 cm

ULTIMATE LIMIT STATES - N-MX-MY CAPACITY CHECKS

Check Result of check
N Design axial force [kN] applied at the centroid of concrete section (+ if compressive)
Mx Design bending moment [kNm] around x axis principal of inerzia
My Design bending moment [kNm] around y axis principal of inerzia
N ult Axial force capacity [kN] (+ if compressive)
Mx ult Bending moment capacity [kNm] around x axis principal of inertia
My ult Bending moment capacity [kNm] around y axis principal of inertia
S.F. Safety Factor = vectorial ratio of (N ult,Mx ult,My ult) to (N,Mx,My). Check OK if ratio >=1.00
As Tension Area [cm²] of bars in tension (beam section). Min area for code is shown between brackets [eq.(9.1N) EC2]

Comb.N.	Check	N	Mx	My	N ult	Mx ult	My ult	S.F.	As Tension
1	OK	-500.00	270.00	0.00	-499.88	974.37	0.00	3.609	42.5(12.8)
2	OK	630.00	-150.00	0.00	630.06	-1346.90	0.00	8.979	42.5(0.0)

ULTIMATE LIMIT STATE - BENDING AND AXIAL FORCE - STRAIN VALUES

ec max Ultimate compressive strain in concrete
ec* Strain in the concrete fiber at ec2/ecu of depth (if ec*>0 then the section is all compressed)
Xc max X-coordinate [cm] in the concrete point in wich is ec max
Yc max Y-coordinate [cm] in the concrete point in wich is ec max
es max Max strain in steel bars (+ if compressive)
Xs max X-coordinate [cm] of bar in wich is es max
Ys max Y-coordinate [cm] of bar in wich is es max
es min Min strain in steel bars (+ if compressive)
Xs min X-coordinate [cm] of bar in wich is es min
Ys min Y-coordinate [cm] of bar in wich is es min

Comb.N.	ec max	ec*	Xc max	Yc max	es max	Xs max	Ys max	es min	Xs min	Ys min
1	0.00350	-0.01306	50.0	80.0	0.00012	43.0	73.0	-0.03177	-43.0	7.0
2	0.00350	-0.00873	-50.0	0.0	0.00100	-43.0	7.0	-0.02254	-43.0	73.0

BENDING COMBINATION N. 1 : ULTIMATE STRESS AND STRAIN

Concrete vertices:

N.Vertex Assigned numbers to concrete vertices
Reg. Number of concrete region to which it relates the vertices
Xc, Yc X-coordinate, Y-coordinate [cm] of vertices in the reference X,Y,O
Sc Stress [Mpa] in each vertex (+ if compressive)
e c Strain in each vertex

RELAZIONE DI CALCOLO

COMMESSA	LOTTO	CODIFICA	DOCUMENTO	REV.	FOGLIO
NRIJ	01 D 29	CL	IV0104 001	B	71 di 341

Vert.N.	Reg.	Xc	Yc	Sc	e c
1	1	-50.00	0.00	0.00	-0.0351495
2	1	-50.00	80.00	18.13	0.0035000
3	1	50.00	80.00	18.13	0.0035000
4	1	50.00	0.00	0.00	-0.0351495

Longitudinal Bars:

Bar N.	Order numbers assigned to the bars
Xs, Ys	X-coordinate, Y-coordinate [cm] of single bar in the reference X,Y,O
Ss	Stress [Mpa] in each bar (+ if compressive)
e s	Strain in each bar

Bar N.	Xs	Ys	Ss	e s
1	-43.00	7.00	-391.30	-0.0317676
2	-43.00	73.00	23.63	0.0001182
3	43.00	73.00	23.63	0.0001182
4	43.00	7.00	-391.30	-0.0317676
5	-30.71	7.00	-391.30	-0.0317676
6	-18.43	7.00	-391.30	-0.0317676
7	-6.14	7.00	-391.30	-0.0317676
8	6.14	7.00	-391.30	-0.0317676
9	18.43	7.00	-391.30	-0.0317676
10	30.71	7.00	-391.30	-0.0317676
11	-30.71	73.00	23.63	0.0001182
12	-18.43	73.00	23.63	0.0001182
13	-6.14	73.00	23.63	0.0001182
14	6.14	73.00	23.63	0.0001182
15	18.43	73.00	23.63	0.0001182
16	30.71	73.00	23.63	0.0001182

BENDING COMBINATION N. 2 : ULTIMATE STRESS AND STRAIN

Concrete vertices:

Vert.N.	Reg.	Xc	Yc	Sc	e c
1	1	-50.00	0.00	18.13	0.0035000
2	1	-50.00	80.00	0.00	-0.0250355
3	1	50.00	80.00	0.00	-0.0250355
4	1	50.00	0.00	18.13	0.0035000

Longitudinal Bars:

Bar N.	Xs	Ys	Ss	e s
1	-43.00	7.00	200.63	0.0010031
2	-43.00	73.00	-391.30	-0.0225386
3	43.00	73.00	-391.30	-0.0225386
4	43.00	7.00	200.63	0.0010031
5	-30.71	7.00	200.63	0.0010031
6	-18.43	7.00	200.63	0.0010031
7	-6.14	7.00	200.63	0.0010031
8	6.14	7.00	200.63	0.0010031
9	18.43	7.00	200.63	0.0010031
10	30.71	7.00	200.63	0.0010031
11	-30.71	73.00	-391.30	-0.0225386
12	-18.43	73.00	-391.30	-0.0225386
13	-6.14	73.00	-391.30	-0.0225386
14	6.14	73.00	-391.30	-0.0225386
15	18.43	73.00	-391.30	-0.0225386
16	30.71	73.00	-391.30	-0.0225386

ULTIMATE LIMIT STATE - POSITION OF NEUTRAL AXIS FOR EACH COMBINATION

a, b, c	Coeff. a, b, c in neutral axis equation: $aX+bY+c=0$ reference X,Y,O
x/d	Ratio of the depth of neutral axis to the effective depth of the section
D	Ratio of redistributed moment to the elastic moment in continuous beams [eq.(5.10)EC2]

Comb.N.	a	b	c	x/d	D
---------	---	---	---	-----	---

RELAZIONE DI CALCOLO

COMMESSA	LOTTO	CODIFICA	DOCUMENTO	REV.	FOGLIO
NRLJ	01 D 29	CL	IV0104 001	B	72 di 341

1	0.000000000	0.000483118	-0.035149457	0.099	0.700
2	0.000000000	-0.000356694	0.003500000	0.134	0.700

SLS CHARACTERISTIC COMBINATIONS - STRESS LIMITATION [§ 7.2 EC2]

Tension in concrete:	Not considered in any case
Check	Result of Check
Reg	Number of current concrete sub-region of the cross section
Sc max (Sc lim)	Max compressive stress (+) in concrete [Mpa]. Code limit stress Sc lim is shown between brackets
Xc max, Yc max	X-coordinate, Y-coordinate [cm] of concrete vertex corresponding to Sc max (reference X,Y,O)
Ss min (Ss lim)	Min stress (- if tensile) in steel bars [Mpa], Code limit stress is shown between brackets
Xs min, Ys min	X-coordinate, Y-coordinate [cm] of bar corresponding to Ss min (reference X,Y,O)
Ac eff	Effective tension area [cm ²] that is the area of concrete surrounding the tension reinforcement (for crack width control)
As eff	Area of tension steel bars [cm ²] within Ac eff (for crack width control)
r eff	Geometrical ratio Ac eff/As eff [eq.(7.10) EC2]

NComb	Reg	Check	Sc max	Xc max	Yc max	Ss min	Xs min	Ys min	Ac eff	As eff	r eff
1	1	OK	1.94 (19.2)	-50.0	80.0	-118.4 (360.0)	6.1	7.0	1750	42.5	0.024
2	1	OK	1.83 (19.2)	50.0	0.0	-19.8 (360.0)	-6.1	73.0	1250	42.5	0.034

SLS CHARACTERISTIC - CRACK WIDTH [§ 7.3.4 EC2]

Check	Section is assumed always cracked even if flexural tensile stress does not exceeds fctm
e1	Greater concrete tensile strain (tension is -) assessed in cracked section
e2	Lesser concrete tensile strain within the entire section (tension is -) assessed in cracked section
k1	= 0.8 high bond bars assigned [see eq.(7.11) EC2]
kt	= 0.6 for frequent and characteristic SLS; = 0.4 for q.perm SLS [see eq.(7.9) EC2]
k2	= 0.5 for bending; = (e1 + e2)/(2*e1) for eccentric tension [see eq.(7.13) EC2]
k3	= 3.400 Coeff. in eq. (7.11) according to national annex
k4	= 0.425 Coeff. in eq. (7.11) according to national annex
Ш	Bar diameter [mm] or equivalent diameter of tensile bars in Ac eff [eq.(7.11)]
e sm - e cm	Difference between the mean strain of tensile steel and concrete [eq.(7.8)] Between brackets: Minimum value of eq.(7.9) = 0.6 Smax / Es
sr max	Max final crack [mm] spacing
wk	Calculated value [mm] of crack width = sr max*(e sm - e cm) [eq.(7.8)]. Limit value of wk is shown between brackets
MX crack	First cracking bending moment around X axis[kNm]
MY crack	First cracking bending moment around Y axis[kNm]

Comb.N.	Check	e1	e2	k2	Ш	e sm - e cm	sr max	wk	Mx crack	My crack
1	OK	-0.00066	0	0.500	26.0	0.00036 (0.00036)	376	0.134	358.06	0.00
2	OK	-0.00012	0	0.500	26.0	0.00006 (0.00006)	324	0.019	-690.59	0.00

SLS - CHARACTERISTIC COMBINATION N. 1 : RELEVANT STRESS AND STRAIN

N.Vertex	Assigned numbers to concrete vertices
Reg.	Number of concrete region to which it relates the vertices
Xc, Yc	X-coordinate, Y-coordinate [cm] of vertices in the reference X,Y,O
Sc	Stress [Mpa] in each vertex (+ if compressive)
e c	Strain in each vertex

Concrete region:

N.Vertex	Reg.	Xc	Yc	Sc	e c
1	1	-50.0	0.0	0.000	-0.0006627
2	1	-50.0	80.0	1.938	0.0001454
3	1	50.0	80.0	1.938	0.0001454
4	1	50.0	0.0	0.000	-0.0006627

Longitudinal bars:

N. Bar	Assigned numbers to each bar
Xs, Ys	X-coordinate, Y-coordinate [cm] of each bar in the reference X,Y,O
Ss	Stress [Mpa] in each bar (+ if compressive)
e s	Strain in each bar

RELAZIONE DI CALCOLO

COMMESSA	LOTTO	CODIFICA	DOCUMENTO	REV.	FOGLIO
NRIJ	01 D 29	CL	IV0104 001	B	73 di 341

N. Bar	Xs	Ys	Ss	e s
1	-43.0	7.0	-118.41	-0.0005920
2	-43.0	73.0	14.93	0.0000747
3	43.0	73.0	14.93	0.0000747
4	43.0	7.0	-118.41	-0.0005920
5	-30.7	7.0	-118.41	-0.0005920
6	-18.4	7.0	-118.41	-0.0005920
7	-6.1	7.0	-118.41	-0.0005920
8	6.1	7.0	-118.41	-0.0005920
9	18.4	7.0	-118.41	-0.0005920
10	30.7	7.0	-118.41	-0.0005920
11	-30.7	73.0	14.93	0.0000747
12	-18.4	73.0	14.93	0.0000747
13	-6.1	73.0	14.93	0.0000747
14	6.1	73.0	14.93	0.0000747
15	18.4	73.0	14.93	0.0000747
16	30.7	73.0	14.93	0.0000747

SLS - CHARACTERISTIC COMBINATION N. 2 : RELEVANT STRESS AND STRAIN

Concrete region:

N.Vertex	Reg.	Xc	Yc	Sc	e c
1	1	-50.0	0.0	1.827	0.0001370
2	1	-50.0	80.0	0.000	-0.0001217
3	1	50.0	80.0	0.000	-0.0001217
4	1	50.0	0.0	1.827	0.0001370

Longitudinal bars:

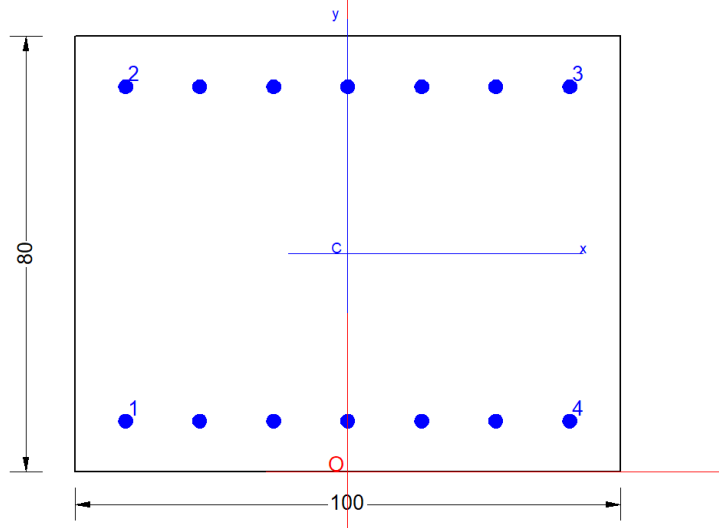
N. Bar	Xs	Ys	Ss	e s
1	-43.0	7.0	22.88	0.0001144
2	-43.0	73.0	-19.82	-0.0000991
3	43.0	73.0	-19.82	-0.0000991
4	43.0	7.0	22.88	0.0001144
5	-30.7	7.0	22.88	0.0001144
6	-18.4	7.0	22.88	0.0001144
7	-6.1	7.0	22.88	0.0001144
8	6.1	7.0	22.88	0.0001144
9	18.4	7.0	22.88	0.0001144
10	30.7	7.0	22.88	0.0001144
11	-30.7	73.0	-19.82	-0.0000991
12	-18.4	73.0	-19.82	-0.0000991
13	-6.1	73.0	-19.82	-0.0000991
14	6.1	73.0	-19.82	-0.0000991
15	18.4	73.0	-19.82	-0.0000991
16	30.7	73.0	-19.82	-0.0000991

RELAZIONE DI CALCOLO

COMMESSA	LOTTO	CODIFICA	DOCUMENTO	REV.	FOGLIO
NRIJ	01 D 29	CL	IV0104 001	B	74 di 341

- Sezione di incastro muro frontale

In direzione orizzontale è stata assunta un'armatura $\Phi 26/15$.



GENERAL DATA OF GENERIC RC CROSS-SECTION

Section Name: Muro_and_sp_m.secEC

(File path: S:\Projects\18005_0549D07_Cesano Vigna di Valle\Work\01 Cavalcaferrovia\IV01_km 29+500\SAP2000 Model Abutment\Excel\IRC-SEC_rev1\Muro_and_sp_m.secEC)

Section description:
 Section type: Beam
 Reference code: EC2/EC8 Italian Annex
 Exposure Class: XC4 - Carbonation (cyclic wet and dry)
 Stress path: Constant axial force force to achieve bending ULS
 Reference of assigned forces: Principal axes y,y of inertia

MATERIALS DATA

CONCRETE -	Class:	C32/40
	Design compressive strength fcd:	18.1 MPa
	Shear reduced compressive strenght $v1 \cdot fcd$:	9.1 MPa (6.9)EC2
	Strain at max strength ec2:	0.0020
	Ultimate strain ecu:	0.0035
	Compression diagram stress-strain:	Parabola-Rectangle
	Mean Elastic Modulus Ecm:	33345.8 MPa
	Mean tensile strength fctm:	3.0 MPa
	Es/Ec in SLS combination:	15.00
	Stress limit in SLS Characteristic comb.:	19.2 kN/cm?
STEEL -	Longitudinal Bars and Stirrups:	B450C
	Characteristic yield stress fyk:	450.00 MPa
	Tensile strength ftk:	540.0 MPa
	Design yield stress fyd:	391.3 MPa
	Design strength ftd:	391.3 MPa
	Design ultimate strain esu:	0.068
	Mean elastic modulus Es:	200000.0 MPa
	SLS Charact. - Ss Limit:	360.00 MPa

GEOMETRICAL DATA OF CONCRETE CROSS-SECTION

Shape of Region: Polygonal
 Concrete Class: C32/40

Vertex N.: X [cm] Y [cm]

RELAZIONE DI CALCOLO

COMMESSA	LOTTO	CODIFICA	DOCUMENTO	REV.	FOGLIO
NRIJ	01 D 29	CL	IV0104 001	B	75 di 341

1	-50.0	0.0
2	-50.0	80.0
3	50.0	80.0
4	50.0	0.0

DATA ISOLATED LONGITUDINAL BARS

Bar N.	X [cm]	Y [cm]	Diam \varnothing [mm]
1	-40.7	9.3	26
2	-40.7	70.7	26
3	40.7	70.7	26
4	40.7	9.3	26

DATA OF LINEAR GENERATIONS OF LONGITUDINAL BARS

N. Gen. Number of generated bars of the current linear generation
 N.Initial Bar Order number of initial bar (between the isolated bars just defined)
 N.Final Bar Order number of final bar (between the isolated bars just defined)
 N. Bars Number of bars generated equidistant in the current generation
 \varnothing Diameter [mm] of generated bars

Gen.N.	Initial Bar	Final Bar	N. Bars	\varnothing
1	1	4	5	26
2	2	3	5	26

ULTIMATE LIMIT STATE - ASSIGNED DESIGN FORCES FOR EACH COMBINATION

N d Design axial force [kN] applied at centroid of concrete section (+ if compressive)
 Mx d Design bending force [kNm] around x principal axis of inertia
 My d Design bending force [kNm] around y principal axis of inertia
 Vy d Design shear component [kN] parallel to y principal axis of inertia
 Vx d Design shear component [kN] parallel to x principal axis of inertia

Comb.N.	N d	Mx d	My d	Vy d	Vx d
1	-60.00	290.00	0.00	0.00	0.00
2	380.00	-160.00	0.00	0.00	0.00

SERVICEABILITY LIMIT STATES - CHARACTERISTIC COMB. - ASSIGNED INTERNAL FORCES FOR EACH COMBINATION

N Axial force [kN] applied at the centroid of concrete section (+ if compressive)
 Mx Bending force [kNm] around x principal axis of inertia. First cracking value is shown between brackets.
 My Bending force [kNm] around y principal axis of inertia. First cracking value is shown between brackets.

Comb.N.	N	Mx	My
1	370.00	300.00	0.00
2	280.00	-100.00	0.00

CHECKS RESULTS

Checks OK for all assigned combinations

Min edge cover of longitudinal bars: 8.0 cm
 Min distance between longitudinal bars: 11.0 cm

ULTIMATE LIMIT STATES - N-MX-MY CAPACITY CHECKS

Check Result of check
 N Design axial force [kN] applied at the centroid of concrete section (+ if compressive)

RELAZIONE DI CALCOLO

COMMESSA	LOTTO	CODIFICA	DOCUMENTO	REV.	FOGLIO
NRIJ	01 D 29	CL	IV0104 001	B	76 di 341

Mx	Design bending moment [kNm] around x axis principal of inerzia
My	Design bending moment [kNm] around y axis principal of inerzia
N ult	Axial force capacity [kN] (+ if compressive)
Mx ult	Bending moment capacity [kNm] around x axis principal of inertia
My ult	Bending moment capacity [kNm] around y axis principal of inertia
S.F.	Safety Factor = vectorial ratio of (N ult,Mx ult,My ult) to (N,Mx,My). Check OK if ratio >=1.00
As Tension	Area [cm ²] of bars in tension (beam section). Min area for code is shown between brackets [eq.(9.1N) EC2]

Comb.N.	Check	N	Mx	My	N ult	Mx ult	My ult	S.F.	As Tension
1	OK	-60.00	290.00	0.00	-60.26	948.71	0.00	3.271	37.2(12.4)
2	OK	380.00	-160.00	0.00	380.05	-1085.59	0.00	6.785	37.2(0.0)

ULTIMATE LIMIT STATE - BENDING AND AXIAL FORCE - STRAIN VALUES

ec max	Ultimate compressive strain in concrete
ec*	Strain in the concrete fiber at ec2/ecu of depth (if ec*>0 then the section is all compressed)
Xc max	X-coordinate [cm] in the concrete point in wich is ec max
Yc max	Y-coordinate [cm] in the concrete point in wich is ec max
es max	Max strain in steel bars (+ if compressive)
Xs max	X-coordinate [cm] of bar in wich is es max
Ys max	Y-coordinate [cm] of bar in wich is es max
es min	Min strain in steel bars (+ if compressive)
Xs min	X-coordinate [cm] of bar in wich is es min
Ys min	Y-coordinate [cm] of bar in wich is es min

Comb.N.	ec max	ec*	Xc max	Yc max	es max	Xs max	Ys max	es min	Xs min	Ys min
1	0.00350	-0.00931	50.0	80.0	0.00003	40.7	70.7	-0.02292	-40.7	9.3
2	0.00350	-0.00794	-50.0	0.0	0.00040	-40.7	9.3	-0.02010	-40.7	70.7

BENDING COMBINATION N. 1 : ULTIMATE STRESS AND STRAIN

Concrete vertices:

N.Vertex	Assigned numbers to concrete vertices
Reg.	Number of concrete region to which it relates the vertices
Xc, Yc	X-coordinate, Y-coordinate [cm] of vertices in the reference X,Y,O
Sc	Stress [Mpa] in each vertex (+ if compressive)
e c	Strain in each vertex

Vert.N.	Reg.	Xc	Yc	Sc	e c
1	1	-50.00	0.00	0.00	-0.0263901
2	1	-50.00	80.00	18.13	0.0035000
3	1	50.00	80.00	18.13	0.0035000
4	1	50.00	0.00	0.00	-0.0263901

Longitudinal Bars:

Bar N.	Order numbers assigned to the bars
Xs, Ys	X-coordinate, Y-coordinate [cm] of single bar in the reference X,Y,O
Ss	Stress [Mpa] in each bar (+ if compressive)
e s	Strain in each bar

Bar N.	Xs	Ys	Ss	e s
1	-40.70	9.30	-391.30	-0.0229154
2	-40.70	70.70	5.05	0.0000253
3	40.70	70.70	5.05	0.0000253
4	40.70	9.30	-391.30	-0.0229154
5	-27.13	9.30	-391.30	-0.0229154
6	-13.57	9.30	-391.30	-0.0229154
7	0.00	9.30	-391.30	-0.0229154
8	13.57	9.30	-391.30	-0.0229154
9	27.13	9.30	-391.30	-0.0229154
10	-27.13	70.70	5.05	0.0000253
11	-13.57	70.70	5.05	0.0000253
12	0.00	70.70	5.05	0.0000253
13	13.57	70.70	5.05	0.0000253
14	27.13	70.70	5.05	0.0000253

RELAZIONE DI CALCOLO

COMMESSA	LOTTO	CODIFICA	DOCUMENTO	REV.	FOGLIO
NRIJ	01 D 29	CL	IV0104 001	B	77 di 341

BENDING COMBINATION N. 2 : ULTIMATE STRESS AND STRAIN

Concrete vertices:

Vert.N.	Reg.	Xc	Yc	Sc	e c
1	1	-50.00	0.00	18.13	0.0035000
2	1	-50.00	80.00	0.00	-0.0232010
3	1	50.00	80.00	0.00	-0.0232010
4	1	50.00	0.00	18.13	0.0035000

Longitudinal Bars:

Bar N.	Xs	Ys	Ss	e s
1	-40.70	9.30	79.20	0.0003960
2	-40.70	70.70	-391.30	-0.0200970
3	40.70	70.70	-391.30	-0.0200970
4	40.70	9.30	79.20	0.0003960
5	-27.13	9.30	79.20	0.0003960
6	-13.57	9.30	79.20	0.0003960
7	0.00	9.30	79.20	0.0003960
8	13.57	9.30	79.20	0.0003960
9	27.13	9.30	79.20	0.0003960
10	-27.13	70.70	-391.30	-0.0200970
11	-13.57	70.70	-391.30	-0.0200970
12	0.00	70.70	-391.30	-0.0200970
13	13.57	70.70	-391.30	-0.0200970
14	27.13	70.70	-391.30	-0.0200970

ULTIMATE LIMIT STATE - POSITION OF NEUTRAL AXIS FOR EACH COMBINATION

a, b, c Coeff. a, b, c in neutral axis equation: $aX+bY+c=0$ reference X,Y,O
x/d Ratio of the depth of neutral axis to the effective depth of the section
D Ratio of redistributed moment to the elastic moment in continuous beams [eq.(5.10)EC2]

Comb.N.	a	b	c	x/d	D
1	0.000000000	0.000373626	-0.026390116	0.132	0.700
2	0.000000000	-0.000333762	0.003500000	0.148	0.700

SLS CHARACTERISTIC COMBINATIONS - STRESS LIMITATION [§ 7.2 EC2]

Tension in concrete: Not considered in any case
Check Result of Check
Reg Number of current concrete sub-region of the cross section
Sc max (Sc lim) Max compressive stress (+) in concrete [Mpa]. Code limit stress Sc lim is shown between brackets
Xc max, Yc max X-coordinae, Y-coordinate [cm] of concrete vertex corresponding to Sc max (reference X,Y,O)
Ss min (Ss lim) Min stress (- if tensile) in steel bars [Mpa]. Code limit stress is shown between brackets
Xs min, Ys min X-coordinae, Y-coordinate [cm] of bar corresponding to Ss min (reference X,Y,O)
Ac eff Effective tension area [cm²] that is the area of concrete surrounding the tension reinforcement (for crack width control)
As eff Area of tension steel bars [cm²] within Ac eff (for crack width control)
r eff Geometrical ratio Ac eff/As eff [eq.(7.10) Ec2]

NComb	Reg	Check	Sc max	Xc max	Yc max	Ss min	Xs min	Ys min	Ac eff	As eff	r eff
1	1	OK	3.74 (19.2)	-50.0	80.0	-82.3 (360.0)	-27.1	9.3	1700	37.2	0.022
2	1	OK	1.26 (19.2)	50.0	0.0	-12.1 (360.0)	-27.1	70.7	1250	37.2	0.030

SLS CHARACTERISTIC - CRACK WIDTH [§ 7.3.4 EC2]

Section is assumed always cracked even if flexural tensile stress does not exceeds f_{ctm}
Check Result of check
e1 Greater concrete tensile strain (tension is -) assessed in cracked section
e2 Lesser concrete tensile strain within the entire section (tension is -) assessed in cracked section
k1 = 0.8 high bond bars assigned [see eq.(7.11) EC2]
kt = 0.6 for frequent and characteristic SLS; = 0.4 for q.perm SLS [see eq.(7.9) EC2]
k2 = 0.5 for bending; $=(e1 + e2)/(2*e1)$ for eccentric tension [see eq.(7.13) EC2]
k3 = 3.400 Coeff. in eq. (7.11) according to national annex
k4 = 0.425 Coeff. in eq. (7.11) according to national annex

RELAZIONE DI CALCOLO

COMMESSA	LOTTO	CODIFICA	DOCUMENTO	REV.	FOGLIO
NRIJ	01 D 29	CL	IV0104 001	B	78 di 341

\varnothing	Bar diameter [mm] or equivalent diameter of tensile bars in Ac eff [eq.(7.11)]
$e_{sm} - e_{cm}$	Difference between the mean strain of tensile steel and concrete [eq.(7.8)] Between brackets: Minimum value of eq.(7.9) = 0.6 S_{max} / E_s
$s_{r\ max}$	Max final crack [mm] spacing
w_k	Calculated value [mm] of crack width = $s_{r\ max} * (e_{sm} - e_{cm})$ [eq.(7.8)]. Limit value of w_k is shown between brackets
MX crack	First cracking bending moment around X axis[kNm]
MY crack	First cracking bending moment around Y axis[kNm]

Comb.N.	Check	e_1	e_2	k_2	\varnothing	$e_{sm} - e_{cm}$	$s_{r\ max}$	w_k	Mx crack	My crack
1	OK	-0.00050	0	0.500	26.0	0.00025 (0.00025)	474	0.117	490.14	0.00
2	OK	-0.00008	0	0.500	26.0	0.00004 (0.00004)	421	0.015	-679.44	0.00

SLS - CHARACTERISTIC COMBINATION N. 1 : RELEVANT STRESS AND STRAIN

N.Vertex	Assigned numbers to concrete vertices
Reg.	Number of concrete region to which it relates the vertices
Xc, Yc	X-coordinate, Y-coordinate [cm] of vertices in the reference X,Y,O
Sc	Stress [Mpa] in each vertex (+ if compressive)
e_c	Strain in each vertex

Concrete region:

N.Vertex	Reg.	Xc	Yc	Sc	e_c
1	1	-50.0	0.0	0.000	-0.0005023
2	1	-50.0	80.0	3.736	0.0002802
3	1	50.0	80.0	3.736	0.0002802
4	1	50.0	0.0	0.000	-0.0005023

Longitudinal bars:

N. Bar	Assigned numbers to each bar
Xs, Ys	X-coordinate, Y-coordinate [cm] of each bar in the reference X,Y,O
Ss	Stress [Mpa] in each bar (+ if compressive)
e_s	Strain in each bar

N. Bar	Xs	Ys	Ss	e_s
1	-40.7	9.3	-82.27	-0.0004114
2	-40.7	70.7	37.85	0.0001892
3	40.7	70.7	37.85	0.0001892
4	40.7	9.3	-82.27	-0.0004114
5	-27.1	9.3	-82.27	-0.0004114
6	-13.6	9.3	-82.27	-0.0004114
7	0.0	9.3	-82.27	-0.0004114
8	13.6	9.3	-82.27	-0.0004114
9	27.1	9.3	-82.27	-0.0004114
10	-27.1	70.7	37.85	0.0001892
11	-13.6	70.7	37.85	0.0001892
12	0.0	70.7	37.85	0.0001892
13	13.6	70.7	37.85	0.0001892
14	27.1	70.7	37.85	0.0001892

SLS - CHARACTERISTIC COMBINATION N. 2 : RELEVANT STRESS AND STRAIN

Concrete region:

N.Vertex	Reg.	Xc	Yc	Sc	e_c
1	1	-50.0	0.0	1.256	0.0000942
2	1	-50.0	80.0	0.000	-0.0000810
3	1	50.0	80.0	0.000	-0.0000810
4	1	50.0	0.0	1.256	0.0000942

Longitudinal bars:

N. Bar	Xs	Ys	Ss	e_s
1	-40.7	9.3	14.77	0.0000738
2	-40.7	70.7	-12.12	-0.0000606
3	40.7	70.7	-12.12	-0.0000606
4	40.7	9.3	14.77	0.0000738
5	-27.1	9.3	14.77	0.0000738

RELAZIONE DI CALCOLO

COMMESSA	LOTTO	CODIFICA	DOCUMENTO	REV.	FOGLIO
NRIJ	01 D 29	CL	IV0104 001	B	79 di 341

6	-13.6	9.3	14.77	0.0000738
7	0.0	9.3	14.77	0.0000738
8	13.6	9.3	14.77	0.0000738
9	27.1	9.3	14.77	0.0000738
10	-27.1	70.7	-12.12	-0.0000606
11	-13.6	70.7	-12.12	-0.0000606
12	0.0	70.7	-12.12	-0.0000606
13	13.6	70.7	-12.12	-0.0000606
14	27.1	70.7	-12.12	-0.0000606

Le verifiche risultano soddisfatte adottando armatura $\Phi 26/15$ disposta sia sul lato interno (verticale) ed esterno (verticale) e armatura $\Phi 30/15$ disposta sia sul lato interno (orizzontale) ed esterno (orizzontale).

10.1.2.2 Verifica taglio muro andatore

Si verifica la sezione del muro frontale per il massimo taglio agente

VERIFICA A TAGLIO DELLA SEZIONE IN C.A. SECONDO D.M. 17/01/2018 § 4.1.2.3.5

• Caratteristiche della sezione

$b_w = 1000$ mm	larghezza	$f_{yk} = 450$ MPa	resist. caratteristica
$h = 850$ mm	altezza	$\gamma_s = 1.15$	coeff. sicurezza
$c = 45$ mm	copriferro	$f_{yd} = 391.3$ MPa	resist. di calcolo
$f_{ck} = 33.2$ MPa	resist. caratteristica	Armatura longitudinale tesa:	
$\gamma_c = 1.50$	coeff. sicurezza	$A_{sl,1} = 8 \text{ } \emptyset 26$	$= 42.47 \text{ cm}^2$
$\alpha_{cc} = 0.85$	coeff. riduttivo	$A_{sl,2} = 0 \text{ } \emptyset 0$	$= 0.00 \text{ cm}^2$
$d = 805$ mm	altezza utile	$A_{sl,3} = 0 \text{ } \emptyset 0$	$= 0.00 \text{ cm}^2$
$f_{cd} = 18.81$ MPa	resist. di calcolo		42.47 cm^2

• Sollecitazioni (compressione < 0, trazione > 0, taglio in valore assoluto)

$N_{ed} = 0.0$ kN	$V_{ed} = 330.0$ kN
-------------------	---------------------

• Elementi senza armature trasversali resistenti a taglio

$k = 1 + (200/d)^{1/2} < 2$	$k = 1.498$	< 2
$v_{min} = 0,035 k^{3/2} f_{ck}^{1/2}$	$v_{min} = 0.370$	
$\rho_1 = A_{sl}/(b_w \times d) < 0.02$	$\rho_1 = 0.005$	< 0.02
$\sigma_{cp} = N_{ed}/A_c < 0.2 f_{cd}$	$\sigma_{cp} = 0.00$ MPa	$< 0.2 f_{cd}$

$$V_{Rd} = (0,18 \times k \times (100 \times \rho_1 \times f_{ck})^{1/3} / \gamma_c + 0,15 \times \sigma_{cp}) \times b_w \times d > (v_{min} + 0,15 \times \sigma_{cp}) \times b_w \times d$$

$$V_{Rd} = 375.9 \text{ kN}; \quad (\text{con } (v_{min} + 0,15 \times \sigma_{cp}) \times b_w \times d = 297.8 \text{ kN})$$

$$V_{Rd} = 375.9 \text{ kN} \quad \text{valore di calcolo}$$

la sezione è verificata in assenza di armature per il taglio

10.1.3 Muro paraghiaia

10.1.3.1 Verifica a presso-flessione muro andatore

Secondo quanto prescritto al §C5.1.3.3.7.2 delle NTC 18, per il calcolo dei muri paraghiaia si deve considerare un'azione longitudinale di frenamento applicata alla testa del muro paraghiaia, con valore caratteristico pari al 60% del carico asse Q_{1K} . Pertanto per i ponti di prima categoria si considererà un carico orizzontale di 180 kN concomitante con un carico verticale di 300 kN.

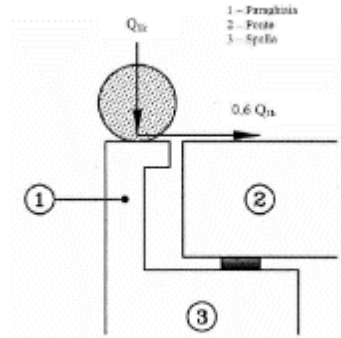


Figura C5.1.1 Carichi da traffico su muri paragliaia

Muro paragliaia

Dati Sezione			Sollecitazioni		
h	1.80	[m]	N	300	[KN]
Qv	300	[KN]	V	180	[KN]
H	180	[KN]	Ms	324	[KNm]

Sono state effettuate anche le verifiche con le sollecitazioni derivanti dall' analisi:

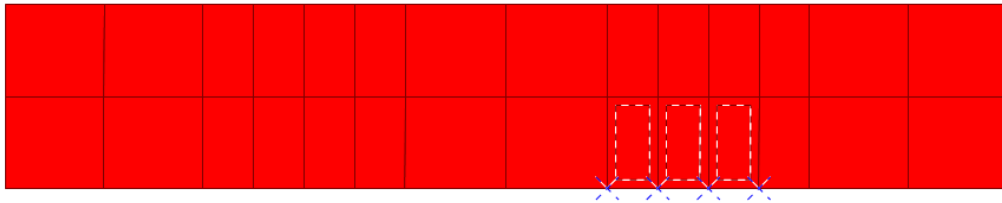


Fig. 65 – Modello 3D – Section cut Muro Paragliaia

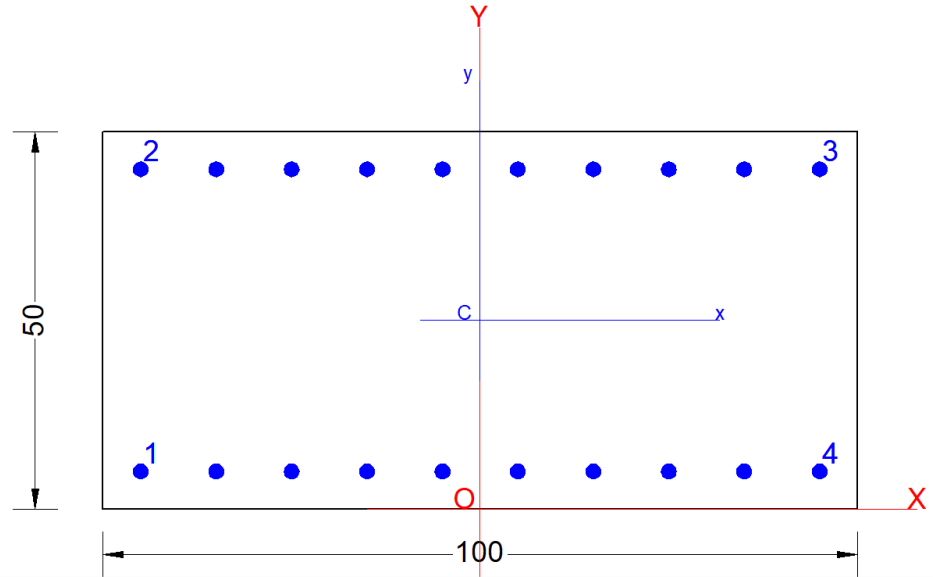
Sollecitazioni dimensionamenti:

TABELLA: Sollecitazioni nel muro paragliaia				
P	M11	M22		
-450,00	0,00	486,00	M22 (da frenatura)	
-700	0,00	-50	Max M22	
680	0,00	40		
Sollecitazioni SLE				
-300	0,00	-324	SLE crit. Min M22	
-300	0,00	324	SLE crit. Max M22	

In direzione verticale è stata assunta un'armatura longitudinale $\Phi 20/10$

RELAZIONE DI CALCOLO

COMMESSA	LOTTO	CODIFICA	DOCUMENTO	REV.	FOGLIO
NRIJ	01 D 29	CL	IV0104 001	B	81 di 341



GENERAL DATA OF GENERIC RC CROSS-SECTION

Section Name: Muro_par_0.5.secEC

(File path: S:\Projects\18005_0549D07_Cesano Vigna di Valle\Work\01 Cavalcaferrovia\IV01_km 29+500\03_Spalle\SAP2000 Model Abutment\Excel\Muro_par_0.5.secEC)

Section description:	
Section type:	Beam
Reference code:	EC2/EC8 Italian Annex
Exposure Class:	XC4 - Carbonation (cyclic wet and dry)
Stress path:	Constant axial force force to achieve bending ULS
Reference of assigned forces:	Principal axes y,y of inertia

MATERIALS DATA

CONCRETE -	Class:	C32/40
	Design compressive strength fcd:	18.1 MPa
	Shear reduced compressive strenght $v_1 \cdot f_{cd}$:	9.1 MPa (6.9)EC2
	Strain at max strength ec2:	0.0020
	Ultimate strain ecu:	0.0035
	Compression diagram stress-strain:	Parabola-Rectangle
	Mean Elastic Modulus Ecm:	33345.8 MPa
	Mean tensile strength fctm:	3.0 MPa
	Es/Ec in SLS combination:	15.00
	Stress limit in SLS Characteristic comb.:	19.2 kN/cm ²
	Stress limit in SLS Frequent comb.:	192.0 daN/cm ²
	Crack width limit in SLS Frequent comb.:	0.300 mm
	Stress limit in SLS Quasi-perm. comb.:	14.40 Mpa
	Crack width limit in SLS Quasi-perm. comb.:	0.200 mm
	STEEL -	Longitudinal Bars and Stirrups:
Characteristic yield stress fyk:		450.00 MPa
Tensile strength ftk:		540.0 MPa
Design yield stress fyd:		391.3 MPa
Design strength ftd:		391.3 MPa
Design ultimate strain esu:		0.068
Mean elastic modulus Es:		200000.0 MPa
SLS Charact. - Ss Limit:	360.00 MPa	

GEOMETRICAL DATA OF CONCRETE CROSS-SECTION

Shape of Region:	Polygonal
Concrete Class:	C32/40

RELAZIONE DI CALCOLO

COMMESSA	LOTTO	CODIFICA	DOCUMENTO	REV.	FOGLIO
NRIJ	01 D 29	CL	IV0104 001	B	82 di 341

Vertex N.:	X [cm]	Y [cm]
1	-50.0	0.0
2	-50.0	50.0
3	50.0	50.0
4	50.0	0.0

DATA ISOLATED LONGITUDINAL BARS

Bar N.	X [cm]	Y [cm]	DiamØ[mm]
1	-45.0	5.0	20
2	-45.0	45.0	20
3	45.0	45.0	20
4	45.0	5.0	20

DATA OF LINEAR GENERATIONS OF LONGITUDINAL BARS

N. Gen.	Number of generated bars of the current linear generation
N.Initial Bar	Order number of initial bar (between the isolated bars just defined)
N.Final Bar	Order number of final bar (between the isolated bars just defined)
N. Bars	Number of bars generated equidistant in the current generation
Ø	Diameter [mm] of generated bars

Gen.N.	Initial Bar	Final Bar	N. Bars	Ø
1	1	4	8	20
2	2	3	8	20

ULTIMATE LIMIT STATE - ASSIGNED DESIGN FORCES FOR EACH COMBINATION

N d	Design axial force [kN] applied at centroid of concrete section (+ if compressive)
Mx d	Design bending force [kNm] around x principal axis of inertia
My d	Design bending force [kNm] around y principal axis of inertia
Vy d	Design shear component [kN] parallel to y principal axis of inertia
Vx d	Design shear component [kN] parallel to x principal axis of inertia

Comb.N.	N d	Mx d	My d	Vy d	Vx d
1	450.00	486.00	0.00	0.00	0.00
2	700.00	-50.00	0.00	0.00	0.00
3	-680.00	40.00	0.00	0.00	0.00

SERVICEABILITY LIMIT STATES - CHARACTERISTIC COMB. - ASSIGNED INTERNAL FORCES FOR EACH COMBINATION

N	Axial force [kN] applied at the centroid of concrete section (+ if compressive)
Mx	Bending force [kNm] around x principal axis of inertia. First cracking value is shown between brackets.
My	Bending force [kNm] around y principal axis of inertia. First cracking value is shown between brackets.

Comb.N.	N	Mx	My
1	300.00	-324.00	0.00
2	300.00	324.00	0.00

SERVICEABILITY LIMIT STATES - FREQUENT COMB. - ASSIGNED INTERNAL FORCES FOR EACH COMBINATION

N	Axial force [kN] applied at the centroid of concrete section (+ if compressive)
Mx	Bending force [kNm] around x principal axis of inertia. First cracking value is shown between brackets.
My	Bending force [kNm] around y principal axis of inertia. First cracking value is shown between brackets.

RELAZIONE DI CALCOLO

COMMESSA	LOTTO	CODIFICA	DOCUMENTO	REV.	FOGLIO
NRIJ	01 D 29	CL	IV0104 001	B	83 di 341

Comb.N.	N	Mx	My
1	-354.00	75.00 (118.28)	0.00 (0.00)

SERVICEABILITY LIMIT STATES - QUASI-PERMANENT COMB. - ASSIGNED INTERNAL FORCES FOR EACH COMBINATION

N Axial force [kN] applied at the centroid of concrete section (+ if compressive)
Mx Bending force [kNm] around x principal axis of inertia. First cracking value is shown between brackets.
My Bending force [kNm] around y principal axis of inertia. First cracking value is shown between brackets.

Comb.N.	N	Mx	My
1	-190.00	60.00 (131.75)	0.00 (0.00)

CHECKS RESULTS

Min edge cover of longitudinal bars: 4.0 cm
Min distance between longitudinal bars: 8.0 cm

ULTIMATE LIMIT STATES - N-MX-MY CAPACITY CHECKS

Check Result of check
N Design axial force [kN] applied at the centroid of concrete section (+ if compressive)
Mx Design bending moment [kNm] around x axis principal of inerzia
My Design bending moment [kNm] around y axis principal of inerzia
N ult Axial force capacity [kN] (+ if compressive)
Mx ult Bending moment capacity [kNm] around x axis principal of inertia
My ult Bending moment capacity [kNm] around y axis principal of inertia
S.F. Safety Factor = vectorial ratio of (N ult,Mx ult,My ult) to (N,Mx,My). Check OK if ratio >=1.00
As Tension Area [cm²] of bars in tension (beam section). Min area for code is shown between brackets [eq.(9.1N) EC2]

Comb.N.	Check	N	Mx	My	N ult	Mx ult	My ult	S.F.	As Tension
1	OK	450.00	486.00	0.00	450.12	603.10	0.00	1.241	31.4(0.0)
2	OK	700.00	-50.00	0.00	700.06	-651.87	0.00	13.037	31.4(7.9)
3	OK	-680.00	40.00	0.00	-679.90	376.74	0.00	9.418	31.4(0.0)

ULTIMATE LIMIT STATE - BENDING AND AXIAL FORCE - STRAIN VALUES

ec max Ultimate compressive strain in concrete
ec* Strain in the concrete fiber at ec2/ecu of depth (if ec*>0 then the section is all compressed)
Xc max X-coordinate [cm] in the concrete point in wich is ec max
Yc max Y-coordinate [cm] in the concrete point in wich is ec max
es max Max strain in steel bars (+ if compressive)
Xs max X-coordinate [cm] of bar in wich is es max
Ys max Y-coordinate [cm] of bar in wich is es max
es min Min strain in steel bars (+ if compressive)
Xs min X-coordinate [cm] of bar in wich is es min
Ys min Y-coordinate [cm] of bar in wich is es min

Comb.N.	ec max	ec*	Xc max	Yc max	es max	Xs max	Ys max	es min	Xs min	Ys min
1	0.00350	-0.00712	50.0	50.0	0.00102	45.0	45.0	-0.01880	-45.0	5.0
2	0.00350	-0.00613	-50.0	0.0	0.00125	-45.0	5.0	-0.01672	45.0	45.0
3	0.00350	-0.01245	50.0	50.0	-0.00022	45.0	45.0	-0.03000	-45.0	5.0

BENDING COMBINATION N. 1 : ULTIMATE STRESS AND STRAIN

Concrete vertices:

N.Vertex Assigned numbers to concrete vertices
Reg. Number of concrete region to which it relates the vertices
Xc, Yc X-coordinate, Y-coordinate [cm] of vertices in the reference X,Y,O
Sc Stress [Mpa] in each vertex (+ if compressive)
e c Strain in each vertex

RELAZIONE DI CALCOLO

COMMESSA	LOTTO	CODIFICA	DOCUMENTO	REV.	FOGLIO
NRIJ	01 D 29	CL	IV0104 001	B	84 di 341

Vert.N.	Reg.	Xc	Yc	Sc	e c
1	1	-50.00	0.00	0.00	-0.0212813
2	1	-50.00	50.00	18.13	0.0035000
3	1	50.00	50.00	18.13	0.0035000
4	1	50.00	0.00	0.00	-0.0212813

Longitudinal Bars:

Bar N.	Order numbers assigned to the bars
Xs, Ys	X-coordinate, Y-coordinate [cm] of single bar in the reference X,Y,O
Ss	Stress [Mpa] in each bar (+ if compressive)
e s	Strain in each bar

Bar N.	Xs	Ys	Ss	e s
1	-45.00	5.00	-391.30	-0.0188032
2	-45.00	45.00	204.37	0.0010219
3	45.00	45.00	204.37	0.0010219
4	45.00	5.00	-391.30	-0.0188032
5	-35.00	5.00	-391.30	-0.0188032
6	-25.00	5.00	-391.30	-0.0188032
7	-15.00	5.00	-391.30	-0.0188032
8	-5.00	5.00	-391.30	-0.0188032
9	5.00	5.00	-391.30	-0.0188032
10	15.00	5.00	-391.30	-0.0188032
11	25.00	5.00	-391.30	-0.0188032
12	35.00	5.00	-391.30	-0.0188032
13	-35.00	45.00	204.37	0.0010219
14	-25.00	45.00	204.37	0.0010219
15	-15.00	45.00	204.37	0.0010219
16	-5.00	45.00	204.37	0.0010219
17	5.00	45.00	204.37	0.0010219
18	15.00	45.00	204.37	0.0010219
19	25.00	45.00	204.37	0.0010219
20	35.00	45.00	204.37	0.0010219

BENDING COMBINATION N. 2 : ULTIMATE STRESS AND STRAIN

Concrete vertices:

Vert.N.	Reg.	Xc	Yc	Sc	e c
1	1	-50.00	0.00	18.13	0.0035000
2	1	-50.00	50.00	0.00	-0.0189715
3	1	50.00	50.00	0.00	-0.0189715
4	1	50.00	0.00	18.13	0.0035000

Longitudinal Bars:

Bar N.	Xs	Ys	Ss	e s
1	-45.00	5.00	250.57	0.0012529
2	-45.00	45.00	-391.30	-0.0167243
3	45.00	45.00	-391.30	-0.0167243
4	45.00	5.00	250.57	0.0012529
5	-35.00	5.00	250.57	0.0012529
6	-25.00	5.00	250.57	0.0012529
7	-15.00	5.00	250.57	0.0012529
8	-5.00	5.00	250.57	0.0012529
9	5.00	5.00	250.57	0.0012529
10	15.00	5.00	250.57	0.0012529
11	25.00	5.00	250.57	0.0012529
12	35.00	5.00	250.57	0.0012529
13	-35.00	45.00	-391.30	-0.0167243
14	-25.00	45.00	-391.30	-0.0167243
15	-15.00	45.00	-391.30	-0.0167243
16	-5.00	45.00	-391.30	-0.0167243
17	5.00	45.00	-391.30	-0.0167243
18	15.00	45.00	-391.30	-0.0167243
19	25.00	45.00	-391.30	-0.0167243
20	35.00	45.00	-391.30	-0.0167243

RELAZIONE DI CALCOLO

COMMESSA	LOTTO	CODIFICA	DOCUMENTO	REV.	FOGLIO
NRIJ	01 D 29	CL	IV0104 001	B	85 di 341

BENDING COMBINATION N. 3 : ULTIMATE STRESS AND STRAIN

Concrete vertices:

Vert.N.	Reg.	Xc	Yc	Sc	e c
1	1	-50.00	0.00	0.00	-0.0337189
2	1	-50.00	50.00	18.13	0.0035000
3	1	50.00	50.00	18.13	0.0035000
4	1	50.00	0.00	0.00	-0.0337189

Longitudinal Bars:

Bar N.	Xs	Ys	Ss	e s
1	-45.00	5.00	-391.30	-0.0299970
2	-45.00	45.00	-44.38	-0.0002219
3	45.00	45.00	-44.38	-0.0002219
4	45.00	5.00	-391.30	-0.0299970
5	-35.00	5.00	-391.30	-0.0299970
6	-25.00	5.00	-391.30	-0.0299970
7	-15.00	5.00	-391.30	-0.0299970
8	-5.00	5.00	-391.30	-0.0299970
9	5.00	5.00	-391.30	-0.0299970
10	15.00	5.00	-391.30	-0.0299970
11	25.00	5.00	-391.30	-0.0299970
12	35.00	5.00	-391.30	-0.0299970
13	-35.00	45.00	-44.38	-0.0002219
14	-25.00	45.00	-44.38	-0.0002219
15	-15.00	45.00	-44.38	-0.0002219
16	-5.00	45.00	-44.38	-0.0002219
17	5.00	45.00	-44.38	-0.0002219
18	15.00	45.00	-44.38	-0.0002219
19	25.00	45.00	-44.38	-0.0002219
20	35.00	45.00	-44.38	-0.0002219

ULTIMATE LIMIT STATE - POSITION OF NEUTRAL AXIS FOR EACH COMBINATION

a, b, c Coeff. a, b, c in neutral axis equation: $aX+bY+c=0$ reference X,Y,O
x/d Ratio of the depth of neutral axis to the effective depth of the section
D Ratio of redistributed moment to the elastic moment in continuous beams [eq.(5.10)EC2]

Comb.N.	a	b	c	x/d	D
1	0.000000000	0.000495627	-0.021281348	0.157	0.700
2	0.000000000	-0.000449429	0.003500000	0.173	0.700
3	0.000000000	0.000744377	-0.033718859	0.104	0.700

SLS CHARACTERISTIC COMBINATIONS - STRESS LIMITATION [§ 7.2 EC2]

Tension in concrete: Not considered in any case
Check Result of Check
Reg Number of current concrete sub-region of the cross section
Sc max (Sc lim) Max compressive stress (+) in concrete [Mpa]. Code limit stress Sc lim is shown between brackets
Xc max, Yc max X-coordinae, Y-coordinate [cm] of concrete vertex corresponding to Sc max (reference X,Y,O)
Ss min (Ss lim) Min stress (- if tensile) in steel bars [Mpa], Code limit stress is shown between brackets
Xs min, Ys min X-coordinae, Y-coordinate [cm] of bar corresponding to Ss min (reference X,Y,O)
Ac eff Effective tension area [cm²] that is the area of concrete surrounding the tension reinforcement (for crack width control)
As eff Area of tension steel bars [cm²] within Ac eff (for crack width control)
r eff Geometrical ratio $Ac\ eff/As\ eff$ [eq.(7.10) Ec2]

NComb	Reg	Check	Sc max	Xc max	Yc max	Ss min	Xs min	Ys min	Ac eff	As eff	r eff
1	1	OK	8.34 (19.2)	50.0	0.0	-213.1 (360.0)	-15.0	45.0	1100	31.4	0.029
2	1	OK	8.34 (19.2)	-50.0	50.0	-213.1 (360.0)	-25.0	5.0	1100	31.4	0.029

SLS CHARACTERISTIC - CRACK WIDTH [§ 7.3.4 EC2]

Section is assumed always cracked even if flexural tensile stress does not exceeds f_{ctm}

RELAZIONE DI CALCOLO

COMMESSA	LOTTO	CODIFICA	DOCUMENTO	REV.	FOGLIO
NRLJ	01 D 29	CL	IV0104 001	B	86 di 341

Check	Result of check
e1	Greater concrete tensile strain (tension is -) assessed in cracked section
e2	Lesser concrete tensile strain within the entire section (tension is -) assessed in cracked section
k1	= 0.8 high bond bars assigned [see eq.(7.11) EC2]
kt	= 0.6 for frequent and characteristic SLS; = 0.4 for q.perm SLS [see eq.(7.9) EC2]
k2	= 0.5 for bending; $= (e1 + e2) / (2 * e1)$ for eccentric tension [see eq.(7.13) EC2]
k3	= 3.400 Coeff. in eq. (7.11) according to national annex
k4	= 0.425 Coeff. in eq. (7.11) according to national annex
Ø	Bar diameter [mm] or equivalent diameter of tensile bars in Ac eff [eq.(7.11)]
e sm - e cm	Difference between the mean strain of tensile steel and concrete [eq.(7.8)]
	Between brackets: Minimum value of eq.(7.9) = 0.6 Smax / Es
sr max	Max final crack [mm] spacing
wk	Calculated value [mm] of crack width = sr max * (e sm - e cm) [eq.(7.8)]. Limit value of wk is shown between brackets
MX crack	First cracking bending moment around X axis [kNm]
MY crack	First cracking bending moment around Y axis [kNm]

Comb.N.	Check	e1	e2	k2	Ø	e sm - e cm	sr max	wk	Mx crack	My crack
1	OK	-0.00125	0	0.500	20.0	0.00069 (0.00064)	255	0.177	-188.23	0.00
2	OK	-0.00125	0	0.500	20.0	0.00069 (0.00064)	255	0.177	188.23	0.00

SLS - CHARACTERISTIC COMBINATION N. 1 : RELEVANT STRESS AND STRAIN

N.Vertex	Assigned numbers to concrete vertices
Reg.	Number of concrete region to which it relates the vertices
Xc, Yc	X-coordinate, Y-coordinate [cm] of vertices in the reference X,Y,O
Sc	Stress [Mpa] in each vertex (+ if compressive)
e c	Strain in each vertex

Concrete region:

N.Vertex	Reg.	Xc	Yc	Sc	e c
1	1	-50.0	0.0	8.343	0.0006257
2	1	-50.0	50.0	0.000	-0.0012535
3	1	50.0	50.0	0.000	-0.0012535
4	1	50.0	0.0	8.343	0.0006257

Longitudinal bars:

N. Bar	Assigned numbers to each bar
Xs, Ys	X-coordinate, Y-coordinate [cm] of each bar in the reference X,Y,O
Ss	Stress [Mpa] in each bar (+ if compressive)
e s	Strain in each bar

N. Bar	Xs	Ys	Ss	e s
1	-45.0	5.0	87.56	0.0004378
2	-45.0	45.0	-213.12	-0.0010656
3	45.0	45.0	-213.12	-0.0010656
4	45.0	5.0	87.56	0.0004378
5	-35.0	5.0	87.56	0.0004378
6	-25.0	5.0	87.56	0.0004378
7	-15.0	5.0	87.56	0.0004378
8	-5.0	5.0	87.56	0.0004378
9	5.0	5.0	87.56	0.0004378
10	15.0	5.0	87.56	0.0004378
11	25.0	5.0	87.56	0.0004378
12	35.0	5.0	87.56	0.0004378
13	-35.0	45.0	-213.12	-0.0010656
14	-25.0	45.0	-213.12	-0.0010656
15	-15.0	45.0	-213.12	-0.0010656
16	-5.0	45.0	-213.12	-0.0010656
17	5.0	45.0	-213.12	-0.0010656
18	15.0	45.0	-213.12	-0.0010656
19	25.0	45.0	-213.12	-0.0010656
20	35.0	45.0	-213.12	-0.0010656

SLS - CHARACTERISTIC COMBINATION N. 2 : RELEVANT STRESS AND STRAIN

Concrete region:

RELAZIONE DI CALCOLO

COMMESSA	LOTTO	CODIFICA	DOCUMENTO	REV.	FOGLIO
NRIJ	01 D 29	CL	IV0104 001	B	87 di 341

N.Vertex	Reg.	Xc	Yc	Sc	e c
1	1	-50.0	0.0	0.000	-0.0012535
2	1	-50.0	50.0	8.343	0.0006257
3	1	50.0	50.0	8.343	0.0006257
4	1	50.0	0.0	0.000	-0.0012535

Longitudinal bars:

N. Bar	Xs	Ys	Ss	e s
1	-45.0	5.0	-213.12	-0.0010656
2	-45.0	45.0	87.56	0.0004378
3	45.0	45.0	87.56	0.0004378
4	45.0	5.0	-213.12	-0.0010656
5	-35.0	5.0	-213.12	-0.0010656
6	-25.0	5.0	-213.12	-0.0010656
7	-15.0	5.0	-213.12	-0.0010656
8	-5.0	5.0	-213.12	-0.0010656
9	5.0	5.0	-213.12	-0.0010656
10	15.0	5.0	-213.12	-0.0010656
11	25.0	5.0	-213.12	-0.0010656
12	35.0	5.0	-213.12	-0.0010656
13	-35.0	45.0	87.56	0.0004378
14	-25.0	45.0	87.56	0.0004378
15	-15.0	45.0	87.56	0.0004378
16	-5.0	45.0	87.56	0.0004378
17	5.0	45.0	87.56	0.0004378
18	15.0	45.0	87.56	0.0004378
19	25.0	45.0	87.56	0.0004378
20	35.0	45.0	87.56	0.0004378

SLS FREQUENT COMBINATIONS - STRESS LIMITATION [§ 7.2 EC2]

NComb	Reg	Check	Sc max	Xc max	Yc max	Ss min	Xs min	Ys min	Ac eff	As eff	r eff
1	1	OK	0.79 (19.2)	-50.0	50.0	-115.6 (360.0)	-45.0	5.0	1250	31.4	0.025

SLS FREQUENT - CRACK WIDTH [§ 7.3.4 EC2]

Comb.N.	Check	e1	e2	k2	∅	e sm - e cm	sr max	wk	Mx crack	My crack
1	OK	-0.00065	0	0.500	20.0	0.00035 (0.00035)	271	0.094 (0.30)	118.28	0.00

SLS - FREQUENT COMBINATION N. 1 : RELEVANT STRESS AND STRAIN

N.Vertex	Assigned numbers to concrete vertices
Reg.	Number of concrete region to which it relates the vertices
Xc, Yc	X-coordinate, Y-coordinate [cm] of vertices in the reference X,Y,O
Sc	Stress [Mpa] in each vertex (+ if compressive)
e c	Strain in each vertex

Concrete region:

N.Vertex	Reg.	Xc	Yc	Sc	e c
1	1	-50.0	0.0	0.000	-0.0006485
2	1	-50.0	50.0	0.787	0.0000590
3	1	50.0	50.0	0.787	0.0000590
4	1	50.0	0.0	0.000	-0.0006485

Longitudinal bars:

N. Bar	Assigned numbers to each bar
Xs, Ys	X-coordinate, Y-coordinate [cm] of each bar in the reference X,Y,O
Ss	Stress [Mpa] in each bar (+ if compressive)
e s	Strain in each bar

N. Bar	Xs	Ys	Ss	e s
1	-45.0	5.0	-115.55	-0.0005778
2	-45.0	45.0	-2.34	-0.0000117

RELAZIONE DI CALCOLO

COMMESSA	LOTTO	CODIFICA	DOCUMENTO	REV.	FOGLIO
NRIJ	01 D 29	CL	IV0104 001	B	88 di 341

3	45.0	45.0	-2.34	-0.0000117
4	45.0	5.0	-115.55	-0.0005778
5	-35.0	5.0	-115.55	-0.0005778
6	-25.0	5.0	-115.55	-0.0005778
7	-15.0	5.0	-115.55	-0.0005778
8	-5.0	5.0	-115.55	-0.0005778
9	5.0	5.0	-115.55	-0.0005778
10	15.0	5.0	-115.55	-0.0005778
11	25.0	5.0	-115.55	-0.0005778
12	35.0	5.0	-115.55	-0.0005778
13	-35.0	45.0	-2.34	-0.0000117
14	-25.0	45.0	-2.34	-0.0000117
15	-15.0	45.0	-2.34	-0.0000117
16	-5.0	45.0	-2.34	-0.0000117
17	5.0	45.0	-2.34	-0.0000117
18	15.0	45.0	-2.34	-0.0000117
19	25.0	45.0	-2.34	-0.0000117
20	35.0	45.0	-2.34	-0.0000117

SLS QUASI-PERMANENT COMBINATIONS - STRESS LIMITATION [§ 7.2 EC2]

NComb	Reg	Check	Sc max	Xc max	Yc max	Ss min	Xs min	Ys min	Ac eff	As eff	r eff
1	1	OK	1.01 (14.4)	-50.0	50.0	-77.2 (360.0)	-25.0	5.0	1250	31.4	0.025

SLS QUASI-PERMANENT - CRACK WIDTH [§ 7.3.4 EC2]

Comb.N.	Check	e1	e2	k2	Ø	e sm - e cm	sr max	wk	Mx crack	My crack
1	OK	-0.00044	0	0.500	20.0	0.00023 (0.00023)	271	0.063 (0.20)	131.75	0.00

SLS - QUASI-PERMANENT COMBINATION N. 1 : RELEVANT STRESS AND STRAIN

N.Vertex	Assigned numbers to concrete vertices
Reg.	Number of concrete region to which it relates the vertices
Xc, Yc	X-coordinate, Y-coordinate [cm] of vertices in the reference X,Y,O
Sc	Stress [Mpa] in each vertex (+ if compressive)
e c	Strain in each vertex

Concrete region:

N.Vertex	Reg.	Xc	Yc	Sc	e c
1	1	-50.0	0.0	0.000	-0.0004375
2	1	-50.0	50.0	1.010	0.0000758
3	1	50.0	50.0	1.010	0.0000758
4	1	50.0	0.0	0.000	-0.0004375

Longitudinal bars:

N. Bar	Assigned numbers to each bar
Xs, Ys	X-coordinate, Y-coordinate [cm] of each bar in the reference X,Y,O
Ss	Stress [Mpa] in each bar (+ if compressive)
e s	Strain in each bar

N. Bar	Xs	Ys	Ss	e s
1	-45.0	5.0	-77.23	-0.0003862
2	-45.0	45.0	4.89	0.0000244
3	45.0	45.0	4.89	0.0000244
4	45.0	5.0	-77.23	-0.0003862
5	-35.0	5.0	-77.23	-0.0003862
6	-25.0	5.0	-77.23	-0.0003862
7	-15.0	5.0	-77.23	-0.0003862
8	-5.0	5.0	-77.23	-0.0003862
9	5.0	5.0	-77.23	-0.0003862
10	15.0	5.0	-77.23	-0.0003862
11	25.0	5.0	-77.23	-0.0003862
12	35.0	5.0	-77.23	-0.0003862

RELAZIONE DI CALCOLO

COMMESSA	LOTTO	CODIFICA	DOCUMENTO	REV.	FOGLIO
NRIJ	01 D 29	CL	IV0104 001	B	89 di 341

13	-35.0	45.0	4.89	0.0000244
14	-25.0	45.0	4.89	0.0000244
15	-15.0	45.0	4.89	0.0000244
16	-5.0	45.0	4.89	0.0000244
17	5.0	45.0	4.89	0.0000244
18	15.0	45.0	4.89	0.0000244
19	25.0	45.0	4.89	0.0000244
20	35.0	45.0	4.89	0.0000244

SLS - CHECK OF MINIMUM REINFORCEMENT AREA FOR CRACK CONTROL (§ 7.3.2 EC2)

Comb.N.	Order numbers assigned to SLS combination
Comb.Type	Frequent or Quasi-Permanent combination
Region	Number and type (web or flange) of sub-regions (as parts of the concrete cross-section)
k	Coeff. wich allows for the effects of non-uniform self-equilibrating stresse [eq.(7.1) EC2]
kc	Coeff. wich takes account of the stress distribution prior to cracking [eq.(7.2)-(7.3) EC2]
Act	Area of concrete (for each sub-region) within tension zone just before formation of first crack [eq.(7.1) EC2]
Ned	Axial force [kN] (+ if compressive) acting within each sub-region just before of first crack
Sc	= Ned/Act = mean stress [Mpa] within each concrete sub-region [eq.(7.1) EC2]
k1	Coeff. considering the effects of axial force on the stress distribution (rectangular section or web sub-region)
Fcr	Absolute value of the tensile force [kN] within the flange just prior to cracking
As reg	Area [cm ²] of longitudinal bars within the tension area of each sub-region
As,min	Minimum Area [cm ²] of longitudinal bars to be placed within the tension area of each sub-region

Comb.N.	Comb.Type	Region	k	kc	Act	Ned	Sc	k1	Fcr	As reg	As,min
1	Frequent	1 (Web)	0.79	0.52	3650	---	---	---	-347.69	31.4	12.6
1	Quasi-perm.	1 (Web)	0.79	0.46	3250	---	---	---	-224.19	31.4	10.0

Le verifici resulti soddisfatta adottando armatura $\Phi 20/10$ disposta si un strato il lato interno (verticale) ed esterno (verticale)

10.1.3.2 Verifica taglio muro paraghiaia

Sono adottate armature a taglio e non necessita.

VERIFICA A TAGLIO DELLA SEZIONE IN C.A. SECONDO D.M. 17/01/2018 § 4.1.2.3.5
• Caratteristiche della sezione

$b_w = 1000$	mm	larghezza	$f_{yk} = 450$	MPa	resist. caratteristica
$h = 500$	mm	altezza	$\gamma_s = 1.15$		coeff. sicurezza
$c = 50$	mm	copriferro	$f_{yd} = 391.3$	MPa	resist. di calcolo
$f_{ck} = 32$	MPa	resist. caratteristica	Armatura longitudinale tesa:		
$\gamma_c = 1.50$		coeff. sicurezza	$A_{sl,1} = 10$	Ø	20 = 31.42 cm ²
$\alpha_{cc} = 0.85$		coeff. riduttivo	$A_{sl,2} = 0$	Ø	0 = 0.00 cm ²
$d = 450$	mm	altezza utile	$A_{sl,3} = 0$	Ø	0 = 0.00 cm ²
$f_{cd} = 18.13$	MPa	resist. di calcolo	31.42 cm ²		

• Sollecitazioni (compressione < 0, trazione > 0, taglio in valore assoluto)

$$N_{ed} = -450.0 \text{ kN} \quad V_{ed} = 270.0 \text{ kN}$$

• Elementi senza armature trasversali resistenti a taglio

$k = 1 + (200/d)^{1/2} < 2$	$k = 1.667$	< 2
$v_{min} = 0,035 k^{3/2} f_{ck}^{1/2}$	$v_{min} = 0.426$	
$\rho_1 = A_{sl}/(b_w \times d) < 0.02$	$\rho_1 = 0.007$	< 0.02
$\sigma_{cp} = N_{Ed}/A_c < 0.2 f_{cd}$	$\sigma_{cp} = -0.90$	MPa < 0.2 fcd

$$V_{Rd} = (0,18 \times k \times (100 \times \rho_1 \times f_{ck})^{1/3} / \gamma_c + 0,15 \times \sigma_{cp}) \times b_w \times d > (v_{min} + 0,15 \times \sigma_{cp}) \times b_w \times d$$

$$V_{Rd} = 314.2 \text{ kN}; \quad (\text{con } (v_{min} + 0,15 \times \sigma_{cp}) \times b_w \times d = 252.5 \text{ kN})$$

$$V_{Rd} = 314.2 \text{ kN} \quad \text{valore di calcolo}$$

la sezione è verificata in assenza di armature per il taglio

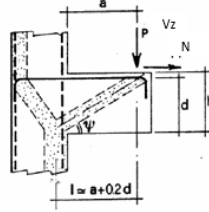
10.1.4 Platea di fondazione
10.1.4.1 Verifica tirante puntone

La platea di fondazione è stata verificata relativamente al meccanismo di tirante-puntone, come indicato in [4.1.2.1.5 NTC 18]:

RELAZIONE DI CALCOLO

COMMESSA	LOTTO	CODIFICA	DOCUMENTO	REV.	FOGLIO
NRIJ	01 D 29	CL	IV0104 001	B	91 di 341

MENSOLA TOZZA		
h	150	cm
Cmed	8	cm
d	142	cm
b piastra	150	cm
b cls max	150	cm
P	4800	kN
a	130.0	cm
H	0	kN
l	158.4	cm
λ	1.24	
f _{yd}	391.3	Mpa
As min	152.04	cm ²
n1	20	
φ	32	mm
As1	160.85	cm ²
n2	0	
φ	0	mm
As2	0.00	cm ²
Astot	160.85	cm ²
PRs	5078	kN
Meccanismo	I	
b cls eff	150	cm
i	15.8	cm
R _{ck}	30	MPa
f _{cd}	14.1	MPa
c	1.0	
PR _c	7549	kN
PR _c ≥ PR _s	si	
F.S.	1.06	



SLV		
Sh. Key Tr		
N	0	kN
VZ	4800	kN
MY	6240	kNm
a	1.300	m

SLE		
P	4800	kN
H	0	kN
σ _s	370	Mpa
σ _c (compr)	14.29	Mpa

La verifica risulta soddisfatta adottando armatura Φ32/15 disposta su un strato inferiormente.

10.1.4.2 Verifica della platea di fondazione con i valori di sollecitazione da analisi

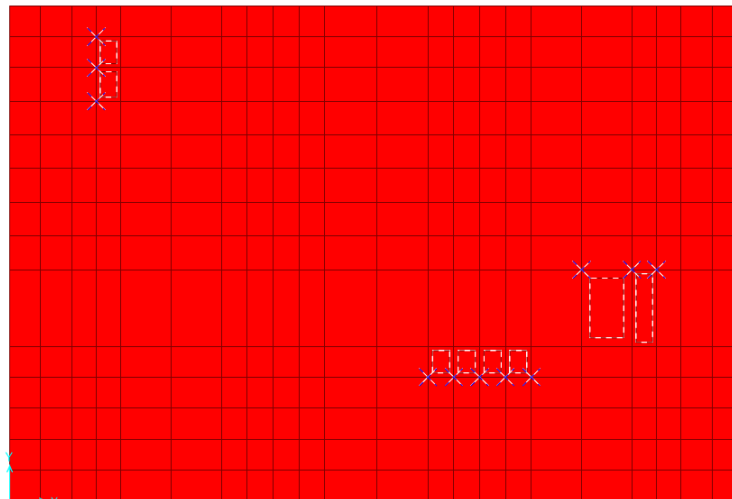


Fig. 66 – Section cuts platea di fondazione

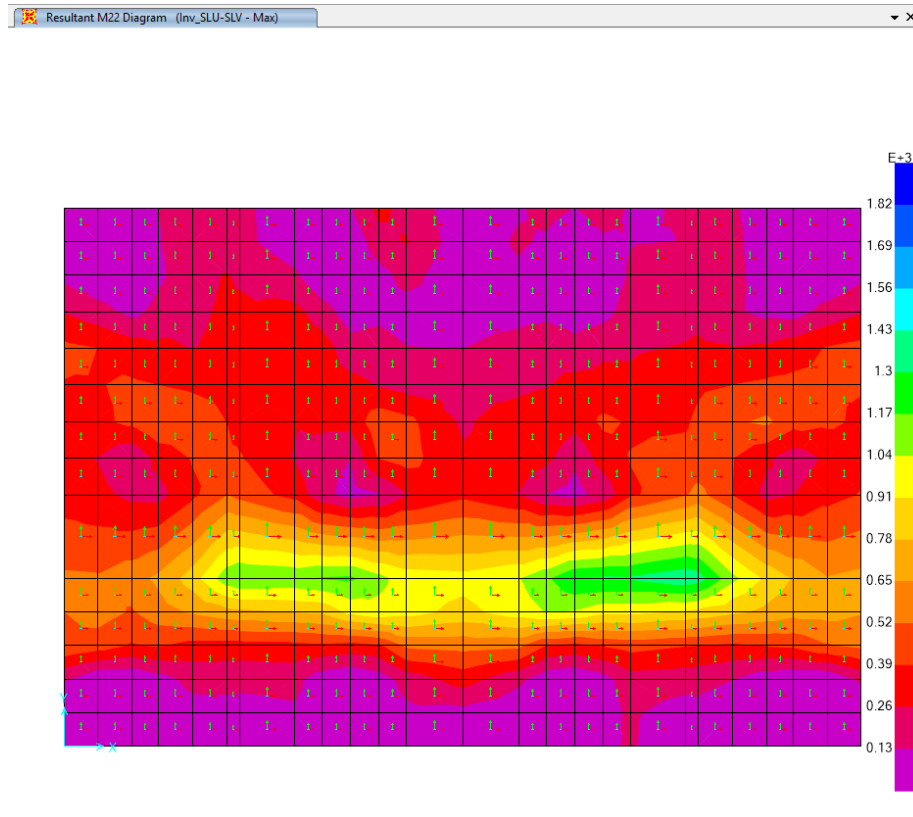


Fig. 67 – Sollecitazioni M22 platea di fondazione

Sollecitazioni dimensionamenti:

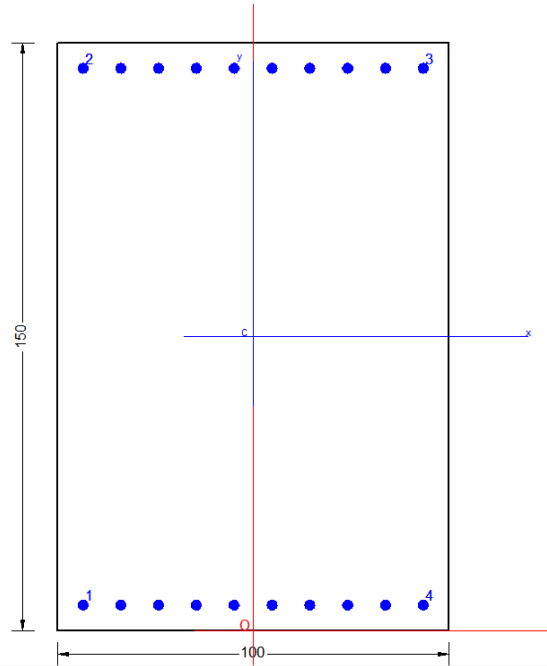
TABELLA: Sollecitazioni nei muri andatori			
P	M11	M22	
0	1050	0,00	Min M11
0	-50	0,00	Max M11
0	0,00	530	Min M22
0	0,00	-235	Max M22
Sollecitazioni SLE			
350	550	0,00	SLE crit. Min M11
-300	300	0,00	SLE crit. Max M11
350	0,00	400	SLE crit. Min M22
-230	0,00	350	SLE crit. Max M22

RELAZIONE DI CALCOLO

COMMESSA	LOTTO	CODIFICA	DOCUMENTO	REV.	FOGLIO
NRIJ	01 D 29	CL	IV0104 001	B	93 di 341

- Sezione in prossimità dell'incastro con muro frontale:

In direzione longitudinale è stata assunta inferiormente un'armatura $\Phi 26/13$ disposta su un strato, superiormente su un unico strato.



GENERAL DATA OF GENERIC RC CROSS-SECTION

Section Name: Sol_Fund.secEC

(File path: S:\Projects\18005_0549D07_Cesano Vigna di Valle\Work\01 Cavalcaferrovia\IV01_km 29+500\SAP2000 Model Abutment\Excel\IRC-SEC_rev1\Sol_Fund.secEC)

Section description:
 Section type: Beam
 Reference code: EC2/EC8 Italian Annex
 Exposure Class: XC4 - Carbonation (cyclic wet and dry)
 Stress path: Constant axial force force to achieve bending ULS
 Reference of assigned forces: Principal axes y,y of inertia

MATERIALS DATA

CONCRETE -	Class:	C25/30
	Design compressive strength fcd:	14.2 MPa
	Shear reduced compressive strenght $v1*fcd$:	7.1 MPa (6.9)EC2
	Strain at max strength ec2:	0.0020
	Ultimate strain ecu:	0.0035
	Compression diagram stress-strain:	Parabola-Rettangle
	Mean Elastic Modulus Ecm:	31475.8 MPa
	Mean tensile strength fctm:	2.6 MPa
	Es/Ec in SLS combination:	15.00
	Stress limit in SLS Characteristic comb.:	15.0 kN/cm?
STEEL -	Longitudinal Bars and Stirrups:	B450C
	Characteristic yield stress fyk:	450.00 MPa
	Tensile strength ftk:	540.0 MPa
	Design yield stress fyd:	391.3 MPa
	Design strength ftd:	391.3 MPa
	Design ultimate strain esu:	0.068
	Mean elastic modulus Es:	200000.0 MPa
	SLS Charact. - Ss Limit:	360.00 MPa

GEOMETRICAL DATA OF CONCRETE CROSS-SECTION

RELAZIONE DI CALCOLO

COMMESSA	LOTTO	CODIFICA	DOCUMENTO	REV.	FOGLIO
NRIJ	01 D 29	CL	IV0104 001	B	94 di 341

Shape of Region: Polygonal
Concrete Class: C25/30

Vertex N.:	X [cm]	Y [cm]
1	-50.0	0.0
2	-50.0	150.0
3	50.0	150.0
4	50.0	0.0

DATA ISOLATED LONGITUDINAL BARS

Bar N.	X [cm]	Y [cm]	Diam \varnothing [mm]
1	-43.5	6.5	26
2	-43.5	143.5	26
3	43.5	143.5	26
4	43.5	6.5	26

DATA OF LINEAR GENERATIONS OF LONGITUDINAL BARS

N. Gen. Number of generated bars of the current linear generation
N.Initial Bar Order number of initial bar (between the isolated bars just defined)
N.Final Bar Order number of final bar (between the isolated bars just defined)
N. Bars Number of bars generated equidistant in the current generation
 \varnothing Diameter [mm] of generated bars

Gen.N.	Initial Bar	Final Bar	N. Bars	\varnothing
1	1	4	8	26
2	2	3	8	26

ULTIMATE LIMIT STATE - ASSIGNED DESIGN FORCES FOR EACH COMBINATION

N d Design axial force [kN] applied at centroid of concrete section (+ if compressive)
Mx d Design bending force [kNm] around x principal axis of inertia
My d Design bending force [kNm] around y principal axis of inertia
Vy d Design shear component [kN] parallel to y principal axis of inertia
Vx d Design shear component [kN] parallel to x principal axis of inertia

Comb.N.	N d	Mx d	My d	Vy d	Vx d
1	0.00	1050.00	0.00	0.00	0.00
2	0.00	-500.00	0.00	0.00	0.00

SERVICEABILITY LIMIT STATES - CHARACTERISTIC COMB. - ASSIGNED INTERNAL FORCES FOR EACH COMBINATION

N Axial force [kN] applied at the centroid of concrete section (+ if compressive)
Mx Bending force [kNm] around x principal axis of inertia. First cracking value is shown between brackets.
My Bending force [kNm] around y principal axis of inertia. First cracking value is shown between brackets.

Comb.N.	N	Mx	My
1	-350.00	550.00	0.00
2	300.00	300.00	0.00

CHECKS RESULTS

Checks OK for all assigned combinations

Min edge cover of longitudinal bars: 5.2 cm

RELAZIONE DI CALCOLO

COMMESSA	LOTTO	CODIFICA	DOCUMENTO	REV.	FOGLIO
NRIJ	01 D 29	CL	IV0104 001	B	95 di 341

Min distance between longitudinal bars: 7.1 cm

ULTIMATE LIMIT STATES - N-MX-MY CAPACITY CHECKS

Check	Result of check
N	Design axial force [kN] applied at the centroid of concrete section (+ if compressive)
Mx	Design bending moment [kNm] around x axis principal of inerzia
My	Design bending moment [kNm] around y axis principal of inerzia
N ult	Axial force capacity [kN] (+ if compressive)
Mx ult	Bending moment capacity [kNm] around x axis principal of inertia
My ult	Bending moment capacity [kNm] around y axis principal of inertia
S.F.	Safety Factor = vectorial ratio of (N ult,Mx ult,My ult) to (N,Mx,My). Check OK if ratio >=1.00
As Tension	Area [cm ²] of bars in tension (beam section). Min area for code is shown between brackets [eq.(9.1N) EC2]

Comb.N.	Check	N	Mx	My	N ult	Mx ult	My ult	S.F.	As Tension
1	OK	0.00	1050.00	0.00	0.00	2874.76	0.00	2.738	53.1(21.3)
2	OK	0.00	-500.00	0.00	0.00	-2874.76	0.00	5.750	53.1(21.3)

ULTIMATE LIMIT STATE - BENDING AND AXIAL FORCE - STRAIN VALUES

ec max	Ultimate compressive strain in concrete
ec*	Strain in the concrete fiber at ec2/ecu of depth (if ec*>0 then the section is all compressed)
Xc max	X-coordinate [cm] in the concrete point in wich is ec max
Yc max	Y-coordinate [cm] in the concrete point in wich is ec max
es max	Max strain in steel bars (+ if compressive)
Xs max	X-coordinate [cm] of bar in wich is es max
Ys max	Y-coordinate [cm] of bar in wich is es max
es min	Min strain in steel bars (+ if compressive)
Xs min	X-coordinate [cm] of bar in wich is es min
Ys min	Y-coordinate [cm] of bar in wich is es min

Comb.N.	ec max	ec*	Xc max	Yc max	es max	Xs max	Ys max	es min	Xs min	Ys min
1	0.00350	-0.02141	-50.0	150.0	0.00098	-43.5	143.5	-0.05211	-43.5	6.5
2	0.00350	-0.02141	-50.0	0.0	0.00098	-43.5	6.5	-0.05211	-43.5	143.5

BENDING COMBINATION N. 1 : ULTIMATE STRESS AND STRAIN

Concrete vertices:

N.Vertex	Reg.	Xc, Yc	Sc	e c

Vert.N.	Reg.	Xc	Yc	Sc	e c
1	1	-50.00	0.00	0.00	-0.0546340
2	1	-50.00	150.00	14.17	0.0035000
3	1	50.00	150.00	14.17	0.0035000
4	1	50.00	0.00	0.00	-0.0546340

Longitudinal Bars:

Bar N.	Xs, Ys	Ss	e s

Bar N.	Xs	Ys	Ss	e s
1	-43.50	6.50	-391.30	-0.0521149
2	-43.50	143.50	196.17	0.0009809
3	43.50	143.50	196.17	0.0009809
4	43.50	6.50	-391.30	-0.0521149
5	-33.83	6.50	-391.30	-0.0521149
6	-24.17	6.50	-391.30	-0.0521149
7	-14.50	6.50	-391.30	-0.0521149
8	-4.83	6.50	-391.30	-0.0521149

RELAZIONE DI CALCOLO

COMMESSA	LOTTO	CODIFICA	DOCUMENTO	REV.	FOGLIO
NRIJ	01 D 29	CL	IV0104 001	B	96 di 341

9	4.83	6.50	-391.30	-0.0521149
10	14.50	6.50	-391.30	-0.0521149
11	24.17	6.50	-391.30	-0.0521149
12	33.83	6.50	-391.30	-0.0521149
13	-33.83	143.50	196.17	0.0009809
14	-24.17	143.50	196.17	0.0009809
15	-14.50	143.50	196.17	0.0009809
16	-4.83	143.50	196.17	0.0009809
17	4.83	143.50	196.17	0.0009809
18	14.50	143.50	196.17	0.0009809
19	24.17	143.50	196.17	0.0009809
20	33.83	143.50	196.17	0.0009809

BENDING COMBINATION N. 2 : ULTIMATE STRESS AND STRAIN

Concrete vertices:

Vert.N.	Reg.	Xc	Yc	Sc	e c
1	1	-50.00	0.00	14.17	0.0035000
2	1	-50.00	150.00	0.00	-0.0546340
3	1	50.00	150.00	0.00	-0.0546340
4	1	50.00	0.00	14.17	0.0035000

Longitudinal Bars:

Bar N.	Xs	Ys	Ss	e s
1	-43.50	6.50	196.17	0.0009809
2	-43.50	143.50	-391.30	-0.0521149
3	43.50	143.50	-391.30	-0.0521149
4	43.50	6.50	196.17	0.0009809
5	-33.83	6.50	196.17	0.0009809
6	-24.17	6.50	196.17	0.0009809
7	-14.50	6.50	196.17	0.0009809
8	-4.83	6.50	196.17	0.0009809
9	4.83	6.50	196.17	0.0009809
10	14.50	6.50	196.17	0.0009809
11	24.17	6.50	196.17	0.0009809
12	33.83	6.50	196.17	0.0009809
13	-33.83	143.50	-391.30	-0.0521149
14	-24.17	143.50	-391.30	-0.0521149
15	-14.50	143.50	-391.30	-0.0521149
16	-4.83	143.50	-391.30	-0.0521149
17	4.83	143.50	-391.30	-0.0521149
18	14.50	143.50	-391.30	-0.0521149
19	24.17	143.50	-391.30	-0.0521149
20	33.83	143.50	-391.30	-0.0521149

ULTIMATE LIMIT STATE - POSITION OF NEUTRAL AXIS FOR EACH COMBINATION

a, b, c Coeff. a, b, c in neutral axis equation: $aX+bY+c=0$ reference X,Y,O
x/d Ratio of the depth of neutral axis to the effective depth of the section
D Ratio of redistributed moment to the elastic moment in continuous beams [eq.(5.10)EC2]

Comb.N.	a	b	c	x/d	D
1	0.000000000	0.000387560	-0.054634002	0.063	0.700
2	0.000000000	-0.000387560	0.003500000	0.063	0.700

SLS CHARACTERISTIC COMBINATIONS - STRESS LIMITATION [§ 7.2 EC2]

Tension in concrete: Not considered in any case
Check Result of Check
Reg Number of current concrete sub-region of the cross section
Sc max (Sc lim) Max compressive stress (+) in concrete [Mpa]. Code limit stress Sc lim is shown between brackets
Xc max, Yc max X-coordinae, Y-coordinate [cm] of concrete vertex corresponding to Sc max (reference X,Y,O)
Ss min (Ss lim) Min stress (- if tensile) in steel bars [Mpa]. Code limit stress is shown between brackets
Xs min, Ys min X-coordinae, Y-coordinate [cm] of bar corresponding to Ss min (reference X,Y,O)
Ac eff Effective tension area [cm²] that is the area of concrete surrounding the tension reinforcement (for crack width control)

RELAZIONE DI CALCOLO

COMMESSA	LOTTO	CODIFICA	DOCUMENTO	REV.	FOGLIO
NRIJ	01 D 29	CL	IV0104 001	B	97 di 341

As eff Area of tension steel bars [cm²] within Ac eff (for crack width control)
r eff Geometrical ratio Ac eff/Ac eff [eq.(7.10) EC2]

NComb	Reg	Check	Sc max	Xc max	Yc max	Ss min	Xs min	Ys min	Ac eff	As eff	r eff
1	1	OK	1.35 (15.0)	50.0	150.0	-108.8 (360.0)	-43.5	6.5	1611	53.1	0.033
2	1	OK	1.04 (15.0)	-50.0	150.0	-19.6 (360.0)	-43.5	6.5	1650	53.1	0.032

SLS CHARACTERISTIC - CRACK WIDTH [§ 7.3.4 EC2]

Section is assumed always cracked even if flexural tensile stress does not exceeds fctm

Check Result of check

e1 Greater concrete tensile strain (tension is -) assessed in cracked section

e2 Lesser concrete tensile strain within the entire section (tension is -) assessed in cracked section

k1 = 0.8 high bond bars assigned [see eq.(7.11) EC2]

kt = 0.6 for frequent and characteristic SLS; = 0.4 for q.perm SLS [see eq.(7.9) EC2]

k2 = 0.5 for bending; = (e1 + e2)/(2*e1) for eccentric tension [see eq.(7.13) EC2]

k3 = 3.400 Coeff. in eq. (7.11) according to national annex

k4 = 0.425 Coeff. in eq. (7.11) according to national annex

∅ Bar diameter [mm] or equivalent diameter of tensile bars in Ac eff [eq.(7.11)]

e sm - e cm Difference between the mean strain of tensile steel and concrete [eq.(7.8)]

Between brackets: Minimum value of eq.(7.9) = 0.6 Smax / Es

sr max Max final crack [mm] spacing

wk Calculated value [mm] of crack width = sr max*(e sm - e cm) [eq.(7.8)]. Limit value of wk is shown between brackets

MX crack First cracking bending moment around X axis[kNm]

MY crack First cracking bending moment around Y axis[kNm]

Comb.N.	Check	e1	e2	k2	∅	e sm - e cm	sr max	wk	Mx crack	My crack
1	OK	-0.00057	0	0.500	26.0	0.00033 (0.00033)	311	0.101	1029.97	0.00
2	OK	-0.00011	0	0.500	26.0	0.00006 (0.00006)	314	0.019	1705.27	0.00

SLS - CHARACTERISTIC COMBINATION N. 1 : RELEVANT STRESS AND STRAIN

N.Vertex Assigned numbers to concrete vertices

Reg. Number of concrete region to which it relates the vertices

Xc, Yc X-coordinate, Y-coordinate [cm] of vertices in the reference X,Y,O

Sc Stress [Mpa] in each vertex (+ if compressive)

e c Strain in each vertex

Concrete region:

N.Vertex	Reg.	Xc	Yc	Sc	e c
1	1	-50.0	0.0	0.000	-0.0005731
2	1	-50.0	150.0	1.347	0.0001010
3	1	50.0	150.0	1.347	0.0001010
4	1	50.0	0.0	0.000	-0.0005731

Longitudinal bars:

N. Bar Assigned numbers to each bar

Xs, Ys X-coordinate, Y-coordinate [cm] of each bar in the reference X,Y,O

Ss Stress [Mpa] in each bar (+ if compressive)

e s Strain in each bar

N. Bar	Xs	Ys	Ss	e s
1	-43.5	6.5	-108.78	-0.0005439
2	-43.5	143.5	14.36	0.0000718
3	43.5	143.5	14.36	0.0000718
4	43.5	6.5	-108.78	-0.0005439
5	-33.8	6.5	-108.78	-0.0005439
6	-24.2	6.5	-108.78	-0.0005439
7	-14.5	6.5	-108.78	-0.0005439
8	-4.8	6.5	-108.78	-0.0005439
9	4.8	6.5	-108.78	-0.0005439
10	14.5	6.5	-108.78	-0.0005439
11	24.2	6.5	-108.78	-0.0005439
12	33.8	6.5	-108.78	-0.0005439
13	-33.8	143.5	14.36	0.0000718

RELAZIONE DI CALCOLO

COMMESSA	LOTTO	CODIFICA	DOCUMENTO	REV.	FOGLIO
NRIJ	01 D 29	CL	IV0104 001	B	98 di 341

14	-24.2	143.5	14.36	0.0000718
15	-14.5	143.5	14.36	0.0000718
16	-4.8	143.5	14.36	0.0000718
17	4.8	143.5	14.36	0.0000718
18	14.5	143.5	14.36	0.0000718
19	24.2	143.5	14.36	0.0000718
20	33.8	143.5	14.36	0.0000718

SLS - CHARACTERISTIC COMBINATION N. 2 : RELEVANT STRESS AND STRAIN

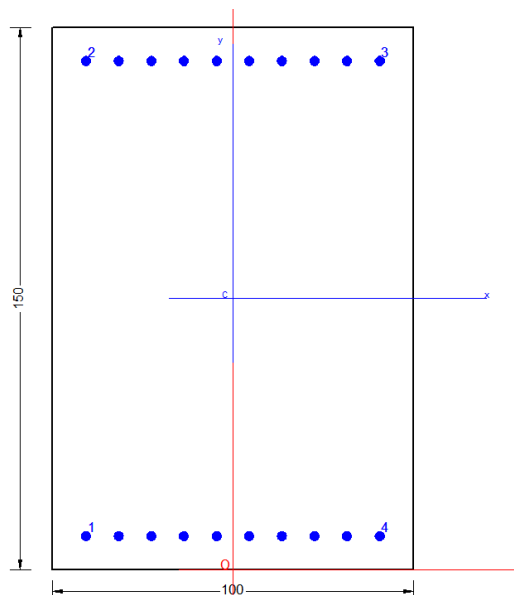
Concrete region:

N.Vertex	Reg.	Xc	Yc	Sc	ec
1	1	-50.0	0.0	0.000	-0.0001062
2	1	-50.0	150.0	1.039	0.0000780
3	1	50.0	150.0	1.039	0.0000780
4	1	50.0	0.0	0.000	-0.0001062

Longitudinal bars:

N. Bar	Xs	Ys	Ss	es
1	-43.5	6.5	-19.65	-0.0000982
2	-43.5	143.5	14.00	0.0000700
3	43.5	143.5	14.00	0.0000700
4	43.5	6.5	-19.65	-0.0000982
5	-33.8	6.5	-19.65	-0.0000982
6	-24.2	6.5	-19.65	-0.0000982
7	-14.5	6.5	-19.65	-0.0000982
8	-4.8	6.5	-19.65	-0.0000982
9	4.8	6.5	-19.65	-0.0000982
10	14.5	6.5	-19.65	-0.0000982
11	24.2	6.5	-19.65	-0.0000982
12	33.8	6.5	-19.65	-0.0000982
13	-33.8	143.5	14.00	0.0000700
14	-24.2	143.5	14.00	0.0000700
15	-14.5	143.5	14.00	0.0000700
16	-4.8	143.5	14.00	0.0000700
17	4.8	143.5	14.00	0.0000700
18	14.5	143.5	14.00	0.0000700
19	24.2	143.5	14.00	0.0000700
20	33.8	143.5	14.00	0.0000700

- Sezione trasversale di estremità:



 ITALFERR GRUPPO FERROVIE DELLO STATO ITALIANE	RADDOPPIO CESANO VIGNA DI VALLE PROGETTO DEFINITIVO					
	RELAZIONE DI CALCOLO	COMMESSA NRLJ	LOTTO 01 D 29	CODIFICA CL	DOCUMENTO IV0104 001	REV. B

In direzione trasversale è stata assunta sia superiormente che inferiormente un'armatura $\Phi 26/10$ disposta su un unico strato.

GENERAL DATA OF GENERIC RC CROSS-SECTION

Section Name: Sol_Fund_M1.secEC

(File path: S:\Projects\18005_0549D07_Cesano Vigna di Valle\Work\01 Cavalcaferrovia\IV01_km 29+50\ISAP2000 Model Abutment\Excell\RC-SEC_rev1\Sol_Fund_M1.secEC)

Section description:

Section type: Beam
 Reference code: EC2/EC8 Italian Annex
 Exposure Class: XC4 - Carbonation (cyclic wet and dry)
 Stress path: Constant axial force force to achieve bending ULS
 Reference of assigned forces: Principal axes y,y of inertia

MATERIALS DATA

CONCRETE -	Class:	C25/30
	Design compressive strength fcd:	14.2 MPa
	Shear reduced compressive strenght $v1*fcd$:	7.1 MPa (6.9)EC2
	Strain at max strength ec2:	0.0020
	Ultimate strain ecu:	0.0035
	Compression diagram stress-strain:	Parabola-Rectangle
	Mean Elastic Modulus Ecm:	31475.8 MPa
	Mean tensile strength fctm:	2.6 MPa
	Es/Ec in SLS combination:	15.00
	Stress limit in SLS Characteristic comb.:	15.0 kN/cm?
STEEL -	Longitudinal Bars and Stirrups:	B450C
	Characteristic yield stress fyk:	450.00 MPa
	Tensile strength ftk:	540.0 MPa
	Design yield stress fyd:	391.3 MPa
	Design strength ftd:	391.3 MPa
	Design ultimate strain esu:	0.068
	Mean elastic modulus Es:	200000.0 MPa
	SLS Charact. - Ss Limit:	360.00 MPa

GEOMETRICAL DATA OF CONCRETE CROSS-SECTION

Shape of Region: Polygonal
 Concrete Class: C25/30

Vertex N.:	X [cm]	Y [cm]
1	-50.0	0.0
2	-50.0	150.0
3	50.0	150.0
4	50.0	0.0

DATA ISOLATED LONGITUDINAL BARS

Bar N.	X [cm]	Y [cm]	Diam[mm]
1	-40.7	9.3	26
2	-40.7	140.7	26
3	40.7	140.7	26
4	40.7	9.3	26

DATA OF LINEAR GENERATIONS OF LONGITUDINAL BARS

N. Gen. Number of generated bars of the current linear generation

RELAZIONE DI CALCOLO

COMMESSA	LOTTO	CODIFICA	DOCUMENTO	REV.	FOGLIO
NRIJ	01 D 29	CL	IV0104 001	B	100 di 341

N.Initial Bar Order number of initial bar (between the isolated bars just defined)
 N.Final Bar Order number of final bar (between the isolated bars just defined)
 N. Bars Number of bars generated equidistant in the current generation
 \varnothing Diameter [mm] of generated bars

Gen.N.	Initial Bar	Final Bar	N. Bars	\varnothing
1	1	4	8	26
2	2	3	8	26

ULTIMATE LIMIT STATE - ASSIGNED DESIGN FORCES FOR EACH COMBINATION

N d Design axial force [kN] applied at centroid of concrete section (+ if compressive)
 Mx d Design bending force [kNm] around x principal axis of inertia
 My d Design bending force [kNm] around y principal axis of inertia
 Vy d Design shear component [kN] parallel to y principal axis of inertia
 Vx d Design shear component [kN] parallel to x principal axis of inertia

Comb.N.	N d	Mx d	My d	Vy d	Vx d
1	0.00	530.00	0.00	0.00	0.00
2	0.00	-235.00	0.00	0.00	0.00

SERVICEABILITY LIMIT STATES - CHARACTERISTIC COMB. - ASSIGNED INTERNAL FORCES FOR EACH COMBINATION

N Axial force [kN] applied at the centroid of concrete section (+ if compressive)
 Mx Bending force [kNm] around x principal axis of inertia. First cracking value is shown between brackets.
 My Bending force [kNm] around y principal axis of inertia. First cracking value is shown between brackets.

Comb.N.	N	Mx	My
1	-350.00	400.00	0.00
2	230.00	350.00	0.00

CHECKS RESULTS

Checks OK for all assigned combinations

Min edge cover of longitudinal bars: 8.0 cm
 Min distance between longitudinal bars: 6.4 cm

ULTIMATE LIMIT STATES - N-MX-MY CAPACITY CHECKS

Check Result of check
 N Design axial force [kN] applied at the centroid of concrete section (+ if compressive)
 Mx Design bending moment [kNm] around x axis principal of inerzia
 My Design bending moment [kNm] around y axis principal of inerzia
 N ult Axial force capacity [kN] (+ if compressive)
 Mx ult Bending moment capacity [kNm] around x axis principal of inertia
 My ult Bending moment capacity [kNm] around y axis principal of inertia
 S.F. Safety Factor = vectorial ratio of (N ult,Mx ult,My ult) to (N,Mx,My). Check OK if ratio >=1.00
 As Tension Area [cm²] of bars in tension (beam section). Min area for code is shown between brackets [eq.(9.1N) EC2]

Comb.N.	Check	N	Mx	My	N ult	Mx ult	My ult	S.F.	As Tension
1	OK	0.00	530.00	0.00	0.00	2789.56	0.00	5.263	53.1(20.9)
2	OK	0.00	-235.00	0.00	0.00	-2789.56	0.00	11.870	53.1(20.9)

ULTIMATE LIMIT STATE - BENDING AND AXIAL FORCE - STRAIN VALUES

ec max Ultimate compressive strain in concrete
 ec* Strain in the concrete fiber at ec2/ecu of depth (if ec*>0 then the section is all compressed)
 Xc max X-coordinate [cm] in the concrete point in wich is ec max
 Yc max Y-coordinate [cm] in the concrete point in wich is ec max

RELAZIONE DI CALCOLO

COMMESSA	LOTTO	CODIFICA	DOCUMENTO	REV.	FOGLIO
NRIJ	01 D 29	CL	IV0104 001	B	101 di 341

es max	Max strain in steel bars (+ if compressive)
Xs max	X-coordinate [cm] of bar in wich is es max
Ys max	Y-coordinate [cm] of bar in wich is es max
es min	Min strain in steel bars (+ if compressive)
Xs min	X-coordinate [cm] of bar in wich is es min
Ys min	Y-coordinate [cm] of bar in wich is es min

Comb.N.	ec max	ec*	Xc max	Yc max	es max	Xs max	Ys max	es min	Xs min	Ys min
1	0.00350	-0.01585	-50.0	150.0	0.00070	-40.7	140.7	-0.03885	-40.7	9.3
2	0.00350	-0.01585	-50.0	0.0	0.00070	-40.7	9.3	-0.03885	-40.7	140.7

BENDING COMBINATION N. 1 : ULTIMATE STRESS AND STRAIN

Concrete vertices:

N.Vertex	Assigned numbers to concrete vertices
Reg.	Number of concrete region to which it relates the vertices
Xc, Yc	X-coordinate, Y-coordinate [cm] of vertices in the reference X,Y,O
Sc	Stress [Mpa] in each vertex (+ if compressive)
e c	Strain in each vertex

Vert.N.	Reg.	Xc	Yc	Sc	e c
1	1	-50.00	0.00	0.00	-0.0416484
2	1	-50.00	150.00	14.17	0.0035000
3	1	50.00	150.00	14.17	0.0035000
4	1	50.00	0.00	0.00	-0.0416484

Longitudinal Bars:

Bar N.	Order numbers assigned to the bars
Xs, Ys	X-coordinate, Y-coordinate [cm] of single bar in the reference X,Y,O
Ss	Stress [Mpa] in each bar (+ if compressive)
e s	Strain in each bar

Bar N.	Xs	Ys	Ss	e s
1	-40.70	9.30	-391.30	-0.0388492
2	-40.70	140.70	140.16	0.0007008
3	40.70	140.70	140.16	0.0007008
4	40.70	9.30	-391.30	-0.0388492
5	-31.66	9.30	-391.30	-0.0388492
6	-22.61	9.30	-391.30	-0.0388492
7	-13.57	9.30	-391.30	-0.0388492
8	-4.52	9.30	-391.30	-0.0388492
9	4.52	9.30	-391.30	-0.0388492
10	13.57	9.30	-391.30	-0.0388492
11	22.61	9.30	-391.30	-0.0388492
12	31.66	9.30	-391.30	-0.0388492
13	-31.66	140.70	140.16	0.0007008
14	-22.61	140.70	140.16	0.0007008
15	-13.57	140.70	140.16	0.0007008
16	-4.52	140.70	140.16	0.0007008
17	4.52	140.70	140.16	0.0007008
18	13.57	140.70	140.16	0.0007008
19	22.61	140.70	140.16	0.0007008
20	31.66	140.70	140.16	0.0007008

BENDING COMBINATION N. 2 : ULTIMATE STRESS AND STRAIN

Concrete vertices:

Vert.N.	Reg.	Xc	Yc	Sc	e c
1	1	-50.00	0.00	14.17	0.0035000
2	1	-50.00	150.00	0.00	-0.0416484
3	1	50.00	150.00	0.00	-0.0416484
4	1	50.00	0.00	14.17	0.0035000

Longitudinal Bars:

Bar N.	Xs	Ys	Ss	e s
1	-40.70	9.30	140.16	0.0007008

RELAZIONE DI CALCOLO

COMMESSA	LOTTO	CODIFICA	DOCUMENTO	REV.	FOGLIO
NRIJ	01 D 29	CL	IV0104 001	B	102 di 341

2	-40.70	140.70	-391.30	-0.0388492
3	40.70	140.70	-391.30	-0.0388492
4	40.70	9.30	140.16	0.0007008
5	-31.66	9.30	140.16	0.0007008
6	-22.61	9.30	140.16	0.0007008
7	-13.57	9.30	140.16	0.0007008
8	-4.52	9.30	140.16	0.0007008
9	4.52	9.30	140.16	0.0007008
10	13.57	9.30	140.16	0.0007008
11	22.61	9.30	140.16	0.0007008
12	31.66	9.30	140.16	0.0007008
13	-31.66	140.70	-391.30	-0.0388492
14	-22.61	140.70	-391.30	-0.0388492
15	-13.57	140.70	-391.30	-0.0388492
16	-4.52	140.70	-391.30	-0.0388492
17	4.52	140.70	-391.30	-0.0388492
18	13.57	140.70	-391.30	-0.0388492
19	22.61	140.70	-391.30	-0.0388492
20	31.66	140.70	-391.30	-0.0388492

ULTIMATE LIMIT STATE - POSITION OF NEUTRAL AXIS FOR EACH COMBINATION

a, b, c Coeff. a, b, c in neutral axis equation: $aX+bY+c=0$ reference X,Y,O
x/d Ratio of the depth of neutral axis to the effective depth of the section
D Ratio of redistributed moment to the elastic moment in continuous beams [eq.(5.10)EC2]

Comb.N.	a	b	c	x/d	D
1	0.000000000	0.000300990	-0.041648431	0.083	0.700
2	0.000000000	-0.000300990	0.003500000	0.083	0.700

SLS CHARACTERISTIC COMBINATIONS - STRESS LIMITATION [§ 7.2 EC2]

Tension in concrete: Not considered in any case
Check Result of Check
Reg Number of current concrete sub-region of the cross section
Sc max (Sc lim) Max compressive stress (+) in concrete [Mpa]. Code limit stress Sc lim is shown between brackets
Xc max, Yc max X-coordinae, Y-coordinate [cm] of concrete vertex corresponding to Sc max (reference X,Y,O)
Ss min (Ss lim) Min stress (- if tensile) in steel bars [Mpa], Code limit stress is shown between brackets
Xs min, Ys min X-coordinae, Y-coordinate [cm] of bar corresponding to Ss min (reference X,Y,O)
Ac eff Effective tension area [cm²] that is the area of concrete surrounding the tension reinforcement (for crack width control)
As eff Area of tension steel bars [cm²] within Ac eff (for crack width control)
r eff Geometrical ratio Ac eff/Ac eff [eq.(7.10) Ec2]

NComb	Reg	Check	Sc max	Xc max	Yc max	Ss min	Xs min	Ys min	Ac eff	As eff	r eff
1	1	OK	0.94 (15.0)	50.0	150.0	-89.9 (360.0)	-31.7	9.3	2350	53.1	0.023
2	1	OK	1.24 (15.0)	50.0	150.0	-32.1 (360.0)	-31.7	9.3	2300	53.1	0.023

SLS CHARACTERISTIC - CRACK WIDTH [§ 7.3.4 EC2]

Section is assumed always cracked even if flexural tensile stress does not exceeds f_{ctm}
Check Result of check
e1 Greater concrete tensile strain (tension is -) assessed in cracked section
e2 Lesser concrete tensile strain within the entire section (tension is -) assessed in cracked section
k1 = 0.8 high bond bars assigned [see eq.(7.11) EC2]
kt = 0.6 for frequent and characteristic SLS; = 0.4 for q.perm SLS [see eq.(7.9) EC2]
k2 = 0.5 for bending; $=(e1 + e2)/(2*e1)$ for eccentric tension [see eq.(7.13) EC2]
k3 = 3.400 Coeff. in eq. (7.11) according to national annex
k4 = 0.425 Coeff. in eq. (7.11) according to national annex
∅ Bar diameter [mm] or equivalent diameter of tensile bars in Ac eff [eq.(7.11)]
e sm - e cm Difference between the mean strain of tensile steel and concrete [eq.(7.8)]
Between brackets: Minimum value of eq.(7.9) = 0.6 Smax / Es
sr max Max final crack [mm] spacing
wk Calculated value [mm] of crack width = sr max*(e sm - e cm) [eq.(7.8)]. Limit value of wk is shown between brackets
MX crack First cracking bending moment around X axis[kNm]
MY crack First cracking bending moment around Y axis[kNm]

RELAZIONE DI CALCOLO

COMMESSA	LOTTO	CODIFICA	DOCUMENTO	REV.	FOGLIO
NRIJ	01 D 29	CL	IV0104 001	B	103 di 341

Comb.N.	Check	e1	e2	k2	Ш	e sm - e cm	sr max	wk	Mx crack	My crack
1	OK	-0.00048	0	0.500	26.0	0.00027 (0.00027)	468	0.126	960.60	0.00
2	OK	-0.00018	0	0.500	26.0	0.00010 (0.00010)	463	0.045	1468.38	0.00

SLS - CHARACTERISTIC COMBINATION N. 1 : RELEVANT STRESS AND STRAIN

N.Vertex	Assigned numbers to concrete vertices
Reg.	Number of concrete region to which it relates the vertices
Xc, Yc	X-coordinate, Y-coordinate [cm] of vertices in the reference X,Y,O
Sc	Stress [Mpa] in each vertex (+ if compressive)
e c	Strain in each vertex

Concrete region:

N.Vertex	Reg.	Xc	Yc	Sc	e c
1	1	-50.0	0.0	0.000	-0.0004840
2	1	-50.0	150.0	0.938	0.0000703
3	1	50.0	150.0	0.938	0.0000703
4	1	50.0	0.0	0.000	-0.0004840

Longitudinal bars:

N. Bar	Assigned numbers to each bar
Xs, Ys	X-coordinate, Y-coordinate [cm] of each bar in the reference X,Y,O
Ss	Stress [Mpa] in each bar (+ if compressive)
e s	Strain in each bar

N. Bar	Xs	Ys	Ss	e s
1	-40.7	9.3	-89.92	-0.0004496
2	-40.7	140.7	7.19	0.0000360
3	40.7	140.7	7.19	0.0000360
4	40.7	9.3	-89.92	-0.0004496
5	-31.7	9.3	-89.92	-0.0004496
6	-22.6	9.3	-89.92	-0.0004496
7	-13.6	9.3	-89.92	-0.0004496
8	-4.5	9.3	-89.92	-0.0004496
9	4.5	9.3	-89.92	-0.0004496
10	13.6	9.3	-89.92	-0.0004496
11	22.6	9.3	-89.92	-0.0004496
12	31.7	9.3	-89.92	-0.0004496
13	-31.7	140.7	7.19	0.0000360
14	-22.6	140.7	7.19	0.0000360
15	-13.6	140.7	7.19	0.0000360
16	-4.5	140.7	7.19	0.0000360
17	4.5	140.7	7.19	0.0000360
18	13.6	140.7	7.19	0.0000360
19	22.6	140.7	7.19	0.0000360
20	31.7	140.7	7.19	0.0000360

SLS - CHARACTERISTIC COMBINATION N. 2 : RELEVANT STRESS AND STRAIN

Concrete region:

N.Vertex	Reg.	Xc	Yc	Sc	e c
1	1	-50.0	0.0	0.000	-0.0001774
2	1	-50.0	150.0	1.239	0.0000930
3	1	50.0	150.0	1.239	0.0000930
4	1	50.0	0.0	0.000	-0.0001774

Longitudinal bars:

N. Bar	Xs	Ys	Ss	e s
1	-40.7	9.3	-32.13	-0.0001606
2	-40.7	140.7	15.24	0.0000762
3	40.7	140.7	15.24	0.0000762
4	40.7	9.3	-32.13	-0.0001606
5	-31.7	9.3	-32.13	-0.0001606

RELAZIONE DI CALCOLO

COMMESSA	LOTTO	CODIFICA	DOCUMENTO	REV.	FOGLIO
NRIJ	01 D 29	CL	IV0104 001	B	104 di 341

6	-22.6	9.3	-32.13	-0.0001606
7	-13.6	9.3	-32.13	-0.0001606
8	-4.5	9.3	-32.13	-0.0001606
9	4.5	9.3	-32.13	-0.0001606
10	13.6	9.3	-32.13	-0.0001606
11	22.6	9.3	-32.13	-0.0001606
12	31.7	9.3	-32.13	-0.0001606
13	-31.7	140.7	15.24	0.0000762
14	-22.6	140.7	15.24	0.0000762
15	-13.6	140.7	15.24	0.0000762
16	-4.5	140.7	15.24	0.0000762
17	4.5	140.7	15.24	0.0000762
18	13.6	140.7	15.24	0.0000762
19	22.6	140.7	15.24	0.0000762
20	31.7	140.7	15.24	0.0000762

Le verifiche risultano soddisfatte adottando armatura $\Phi 26/13$ disposta su un strato inferiore ed superiore in direzione longitudinale e $\Phi 26/10$ disposta su un strato inferiore ed superiore in direzione trasversale.

10.1.4.3 Verifica taglio platea di fondazione

Verifica effettuata rispetto al taglio di analisi: si dispone una armatura $\Phi 12/15$

VERIFICA A TAGLIO DELLA SEZIONE IN C.A. SECONDO D.M. 17/01/2018 § 4.1.2.3.5

• Caratteristiche della sezione

$b_w = 1000$ mm	larghezza	$f_{yk} = 450$ MPa	resist. caratteristica
$h = 1500$ mm	altezza	$\gamma_s = 1.15$	coeff. sicurezza
$c = 80$ mm	copriferro	$f_{yd} = 391.3$ MPa	resist. di calcolo
$f_{ck} = 24.9$ MPa	resist. caratteristica	Armatura longitudinale tesa:	
$\gamma_c = 1.50$	coeff. sicurezza	$A_{sl,1} = 10$ Ø	$26 = 53.09$ cm ²
$\alpha_{cc} = 0.85$	coeff. riduttivo	$A_{sl,2} = 0$ Ø	$0 = 0.00$ cm ²
$d = 1420$ mm	altezza utile	$A_{sl,3} = 0$ Ø	$0 = 0.00$ cm ²
$f_{cd} = 14.11$ MPa	resist. di calcolo		53.09 cm ²

• Sollecitazioni (compressione < 0, trazione > 0, taglio in valore assoluto)

$N_{cd} = 0.0$ kN $V_{cd} = 900.0$ kN

• Elementi senza armature trasversali resistenti a taglio

$k = 1 + (200/d)^{1/2} < 2$ $k = 1.375$ < 2

$v_{min} = 0.035 k^{3/2} f_{ck}^{1/2}$ $v_{min} = 0.282$

$\rho_1 = A_{sl}/(b_w \times d) < 0.02$ $\rho_1 = 0.004$ < 0.02

$\sigma_{cp} = N_{Ed}/A_c < 0.2 f_{cd}$ $\sigma_{cp} = 0.00$ MPa < 0.2

fcD

$V_{Rd} = (0.18 \times k \times (100 \times \rho_1 \times f_{ck})^{1/3} / g_c + 0.15 \times \sigma_{cp}) \times b_w \times d > (v_{min} + 0.15 \times \sigma_{cp}) \times b_w \times d$

$V_{Rd} = 493.0$ kN; (con $(v_{min} + 0.15 \times \sigma_{cp}) \times b_w \times d = 400.0$ kN)

$V_{Rd} = 493.0$ kN valore di calcolo

la sezione NON è verificata in assenza di armature per il taglio

• Elementi con armature trasversali resistenti a taglio

$\theta = 45.0$ ° inclinaz. bielle cls angolo ammissibile

$\alpha = 90.0$ ° inclinaz. staffe

Armatura a taglio (staffatura):

A_{sw}/s staffe

$= \emptyset$ 12 mm con n° bracci (trasv) 4 passo 15 cm $= 0.302$ cm²/cm

$V_{Rsd} = 0.90 \times d \times (A_{sw}/s) \times f_{yd} \times (\cotg \alpha + \cotg \theta) \times \text{sen} \alpha$

$V_{Rsd} = 1508.3$ kN

$f_{cd} = 7.06$ MPa resist. di calcolo ridotta

$\alpha_c = 1.000$ coeff. maggiorativo

$V_{Rcd} = 0.90 \times d \times b_w \times \alpha_c \times f_{cd} \times (\cotg \alpha + \cotg \theta) / (1 + \cotg^2 \alpha)$

$V_{Rcd} = 4508.4$ kN

$V_{Rd} = \min(V_{Rcd}, V_{Rsd})$ $V_{Rd} = 1508.3$ > 900.0 kN c.s. = 1.7

la sezione armata a taglio risulta verificata.

 ITALFERR GRUPPO FERROVIE DELLO STATO ITALIANE	RADDOPPIO CESANO VIGNA DI VALLE PROGETTO DEFINITIVO					
	RELAZIONE DI CALCOLO	COMMESSA NR1J	LOTTO 01 D 29	CODIFICA CL	DOCUMENTO IV0104 001	REV. B

10.1.4.4 Verifica a punzonamento

E' stata effettuata una ulteriore verifica rispetto al meccanismo di punzonamento innescato dall'azione di taglio dovuta al palo più caricato; è stato considerato il palo di bordo in prossimità del muro frontale, in modo tale di individuare il minor perimetro di verifica.

VERIFICA A TAGLIO-PUNZONAMENTO DI PIASTRE E FONDAZIONI SECONDO UNI EN 1992-1 §6.4

• Caratteristiche della sezione

$h = 1500$ mm $c = 60$ mm $d = 1440$ mm $D = 1200$ mm $f_{ck} = 25$ MPa $\gamma_c = 1.50$ $\alpha_{cc} = 0.85$ $f_{cd} = 14.17$ MPa $f_{yk} = 450$ MPa $\gamma_s = 1.15$ $f_{yd} = 391.3$ MPa	altezza copriferro da asse armatura tesa altezza utile diametro pilastro resist. caratteristica coeff. sicurezza coeff. riduttivo resist. di calcolo tipo pilastro resist. caratteristica coeff. sicurezza resist. di calcolo	Armatura longitudinale tesa in y e z su fascia D+3d: $D+3d = 552$ m $d = 0$ m in y $1 \text{ } \emptyset \text{ } 6 / 10$ cm in z $1 \text{ } \emptyset \text{ } 6 / 10$ cm $A_{sly} = 293.07$ $\frac{m^2}{m}$ $A_{slz} = 293.07$ $\frac{m^2}{m}$ $l_y = 0.5$ m luce campata in y $l_z = 0.5$ m luce campata in z
-----------------------------------------------------------------------------------------------------------------------------------------------------------------------------------------------------------------------------	-------------------------------------------------------------------------------------------------------------------------------------------------------------------------------------------------------------------------------------------------------------------	-------------------------------------------------------------------------------------------------------------------------------------------------------------------------------------------------------------------------------------------------------------------------------------------------------------------------------------------

• Sollecitazioni (compressione>0, trazione<0, taglio in valore assoluto)

$N_{Edy} = 0.0$ kN	$V_{ed} = 4800.0$ kN
$N_{Edz} = 0.0$ kN	$\beta = 1.50$

• Controllo della massima tensione possibile

$V_{Rd,max} = 0,50 \times 0,60 \times (1 - f_{ck}/250) \times f_{cd} = 2400.$	3.83 MPa
$u_0 = 00$ mm	$v_{ed} = 2.08$ a

la massima tensione di taglio-punzonamento non è superata

• Elementi senza armature trasversali resistenti a taglio

$C_{rd,c} = 0,18/\gamma_c$	$C_{rd,c} = 0.12$
$k = 1 + (200/d)^{1/2} < 2$	$k = 1.37$
$v_{min} = 0,035 k^{3/2} f_{ck}^{1/2}$	$v_{min} = 0.28$
$\rho_{ly} = A_{sly}/((D+3d)d)$	$\rho_{ly} = 0.00$
$\rho_{lz} = A_{slz}/((D+3d)d)$	$\rho_{lz} = 0.00$
$\rho_1 = (r_{ly} \times r_{lz})^{1/2} < 0,02$	$\rho_1 = 0.00$
$\sigma_{cy} = N_{Edy}/A_{cy}$	$\sigma_{cy} = 0$ MPa
$\sigma_{cz} = N_{Edz}/A_{cz}$	$\sigma_{cz} = 0$ MPa
$\sigma_{cp} = N_{Ed}/A_c$	$\sigma_{cp} = 0.00$ a

$$V_{Rd,c} = C_{Rd,c} \times k \times (100 \times \rho_1 \times f_{ck})^{1/3} + 0,1 \times \sigma_{cp} \geq (v_{min} + 0,1 \times \sigma_{cp})$$

$$V_{Rd,c} = 0.345 \text{ MPa}$$

• Verifica lungo il perimetro u_1

$5466.$	0.91 MPa
$u_1 = 37$ mm	$v_{ed} = 5$ a

 ITALFERR GRUPPO FERROVIE DELLO STATO ITALIANE	RADDOPPIO CESANO VIGNA DI VALLE PROGETTO DEFINITIVO					
	RELAZIONE DI CALCOLO	COMMESSA NRIJ	LOTTO 01 D 29	CODIFICA CL	DOCUMENTO IV0104 001	REV. B

la sezione NON è verificata in assenza di armature per il taglio

• **Elementi con armature trasversali resistenti a taglio**

	$\alpha = 90.0$	°		inclinaz. staffe		
Armatura a taglio (staffatura):						
staffe \emptyset	10	mm				
		mm	passo radiale delle staffe			
$s_r =$	150	mm	a punzonamento			
	5466.					
$u_1 =$	37	mm		perimetro di verifica		
				area di armatura a		
$A_{sw} =$	942	mm ²		taglio su u_1		
					391.	MP
$f_{ywd,ef} = 250 + 0,25 d \leq f_{ywd}$					30	a
						MP
$v_{Rd,cs} = 0,75 \times v_{Rd,c} + 1,5(d/s_r)A_{sw} \times f_{ywd,ef} / (u_1 \times d) \text{ sen} \alpha =$					0.93	a
$V_{Rd,cs} = v_{Rd,cs} \times u_1 \times d =$			7349.63	kN		
• Verifica lungo il perimetro del pilastro						
	2400.					MP
	$u_0 = 00$	mm			$v_{ed} = 2.08$	a
						MP
$v_{Rd,max} = 0,50 \times 0,60 \times (1 - f_{ck}/250) \times f_{cd} =$					3.83	a
$V_{ed} =$			4800.00	kN		

la sezione armata a taglio risulta verificata.

Vengono disposte quindi armature costituite da elementi verticali $\Phi 10/15$ per una lunghezza pari a $2d$, a partire da $0.3d$ dal filo del palo.

10.1.5 Pali di grande diametro

Il contributo del peso proprio del palo è $0.6 \times 0.6 \times \pi \times 30.00 \times 25.00 \times 1.3 = 1102.7$ kN; sforzo assiale massimo da analisi : $Q_v = 4800$ kN. Lo sforzo di compressione compreso il peso del palo, è risultato quindi: $Q = 1102.7 + 4800 = 5902.7$ kN. Si stabilisce di conseguenza, considerando la quota testa palo pari a -3 m da p.c., lunghezza e diametro per i pali di grande diametro: $\emptyset = 1,20$ m con $L = 30,00$ m.

RELAZIONE DI CALCOLO

COMMESSA	LOTTO	CODIFICA	DOCUMENTO	REV.	FOGLIO
NRIJ	01 D 29	CL	IV0104 001	B	107 di 341

CALCOLO DELLA CAPACITA' PORTANTE DI UN PALO TRIVELLATO DI GRANDE DIAMETRO

CANTIERE:

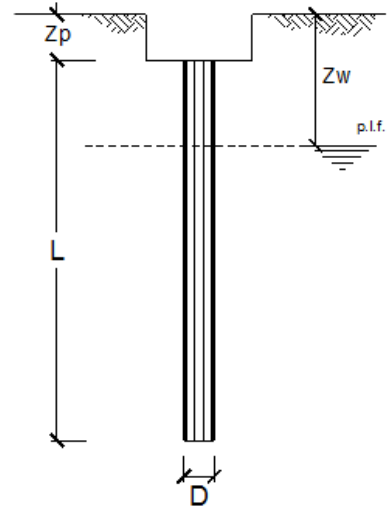
OPERA:

DATI DI INPUT:

Diametro del Palo (D):	1.20	(m)	Area del Palo (Ap):	1.131	(m ²)
Quota testa Palo dal p.c. (z _p):	3.00	(m)	Quota falda dal p.c. (z _w):	2.85	(m)
Carico Assiale Permanente (G):	2700	(kN)	Carico Assiale variabile (Q):	3203	(kN)
Numero di strati	4		Lpalo =	30.00	(m)

coefficienti parziali		azioni		resistenza laterale e di base			
Metodo di calcolo		permanenti	variabili	γ _b	γ _s	γ _s traz	
		γ _G	γ _Q				
SUJ	A1+M1+R1	<input type="radio"/>	1.30	1.50	1.00	1.00	1.00
	A2+M1+R2	<input type="radio"/>	1.00	1.30	1.70	1.45	1.60
	A1+M1+R3	<input type="radio"/>	1.30	1.50	1.35	1.15	1.25
	SISMA	<input type="radio"/>	1.00	1.00	1.35	1.15	1.25
DM88		<input type="radio"/>	1.00	1.00	1.00	1.00	1.00
definiti dal progettista		<input checked="" type="radio"/>	1.00	1.00	1.35	1.15	1.25

n	<input type="radio"/>	<input checked="" type="radio"/>	<input type="radio"/>	<input type="radio"/>	<input type="radio"/>	<input type="radio"/>	<input type="radio"/>	T.A.	<input type="radio"/>	prog.	<input type="radio"/>
ξ _s	1.70	1.65	1.60	1.55	1.50	1.45	1.40	1.00	1.00	1.00	
ξ _t	1.70	1.55	1.48	1.42	1.34	1.28	1.21	1.00	1.00	1.00	



RELAZIONE DI CALCOLO

COMMESSA	LOTTO	CODIFICA	DOCUMENTO	REV.	FOGLIO
NRIJ	01 D 29	CL	IV0104 001	B	108 di 341

PARAMETRI MINIMI (solo per SLU)

Strato	Spess (-) (m)	Tipo di terreno	Parametri del terreno			
			γ (kN/m ³)	C'_{min} (kPa)	Φ'_{min} (°)	$C_{u\ min}$ (kPa)
1	3.50	limo	17.00	10.0	26.0	
2	1.50	sabbia limosa	16.50	10.0	25.0	
3	15.00	roccia basaltica	16.50	0.0	30.0	
4	10.00	sabbia limosa	16.00	200.0	36.0	

Coefficients di Calcolo			
k	μ	a	α
(-)	(-)	(-)	(-)
0.56	0.49		0.60
0.58	0.47		0.80
0.50	0.58		
0.41	0.73		

RISULTATI

Strato	Spess (-) (m)	Tipo di terreno	media					minima (solo SLU)				
			Qsi (kN)	Nq (-)	Nc (-)	qb (kPa)	Qbm (kN)	Qsi (kN)	Nq (-)	Nc (-)	qb (kPa)	Qbm (kN)
1	3.50	limo	223.2					223.2				
2	1.50	sabbia limosa	120.1					120.1				
3	15.00	roccia basaltica	2163.0					2163.0				
4	10.00	sabbia limosa	2385.1	32.15	42.88	16333.5	18472.7	2385.1	32.15	42.88	16333.5	18472.7

CARICO ASSIALE AGENTE

$$N_d = N_G \cdot \gamma_G + N_Q \cdot \gamma_Q$$

$$N_d = 5903.0 \text{ (kN)}$$

CAPACITA' PORTANTE MEDIA

$$\text{base } R_{b,cal\ med} = 18472.7 \text{ (kN)}$$

$$\text{laterale } R_{s,cal\ med} = 4891.4 \text{ (kN)}$$

$$\text{totale } R_{c,cal\ med} = 23364.1 \text{ (kN)}$$

CAPACITA' PORTANTE MINIMA

$$\text{base } R_{b,cal\ min} = 18472.7 \text{ (kN)}$$

$$\text{laterale } R_{s,cal\ min} = 4891.4 \text{ (kN)}$$

$$\text{totale } R_{c,cal\ min} = 23364.1 \text{ (kN)}$$

CAPACITA' PORTANTE CARATTERISTICA

$$R_{b,k} = \text{Min}(R_{b,cal\ med}/\xi_3 ; R_{b,cal\ min}/\xi_4) = 11195.6 \text{ (kN)}$$

$$R_{s,k} = \text{Min}(R_{s,cal\ med}/\xi_3 ; R_{s,cal\ min}/\xi_4) = 2964.5 \text{ (kN)}$$

$$R_{c,k} = R_{b,k} + R_{s,k} = 14160.0 \text{ (kN)}$$

CAPACITA' PORTANTE DI PROGETTO

$$R_{c,d} = R_{bk}/\gamma_b + R_{sk}/\gamma_s$$

$$R_{c,d} = 10870.8 \text{ (kN)}$$

$$F_s = R_{c,d} / N_d$$

$$F_s = 1.84$$

Inoltre si è anche verificato che, per la lunghezza palo di progetto, la massima sollecitazione assiale allo SLE RARA sia inferiore alla portata laterale limite del palo (QII):

$$N_{sle\ rara} = 2925 * 1.25 = 3656 \text{ kN} < 4891 \text{ kN}$$

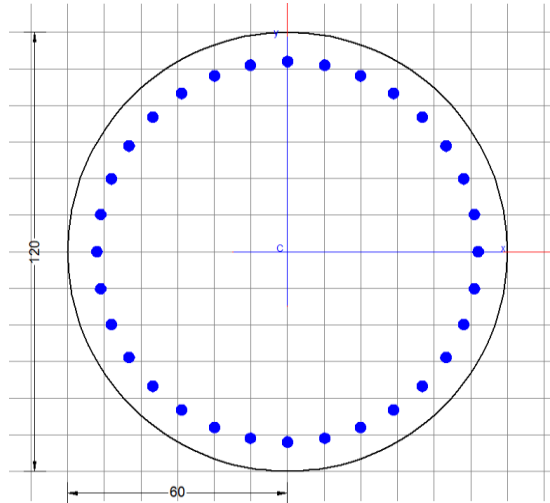
10.1.5.1 Verifica a presso-flessione del palo

Si riportano nel presente paragrafo le verifiche relative alle massime sollecitazioni agenti in testa ai pali di grande diametro alla quota di spiccato platea fondazione considerando la medesima come infinitamente rigida.

Viene adottata per il palo una armatura longitudinale composta da una corona di 32 $\Phi 30$

RELAZIONE DI CALCOLO

COMMESSA	LOTTO	CODIFICA	DOCUMENTO	REV.	FOGLIO
NRIJ	01 D 29	CL	IV0104 001	B	109 di 341



MATERIALS DATA

CONCRETE -	Class:	C25/30
	Design compressive strength fcd:	14.2 MPa
	Shear reduced compressive strenght $v1 \cdot fcd$:	7.1 MPa (6.9)EC2
	Strain at max strength ec2:	0.0020
	Ultimate strain ecu:	0.0035
	Compression diagram stress-strain:	Parabola-Rectangle
	Mean Elastic Modulus Ecm:	31475.8 MPa
	Mean tensile strength fctm:	2.6 MPa
	Es/Ec in SLS combination:	15.00
	Stress limit in SLS Characteristic comb.:	15.0 kN/cm ²
	Stress limit in SLS Frequent comb.:	150.0 daN/cm ²
	Crack width limit in SLS Frequent comb.:	0.200 mm
	Stress limit in SLS Quasi-perm. comb.:	11.25 Mpa
	Crack width limit in SLS Quasi-perm. comb.:	0.200 mm
STEEL -	Longitudinal Bars and Stirrups:	B450C
	Characteristic yield stress fyk:	450.00 MPa
	Tensile strength ftk:	540.0 MPa
	Design yield stress fyd:	391.3 MPa
	Design strength ftd:	391.3 MPa
	Design ultimate strain esu:	0.068
	Mean elastic modulus Es:	200000.0 MPa
	SLS Charact. - Ss Limit:	360.00 MPa

GEOMETRICAL DATA OF CONCRETE CROSS-SECTION

Shape of Region: Circular
Concrete Class: C25/30

Radius: 60.0 cm
X center: 0.0 cm
Y center: 0.0 cm

CIRCULAR GENERATIONS OF LONGITUDINAL BARS

Gen.N. Number of generated bars of the current linear generation
Xcenter X-Coordinate [cm] center of circle along which are disposed the generated bars
Ycenter Y-Coordinate [cm] center of circle along which are disposed the generated bars
Radius Radius [cm] of circle along which are disposed the generated bars
N. Bars Number of equidistant generated bars
∅ Diameter [mm] of each generated bar

Gen.N.	Xcenter	Ycenter	Radius	N. Bars	∅
--------	---------	---------	--------	---------	---

RELAZIONE DI CALCOLO

COMMESSA	LOTTO	CODIFICA	DOCUMENTO	REV.	FOGLIO
NRLJ	01 D 29	CL	IV0104 001	B	110 di 341

1 0.0 0.0 52.0 32 30

ULTIMATE LIMIT STATE - ASSIGNED DESIGN FORCES FOR EACH COMBINATION

N d Design axial force [kN] applied at centroid of concrete section (+ if compressive)
Mx d Design bending force [kNm] around x principal axis of inertia
My d Design bending force [kNm] around y principal axis of inertia
Vy d Design shear component [kN] parallel to y principal axis of inertia
Vx d Design shear component [kN] parallel to x principal axis of inertia

Comb.N.	N d	Mx d	My d	Vy d	Vx d
1	4800.00	-1142.00	-228.00	0.00	0.00
2	-1772.00	798.00	2246.00	0.00	0.00

SERVICEABILITY LIMIT STATES - CHARACTERISTIC COMB. - ASSIGNED INTERNAL FORCES FOR EACH COMBINATION

N Axial force [kN] applied at the centroid of concrete section (+ if compressive)
Mx Bending force [kNm] around x principal axis of inertia. First cracking value is shown between brackets.
My Bending force [kNm] around y principal axis of inertia. First cracking value is shown between brackets.

Comb.N.	N	Mx	My
1	2339.00	-76.00	-8.00
2	988.00	63.00	173.00
3	0.00	0.00	0.00
4	0.00	0.00	0.00
5	0.00	0.00	0.00
6	0.00	0.00	0.00

SERVICEABILITY LIMIT STATES - FREQUENT COMB. - ASSIGNED INTERNAL FORCES FOR EACH COMBINATION

N Axial force [kN] applied at the centroid of concrete section (+ if compressive)
Mx Bending force [kNm] around x principal axis of inertia. First cracking value is shown between brackets.
My Bending force [kNm] around y principal axis of inertia. First cracking value is shown between brackets.

Comb.N.	N	Mx	My
1	2252.00	-77.00 (0.00)	3.20 (0.00)
2	1045.00	77.00 (1058.00)	207.00 (2844.25)
3	0.00	0.00 (0.00)	0.00 (0.00)
4	0.00	0.00 (0.00)	0.00 (0.00)
5	0.00	0.00 (0.00)	0.00 (0.00)
6	0.00	0.00 (0.00)	0.00 (0.00)

SERVICEABILITY LIMIT STATES - QUASI-PERMANENT COMB. - ASSIGNED INTERNAL FORCES FOR EACH COMBINATION

N Axial force [kN] applied at the centroid of concrete section (+ if compressive)
Mx Bending force [kNm] around x principal axis of inertia. First cracking value is shown between brackets.
My Bending force [kNm] around y principal axis of inertia. First cracking value is shown between brackets.

Comb.N.	N	Mx	My
1	1758.00	-66.00 (0.00)	37.00 (0.00)
2	1156.00	42.00 (0.00)	167.00 (0.00)

CHECKS RESULTS

Checks OK for all assigned combinations

RELAZIONE DI CALCOLO

COMMESSA	LOTTO	CODIFICA	DOCUMENTO	REV.	FOGLIO
NRIJ	01 D 29	CL	IV0104 001	B	111 di 341

Min edge cover of longitudinal bars: 6.5 cm
Min distance between longitudinal bars: 7.2 cm

ULTIMATE LIMIT STATES - N-MX-MY CAPACITY CHECKS

Check	Result of check
N	Design axial force [kN] applied at the centroid of concrete section (+ if compressive)
Mx	Design bending moment [kNm] around x axis principal of inerzia
My	Design bending moment [kNm] around y axis principal of inerzia
N ult	Axial force capacity [kN] (+ if compressive)
Mx ult	Bending moment capacity [kNm] around x axis principal of inertia
My ult	Bending moment capacity [kNm] around y axis principal of inertia
S.F.	Safety Factor = vectorial ratio of (N ult,Mx ult,My ult) to (N,Mx,My). Check OK if ratio >=1.00

Comb.N.	Check	N	Mx	My	N ult	Mx ult	My ult	S.F.
1	OK	4800.00	-1142.00	-228.00	4800.21	-4439.82	-886.31	3.888
2	OK	-1772.00	798.00	2246.00	-1771.88	1061.52	2991.92	1.332

ULTIMATE LIMIT STATE - BENDING AND AXIAL FORCE - STRAIN VALUES

ec max	Ultimate compressive strain in concrete
ec*	Strain in the concrete fiber at ec2/ecu of depth (if ec*>0 then the section is all compressed)
Xc max	X-coordinate [cm] in the concrete point in wich is ec max
Yc max	Y-coordinate [cm] in the concrete point in wich is ec max
es max	Max strain in steel bars (+ if compressive)
Xs max	X-coordinate [cm] of bar in wich is es max
Ys max	Y-coordinate [cm] of bar in wich is es max
es min	Min strain in steel bars (+ if compressive)
Xs min	X-coordinate [cm] of bar in wich is es min
Ys min	Y-coordinate [cm] of bar in wich is es min

Comb.N.	ec max	ec*	Xc max	Yc max	es max	Xs max	Ys max	es min	Xs min	Ys min
1	0.00350	0.00021	-11.7	-52.3	0.00299	-10.1	-51.0	-0.00366	10.1	51.0
2	0.00350	-0.00295	56.5	14.6	0.00249	48.0	19.9	-0.01055	-48.0	-19.9

ULTIMATE LIMIT STATE - POSITION OF NEUTRAL AXIS FOR EACH COMBINATION

a, b, c	Coeff. a, b, c in neutral axis equation: aX+bY+c=0 reference X,Y,O
x/d	Ratio of the depth of neutral axis to the effective depth of the section
D	Ratio of redistributed moment to the elastic moment in continuous beams [eq.(5.10)EC2]

Comb.N.	a	b	c	x/d	D
1	-0.000012515	-0.000062687	-0.000335421	----	----
2	0.000118215	0.000042165	-0.004030584	----	----

SLS CHARACTERISTIC COMBINATIONS - STRESS LIMITATION [§ 7.2 EC2]

Tension in concrete:	Considered if not less than -fctm
Check	Result of Check
Reg	Number of current concrete sub-region of the cross section
Sc max (Sc lim)	Max compressive stress (+) in concrete [Mpa]. Code limit stress Sc lim is shown between brackets
Xc max, Yc max	X-coordinate, Y-coordinate [cm] of concrete vertex corresponding to Sc max (reference X,Y,O)
Ss min (Ss lim)	Min stress (- if tensile) in steel bars [Mpa], Code limit stress is shown between brackets
Xs min, Ys min	X-coordinate, Y-coordinate [cm] of bar corresponding to Ss min (reference X,Y,O)
Ac eff	Effective tension area [cm ²] that is the area of concrete surrounding the tension reinforcement (for crack width control)
As eff	Area of tension steel bars [cm ²] within Ac eff (for crack width control)
r eff	Geometrical ratio Ac eff/As eff [eq.(7.10) EC2]

NComb	Reg	Check	Sc max	Xc max	Yc max	Ss min	Xs min	Ys min	Ac eff	As eff	r eff
1	1	OK	1.90 (15.0)	-6.3	0.0	19.8 (360.0)	10.1	----	0	----	----
2	1	OK	1.42 (15.0)	56.4	0.0	0.4 (360.0)	-48.0	----	0	----	----
3	1	OK		0.0	0.0	0.0 (360.0)	0.0	----	0	----	----

RELAZIONE DI CALCOLO

COMMESSA	LOTTO	CODIFICA	DOCUMENTO	REV.	FOGLIO
NRIJ	01 D 29	CL	IV0104 001	B	112 di 341

4	1	OK	0.0	0.0	0.0	0.0 (360.0)	0.0	---	0	---	---
5	1	OK	0.0	0.0	0.0	0.0 (360.0)	0.0	---	0	---	---
6	1	OK	0.0	0.0	0.0	0.0 (360.0)	0.0	---	0	---	---

SLS CHARACTERISTIC - CRACK WIDTH [§ 7.3.4 EC2]

Section is assumed cracked if flexural tensile stress exceeds f_{ctm} in at least one combination

Check Result of check

e1 Greater concrete tensile strain (tension is -) assessed in cracked section

e2 Lesser concrete tensile strain within the entire section (tension is -) assessed in cracked section

k1 = 0.8 high bond bars assigned [see eq.(7.11) EC2]

kt = 0.6 for frequent and characteristic SLS; = 0.4 for q.perm SLS [see eq.(7.9) EC2]

k2 = 0.5 for bending; $=(e1 + e2)/(2*e1)$ for eccentric tension [see eq.(7.13) EC2]

k3 = 3.400 Coeff. in eq. (7.11) according to national annex

k4 = 0.425 Coeff. in eq. (7.11) according to national annex

∅ Bar diameter [mm] or equivalent diameter of tensile bars in $A_{c\text{eff}}$ [eq.(7.11)]

e sm - e cm Difference between the mean strain of tensile steel and concrete [eq.(7.8)]

Between brackets: Minimum value of eq.(7.9) = $0.6 S_{max} / E_s$

sr max Max final crack [mm] spacing

wk Calculated value [mm] of crack width = $sr\ max * (e\ sm - e\ cm)$ [eq.(7.8)]. Limit value of wk is shown between brackets

MX crack First cracking bending moment around X axis[kNm]

MY crack First cracking bending moment around Y axis[kNm]

Comb.N.	Check	e1	e2	k2	∅	e sm - e cm	sr max	wk	Mx crack	My crack
1	OK	0.00000	0	---	---	---	---	---	0.00	0.00
2	OK	-0.00001	0	---	---	---	---	---	2122.30	5827.91
3	OK	0.00000	0	---	---	---	---	---	0.00	0.00
4	OK	0.00000	0	---	---	---	---	---	0.00	0.00
5	OK	0.00000	0	---	---	---	---	---	0.00	0.00
6	OK	0.00000	0	---	---	---	---	---	0.00	0.00

SLS FREQUENT COMBINATIONS - STRESS LIMITATION [§ 7.2 EC2]

NComb	Reg	Check	Sc max	Xc max	Yc max	Ss min	Xs min	Ys min	Ac eff	As eff	r eff
1	1	OK	1.84 (15.0)	2.5	0.0	18.9 (360.0)	0.0	---	0	---	---
2	1	OK	1.61 (15.0)	56.2	0.0	-1.0 (360.0)	-48.0	---	287	---	---
3	1	OK	0.0	0.0	0.0	0.0 (360.0)	0.0	---	0	---	---
4	1	OK	0.0	0.0	0.0	0.0 (360.0)	0.0	---	0	---	---
5	1	OK	0.0	0.0	0.0	0.0 (360.0)	0.0	---	0	---	---
6	1	OK	0.0	0.0	0.0	0.0 (360.0)	0.0	---	0	---	---

SLS FREQUENT - CRACK WIDTH [§ 7.3.4 EC2]

Comb.N.	Check	e1	e2	k2	∅	e sm - e cm	sr max	wk	Mx crack	My crack
1	OK	0.00000	0	---	---	---	---	---	0.00	0.00
2	OK	-0.00002	0	---	---	---	---	---	1058.00	2844.25
3	OK	0.00000	0	---	---	---	---	---	0.00	0.00
4	OK	0.00000	0	---	---	---	---	---	0.00	0.00
5	OK	0.00000	0	---	---	---	---	---	0.00	0.00
6	OK	0.00000	0	---	---	---	---	---	0.00	0.00

SLS QUASI-PERMANENT COMBINATIONS - STRESS LIMITATION [§ 7.2 EC2]

NComb	Reg	Check	Sc max	Xc max	Yc max	Ss min	Xs min	Ys min	Ac eff	As eff	r eff
1	1	OK	1.50 (11.3)	29.3	0.0	14.0 (360.0)	-28.9	---	0	---	---
2	1	OK	1.49 (11.3)	58.2	0.0	2.7 (360.0)	-51.0	---	0	---	---

SLS QUASI-PERMANENT - CRACK WIDTH [§ 7.3.4 EC2]

Comb.N.	Check	e1	e2	k2	∅	e sm - e cm	sr max	wk	Mx crack	My crack
1	OK	0.00000	0	---	---	---	---	---	0.00	0.00

RELAZIONE DI CALCOLO

COMMESSA	LOTTO	CODIFICA	DOCUMENTO	REV.	FOGLIO
NRIJ	01 D 29	CL	IV0104 001	B	113 di 341

2 OK 0.00000 0 --- --- --- --- 0.00 0.00

Altezza utile della sezione circolare

Come indicato nella normativa vigente NTC 18 [7.9.5.2.2] l'altezza utile per una sezione circolare può essere assunta pari a : $d = r + \frac{2r}{\pi}$
da cui : $d = 98 \text{ cm}$

10.1.5.2 Verifica a taglio del palo

Per le armature a taglio del palo si adotta una armatura a spirale $\Phi 10/20$.

VERIFICA A TAGLIO DELLA SEZIONE IN C.A. SECONDO D.M. 17/01/2018 § 4.1.2.3.5

• Caratteristiche della sezione

D = 1200	mm	diametro	$f_{yk} = 450$	MPa	resist. caratteristica
d = 1140	mm	altezza utile	$\gamma_s = 1.15$		coeff. sicurezza
c = 60	mm	copriferro	$f_{yd} = 391.3$	MPa	resist. di calcolo
$f_{ck} = 24.9$	MPa	resist. caratteristica	Armatura longitudinale tesa:		
$\gamma_c = 1.50$		coeff. sicurezza	$A_{sl,1} = 8$	\emptyset	$30 = 56.55 \text{ cm}^2$
$\alpha_{cc} = 0.85$		coeff. riduttivo	$A_{sl,2} = 0$	\emptyset	$0 = 0.00 \text{ cm}^2$
d = 855	mm	altezza di calcolo §7.9.5.1.1	$A_{sl,3} = 0$	\emptyset	$0 = 0.00 \text{ cm}^2$
$f_{cd} = 14.11$	MPa	resist. di calcolo			56.55 cm^2

• Sollecitazioni (compressione<0, trazione>0, taglio in valore assoluto)

$N_{ed} = 0.0 \text{ kN}$ $V_{ed} = 553.0 \text{ kN}$

• Elementi senza armature trasversali resistenti a taglio

$k = 1 + (200/d)^{1/2} < 2$ $k = 1.484 < 2$
 $v_{min} = 0,035 k^{3/2} f_{ck}^{1/2}$ $v_{min} = 0.316$
 $\rho_1 = A_{sl}/(b_w \times d) < 0.02$ $\rho_1 = 0.006 < 0.02$
 $\sigma_{cp} = N_{Ed}/A_c < 0.2 f_{cd}$ $\sigma_{cp} = 0.00 \text{ MPa} < 0.2 f_{cd}$

$V_{Rd} = (0,18 \times k \times (100 \times \rho_1 \times f_{ck})^{1/3} / g_c + 0,15 \times \sigma_{cp}) \times b_w \times d > (v_{min} + 0,15 \times \sigma_{cp}) \times b_w \times d$

$V_{Rd} = 437.3 \text{ kN}$; (con $(v_{min} + 0,15 \times \sigma_{cp}) \times b_w \times d = 323.8 \text{ kN}$)

$V_{Rd} = 437.3 \text{ kN}$ valore di calcolo

la sezione NON è verificata in assenza di armature per il taglio

• Elementi con armature trasversali resistenti a taglio

$\theta = 45.0^\circ$ inclinaz. bielle cls angolo ammissibile

$\alpha = 90.0^\circ$ inclinaz. staffe

Armatura a taglio (staffatura):

A_{sw}/s staffe
 $= \emptyset 12 \text{ mm con } n^\circ \text{ bracci (trasv)}$ 2 passo $10 \text{ cm} = 0.226 \text{ cm}^2/\text{cm}$

$V_{Rsd} = 0.90 \times d \times (A_{sw}/s) \times f_{yd} \times (\cotg \alpha + \cotg \theta) \times \text{sen} \alpha$

$f'_{cd} = 7.06 \text{ MPa}$ resist. di calcolo ridotta

$\alpha_c = 1.000$ coeff. maggiorativo

$V_{Rcd} = 0.90 \times d \times b_w \times \alpha_c \times f'_{cd} \times (\cotg \alpha + \cotg \theta) / (1 + \cotg^2 \alpha)$

$V_{Rcd} = 3257.4 \text{ kN}$

$V_{Rd} = \min(V_{Rcd}, V_{Rsd})$

$V_{Rd} = 681.1 > 553.0 \text{ kN}$ c.s. = 1.2

la sezione armata a taglio risulta verificata.

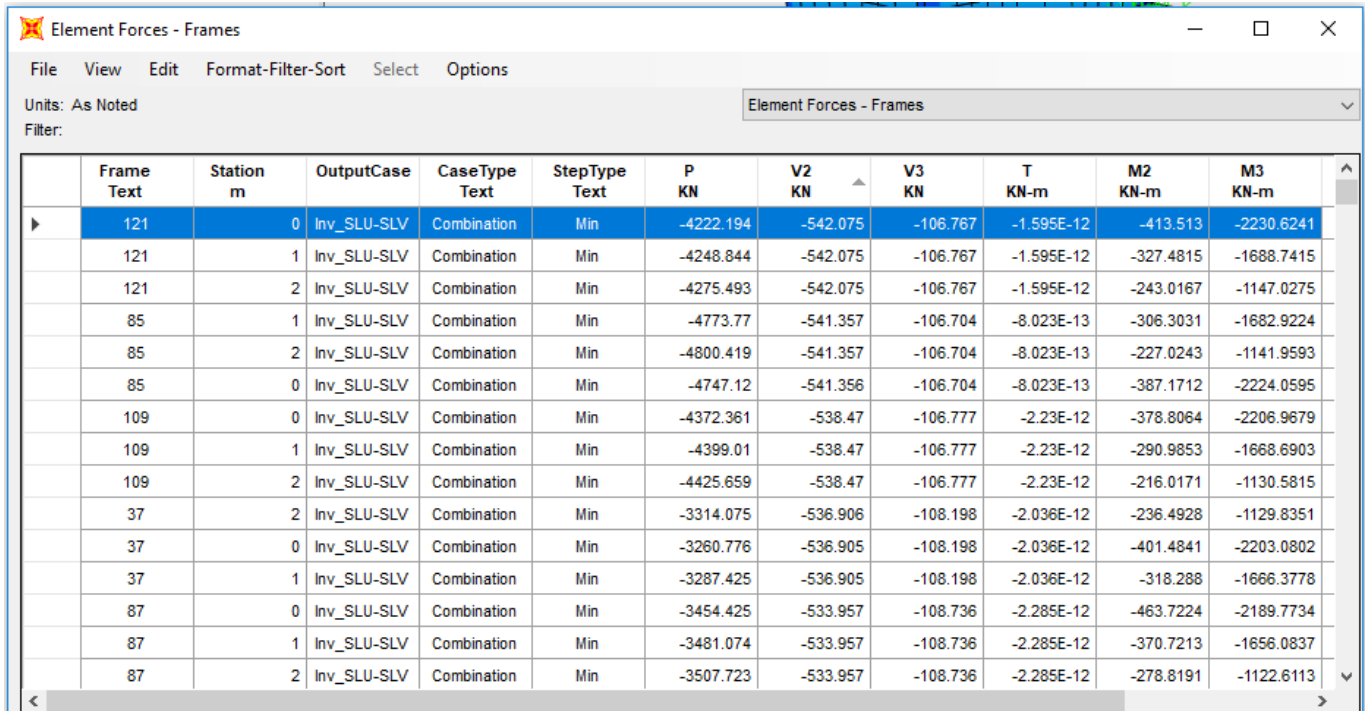
RELAZIONE DI CALCOLO

COMMESSA	LOTTO	CODIFICA	DOCUMENTO	REV.	FOGLIO
NRIJ	01 D 29	CL	IV0104 001	B	114 di 341

10.1.5.3 Calcolo del carico limite orizzontale del palo

La condizione dimensionante è una condizione sismica considerando l'effetto di gruppo tramite un coefficiente di efficienza pari a 0.8 (in tabella R=1.3/0.8=1.625).

La forza tagliante usata per le verifiche carico limite orizzontale del palo è quella risultante delle forze tagliante longitudinale e trasversale.



Element Forces - Frames

File View Edit Format-Filter-Sort Select Options

Units: As Noted Element Forces - Frames

Filter:

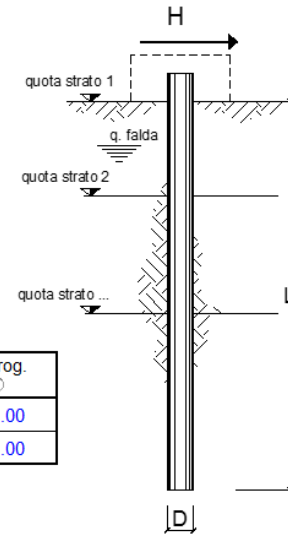
	Frame Text	Station m	OutputCase	CaseType Text	StepType Text	P KN	V2 KN	V3 KN	T KN-m	M2 KN-m	M3 KN-m
▶	121	0	Inv_SLU-SLV	Combination	Min	-4222.194	-542.075	-106.767	-1.595E-12	-413.513	-2230.6241
	121	1	Inv_SLU-SLV	Combination	Min	-4248.844	-542.075	-106.767	-1.595E-12	-327.4815	-1688.7415
	121	2	Inv_SLU-SLV	Combination	Min	-4275.493	-542.075	-106.767	-1.595E-12	-243.0167	-1147.0275
	85	1	Inv_SLU-SLV	Combination	Min	-4773.77	-541.357	-106.704	-8.023E-13	-306.3031	-1682.9224
	85	2	Inv_SLU-SLV	Combination	Min	-4800.419	-541.357	-106.704	-8.023E-13	-227.0243	-1141.9593
	85	0	Inv_SLU-SLV	Combination	Min	-4747.12	-541.356	-106.704	-8.023E-13	-387.1712	-2224.0595
	109	0	Inv_SLU-SLV	Combination	Min	-4372.361	-538.47	-106.777	-2.23E-12	-378.8064	-2206.9679
	109	1	Inv_SLU-SLV	Combination	Min	-4399.01	-538.47	-106.777	-2.23E-12	-290.9853	-1668.6903
	109	2	Inv_SLU-SLV	Combination	Min	-4425.659	-538.47	-106.777	-2.23E-12	-216.0171	-1130.5815
	37	2	Inv_SLU-SLV	Combination	Min	-3314.075	-536.906	-108.198	-2.036E-12	-236.4928	-1129.8351
	37	0	Inv_SLU-SLV	Combination	Min	-3260.776	-536.905	-108.198	-2.036E-12	-401.4841	-2203.0802
	37	1	Inv_SLU-SLV	Combination	Min	-3287.425	-536.905	-108.198	-2.036E-12	-318.288	-1666.3778
	87	0	Inv_SLU-SLV	Combination	Min	-3454.425	-533.957	-108.736	-2.285E-12	-463.7224	-2189.7734
	87	1	Inv_SLU-SLV	Combination	Min	-3481.074	-533.957	-108.736	-2.285E-12	-370.7213	-1656.0837
	87	2	Inv_SLU-SLV	Combination	Min	-3507.723	-533.957	-108.736	-2.285E-12	-278.8191	-1122.6113

RELAZIONE DI CALCOLO

COMMESSA	LOTTO	CODIFICA	DOCUMENTO	REV.	FOGLIO
NRIJ	01 D 29	CL	IV0104 001	B	115 di 341

opera **IV01**

coefficienti parziali			A		M		R
Metodo di calcolo			permanenti γ_G	variabili γ_Q	γ_{ψ}	$\gamma_{\psi u}$	γ_T
SLU	A1+M1+R1	<input type="radio"/>	1.30	1.50	1.00	1.00	1.00
	A2+M1+R2	<input type="radio"/>	1.00	1.30	1.00	1.00	1.60
	A1+M1+R3	<input type="radio"/>	1.30	1.50	1.00	1.00	1.30
	SISMA	<input type="radio"/>	1.00	1.00	1.00	1.00	1.30
DM88			<input type="radio"/>	1.00	1.00	1.00	1.00
definiti dal progettista			<input checked="" type="radio"/>	1.00	1.00	1.00	1.63



n	1	2	3	4	5	7	≥ 10	T.A.	prog.
ξ_3	1.70	1.65	1.60	1.55	1.50	1.45	1.40	1.00	1.00
ξ_4	1.70	1.55	1.48	1.42	1.34	1.28	1.21	1.00	1.00

strati terreno	descrizione	quote (m)	γ (kN/m ³)	γ' (kN/m ³)	ϕ (°)	Parametri medi		Parametri minimi		
						k_p	c_u (kPa)	ϕ (°)	k_p	c_u (kPa)
p.c.=strato 1		0.00	17	7	26	2.56		26	2.56	
<input checked="" type="checkbox"/> strato 2		-3.50	16.5	6.5	25	2.46		25	2.46	
<input checked="" type="checkbox"/> strato 3		-5.00	16.5	6.5	30	3.00		30	3.00	
<input checked="" type="checkbox"/> strato 4		-20.00	16	6	36	3.85		36	3.85	
<input checked="" type="checkbox"/> strato 5		-30.00	27	17	34	3.54		34	3.54	
<input type="checkbox"/> strato 6						1.00			1.00	

Quota falda -2.85 (m)
 Diametro del palo D 1.20 (m)
 Lunghezza del palo L 30.00 (m)
 Momento di plasticizzazione palo M_y 3602.20 (kNm)
 Step di calcolo 0.01 (m)

- palo impedito di ruotare
 palo libero

Calcolo
(ctrl+r)

	H medio		H minimo	
Palo lungo	2040.4 (kN)		2040.4 (kN)	
Palo intermedio	12423.9 (kN)		12423.9 (kN)	
Palo corto	46154.8 (kN)		46154.8 (kN)	
	H_{med} 2040.4 (kN)	Palo lungo	H_{min} 2040.4 (kN)	Palo lungo
	H_k = Min(H_{med}/ξ₃ ; R_{min}/ξ₄)		1236.61 (kN)	
	H_d = H_k/γ_T		760.99 (kN)	
Carico Assiale Permanente (G):	G =	553 (kN)		
Carico Assiale variabile (Q):	Q =	0 (kN)		
	F_d = G · γ_G + Q · γ_Q =	553.00 (kN)		
	FS = H_d / F_d =	1.38		

RELAZIONE DI CALCOLO

COMMESSA	LOTTO	CODIFICA	DOCUMENTO	REV.	FOGLIO
NR1J	01 D 29	CL	IV0104 001	B	116 di 341

10.1.5.4 Cedimento della palificata

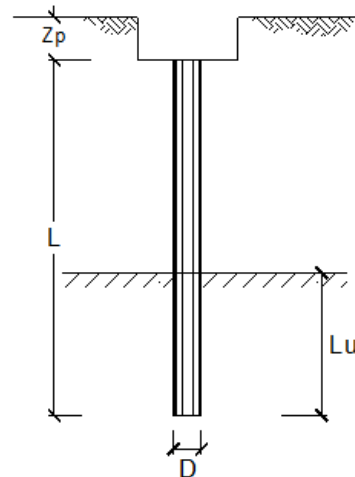
Viene calcolato il cedimento, dovuto alle azioni da combinazione SLE rara, del singolo palo e successivamente della palificata, utilizzando la teoria riportata in letteratura (Viggiani, 1999).

CALCOLO DEL CEDIMENTO DELLA PALIFICATA

OPERA: 0

DATI DI IMPUT:

Diametro del Palo (D):	1.20	(m)
Carico sul palo (P):	2765.0	(kN)
Lunghezza del Palo (L):	30.00	(m)
Lunghezza Utile del Palo (Lu):	29.00	(m)
Modulo di Deformazione (E):	35.00	(MPa)
Numero di pali della Palificata (n):	12	(-)
Spaziatura dei pali (s)	3.6	(m)


CEDIMENTO DEL PALO SINGOLO:

$$\delta = \beta * P / E * L_{utile}$$

Coefficiente di forma

$$\beta = 0,5 + \text{Log}(L_{utile} / D): 1.88 \quad (-)$$

Cedimento del palo

$$\delta = \beta * P / E * L_{utile} = 5.13 \quad (\text{mm})$$

CEDIMENTO DELLA PALIFICATA:

$$\delta_p = R_s * \delta = n * R_g * \delta$$

Coefficiente di Gruppo

$$R_g = 0,5 / R + 0,13 / R^2 \quad (\text{Viggiani, 1999})$$

$$R = (n * s / L)^{0,5} \quad R = 1.200$$

Cedimento della palificata

$$\delta_p = n * R_g * \delta = 12 * 0.51 * 5.13 = 31.21 \quad (\text{mm})$$

10.1.6 Soletta superiore

Per il dimensionamento e verifica della sola soletta superiore si rimanda alle analisi sviluppate nell'elaborato di calcolo NR1J01D29CLIV0100001 relativo allo scatolare di approccio; si seguito si riporta una sintesi delle armature della soletta superiore; per le verifiche si rimanda al documento appena citato:

Soletta superiore		
Sezione	Armatura trasversale	Armatura a taglio
Appoggio laterale	Ferri superiori 10 Φ 22 Ferri inferiori 5 Φ 30	Staffe Φ 12/20
Setto centrale	Ferri superiori 5 Φ 22 Ferri inferiori 10 Φ 30	Staffe Φ 12/40
Sbalzo laterale	Ferri superiori Φ 20/20	

11 INCIDENZA ARMATURA

La struttura presenta un'incidenza per gli elementi strutturali come segue:

- Muro frontale = 180 kg/m³;
- Muri andatori = 200 kg/m³;
- Muro paraghia = 165 kg/m³
- Soletta fondazione = 220 kg/m³
- Pali di grande diametro = 200 kg/m³
- Soletta superiore = 200 kg/m³

Pertanto nel calcolo è stato considerato un incremento del 15% per tener conto della presenza di legature, spille e sovrapposizioni.

Geometria Spalle

Muro frontale

H _{sez1}	1.5 m
B _{sez}	1 m
L _{sez1}	1 m
Volume unitario	1.5 m ³

Muri andatori

H _{sez}	0.8 m
B _{sez}	1 m
L _{sez}	1 m
Volume unitario	0.8 m ³

Muro puraghiaia

H _{sez}	0.5 m
B _{sez}	1 m
L _{sez}	1 m
Volume unitario	0.5 m ³

Soleta fondazione

H _{sez}	1.5 m
B _{sez}	1 m
L _{sez}	1 m
Volume unitario	1.5 m ³

Soleta superiore

H _{sez}	0.8 m
B _{sez}	1 m
L _{sez}	1 m
Volume unitario	0.8 m ³

RELAZIONE DI CALCOLO

COMMESSA	LOTTO	CODIFICA	DOCUMENTO	REV.	FOGLIO
NRIJ	01 D 29	CL	IV0104 001	B	118 di 341

Pali di grande diametro

D_{sez}	1.2	m
L_{sez}	1	m
Volume unitario	1.131	m ³
Peso acciaio	7850	kg/m ³
Idennità di legature	0.15	

RELAZIONE DI CALCOLO

COMMESSA	LOTTO	CODIFICA	DOCUMENTO	REV.	FOGLIO
NRIJ	01 D 29	CL	IV0104 001	B	119 di 341

Ferri di muro frontale

	ϕ	A	n° barre	peso
	mm	m ²	-	kg/m
Lati interni, arm. verticale	30	0.000707	8	44.391
Lato esterni arm. verticale	30	0.000707	8	44.391
Lato interni, arm. orizzontale	28	0.000616	8	38.669
Lato esterni arm. Orizzontale	28	0.000616	8	38.669
Staffe	10	7.85E-05	7	38.497
Incidenza paramento	156.87	kg/m³		

Ferri di muri andatori

	ϕ	A	n° barre	peso
	mm	m ²	-	kg/m
Lati interni, arm. verticale	26	0.000531	8	33.342
Lato esterni arm. verticale	26	0.000531	8	33.342
Lato interni, arm. orizzontale	26	0.000531	7	29.175
Lato esterni arm. Orizzontale	26	0.000531	7	29.175
Staffe	0	0	0	0.000
Incidenza Soletta di cop.	179.74	kg/m³		

Ferri di Muro puraghiaia

	ϕ	A	n° barre	peso
	mm	m ²	-	kg/m
Lati interni, arm. verticale	20	0.000314	10	24.662
Lato esterni arm. verticale	20	0.000314	10	24.662
Lato interni, arm. orizzontale	12	0.000113	7	6.215
Lato esterni arm. Orizzontale	12	0.000113	7	6.215
Incidenza Soletta di fond.	142.03	kg/m³		

Ferri di Soletta di fondazione

	ϕ	A	n° barre	peso
	mm	m ²	-	kg/m
Armatura superiore, dir. Principale	26	0.000531	10	41.678
Armatura inferiore, dir. Principale	26	0.000531	10	41.678

RELAZIONE DI CALCOLO

COMMESSA	LOTTO	CODIFICA	DOCUMENTO	REV.	FOGLIO
NRIJ	01 D 29	CL	IV0104 001	B	120 di 341

Armatura superiore, dir. Secondaria	26	0.000531	10	41.678
Armatura inferiore, dir. Secondaria	26	0.000531	10	41.678
Staffe	14	0.000154	15	89.181
Incidenza Soletta di fond.	196.18	kg/m³		

Ferri di Soletta superiore

	ϕ mm	A m ²	n° barre -	peso kg/m
Armatura superiore, dir. Principale	30	0.000707	10	55.488
Armatura inferiore, dir. Principale	22	0.00038	10	29.840
Armatura superiore, dir. Secondaria	12	0.000113	6	5.327
Armatura inferiore, dir. Secondaria	12	0.000113	6	5.327
Staffe	12	0.000113	10	31.251
Incidenza Soletta di fond.	182.90	kg/m³		

Ferri di Pali di grande diametro

	ϕ mm	A m ²	n° barre -	peso kg/m
Armatura Longitudinale	30	0.000707	32	177.563
Staffe	12	0.000113	5	15.340
Incidenza	196.15	kg/m³		

RELAZIONE DI CALCOLO

COMMESSA	LOTTO	CODIFICA	DOCUMENTO	REV.	FOGLIO
NRIJ	01 D 29	CL	IV0104 001	B	121 di 341

12 ALLEGATO

12.1 Combinazioni di carico

Table: Combination Definitions, Part 1 of 3

ComboName	ComboType	AutoDesign	CaseType	CaseName	ScaleFactor	SteelDesign
24_q_vento_tot	Envelope	No	Linear Static	q_vento_X	1	None
24_q_vento_tot			Linear Static	q_vento_Y	1	
24_q_vento_tot			Linear Static	24_q_vento	1	
SLU_Gr_1_S1_1	Linear Add	No	Linear Static	DEAD	1.35	None
SLU_Gr_1_S1_1			Linear Static	1_G1_trave	1.35	
SLU_Gr_1_S1_1			Linear Static	2_G1_soletta	1.35	
SLU_Gr_1_S1_1			Linear Static	3_G1_marciapiede	1.35	
SLU_Gr_1_S1_1			Linear Static	4_G1_traverso	1.35	
SLU_Gr_1_S1_1			Linear Static	5_G2_veletta	1.5	
SLU_Gr_1_S1_1			Linear Static	6_G2_impianti	1.5	
SLU_Gr_1_S1_1			Linear Static	7_G2_parapetti	1.5	
SLU_Gr_1_S1_1			Linear Static	8_G2_pavimentazione	1.5	
SLU_Gr_1_S1_1			Linear Static	9_G2_sicurvia	1.5	
SLU_Gr_1_S1_1			Linear Static	11_Q1k	1.35	
SLU_Gr_1_S1_1			Linear Static	10_q1k	1.35	
SLU_Gr_1_S1_1			Linear Static	13_Q2k	1.35	
SLU_Gr_1_S1_1			Linear Static	12_q2k	1.35	
SLU_Gr_1_S1_1			Linear Static	16_Q_zr	1.35	
SLU_Gr_1_S1_1			Linear Static	17_qfk	0.5	
SLU_Gr_1_S1_1			Linear Static	20_q4_centra	0	
SLU_Gr_1_S1_1			Linear Static	19_q3_frenatura	0	
SLU_Gr_1_S1_1			Linear Static	15_Q3k	1.35	
SLU_Gr_1_S1_1			Linear Static	14_q3k	1.35	
SLU_Gr_1_S1_1			Response Combo	24_q_vento_tot	0.9	
SLU_Gr_1_S1_1			Linear Static	23_q_temp F	0.72	
SLU_Gr_1_S1_1			Linear Static	22_q_ritiro	1.2	
SLU_Gr_1_S1_1			Linear Static	21_q8	0	
SLU_Gr_1_S1_2	Linear Add	No	Linear Static	DEAD	1.35	None
SLU_Gr_1_S1_2			Linear Static	1_G1_trave	1.35	
SLU_Gr_1_S1_2			Linear Static	2_G1_soletta	1.35	
SLU_Gr_1_S1_2			Linear Static	3_G1_marciapiede	1.35	
SLU_Gr_1_S1_2			Linear Static	4_G1_traverso	1.35	
SLU_Gr_1_S1_2			Linear Static	5_G2_veletta	1.5	
SLU_Gr_1_S1_2			Linear Static	6_G2_impianti	1.5	
SLU_Gr_1_S1_2			Linear Static	7_G2_parapetti	1.5	
SLU_Gr_1_S1_2			Linear Static	8_G2_pavimentazione	1.5	
SLU_Gr_1_S1_2			Linear Static	9_G2_sicurvia	1.5	
SLU_Gr_1_S1_2			Linear Static	11_Q1k	1.35	
SLU_Gr_1_S1_2			Linear Static	10_q1k	1.35	
SLU_Gr_1_S1_2			Linear Static	13_Q2k	1.35	
SLU_Gr_1_S1_2			Linear Static	12_q2k	1.35	
SLU_Gr_1_S1_2			Linear Static	16_Q_zr	1.35	
SLU_Gr_1_S1_2			Linear Static	17_qfk	0.5	
SLU_Gr_1_S1_2			Linear Static	20_q4_centra	0	
SLU_Gr_1_S1_2			Linear Static	19_q3_frenatura	0	
SLU_Gr_1_S1_2			Linear Static	15_Q3k	1.35	
SLU_Gr_1_S1_2			Linear Static	14_q3k	1.35	
SLU_Gr_1_S1_2			Response Combo	24_q_vento_tot	0.9	
SLU_Gr_1_S1_2			Linear Static	23_q_temp F	0	
SLU_Gr_1_S1_2			Linear Static	22_q_ritiro	1.2	
SLU_Gr_1_S1_2			Linear Static	21_q8	0	
SLU_Gr_1_S1_3	Linear Add	No	Linear Static	DEAD	1.35	None

RELAZIONE DI CALCOLO

COMMESSA	LOTTO	CODIFICA	DOCUMENTO	REV.	FOGLIO
NRIJ	01 D 29	CL	IV0104 001	B	122 di 341

SLU_Gr_1_S1_3	Linear Static	1_G1_trave	1.35		
SLU_Gr_1_S1_3	Linear Static	2_G1_soletta	1.35		
SLU_Gr_1_S1_3	Linear Static	3_G1_marciapiede	1.35		
SLU_Gr_1_S1_3	Linear Static	4_G1_traverso	1.35		
SLU_Gr_1_S1_3	Linear Static	5_G2_veletta	1.5		
SLU_Gr_1_S1_3	Linear Static	6_G2_impianti	1.5		
SLU_Gr_1_S1_3	Linear Static	7_G2_parapetti	1.5		
SLU_Gr_1_S1_3	Linear Static	8_G2_pavimentazione	1.5		
SLU_Gr_1_S1_3	Linear Static	9_G2_sicurvia	1.5		
SLU_Gr_1_S1_3	Linear Static	11_Q1k	1.35		
SLU_Gr_1_S1_3	Linear Static	10_q1k	1.35		
SLU_Gr_1_S1_3	Linear Static	13_Q2k	1.35		
SLU_Gr_1_S1_3	Linear Static	12_q2k	1.35		
SLU_Gr_1_S1_3	Linear Static	16_Q_zr	1.35		
SLU_Gr_1_S1_3	Linear Static	17_qfk	0.5		
SLU_Gr_1_S1_3	Linear Static	20_q4_centr	0		
SLU_Gr_1_S1_3	Linear Static	19_q3_frenatura	0		
SLU_Gr_1_S1_3	Linear Static	15_Q3k	1.35		
SLU_Gr_1_S1_3	Linear Static	14_q3k	1.35		
SLU_Gr_1_S1_3	Response Combo	24_q_vento_tot	0.9		
SLU_Gr_1_S1_3	Linear Static	23_q_temp F	0		
SLU_Gr_1_S1_3	Linear Static	22_q_ritiro	1.2		
SLU_Gr_1_S1_3	Linear Static	21_q8	0		
SLU_Gr_1_S1_4	Linear Add	No Linear Static	DEAD	1.35	None
SLU_Gr_1_S1_4	Linear Static	1_G1_trave	1.35		
SLU_Gr_1_S1_4	Linear Static	2_G1_soletta	1.35		
SLU_Gr_1_S1_4	Linear Static	3_G1_marciapiede	1.35		
SLU_Gr_1_S1_4	Linear Static	4_G1_traverso	1.35		
SLU_Gr_1_S1_4	Linear Static	5_G2_veletta	1.5		
SLU_Gr_1_S1_4	Linear Static	6_G2_impianti	1.5		
SLU_Gr_1_S1_4	Linear Static	7_G2_parapetti	1.5		
SLU_Gr_1_S1_4	Linear Static	8_G2_pavimentazione	1.5		
SLU_Gr_1_S1_4	Linear Static	9_G2_sicurvia	1.5		
SLU_Gr_1_S1_4	Linear Static	11_Q1k	1.35		
SLU_Gr_1_S1_4	Linear Static	10_q1k	1.35		
SLU_Gr_1_S1_4	Linear Static	13_Q2k	1.35		
SLU_Gr_1_S1_4	Linear Static	12_q2k	1.35		
SLU_Gr_1_S1_4	Linear Static	16_Q_zr	1.35		
SLU_Gr_1_S1_4	Linear Static	17_qfk	0.5		
SLU_Gr_1_S1_4	Linear Static	20_q4_centr	0		
SLU_Gr_1_S1_4	Linear Static	19_q3_frenatura	0		
SLU_Gr_1_S1_4	Linear Static	15_Q3k	1.35		
SLU_Gr_1_S1_4	Linear Static	14_q3k	1.35		
SLU_Gr_1_S1_4	Response Combo	24_q_vento_tot	0.9		
SLU_Gr_1_S1_4	Linear Static	23_q_temp F	0.72		
SLU_Gr_1_S1_4	Linear Static	22_q_ritiro	1.2		
SLU_Gr_1_S1_4	Linear Static	21_q8	0		
SLU_Gr_1_S1_5	Linear Add	No Linear Static	DEAD	1.35	None
SLU_Gr_1_S1_5	Linear Static	1_G1_trave	1.35		
SLU_Gr_1_S1_5	Linear Static	2_G1_soletta	1.35		
SLU_Gr_1_S1_5	Linear Static	3_G1_marciapiede	1.35		
SLU_Gr_1_S1_5	Linear Static	4_G1_traverso	1.35		
SLU_Gr_1_S1_5	Linear Static	5_G2_veletta	1.5		
SLU_Gr_1_S1_5	Linear Static	6_G2_impianti	1.5		
SLU_Gr_1_S1_5	Linear Static	7_G2_parapetti	1.5		
SLU_Gr_1_S1_5	Linear Static	8_G2_pavimentazione	1.5		
SLU_Gr_1_S1_5	Linear Static	9_G2_sicurvia	1.5		
SLU_Gr_1_S1_5	Linear Static	11_Q1k	1.35		
SLU_Gr_1_S1_5	Linear Static	10_q1k	1.35		
SLU_Gr_1_S1_5	Linear Static	13_Q2k	1.35		
SLU_Gr_1_S1_5	Linear Static	12_q2k	1.35		
SLU_Gr_1_S1_5	Linear Static	16_Q_zr	1.35		

RELAZIONE DI CALCOLO

COMMESSA	LOTTO	CODIFICA	DOCUMENTO	REV.	FOGLIO
NRIJ	01 D 29	CL	IV0104 001	B	123 di 341

SLU_Gr_1_S1_5	Linear Static	17_qfk	0.5			
SLU_Gr_1_S1_5	Linear Static	20_q4_centra	0			
SLU_Gr_1_S1_5	Linear Static	19_q3_frenatura	0			
SLU_Gr_1_S1_5	Linear Static	15_Q3k	1.35			
SLU_Gr_1_S1_5	Linear Static	14_q3k	1.35			
SLU_Gr_1_S1_5	Response Combo	24_q_vento_tot	0.9			
SLU_Gr_1_S1_5	Linear Static	23_q_temp F	0			
SLU_Gr_1_S1_5	Linear Static	22_q_ritiro	1.2			
SLU_Gr_1_S1_5	Linear Static	21_q8	0			
SLU_Gr_1_S1_6	Linear Add	No	Linear Static	DEAD	1.35	None
SLU_Gr_1_S1_6	Linear Static	1_G1_trave	1.35			
SLU_Gr_1_S1_6	Linear Static	2_G1_soletta	1.35			
SLU_Gr_1_S1_6	Linear Static	3_G1_marciapiede	1.35			
SLU_Gr_1_S1_6	Linear Static	4_G1_traverso	1.35			
SLU_Gr_1_S1_6	Linear Static	5_G2_veletta	1.5			
SLU_Gr_1_S1_6	Linear Static	6_G2_impianti	1.5			
SLU_Gr_1_S1_6	Linear Static	7_G2_parapetti	1.5			
SLU_Gr_1_S1_6	Linear Static	8_G2_pavimentazione	1.5			
SLU_Gr_1_S1_6	Linear Static	9_G2_sicurvia	1.5			
SLU_Gr_1_S1_6	Linear Static	11_Q1k	0			
SLU_Gr_1_S1_6	Linear Static	10_q1k	0			
SLU_Gr_1_S1_6	Linear Static	13_Q2k	0			
SLU_Gr_1_S1_6	Linear Static	12_q2k	0			
SLU_Gr_1_S1_6	Linear Static	16_Q_zr	0			
SLU_Gr_1_S1_6	Linear Static	17_qfk	0.5			
SLU_Gr_1_S1_6	Linear Static	20_q4_centra	0			
SLU_Gr_1_S1_6	Linear Static	19_q3_frenatura	0			
SLU_Gr_1_S1_6	Linear Static	15_Q3k	0			
SLU_Gr_1_S1_6	Linear Static	14_q3k	0			
SLU_Gr_1_S1_6	Response Combo	24_q_vento_tot	0.9			
SLU_Gr_1_S1_6	Linear Static	23_q_temp F	0.72			
SLU_Gr_1_S1_6	Linear Static	22_q_ritiro	1.2			
SLU_Gr_1_S1_6	Linear Static	21_q8	0			
SLU_Gr_1_S1_7	Linear Add	No	Linear Static	DEAD	1.35	None
SLU_Gr_1_S1_7	Linear Static	1_G1_trave	1.35			
SLU_Gr_1_S1_7	Linear Static	2_G1_soletta	1.35			
SLU_Gr_1_S1_7	Linear Static	3_G1_marciapiede	1.35			
SLU_Gr_1_S1_7	Linear Static	4_G1_traverso	1.35			
SLU_Gr_1_S1_7	Linear Static	5_G2_veletta	1.5			
SLU_Gr_1_S1_7	Linear Static	6_G2_impianti	1.5			
SLU_Gr_1_S1_7	Linear Static	7_G2_parapetti	1.5			
SLU_Gr_1_S1_7	Linear Static	8_G2_pavimentazione	1.5			
SLU_Gr_1_S1_7	Linear Static	9_G2_sicurvia	1.5			
SLU_Gr_1_S1_7	Linear Static	11_Q1k	0			
SLU_Gr_1_S1_7	Linear Static	10_q1k	0			
SLU_Gr_1_S1_7	Linear Static	13_Q2k	0			
SLU_Gr_1_S1_7	Linear Static	12_q2k	0			
SLU_Gr_1_S1_7	Linear Static	16_Q_zr	0			
SLU_Gr_1_S1_7	Linear Static	17_qfk	0.5			
SLU_Gr_1_S1_7	Linear Static	20_q4_centra	0			
SLU_Gr_1_S1_7	Linear Static	19_q3_frenatura	0			
SLU_Gr_1_S1_7	Linear Static	15_Q3k	0			
SLU_Gr_1_S1_7	Linear Static	14_q3k	0			
SLU_Gr_1_S1_7	Response Combo	24_q_vento_tot	0.9			
SLU_Gr_1_S1_7	Linear Static	23_q_temp F	0			
SLU_Gr_1_S1_7	Linear Static	22_q_ritiro	1.2			
SLU_Gr_1_S1_7	Linear Static	21_q8	0			
SLU_Gr_1_S1_8	Linear Add	No	Linear Static	DEAD	1.35	None
SLU_Gr_1_S1_8	Linear Static	1_G1_trave	1.35			
SLU_Gr_1_S1_8	Linear Static	2_G1_soletta	1.35			
SLU_Gr_1_S1_8	Linear Static	3_G1_marciapiede	1.35			
SLU_Gr_1_S1_8	Linear Static	4_G1_traverso	1.35			

RELAZIONE DI CALCOLO

COMMESSA	LOTTO	CODIFICA	DOCUMENTO	REV.	FOGLIO
NRLJ	01 D 29	CL	IV0104 001	B	124 di 341

SLU_Gr_1_S1_8	Linear Static	5_G2_veletta	1.5		
SLU_Gr_1_S1_8	Linear Static	6_G2_impianti	1.5		
SLU_Gr_1_S1_8	Linear Static	7_G2_parapetti	1.5		
SLU_Gr_1_S1_8	Linear Static	8_G2_pavimentazione	1.5		
SLU_Gr_1_S1_8	Linear Static	9_G2_sicurvia	1.5		
SLU_Gr_1_S1_8	Linear Static	11_Q1k	0		
SLU_Gr_1_S1_8	Linear Static	10_q1k	0		
SLU_Gr_1_S1_8	Linear Static	13_Q2k	0		
SLU_Gr_1_S1_8	Linear Static	12_q2k	0		
SLU_Gr_1_S1_8	Linear Static	16_Q_zr	0		
SLU_Gr_1_S1_8	Linear Static	17_qfk	0.5		
SLU_Gr_1_S1_8	Linear Static	20_q4_centra	0		
SLU_Gr_1_S1_8	Linear Static	19_q3_frenatura	0		
SLU_Gr_1_S1_8	Linear Static	15_Q3k	0		
SLU_Gr_1_S1_8	Linear Static	14_q3k	0		
SLU_Gr_1_S1_8	Response Combo	24_q_vento_tot	0.9		
SLU_Gr_1_S1_8	Linear Static	23_q_temp F	0		
SLU_Gr_1_S1_8	Linear Static	22_q_ritiro	1.2		
SLU_Gr_1_S1_8	Linear Static	21_q8	0		
SLU_Gr_1_S1_9	Linear Add	No Linear Static	DEAD	1.35	None
SLU_Gr_1_S1_9	Linear Static	1_G1_trave	1.35		
SLU_Gr_1_S1_9	Linear Static	2_G1_soletta	1.35		
SLU_Gr_1_S1_9	Linear Static	3_G1_marciapiede	1.35		
SLU_Gr_1_S1_9	Linear Static	4_G1_traverso	1.35		
SLU_Gr_1_S1_9	Linear Static	5_G2_veletta	1.5		
SLU_Gr_1_S1_9	Linear Static	6_G2_impianti	1.5		
SLU_Gr_1_S1_9	Linear Static	7_G2_parapetti	1.5		
SLU_Gr_1_S1_9	Linear Static	8_G2_pavimentazione	1.5		
SLU_Gr_1_S1_9	Linear Static	9_G2_sicurvia	1.5		
SLU_Gr_1_S1_9	Linear Static	11_Q1k	0		
SLU_Gr_1_S1_9	Linear Static	10_q1k	0		
SLU_Gr_1_S1_9	Linear Static	13_Q2k	0		
SLU_Gr_1_S1_9	Linear Static	12_q2k	0		
SLU_Gr_1_S1_9	Linear Static	16_Q_zr	0		
SLU_Gr_1_S1_9	Linear Static	17_qfk	0.5		
SLU_Gr_1_S1_9	Linear Static	20_q4_centra	0		
SLU_Gr_1_S1_9	Linear Static	19_q3_frenatura	0		
SLU_Gr_1_S1_9	Linear Static	15_Q3k	0		
SLU_Gr_1_S1_9	Linear Static	14_q3k	0		
SLU_Gr_1_S1_9	Response Combo	24_q_vento_tot	0.9		
SLU_Gr_1_S1_9	Linear Static	23_q_temp F	0.72		
SLU_Gr_1_S1_9	Linear Static	22_q_ritiro	1.2		
SLU_Gr_1_S1_9	Linear Static	21_q8	0		
SLU_Gr_1_S1_10	Linear Add	No Linear Static	DEAD	1.35	None
SLU_Gr_1_S1_10	Linear Static	1_G1_trave	1.35		
SLU_Gr_1_S1_10	Linear Static	2_G1_soletta	1.35		
SLU_Gr_1_S1_10	Linear Static	3_G1_marciapiede	1.35		
SLU_Gr_1_S1_10	Linear Static	4_G1_traverso	1.35		
SLU_Gr_1_S1_10	Linear Static	5_G2_veletta	1.5		
SLU_Gr_1_S1_10	Linear Static	6_G2_impianti	1.5		
SLU_Gr_1_S1_10	Linear Static	7_G2_parapetti	1.5		
SLU_Gr_1_S1_10	Linear Static	8_G2_pavimentazione	1.5		
SLU_Gr_1_S1_10	Linear Static	9_G2_sicurvia	1.5		
SLU_Gr_1_S1_10	Linear Static	11_Q1k	0		
SLU_Gr_1_S1_10	Linear Static	10_q1k	0		
SLU_Gr_1_S1_10	Linear Static	13_Q2k	0		
SLU_Gr_1_S1_10	Linear Static	12_q2k	0		
SLU_Gr_1_S1_10	Linear Static	16_Q_zr	0		
SLU_Gr_1_S1_10	Linear Static	17_qfk	0.5		
SLU_Gr_1_S1_10	Linear Static	20_q4_centra	0		
SLU_Gr_1_S1_10	Linear Static	19_q3_frenatura	0		
SLU_Gr_1_S1_10	Linear Static	15_Q3k	0		

RELAZIONE DI CALCOLO

COMMESSA	LOTTO	CODIFICA	DOCUMENTO	REV.	FOGLIO
NRIJ	01 D 29	CL	IV0104 001	B	125 di 341

SLU_Gr_1_S1_10	Linear Static	14_q3k	0			
SLU_Gr_1_S1_10	Response Combo	24_q_vento_tot	0.9			
SLU_Gr_1_S1_10	Linear Static	23_q_temp F	0			
SLU_Gr_1_S1_10	Linear Static	22_q_ritiro	1.2			
SLU_Gr_1_S1_10	Linear Static	21_q8	0			
SLU_Gr_1_S1_11	Linear Add	No	Linear Static	DEAD	1.35	None
SLU_Gr_1_S1_11	Linear Static	1_G1_trave	1.35			
SLU_Gr_1_S1_11	Linear Static	2_G1_soletta	1.35			
SLU_Gr_1_S1_11	Linear Static	3_G1_marciapiede	1.35			
SLU_Gr_1_S1_11	Linear Static	4_G1_traverso	1.35			
SLU_Gr_1_S1_11	Linear Static	5_G2_veletta	1.5			
SLU_Gr_1_S1_11	Linear Static	6_G2_impianti	1.5			
SLU_Gr_1_S1_11	Linear Static	7_G2_parapetti	1.5			
SLU_Gr_1_S1_11	Linear Static	8_G2_pavimentazione	1.5			
SLU_Gr_1_S1_11	Linear Static	9_G2_sicurvia	1.5			
SLU_Gr_1_S1_11	Linear Static	11_Q1k	1.0125			
SLU_Gr_1_S1_11	Linear Static	10_q1k	0.54			
SLU_Gr_1_S1_11	Linear Static	13_Q2k	1.0125			
SLU_Gr_1_S1_11	Linear Static	12_q2k	0.54			
SLU_Gr_1_S1_11	Linear Static	16_Q_zr	1.0125			
SLU_Gr_1_S1_11	Linear Static	17_qfk	0.375			
SLU_Gr_1_S1_11	Linear Static	20_q4_centra	0			
SLU_Gr_1_S1_11	Linear Static	19_q3_frenatura	0			
SLU_Gr_1_S1_11	Linear Static	15_Q3k	1.0125			
SLU_Gr_1_S1_11	Linear Static	14_q3k	0.54			
SLU_Gr_1_S1_11	Response Combo	24_q_vento_tot	1.5			
SLU_Gr_1_S1_11	Linear Static	23_q_temp F	0.72			
SLU_Gr_1_S1_11	Linear Static	22_q_ritiro	1.2			
SLU_Gr_1_S1_11	Linear Static	21_q8	0			
SLU_Gr_1_S1_12	Linear Add	No	Linear Static	DEAD	1.35	None
SLU_Gr_1_S1_12	Linear Static	1_G1_trave	1.35			
SLU_Gr_1_S1_12	Linear Static	2_G1_soletta	1.35			
SLU_Gr_1_S1_12	Linear Static	3_G1_marciapiede	1.35			
SLU_Gr_1_S1_12	Linear Static	4_G1_traverso	1.35			
SLU_Gr_1_S1_12	Linear Static	5_G2_veletta	1.5			
SLU_Gr_1_S1_12	Linear Static	6_G2_impianti	1.5			
SLU_Gr_1_S1_12	Linear Static	7_G2_parapetti	1.5			
SLU_Gr_1_S1_12	Linear Static	8_G2_pavimentazione	1.5			
SLU_Gr_1_S1_12	Linear Static	9_G2_sicurvia	1.5			
SLU_Gr_1_S1_12	Linear Static	11_Q1k	1.0125			
SLU_Gr_1_S1_12	Linear Static	10_q1k	0.54			
SLU_Gr_1_S1_12	Linear Static	13_Q2k	1.0125			
SLU_Gr_1_S1_12	Linear Static	12_q2k	0.54			
SLU_Gr_1_S1_12	Linear Static	16_Q_zr	1.0125			
SLU_Gr_1_S1_12	Linear Static	17_qfk	0.375			
SLU_Gr_1_S1_12	Linear Static	20_q4_centra	0			
SLU_Gr_1_S1_12	Linear Static	19_q3_frenatura	0			
SLU_Gr_1_S1_12	Linear Static	15_Q3k	1.0125			
SLU_Gr_1_S1_12	Linear Static	14_q3k	0.54			
SLU_Gr_1_S1_12	Response Combo	24_q_vento_tot	1.5			
SLU_Gr_1_S1_12	Linear Static	23_q_temp F	0			
SLU_Gr_1_S1_12	Linear Static	22_q_ritiro	1.2			
SLU_Gr_1_S1_12	Linear Static	21_q8	0			
SLU_Gr_1_S1_13	Linear Add	No	Linear Static	DEAD	1.35	None
SLU_Gr_1_S1_13	Linear Static	1_G1_trave	1.35			
SLU_Gr_1_S1_13	Linear Static	2_G1_soletta	1.35			
SLU_Gr_1_S1_13	Linear Static	3_G1_marciapiede	1.35			
SLU_Gr_1_S1_13	Linear Static	4_G1_traverso	1.35			
SLU_Gr_1_S1_13	Linear Static	5_G2_veletta	1.5			
SLU_Gr_1_S1_13	Linear Static	6_G2_impianti	1.5			
SLU_Gr_1_S1_13	Linear Static	7_G2_parapetti	1.5			
SLU_Gr_1_S1_13	Linear Static	8_G2_pavimentazione	1.5			

RELAZIONE DI CALCOLO

COMMESSA	LOTTO	CODIFICA	DOCUMENTO	REV.	FOGLIO
NRIJ	01 D 29	CL	IV0104 001	B	126 di 341

SLU_Gr_1_S1_13	Linear Static	9_G2_sicurvia	1.5		
SLU_Gr_1_S1_13	Linear Static	11_Q1k	1.0125		
SLU_Gr_1_S1_13	Linear Static	10_q1k	0.54		
SLU_Gr_1_S1_13	Linear Static	13_Q2k	1.0125		
SLU_Gr_1_S1_13	Linear Static	12_q2k	0.54		
SLU_Gr_1_S1_13	Linear Static	16_Q_zr	1.0125		
SLU_Gr_1_S1_13	Linear Static	17_qfk	0.375		
SLU_Gr_1_S1_13	Linear Static	20_q4_centra	0		
SLU_Gr_1_S1_13	Linear Static	19_q3_frenatura	0		
SLU_Gr_1_S1_13	Linear Static	15_Q3k	1.0125		
SLU_Gr_1_S1_13	Linear Static	14_q3k	0.54		
SLU_Gr_1_S1_13	Response Combo	24_q_vento_tot	1.5		
SLU_Gr_1_S1_13	Linear Static	23_q_temp F	0		
SLU_Gr_1_S1_13	Linear Static	22_q_ritiro	1.2		
SLU_Gr_1_S1_13	Linear Static	21_q8	0		
SLU_Gr_1_S1_14	Linear Add	No Linear Static	DEAD	1.35	None
SLU_Gr_1_S1_14	Linear Static	1_G1_trave	1.35		
SLU_Gr_1_S1_14	Linear Static	2_G1_soletta	1.35		
SLU_Gr_1_S1_14	Linear Static	3_G1_marciapiede	1.35		
SLU_Gr_1_S1_14	Linear Static	4_G1_traverso	1.35		
SLU_Gr_1_S1_14	Linear Static	5_G2_veletta	1.5		
SLU_Gr_1_S1_14	Linear Static	6_G2_impianti	1.5		
SLU_Gr_1_S1_14	Linear Static	7_G2_parapetti	1.5		
SLU_Gr_1_S1_14	Linear Static	8_G2_pavimentazione	1.5		
SLU_Gr_1_S1_14	Linear Static	9_G2_sicurvia	1.5		
SLU_Gr_1_S1_14	Linear Static	11_Q1k	1.0125		
SLU_Gr_1_S1_14	Linear Static	10_q1k	0.54		
SLU_Gr_1_S1_14	Linear Static	13_Q2k	1.0125		
SLU_Gr_1_S1_14	Linear Static	12_q2k	0.54		
SLU_Gr_1_S1_14	Linear Static	16_Q_zr	1.0125		
SLU_Gr_1_S1_14	Linear Static	17_qfk	0.375		
SLU_Gr_1_S1_14	Linear Static	20_q4_centra	0		
SLU_Gr_1_S1_14	Linear Static	19_q3_frenatura	0		
SLU_Gr_1_S1_14	Linear Static	15_Q3k	1.0125		
SLU_Gr_1_S1_14	Linear Static	14_q3k	0.54		
SLU_Gr_1_S1_14	Response Combo	24_q_vento_tot	1.5		
SLU_Gr_1_S1_14	Linear Static	23_q_temp F	0.72		
SLU_Gr_1_S1_14	Linear Static	22_q_ritiro	1.2		
SLU_Gr_1_S1_14	Linear Static	21_q8	0		
SLU_Gr_1_S1_15	Linear Add	No Linear Static	DEAD	1.35	None
SLU_Gr_1_S1_15	Linear Static	1_G1_trave	1.35		
SLU_Gr_1_S1_15	Linear Static	2_G1_soletta	1.35		
SLU_Gr_1_S1_15	Linear Static	3_G1_marciapiede	1.35		
SLU_Gr_1_S1_15	Linear Static	4_G1_traverso	1.35		
SLU_Gr_1_S1_15	Linear Static	5_G2_veletta	1.5		
SLU_Gr_1_S1_15	Linear Static	6_G2_impianti	1.5		
SLU_Gr_1_S1_15	Linear Static	7_G2_parapetti	1.5		
SLU_Gr_1_S1_15	Linear Static	8_G2_pavimentazione	1.5		
SLU_Gr_1_S1_15	Linear Static	9_G2_sicurvia	1.5		
SLU_Gr_1_S1_15	Linear Static	11_Q1k	1.0125		
SLU_Gr_1_S1_15	Linear Static	10_q1k	0.54		
SLU_Gr_1_S1_15	Linear Static	13_Q2k	1.0125		
SLU_Gr_1_S1_15	Linear Static	12_q2k	0.54		
SLU_Gr_1_S1_15	Linear Static	16_Q_zr	1.0125		
SLU_Gr_1_S1_15	Linear Static	17_qfk	0.375		
SLU_Gr_1_S1_15	Linear Static	20_q4_centra	0		
SLU_Gr_1_S1_15	Linear Static	19_q3_frenatura	0		
SLU_Gr_1_S1_15	Linear Static	15_Q3k	1.0125		
SLU_Gr_1_S1_15	Linear Static	14_q3k	0.54		
SLU_Gr_1_S1_15	Response Combo	24_q_vento_tot	1.5		
SLU_Gr_1_S1_15	Linear Static	23_q_temp F	0		
SLU_Gr_1_S1_15	Linear Static	22_q_ritiro	1.2		

RELAZIONE DI CALCOLO

COMMESSA	LOTTO	CODIFICA	DOCUMENTO	REV.	FOGLIO
NRIJ	01 D 29	CL	IV0104 001	B	127 di 341

SLU_Gr_1_S1_15		Linear Static	21_q8	0		
SLU_Gr_1_S1_16	Linear Add	No	Linear Static	DEAD	1.35	None
SLU_Gr_1_S1_16		Linear Static	1_G1_trave	1.35		
SLU_Gr_1_S1_16		Linear Static	2_G1_soletta	1.35		
SLU_Gr_1_S1_16		Linear Static	3_G1_marciapiede	1.35		
SLU_Gr_1_S1_16		Linear Static	4_G1_traverso	1.35		
SLU_Gr_1_S1_16		Linear Static	5_G2_veletta	1.5		
SLU_Gr_1_S1_16		Linear Static	6_G2_impianti	1.5		
SLU_Gr_1_S1_16		Linear Static	7_G2_parapetti	1.5		
SLU_Gr_1_S1_16		Linear Static	8_G2_pavimentazione	1.5		
SLU_Gr_1_S1_16		Linear Static	9_G2_sicurvia	1.5		
SLU_Gr_1_S1_16		Linear Static	11_Q1k	0		
SLU_Gr_1_S1_16		Linear Static	10_q1k	0		
SLU_Gr_1_S1_16		Linear Static	13_Q2k	0		
SLU_Gr_1_S1_16		Linear Static	12_q2k	0		
SLU_Gr_1_S1_16		Linear Static	16_Q_zr	0		
SLU_Gr_1_S1_16		Linear Static	17_qfk	0.375		
SLU_Gr_1_S1_16		Linear Static	20_q4_centr	0		
SLU_Gr_1_S1_16		Linear Static	19_q3_frenatura	0		
SLU_Gr_1_S1_16		Linear Static	15_Q3k	0		
SLU_Gr_1_S1_16		Linear Static	14_q3k	0		
SLU_Gr_1_S1_16		Response Combo	24_q_vento_tot	1.5		
SLU_Gr_1_S1_16		Linear Static	23_q_temp F	0.72		
SLU_Gr_1_S1_16		Linear Static	22_q_ritiro	1.2		
SLU_Gr_1_S1_16		Linear Static	21_q8	0		
SLU_Gr_1_S1_17	Linear Add	No	Linear Static	DEAD	1.35	None
SLU_Gr_1_S1_17		Linear Static	1_G1_trave	1.35		
SLU_Gr_1_S1_17		Linear Static	2_G1_soletta	1.35		
SLU_Gr_1_S1_17		Linear Static	3_G1_marciapiede	1.35		
SLU_Gr_1_S1_17		Linear Static	4_G1_traverso	1.35		
SLU_Gr_1_S1_17		Linear Static	5_G2_veletta	1.5		
SLU_Gr_1_S1_17		Linear Static	6_G2_impianti	1.5		
SLU_Gr_1_S1_17		Linear Static	7_G2_parapetti	1.5		
SLU_Gr_1_S1_17		Linear Static	8_G2_pavimentazione	1.5		
SLU_Gr_1_S1_17		Linear Static	9_G2_sicurvia	1.5		
SLU_Gr_1_S1_17		Linear Static	11_Q1k	0		
SLU_Gr_1_S1_17		Linear Static	10_q1k	0		
SLU_Gr_1_S1_17		Linear Static	13_Q2k	0		
SLU_Gr_1_S1_17		Linear Static	12_q2k	0		
SLU_Gr_1_S1_17		Linear Static	16_Q_zr	0		
SLU_Gr_1_S1_17		Linear Static	17_qfk	0.375		
SLU_Gr_1_S1_17		Linear Static	20_q4_centr	0		
SLU_Gr_1_S1_17		Linear Static	19_q3_frenatura	0		
SLU_Gr_1_S1_17		Linear Static	15_Q3k	0		
SLU_Gr_1_S1_17		Linear Static	14_q3k	0		
SLU_Gr_1_S1_17		Response Combo	24_q_vento_tot	1.5		
SLU_Gr_1_S1_17		Linear Static	23_q_temp F	0		
SLU_Gr_1_S1_17		Linear Static	22_q_ritiro	1.2		
SLU_Gr_1_S1_17		Linear Static	21_q8	0		
SLU_Gr_1_S1_18	Linear Add	No	Linear Static	DEAD	1.35	None
SLU_Gr_1_S1_18		Linear Static	1_G1_trave	1.35		
SLU_Gr_1_S1_18		Linear Static	2_G1_soletta	1.35		
SLU_Gr_1_S1_18		Linear Static	3_G1_marciapiede	1.35		
SLU_Gr_1_S1_18		Linear Static	4_G1_traverso	1.35		
SLU_Gr_1_S1_18		Linear Static	5_G2_veletta	1.5		
SLU_Gr_1_S1_18		Linear Static	6_G2_impianti	1.5		
SLU_Gr_1_S1_18		Linear Static	7_G2_parapetti	1.5		
SLU_Gr_1_S1_18		Linear Static	8_G2_pavimentazione	1.5		
SLU_Gr_1_S1_18		Linear Static	9_G2_sicurvia	1.5		
SLU_Gr_1_S1_18		Linear Static	11_Q1k	0		
SLU_Gr_1_S1_18		Linear Static	10_q1k	0		
SLU_Gr_1_S1_18		Linear Static	13_Q2k	0		

RELAZIONE DI CALCOLO

COMMESSA	LOTTO	CODIFICA	DOCUMENTO	REV.	FOGLIO
NRIJ	01 D 29	CL	IV0104 001	B	128 di 341

SLU_Gr_1_S1_18	Linear Static	12_q2k	0		
SLU_Gr_1_S1_18	Linear Static	16_Q_zr	0		
SLU_Gr_1_S1_18	Linear Static	17_qfk	0.375		
SLU_Gr_1_S1_18	Linear Static	20_q4_centra	0		
SLU_Gr_1_S1_18	Linear Static	19_q3_frenatura	0		
SLU_Gr_1_S1_18	Linear Static	15_Q3k	0		
SLU_Gr_1_S1_18	Linear Static	14_q3k	0		
SLU_Gr_1_S1_18	Response Combo	24_q_vento_tot	1.5		
SLU_Gr_1_S1_18	Linear Static	23_q_temp F	0		
SLU_Gr_1_S1_18	Linear Static	22_q_ritiro	1.2		
SLU_Gr_1_S1_18	Linear Static	21_q8	0		
SLU_Gr_1_S1_19	Linear Add	No Linear Static	DEAD	1.35	None
SLU_Gr_1_S1_19	Linear Static	1_G1_trave	1.35		
SLU_Gr_1_S1_19	Linear Static	2_G1_soletta	1.35		
SLU_Gr_1_S1_19	Linear Static	3_G1_marciapiede	1.35		
SLU_Gr_1_S1_19	Linear Static	4_G1_traverso	1.35		
SLU_Gr_1_S1_19	Linear Static	5_G2_veletta	1.5		
SLU_Gr_1_S1_19	Linear Static	6_G2_impianti	1.5		
SLU_Gr_1_S1_19	Linear Static	7_G2_parapetti	1.5		
SLU_Gr_1_S1_19	Linear Static	8_G2_pavimentazione	1.5		
SLU_Gr_1_S1_19	Linear Static	9_G2_sicurvia	1.5		
SLU_Gr_1_S1_19	Linear Static	11_Q1k	0		
SLU_Gr_1_S1_19	Linear Static	10_q1k	0		
SLU_Gr_1_S1_19	Linear Static	13_Q2k	0		
SLU_Gr_1_S1_19	Linear Static	12_q2k	0		
SLU_Gr_1_S1_19	Linear Static	16_Q_zr	0		
SLU_Gr_1_S1_19	Linear Static	17_qfk	0.375		
SLU_Gr_1_S1_19	Linear Static	20_q4_centra	0		
SLU_Gr_1_S1_19	Linear Static	19_q3_frenatura	0		
SLU_Gr_1_S1_19	Linear Static	15_Q3k	0		
SLU_Gr_1_S1_19	Linear Static	14_q3k	0		
SLU_Gr_1_S1_19	Response Combo	24_q_vento_tot	1.5		
SLU_Gr_1_S1_19	Linear Static	23_q_temp F	0.72		
SLU_Gr_1_S1_19	Linear Static	22_q_ritiro	1.2		
SLU_Gr_1_S1_19	Linear Static	21_q8	0		
SLU_Gr_1_S1_20	Linear Add	No Linear Static	DEAD	1.35	None
SLU_Gr_1_S1_20	Linear Static	1_G1_trave	1.35		
SLU_Gr_1_S1_20	Linear Static	2_G1_soletta	1.35		
SLU_Gr_1_S1_20	Linear Static	3_G1_marciapiede	1.35		
SLU_Gr_1_S1_20	Linear Static	4_G1_traverso	1.35		
SLU_Gr_1_S1_20	Linear Static	5_G2_veletta	1.5		
SLU_Gr_1_S1_20	Linear Static	6_G2_impianti	1.5		
SLU_Gr_1_S1_20	Linear Static	7_G2_parapetti	1.5		
SLU_Gr_1_S1_20	Linear Static	8_G2_pavimentazione	1.5		
SLU_Gr_1_S1_20	Linear Static	9_G2_sicurvia	1.5		
SLU_Gr_1_S1_20	Linear Static	11_Q1k	0		
SLU_Gr_1_S1_20	Linear Static	10_q1k	0		
SLU_Gr_1_S1_20	Linear Static	13_Q2k	0		
SLU_Gr_1_S1_20	Linear Static	12_q2k	0		
SLU_Gr_1_S1_20	Linear Static	16_Q_zr	0		
SLU_Gr_1_S1_20	Linear Static	17_qfk	0.375		
SLU_Gr_1_S1_20	Linear Static	20_q4_centra	0		
SLU_Gr_1_S1_20	Linear Static	19_q3_frenatura	0		
SLU_Gr_1_S1_20	Linear Static	15_Q3k	0		
SLU_Gr_1_S1_20	Linear Static	14_q3k	0		
SLU_Gr_1_S1_20	Response Combo	24_q_vento_tot	1.5		
SLU_Gr_1_S1_20	Linear Static	23_q_temp F	0		
SLU_Gr_1_S1_20	Linear Static	22_q_ritiro	1.2		
SLU_Gr_1_S1_20	Linear Static	21_q8	0		
SLU_Gr_1_S1_21	Linear Add	No Linear Static	DEAD	1.35	None
SLU_Gr_1_S1_21	Linear Static	1_G1_trave	1.35		
SLU_Gr_1_S1_21	Linear Static	2_G1_soletta	1.35		

RELAZIONE DI CALCOLO

COMMESSA	LOTTO	CODIFICA	DOCUMENTO	REV.	FOGLIO
NRIJ	01 D 29	CL	IV0104 001	B	129 di 341

SLU_Gr_1_S1_21	Linear Static	3_G1_marciapiede	1.35		
SLU_Gr_1_S1_21	Linear Static	4_G1_traverso	1.35		
SLU_Gr_1_S1_21	Linear Static	5_G2_veletta	1.5		
SLU_Gr_1_S1_21	Linear Static	6_G2_impianti	1.5		
SLU_Gr_1_S1_21	Linear Static	7_G2_parapetti	1.5		
SLU_Gr_1_S1_21	Linear Static	8_G2_pavimentazione	1.5		
SLU_Gr_1_S1_21	Linear Static	9_G2_sicurvia	1.5		
SLU_Gr_1_S1_21	Linear Static	11_Q1k	1.0125		
SLU_Gr_1_S1_21	Linear Static	10_q1k	0.54		
SLU_Gr_1_S1_21	Linear Static	13_Q2k	1.0125		
SLU_Gr_1_S1_21	Linear Static	12_q2k	0.54		
SLU_Gr_1_S1_21	Linear Static	16_Q_zr	1.0125		
SLU_Gr_1_S1_21	Linear Static	17_qfk	0.375		
SLU_Gr_1_S1_21	Linear Static	20_q4_centra	0		
SLU_Gr_1_S1_21	Linear Static	19_q3_frenatura	0		
SLU_Gr_1_S1_21	Linear Static	15_Q3k	1.0125		
SLU_Gr_1_S1_21	Linear Static	14_q3k	0.54		
SLU_Gr_1_S1_21	Response Combo	24_q_vento_tot	0.9		
SLU_Gr_1_S1_21	Linear Static	23_q_temp F	1.2		
SLU_Gr_1_S1_21	Linear Static	22_q_ritiro	1.2		
SLU_Gr_1_S1_21	Linear Static	21_q8	0		
SLU_Gr_1_S1_22	Linear Add	No Linear Static	DEAD	1.35	None
SLU_Gr_1_S1_22	Linear Static	1_G1_trave	1.35		
SLU_Gr_1_S1_22	Linear Static	2_G1_soletta	1.35		
SLU_Gr_1_S1_22	Linear Static	3_G1_marciapiede	1.35		
SLU_Gr_1_S1_22	Linear Static	4_G1_traverso	1.35		
SLU_Gr_1_S1_22	Linear Static	5_G2_veletta	1.5		
SLU_Gr_1_S1_22	Linear Static	6_G2_impianti	1.5		
SLU_Gr_1_S1_22	Linear Static	7_G2_parapetti	1.5		
SLU_Gr_1_S1_22	Linear Static	8_G2_pavimentazione	1.5		
SLU_Gr_1_S1_22	Linear Static	9_G2_sicurvia	1.5		
SLU_Gr_1_S1_22	Linear Static	11_Q1k	1.0125		
SLU_Gr_1_S1_22	Linear Static	10_q1k	0.54		
SLU_Gr_1_S1_22	Linear Static	13_Q2k	1.0125		
SLU_Gr_1_S1_22	Linear Static	12_q2k	0.54		
SLU_Gr_1_S1_22	Linear Static	16_Q_zr	1.0125		
SLU_Gr_1_S1_22	Linear Static	17_qfk	0.375		
SLU_Gr_1_S1_22	Linear Static	20_q4_centra	0		
SLU_Gr_1_S1_22	Linear Static	19_q3_frenatura	0		
SLU_Gr_1_S1_22	Linear Static	15_Q3k	1.0125		
SLU_Gr_1_S1_22	Linear Static	14_q3k	0.54		
SLU_Gr_1_S1_22	Response Combo	24_q_vento_tot	0.9		
SLU_Gr_1_S1_22	Linear Static	23_q_temp F	0		
SLU_Gr_1_S1_22	Linear Static	22_q_ritiro	1.2		
SLU_Gr_1_S1_22	Linear Static	21_q8	0		
SLU_Gr_1_S1_23	Linear Add	No Linear Static	DEAD	1.35	None
SLU_Gr_1_S1_23	Linear Static	1_G1_trave	1.35		
SLU_Gr_1_S1_23	Linear Static	2_G1_soletta	1.35		
SLU_Gr_1_S1_23	Linear Static	3_G1_marciapiede	1.35		
SLU_Gr_1_S1_23	Linear Static	4_G1_traverso	1.35		
SLU_Gr_1_S1_23	Linear Static	5_G2_veletta	1.5		
SLU_Gr_1_S1_23	Linear Static	6_G2_impianti	1.5		
SLU_Gr_1_S1_23	Linear Static	7_G2_parapetti	1.5		
SLU_Gr_1_S1_23	Linear Static	8_G2_pavimentazione	1.5		
SLU_Gr_1_S1_23	Linear Static	9_G2_sicurvia	1.5		
SLU_Gr_1_S1_23	Linear Static	11_Q1k	1.0125		
SLU_Gr_1_S1_23	Linear Static	10_q1k	0.54		
SLU_Gr_1_S1_23	Linear Static	13_Q2k	1.0125		
SLU_Gr_1_S1_23	Linear Static	12_q2k	0.54		
SLU_Gr_1_S1_23	Linear Static	16_Q_zr	1.0125		
SLU_Gr_1_S1_23	Linear Static	17_qfk	0.375		
SLU_Gr_1_S1_23	Linear Static	20_q4_centra	0		

RELAZIONE DI CALCOLO

COMMESSA	LOTTO	CODIFICA	DOCUMENTO	REV.	FOGLIO
NRIJ	01 D 29	CL	IV0104 001	B	130 di 341

SLU_Gr_1_S1_23	Linear Static	19_q3_frenatura	0		
SLU_Gr_1_S1_23	Linear Static	15_Q3k	1.0125		
SLU_Gr_1_S1_23	Linear Static	14_q3k	0.54		
SLU_Gr_1_S1_23	Response Combo	24_q_vento_tot	0.9		
SLU_Gr_1_S1_23	Linear Static	23_q_temp F	0		
SLU_Gr_1_S1_23	Linear Static	22_q_ritiro	1.2		
SLU_Gr_1_S1_23	Linear Static	21_q8	0		
SLU_Gr_1_S1_24	Linear Add	No Linear Static	DEAD	1.35	None
SLU_Gr_1_S1_24	Linear Static	1_G1_trave	1.35		
SLU_Gr_1_S1_24	Linear Static	2_G1_soletta	1.35		
SLU_Gr_1_S1_24	Linear Static	3_G1_marciapiede	1.35		
SLU_Gr_1_S1_24	Linear Static	4_G1_traverso	1.35		
SLU_Gr_1_S1_24	Linear Static	5_G2_veletta	1.5		
SLU_Gr_1_S1_24	Linear Static	6_G2_impianti	1.5		
SLU_Gr_1_S1_24	Linear Static	7_G2_parapetti	1.5		
SLU_Gr_1_S1_24	Linear Static	8_G2_pavimentazione	1.5		
SLU_Gr_1_S1_24	Linear Static	9_G2_sicurvia	1.5		
SLU_Gr_1_S1_24	Linear Static	11_Q1k	1.0125		
SLU_Gr_1_S1_24	Linear Static	10_q1k	0.54		
SLU_Gr_1_S1_24	Linear Static	13_Q2k	1.0125		
SLU_Gr_1_S1_24	Linear Static	12_q2k	0.54		
SLU_Gr_1_S1_24	Linear Static	16_Q_zr	1.0125		
SLU_Gr_1_S1_24	Linear Static	17_qfk	0.375		
SLU_Gr_1_S1_24	Linear Static	20_q4_centr	0		
SLU_Gr_1_S1_24	Linear Static	19_q3_frenatura	0		
SLU_Gr_1_S1_24	Linear Static	15_Q3k	1.0125		
SLU_Gr_1_S1_24	Linear Static	14_q3k	0.54		
SLU_Gr_1_S1_24	Response Combo	24_q_vento_tot	0.9		
SLU_Gr_1_S1_24	Linear Static	23_q_temp F	1.2		
SLU_Gr_1_S1_24	Linear Static	22_q_ritiro	1.2		
SLU_Gr_1_S1_24	Linear Static	21_q8	0		
SLU_Gr_1_S1_25	Linear Add	No Linear Static	DEAD	1.35	None
SLU_Gr_1_S1_25	Linear Static	1_G1_trave	1.35		
SLU_Gr_1_S1_25	Linear Static	2_G1_soletta	1.35		
SLU_Gr_1_S1_25	Linear Static	3_G1_marciapiede	1.35		
SLU_Gr_1_S1_25	Linear Static	4_G1_traverso	1.35		
SLU_Gr_1_S1_25	Linear Static	5_G2_veletta	1.5		
SLU_Gr_1_S1_25	Linear Static	6_G2_impianti	1.5		
SLU_Gr_1_S1_25	Linear Static	7_G2_parapetti	1.5		
SLU_Gr_1_S1_25	Linear Static	8_G2_pavimentazione	1.5		
SLU_Gr_1_S1_25	Linear Static	9_G2_sicurvia	1.5		
SLU_Gr_1_S1_25	Linear Static	11_Q1k	1.0125		
SLU_Gr_1_S1_25	Linear Static	10_q1k	0.54		
SLU_Gr_1_S1_25	Linear Static	13_Q2k	1.0125		
SLU_Gr_1_S1_25	Linear Static	12_q2k	0.54		
SLU_Gr_1_S1_25	Linear Static	16_Q_zr	1.0125		
SLU_Gr_1_S1_25	Linear Static	17_qfk	0.375		
SLU_Gr_1_S1_25	Linear Static	20_q4_centr	0		
SLU_Gr_1_S1_25	Linear Static	19_q3_frenatura	0		
SLU_Gr_1_S1_25	Linear Static	15_Q3k	1.0125		
SLU_Gr_1_S1_25	Linear Static	14_q3k	0.54		
SLU_Gr_1_S1_25	Response Combo	24_q_vento_tot	0.9		
SLU_Gr_1_S1_25	Linear Static	23_q_temp F	0		
SLU_Gr_1_S1_25	Linear Static	22_q_ritiro	1.2		
SLU_Gr_1_S1_25	Linear Static	21_q8	0		
SLU_Gr_1_S1_26	Linear Add	No Linear Static	DEAD	1.35	None
SLU_Gr_1_S1_26	Linear Static	1_G1_trave	1.35		
SLU_Gr_1_S1_26	Linear Static	2_G1_soletta	1.35		
SLU_Gr_1_S1_26	Linear Static	3_G1_marciapiede	1.35		
SLU_Gr_1_S1_26	Linear Static	4_G1_traverso	1.35		
SLU_Gr_1_S1_26	Linear Static	5_G2_veletta	1.5		
SLU_Gr_1_S1_26	Linear Static	6_G2_impianti	1.5		

RELAZIONE DI CALCOLO

COMMESSA	LOTTO	CODIFICA	DOCUMENTO	REV.	FOGLIO
NRIJ	01 D 29	CL	IV0104 001	B	131 di 341

SLU_Gr_1_S1_26	Linear Static	7_G2_parapetti	1.5		
SLU_Gr_1_S1_26	Linear Static	8_G2_pavimentazione	1.5		
SLU_Gr_1_S1_26	Linear Static	9_G2_sicurvia	1.5		
SLU_Gr_1_S1_26	Linear Static	11_Q1k	0		
SLU_Gr_1_S1_26	Linear Static	10_q1k	0		
SLU_Gr_1_S1_26	Linear Static	13_Q2k	0		
SLU_Gr_1_S1_26	Linear Static	12_q2k	0		
SLU_Gr_1_S1_26	Linear Static	16_Q_zr	0		
SLU_Gr_1_S1_26	Linear Static	17_qfk	0.375		
SLU_Gr_1_S1_26	Linear Static	20_q4_centra	0		
SLU_Gr_1_S1_26	Linear Static	19_q3_frenatura	0		
SLU_Gr_1_S1_26	Linear Static	15_Q3k	0		
SLU_Gr_1_S1_26	Linear Static	14_q3k	0		
SLU_Gr_1_S1_26	Response Combo	24_q_vento_tot	0.9		
SLU_Gr_1_S1_26	Linear Static	23_q_temp F	1.2		
SLU_Gr_1_S1_26	Linear Static	22_q_ritiro	1.2		
SLU_Gr_1_S1_26	Linear Static	21_q8	0		
SLU_Gr_1_S1_27	Linear Add	No Linear Static	DEAD	1.35	None
SLU_Gr_1_S1_27	Linear Static	1_G1_trave	1.35		
SLU_Gr_1_S1_27	Linear Static	2_G1_soletta	1.35		
SLU_Gr_1_S1_27	Linear Static	3_G1_marciapiede	1.35		
SLU_Gr_1_S1_27	Linear Static	4_G1_traverso	1.35		
SLU_Gr_1_S1_27	Linear Static	5_G2_veletta	1.5		
SLU_Gr_1_S1_27	Linear Static	6_G2_impianti	1.5		
SLU_Gr_1_S1_27	Linear Static	7_G2_parapetti	1.5		
SLU_Gr_1_S1_27	Linear Static	8_G2_pavimentazione	1.5		
SLU_Gr_1_S1_27	Linear Static	9_G2_sicurvia	1.5		
SLU_Gr_1_S1_27	Linear Static	11_Q1k	0		
SLU_Gr_1_S1_27	Linear Static	10_q1k	0		
SLU_Gr_1_S1_27	Linear Static	13_Q2k	0		
SLU_Gr_1_S1_27	Linear Static	12_q2k	0		
SLU_Gr_1_S1_27	Linear Static	16_Q_zr	0		
SLU_Gr_1_S1_27	Linear Static	17_qfk	0.375		
SLU_Gr_1_S1_27	Linear Static	20_q4_centra	0		
SLU_Gr_1_S1_27	Linear Static	19_q3_frenatura	0		
SLU_Gr_1_S1_27	Linear Static	15_Q3k	0		
SLU_Gr_1_S1_27	Linear Static	14_q3k	0		
SLU_Gr_1_S1_27	Response Combo	24_q_vento_tot	0.9		
SLU_Gr_1_S1_27	Linear Static	23_q_temp F	0		
SLU_Gr_1_S1_27	Linear Static	22_q_ritiro	1.2		
SLU_Gr_1_S1_27	Linear Static	21_q8	0		
SLU_Gr_1_S1_28	Linear Add	No Linear Static	DEAD	1.35	None
SLU_Gr_1_S1_28	Linear Static	1_G1_trave	1.35		
SLU_Gr_1_S1_28	Linear Static	2_G1_soletta	1.35		
SLU_Gr_1_S1_28	Linear Static	3_G1_marciapiede	1.35		
SLU_Gr_1_S1_28	Linear Static	4_G1_traverso	1.35		
SLU_Gr_1_S1_28	Linear Static	5_G2_veletta	1.5		
SLU_Gr_1_S1_28	Linear Static	6_G2_impianti	1.5		
SLU_Gr_1_S1_28	Linear Static	7_G2_parapetti	1.5		
SLU_Gr_1_S1_28	Linear Static	8_G2_pavimentazione	1.5		
SLU_Gr_1_S1_28	Linear Static	9_G2_sicurvia	1.5		
SLU_Gr_1_S1_28	Linear Static	11_Q1k	0		
SLU_Gr_1_S1_28	Linear Static	10_q1k	0		
SLU_Gr_1_S1_28	Linear Static	13_Q2k	0		
SLU_Gr_1_S1_28	Linear Static	12_q2k	0		
SLU_Gr_1_S1_28	Linear Static	16_Q_zr	0		
SLU_Gr_1_S1_28	Linear Static	17_qfk	0.375		
SLU_Gr_1_S1_28	Linear Static	20_q4_centra	0		
SLU_Gr_1_S1_28	Linear Static	19_q3_frenatura	0		
SLU_Gr_1_S1_28	Linear Static	15_Q3k	0		
SLU_Gr_1_S1_28	Linear Static	14_q3k	0		
SLU_Gr_1_S1_28	Response Combo	24_q_vento_tot	0.9		

RELAZIONE DI CALCOLO

COMMESSA	LOTTO	CODIFICA	DOCUMENTO	REV.	FOGLIO
NRIJ	01 D 29	CL	IV0104 001	B	132 di 341

SLU_Gr_1_S1_28	Linear Static	23_q_temp F	0		
SLU_Gr_1_S1_28	Linear Static	22_q_ritiro	1.2		
SLU_Gr_1_S1_28	Linear Static	21_q8	0		
SLU_Gr_1_S1_29	Linear Add	No Linear Static	DEAD	1.35	None
SLU_Gr_1_S1_29	Linear Static	1_G1_trave	1.35		
SLU_Gr_1_S1_29	Linear Static	2_G1_soletta	1.35		
SLU_Gr_1_S1_29	Linear Static	3_G1_marciapiede	1.35		
SLU_Gr_1_S1_29	Linear Static	4_G1_traverso	1.35		
SLU_Gr_1_S1_29	Linear Static	5_G2_veletta	1.5		
SLU_Gr_1_S1_29	Linear Static	6_G2_impianti	1.5		
SLU_Gr_1_S1_29	Linear Static	7_G2_parapetti	1.5		
SLU_Gr_1_S1_29	Linear Static	8_G2_pavimentazione	1.5		
SLU_Gr_1_S1_29	Linear Static	9_G2_sicurvia	1.5		
SLU_Gr_1_S1_29	Linear Static	11_Q1k	0		
SLU_Gr_1_S1_29	Linear Static	10_q1k	0		
SLU_Gr_1_S1_29	Linear Static	13_Q2k	0		
SLU_Gr_1_S1_29	Linear Static	12_q2k	0		
SLU_Gr_1_S1_29	Linear Static	16_Q_zr	0		
SLU_Gr_1_S1_29	Linear Static	17_qfk	0.375		
SLU_Gr_1_S1_29	Linear Static	20_q4_centra	0		
SLU_Gr_1_S1_29	Linear Static	19_q3_frenatura	0		
SLU_Gr_1_S1_29	Linear Static	15_Q3k	0		
SLU_Gr_1_S1_29	Linear Static	14_q3k	0		
SLU_Gr_1_S1_29	Response Combo	24_q_vento_tot	0.9		
SLU_Gr_1_S1_29	Linear Static	23_q_temp F	1.2		
SLU_Gr_1_S1_29	Linear Static	22_q_ritiro	1.2		
SLU_Gr_1_S1_29	Linear Static	21_q8	0		
SLU_Gr_1_S1_30	Linear Add	No Linear Static	DEAD	1.35	None
SLU_Gr_1_S1_30	Linear Static	1_G1_trave	1.35		
SLU_Gr_1_S1_30	Linear Static	2_G1_soletta	1.35		
SLU_Gr_1_S1_30	Linear Static	3_G1_marciapiede	1.35		
SLU_Gr_1_S1_30	Linear Static	4_G1_traverso	1.35		
SLU_Gr_1_S1_30	Linear Static	5_G2_veletta	1.5		
SLU_Gr_1_S1_30	Linear Static	6_G2_impianti	1.5		
SLU_Gr_1_S1_30	Linear Static	7_G2_parapetti	1.5		
SLU_Gr_1_S1_30	Linear Static	8_G2_pavimentazione	1.5		
SLU_Gr_1_S1_30	Linear Static	9_G2_sicurvia	1.5		
SLU_Gr_1_S1_30	Linear Static	11_Q1k	0		
SLU_Gr_1_S1_30	Linear Static	10_q1k	0		
SLU_Gr_1_S1_30	Linear Static	13_Q2k	0		
SLU_Gr_1_S1_30	Linear Static	12_q2k	0		
SLU_Gr_1_S1_30	Linear Static	16_Q_zr	0		
SLU_Gr_1_S1_30	Linear Static	17_qfk	0.375		
SLU_Gr_1_S1_30	Linear Static	20_q4_centra	0		
SLU_Gr_1_S1_30	Linear Static	19_q3_frenatura	0		
SLU_Gr_1_S1_30	Linear Static	15_Q3k	0		
SLU_Gr_1_S1_30	Linear Static	14_q3k	0		
SLU_Gr_1_S1_30	Response Combo	24_q_vento_tot	0.9		
SLU_Gr_1_S1_30	Linear Static	23_q_temp F	0		
SLU_Gr_1_S1_30	Linear Static	22_q_ritiro	1.2		
SLU_Gr_1_S1_30	Linear Static	21_q8	0		
SLU_Gr_1_S1_31	Linear Add	No Linear Static	DEAD	1.35	None
SLU_Gr_1_S1_31	Linear Static	1_G1_trave	1.35		
SLU_Gr_1_S1_31	Linear Static	2_G1_soletta	1.35		
SLU_Gr_1_S1_31	Linear Static	3_G1_marciapiede	1.35		
SLU_Gr_1_S1_31	Linear Static	4_G1_traverso	1.35		
SLU_Gr_1_S1_31	Linear Static	5_G2_veletta	1.5		
SLU_Gr_1_S1_31	Linear Static	6_G2_impianti	1.5		
SLU_Gr_1_S1_31	Linear Static	7_G2_parapetti	1.5		
SLU_Gr_1_S1_31	Linear Static	8_G2_pavimentazione	1.5		
SLU_Gr_1_S1_31	Linear Static	9_G2_sicurvia	1.5		
SLU_Gr_1_S1_31	Linear Static	11_Q1k	1.0125		

RELAZIONE DI CALCOLO

COMMESSA	LOTTO	CODIFICA	DOCUMENTO	REV.	FOGLIO
NRIJ	01 D 29	CL	IV0104 001	B	133 di 341

SLU_Gr_1_S1_31	Linear Static	10_q1k	0.54		
SLU_Gr_1_S1_31	Linear Static	13_Q2k	1.0125		
SLU_Gr_1_S1_31	Linear Static	12_q2k	0.54		
SLU_Gr_1_S1_31	Linear Static	16_Q_zr	1.0125		
SLU_Gr_1_S1_31	Linear Static	17_qfk	0.375		
SLU_Gr_1_S1_31	Linear Static	20_q4_centra	0		
SLU_Gr_1_S1_31	Linear Static	19_q3_frenatura	0		
SLU_Gr_1_S1_31	Linear Static	15_Q3k	1.0125		
SLU_Gr_1_S1_31	Linear Static	14_q3k	0.54		
SLU_Gr_1_S1_31	Response Combo	24_q_vento_tot	0.9		
SLU_Gr_1_S1_31	Linear Static	23_q_temp F	0.72		
SLU_Gr_1_S1_31	Linear Static	22_q_ritiro	1.2		
SLU_Gr_1_S1_31	Linear Static	21_q8	0		
SLU_Gr_1_S1_32	Linear Add	No	Linear Static	DEAD	1.35
SLU_Gr_1_S1_32					None
SLU_Gr_1_S1_32	Linear Static	1_G1_trave	1.35		
SLU_Gr_1_S1_32	Linear Static	2_G1_soletta	1.35		
SLU_Gr_1_S1_32	Linear Static	3_G1_marciapiede	1.35		
SLU_Gr_1_S1_32	Linear Static	4_G1_traverso	1.35		
SLU_Gr_1_S1_32	Linear Static	5_G2_veletta	1.5		
SLU_Gr_1_S1_32	Linear Static	6_G2_impianti	1.5		
SLU_Gr_1_S1_32	Linear Static	7_G2_parapetti	1.5		
SLU_Gr_1_S1_32	Linear Static	8_G2_pavimentazione	1.5		
SLU_Gr_1_S1_32	Linear Static	9_G2_sicurvia	1.5		
SLU_Gr_1_S1_32	Linear Static	11_Q1k	1.0125		
SLU_Gr_1_S1_32	Linear Static	10_q1k	0.54		
SLU_Gr_1_S1_32	Linear Static	13_Q2k	1.0125		
SLU_Gr_1_S1_32	Linear Static	12_q2k	0.54		
SLU_Gr_1_S1_32	Linear Static	16_Q_zr	1.0125		
SLU_Gr_1_S1_32	Linear Static	17_qfk	0.375		
SLU_Gr_1_S1_32	Linear Static	20_q4_centra	0		
SLU_Gr_1_S1_32	Linear Static	19_q3_frenatura	0		
SLU_Gr_1_S1_32	Linear Static	15_Q3k	1.0125		
SLU_Gr_1_S1_32	Linear Static	14_q3k	0.54		
SLU_Gr_1_S1_32	Response Combo	24_q_vento_tot	0.9		
SLU_Gr_1_S1_32	Linear Static	23_q_temp F	0		
SLU_Gr_1_S1_32	Linear Static	22_q_ritiro	1.2		
SLU_Gr_1_S1_32	Linear Static	21_q8	0		
SLU_Gr_1_S1_33	Linear Add	No	Linear Static	DEAD	1.35
SLU_Gr_1_S1_33					None
SLU_Gr_1_S1_33	Linear Static	1_G1_trave	1.35		
SLU_Gr_1_S1_33	Linear Static	2_G1_soletta	1.35		
SLU_Gr_1_S1_33	Linear Static	3_G1_marciapiede	1.35		
SLU_Gr_1_S1_33	Linear Static	4_G1_traverso	1.35		
SLU_Gr_1_S1_33	Linear Static	5_G2_veletta	1.5		
SLU_Gr_1_S1_33	Linear Static	6_G2_impianti	1.5		
SLU_Gr_1_S1_33	Linear Static	7_G2_parapetti	1.5		
SLU_Gr_1_S1_33	Linear Static	8_G2_pavimentazione	1.5		
SLU_Gr_1_S1_33	Linear Static	9_G2_sicurvia	1.5		
SLU_Gr_1_S1_33	Linear Static	11_Q1k	1.0125		
SLU_Gr_1_S1_33	Linear Static	10_q1k	0.54		
SLU_Gr_1_S1_33	Linear Static	13_Q2k	1.0125		
SLU_Gr_1_S1_33	Linear Static	12_q2k	0.54		
SLU_Gr_1_S1_33	Linear Static	16_Q_zr	1.0125		
SLU_Gr_1_S1_33	Linear Static	17_qfk	0.375		
SLU_Gr_1_S1_33	Linear Static	20_q4_centra	0		
SLU_Gr_1_S1_33	Linear Static	19_q3_frenatura	0		
SLU_Gr_1_S1_33	Linear Static	15_Q3k	1.0125		
SLU_Gr_1_S1_33	Linear Static	14_q3k	0.54		
SLU_Gr_1_S1_33	Response Combo	24_q_vento_tot	0.9		
SLU_Gr_1_S1_33	Linear Static	23_q_temp F	0		
SLU_Gr_1_S1_33	Linear Static	22_q_ritiro	1.2		
SLU_Gr_1_S1_33	Linear Static	21_q8	0		
SLU_Gr_1_S1_34	Linear Add	No	Linear Static	DEAD	1.35
					None

RELAZIONE DI CALCOLO

COMMESSA	LOTTO	CODIFICA	DOCUMENTO	REV.	FOGLIO
NRIJ	01 D 29	CL	IV0104 001	B	134 di 341

SLU_Gr_1_S1_34	Linear Static	1_G1_trave	1.35		
SLU_Gr_1_S1_34	Linear Static	2_G1_soletta	1.35		
SLU_Gr_1_S1_34	Linear Static	3_G1_marciapiede	1.35		
SLU_Gr_1_S1_34	Linear Static	4_G1_traverso	1.35		
SLU_Gr_1_S1_34	Linear Static	5_G2_veletta	1.5		
SLU_Gr_1_S1_34	Linear Static	6_G2_impianti	1.5		
SLU_Gr_1_S1_34	Linear Static	7_G2_parapetti	1.5		
SLU_Gr_1_S1_34	Linear Static	8_G2_pavimentazione	1.5		
SLU_Gr_1_S1_34	Linear Static	9_G2_sicurvia	1.5		
SLU_Gr_1_S1_34	Linear Static	11_Q1k	1.0125		
SLU_Gr_1_S1_34	Linear Static	10_q1k	0.54		
SLU_Gr_1_S1_34	Linear Static	13_Q2k	1.0125		
SLU_Gr_1_S1_34	Linear Static	12_q2k	0.54		
SLU_Gr_1_S1_34	Linear Static	16_Q_zr	1.0125		
SLU_Gr_1_S1_34	Linear Static	17_qfk	0.375		
SLU_Gr_1_S1_34	Linear Static	20_q4_centra	0		
SLU_Gr_1_S1_34	Linear Static	19_q3_frenatura	0		
SLU_Gr_1_S1_34	Linear Static	15_Q3k	1.0125		
SLU_Gr_1_S1_34	Linear Static	14_q3k	0.54		
SLU_Gr_1_S1_34	Response Combo	24_q_vento_tot	0.9		
SLU_Gr_1_S1_34	Linear Static	23_q_temp F	0.72		
SLU_Gr_1_S1_34	Linear Static	22_q_ritiro	1.2		
SLU_Gr_1_S1_34	Linear Static	21_q8	0		
SLU_Gr_1_S1_35	Linear Add	No Linear Static	DEAD	1.35	None
SLU_Gr_1_S1_35	Linear Static	1_G1_trave	1.35		
SLU_Gr_1_S1_35	Linear Static	2_G1_soletta	1.35		
SLU_Gr_1_S1_35	Linear Static	3_G1_marciapiede	1.35		
SLU_Gr_1_S1_35	Linear Static	4_G1_traverso	1.35		
SLU_Gr_1_S1_35	Linear Static	5_G2_veletta	1.5		
SLU_Gr_1_S1_35	Linear Static	6_G2_impianti	1.5		
SLU_Gr_1_S1_35	Linear Static	7_G2_parapetti	1.5		
SLU_Gr_1_S1_35	Linear Static	8_G2_pavimentazione	1.5		
SLU_Gr_1_S1_35	Linear Static	9_G2_sicurvia	1.5		
SLU_Gr_1_S1_35	Linear Static	11_Q1k	1.0125		
SLU_Gr_1_S1_35	Linear Static	10_q1k	0.54		
SLU_Gr_1_S1_35	Linear Static	13_Q2k	1.0125		
SLU_Gr_1_S1_35	Linear Static	12_q2k	0.54		
SLU_Gr_1_S1_35	Linear Static	16_Q_zr	1.0125		
SLU_Gr_1_S1_35	Linear Static	17_qfk	0.375		
SLU_Gr_1_S1_35	Linear Static	20_q4_centra	0		
SLU_Gr_1_S1_35	Linear Static	19_q3_frenatura	0		
SLU_Gr_1_S1_35	Linear Static	15_Q3k	1.0125		
SLU_Gr_1_S1_35	Linear Static	14_q3k	0.54		
SLU_Gr_1_S1_35	Response Combo	24_q_vento_tot	0.9		
SLU_Gr_1_S1_35	Linear Static	23_q_temp F	0		
SLU_Gr_1_S1_35	Linear Static	22_q_ritiro	1.2		
SLU_Gr_1_S1_35	Linear Static	21_q8	0		
SLU_Gr_1_S1_36	Linear Add	No Linear Static	DEAD	1.35	None
SLU_Gr_1_S1_36	Linear Static	1_G1_trave	1.35		
SLU_Gr_1_S1_36	Linear Static	2_G1_soletta	1.35		
SLU_Gr_1_S1_36	Linear Static	3_G1_marciapiede	1.35		
SLU_Gr_1_S1_36	Linear Static	4_G1_traverso	1.35		
SLU_Gr_1_S1_36	Linear Static	5_G2_veletta	1.5		
SLU_Gr_1_S1_36	Linear Static	6_G2_impianti	1.5		
SLU_Gr_1_S1_36	Linear Static	7_G2_parapetti	1.5		
SLU_Gr_1_S1_36	Linear Static	8_G2_pavimentazione	1.5		
SLU_Gr_1_S1_36	Linear Static	9_G2_sicurvia	1.5		
SLU_Gr_1_S1_36	Linear Static	11_Q1k	0		
SLU_Gr_1_S1_36	Linear Static	10_q1k	0		
SLU_Gr_1_S1_36	Linear Static	13_Q2k	0		
SLU_Gr_1_S1_36	Linear Static	12_q2k	0		
SLU_Gr_1_S1_36	Linear Static	16_Q_zr	0		

RELAZIONE DI CALCOLO

COMMESSA	LOTTO	CODIFICA	DOCUMENTO	REV.	FOGLIO
NRIJ	01 D 29	CL	IV0104 001	B	135 di 341

SLU_Gr_1_S1_36	Linear Static	17_qfk	0.375			
SLU_Gr_1_S1_36	Linear Static	20_q4_centra	0			
SLU_Gr_1_S1_36	Linear Static	19_q3_frenatura	0			
SLU_Gr_1_S1_36	Linear Static	15_Q3k	0			
SLU_Gr_1_S1_36	Linear Static	14_q3k	0			
SLU_Gr_1_S1_36	Response Combo	24_q_vento_tot	0.9			
SLU_Gr_1_S1_36	Linear Static	23_q_temp F	0.72			
SLU_Gr_1_S1_36	Linear Static	22_q_ritiro	1.2			
SLU_Gr_1_S1_36	Linear Static	21_q8	0			
SLU_Gr_1_S1_37	Linear Add	No	Linear Static	DEAD	1.35	None
SLU_Gr_1_S1_37	Linear Static	1_G1_trave	1.35			
SLU_Gr_1_S1_37	Linear Static	2_G1_soletta	1.35			
SLU_Gr_1_S1_37	Linear Static	3_G1_marciapiede	1.35			
SLU_Gr_1_S1_37	Linear Static	4_G1_traverso	1.35			
SLU_Gr_1_S1_37	Linear Static	5_G2_veletta	1.5			
SLU_Gr_1_S1_37	Linear Static	6_G2_impianti	1.5			
SLU_Gr_1_S1_37	Linear Static	7_G2_parapetti	1.5			
SLU_Gr_1_S1_37	Linear Static	8_G2_pavimentazione	1.5			
SLU_Gr_1_S1_37	Linear Static	9_G2_sicurvia	1.5			
SLU_Gr_1_S1_37	Linear Static	11_Q1k	0			
SLU_Gr_1_S1_37	Linear Static	10_q1k	0			
SLU_Gr_1_S1_37	Linear Static	13_Q2k	0			
SLU_Gr_1_S1_37	Linear Static	12_q2k	0			
SLU_Gr_1_S1_37	Linear Static	16_Q_zr	0			
SLU_Gr_1_S1_37	Linear Static	17_qfk	0.375			
SLU_Gr_1_S1_37	Linear Static	20_q4_centra	0			
SLU_Gr_1_S1_37	Linear Static	19_q3_frenatura	0			
SLU_Gr_1_S1_37	Linear Static	15_Q3k	0			
SLU_Gr_1_S1_37	Linear Static	14_q3k	0			
SLU_Gr_1_S1_37	Response Combo	24_q_vento_tot	0.9			
SLU_Gr_1_S1_37	Linear Static	23_q_temp F	0			
SLU_Gr_1_S1_37	Linear Static	22_q_ritiro	1.2			
SLU_Gr_1_S1_37	Linear Static	21_q8	0			
SLU_Gr_1_S1_38	Linear Add	No	Linear Static	DEAD	1.35	None
SLU_Gr_1_S1_38	Linear Static	1_G1_trave	1.35			
SLU_Gr_1_S1_38	Linear Static	2_G1_soletta	1.35			
SLU_Gr_1_S1_38	Linear Static	3_G1_marciapiede	1.35			
SLU_Gr_1_S1_38	Linear Static	4_G1_traverso	1.35			
SLU_Gr_1_S1_38	Linear Static	5_G2_veletta	1.5			
SLU_Gr_1_S1_38	Linear Static	6_G2_impianti	1.5			
SLU_Gr_1_S1_38	Linear Static	7_G2_parapetti	1.5			
SLU_Gr_1_S1_38	Linear Static	8_G2_pavimentazione	1.5			
SLU_Gr_1_S1_38	Linear Static	9_G2_sicurvia	1.5			
SLU_Gr_1_S1_38	Linear Static	11_Q1k	0			
SLU_Gr_1_S1_38	Linear Static	10_q1k	0			
SLU_Gr_1_S1_38	Linear Static	13_Q2k	0			
SLU_Gr_1_S1_38	Linear Static	12_q2k	0			
SLU_Gr_1_S1_38	Linear Static	16_Q_zr	0			
SLU_Gr_1_S1_38	Linear Static	17_qfk	0.375			
SLU_Gr_1_S1_38	Linear Static	20_q4_centra	0			
SLU_Gr_1_S1_38	Linear Static	19_q3_frenatura	0			
SLU_Gr_1_S1_38	Linear Static	15_Q3k	0			
SLU_Gr_1_S1_38	Linear Static	14_q3k	0			
SLU_Gr_1_S1_38	Response Combo	24_q_vento_tot	0.9			
SLU_Gr_1_S1_38	Linear Static	23_q_temp F	0			
SLU_Gr_1_S1_38	Linear Static	22_q_ritiro	1.2			
SLU_Gr_1_S1_38	Linear Static	21_q8	0			
SLU_Gr_1_S1_39	Linear Add	No	Linear Static	DEAD	1.35	None
SLU_Gr_1_S1_39	Linear Static	1_G1_trave	1.35			
SLU_Gr_1_S1_39	Linear Static	2_G1_soletta	1.35			
SLU_Gr_1_S1_39	Linear Static	3_G1_marciapiede	1.35			
SLU_Gr_1_S1_39	Linear Static	4_G1_traverso	1.35			

RELAZIONE DI CALCOLO

COMMESSA	LOTTO	CODIFICA	DOCUMENTO	REV.	FOGLIO
NRIJ	01 D 29	CL	IV0104 001	B	136 di 341

SLU_Gr_1_S1_39	Linear Static	5_G2_veletta	1.5		
SLU_Gr_1_S1_39	Linear Static	6_G2_impianti	1.5		
SLU_Gr_1_S1_39	Linear Static	7_G2_parapetti	1.5		
SLU_Gr_1_S1_39	Linear Static	8_G2_pavimentazione	1.5		
SLU_Gr_1_S1_39	Linear Static	9_G2_sicurvia	1.5		
SLU_Gr_1_S1_39	Linear Static	11_Q1k	0		
SLU_Gr_1_S1_39	Linear Static	10_q1k	0		
SLU_Gr_1_S1_39	Linear Static	13_Q2k	0		
SLU_Gr_1_S1_39	Linear Static	12_q2k	0		
SLU_Gr_1_S1_39	Linear Static	16_Q_zr	0		
SLU_Gr_1_S1_39	Linear Static	17_qfk	0.375		
SLU_Gr_1_S1_39	Linear Static	20_q4_centra	0		
SLU_Gr_1_S1_39	Linear Static	19_q3_frenatura	0		
SLU_Gr_1_S1_39	Linear Static	15_Q3k	0		
SLU_Gr_1_S1_39	Linear Static	14_q3k	0		
SLU_Gr_1_S1_39	Response Combo	24_q_vento_tot	0.9		
SLU_Gr_1_S1_39	Linear Static	23_q_temp F	0.72		
SLU_Gr_1_S1_39	Linear Static	22_q_ritiro	1.2		
SLU_Gr_1_S1_39	Linear Static	21_q8	0		
SLU_Gr_1_S1_40	Linear Add	No Linear Static	DEAD	1.35	None
SLU_Gr_1_S1_40	Linear Static	1_G1_trave	1.35		
SLU_Gr_1_S1_40	Linear Static	2_G1_soletta	1.35		
SLU_Gr_1_S1_40	Linear Static	3_G1_marciapiede	1.35		
SLU_Gr_1_S1_40	Linear Static	4_G1_traverso	1.35		
SLU_Gr_1_S1_40	Linear Static	5_G2_veletta	1.5		
SLU_Gr_1_S1_40	Linear Static	6_G2_impianti	1.5		
SLU_Gr_1_S1_40	Linear Static	7_G2_parapetti	1.5		
SLU_Gr_1_S1_40	Linear Static	8_G2_pavimentazione	1.5		
SLU_Gr_1_S1_40	Linear Static	9_G2_sicurvia	1.5		
SLU_Gr_1_S1_40	Linear Static	11_Q1k	0		
SLU_Gr_1_S1_40	Linear Static	10_q1k	0		
SLU_Gr_1_S1_40	Linear Static	13_Q2k	0		
SLU_Gr_1_S1_40	Linear Static	12_q2k	0		
SLU_Gr_1_S1_40	Linear Static	16_Q_zr	0		
SLU_Gr_1_S1_40	Linear Static	17_qfk	0.375		
SLU_Gr_1_S1_40	Linear Static	20_q4_centra	0		
SLU_Gr_1_S1_40	Linear Static	19_q3_frenatura	0		
SLU_Gr_1_S1_40	Linear Static	15_Q3k	0		
SLU_Gr_1_S1_40	Linear Static	14_q3k	0		
SLU_Gr_1_S1_40	Response Combo	24_q_vento_tot	0.9		
SLU_Gr_1_S1_40	Linear Static	23_q_temp F	0		
SLU_Gr_1_S1_40	Linear Static	22_q_ritiro	1.2		
SLU_Gr_1_S1_40	Linear Static	21_q8	0		
SLU_Gr_2A_S1_1	Linear Add	No Linear Static	DEAD	1.35	None
SLU_Gr_2A_S1_1	Linear Static	1_G1_trave	1.35		
SLU_Gr_2A_S1_1	Linear Static	2_G1_soletta	1.35		
SLU_Gr_2A_S1_1	Linear Static	3_G1_marciapiede	1.35		
SLU_Gr_2A_S1_1	Linear Static	4_G1_traverso	1.35		
SLU_Gr_2A_S1_1	Linear Static	5_G2_veletta	1.5		
SLU_Gr_2A_S1_1	Linear Static	6_G2_impianti	1.5		
SLU_Gr_2A_S1_1	Linear Static	7_G2_parapetti	1.5		
SLU_Gr_2A_S1_1	Linear Static	8_G2_pavimentazione	1.5		
SLU_Gr_2A_S1_1	Linear Static	9_G2_sicurvia	1.5		
SLU_Gr_2A_S1_1	Linear Static	11_Q1k	1.0125		
SLU_Gr_2A_S1_1	Linear Static	10_q1k	0.54		
SLU_Gr_2A_S1_1	Linear Static	13_Q2k	1.0125		
SLU_Gr_2A_S1_1	Linear Static	12_q2k	0.54		
SLU_Gr_2A_S1_1	Linear Static	16_Q_zr	1.0125		
SLU_Gr_2A_S1_1	Linear Static	17_qfk	0.375		
SLU_Gr_2A_S1_1	Linear Static	20_q4_centra	0		
SLU_Gr_2A_S1_1	Linear Static	19_q3_frenatura	1.35		
SLU_Gr_2A_S1_1	Linear Static	15_Q3k	1.0125		

RELAZIONE DI CALCOLO

COMMESSA	LOTTO	CODIFICA	DOCUMENTO	REV.	FOGLIO
NRIJ	01 D 29	CL	IV0104 001	B	137 di 341

SLU_Gr_2A_S1_1	Linear Static	14_q3k	0.54		
SLU_Gr_2A_S1_1	Response Combo	24_q_vento_tot	0.9		
SLU_Gr_2A_S1_1	Linear Static	23_q_temp F	0.72		
SLU_Gr_2A_S1_1	Linear Static	22_q_ritiro	1.2		
SLU_Gr_2A_S1_1	Linear Static	21_q8	0		
SLU_Gr_2A_S1_2	Linear Add	No Linear Static	DEAD	1.35	None
SLU_Gr_2A_S1_2	Linear Static	1_G1_trave	1.35		
SLU_Gr_2A_S1_2	Linear Static	2_G1_soletta	1.35		
SLU_Gr_2A_S1_2	Linear Static	3_G1_marciapiede	1.35		
SLU_Gr_2A_S1_2	Linear Static	4_G1_traverso	1.35		
SLU_Gr_2A_S1_2	Linear Static	5_G2_veletta	1.5		
SLU_Gr_2A_S1_2	Linear Static	6_G2_impianti	1.5		
SLU_Gr_2A_S1_2	Linear Static	7_G2_parapetti	1.5		
SLU_Gr_2A_S1_2	Linear Static	8_G2_pavimentazione	1.5		
SLU_Gr_2A_S1_2	Linear Static	9_G2_sicurvia	1.5		
SLU_Gr_2A_S1_2	Linear Static	11_Q1k	1.0125		
SLU_Gr_2A_S1_2	Linear Static	10_q1k	0.54		
SLU_Gr_2A_S1_2	Linear Static	13_Q2k	1.0125		
SLU_Gr_2A_S1_2	Linear Static	12_q2k	0.54		
SLU_Gr_2A_S1_2	Linear Static	16_Q_zr	1.0125		
SLU_Gr_2A_S1_2	Linear Static	17_qfk	0.375		
SLU_Gr_2A_S1_2	Linear Static	20_q4_centra	0		
SLU_Gr_2A_S1_2	Linear Static	19_q3_frenatura	1.35		
SLU_Gr_2A_S1_2	Linear Static	15_Q3k	1.0125		
SLU_Gr_2A_S1_2	Linear Static	14_q3k	0.54		
SLU_Gr_2A_S1_2	Response Combo	24_q_vento_tot	0.9		
SLU_Gr_2A_S1_2	Linear Static	23_q_temp F	0		
SLU_Gr_2A_S1_2	Linear Static	22_q_ritiro	1.2		
SLU_Gr_2A_S1_2	Linear Static	21_q8	0		
SLU_Gr_2A_S1_3	Linear Add	No Linear Static	DEAD	1.35	None
SLU_Gr_2A_S1_3	Linear Static	1_G1_trave	1.35		
SLU_Gr_2A_S1_3	Linear Static	2_G1_soletta	1.35		
SLU_Gr_2A_S1_3	Linear Static	3_G1_marciapiede	1.35		
SLU_Gr_2A_S1_3	Linear Static	4_G1_traverso	1.35		
SLU_Gr_2A_S1_3	Linear Static	5_G2_veletta	1.5		
SLU_Gr_2A_S1_3	Linear Static	6_G2_impianti	1.5		
SLU_Gr_2A_S1_3	Linear Static	7_G2_parapetti	1.5		
SLU_Gr_2A_S1_3	Linear Static	8_G2_pavimentazione	1.5		
SLU_Gr_2A_S1_3	Linear Static	9_G2_sicurvia	1.5		
SLU_Gr_2A_S1_3	Linear Static	11_Q1k	1.0125		
SLU_Gr_2A_S1_3	Linear Static	10_q1k	0.54		
SLU_Gr_2A_S1_3	Linear Static	13_Q2k	1.0125		
SLU_Gr_2A_S1_3	Linear Static	12_q2k	0.54		
SLU_Gr_2A_S1_3	Linear Static	16_Q_zr	1.0125		
SLU_Gr_2A_S1_3	Linear Static	17_qfk	0.375		
SLU_Gr_2A_S1_3	Linear Static	20_q4_centra	0		
SLU_Gr_2A_S1_3	Linear Static	19_q3_frenatura	1.35		
SLU_Gr_2A_S1_3	Linear Static	15_Q3k	1.0125		
SLU_Gr_2A_S1_3	Linear Static	14_q3k	0.54		
SLU_Gr_2A_S1_3	Response Combo	24_q_vento_tot	0.9		
SLU_Gr_2A_S1_3	Linear Static	23_q_temp F	0		
SLU_Gr_2A_S1_3	Linear Static	22_q_ritiro	1.2		
SLU_Gr_2A_S1_3	Linear Static	21_q8	0		
SLU_Gr_2A_S1_4	Linear Add	No Linear Static	DEAD	1.35	None
SLU_Gr_2A_S1_4	Linear Static	1_G1_trave	1.35		
SLU_Gr_2A_S1_4	Linear Static	2_G1_soletta	1.35		
SLU_Gr_2A_S1_4	Linear Static	3_G1_marciapiede	1.35		
SLU_Gr_2A_S1_4	Linear Static	4_G1_traverso	1.35		
SLU_Gr_2A_S1_4	Linear Static	5_G2_veletta	1.5		
SLU_Gr_2A_S1_4	Linear Static	6_G2_impianti	1.5		
SLU_Gr_2A_S1_4	Linear Static	7_G2_parapetti	1.5		
SLU_Gr_2A_S1_4	Linear Static	8_G2_pavimentazione	1.5		

RELAZIONE DI CALCOLO

COMMESSA	LOTTO	CODIFICA	DOCUMENTO	REV.	FOGLIO
NRIJ	01 D 29	CL	IV0104 001	B	138 di 341

SLU_Gr_2A_S1_4	Linear Static	9_G2_sicurvia	1.5		
SLU_Gr_2A_S1_4	Linear Static	11_Q1k	1.0125		
SLU_Gr_2A_S1_4	Linear Static	10_q1k	0.54		
SLU_Gr_2A_S1_4	Linear Static	13_Q2k	1.0125		
SLU_Gr_2A_S1_4	Linear Static	12_q2k	0.54		
SLU_Gr_2A_S1_4	Linear Static	16_Q_zr	1.0125		
SLU_Gr_2A_S1_4	Linear Static	17_qfk	0.375		
SLU_Gr_2A_S1_4	Linear Static	20_q4_centr	0		
SLU_Gr_2A_S1_4	Linear Static	19_q3_frenatura	1.35		
SLU_Gr_2A_S1_4	Linear Static	15_Q3k	1.0125		
SLU_Gr_2A_S1_4	Linear Static	14_q3k	0.54		
SLU_Gr_2A_S1_4	Response Combo	24_q_vento_tot	0.9		
SLU_Gr_2A_S1_4	Linear Static	23_q_temp F	0.72		
SLU_Gr_2A_S1_4	Linear Static	22_q_ritiro	1.2		
SLU_Gr_2A_S1_4	Linear Static	21_q8	0		
SLU_Gr_2A_S1_5	Linear Add	No Linear Static	DEAD	1.35	None
SLU_Gr_2A_S1_5	Linear Static	1_G1_trave	1.35		
SLU_Gr_2A_S1_5	Linear Static	2_G1_soletta	1.35		
SLU_Gr_2A_S1_5	Linear Static	3_G1_marciapiede	1.35		
SLU_Gr_2A_S1_5	Linear Static	4_G1_traverso	1.35		
SLU_Gr_2A_S1_5	Linear Static	5_G2_veletta	1.5		
SLU_Gr_2A_S1_5	Linear Static	6_G2_impianti	1.5		
SLU_Gr_2A_S1_5	Linear Static	7_G2_parapetti	1.5		
SLU_Gr_2A_S1_5	Linear Static	8_G2_pavimentazione	1.5		
SLU_Gr_2A_S1_5	Linear Static	9_G2_sicurvia	1.5		
SLU_Gr_2A_S1_5	Linear Static	11_Q1k	1.0125		
SLU_Gr_2A_S1_5	Linear Static	10_q1k	0.54		
SLU_Gr_2A_S1_5	Linear Static	13_Q2k	1.0125		
SLU_Gr_2A_S1_5	Linear Static	12_q2k	0.54		
SLU_Gr_2A_S1_5	Linear Static	16_Q_zr	1.0125		
SLU_Gr_2A_S1_5	Linear Static	17_qfk	0.375		
SLU_Gr_2A_S1_5	Linear Static	20_q4_centr	0		
SLU_Gr_2A_S1_5	Linear Static	19_q3_frenatura	1.35		
SLU_Gr_2A_S1_5	Linear Static	15_Q3k	1.0125		
SLU_Gr_2A_S1_5	Linear Static	14_q3k	0.54		
SLU_Gr_2A_S1_5	Response Combo	24_q_vento_tot	0.9		
SLU_Gr_2A_S1_5	Linear Static	23_q_temp F	0		
SLU_Gr_2A_S1_5	Linear Static	22_q_ritiro	1.2		
SLU_Gr_2A_S1_5	Linear Static	21_q8	0		
SLU_Gr_2A_S1_6	Linear Add	No Linear Static	DEAD	1.35	None
SLU_Gr_2A_S1_6	Linear Static	1_G1_trave	1.35		
SLU_Gr_2A_S1_6	Linear Static	2_G1_soletta	1.35		
SLU_Gr_2A_S1_6	Linear Static	3_G1_marciapiede	1.35		
SLU_Gr_2A_S1_6	Linear Static	4_G1_traverso	1.35		
SLU_Gr_2A_S1_6	Linear Static	5_G2_veletta	1.5		
SLU_Gr_2A_S1_6	Linear Static	6_G2_impianti	1.5		
SLU_Gr_2A_S1_6	Linear Static	7_G2_parapetti	1.5		
SLU_Gr_2A_S1_6	Linear Static	8_G2_pavimentazione	1.5		
SLU_Gr_2A_S1_6	Linear Static	9_G2_sicurvia	1.5		
SLU_Gr_2A_S1_6	Linear Static	11_Q1k	0		
SLU_Gr_2A_S1_6	Linear Static	10_q1k	0		
SLU_Gr_2A_S1_6	Linear Static	13_Q2k	0		
SLU_Gr_2A_S1_6	Linear Static	12_q2k	0		
SLU_Gr_2A_S1_6	Linear Static	16_Q_zr	0		
SLU_Gr_2A_S1_6	Linear Static	17_qfk	0.375		
SLU_Gr_2A_S1_6	Linear Static	20_q4_centr	0		
SLU_Gr_2A_S1_6	Linear Static	19_q3_frenatura	0		
SLU_Gr_2A_S1_6	Linear Static	15_Q3k	0		
SLU_Gr_2A_S1_6	Linear Static	14_q3k	0		
SLU_Gr_2A_S1_6	Response Combo	24_q_vento_tot	0.9		
SLU_Gr_2A_S1_6	Linear Static	23_q_temp F	0.72		
SLU_Gr_2A_S1_6	Linear Static	22_q_ritiro	1.2		

RELAZIONE DI CALCOLO

COMMESSA	LOTTO	CODIFICA	DOCUMENTO	REV.	FOGLIO
NRIJ	01 D 29	CL	IV0104 001	B	139 di 341

SLU_Gr_2A_S1_6	Linear Static	21_q8	0		
SLU_Gr_2A_S1_7	Linear Add	No Linear Static	DEAD	1.35	None
SLU_Gr_2A_S1_7	Linear Static	1_G1_trave		1.35	
SLU_Gr_2A_S1_7	Linear Static	2_G1_soletta		1.35	
SLU_Gr_2A_S1_7	Linear Static	3_G1_marciapiede		1.35	
SLU_Gr_2A_S1_7	Linear Static	4_G1_traverso		1.35	
SLU_Gr_2A_S1_7	Linear Static	5_G2_veletta		1.5	
SLU_Gr_2A_S1_7	Linear Static	6_G2_impianti		1.5	
SLU_Gr_2A_S1_7	Linear Static	7_G2_parapetti		1.5	
SLU_Gr_2A_S1_7	Linear Static	8_G2_pavimentazione		1.5	
SLU_Gr_2A_S1_7	Linear Static	9_G2_sicurvia		1.5	
SLU_Gr_2A_S1_7	Linear Static	11_Q1k		0	
SLU_Gr_2A_S1_7	Linear Static	10_q1k		0	
SLU_Gr_2A_S1_7	Linear Static	13_Q2k		0	
SLU_Gr_2A_S1_7	Linear Static	12_q2k		0	
SLU_Gr_2A_S1_7	Linear Static	16_Q_zr		0	
SLU_Gr_2A_S1_7	Linear Static	17_qfk		0.375	
SLU_Gr_2A_S1_7	Linear Static	20_q4_centr		0	
SLU_Gr_2A_S1_7	Linear Static	19_q3_frenatura		0	
SLU_Gr_2A_S1_7	Linear Static	15_Q3k		0	
SLU_Gr_2A_S1_7	Linear Static	14_q3k		0	
SLU_Gr_2A_S1_7	Response Combo	24_q_vento_tot		0.9	
SLU_Gr_2A_S1_7	Linear Static	23_q_temp F		0	
SLU_Gr_2A_S1_7	Linear Static	22_q_ritiro		1.2	
SLU_Gr_2A_S1_7	Linear Static	21_q8		0	
SLU_Gr_2A_S1_8	Linear Add	No Linear Static	DEAD	1.35	None
SLU_Gr_2A_S1_8	Linear Static	1_G1_trave		1.35	
SLU_Gr_2A_S1_8	Linear Static	2_G1_soletta		1.35	
SLU_Gr_2A_S1_8	Linear Static	3_G1_marciapiede		1.35	
SLU_Gr_2A_S1_8	Linear Static	4_G1_traverso		1.35	
SLU_Gr_2A_S1_8	Linear Static	5_G2_veletta		1.5	
SLU_Gr_2A_S1_8	Linear Static	6_G2_impianti		1.5	
SLU_Gr_2A_S1_8	Linear Static	7_G2_parapetti		1.5	
SLU_Gr_2A_S1_8	Linear Static	8_G2_pavimentazione		1.5	
SLU_Gr_2A_S1_8	Linear Static	9_G2_sicurvia		1.5	
SLU_Gr_2A_S1_8	Linear Static	11_Q1k		0	
SLU_Gr_2A_S1_8	Linear Static	10_q1k		0	
SLU_Gr_2A_S1_8	Linear Static	13_Q2k		0	
SLU_Gr_2A_S1_8	Linear Static	12_q2k		0	
SLU_Gr_2A_S1_8	Linear Static	16_Q_zr		0	
SLU_Gr_2A_S1_8	Linear Static	17_qfk		0.375	
SLU_Gr_2A_S1_8	Linear Static	20_q4_centr		0	
SLU_Gr_2A_S1_8	Linear Static	19_q3_frenatura		0	
SLU_Gr_2A_S1_8	Linear Static	15_Q3k		0	
SLU_Gr_2A_S1_8	Linear Static	14_q3k		0	
SLU_Gr_2A_S1_8	Response Combo	24_q_vento_tot		0.9	
SLU_Gr_2A_S1_8	Linear Static	23_q_temp F		0	
SLU_Gr_2A_S1_8	Linear Static	22_q_ritiro		1.2	
SLU_Gr_2A_S1_8	Linear Static	21_q8		0	
SLU_Gr_2A_S1_9	Linear Add	No Linear Static	DEAD	1.35	None
SLU_Gr_2A_S1_9	Linear Static	1_G1_trave		1.35	
SLU_Gr_2A_S1_9	Linear Static	2_G1_soletta		1.35	
SLU_Gr_2A_S1_9	Linear Static	3_G1_marciapiede		1.35	
SLU_Gr_2A_S1_9	Linear Static	4_G1_traverso		1.35	
SLU_Gr_2A_S1_9	Linear Static	5_G2_veletta		1.5	
SLU_Gr_2A_S1_9	Linear Static	6_G2_impianti		1.5	
SLU_Gr_2A_S1_9	Linear Static	7_G2_parapetti		1.5	
SLU_Gr_2A_S1_9	Linear Static	8_G2_pavimentazione		1.5	
SLU_Gr_2A_S1_9	Linear Static	9_G2_sicurvia		1.5	
SLU_Gr_2A_S1_9	Linear Static	11_Q1k		0	
SLU_Gr_2A_S1_9	Linear Static	10_q1k		0	
SLU_Gr_2A_S1_9	Linear Static	13_Q2k		0	

RELAZIONE DI CALCOLO

COMMESSA	LOTTO	CODIFICA	DOCUMENTO	REV.	FOGLIO
NRIJ	01 D 29	CL	IV0104 001	B	140 di 341

SLU_Gr_2A_S1_9	Linear Static	12_q2k	0		
SLU_Gr_2A_S1_9	Linear Static	16_Q_zr	0		
SLU_Gr_2A_S1_9	Linear Static	17_qfk	0.375		
SLU_Gr_2A_S1_9	Linear Static	20_q4_centr	0		
SLU_Gr_2A_S1_9	Linear Static	19_q3_frenatura	0		
SLU_Gr_2A_S1_9	Linear Static	15_Q3k	0		
SLU_Gr_2A_S1_9	Linear Static	14_q3k	0		
SLU_Gr_2A_S1_9	Response Combo	24_q_vento_tot	0.9		
SLU_Gr_2A_S1_9	Linear Static	23_q_temp F	0.72		
SLU_Gr_2A_S1_9	Linear Static	22_q_ritiro	1.2		
SLU_Gr_2A_S1_9	Linear Static	21_q8	0		
SLU_Gr_2A_S1_10	Linear Add	No Linear Static	DEAD	1.35	None
SLU_Gr_2A_S1_10	Linear Static	1_G1_trave	1.35		
SLU_Gr_2A_S1_10	Linear Static	2_G1_soletta	1.35		
SLU_Gr_2A_S1_10	Linear Static	3_G1_marciapiede	1.35		
SLU_Gr_2A_S1_10	Linear Static	4_G1_traverso	1.35		
SLU_Gr_2A_S1_10	Linear Static	5_G2_veletta	1.5		
SLU_Gr_2A_S1_10	Linear Static	6_G2_impianti	1.5		
SLU_Gr_2A_S1_10	Linear Static	7_G2_parapetti	1.5		
SLU_Gr_2A_S1_10	Linear Static	8_G2_pavimentazione	1.5		
SLU_Gr_2A_S1_10	Linear Static	9_G2_sicurvia	1.5		
SLU_Gr_2A_S1_10	Linear Static	11_Q1k	0		
SLU_Gr_2A_S1_10	Linear Static	10_q1k	0		
SLU_Gr_2A_S1_10	Linear Static	13_Q2k	0		
SLU_Gr_2A_S1_10	Linear Static	12_q2k	0		
SLU_Gr_2A_S1_10	Linear Static	16_Q_zr	0		
SLU_Gr_2A_S1_10	Linear Static	17_qfk	0.375		
SLU_Gr_2A_S1_10	Linear Static	20_q4_centr	0		
SLU_Gr_2A_S1_10	Linear Static	19_q3_frenatura	0		
SLU_Gr_2A_S1_10	Linear Static	15_Q3k	0		
SLU_Gr_2A_S1_10	Linear Static	14_q3k	0		
SLU_Gr_2A_S1_10	Response Combo	24_q_vento_tot	0.9		
SLU_Gr_2A_S1_10	Linear Static	23_q_temp F	0		
SLU_Gr_2A_S1_10	Linear Static	22_q_ritiro	1.2		
SLU_Gr_2A_S1_10	Linear Static	21_q8	0		
SLU_Gr_2A_S1_11	Linear Add	No Linear Static	DEAD	1.35	None
SLU_Gr_2A_S1_11	Linear Static	1_G1_trave	1.35		
SLU_Gr_2A_S1_11	Linear Static	2_G1_soletta	1.35		
SLU_Gr_2A_S1_11	Linear Static	3_G1_marciapiede	1.35		
SLU_Gr_2A_S1_11	Linear Static	4_G1_traverso	1.35		
SLU_Gr_2A_S1_11	Linear Static	5_G2_veletta	1.5		
SLU_Gr_2A_S1_11	Linear Static	6_G2_impianti	1.5		
SLU_Gr_2A_S1_11	Linear Static	7_G2_parapetti	1.5		
SLU_Gr_2A_S1_11	Linear Static	8_G2_pavimentazione	1.5		
SLU_Gr_2A_S1_11	Linear Static	9_G2_sicurvia	1.5		
SLU_Gr_2A_S1_11	Linear Static	11_Q1k	1.0125		
SLU_Gr_2A_S1_11	Linear Static	10_q1k	0.54		
SLU_Gr_2A_S1_11	Linear Static	13_Q2k	1.0125		
SLU_Gr_2A_S1_11	Linear Static	12_q2k	0.54		
SLU_Gr_2A_S1_11	Linear Static	16_Q_zr	1.0125		
SLU_Gr_2A_S1_11	Linear Static	17_qfk	0.375		
SLU_Gr_2A_S1_11	Linear Static	20_q4_centr	0		
SLU_Gr_2A_S1_11	Linear Static	19_q3_frenatura	0.54		
SLU_Gr_2A_S1_11	Linear Static	15_Q3k	1.0125		
SLU_Gr_2A_S1_11	Linear Static	14_q3k	0.54		
SLU_Gr_2A_S1_11	Response Combo	24_q_vento_tot	1.5		
SLU_Gr_2A_S1_11	Linear Static	23_q_temp F	0.72		
SLU_Gr_2A_S1_11	Linear Static	22_q_ritiro	1.2		
SLU_Gr_2A_S1_11	Linear Static	21_q8	0		
SLU_Gr_2A_S1_12	Linear Add	No Linear Static	DEAD	1.35	None
SLU_Gr_2A_S1_12	Linear Static	1_G1_trave	1.35		
SLU_Gr_2A_S1_12	Linear Static	2_G1_soletta	1.35		

RELAZIONE DI CALCOLO

COMMESSA	LOTTO	CODIFICA	DOCUMENTO	REV.	FOGLIO
NRIJ	01 D 29	CL	IV0104 001	B	141 di 341

SLU_Gr_2A_S1_12	Linear Static	3_G1_marciapiede	1.35		
SLU_Gr_2A_S1_12	Linear Static	4_G1_traverso	1.35		
SLU_Gr_2A_S1_12	Linear Static	5_G2_veletta	1.5		
SLU_Gr_2A_S1_12	Linear Static	6_G2_impianti	1.5		
SLU_Gr_2A_S1_12	Linear Static	7_G2_parapetti	1.5		
SLU_Gr_2A_S1_12	Linear Static	8_G2_pavimentazione	1.5		
SLU_Gr_2A_S1_12	Linear Static	9_G2_sicurvia	1.5		
SLU_Gr_2A_S1_12	Linear Static	11_Q1k	1.0125		
SLU_Gr_2A_S1_12	Linear Static	10_q1k	0.54		
SLU_Gr_2A_S1_12	Linear Static	13_Q2k	1.0125		
SLU_Gr_2A_S1_12	Linear Static	12_q2k	0.54		
SLU_Gr_2A_S1_12	Linear Static	16_Q_zr	1.0125		
SLU_Gr_2A_S1_12	Linear Static	17_qfk	0.375		
SLU_Gr_2A_S1_12	Linear Static	20_q4_centra	0		
SLU_Gr_2A_S1_12	Linear Static	19_q3_frenatura	0.54		
SLU_Gr_2A_S1_12	Linear Static	15_Q3k	1.0125		
SLU_Gr_2A_S1_12	Linear Static	14_q3k	0.54		
SLU_Gr_2A_S1_12	Response Combo	24_q_vento_tot	1.5		
SLU_Gr_2A_S1_12	Linear Static	23_q_temp F	0		
SLU_Gr_2A_S1_12	Linear Static	22_q_ritiro	1.2		
SLU_Gr_2A_S1_12	Linear Static	21_q8	0		
SLU_Gr_2A_S1_13	Linear Add	No Linear Static	DEAD	1.35	None
SLU_Gr_2A_S1_13	Linear Static	1_G1_trave	1.35		
SLU_Gr_2A_S1_13	Linear Static	2_G1_soletta	1.35		
SLU_Gr_2A_S1_13	Linear Static	3_G1_marciapiede	1.35		
SLU_Gr_2A_S1_13	Linear Static	4_G1_traverso	1.35		
SLU_Gr_2A_S1_13	Linear Static	5_G2_veletta	1.5		
SLU_Gr_2A_S1_13	Linear Static	6_G2_impianti	1.5		
SLU_Gr_2A_S1_13	Linear Static	7_G2_parapetti	1.5		
SLU_Gr_2A_S1_13	Linear Static	8_G2_pavimentazione	1.5		
SLU_Gr_2A_S1_13	Linear Static	9_G2_sicurvia	1.5		
SLU_Gr_2A_S1_13	Linear Static	11_Q1k	1.0125		
SLU_Gr_2A_S1_13	Linear Static	10_q1k	0.54		
SLU_Gr_2A_S1_13	Linear Static	13_Q2k	1.0125		
SLU_Gr_2A_S1_13	Linear Static	12_q2k	0.54		
SLU_Gr_2A_S1_13	Linear Static	16_Q_zr	1.0125		
SLU_Gr_2A_S1_13	Linear Static	17_qfk	0.375		
SLU_Gr_2A_S1_13	Linear Static	20_q4_centra	0		
SLU_Gr_2A_S1_13	Linear Static	19_q3_frenatura	0.54		
SLU_Gr_2A_S1_13	Linear Static	15_Q3k	1.0125		
SLU_Gr_2A_S1_13	Linear Static	14_q3k	0.54		
SLU_Gr_2A_S1_13	Response Combo	24_q_vento_tot	1.5		
SLU_Gr_2A_S1_13	Linear Static	23_q_temp F	0		
SLU_Gr_2A_S1_13	Linear Static	22_q_ritiro	1.2		
SLU_Gr_2A_S1_13	Linear Static	21_q8	0		
SLU_Gr_2A_S1_14	Linear Add	No Linear Static	DEAD	1.35	None
SLU_Gr_2A_S1_14	Linear Static	1_G1_trave	1.35		
SLU_Gr_2A_S1_14	Linear Static	2_G1_soletta	1.35		
SLU_Gr_2A_S1_14	Linear Static	3_G1_marciapiede	1.35		
SLU_Gr_2A_S1_14	Linear Static	4_G1_traverso	1.35		
SLU_Gr_2A_S1_14	Linear Static	5_G2_veletta	1.5		
SLU_Gr_2A_S1_14	Linear Static	6_G2_impianti	1.5		
SLU_Gr_2A_S1_14	Linear Static	7_G2_parapetti	1.5		
SLU_Gr_2A_S1_14	Linear Static	8_G2_pavimentazione	1.5		
SLU_Gr_2A_S1_14	Linear Static	9_G2_sicurvia	1.5		
SLU_Gr_2A_S1_14	Linear Static	11_Q1k	1.0125		
SLU_Gr_2A_S1_14	Linear Static	10_q1k	0.54		
SLU_Gr_2A_S1_14	Linear Static	13_Q2k	1.0125		
SLU_Gr_2A_S1_14	Linear Static	12_q2k	0.54		
SLU_Gr_2A_S1_14	Linear Static	16_Q_zr	1.0125		
SLU_Gr_2A_S1_14	Linear Static	17_qfk	0.375		
SLU_Gr_2A_S1_14	Linear Static	20_q4_centra	0		

RELAZIONE DI CALCOLO

COMMESSA	LOTTO	CODIFICA	DOCUMENTO	REV.	FOGLIO
NRLJ	01 D 29	CL	IV0104 001	B	142 di 341

SLU_Gr_2A_S1_14	Linear Static	19_q3_frenatura	0.54		
SLU_Gr_2A_S1_14	Linear Static	15_Q3k	1.0125		
SLU_Gr_2A_S1_14	Linear Static	14_q3k	0.54		
SLU_Gr_2A_S1_14	Response Combo	24_q_vento_tot	1.5		
SLU_Gr_2A_S1_14	Linear Static	23_q_temp F	0.72		
SLU_Gr_2A_S1_14	Linear Static	22_q_ritiro	1.2		
SLU_Gr_2A_S1_14	Linear Static	21_q8	0		
SLU_Gr_2A_S1_15	Linear Add	No Linear Static	DEAD	1.35	None
SLU_Gr_2A_S1_15	Linear Static	1_G1_trave	1.35		
SLU_Gr_2A_S1_15	Linear Static	2_G1_soletta	1.35		
SLU_Gr_2A_S1_15	Linear Static	3_G1_marciapiede	1.35		
SLU_Gr_2A_S1_15	Linear Static	4_G1_traverso	1.35		
SLU_Gr_2A_S1_15	Linear Static	5_G2_veletta	1.5		
SLU_Gr_2A_S1_15	Linear Static	6_G2_impianti	1.5		
SLU_Gr_2A_S1_15	Linear Static	7_G2_parapetti	1.5		
SLU_Gr_2A_S1_15	Linear Static	8_G2_pavimentazione	1.5		
SLU_Gr_2A_S1_15	Linear Static	9_G2_sicurvia	1.5		
SLU_Gr_2A_S1_15	Linear Static	11_Q1k	1.0125		
SLU_Gr_2A_S1_15	Linear Static	10_q1k	0.54		
SLU_Gr_2A_S1_15	Linear Static	13_Q2k	1.0125		
SLU_Gr_2A_S1_15	Linear Static	12_q2k	0.54		
SLU_Gr_2A_S1_15	Linear Static	16_Q_zr	1.0125		
SLU_Gr_2A_S1_15	Linear Static	17_qfk	0.375		
SLU_Gr_2A_S1_15	Linear Static	20_q4_centr	0		
SLU_Gr_2A_S1_15	Linear Static	19_q3_frenatura	0.54		
SLU_Gr_2A_S1_15	Linear Static	15_Q3k	1.0125		
SLU_Gr_2A_S1_15	Linear Static	14_q3k	0.54		
SLU_Gr_2A_S1_15	Response Combo	24_q_vento_tot	1.5		
SLU_Gr_2A_S1_15	Linear Static	23_q_temp F	0		
SLU_Gr_2A_S1_15	Linear Static	22_q_ritiro	1.2		
SLU_Gr_2A_S1_15	Linear Static	21_q8	0		
SLU_Gr_2A_S1_16	Linear Add	No Linear Static	DEAD	1.35	None
SLU_Gr_2A_S1_16	Linear Static	1_G1_trave	1.35		
SLU_Gr_2A_S1_16	Linear Static	2_G1_soletta	1.35		
SLU_Gr_2A_S1_16	Linear Static	3_G1_marciapiede	1.35		
SLU_Gr_2A_S1_16	Linear Static	4_G1_traverso	1.35		
SLU_Gr_2A_S1_16	Linear Static	5_G2_veletta	1.5		
SLU_Gr_2A_S1_16	Linear Static	6_G2_impianti	1.5		
SLU_Gr_2A_S1_16	Linear Static	7_G2_parapetti	1.5		
SLU_Gr_2A_S1_16	Linear Static	8_G2_pavimentazione	1.5		
SLU_Gr_2A_S1_16	Linear Static	9_G2_sicurvia	1.5		
SLU_Gr_2A_S1_16	Linear Static	11_Q1k	0		
SLU_Gr_2A_S1_16	Linear Static	10_q1k	0		
SLU_Gr_2A_S1_16	Linear Static	13_Q2k	0		
SLU_Gr_2A_S1_16	Linear Static	12_q2k	0		
SLU_Gr_2A_S1_16	Linear Static	16_Q_zr	0		
SLU_Gr_2A_S1_16	Linear Static	17_qfk	0.375		
SLU_Gr_2A_S1_16	Linear Static	20_q4_centr	0		
SLU_Gr_2A_S1_16	Linear Static	19_q3_frenatura	0		
SLU_Gr_2A_S1_16	Linear Static	15_Q3k	0		
SLU_Gr_2A_S1_16	Linear Static	14_q3k	0		
SLU_Gr_2A_S1_16	Response Combo	24_q_vento_tot	1.5		
SLU_Gr_2A_S1_16	Linear Static	23_q_temp F	0.72		
SLU_Gr_2A_S1_16	Linear Static	22_q_ritiro	1.2		
SLU_Gr_2A_S1_16	Linear Static	21_q8	0		
SLU_Gr_2A_S1_17	Linear Add	No Linear Static	DEAD	1.35	None
SLU_Gr_2A_S1_17	Linear Static	1_G1_trave	1.35		
SLU_Gr_2A_S1_17	Linear Static	2_G1_soletta	1.35		
SLU_Gr_2A_S1_17	Linear Static	3_G1_marciapiede	1.35		
SLU_Gr_2A_S1_17	Linear Static	4_G1_traverso	1.35		
SLU_Gr_2A_S1_17	Linear Static	5_G2_veletta	1.5		
SLU_Gr_2A_S1_17	Linear Static	6_G2_impianti	1.5		

RELAZIONE DI CALCOLO

COMMESSA	LOTTO	CODIFICA	DOCUMENTO	REV.	FOGLIO
NR1J	01 D 29	CL	IV0104 001	B	143 di 341

SLU_Gr_2A_S1_17	Linear Static	7_G2_parapetti	1.5		
SLU_Gr_2A_S1_17	Linear Static	8_G2_pavimentazione	1.5		
SLU_Gr_2A_S1_17	Linear Static	9_G2_sicurvia	1.5		
SLU_Gr_2A_S1_17	Linear Static	11_Q1k	0		
SLU_Gr_2A_S1_17	Linear Static	10_q1k	0		
SLU_Gr_2A_S1_17	Linear Static	13_Q2k	0		
SLU_Gr_2A_S1_17	Linear Static	12_q2k	0		
SLU_Gr_2A_S1_17	Linear Static	16_Q_zr	0		
SLU_Gr_2A_S1_17	Linear Static	17_qfk	0.375		
SLU_Gr_2A_S1_17	Linear Static	20_q4_centr	0		
SLU_Gr_2A_S1_17	Linear Static	19_q3_frenatura	0		
SLU_Gr_2A_S1_17	Linear Static	15_Q3k	0		
SLU_Gr_2A_S1_17	Linear Static	14_q3k	0		
SLU_Gr_2A_S1_17	Response Combo	24_q_vento_tot	1.5		
SLU_Gr_2A_S1_17	Linear Static	23_q_temp F	0		
SLU_Gr_2A_S1_17	Linear Static	22_q_ritiro	1.2		
SLU_Gr_2A_S1_17	Linear Static	21_q8	0		
SLU_Gr_2A_S1_18	Linear Add	No Linear Static	DEAD	1.35	None
SLU_Gr_2A_S1_18	Linear Static	1_G1_trave	1.35		
SLU_Gr_2A_S1_18	Linear Static	2_G1_soletta	1.35		
SLU_Gr_2A_S1_18	Linear Static	3_G1_marciapiede	1.35		
SLU_Gr_2A_S1_18	Linear Static	4_G1_traverso	1.35		
SLU_Gr_2A_S1_18	Linear Static	5_G2_veletta	1.5		
SLU_Gr_2A_S1_18	Linear Static	6_G2_impianti	1.5		
SLU_Gr_2A_S1_18	Linear Static	7_G2_parapetti	1.5		
SLU_Gr_2A_S1_18	Linear Static	8_G2_pavimentazione	1.5		
SLU_Gr_2A_S1_18	Linear Static	9_G2_sicurvia	1.5		
SLU_Gr_2A_S1_18	Linear Static	11_Q1k	0		
SLU_Gr_2A_S1_18	Linear Static	10_q1k	0		
SLU_Gr_2A_S1_18	Linear Static	13_Q2k	0		
SLU_Gr_2A_S1_18	Linear Static	12_q2k	0		
SLU_Gr_2A_S1_18	Linear Static	16_Q_zr	0		
SLU_Gr_2A_S1_18	Linear Static	17_qfk	0.375		
SLU_Gr_2A_S1_18	Linear Static	20_q4_centr	0		
SLU_Gr_2A_S1_18	Linear Static	19_q3_frenatura	0		
SLU_Gr_2A_S1_18	Linear Static	15_Q3k	0		
SLU_Gr_2A_S1_18	Linear Static	14_q3k	0		
SLU_Gr_2A_S1_18	Response Combo	24_q_vento_tot	1.5		
SLU_Gr_2A_S1_18	Linear Static	23_q_temp F	0		
SLU_Gr_2A_S1_18	Linear Static	22_q_ritiro	1.2		
SLU_Gr_2A_S1_18	Linear Static	21_q8	0		
SLU_Gr_2A_S1_19	Linear Add	No Linear Static	DEAD	1.35	None
SLU_Gr_2A_S1_19	Linear Static	1_G1_trave	1.35		
SLU_Gr_2A_S1_19	Linear Static	2_G1_soletta	1.35		
SLU_Gr_2A_S1_19	Linear Static	3_G1_marciapiede	1.35		
SLU_Gr_2A_S1_19	Linear Static	4_G1_traverso	1.35		
SLU_Gr_2A_S1_19	Linear Static	5_G2_veletta	1.5		
SLU_Gr_2A_S1_19	Linear Static	6_G2_impianti	1.5		
SLU_Gr_2A_S1_19	Linear Static	7_G2_parapetti	1.5		
SLU_Gr_2A_S1_19	Linear Static	8_G2_pavimentazione	1.5		
SLU_Gr_2A_S1_19	Linear Static	9_G2_sicurvia	1.5		
SLU_Gr_2A_S1_19	Linear Static	11_Q1k	0		
SLU_Gr_2A_S1_19	Linear Static	10_q1k	0		
SLU_Gr_2A_S1_19	Linear Static	13_Q2k	0		
SLU_Gr_2A_S1_19	Linear Static	12_q2k	0		
SLU_Gr_2A_S1_19	Linear Static	16_Q_zr	0		
SLU_Gr_2A_S1_19	Linear Static	17_qfk	0.375		
SLU_Gr_2A_S1_19	Linear Static	20_q4_centr	0		
SLU_Gr_2A_S1_19	Linear Static	19_q3_frenatura	0		
SLU_Gr_2A_S1_19	Linear Static	15_Q3k	0		
SLU_Gr_2A_S1_19	Linear Static	14_q3k	0		
SLU_Gr_2A_S1_19	Response Combo	24_q_vento_tot	1.5		

RELAZIONE DI CALCOLO

COMMESSA	LOTTO	CODIFICA	DOCUMENTO	REV.	FOGLIO
NRLJ	01 D 29	CL	IV0104 001	B	144 di 341

SLU_Gr_2A_S1_19	Linear Static	23_q_temp F	0.72		
SLU_Gr_2A_S1_19	Linear Static	22_q_ritiro	1.2		
SLU_Gr_2A_S1_19	Linear Static	21_q8	0		
SLU_Gr_2A_S1_20	Linear Add	No Linear Static	DEAD	1.35	None
SLU_Gr_2A_S1_20	Linear Static	1_G1_trave	1.35		
SLU_Gr_2A_S1_20	Linear Static	2_G1_soletta	1.35		
SLU_Gr_2A_S1_20	Linear Static	3_G1_marciapiede	1.35		
SLU_Gr_2A_S1_20	Linear Static	4_G1_traverso	1.35		
SLU_Gr_2A_S1_20	Linear Static	5_G2_veletta	1.5		
SLU_Gr_2A_S1_20	Linear Static	6_G2_impianti	1.5		
SLU_Gr_2A_S1_20	Linear Static	7_G2_parapetti	1.5		
SLU_Gr_2A_S1_20	Linear Static	8_G2_pavimentazione	1.5		
SLU_Gr_2A_S1_20	Linear Static	9_G2_sicurvia	1.5		
SLU_Gr_2A_S1_20	Linear Static	11_Q1k	0		
SLU_Gr_2A_S1_20	Linear Static	10_q1k	0		
SLU_Gr_2A_S1_20	Linear Static	13_Q2k	0		
SLU_Gr_2A_S1_20	Linear Static	12_q2k	0		
SLU_Gr_2A_S1_20	Linear Static	16_Q_zr	0		
SLU_Gr_2A_S1_20	Linear Static	17_qfk	0.375		
SLU_Gr_2A_S1_20	Linear Static	20_q4_centr	0		
SLU_Gr_2A_S1_20	Linear Static	19_q3_frenatura	0		
SLU_Gr_2A_S1_20	Linear Static	15_Q3k	0		
SLU_Gr_2A_S1_20	Linear Static	14_q3k	0		
SLU_Gr_2A_S1_20	Response Combo	24_q_vento_tot	1.5		
SLU_Gr_2A_S1_20	Linear Static	23_q_temp F	0		
SLU_Gr_2A_S1_20	Linear Static	22_q_ritiro	1.2		
SLU_Gr_2A_S1_20	Linear Static	21_q8	0		
SLU_Gr_2A_S1_21	Linear Add	No Linear Static	DEAD	1.35	None
SLU_Gr_2A_S1_21	Linear Static	1_G1_trave	1.35		
SLU_Gr_2A_S1_21	Linear Static	2_G1_soletta	1.35		
SLU_Gr_2A_S1_21	Linear Static	3_G1_marciapiede	1.35		
SLU_Gr_2A_S1_21	Linear Static	4_G1_traverso	1.35		
SLU_Gr_2A_S1_21	Linear Static	5_G2_veletta	1.5		
SLU_Gr_2A_S1_21	Linear Static	6_G2_impianti	1.5		
SLU_Gr_2A_S1_21	Linear Static	7_G2_parapetti	1.5		
SLU_Gr_2A_S1_21	Linear Static	8_G2_pavimentazione	1.5		
SLU_Gr_2A_S1_21	Linear Static	9_G2_sicurvia	1.5		
SLU_Gr_2A_S1_21	Linear Static	11_Q1k	1.0125		
SLU_Gr_2A_S1_21	Linear Static	10_q1k	0.54		
SLU_Gr_2A_S1_21	Linear Static	13_Q2k	1.0125		
SLU_Gr_2A_S1_21	Linear Static	12_q2k	0.54		
SLU_Gr_2A_S1_21	Linear Static	16_Q_zr	1.0125		
SLU_Gr_2A_S1_21	Linear Static	17_qfk	0.375		
SLU_Gr_2A_S1_21	Linear Static	20_q4_centr	0		
SLU_Gr_2A_S1_21	Linear Static	19_q3_frenatura	0.54		
SLU_Gr_2A_S1_21	Linear Static	15_Q3k	1.0125		
SLU_Gr_2A_S1_21	Linear Static	14_q3k	0.54		
SLU_Gr_2A_S1_21	Response Combo	24_q_vento_tot	0.9		
SLU_Gr_2A_S1_21	Linear Static	23_q_temp F	1.2		
SLU_Gr_2A_S1_21	Linear Static	22_q_ritiro	1.2		
SLU_Gr_2A_S1_21	Linear Static	21_q8	0		
SLU_Gr_2A_S1_22	Linear Add	No Linear Static	DEAD	1.35	None
SLU_Gr_2A_S1_22	Linear Static	1_G1_trave	1.35		
SLU_Gr_2A_S1_22	Linear Static	2_G1_soletta	1.35		
SLU_Gr_2A_S1_22	Linear Static	3_G1_marciapiede	1.35		
SLU_Gr_2A_S1_22	Linear Static	4_G1_traverso	1.35		
SLU_Gr_2A_S1_22	Linear Static	5_G2_veletta	1.5		
SLU_Gr_2A_S1_22	Linear Static	6_G2_impianti	1.5		
SLU_Gr_2A_S1_22	Linear Static	7_G2_parapetti	1.5		
SLU_Gr_2A_S1_22	Linear Static	8_G2_pavimentazione	1.5		
SLU_Gr_2A_S1_22	Linear Static	9_G2_sicurvia	1.5		
SLU_Gr_2A_S1_22	Linear Static	11_Q1k	1.0125		

RELAZIONE DI CALCOLO

COMMESSA	LOTTO	CODIFICA	DOCUMENTO	REV.	FOGLIO
NRIJ	01 D 29	CL	IV0104 001	B	145 di 341

SLU_Gr_2A_S1_22	Linear Static	10_q1k	0.54		
SLU_Gr_2A_S1_22	Linear Static	13_Q2k	1.0125		
SLU_Gr_2A_S1_22	Linear Static	12_q2k	0.54		
SLU_Gr_2A_S1_22	Linear Static	16_Q_zr	1.0125		
SLU_Gr_2A_S1_22	Linear Static	17_qfk	0.375		
SLU_Gr_2A_S1_22	Linear Static	20_q4_centr	0		
SLU_Gr_2A_S1_22	Linear Static	19_q3_frenatura	0.54		
SLU_Gr_2A_S1_22	Linear Static	15_Q3k	1.0125		
SLU_Gr_2A_S1_22	Linear Static	14_q3k	0.54		
SLU_Gr_2A_S1_22	Response Combo	24_q_vento_tot	0.9		
SLU_Gr_2A_S1_22	Linear Static	23_q_temp F	0		
SLU_Gr_2A_S1_22	Linear Static	22_q_ritiro	1.2		
SLU_Gr_2A_S1_22	Linear Static	21_q8	0		
SLU_Gr_2A_S1_23	Linear Add	No Linear Static	DEAD	1.35	None
SLU_Gr_2A_S1_23	Linear Static	1_G1_trave	1.35		
SLU_Gr_2A_S1_23	Linear Static	2_G1_soletta	1.35		
SLU_Gr_2A_S1_23	Linear Static	3_G1_marciapiede	1.35		
SLU_Gr_2A_S1_23	Linear Static	4_G1_traverso	1.35		
SLU_Gr_2A_S1_23	Linear Static	5_G2_veletta	1.5		
SLU_Gr_2A_S1_23	Linear Static	6_G2_impianti	1.5		
SLU_Gr_2A_S1_23	Linear Static	7_G2_parapetti	1.5		
SLU_Gr_2A_S1_23	Linear Static	8_G2_pavimentazione	1.5		
SLU_Gr_2A_S1_23	Linear Static	9_G2_sicurvia	1.5		
SLU_Gr_2A_S1_23	Linear Static	11_Q1k	1.0125		
SLU_Gr_2A_S1_23	Linear Static	10_q1k	0.54		
SLU_Gr_2A_S1_23	Linear Static	13_Q2k	1.0125		
SLU_Gr_2A_S1_23	Linear Static	12_q2k	0.54		
SLU_Gr_2A_S1_23	Linear Static	16_Q_zr	1.0125		
SLU_Gr_2A_S1_23	Linear Static	17_qfk	0.375		
SLU_Gr_2A_S1_23	Linear Static	20_q4_centr	0		
SLU_Gr_2A_S1_23	Linear Static	19_q3_frenatura	0.54		
SLU_Gr_2A_S1_23	Linear Static	15_Q3k	1.0125		
SLU_Gr_2A_S1_23	Linear Static	14_q3k	0.54		
SLU_Gr_2A_S1_23	Response Combo	24_q_vento_tot	0.9		
SLU_Gr_2A_S1_23	Linear Static	23_q_temp F	0		
SLU_Gr_2A_S1_23	Linear Static	22_q_ritiro	1.2		
SLU_Gr_2A_S1_23	Linear Static	21_q8	0		
SLU_Gr_2A_S1_24	Linear Add	No Linear Static	DEAD	1.35	None
SLU_Gr_2A_S1_24	Linear Static	1_G1_trave	1.35		
SLU_Gr_2A_S1_24	Linear Static	2_G1_soletta	1.35		
SLU_Gr_2A_S1_24	Linear Static	3_G1_marciapiede	1.35		
SLU_Gr_2A_S1_24	Linear Static	4_G1_traverso	1.35		
SLU_Gr_2A_S1_24	Linear Static	5_G2_veletta	1.5		
SLU_Gr_2A_S1_24	Linear Static	6_G2_impianti	1.5		
SLU_Gr_2A_S1_24	Linear Static	7_G2_parapetti	1.5		
SLU_Gr_2A_S1_24	Linear Static	8_G2_pavimentazione	1.5		
SLU_Gr_2A_S1_24	Linear Static	9_G2_sicurvia	1.5		
SLU_Gr_2A_S1_24	Linear Static	11_Q1k	1.0125		
SLU_Gr_2A_S1_24	Linear Static	10_q1k	0.54		
SLU_Gr_2A_S1_24	Linear Static	13_Q2k	1.0125		
SLU_Gr_2A_S1_24	Linear Static	12_q2k	0.54		
SLU_Gr_2A_S1_24	Linear Static	16_Q_zr	1.0125		
SLU_Gr_2A_S1_24	Linear Static	17_qfk	0.375		
SLU_Gr_2A_S1_24	Linear Static	20_q4_centr	0		
SLU_Gr_2A_S1_24	Linear Static	19_q3_frenatura	0.54		
SLU_Gr_2A_S1_24	Linear Static	15_Q3k	1.0125		
SLU_Gr_2A_S1_24	Linear Static	14_q3k	0.54		
SLU_Gr_2A_S1_24	Response Combo	24_q_vento_tot	0.9		
SLU_Gr_2A_S1_24	Linear Static	23_q_temp F	1.2		
SLU_Gr_2A_S1_24	Linear Static	22_q_ritiro	1.2		
SLU_Gr_2A_S1_24	Linear Static	21_q8	0		
SLU_Gr_2A_S1_25	Linear Add	No Linear Static	DEAD	1.35	None

RELAZIONE DI CALCOLO

COMMESSA	LOTTO	CODIFICA	DOCUMENTO	REV.	FOGLIO
NRLJ	01 D 29	CL	IV0104 001	B	146 di 341

SLU_Gr_2A_S1_25	Linear Static	1_G1_trave	1.35		
SLU_Gr_2A_S1_25	Linear Static	2_G1_soletta	1.35		
SLU_Gr_2A_S1_25	Linear Static	3_G1_marciapiede	1.35		
SLU_Gr_2A_S1_25	Linear Static	4_G1_traverso	1.35		
SLU_Gr_2A_S1_25	Linear Static	5_G2_veletta	1.5		
SLU_Gr_2A_S1_25	Linear Static	6_G2_impianti	1.5		
SLU_Gr_2A_S1_25	Linear Static	7_G2_parapetti	1.5		
SLU_Gr_2A_S1_25	Linear Static	8_G2_pavimentazione	1.5		
SLU_Gr_2A_S1_25	Linear Static	9_G2_sicurvia	1.5		
SLU_Gr_2A_S1_25	Linear Static	11_Q1k	1.0125		
SLU_Gr_2A_S1_25	Linear Static	10_q1k	0.54		
SLU_Gr_2A_S1_25	Linear Static	13_Q2k	1.0125		
SLU_Gr_2A_S1_25	Linear Static	12_q2k	0.54		
SLU_Gr_2A_S1_25	Linear Static	16_Q_zr	1.0125		
SLU_Gr_2A_S1_25	Linear Static	17_qfk	0.375		
SLU_Gr_2A_S1_25	Linear Static	20_q4_centr	0		
SLU_Gr_2A_S1_25	Linear Static	19_q3_frenatura	0.54		
SLU_Gr_2A_S1_25	Linear Static	15_Q3k	1.0125		
SLU_Gr_2A_S1_25	Linear Static	14_q3k	0.54		
SLU_Gr_2A_S1_25	Response Combo	24_q_vento_tot	0.9		
SLU_Gr_2A_S1_25	Linear Static	23_q_temp F	0		
SLU_Gr_2A_S1_25	Linear Static	22_q_ritiro	1.2		
SLU_Gr_2A_S1_25	Linear Static	21_q8	0		
SLU_Gr_2A_S1_26	Linear Add	No Linear Static	DEAD	1.35	None
SLU_Gr_2A_S1_26	Linear Static	1_G1_trave	1.35		
SLU_Gr_2A_S1_26	Linear Static	2_G1_soletta	1.35		
SLU_Gr_2A_S1_26	Linear Static	3_G1_marciapiede	1.35		
SLU_Gr_2A_S1_26	Linear Static	4_G1_traverso	1.35		
SLU_Gr_2A_S1_26	Linear Static	5_G2_veletta	1.5		
SLU_Gr_2A_S1_26	Linear Static	6_G2_impianti	1.5		
SLU_Gr_2A_S1_26	Linear Static	7_G2_parapetti	1.5		
SLU_Gr_2A_S1_26	Linear Static	8_G2_pavimentazione	1.5		
SLU_Gr_2A_S1_26	Linear Static	9_G2_sicurvia	1.5		
SLU_Gr_2A_S1_26	Linear Static	11_Q1k	0		
SLU_Gr_2A_S1_26	Linear Static	10_q1k	0		
SLU_Gr_2A_S1_26	Linear Static	13_Q2k	0		
SLU_Gr_2A_S1_26	Linear Static	12_q2k	0		
SLU_Gr_2A_S1_26	Linear Static	16_Q_zr	0		
SLU_Gr_2A_S1_26	Linear Static	17_qfk	0.375		
SLU_Gr_2A_S1_26	Linear Static	20_q4_centr	0		
SLU_Gr_2A_S1_26	Linear Static	19_q3_frenatura	0		
SLU_Gr_2A_S1_26	Linear Static	15_Q3k	0		
SLU_Gr_2A_S1_26	Linear Static	14_q3k	0		
SLU_Gr_2A_S1_26	Response Combo	24_q_vento_tot	0.9		
SLU_Gr_2A_S1_26	Linear Static	23_q_temp F	1.2		
SLU_Gr_2A_S1_26	Linear Static	22_q_ritiro	1.2		
SLU_Gr_2A_S1_26	Linear Static	21_q8	0		
SLU_Gr_2A_S1_27	Linear Add	No Linear Static	DEAD	1.35	None
SLU_Gr_2A_S1_27	Linear Static	1_G1_trave	1.35		
SLU_Gr_2A_S1_27	Linear Static	2_G1_soletta	1.35		
SLU_Gr_2A_S1_27	Linear Static	3_G1_marciapiede	1.35		
SLU_Gr_2A_S1_27	Linear Static	4_G1_traverso	1.35		
SLU_Gr_2A_S1_27	Linear Static	5_G2_veletta	1.5		
SLU_Gr_2A_S1_27	Linear Static	6_G2_impianti	1.5		
SLU_Gr_2A_S1_27	Linear Static	7_G2_parapetti	1.5		
SLU_Gr_2A_S1_27	Linear Static	8_G2_pavimentazione	1.5		
SLU_Gr_2A_S1_27	Linear Static	9_G2_sicurvia	1.5		
SLU_Gr_2A_S1_27	Linear Static	11_Q1k	0		
SLU_Gr_2A_S1_27	Linear Static	10_q1k	0		
SLU_Gr_2A_S1_27	Linear Static	13_Q2k	0		
SLU_Gr_2A_S1_27	Linear Static	12_q2k	0		
SLU_Gr_2A_S1_27	Linear Static	16_Q_zr	0		

RELAZIONE DI CALCOLO

COMMESSA	LOTTO	CODIFICA	DOCUMENTO	REV.	FOGLIO
NRLJ	01 D 29	CL	IV0104 001	B	147 di 341

SLU_Gr_2A_S1_27	Linear Static	17_qfk	0.375		
SLU_Gr_2A_S1_27	Linear Static	20_q4_centr	0		
SLU_Gr_2A_S1_27	Linear Static	19_q3_frenatura	0		
SLU_Gr_2A_S1_27	Linear Static	15_Q3k	0		
SLU_Gr_2A_S1_27	Linear Static	14_q3k	0		
SLU_Gr_2A_S1_27	Response Combo	24_q_vento_tot	0.9		
SLU_Gr_2A_S1_27	Linear Static	23_q_temp F	0		
SLU_Gr_2A_S1_27	Linear Static	22_q_ritiro	1.2		
SLU_Gr_2A_S1_27	Linear Static	21_q8	0		
SLU_Gr_2A_S1_28	Linear Add	No Linear Static	DEAD	1.35	None
SLU_Gr_2A_S1_28	Linear Static	1_G1_trave	1.35		
SLU_Gr_2A_S1_28	Linear Static	2_G1_soletta	1.35		
SLU_Gr_2A_S1_28	Linear Static	3_G1_marciapiede	1.35		
SLU_Gr_2A_S1_28	Linear Static	4_G1_traverso	1.35		
SLU_Gr_2A_S1_28	Linear Static	5_G2_veletta	1.5		
SLU_Gr_2A_S1_28	Linear Static	6_G2_impianti	1.5		
SLU_Gr_2A_S1_28	Linear Static	7_G2_parapetti	1.5		
SLU_Gr_2A_S1_28	Linear Static	8_G2_pavimentazione	1.5		
SLU_Gr_2A_S1_28	Linear Static	9_G2_sicurvia	1.5		
SLU_Gr_2A_S1_28	Linear Static	11_Q1k	0		
SLU_Gr_2A_S1_28	Linear Static	10_q1k	0		
SLU_Gr_2A_S1_28	Linear Static	13_Q2k	0		
SLU_Gr_2A_S1_28	Linear Static	12_q2k	0		
SLU_Gr_2A_S1_28	Linear Static	16_Q_zr	0		
SLU_Gr_2A_S1_28	Linear Static	17_qfk	0.375		
SLU_Gr_2A_S1_28	Linear Static	20_q4_centr	0		
SLU_Gr_2A_S1_28	Linear Static	19_q3_frenatura	0		
SLU_Gr_2A_S1_28	Linear Static	15_Q3k	0		
SLU_Gr_2A_S1_28	Linear Static	14_q3k	0		
SLU_Gr_2A_S1_28	Response Combo	24_q_vento_tot	0.9		
SLU_Gr_2A_S1_28	Linear Static	23_q_temp F	0		
SLU_Gr_2A_S1_28	Linear Static	22_q_ritiro	1.2		
SLU_Gr_2A_S1_28	Linear Static	21_q8	0		
SLU_Gr_2A_S1_29	Linear Add	No Linear Static	DEAD	1.35	None
SLU_Gr_2A_S1_29	Linear Static	1_G1_trave	1.35		
SLU_Gr_2A_S1_29	Linear Static	2_G1_soletta	1.35		
SLU_Gr_2A_S1_29	Linear Static	3_G1_marciapiede	1.35		
SLU_Gr_2A_S1_29	Linear Static	4_G1_traverso	1.35		
SLU_Gr_2A_S1_29	Linear Static	5_G2_veletta	1.5		
SLU_Gr_2A_S1_29	Linear Static	6_G2_impianti	1.5		
SLU_Gr_2A_S1_29	Linear Static	7_G2_parapetti	1.5		
SLU_Gr_2A_S1_29	Linear Static	8_G2_pavimentazione	1.5		
SLU_Gr_2A_S1_29	Linear Static	9_G2_sicurvia	1.5		
SLU_Gr_2A_S1_29	Linear Static	11_Q1k	0		
SLU_Gr_2A_S1_29	Linear Static	10_q1k	0		
SLU_Gr_2A_S1_29	Linear Static	13_Q2k	0		
SLU_Gr_2A_S1_29	Linear Static	12_q2k	0		
SLU_Gr_2A_S1_29	Linear Static	16_Q_zr	0		
SLU_Gr_2A_S1_29	Linear Static	17_qfk	0.375		
SLU_Gr_2A_S1_29	Linear Static	20_q4_centr	0		
SLU_Gr_2A_S1_29	Linear Static	19_q3_frenatura	0		
SLU_Gr_2A_S1_29	Linear Static	15_Q3k	0		
SLU_Gr_2A_S1_29	Linear Static	14_q3k	0		
SLU_Gr_2A_S1_29	Response Combo	24_q_vento_tot	0.9		
SLU_Gr_2A_S1_29	Linear Static	23_q_temp F	1.2		
SLU_Gr_2A_S1_29	Linear Static	22_q_ritiro	1.2		
SLU_Gr_2A_S1_29	Linear Static	21_q8	0		
SLU_Gr_2A_S1_30	Linear Add	No Linear Static	DEAD	1.35	None
SLU_Gr_2A_S1_30	Linear Static	1_G1_trave	1.35		
SLU_Gr_2A_S1_30	Linear Static	2_G1_soletta	1.35		
SLU_Gr_2A_S1_30	Linear Static	3_G1_marciapiede	1.35		
SLU_Gr_2A_S1_30	Linear Static	4_G1_traverso	1.35		

RELAZIONE DI CALCOLO

COMMESSA	LOTTO	CODIFICA	DOCUMENTO	REV.	FOGLIO
NRLJ	01 D 29	CL	IV0104 001	B	148 di 341

SLU_Gr_2A_S1_30	Linear Static	5_G2_veletta	1.5		
SLU_Gr_2A_S1_30	Linear Static	6_G2_impianti	1.5		
SLU_Gr_2A_S1_30	Linear Static	7_G2_parapetti	1.5		
SLU_Gr_2A_S1_30	Linear Static	8_G2_pavimentazione	1.5		
SLU_Gr_2A_S1_30	Linear Static	9_G2_sicurvia	1.5		
SLU_Gr_2A_S1_30	Linear Static	11_Q1k	0		
SLU_Gr_2A_S1_30	Linear Static	10_q1k	0		
SLU_Gr_2A_S1_30	Linear Static	13_Q2k	0		
SLU_Gr_2A_S1_30	Linear Static	12_q2k	0		
SLU_Gr_2A_S1_30	Linear Static	16_Q_zr	0		
SLU_Gr_2A_S1_30	Linear Static	17_qfk	0.375		
SLU_Gr_2A_S1_30	Linear Static	20_q4_centr	0		
SLU_Gr_2A_S1_30	Linear Static	19_q3_frenatura	0		
SLU_Gr_2A_S1_30	Linear Static	15_Q3k	0		
SLU_Gr_2A_S1_30	Linear Static	14_q3k	0		
SLU_Gr_2A_S1_30	Response Combo	24_q_vento_tot	0.9		
SLU_Gr_2A_S1_30	Linear Static	23_q_temp F	0		
SLU_Gr_2A_S1_30	Linear Static	22_q_ritiro	1.2		
SLU_Gr_2A_S1_30	Linear Static	21_q8	0		
SLU_Gr_2A_S1_31	Linear Add	No Linear Static	DEAD	1.35	None
SLU_Gr_2A_S1_31	Linear Static	1_G1_trave	1.35		
SLU_Gr_2A_S1_31	Linear Static	2_G1_soletta	1.35		
SLU_Gr_2A_S1_31	Linear Static	3_G1_marciapiede	1.35		
SLU_Gr_2A_S1_31	Linear Static	4_G1_traverso	1.35		
SLU_Gr_2A_S1_31	Linear Static	5_G2_veletta	1.5		
SLU_Gr_2A_S1_31	Linear Static	6_G2_impianti	1.5		
SLU_Gr_2A_S1_31	Linear Static	7_G2_parapetti	1.5		
SLU_Gr_2A_S1_31	Linear Static	8_G2_pavimentazione	1.5		
SLU_Gr_2A_S1_31	Linear Static	9_G2_sicurvia	1.5		
SLU_Gr_2A_S1_31	Linear Static	11_Q1k	1.0125		
SLU_Gr_2A_S1_31	Linear Static	10_q1k	0.54		
SLU_Gr_2A_S1_31	Linear Static	13_Q2k	1.0125		
SLU_Gr_2A_S1_31	Linear Static	12_q2k	0.54		
SLU_Gr_2A_S1_31	Linear Static	16_Q_zr	1.0125		
SLU_Gr_2A_S1_31	Linear Static	17_qfk	0.375		
SLU_Gr_2A_S1_31	Linear Static	20_q4_centr	0		
SLU_Gr_2A_S1_31	Linear Static	19_q3_frenatura	0.54		
SLU_Gr_2A_S1_31	Linear Static	15_Q3k	1.0125		
SLU_Gr_2A_S1_31	Linear Static	14_q3k	0.54		
SLU_Gr_2A_S1_31	Response Combo	24_q_vento_tot	0.9		
SLU_Gr_2A_S1_31	Linear Static	23_q_temp F	0.72		
SLU_Gr_2A_S1_31	Linear Static	22_q_ritiro	1.2		
SLU_Gr_2A_S1_31	Linear Static	21_q8	0		
SLU_Gr_2A_S1_32	Linear Add	No Linear Static	DEAD	1.35	None
SLU_Gr_2A_S1_32	Linear Static	1_G1_trave	1.35		
SLU_Gr_2A_S1_32	Linear Static	2_G1_soletta	1.35		
SLU_Gr_2A_S1_32	Linear Static	3_G1_marciapiede	1.35		
SLU_Gr_2A_S1_32	Linear Static	4_G1_traverso	1.35		
SLU_Gr_2A_S1_32	Linear Static	5_G2_veletta	1.5		
SLU_Gr_2A_S1_32	Linear Static	6_G2_impianti	1.5		
SLU_Gr_2A_S1_32	Linear Static	7_G2_parapetti	1.5		
SLU_Gr_2A_S1_32	Linear Static	8_G2_pavimentazione	1.5		
SLU_Gr_2A_S1_32	Linear Static	9_G2_sicurvia	1.5		
SLU_Gr_2A_S1_32	Linear Static	11_Q1k	1.0125		
SLU_Gr_2A_S1_32	Linear Static	10_q1k	0.54		
SLU_Gr_2A_S1_32	Linear Static	13_Q2k	1.0125		
SLU_Gr_2A_S1_32	Linear Static	12_q2k	0.54		
SLU_Gr_2A_S1_32	Linear Static	16_Q_zr	1.0125		
SLU_Gr_2A_S1_32	Linear Static	17_qfk	0.375		
SLU_Gr_2A_S1_32	Linear Static	20_q4_centr	0		
SLU_Gr_2A_S1_32	Linear Static	19_q3_frenatura	0.54		
SLU_Gr_2A_S1_32	Linear Static	15_Q3k	1.0125		

RELAZIONE DI CALCOLO

COMMESSA	LOTTO	CODIFICA	DOCUMENTO	REV.	FOGLIO
NRLJ	01 D 29	CL	IV0104 001	B	149 di 341

SLU_Gr_2A_S1_32	Linear Static	14_q3k	0.54		
SLU_Gr_2A_S1_32	Response Combo	24_q_vento_tot	0.9		
SLU_Gr_2A_S1_32	Linear Static	23_q_temp F	0		
SLU_Gr_2A_S1_32	Linear Static	22_q_ritiro	1.2		
SLU_Gr_2A_S1_32	Linear Static	21_q8	0		
SLU_Gr_2A_S1_33	Linear Add	No Linear Static	DEAD	1.35	None
SLU_Gr_2A_S1_33	Linear Static	1_G1_trave	1.35		
SLU_Gr_2A_S1_33	Linear Static	2_G1_soletta	1.35		
SLU_Gr_2A_S1_33	Linear Static	3_G1_marciapiede	1.35		
SLU_Gr_2A_S1_33	Linear Static	4_G1_traverso	1.35		
SLU_Gr_2A_S1_33	Linear Static	5_G2_veletta	1.5		
SLU_Gr_2A_S1_33	Linear Static	6_G2_impianti	1.5		
SLU_Gr_2A_S1_33	Linear Static	7_G2_parapetti	1.5		
SLU_Gr_2A_S1_33	Linear Static	8_G2_pavimentazione	1.5		
SLU_Gr_2A_S1_33	Linear Static	9_G2_sicurvia	1.5		
SLU_Gr_2A_S1_33	Linear Static	11_Q1k	1.0125		
SLU_Gr_2A_S1_33	Linear Static	10_q1k	0.54		
SLU_Gr_2A_S1_33	Linear Static	13_Q2k	1.0125		
SLU_Gr_2A_S1_33	Linear Static	12_q2k	0.54		
SLU_Gr_2A_S1_33	Linear Static	16_Q_zr	1.0125		
SLU_Gr_2A_S1_33	Linear Static	17_qfk	0.375		
SLU_Gr_2A_S1_33	Linear Static	20_q4_centra	0		
SLU_Gr_2A_S1_33	Linear Static	19_q3_frenatura	0.54		
SLU_Gr_2A_S1_33	Linear Static	15_Q3k	1.0125		
SLU_Gr_2A_S1_33	Linear Static	14_q3k	0.54		
SLU_Gr_2A_S1_33	Response Combo	24_q_vento_tot	0.9		
SLU_Gr_2A_S1_33	Linear Static	23_q_temp F	0		
SLU_Gr_2A_S1_33	Linear Static	22_q_ritiro	1.2		
SLU_Gr_2A_S1_33	Linear Static	21_q8	0		
SLU_Gr_2A_S1_34	Linear Add	No Linear Static	DEAD	1.35	None
SLU_Gr_2A_S1_34	Linear Static	1_G1_trave	1.35		
SLU_Gr_2A_S1_34	Linear Static	2_G1_soletta	1.35		
SLU_Gr_2A_S1_34	Linear Static	3_G1_marciapiede	1.35		
SLU_Gr_2A_S1_34	Linear Static	4_G1_traverso	1.35		
SLU_Gr_2A_S1_34	Linear Static	5_G2_veletta	1.5		
SLU_Gr_2A_S1_34	Linear Static	6_G2_impianti	1.5		
SLU_Gr_2A_S1_34	Linear Static	7_G2_parapetti	1.5		
SLU_Gr_2A_S1_34	Linear Static	8_G2_pavimentazione	1.5		
SLU_Gr_2A_S1_34	Linear Static	9_G2_sicurvia	1.5		
SLU_Gr_2A_S1_34	Linear Static	11_Q1k	1.0125		
SLU_Gr_2A_S1_34	Linear Static	10_q1k	0.54		
SLU_Gr_2A_S1_34	Linear Static	13_Q2k	1.0125		
SLU_Gr_2A_S1_34	Linear Static	12_q2k	0.54		
SLU_Gr_2A_S1_34	Linear Static	16_Q_zr	1.0125		
SLU_Gr_2A_S1_34	Linear Static	17_qfk	0.375		
SLU_Gr_2A_S1_34	Linear Static	20_q4_centra	0		
SLU_Gr_2A_S1_34	Linear Static	19_q3_frenatura	0.54		
SLU_Gr_2A_S1_34	Linear Static	15_Q3k	1.0125		
SLU_Gr_2A_S1_34	Linear Static	14_q3k	0.54		
SLU_Gr_2A_S1_34	Response Combo	24_q_vento_tot	0.9		
SLU_Gr_2A_S1_34	Linear Static	23_q_temp F	0.72		
SLU_Gr_2A_S1_34	Linear Static	22_q_ritiro	1.2		
SLU_Gr_2A_S1_34	Linear Static	21_q8	0		
SLU_Gr_2A_S1_35	Linear Add	No Linear Static	DEAD	1.35	None
SLU_Gr_2A_S1_35	Linear Static	1_G1_trave	1.35		
SLU_Gr_2A_S1_35	Linear Static	2_G1_soletta	1.35		
SLU_Gr_2A_S1_35	Linear Static	3_G1_marciapiede	1.35		
SLU_Gr_2A_S1_35	Linear Static	4_G1_traverso	1.35		
SLU_Gr_2A_S1_35	Linear Static	5_G2_veletta	1.5		
SLU_Gr_2A_S1_35	Linear Static	6_G2_impianti	1.5		
SLU_Gr_2A_S1_35	Linear Static	7_G2_parapetti	1.5		
SLU_Gr_2A_S1_35	Linear Static	8_G2_pavimentazione	1.5		

RELAZIONE DI CALCOLO

COMMESSA	LOTTO	CODIFICA	DOCUMENTO	REV.	FOGLIO
NRLJ	01 D 29	CL	IV0104 001	B	150 di 341

SLU_Gr_2A_S1_35	Linear Static	9_G2_sicurvia	1.5		
SLU_Gr_2A_S1_35	Linear Static	11_Q1k	1.0125		
SLU_Gr_2A_S1_35	Linear Static	10_q1k	0.54		
SLU_Gr_2A_S1_35	Linear Static	13_Q2k	1.0125		
SLU_Gr_2A_S1_35	Linear Static	12_q2k	0.54		
SLU_Gr_2A_S1_35	Linear Static	16_Q_zr	1.0125		
SLU_Gr_2A_S1_35	Linear Static	17_qfk	0.375		
SLU_Gr_2A_S1_35	Linear Static	20_q4_centr	0		
SLU_Gr_2A_S1_35	Linear Static	19_q3_frenatura	0.54		
SLU_Gr_2A_S1_35	Linear Static	15_Q3k	1.0125		
SLU_Gr_2A_S1_35	Linear Static	14_q3k	0.54		
SLU_Gr_2A_S1_35	Response Combo	24_q_vento_tot	0.9		
SLU_Gr_2A_S1_35	Linear Static	23_q_temp F	0		
SLU_Gr_2A_S1_35	Linear Static	22_q_ritiro	1.2		
SLU_Gr_2A_S1_35	Linear Static	21_q8	0		
SLU_Gr_2A_S1_36	Linear Add	No Linear Static	DEAD	1.35	None
SLU_Gr_2A_S1_36	Linear Static	1_G1_trave	1.35		
SLU_Gr_2A_S1_36	Linear Static	2_G1_soletta	1.35		
SLU_Gr_2A_S1_36	Linear Static	3_G1_marciapiede	1.35		
SLU_Gr_2A_S1_36	Linear Static	4_G1_traverso	1.35		
SLU_Gr_2A_S1_36	Linear Static	5_G2_veletta	1.5		
SLU_Gr_2A_S1_36	Linear Static	6_G2_impianti	1.5		
SLU_Gr_2A_S1_36	Linear Static	7_G2_parapetti	1.5		
SLU_Gr_2A_S1_36	Linear Static	8_G2_pavimentazione	1.5		
SLU_Gr_2A_S1_36	Linear Static	9_G2_sicurvia	1.5		
SLU_Gr_2A_S1_36	Linear Static	11_Q1k	0		
SLU_Gr_2A_S1_36	Linear Static	10_q1k	0		
SLU_Gr_2A_S1_36	Linear Static	13_Q2k	0		
SLU_Gr_2A_S1_36	Linear Static	12_q2k	0		
SLU_Gr_2A_S1_36	Linear Static	16_Q_zr	0		
SLU_Gr_2A_S1_36	Linear Static	17_qfk	0.375		
SLU_Gr_2A_S1_36	Linear Static	20_q4_centr	0		
SLU_Gr_2A_S1_36	Linear Static	19_q3_frenatura	0		
SLU_Gr_2A_S1_36	Linear Static	15_Q3k	0		
SLU_Gr_2A_S1_36	Linear Static	14_q3k	0		
SLU_Gr_2A_S1_36	Response Combo	24_q_vento_tot	0.9		
SLU_Gr_2A_S1_36	Linear Static	23_q_temp F	0.72		
SLU_Gr_2A_S1_36	Linear Static	22_q_ritiro	1.2		
SLU_Gr_2A_S1_36	Linear Static	21_q8	0		
SLU_Gr_2A_S1_37	Linear Add	No Linear Static	DEAD	1.35	None
SLU_Gr_2A_S1_37	Linear Static	1_G1_trave	1.35		
SLU_Gr_2A_S1_37	Linear Static	2_G1_soletta	1.35		
SLU_Gr_2A_S1_37	Linear Static	3_G1_marciapiede	1.35		
SLU_Gr_2A_S1_37	Linear Static	4_G1_traverso	1.35		
SLU_Gr_2A_S1_37	Linear Static	5_G2_veletta	1.5		
SLU_Gr_2A_S1_37	Linear Static	6_G2_impianti	1.5		
SLU_Gr_2A_S1_37	Linear Static	7_G2_parapetti	1.5		
SLU_Gr_2A_S1_37	Linear Static	8_G2_pavimentazione	1.5		
SLU_Gr_2A_S1_37	Linear Static	9_G2_sicurvia	1.5		
SLU_Gr_2A_S1_37	Linear Static	11_Q1k	0		
SLU_Gr_2A_S1_37	Linear Static	10_q1k	0		
SLU_Gr_2A_S1_37	Linear Static	13_Q2k	0		
SLU_Gr_2A_S1_37	Linear Static	12_q2k	0		
SLU_Gr_2A_S1_37	Linear Static	16_Q_zr	0		
SLU_Gr_2A_S1_37	Linear Static	17_qfk	0.375		
SLU_Gr_2A_S1_37	Linear Static	20_q4_centr	0		
SLU_Gr_2A_S1_37	Linear Static	19_q3_frenatura	0		
SLU_Gr_2A_S1_37	Linear Static	15_Q3k	0		
SLU_Gr_2A_S1_37	Linear Static	14_q3k	0		
SLU_Gr_2A_S1_37	Response Combo	24_q_vento_tot	0.9		
SLU_Gr_2A_S1_37	Linear Static	23_q_temp F	0		
SLU_Gr_2A_S1_37	Linear Static	22_q_ritiro	1.2		

RELAZIONE DI CALCOLO

COMMESSA	LOTTO	CODIFICA	DOCUMENTO	REV.	FOGLIO
NRLJ	01 D 29	CL	IV0104 001	B	151 di 341

SLU_Gr_2A_S1_37		Linear Static	21_q8	0		
SLU_Gr_2A_S1_38	Linear Add	No	Linear Static	DEAD	1.35	None
SLU_Gr_2A_S1_38		Linear Static	1_G1_trave	1.35		
SLU_Gr_2A_S1_38		Linear Static	2_G1_soletta	1.35		
SLU_Gr_2A_S1_38		Linear Static	3_G1_marciapiede	1.35		
SLU_Gr_2A_S1_38		Linear Static	4_G1_traverso	1.35		
SLU_Gr_2A_S1_38		Linear Static	5_G2_veletta	1.5		
SLU_Gr_2A_S1_38		Linear Static	6_G2_impianti	1.5		
SLU_Gr_2A_S1_38		Linear Static	7_G2_parapetti	1.5		
SLU_Gr_2A_S1_38		Linear Static	8_G2_pavimentazione	1.5		
SLU_Gr_2A_S1_38		Linear Static	9_G2_sicurvia	1.5		
SLU_Gr_2A_S1_38		Linear Static	11_Q1k	0		
SLU_Gr_2A_S1_38		Linear Static	10_q1k	0		
SLU_Gr_2A_S1_38		Linear Static	13_Q2k	0		
SLU_Gr_2A_S1_38		Linear Static	12_q2k	0		
SLU_Gr_2A_S1_38		Linear Static	16_Q_zr	0		
SLU_Gr_2A_S1_38		Linear Static	17_qfk	0.375		
SLU_Gr_2A_S1_38		Linear Static	20_q4_centr	0		
SLU_Gr_2A_S1_38		Linear Static	19_q3_frenatura	0		
SLU_Gr_2A_S1_38		Linear Static	15_Q3k	0		
SLU_Gr_2A_S1_38		Linear Static	14_q3k	0		
SLU_Gr_2A_S1_38		Response Combo	24_q_vento_tot	0.9		
SLU_Gr_2A_S1_38		Linear Static	23_q_temp F	0		
SLU_Gr_2A_S1_38		Linear Static	22_q_ritiro	1.2		
SLU_Gr_2A_S1_38		Linear Static	21_q8	0		
SLU_Gr_2A_S1_39	Linear Add	No	Linear Static	DEAD	1.35	None
SLU_Gr_2A_S1_39		Linear Static	1_G1_trave	1.35		
SLU_Gr_2A_S1_39		Linear Static	2_G1_soletta	1.35		
SLU_Gr_2A_S1_39		Linear Static	3_G1_marciapiede	1.35		
SLU_Gr_2A_S1_39		Linear Static	4_G1_traverso	1.35		
SLU_Gr_2A_S1_39		Linear Static	5_G2_veletta	1.5		
SLU_Gr_2A_S1_39		Linear Static	6_G2_impianti	1.5		
SLU_Gr_2A_S1_39		Linear Static	7_G2_parapetti	1.5		
SLU_Gr_2A_S1_39		Linear Static	8_G2_pavimentazione	1.5		
SLU_Gr_2A_S1_39		Linear Static	9_G2_sicurvia	1.5		
SLU_Gr_2A_S1_39		Linear Static	11_Q1k	0		
SLU_Gr_2A_S1_39		Linear Static	10_q1k	0		
SLU_Gr_2A_S1_39		Linear Static	13_Q2k	0		
SLU_Gr_2A_S1_39		Linear Static	12_q2k	0		
SLU_Gr_2A_S1_39		Linear Static	16_Q_zr	0		
SLU_Gr_2A_S1_39		Linear Static	17_qfk	0.375		
SLU_Gr_2A_S1_39		Linear Static	20_q4_centr	0		
SLU_Gr_2A_S1_39		Linear Static	19_q3_frenatura	0		
SLU_Gr_2A_S1_39		Linear Static	15_Q3k	0		
SLU_Gr_2A_S1_39		Linear Static	14_q3k	0		
SLU_Gr_2A_S1_39		Response Combo	24_q_vento_tot	0.9		
SLU_Gr_2A_S1_39		Linear Static	23_q_temp F	0.72		
SLU_Gr_2A_S1_39		Linear Static	22_q_ritiro	1.2		
SLU_Gr_2A_S1_39		Linear Static	21_q8	0		
SLU_Gr_2A_S1_40	Linear Add	No	Linear Static	DEAD	1.35	None
SLU_Gr_2A_S1_40		Linear Static	1_G1_trave	1.35		
SLU_Gr_2A_S1_40		Linear Static	2_G1_soletta	1.35		
SLU_Gr_2A_S1_40		Linear Static	3_G1_marciapiede	1.35		
SLU_Gr_2A_S1_40		Linear Static	4_G1_traverso	1.35		
SLU_Gr_2A_S1_40		Linear Static	5_G2_veletta	1.5		
SLU_Gr_2A_S1_40		Linear Static	6_G2_impianti	1.5		
SLU_Gr_2A_S1_40		Linear Static	7_G2_parapetti	1.5		
SLU_Gr_2A_S1_40		Linear Static	8_G2_pavimentazione	1.5		
SLU_Gr_2A_S1_40		Linear Static	9_G2_sicurvia	1.5		
SLU_Gr_2A_S1_40		Linear Static	11_Q1k	0		
SLU_Gr_2A_S1_40		Linear Static	10_q1k	0		
SLU_Gr_2A_S1_40		Linear Static	13_Q2k	0		

RELAZIONE DI CALCOLO

COMMESSA	LOTTO	CODIFICA	DOCUMENTO	REV.	FOGLIO
NRIJ	01 D 29	CL	IV0104 001	B	152 di 341

SLU_Gr_2A_S1_40	Linear Static	12_q2k	0		
SLU_Gr_2A_S1_40	Linear Static	16_Q_zr	0		
SLU_Gr_2A_S1_40	Linear Static	17_qfk	0.375		
SLU_Gr_2A_S1_40	Linear Static	20_q4_centr	0		
SLU_Gr_2A_S1_40	Linear Static	19_q3_frenatura	0		
SLU_Gr_2A_S1_40	Linear Static	15_Q3k	0		
SLU_Gr_2A_S1_40	Linear Static	14_q3k	0		
SLU_Gr_2A_S1_40	Response Combo	24_q_vento_tot	0.9		
SLU_Gr_2A_S1_40	Linear Static	23_q_temp F	0		
SLU_Gr_2A_S1_40	Linear Static	22_q_ritiro	1.2		
SLU_Gr_2A_S1_40	Linear Static	21_q8	0		
SLERR_Gr_1_S1_1	Linear Add	No Linear Static	DEAD	1	None
SLERR_Gr_1_S1_1	Linear Static	1_G1_trave	1		
SLERR_Gr_1_S1_1	Linear Static	2_G1_soletta	1		
SLERR_Gr_1_S1_1	Linear Static	3_G1_marciapiede	1		
SLERR_Gr_1_S1_1	Linear Static	4_G1_traverso	1		
SLERR_Gr_1_S1_1	Linear Static	5_G2_veletta	1		
SLERR_Gr_1_S1_1	Linear Static	6_G2_impianti	1		
SLERR_Gr_1_S1_1	Linear Static	7_G2_parapetti	1		
SLERR_Gr_1_S1_1	Linear Static	8_G2_pavimentazione	1		
SLERR_Gr_1_S1_1	Linear Static	9_G2_sicurvia	1		
SLERR_Gr_1_S1_1	Linear Static	11_Q1k	1		
SLERR_Gr_1_S1_1	Linear Static	10_q1k	1		
SLERR_Gr_1_S1_1	Linear Static	13_Q2k	1		
SLERR_Gr_1_S1_1	Linear Static	12_q2k	1		
SLERR_Gr_1_S1_1	Linear Static	16_Q_zr	1		
SLERR_Gr_1_S1_1	Linear Static	17_qfk	0		
SLERR_Gr_1_S1_1	Linear Static	20_q4_centr	0		
SLERR_Gr_1_S1_1	Linear Static	19_q3_frenatura	0		
SLERR_Gr_1_S1_1	Linear Static	15_Q3k	1		
SLERR_Gr_1_S1_1	Linear Static	14_q3k	1		
SLERR_Gr_1_S1_1	Response Combo	24_q_vento_tot	0		
SLERR_Gr_1_S1_1	Linear Static	23_q_temp F	0.6		
SLERR_Gr_1_S1_1	Linear Static	22_q_ritiro	1		
SLERR_Gr_1_S1_1	Linear Static	21_q8	0		
SLERR_Gr_1_S1_2	Linear Add	No Linear Static	DEAD	1	None
SLERR_Gr_1_S1_2	Linear Static	1_G1_trave	1		
SLERR_Gr_1_S1_2	Linear Static	2_G1_soletta	1		
SLERR_Gr_1_S1_2	Linear Static	3_G1_marciapiede	1		
SLERR_Gr_1_S1_2	Linear Static	4_G1_traverso	1		
SLERR_Gr_1_S1_2	Linear Static	5_G2_veletta	1		
SLERR_Gr_1_S1_2	Linear Static	6_G2_impianti	1		
SLERR_Gr_1_S1_2	Linear Static	7_G2_parapetti	1		
SLERR_Gr_1_S1_2	Linear Static	8_G2_pavimentazione	1		
SLERR_Gr_1_S1_2	Linear Static	9_G2_sicurvia	1		
SLERR_Gr_1_S1_2	Linear Static	11_Q1k	1		
SLERR_Gr_1_S1_2	Linear Static	10_q1k	1		
SLERR_Gr_1_S1_2	Linear Static	13_Q2k	1		
SLERR_Gr_1_S1_2	Linear Static	12_q2k	1		
SLERR_Gr_1_S1_2	Linear Static	16_Q_zr	1		
SLERR_Gr_1_S1_2	Linear Static	17_qfk	0		
SLERR_Gr_1_S1_2	Linear Static	20_q4_centr	0		
SLERR_Gr_1_S1_2	Linear Static	19_q3_frenatura	0		
SLERR_Gr_1_S1_2	Linear Static	15_Q3k	1		
SLERR_Gr_1_S1_2	Linear Static	14_q3k	1		
SLERR_Gr_1_S1_2	Response Combo	24_q_vento_tot	0		
SLERR_Gr_1_S1_2	Linear Static	23_q_temp F	0		
SLERR_Gr_1_S1_2	Linear Static	22_q_ritiro	1		
SLERR_Gr_1_S1_2	Linear Static	21_q8	0		
SLERR_Gr_1_S1_3	Linear Add	No Linear Static	DEAD	1	None
SLERR_Gr_1_S1_3	Linear Static	1_G1_trave	1		
SLERR_Gr_1_S1_3	Linear Static	2_G1_soletta	1		

RELAZIONE DI CALCOLO

COMMESSA	LOTTO	CODIFICA	DOCUMENTO	REV.	FOGLIO
NRIJ	01 D 29	CL	IV0104 001	B	153 di 341

SLERR_Gr_1_S1_3	Linear Static	3_G1_marciapiede	1		
SLERR_Gr_1_S1_3	Linear Static	4_G1_traverso	1		
SLERR_Gr_1_S1_3	Linear Static	5_G2_veletta	1		
SLERR_Gr_1_S1_3	Linear Static	6_G2_impianti	1		
SLERR_Gr_1_S1_3	Linear Static	7_G2_parapetti	1		
SLERR_Gr_1_S1_3	Linear Static	8_G2_pavimentazione	1		
SLERR_Gr_1_S1_3	Linear Static	9_G2_sicurvia	1		
SLERR_Gr_1_S1_3	Linear Static	11_Q1k	1		
SLERR_Gr_1_S1_3	Linear Static	10_q1k	1		
SLERR_Gr_1_S1_3	Linear Static	13_Q2k	1		
SLERR_Gr_1_S1_3	Linear Static	12_q2k	1		
SLERR_Gr_1_S1_3	Linear Static	16_Q_zr	1		
SLERR_Gr_1_S1_3	Linear Static	17_qfk	0		
SLERR_Gr_1_S1_3	Linear Static	20_q4_centra	0		
SLERR_Gr_1_S1_3	Linear Static	19_q3_frenatura	0		
SLERR_Gr_1_S1_3	Linear Static	15_Q3k	1		
SLERR_Gr_1_S1_3	Linear Static	14_q3k	1		
SLERR_Gr_1_S1_3	Response Combo	24_q_vento_tot	0		
SLERR_Gr_1_S1_3	Linear Static	23_q_temp F	0		
SLERR_Gr_1_S1_3	Linear Static	22_q_ritiro	1		
SLERR_Gr_1_S1_3	Linear Static	21_q8	0		
SLERR_Gr_1_S1_4	Linear Add	No Linear Static	DEAD	1	None
SLERR_Gr_1_S1_4	Linear Static	1_G1_trave	1		
SLERR_Gr_1_S1_4	Linear Static	2_G1_soletta	1		
SLERR_Gr_1_S1_4	Linear Static	3_G1_marciapiede	1		
SLERR_Gr_1_S1_4	Linear Static	4_G1_traverso	1		
SLERR_Gr_1_S1_4	Linear Static	5_G2_veletta	1		
SLERR_Gr_1_S1_4	Linear Static	6_G2_impianti	1		
SLERR_Gr_1_S1_4	Linear Static	7_G2_parapetti	1		
SLERR_Gr_1_S1_4	Linear Static	8_G2_pavimentazione	1		
SLERR_Gr_1_S1_4	Linear Static	9_G2_sicurvia	1		
SLERR_Gr_1_S1_4	Linear Static	11_Q1k	1		
SLERR_Gr_1_S1_4	Linear Static	10_q1k	1		
SLERR_Gr_1_S1_4	Linear Static	13_Q2k	1		
SLERR_Gr_1_S1_4	Linear Static	12_q2k	1		
SLERR_Gr_1_S1_4	Linear Static	16_Q_zr	1		
SLERR_Gr_1_S1_4	Linear Static	17_qfk	0		
SLERR_Gr_1_S1_4	Linear Static	20_q4_centra	0		
SLERR_Gr_1_S1_4	Linear Static	19_q3_frenatura	0		
SLERR_Gr_1_S1_4	Linear Static	15_Q3k	1		
SLERR_Gr_1_S1_4	Linear Static	14_q3k	1		
SLERR_Gr_1_S1_4	Response Combo	24_q_vento_tot	0		
SLERR_Gr_1_S1_4	Linear Static	23_q_temp F	0.6		
SLERR_Gr_1_S1_4	Linear Static	22_q_ritiro	1		
SLERR_Gr_1_S1_4	Linear Static	21_q8	0		
SLERR_Gr_1_S1_5	Linear Add	No Linear Static	DEAD	1	None
SLERR_Gr_1_S1_5	Linear Static	1_G1_trave	1		
SLERR_Gr_1_S1_5	Linear Static	2_G1_soletta	1		
SLERR_Gr_1_S1_5	Linear Static	3_G1_marciapiede	1		
SLERR_Gr_1_S1_5	Linear Static	4_G1_traverso	1		
SLERR_Gr_1_S1_5	Linear Static	5_G2_veletta	1		
SLERR_Gr_1_S1_5	Linear Static	6_G2_impianti	1		
SLERR_Gr_1_S1_5	Linear Static	7_G2_parapetti	1		
SLERR_Gr_1_S1_5	Linear Static	8_G2_pavimentazione	1		
SLERR_Gr_1_S1_5	Linear Static	9_G2_sicurvia	1		
SLERR_Gr_1_S1_5	Linear Static	11_Q1k	1		
SLERR_Gr_1_S1_5	Linear Static	10_q1k	1		
SLERR_Gr_1_S1_5	Linear Static	13_Q2k	1		
SLERR_Gr_1_S1_5	Linear Static	12_q2k	1		
SLERR_Gr_1_S1_5	Linear Static	16_Q_zr	1		
SLERR_Gr_1_S1_5	Linear Static	17_qfk	0		
SLERR_Gr_1_S1_5	Linear Static	20_q4_centra	0		

RELAZIONE DI CALCOLO

COMMESSA	LOTTO	CODIFICA	DOCUMENTO	REV.	FOGLIO
NRIJ	01 D 29	CL	IV0104 001	B	154 di 341

SLERR_Gr_1_S1_5	Linear Static	19_q3_frenatura	0		
SLERR_Gr_1_S1_5	Linear Static	15_Q3k	1		
SLERR_Gr_1_S1_5	Linear Static	14_q3k	1		
SLERR_Gr_1_S1_5	Response Combo	24_q_vento_tot	0		
SLERR_Gr_1_S1_5	Linear Static	23_q_temp F	0		
SLERR_Gr_1_S1_5	Linear Static	22_q_ritiro	1		
SLERR_Gr_1_S1_5	Linear Static	21_q8	0		
SLERR_Gr_1_S1_6	Linear Add	No Linear Static	DEAD	1	None
SLERR_Gr_1_S1_6	Linear Static	1_G1_trave	1		
SLERR_Gr_1_S1_6	Linear Static	2_G1_soletta	1		
SLERR_Gr_1_S1_6	Linear Static	3_G1_marciapiede	1		
SLERR_Gr_1_S1_6	Linear Static	4_G1_traverso	1		
SLERR_Gr_1_S1_6	Linear Static	5_G2_veletta	1		
SLERR_Gr_1_S1_6	Linear Static	6_G2_impianti	1		
SLERR_Gr_1_S1_6	Linear Static	7_G2_parapetti	1		
SLERR_Gr_1_S1_6	Linear Static	8_G2_pavimentazione	1		
SLERR_Gr_1_S1_6	Linear Static	9_G2_sicurvia	1		
SLERR_Gr_1_S1_6	Linear Static	11_Q1k	0		
SLERR_Gr_1_S1_6	Linear Static	10_q1k	0		
SLERR_Gr_1_S1_6	Linear Static	13_Q2k	0		
SLERR_Gr_1_S1_6	Linear Static	12_q2k	0		
SLERR_Gr_1_S1_6	Linear Static	16_Q_zr	0		
SLERR_Gr_1_S1_6	Linear Static	17_qfk	0		
SLERR_Gr_1_S1_6	Linear Static	20_q4_centr	0		
SLERR_Gr_1_S1_6	Linear Static	19_q3_frenatura	0		
SLERR_Gr_1_S1_6	Linear Static	15_Q3k	0		
SLERR_Gr_1_S1_6	Linear Static	14_q3k	0		
SLERR_Gr_1_S1_6	Response Combo	24_q_vento_tot	0		
SLERR_Gr_1_S1_6	Linear Static	23_q_temp F	0.6		
SLERR_Gr_1_S1_6	Linear Static	22_q_ritiro	1		
SLERR_Gr_1_S1_6	Linear Static	21_q8	0		
SLERR_Gr_1_S1_7	Linear Add	No Linear Static	DEAD	1	None
SLERR_Gr_1_S1_7	Linear Static	1_G1_trave	1		
SLERR_Gr_1_S1_7	Linear Static	2_G1_soletta	1		
SLERR_Gr_1_S1_7	Linear Static	3_G1_marciapiede	1		
SLERR_Gr_1_S1_7	Linear Static	4_G1_traverso	1		
SLERR_Gr_1_S1_7	Linear Static	5_G2_veletta	1		
SLERR_Gr_1_S1_7	Linear Static	6_G2_impianti	1		
SLERR_Gr_1_S1_7	Linear Static	7_G2_parapetti	1		
SLERR_Gr_1_S1_7	Linear Static	8_G2_pavimentazione	1		
SLERR_Gr_1_S1_7	Linear Static	9_G2_sicurvia	1		
SLERR_Gr_1_S1_7	Linear Static	11_Q1k	0		
SLERR_Gr_1_S1_7	Linear Static	10_q1k	0		
SLERR_Gr_1_S1_7	Linear Static	13_Q2k	0		
SLERR_Gr_1_S1_7	Linear Static	12_q2k	0		
SLERR_Gr_1_S1_7	Linear Static	16_Q_zr	0		
SLERR_Gr_1_S1_7	Linear Static	17_qfk	0		
SLERR_Gr_1_S1_7	Linear Static	20_q4_centr	0		
SLERR_Gr_1_S1_7	Linear Static	19_q3_frenatura	0		
SLERR_Gr_1_S1_7	Linear Static	15_Q3k	0		
SLERR_Gr_1_S1_7	Linear Static	14_q3k	0		
SLERR_Gr_1_S1_7	Response Combo	24_q_vento_tot	0		
SLERR_Gr_1_S1_7	Linear Static	23_q_temp F	0		
SLERR_Gr_1_S1_7	Linear Static	22_q_ritiro	1		
SLERR_Gr_1_S1_7	Linear Static	21_q8	0		
SLERR_Gr_1_S1_8	Linear Add	No Linear Static	DEAD	1	None
SLERR_Gr_1_S1_8	Linear Static	1_G1_trave	1		
SLERR_Gr_1_S1_8	Linear Static	2_G1_soletta	1		
SLERR_Gr_1_S1_8	Linear Static	3_G1_marciapiede	1		
SLERR_Gr_1_S1_8	Linear Static	4_G1_traverso	1		
SLERR_Gr_1_S1_8	Linear Static	5_G2_veletta	1		
SLERR_Gr_1_S1_8	Linear Static	6_G2_impianti	1		

RELAZIONE DI CALCOLO

COMMESSA	LOTTO	CODIFICA	DOCUMENTO	REV.	FOGLIO
NR1J	01 D 29	CL	IV0104 001	B	155 di 341

SLERR_Gr_1_S1_8	Linear Static	7_G2_parapetti	1		
SLERR_Gr_1_S1_8	Linear Static	8_G2_pavimentazione	1		
SLERR_Gr_1_S1_8	Linear Static	9_G2_sicurvia	1		
SLERR_Gr_1_S1_8	Linear Static	11_Q1k	0		
SLERR_Gr_1_S1_8	Linear Static	10_q1k	0		
SLERR_Gr_1_S1_8	Linear Static	13_Q2k	0		
SLERR_Gr_1_S1_8	Linear Static	12_q2k	0		
SLERR_Gr_1_S1_8	Linear Static	16_Q_zr	0		
SLERR_Gr_1_S1_8	Linear Static	17_qfk	0		
SLERR_Gr_1_S1_8	Linear Static	20_q4_centr	0		
SLERR_Gr_1_S1_8	Linear Static	19_q3_frenatura	0		
SLERR_Gr_1_S1_8	Linear Static	15_Q3k	0		
SLERR_Gr_1_S1_8	Linear Static	14_q3k	0		
SLERR_Gr_1_S1_8	Response Combo	24_q_vento_tot	0		
SLERR_Gr_1_S1_8	Linear Static	23_q_temp F	0		
SLERR_Gr_1_S1_8	Linear Static	22_q_ritiro	1		
SLERR_Gr_1_S1_8	Linear Static	21_q8	0		
SLERR_Gr_1_S1_9	Linear Add	No Linear Static	DEAD	1	None
SLERR_Gr_1_S1_9	Linear Static	1_G1_trave	1		
SLERR_Gr_1_S1_9	Linear Static	2_G1_soletta	1		
SLERR_Gr_1_S1_9	Linear Static	3_G1_marciapiede	1		
SLERR_Gr_1_S1_9	Linear Static	4_G1_traverso	1		
SLERR_Gr_1_S1_9	Linear Static	5_G2_veletta	1		
SLERR_Gr_1_S1_9	Linear Static	6_G2_impianti	1		
SLERR_Gr_1_S1_9	Linear Static	7_G2_parapetti	1		
SLERR_Gr_1_S1_9	Linear Static	8_G2_pavimentazione	1		
SLERR_Gr_1_S1_9	Linear Static	9_G2_sicurvia	1		
SLERR_Gr_1_S1_9	Linear Static	11_Q1k	0		
SLERR_Gr_1_S1_9	Linear Static	10_q1k	0		
SLERR_Gr_1_S1_9	Linear Static	13_Q2k	0		
SLERR_Gr_1_S1_9	Linear Static	12_q2k	0		
SLERR_Gr_1_S1_9	Linear Static	16_Q_zr	0		
SLERR_Gr_1_S1_9	Linear Static	17_qfk	0		
SLERR_Gr_1_S1_9	Linear Static	20_q4_centr	0		
SLERR_Gr_1_S1_9	Linear Static	19_q3_frenatura	0		
SLERR_Gr_1_S1_9	Linear Static	15_Q3k	0		
SLERR_Gr_1_S1_9	Linear Static	14_q3k	0		
SLERR_Gr_1_S1_9	Response Combo	24_q_vento_tot	0		
SLERR_Gr_1_S1_9	Linear Static	23_q_temp F	0.6		
SLERR_Gr_1_S1_9	Linear Static	22_q_ritiro	1		
SLERR_Gr_1_S1_9	Linear Static	21_q8	0		
SLERR_Gr_1_S1_10	Linear Add	No Linear Static	DEAD	1	None
SLERR_Gr_1_S1_10	Linear Static	1_G1_trave	1		
SLERR_Gr_1_S1_10	Linear Static	2_G1_soletta	1		
SLERR_Gr_1_S1_10	Linear Static	3_G1_marciapiede	1		
SLERR_Gr_1_S1_10	Linear Static	4_G1_traverso	1		
SLERR_Gr_1_S1_10	Linear Static	5_G2_veletta	1		
SLERR_Gr_1_S1_10	Linear Static	6_G2_impianti	1		
SLERR_Gr_1_S1_10	Linear Static	7_G2_parapetti	1		
SLERR_Gr_1_S1_10	Linear Static	8_G2_pavimentazione	1		
SLERR_Gr_1_S1_10	Linear Static	9_G2_sicurvia	1		
SLERR_Gr_1_S1_10	Linear Static	11_Q1k	0		
SLERR_Gr_1_S1_10	Linear Static	10_q1k	0		
SLERR_Gr_1_S1_10	Linear Static	13_Q2k	0		
SLERR_Gr_1_S1_10	Linear Static	12_q2k	0		
SLERR_Gr_1_S1_10	Linear Static	16_Q_zr	0		
SLERR_Gr_1_S1_10	Linear Static	17_qfk	0		
SLERR_Gr_1_S1_10	Linear Static	20_q4_centr	0		
SLERR_Gr_1_S1_10	Linear Static	19_q3_frenatura	0		
SLERR_Gr_1_S1_10	Linear Static	15_Q3k	0		
SLERR_Gr_1_S1_10	Linear Static	14_q3k	0		
SLERR_Gr_1_S1_10	Response Combo	24_q_vento_tot	0		

RELAZIONE DI CALCOLO

COMMESSA	LOTTO	CODIFICA	DOCUMENTO	REV.	FOGLIO
NRIJ	01 D 29	CL	IV0104 001	B	156 di 341

SLERR_Gr_1_S1_10	Linear Static	23_q_temp F	0		
SLERR_Gr_1_S1_10	Linear Static	22_q_ritiro	1		
SLERR_Gr_1_S1_10	Linear Static	21_q8	0		
SLERR_Gr_1_S1_11	Linear Add	No Linear Static DEAD	1	None	
SLERR_Gr_1_S1_11	Linear Static	1_G1_trave	1		
SLERR_Gr_1_S1_11	Linear Static	2_G1_soletta	1		
SLERR_Gr_1_S1_11	Linear Static	3_G1_marciapiede	1		
SLERR_Gr_1_S1_11	Linear Static	4_G1_traverso	1		
SLERR_Gr_1_S1_11	Linear Static	5_G2_veletta	1		
SLERR_Gr_1_S1_11	Linear Static	6_G2_impianti	1		
SLERR_Gr_1_S1_11	Linear Static	7_G2_parapetti	1		
SLERR_Gr_1_S1_11	Linear Static	8_G2_pavimentazione	1		
SLERR_Gr_1_S1_11	Linear Static	9_G2_sicurvia	1		
SLERR_Gr_1_S1_11	Linear Static	11_Q1k	0.75		
SLERR_Gr_1_S1_11	Linear Static	10_q1k	0.4		
SLERR_Gr_1_S1_11	Linear Static	13_Q2k	0.75		
SLERR_Gr_1_S1_11	Linear Static	12_q2k	0.4		
SLERR_Gr_1_S1_11	Linear Static	16_Q_zr	0.75		
SLERR_Gr_1_S1_11	Linear Static	17_qfk	0		
SLERR_Gr_1_S1_11	Linear Static	20_q4_centr	0		
SLERR_Gr_1_S1_11	Linear Static	19_q3_frenatura	0		
SLERR_Gr_1_S1_11	Linear Static	15_Q3k	0.75		
SLERR_Gr_1_S1_11	Linear Static	14_q3k	0.4		
SLERR_Gr_1_S1_11	Response Combo	24_q_vento_tot	0		
SLERR_Gr_1_S1_11	Linear Static	23_q_temp F	0.6		
SLERR_Gr_1_S1_11	Linear Static	22_q_ritiro	1		
SLERR_Gr_1_S1_11	Linear Static	21_q8	0		
SLERR_Gr_1_S1_12	Linear Add	No Linear Static DEAD	1	None	
SLERR_Gr_1_S1_12	Linear Static	1_G1_trave	1		
SLERR_Gr_1_S1_12	Linear Static	2_G1_soletta	1		
SLERR_Gr_1_S1_12	Linear Static	3_G1_marciapiede	1		
SLERR_Gr_1_S1_12	Linear Static	4_G1_traverso	1		
SLERR_Gr_1_S1_12	Linear Static	5_G2_veletta	1		
SLERR_Gr_1_S1_12	Linear Static	6_G2_impianti	1		
SLERR_Gr_1_S1_12	Linear Static	7_G2_parapetti	1		
SLERR_Gr_1_S1_12	Linear Static	8_G2_pavimentazione	1		
SLERR_Gr_1_S1_12	Linear Static	9_G2_sicurvia	1		
SLERR_Gr_1_S1_12	Linear Static	11_Q1k	0.75		
SLERR_Gr_1_S1_12	Linear Static	10_q1k	0.4		
SLERR_Gr_1_S1_12	Linear Static	13_Q2k	0.75		
SLERR_Gr_1_S1_12	Linear Static	12_q2k	0.4		
SLERR_Gr_1_S1_12	Linear Static	16_Q_zr	0.75		
SLERR_Gr_1_S1_12	Linear Static	17_qfk	0		
SLERR_Gr_1_S1_12	Linear Static	20_q4_centr	0		
SLERR_Gr_1_S1_12	Linear Static	19_q3_frenatura	0		
SLERR_Gr_1_S1_12	Linear Static	15_Q3k	0.75		
SLERR_Gr_1_S1_12	Linear Static	14_q3k	0.4		
SLERR_Gr_1_S1_12	Response Combo	24_q_vento_tot	0		
SLERR_Gr_1_S1_12	Linear Static	23_q_temp F	0		
SLERR_Gr_1_S1_12	Linear Static	22_q_ritiro	1		
SLERR_Gr_1_S1_12	Linear Static	21_q8	0		
SLERR_Gr_1_S1_13	Linear Add	No Linear Static DEAD	1	None	
SLERR_Gr_1_S1_13	Linear Static	1_G1_trave	1		
SLERR_Gr_1_S1_13	Linear Static	2_G1_soletta	1		
SLERR_Gr_1_S1_13	Linear Static	3_G1_marciapiede	1		
SLERR_Gr_1_S1_13	Linear Static	4_G1_traverso	1		
SLERR_Gr_1_S1_13	Linear Static	5_G2_veletta	1		
SLERR_Gr_1_S1_13	Linear Static	6_G2_impianti	1		
SLERR_Gr_1_S1_13	Linear Static	7_G2_parapetti	1		
SLERR_Gr_1_S1_13	Linear Static	8_G2_pavimentazione	1		
SLERR_Gr_1_S1_13	Linear Static	9_G2_sicurvia	1		
SLERR_Gr_1_S1_13	Linear Static	11_Q1k	0.75		

RELAZIONE DI CALCOLO

COMMESSA	LOTTO	CODIFICA	DOCUMENTO	REV.	FOGLIO
NRIJ	01 D 29	CL	IV0104 001	B	157 di 341

SLERR_Gr_1_S1_13	Linear Static	10_q1k	0.4		
SLERR_Gr_1_S1_13	Linear Static	13_Q2k	0.75		
SLERR_Gr_1_S1_13	Linear Static	12_q2k	0.4		
SLERR_Gr_1_S1_13	Linear Static	16_Q_zr	0.75		
SLERR_Gr_1_S1_13	Linear Static	17_qfk	0		
SLERR_Gr_1_S1_13	Linear Static	20_q4_centr	0		
SLERR_Gr_1_S1_13	Linear Static	19_q3_frenatura	0		
SLERR_Gr_1_S1_13	Linear Static	15_Q3k	0.75		
SLERR_Gr_1_S1_13	Linear Static	14_q3k	0.4		
SLERR_Gr_1_S1_13	Response Combo	24_q_vento_tot	0		
SLERR_Gr_1_S1_13	Linear Static	23_q_temp F	0		
SLERR_Gr_1_S1_13	Linear Static	22_q_ritiro	1		
SLERR_Gr_1_S1_13	Linear Static	21_q8	0		
SLERR_Gr_1_S1_14	Linear Add	No Linear Static	DEAD	1	None
SLERR_Gr_1_S1_14	Linear Static	1_G1_trave	1		
SLERR_Gr_1_S1_14	Linear Static	2_G1_soletta	1		
SLERR_Gr_1_S1_14	Linear Static	3_G1_marciapiede	1		
SLERR_Gr_1_S1_14	Linear Static	4_G1_traverso	1		
SLERR_Gr_1_S1_14	Linear Static	5_G2_veletta	1		
SLERR_Gr_1_S1_14	Linear Static	6_G2_impianti	1		
SLERR_Gr_1_S1_14	Linear Static	7_G2_parapetti	1		
SLERR_Gr_1_S1_14	Linear Static	8_G2_pavimentazione	1		
SLERR_Gr_1_S1_14	Linear Static	9_G2_sicurvia	1		
SLERR_Gr_1_S1_14	Linear Static	11_Q1k	0.75		
SLERR_Gr_1_S1_14	Linear Static	10_q1k	0.4		
SLERR_Gr_1_S1_14	Linear Static	13_Q2k	0.75		
SLERR_Gr_1_S1_14	Linear Static	12_q2k	0.4		
SLERR_Gr_1_S1_14	Linear Static	16_Q_zr	0.75		
SLERR_Gr_1_S1_14	Linear Static	17_qfk	0		
SLERR_Gr_1_S1_14	Linear Static	20_q4_centr	0		
SLERR_Gr_1_S1_14	Linear Static	19_q3_frenatura	0		
SLERR_Gr_1_S1_14	Linear Static	15_Q3k	0.75		
SLERR_Gr_1_S1_14	Linear Static	14_q3k	0.4		
SLERR_Gr_1_S1_14	Response Combo	24_q_vento_tot	0		
SLERR_Gr_1_S1_14	Linear Static	23_q_temp F	0.6		
SLERR_Gr_1_S1_14	Linear Static	22_q_ritiro	1		
SLERR_Gr_1_S1_14	Linear Static	21_q8	0		
SLERR_Gr_1_S1_15	Linear Add	No Linear Static	DEAD	1	None
SLERR_Gr_1_S1_15	Linear Static	1_G1_trave	1		
SLERR_Gr_1_S1_15	Linear Static	2_G1_soletta	1		
SLERR_Gr_1_S1_15	Linear Static	3_G1_marciapiede	1		
SLERR_Gr_1_S1_15	Linear Static	4_G1_traverso	1		
SLERR_Gr_1_S1_15	Linear Static	5_G2_veletta	1		
SLERR_Gr_1_S1_15	Linear Static	6_G2_impianti	1		
SLERR_Gr_1_S1_15	Linear Static	7_G2_parapetti	1		
SLERR_Gr_1_S1_15	Linear Static	8_G2_pavimentazione	1		
SLERR_Gr_1_S1_15	Linear Static	9_G2_sicurvia	1		
SLERR_Gr_1_S1_15	Linear Static	11_Q1k	0.75		
SLERR_Gr_1_S1_15	Linear Static	10_q1k	0.4		
SLERR_Gr_1_S1_15	Linear Static	13_Q2k	0.75		
SLERR_Gr_1_S1_15	Linear Static	12_q2k	0.4		
SLERR_Gr_1_S1_15	Linear Static	16_Q_zr	0.75		
SLERR_Gr_1_S1_15	Linear Static	17_qfk	0		
SLERR_Gr_1_S1_15	Linear Static	20_q4_centr	0		
SLERR_Gr_1_S1_15	Linear Static	19_q3_frenatura	0		
SLERR_Gr_1_S1_15	Linear Static	15_Q3k	0.75		
SLERR_Gr_1_S1_15	Linear Static	14_q3k	0.4		
SLERR_Gr_1_S1_15	Response Combo	24_q_vento_tot	0		
SLERR_Gr_1_S1_15	Linear Static	23_q_temp F	0		
SLERR_Gr_1_S1_15	Linear Static	22_q_ritiro	1		
SLERR_Gr_1_S1_15	Linear Static	21_q8	0		
SLERR_Gr_1_S1_16	Linear Add	No Linear Static	DEAD	1	None

RELAZIONE DI CALCOLO

COMMESSA	LOTTO	CODIFICA	DOCUMENTO	REV.	FOGLIO
NRIJ	01 D 29	CL	IV0104 001	B	158 di 341

SLERR_Gr_1_S1_16	Linear Static	1_G1_trave	1		
SLERR_Gr_1_S1_16	Linear Static	2_G1_soletta	1		
SLERR_Gr_1_S1_16	Linear Static	3_G1_marciapiede	1		
SLERR_Gr_1_S1_16	Linear Static	4_G1_traverso	1		
SLERR_Gr_1_S1_16	Linear Static	5_G2_veletta	1		
SLERR_Gr_1_S1_16	Linear Static	6_G2_impianti	1		
SLERR_Gr_1_S1_16	Linear Static	7_G2_parapetti	1		
SLERR_Gr_1_S1_16	Linear Static	8_G2_pavimentazione	1		
SLERR_Gr_1_S1_16	Linear Static	9_G2_sicurvia	1		
SLERR_Gr_1_S1_16	Linear Static	11_Q1k	0		
SLERR_Gr_1_S1_16	Linear Static	10_q1k	0		
SLERR_Gr_1_S1_16	Linear Static	13_Q2k	0		
SLERR_Gr_1_S1_16	Linear Static	12_q2k	0		
SLERR_Gr_1_S1_16	Linear Static	16_Q_zr	0		
SLERR_Gr_1_S1_16	Linear Static	17_qfk	0		
SLERR_Gr_1_S1_16	Linear Static	20_q4_centr	0		
SLERR_Gr_1_S1_16	Linear Static	19_q3_frenatura	0		
SLERR_Gr_1_S1_16	Linear Static	15_Q3k	0		
SLERR_Gr_1_S1_16	Linear Static	14_q3k	0		
SLERR_Gr_1_S1_16	Response Combo	24_q_vento_tot	0		
SLERR_Gr_1_S1_16	Linear Static	23_q_temp F	0.6		
SLERR_Gr_1_S1_16	Linear Static	22_q_ritiro	1		
SLERR_Gr_1_S1_16	Linear Static	21_q8	0		
SLERR_Gr_1_S1_17	Linear Add	No Linear Static	DEAD	1	None
SLERR_Gr_1_S1_17	Linear Static	1_G1_trave	1		
SLERR_Gr_1_S1_17	Linear Static	2_G1_soletta	1		
SLERR_Gr_1_S1_17	Linear Static	3_G1_marciapiede	1		
SLERR_Gr_1_S1_17	Linear Static	4_G1_traverso	1		
SLERR_Gr_1_S1_17	Linear Static	5_G2_veletta	1		
SLERR_Gr_1_S1_17	Linear Static	6_G2_impianti	1		
SLERR_Gr_1_S1_17	Linear Static	7_G2_parapetti	1		
SLERR_Gr_1_S1_17	Linear Static	8_G2_pavimentazione	1		
SLERR_Gr_1_S1_17	Linear Static	9_G2_sicurvia	1		
SLERR_Gr_1_S1_17	Linear Static	11_Q1k	0		
SLERR_Gr_1_S1_17	Linear Static	10_q1k	0		
SLERR_Gr_1_S1_17	Linear Static	13_Q2k	0		
SLERR_Gr_1_S1_17	Linear Static	12_q2k	0		
SLERR_Gr_1_S1_17	Linear Static	16_Q_zr	0		
SLERR_Gr_1_S1_17	Linear Static	17_qfk	0		
SLERR_Gr_1_S1_17	Linear Static	20_q4_centr	0		
SLERR_Gr_1_S1_17	Linear Static	19_q3_frenatura	0		
SLERR_Gr_1_S1_17	Linear Static	15_Q3k	0		
SLERR_Gr_1_S1_17	Linear Static	14_q3k	0		
SLERR_Gr_1_S1_17	Response Combo	24_q_vento_tot	0		
SLERR_Gr_1_S1_17	Linear Static	23_q_temp F	0		
SLERR_Gr_1_S1_17	Linear Static	22_q_ritiro	1		
SLERR_Gr_1_S1_17	Linear Static	21_q8	0		
SLERR_Gr_1_S1_18	Linear Add	No Linear Static	DEAD	1	None
SLERR_Gr_1_S1_18	Linear Static	1_G1_trave	1		
SLERR_Gr_1_S1_18	Linear Static	2_G1_soletta	1		
SLERR_Gr_1_S1_18	Linear Static	3_G1_marciapiede	1		
SLERR_Gr_1_S1_18	Linear Static	4_G1_traverso	1		
SLERR_Gr_1_S1_18	Linear Static	5_G2_veletta	1		
SLERR_Gr_1_S1_18	Linear Static	6_G2_impianti	1		
SLERR_Gr_1_S1_18	Linear Static	7_G2_parapetti	1		
SLERR_Gr_1_S1_18	Linear Static	8_G2_pavimentazione	1		
SLERR_Gr_1_S1_18	Linear Static	9_G2_sicurvia	1		
SLERR_Gr_1_S1_18	Linear Static	11_Q1k	0		
SLERR_Gr_1_S1_18	Linear Static	10_q1k	0		
SLERR_Gr_1_S1_18	Linear Static	13_Q2k	0		
SLERR_Gr_1_S1_18	Linear Static	12_q2k	0		
SLERR_Gr_1_S1_18	Linear Static	16_Q_zr	0		

RELAZIONE DI CALCOLO

COMMESSA	LOTTO	CODIFICA	DOCUMENTO	REV.	FOGLIO
NRIJ	01 D 29	CL	IV0104 001	B	159 di 341

SLERR_Gr_1_S1_18	Linear Static	17_qfk	0		
SLERR_Gr_1_S1_18	Linear Static	20_q4_centr	0		
SLERR_Gr_1_S1_18	Linear Static	19_q3_frenatura	0		
SLERR_Gr_1_S1_18	Linear Static	15_Q3k	0		
SLERR_Gr_1_S1_18	Linear Static	14_q3k	0		
SLERR_Gr_1_S1_18	Response Combo	24_q_vento_tot	0		
SLERR_Gr_1_S1_18	Linear Static	23_q_temp F	0		
SLERR_Gr_1_S1_18	Linear Static	22_q_ritiro	1		
SLERR_Gr_1_S1_18	Linear Static	21_q8	0		
SLERR_Gr_1_S1_19	Linear Add	No Linear Static	DEAD	1	None
SLERR_Gr_1_S1_19	Linear Static	1_G1_trave	1		
SLERR_Gr_1_S1_19	Linear Static	2_G1_soletta	1		
SLERR_Gr_1_S1_19	Linear Static	3_G1_marciapiede	1		
SLERR_Gr_1_S1_19	Linear Static	4_G1_traverso	1		
SLERR_Gr_1_S1_19	Linear Static	5_G2_veletta	1		
SLERR_Gr_1_S1_19	Linear Static	6_G2_impianti	1		
SLERR_Gr_1_S1_19	Linear Static	7_G2_parapetti	1		
SLERR_Gr_1_S1_19	Linear Static	8_G2_pavimentazione	1		
SLERR_Gr_1_S1_19	Linear Static	9_G2_sicurvia	1		
SLERR_Gr_1_S1_19	Linear Static	11_Q1k	0		
SLERR_Gr_1_S1_19	Linear Static	10_q1k	0		
SLERR_Gr_1_S1_19	Linear Static	13_Q2k	0		
SLERR_Gr_1_S1_19	Linear Static	12_q2k	0		
SLERR_Gr_1_S1_19	Linear Static	16_Q_zr	0		
SLERR_Gr_1_S1_19	Linear Static	17_qfk	0		
SLERR_Gr_1_S1_19	Linear Static	20_q4_centr	0		
SLERR_Gr_1_S1_19	Linear Static	19_q3_frenatura	0		
SLERR_Gr_1_S1_19	Linear Static	15_Q3k	0		
SLERR_Gr_1_S1_19	Linear Static	14_q3k	0		
SLERR_Gr_1_S1_19	Response Combo	24_q_vento_tot	0		
SLERR_Gr_1_S1_19	Linear Static	23_q_temp F	0.6		
SLERR_Gr_1_S1_19	Linear Static	22_q_ritiro	1		
SLERR_Gr_1_S1_19	Linear Static	21_q8	0		
SLERR_Gr_1_S1_20	Linear Add	No Linear Static	DEAD	1	None
SLERR_Gr_1_S1_20	Linear Static	1_G1_trave	1		
SLERR_Gr_1_S1_20	Linear Static	2_G1_soletta	1		
SLERR_Gr_1_S1_20	Linear Static	3_G1_marciapiede	1		
SLERR_Gr_1_S1_20	Linear Static	4_G1_traverso	1		
SLERR_Gr_1_S1_20	Linear Static	5_G2_veletta	1		
SLERR_Gr_1_S1_20	Linear Static	6_G2_impianti	1		
SLERR_Gr_1_S1_20	Linear Static	7_G2_parapetti	1		
SLERR_Gr_1_S1_20	Linear Static	8_G2_pavimentazione	1		
SLERR_Gr_1_S1_20	Linear Static	9_G2_sicurvia	1		
SLERR_Gr_1_S1_20	Linear Static	11_Q1k	0		
SLERR_Gr_1_S1_20	Linear Static	10_q1k	0		
SLERR_Gr_1_S1_20	Linear Static	13_Q2k	0		
SLERR_Gr_1_S1_20	Linear Static	12_q2k	0		
SLERR_Gr_1_S1_20	Linear Static	16_Q_zr	0		
SLERR_Gr_1_S1_20	Linear Static	17_qfk	0		
SLERR_Gr_1_S1_20	Linear Static	20_q4_centr	0		
SLERR_Gr_1_S1_20	Linear Static	19_q3_frenatura	0		
SLERR_Gr_1_S1_20	Linear Static	15_Q3k	0		
SLERR_Gr_1_S1_20	Linear Static	14_q3k	0		
SLERR_Gr_1_S1_20	Response Combo	24_q_vento_tot	0		
SLERR_Gr_1_S1_20	Linear Static	23_q_temp F	0		
SLERR_Gr_1_S1_20	Linear Static	22_q_ritiro	1		
SLERR_Gr_1_S1_20	Linear Static	21_q8	0		
SLERR_Gr_1_S1_21	Linear Add	No Linear Static	DEAD	1	None
SLERR_Gr_1_S1_21	Linear Static	1_G1_trave	1		
SLERR_Gr_1_S1_21	Linear Static	2_G1_soletta	1		
SLERR_Gr_1_S1_21	Linear Static	3_G1_marciapiede	1		
SLERR_Gr_1_S1_21	Linear Static	4_G1_traverso	1		

RELAZIONE DI CALCOLO

COMMESSA	LOTTO	CODIFICA	DOCUMENTO	REV.	FOGLIO
NRIJ	01 D 29	CL	IV0104 001	B	160 di 341

SLERR_Gr_1_S1_21	Linear Static	5_G2_veletta	1		
SLERR_Gr_1_S1_21	Linear Static	6_G2_impianti	1		
SLERR_Gr_1_S1_21	Linear Static	7_G2_parapetti	1		
SLERR_Gr_1_S1_21	Linear Static	8_G2_pavimentazione	1		
SLERR_Gr_1_S1_21	Linear Static	9_G2_sicurvia	1		
SLERR_Gr_1_S1_21	Linear Static	11_Q1k	0.75		
SLERR_Gr_1_S1_21	Linear Static	10_q1k	0.4		
SLERR_Gr_1_S1_21	Linear Static	13_Q2k	0.75		
SLERR_Gr_1_S1_21	Linear Static	12_q2k	0.4		
SLERR_Gr_1_S1_21	Linear Static	16_Q_zr	0.75		
SLERR_Gr_1_S1_21	Linear Static	17_qfk	0		
SLERR_Gr_1_S1_21	Linear Static	20_q4_centr	0		
SLERR_Gr_1_S1_21	Linear Static	19_q3_frenatura	0		
SLERR_Gr_1_S1_21	Linear Static	15_Q3k	0.75		
SLERR_Gr_1_S1_21	Linear Static	14_q3k	0.4		
SLERR_Gr_1_S1_21	Response Combo	24_q_vento_tot	0		
SLERR_Gr_1_S1_21	Linear Static	23_q_temp F	1		
SLERR_Gr_1_S1_21	Linear Static	22_q_ritiro	1		
SLERR_Gr_1_S1_21	Linear Static	21_q8	0		
SLERR_Gr_1_S1_22	Linear Add	No Linear Static	DEAD	1	None
SLERR_Gr_1_S1_22	Linear Static	1_G1_trave	1		
SLERR_Gr_1_S1_22	Linear Static	2_G1_soletta	1		
SLERR_Gr_1_S1_22	Linear Static	3_G1_marciapiede	1		
SLERR_Gr_1_S1_22	Linear Static	4_G1_traverso	1		
SLERR_Gr_1_S1_22	Linear Static	5_G2_veletta	1		
SLERR_Gr_1_S1_22	Linear Static	6_G2_impianti	1		
SLERR_Gr_1_S1_22	Linear Static	7_G2_parapetti	1		
SLERR_Gr_1_S1_22	Linear Static	8_G2_pavimentazione	1		
SLERR_Gr_1_S1_22	Linear Static	9_G2_sicurvia	1		
SLERR_Gr_1_S1_22	Linear Static	11_Q1k	0.75		
SLERR_Gr_1_S1_22	Linear Static	10_q1k	0.4		
SLERR_Gr_1_S1_22	Linear Static	13_Q2k	0.75		
SLERR_Gr_1_S1_22	Linear Static	12_q2k	0.4		
SLERR_Gr_1_S1_22	Linear Static	16_Q_zr	0.75		
SLERR_Gr_1_S1_22	Linear Static	17_qfk	0		
SLERR_Gr_1_S1_22	Linear Static	20_q4_centr	0		
SLERR_Gr_1_S1_22	Linear Static	19_q3_frenatura	0		
SLERR_Gr_1_S1_22	Linear Static	15_Q3k	0.75		
SLERR_Gr_1_S1_22	Linear Static	14_q3k	0.4		
SLERR_Gr_1_S1_22	Response Combo	24_q_vento_tot	0		
SLERR_Gr_1_S1_22	Linear Static	23_q_temp F	0		
SLERR_Gr_1_S1_22	Linear Static	22_q_ritiro	1		
SLERR_Gr_1_S1_22	Linear Static	21_q8	0		
SLERR_Gr_1_S1_23	Linear Add	No Linear Static	DEAD	1	None
SLERR_Gr_1_S1_23	Linear Static	1_G1_trave	1		
SLERR_Gr_1_S1_23	Linear Static	2_G1_soletta	1		
SLERR_Gr_1_S1_23	Linear Static	3_G1_marciapiede	1		
SLERR_Gr_1_S1_23	Linear Static	4_G1_traverso	1		
SLERR_Gr_1_S1_23	Linear Static	5_G2_veletta	1		
SLERR_Gr_1_S1_23	Linear Static	6_G2_impianti	1		
SLERR_Gr_1_S1_23	Linear Static	7_G2_parapetti	1		
SLERR_Gr_1_S1_23	Linear Static	8_G2_pavimentazione	1		
SLERR_Gr_1_S1_23	Linear Static	9_G2_sicurvia	1		
SLERR_Gr_1_S1_23	Linear Static	11_Q1k	0.75		
SLERR_Gr_1_S1_23	Linear Static	10_q1k	0.4		
SLERR_Gr_1_S1_23	Linear Static	13_Q2k	0.75		
SLERR_Gr_1_S1_23	Linear Static	12_q2k	0.4		
SLERR_Gr_1_S1_23	Linear Static	16_Q_zr	0.75		
SLERR_Gr_1_S1_23	Linear Static	17_qfk	0		
SLERR_Gr_1_S1_23	Linear Static	20_q4_centr	0		
SLERR_Gr_1_S1_23	Linear Static	19_q3_frenatura	0		
SLERR_Gr_1_S1_23	Linear Static	15_Q3k	0.75		

RELAZIONE DI CALCOLO

COMMESSA	LOTTO	CODIFICA	DOCUMENTO	REV.	FOGLIO
NRIJ	01 D 29	CL	IV0104 001	B	161 di 341

SLERR_Gr_1_S1_23	Linear Static	14_q3k	0.4		
SLERR_Gr_1_S1_23	Response Combo	24_q_vento_tot		0	
SLERR_Gr_1_S1_23	Linear Static	23_q_temp F		0	
SLERR_Gr_1_S1_23	Linear Static	22_q_ritiro		1	
SLERR_Gr_1_S1_23	Linear Static	21_q8		0	
SLERR_Gr_1_S1_24	Linear Add	No	Linear Static	DEAD	1 None
SLERR_Gr_1_S1_24	Linear Static	1_G1_trave		1	
SLERR_Gr_1_S1_24	Linear Static	2_G1_soletta		1	
SLERR_Gr_1_S1_24	Linear Static	3_G1_marciapiede		1	
SLERR_Gr_1_S1_24	Linear Static	4_G1_traverso		1	
SLERR_Gr_1_S1_24	Linear Static	5_G2_veletta		1	
SLERR_Gr_1_S1_24	Linear Static	6_G2_impianti		1	
SLERR_Gr_1_S1_24	Linear Static	7_G2_parapetti		1	
SLERR_Gr_1_S1_24	Linear Static	8_G2_pavimentazione		1	
SLERR_Gr_1_S1_24	Linear Static	9_G2_sicurvia		1	
SLERR_Gr_1_S1_24	Linear Static	11_Q1k		0.75	
SLERR_Gr_1_S1_24	Linear Static	10_q1k		0.4	
SLERR_Gr_1_S1_24	Linear Static	13_Q2k		0.75	
SLERR_Gr_1_S1_24	Linear Static	12_q2k		0.4	
SLERR_Gr_1_S1_24	Linear Static	16_Q_zr		0.75	
SLERR_Gr_1_S1_24	Linear Static	17_qfk		0	
SLERR_Gr_1_S1_24	Linear Static	20_q4_centr		0	
SLERR_Gr_1_S1_24	Linear Static	19_q3_frenatura		0	
SLERR_Gr_1_S1_24	Linear Static	15_Q3k		0.75	
SLERR_Gr_1_S1_24	Linear Static	14_q3k		0.4	
SLERR_Gr_1_S1_24	Response Combo	24_q_vento_tot		0	
SLERR_Gr_1_S1_24	Linear Static	23_q_temp F		1	
SLERR_Gr_1_S1_24	Linear Static	22_q_ritiro		1	
SLERR_Gr_1_S1_24	Linear Static	21_q8		0	
SLERR_Gr_1_S1_25	Linear Add	No	Linear Static	DEAD	1 None
SLERR_Gr_1_S1_25	Linear Static	1_G1_trave		1	
SLERR_Gr_1_S1_25	Linear Static	2_G1_soletta		1	
SLERR_Gr_1_S1_25	Linear Static	3_G1_marciapiede		1	
SLERR_Gr_1_S1_25	Linear Static	4_G1_traverso		1	
SLERR_Gr_1_S1_25	Linear Static	5_G2_veletta		1	
SLERR_Gr_1_S1_25	Linear Static	6_G2_impianti		1	
SLERR_Gr_1_S1_25	Linear Static	7_G2_parapetti		1	
SLERR_Gr_1_S1_25	Linear Static	8_G2_pavimentazione		1	
SLERR_Gr_1_S1_25	Linear Static	9_G2_sicurvia		1	
SLERR_Gr_1_S1_25	Linear Static	11_Q1k		0.75	
SLERR_Gr_1_S1_25	Linear Static	10_q1k		0.4	
SLERR_Gr_1_S1_25	Linear Static	13_Q2k		0.75	
SLERR_Gr_1_S1_25	Linear Static	12_q2k		0.4	
SLERR_Gr_1_S1_25	Linear Static	16_Q_zr		0.75	
SLERR_Gr_1_S1_25	Linear Static	17_qfk		0	
SLERR_Gr_1_S1_25	Linear Static	20_q4_centr		0	
SLERR_Gr_1_S1_25	Linear Static	19_q3_frenatura		0	
SLERR_Gr_1_S1_25	Linear Static	15_Q3k		0.75	
SLERR_Gr_1_S1_25	Linear Static	14_q3k		0.4	
SLERR_Gr_1_S1_25	Response Combo	24_q_vento_tot		0	
SLERR_Gr_1_S1_25	Linear Static	23_q_temp F		0	
SLERR_Gr_1_S1_25	Linear Static	22_q_ritiro		1	
SLERR_Gr_1_S1_25	Linear Static	21_q8		0	
SLERR_Gr_1_S1_26	Linear Add	No	Linear Static	DEAD	1 None
SLERR_Gr_1_S1_26	Linear Static	1_G1_trave		1	
SLERR_Gr_1_S1_26	Linear Static	2_G1_soletta		1	
SLERR_Gr_1_S1_26	Linear Static	3_G1_marciapiede		1	
SLERR_Gr_1_S1_26	Linear Static	4_G1_traverso		1	
SLERR_Gr_1_S1_26	Linear Static	5_G2_veletta		1	
SLERR_Gr_1_S1_26	Linear Static	6_G2_impianti		1	
SLERR_Gr_1_S1_26	Linear Static	7_G2_parapetti		1	
SLERR_Gr_1_S1_26	Linear Static	8_G2_pavimentazione		1	

RELAZIONE DI CALCOLO

COMMESSA	LOTTO	CODIFICA	DOCUMENTO	REV.	FOGLIO
NRIJ	01 D 29	CL	IV0104 001	B	162 di 341

SLERR_Gr_1_S1_26	Linear Static	9_G2_sicurvia	1		
SLERR_Gr_1_S1_26	Linear Static	11_Q1k	0		
SLERR_Gr_1_S1_26	Linear Static	10_q1k	0		
SLERR_Gr_1_S1_26	Linear Static	13_Q2k	0		
SLERR_Gr_1_S1_26	Linear Static	12_q2k	0		
SLERR_Gr_1_S1_26	Linear Static	16_Q_zr	0		
SLERR_Gr_1_S1_26	Linear Static	17_qfk	0		
SLERR_Gr_1_S1_26	Linear Static	20_q4_centr	0		
SLERR_Gr_1_S1_26	Linear Static	19_q3_frenatura	0		
SLERR_Gr_1_S1_26	Linear Static	15_Q3k	0		
SLERR_Gr_1_S1_26	Linear Static	14_q3k	0		
SLERR_Gr_1_S1_26	Response Combo	24_q_vento_tot	0		
SLERR_Gr_1_S1_26	Linear Static	23_q_temp F	1		
SLERR_Gr_1_S1_26	Linear Static	22_q_ritiro	1		
SLERR_Gr_1_S1_26	Linear Static	21_q8	0		
SLERR_Gr_1_S1_27	Linear Add	No Linear Static	DEAD	1	None
SLERR_Gr_1_S1_27	Linear Static	1_G1_trave	1		
SLERR_Gr_1_S1_27	Linear Static	2_G1_soletta	1		
SLERR_Gr_1_S1_27	Linear Static	3_G1_marciapiede	1		
SLERR_Gr_1_S1_27	Linear Static	4_G1_traverso	1		
SLERR_Gr_1_S1_27	Linear Static	5_G2_veletta	1		
SLERR_Gr_1_S1_27	Linear Static	6_G2_impianti	1		
SLERR_Gr_1_S1_27	Linear Static	7_G2_parapetti	1		
SLERR_Gr_1_S1_27	Linear Static	8_G2_pavimentazione	1		
SLERR_Gr_1_S1_27	Linear Static	9_G2_sicurvia	1		
SLERR_Gr_1_S1_27	Linear Static	11_Q1k	0		
SLERR_Gr_1_S1_27	Linear Static	10_q1k	0		
SLERR_Gr_1_S1_27	Linear Static	13_Q2k	0		
SLERR_Gr_1_S1_27	Linear Static	12_q2k	0		
SLERR_Gr_1_S1_27	Linear Static	16_Q_zr	0		
SLERR_Gr_1_S1_27	Linear Static	17_qfk	0		
SLERR_Gr_1_S1_27	Linear Static	20_q4_centr	0		
SLERR_Gr_1_S1_27	Linear Static	19_q3_frenatura	0		
SLERR_Gr_1_S1_27	Linear Static	15_Q3k	0		
SLERR_Gr_1_S1_27	Linear Static	14_q3k	0		
SLERR_Gr_1_S1_27	Response Combo	24_q_vento_tot	0		
SLERR_Gr_1_S1_27	Linear Static	23_q_temp F	0		
SLERR_Gr_1_S1_27	Linear Static	22_q_ritiro	1		
SLERR_Gr_1_S1_27	Linear Static	21_q8	0		
SLERR_Gr_1_S1_28	Linear Add	No Linear Static	DEAD	1	None
SLERR_Gr_1_S1_28	Linear Static	1_G1_trave	1		
SLERR_Gr_1_S1_28	Linear Static	2_G1_soletta	1		
SLERR_Gr_1_S1_28	Linear Static	3_G1_marciapiede	1		
SLERR_Gr_1_S1_28	Linear Static	4_G1_traverso	1		
SLERR_Gr_1_S1_28	Linear Static	5_G2_veletta	1		
SLERR_Gr_1_S1_28	Linear Static	6_G2_impianti	1		
SLERR_Gr_1_S1_28	Linear Static	7_G2_parapetti	1		
SLERR_Gr_1_S1_28	Linear Static	8_G2_pavimentazione	1		
SLERR_Gr_1_S1_28	Linear Static	9_G2_sicurvia	1		
SLERR_Gr_1_S1_28	Linear Static	11_Q1k	0		
SLERR_Gr_1_S1_28	Linear Static	10_q1k	0		
SLERR_Gr_1_S1_28	Linear Static	13_Q2k	0		
SLERR_Gr_1_S1_28	Linear Static	12_q2k	0		
SLERR_Gr_1_S1_28	Linear Static	16_Q_zr	0		
SLERR_Gr_1_S1_28	Linear Static	17_qfk	0		
SLERR_Gr_1_S1_28	Linear Static	20_q4_centr	0		
SLERR_Gr_1_S1_28	Linear Static	19_q3_frenatura	0		
SLERR_Gr_1_S1_28	Linear Static	15_Q3k	0		
SLERR_Gr_1_S1_28	Linear Static	14_q3k	0		
SLERR_Gr_1_S1_28	Response Combo	24_q_vento_tot	0		
SLERR_Gr_1_S1_28	Linear Static	23_q_temp F	0		
SLERR_Gr_1_S1_28	Linear Static	22_q_ritiro	1		

RELAZIONE DI CALCOLO

COMMESSA	LOTTO	CODIFICA	DOCUMENTO	REV.	FOGLIO
NRIJ	01 D 29	CL	IV0104 001	B	163 di 341

SLERR_Gr_1_S1_28		Linear Static	21_q8	0		
SLERR_Gr_1_S1_29	Linear Add	No Linear Static	DEAD	1	None	
SLERR_Gr_1_S1_29		Linear Static	1_G1_trave	1		
SLERR_Gr_1_S1_29		Linear Static	2_G1_soletta	1		
SLERR_Gr_1_S1_29		Linear Static	3_G1_marciapiede	1		
SLERR_Gr_1_S1_29		Linear Static	4_G1_traverso	1		
SLERR_Gr_1_S1_29		Linear Static	5_G2_veletta	1		
SLERR_Gr_1_S1_29		Linear Static	6_G2_impianti	1		
SLERR_Gr_1_S1_29		Linear Static	7_G2_parapetti	1		
SLERR_Gr_1_S1_29		Linear Static	8_G2_pavimentazione	1		
SLERR_Gr_1_S1_29		Linear Static	9_G2_sicurvia	1		
SLERR_Gr_1_S1_29		Linear Static	11_Q1k	0		
SLERR_Gr_1_S1_29		Linear Static	10_q1k	0		
SLERR_Gr_1_S1_29		Linear Static	13_Q2k	0		
SLERR_Gr_1_S1_29		Linear Static	12_q2k	0		
SLERR_Gr_1_S1_29		Linear Static	16_Q_zr	0		
SLERR_Gr_1_S1_29		Linear Static	17_qfk	0		
SLERR_Gr_1_S1_29		Linear Static	20_q4_centr	0		
SLERR_Gr_1_S1_29		Linear Static	19_q3_frenatura	0		
SLERR_Gr_1_S1_29		Linear Static	15_Q3k	0		
SLERR_Gr_1_S1_29		Linear Static	14_q3k	0		
SLERR_Gr_1_S1_29		Response Combo	24_q_vento_tot	0		
SLERR_Gr_1_S1_29		Linear Static	23_q_temp F	1		
SLERR_Gr_1_S1_29		Linear Static	22_q_ritiro	1		
SLERR_Gr_1_S1_29		Linear Static	21_q8	0		
SLERR_Gr_1_S1_30	Linear Add	No Linear Static	DEAD	1	None	
SLERR_Gr_1_S1_30		Linear Static	1_G1_trave	1		
SLERR_Gr_1_S1_30		Linear Static	2_G1_soletta	1		
SLERR_Gr_1_S1_30		Linear Static	3_G1_marciapiede	1		
SLERR_Gr_1_S1_30		Linear Static	4_G1_traverso	1		
SLERR_Gr_1_S1_30		Linear Static	5_G2_veletta	1		
SLERR_Gr_1_S1_30		Linear Static	6_G2_impianti	1		
SLERR_Gr_1_S1_30		Linear Static	7_G2_parapetti	1		
SLERR_Gr_1_S1_30		Linear Static	8_G2_pavimentazione	1		
SLERR_Gr_1_S1_30		Linear Static	9_G2_sicurvia	1		
SLERR_Gr_1_S1_30		Linear Static	11_Q1k	0		
SLERR_Gr_1_S1_30		Linear Static	10_q1k	0		
SLERR_Gr_1_S1_30		Linear Static	13_Q2k	0		
SLERR_Gr_1_S1_30		Linear Static	12_q2k	0		
SLERR_Gr_1_S1_30		Linear Static	16_Q_zr	0		
SLERR_Gr_1_S1_30		Linear Static	17_qfk	0		
SLERR_Gr_1_S1_30		Linear Static	20_q4_centr	0		
SLERR_Gr_1_S1_30		Linear Static	19_q3_frenatura	0		
SLERR_Gr_1_S1_30		Linear Static	15_Q3k	0		
SLERR_Gr_1_S1_30		Linear Static	14_q3k	0		
SLERR_Gr_1_S1_30		Response Combo	24_q_vento_tot	0		
SLERR_Gr_1_S1_30		Linear Static	23_q_temp F	0		
SLERR_Gr_1_S1_30		Linear Static	22_q_ritiro	1		
SLERR_Gr_1_S1_30		Linear Static	21_q8	0		
SLERR_Gr_1_S1_31	Linear Add	No Linear Static	DEAD	1	None	
SLERR_Gr_1_S1_31		Linear Static	1_G1_trave	1		
SLERR_Gr_1_S1_31		Linear Static	2_G1_soletta	1		
SLERR_Gr_1_S1_31		Linear Static	3_G1_marciapiede	1		
SLERR_Gr_1_S1_31		Linear Static	4_G1_traverso	1		
SLERR_Gr_1_S1_31		Linear Static	5_G2_veletta	1		
SLERR_Gr_1_S1_31		Linear Static	6_G2_impianti	1		
SLERR_Gr_1_S1_31		Linear Static	7_G2_parapetti	1		
SLERR_Gr_1_S1_31		Linear Static	8_G2_pavimentazione	1		
SLERR_Gr_1_S1_31		Linear Static	9_G2_sicurvia	1		
SLERR_Gr_1_S1_31		Linear Static	11_Q1k	0.75		
SLERR_Gr_1_S1_31		Linear Static	10_q1k	0.4		
SLERR_Gr_1_S1_31		Linear Static	13_Q2k	0.75		

RELAZIONE DI CALCOLO

COMMESSA	LOTTO	CODIFICA	DOCUMENTO	REV.	FOGLIO
NRIJ	01 D 29	CL	IV0104 001	B	164 di 341

SLERR_Gr_1_S1_31	Linear Static	12_q2k	0.4			
SLERR_Gr_1_S1_31	Linear Static	16_Q_zr	0.75			
SLERR_Gr_1_S1_31	Linear Static	17_qfk	0			
SLERR_Gr_1_S1_31	Linear Static	20_q4_centr	0			
SLERR_Gr_1_S1_31	Linear Static	19_q3_frenatura	0			
SLERR_Gr_1_S1_31	Linear Static	15_Q3k	0.75			
SLERR_Gr_1_S1_31	Linear Static	14_q3k	0.4			
SLERR_Gr_1_S1_31	Response Combo	24_q_vento_tot	0			
SLERR_Gr_1_S1_31	Linear Static	23_q_temp F	0.6			
SLERR_Gr_1_S1_31	Linear Static	22_q_ritiro	1			
SLERR_Gr_1_S1_31	Linear Static	21_q8	0			
SLERR_Gr_1_S1_32	Linear Add	No Linear Static	DEAD	1		None
SLERR_Gr_1_S1_32	Linear Static	1_G1_trave	1			
SLERR_Gr_1_S1_32	Linear Static	2_G1_soletta	1			
SLERR_Gr_1_S1_32	Linear Static	3_G1_marciapiede	1			
SLERR_Gr_1_S1_32	Linear Static	4_G1_traverso	1			
SLERR_Gr_1_S1_32	Linear Static	5_G2_veletta	1			
SLERR_Gr_1_S1_32	Linear Static	6_G2_impianti	1			
SLERR_Gr_1_S1_32	Linear Static	7_G2_parapetti	1			
SLERR_Gr_1_S1_32	Linear Static	8_G2_pavimentazione	1			
SLERR_Gr_1_S1_32	Linear Static	9_G2_sicurvia	1			
SLERR_Gr_1_S1_32	Linear Static	11_Q1k	0.75			
SLERR_Gr_1_S1_32	Linear Static	10_q1k	0.4			
SLERR_Gr_1_S1_32	Linear Static	13_Q2k	0.75			
SLERR_Gr_1_S1_32	Linear Static	12_q2k	0.4			
SLERR_Gr_1_S1_32	Linear Static	16_Q_zr	0.75			
SLERR_Gr_1_S1_32	Linear Static	17_qfk	0			
SLERR_Gr_1_S1_32	Linear Static	20_q4_centr	0			
SLERR_Gr_1_S1_32	Linear Static	19_q3_frenatura	0			
SLERR_Gr_1_S1_32	Linear Static	15_Q3k	0.75			
SLERR_Gr_1_S1_32	Linear Static	14_q3k	0.4			
SLERR_Gr_1_S1_32	Response Combo	24_q_vento_tot	0			
SLERR_Gr_1_S1_32	Linear Static	23_q_temp F	0			
SLERR_Gr_1_S1_32	Linear Static	22_q_ritiro	1			
SLERR_Gr_1_S1_32	Linear Static	21_q8	0			
SLERR_Gr_1_S1_33	Linear Add	No Linear Static	DEAD	1		None
SLERR_Gr_1_S1_33	Linear Static	1_G1_trave	1			
SLERR_Gr_1_S1_33	Linear Static	2_G1_soletta	1			
SLERR_Gr_1_S1_33	Linear Static	3_G1_marciapiede	1			
SLERR_Gr_1_S1_33	Linear Static	4_G1_traverso	1			
SLERR_Gr_1_S1_33	Linear Static	5_G2_veletta	1			
SLERR_Gr_1_S1_33	Linear Static	6_G2_impianti	1			
SLERR_Gr_1_S1_33	Linear Static	7_G2_parapetti	1			
SLERR_Gr_1_S1_33	Linear Static	8_G2_pavimentazione	1			
SLERR_Gr_1_S1_33	Linear Static	9_G2_sicurvia	1			
SLERR_Gr_1_S1_33	Linear Static	11_Q1k	0.75			
SLERR_Gr_1_S1_33	Linear Static	10_q1k	0.4			
SLERR_Gr_1_S1_33	Linear Static	13_Q2k	0.75			
SLERR_Gr_1_S1_33	Linear Static	12_q2k	0.4			
SLERR_Gr_1_S1_33	Linear Static	16_Q_zr	0.75			
SLERR_Gr_1_S1_33	Linear Static	17_qfk	0			
SLERR_Gr_1_S1_33	Linear Static	20_q4_centr	0			
SLERR_Gr_1_S1_33	Linear Static	19_q3_frenatura	0			
SLERR_Gr_1_S1_33	Linear Static	15_Q3k	0.75			
SLERR_Gr_1_S1_33	Linear Static	14_q3k	0.4			
SLERR_Gr_1_S1_33	Response Combo	24_q_vento_tot	0			
SLERR_Gr_1_S1_33	Linear Static	23_q_temp F	0			
SLERR_Gr_1_S1_33	Linear Static	22_q_ritiro	1			
SLERR_Gr_1_S1_33	Linear Static	21_q8	0			
SLERR_Gr_1_S1_34	Linear Add	No Linear Static	DEAD	1		None
SLERR_Gr_1_S1_34	Linear Static	1_G1_trave	1			
SLERR_Gr_1_S1_34	Linear Static	2_G1_soletta	1			

RELAZIONE DI CALCOLO

COMMESSA	LOTTO	CODIFICA	DOCUMENTO	REV.	FOGLIO
NRIJ	01 D 29	CL	IV0104 001	B	165 di 341

SLERR_Gr_1_S1_34	Linear Static	3_G1_marciapiede	1		
SLERR_Gr_1_S1_34	Linear Static	4_G1_traverso	1		
SLERR_Gr_1_S1_34	Linear Static	5_G2_veletta	1		
SLERR_Gr_1_S1_34	Linear Static	6_G2_impianti	1		
SLERR_Gr_1_S1_34	Linear Static	7_G2_parapetti	1		
SLERR_Gr_1_S1_34	Linear Static	8_G2_pavimentazione	1		
SLERR_Gr_1_S1_34	Linear Static	9_G2_sicurvia	1		
SLERR_Gr_1_S1_34	Linear Static	11_Q1k	0.75		
SLERR_Gr_1_S1_34	Linear Static	10_q1k	0.4		
SLERR_Gr_1_S1_34	Linear Static	13_Q2k	0.75		
SLERR_Gr_1_S1_34	Linear Static	12_q2k	0.4		
SLERR_Gr_1_S1_34	Linear Static	16_Q_zr	0.75		
SLERR_Gr_1_S1_34	Linear Static	17_qfk	0		
SLERR_Gr_1_S1_34	Linear Static	20_q4_centr	0		
SLERR_Gr_1_S1_34	Linear Static	19_q3_frenatura	0		
SLERR_Gr_1_S1_34	Linear Static	15_Q3k	0.75		
SLERR_Gr_1_S1_34	Linear Static	14_q3k	0.4		
SLERR_Gr_1_S1_34	Response Combo	24_q_vento_tot	0		
SLERR_Gr_1_S1_34	Linear Static	23_q_temp F	0.6		
SLERR_Gr_1_S1_34	Linear Static	22_q_ritiro	1		
SLERR_Gr_1_S1_34	Linear Static	21_q8	0		
SLERR_Gr_1_S1_35	Linear Add	No Linear Static	DEAD	1	None
SLERR_Gr_1_S1_35	Linear Static	1_G1_trave	1		
SLERR_Gr_1_S1_35	Linear Static	2_G1_soletta	1		
SLERR_Gr_1_S1_35	Linear Static	3_G1_marciapiede	1		
SLERR_Gr_1_S1_35	Linear Static	4_G1_traverso	1		
SLERR_Gr_1_S1_35	Linear Static	5_G2_veletta	1		
SLERR_Gr_1_S1_35	Linear Static	6_G2_impianti	1		
SLERR_Gr_1_S1_35	Linear Static	7_G2_parapetti	1		
SLERR_Gr_1_S1_35	Linear Static	8_G2_pavimentazione	1		
SLERR_Gr_1_S1_35	Linear Static	9_G2_sicurvia	1		
SLERR_Gr_1_S1_35	Linear Static	11_Q1k	0.75		
SLERR_Gr_1_S1_35	Linear Static	10_q1k	0.4		
SLERR_Gr_1_S1_35	Linear Static	13_Q2k	0.75		
SLERR_Gr_1_S1_35	Linear Static	12_q2k	0.4		
SLERR_Gr_1_S1_35	Linear Static	16_Q_zr	0.75		
SLERR_Gr_1_S1_35	Linear Static	17_qfk	0		
SLERR_Gr_1_S1_35	Linear Static	20_q4_centr	0		
SLERR_Gr_1_S1_35	Linear Static	19_q3_frenatura	0		
SLERR_Gr_1_S1_35	Linear Static	15_Q3k	0.75		
SLERR_Gr_1_S1_35	Linear Static	14_q3k	0.4		
SLERR_Gr_1_S1_35	Response Combo	24_q_vento_tot	0		
SLERR_Gr_1_S1_35	Linear Static	23_q_temp F	0		
SLERR_Gr_1_S1_35	Linear Static	22_q_ritiro	1		
SLERR_Gr_1_S1_35	Linear Static	21_q8	0		
SLERR_Gr_1_S1_36	Linear Add	No Linear Static	DEAD	1	None
SLERR_Gr_1_S1_36	Linear Static	1_G1_trave	1		
SLERR_Gr_1_S1_36	Linear Static	2_G1_soletta	1		
SLERR_Gr_1_S1_36	Linear Static	3_G1_marciapiede	1		
SLERR_Gr_1_S1_36	Linear Static	4_G1_traverso	1		
SLERR_Gr_1_S1_36	Linear Static	5_G2_veletta	1		
SLERR_Gr_1_S1_36	Linear Static	6_G2_impianti	1		
SLERR_Gr_1_S1_36	Linear Static	7_G2_parapetti	1		
SLERR_Gr_1_S1_36	Linear Static	8_G2_pavimentazione	1		
SLERR_Gr_1_S1_36	Linear Static	9_G2_sicurvia	1		
SLERR_Gr_1_S1_36	Linear Static	11_Q1k	0		
SLERR_Gr_1_S1_36	Linear Static	10_q1k	0		
SLERR_Gr_1_S1_36	Linear Static	13_Q2k	0		
SLERR_Gr_1_S1_36	Linear Static	12_q2k	0		
SLERR_Gr_1_S1_36	Linear Static	16_Q_zr	0		
SLERR_Gr_1_S1_36	Linear Static	17_qfk	0		
SLERR_Gr_1_S1_36	Linear Static	20_q4_centr	0		

RELAZIONE DI CALCOLO

COMMESSA	LOTTO	CODIFICA	DOCUMENTO	REV.	FOGLIO
NRIJ	01 D 29	CL	IV0104 001	B	166 di 341

SLERR_Gr_1_S1_36	Linear Static	19_q3_frenatura	0		
SLERR_Gr_1_S1_36	Linear Static	15_Q3k	0		
SLERR_Gr_1_S1_36	Linear Static	14_q3k	0		
SLERR_Gr_1_S1_36	Response Combo	24_q_vento_tot	0		
SLERR_Gr_1_S1_36	Linear Static	23_q_temp F	0.6		
SLERR_Gr_1_S1_36	Linear Static	22_q_ritiro	1		
SLERR_Gr_1_S1_36	Linear Static	21_q8	0		
SLERR_Gr_1_S1_37	Linear Add	No Linear Static	DEAD	1	None
SLERR_Gr_1_S1_37	Linear Static	1_G1_trave	1		
SLERR_Gr_1_S1_37	Linear Static	2_G1_soletta	1		
SLERR_Gr_1_S1_37	Linear Static	3_G1_marciapiede	1		
SLERR_Gr_1_S1_37	Linear Static	4_G1_traverso	1		
SLERR_Gr_1_S1_37	Linear Static	5_G2_veletta	1		
SLERR_Gr_1_S1_37	Linear Static	6_G2_impianti	1		
SLERR_Gr_1_S1_37	Linear Static	7_G2_parapetti	1		
SLERR_Gr_1_S1_37	Linear Static	8_G2_pavimentazione	1		
SLERR_Gr_1_S1_37	Linear Static	9_G2_sicurvia	1		
SLERR_Gr_1_S1_37	Linear Static	11_Q1k	0		
SLERR_Gr_1_S1_37	Linear Static	10_q1k	0		
SLERR_Gr_1_S1_37	Linear Static	13_Q2k	0		
SLERR_Gr_1_S1_37	Linear Static	12_q2k	0		
SLERR_Gr_1_S1_37	Linear Static	16_Q_zr	0		
SLERR_Gr_1_S1_37	Linear Static	17_qfk	0		
SLERR_Gr_1_S1_37	Linear Static	20_q4_centr	0		
SLERR_Gr_1_S1_37	Linear Static	19_q3_frenatura	0		
SLERR_Gr_1_S1_37	Linear Static	15_Q3k	0		
SLERR_Gr_1_S1_37	Linear Static	14_q3k	0		
SLERR_Gr_1_S1_37	Response Combo	24_q_vento_tot	0		
SLERR_Gr_1_S1_37	Linear Static	23_q_temp F	0		
SLERR_Gr_1_S1_37	Linear Static	22_q_ritiro	1		
SLERR_Gr_1_S1_37	Linear Static	21_q8	0		
SLERR_Gr_1_S1_38	Linear Add	No Linear Static	DEAD	1	None
SLERR_Gr_1_S1_38	Linear Static	1_G1_trave	1		
SLERR_Gr_1_S1_38	Linear Static	2_G1_soletta	1		
SLERR_Gr_1_S1_38	Linear Static	3_G1_marciapiede	1		
SLERR_Gr_1_S1_38	Linear Static	4_G1_traverso	1		
SLERR_Gr_1_S1_38	Linear Static	5_G2_veletta	1		
SLERR_Gr_1_S1_38	Linear Static	6_G2_impianti	1		
SLERR_Gr_1_S1_38	Linear Static	7_G2_parapetti	1		
SLERR_Gr_1_S1_38	Linear Static	8_G2_pavimentazione	1		
SLERR_Gr_1_S1_38	Linear Static	9_G2_sicurvia	1		
SLERR_Gr_1_S1_38	Linear Static	11_Q1k	0		
SLERR_Gr_1_S1_38	Linear Static	10_q1k	0		
SLERR_Gr_1_S1_38	Linear Static	13_Q2k	0		
SLERR_Gr_1_S1_38	Linear Static	12_q2k	0		
SLERR_Gr_1_S1_38	Linear Static	16_Q_zr	0		
SLERR_Gr_1_S1_38	Linear Static	17_qfk	0		
SLERR_Gr_1_S1_38	Linear Static	20_q4_centr	0		
SLERR_Gr_1_S1_38	Linear Static	19_q3_frenatura	0		
SLERR_Gr_1_S1_38	Linear Static	15_Q3k	0		
SLERR_Gr_1_S1_38	Linear Static	14_q3k	0		
SLERR_Gr_1_S1_38	Response Combo	24_q_vento_tot	0		
SLERR_Gr_1_S1_38	Linear Static	23_q_temp F	0		
SLERR_Gr_1_S1_38	Linear Static	22_q_ritiro	1		
SLERR_Gr_1_S1_38	Linear Static	21_q8	0		
SLERR_Gr_1_S1_39	Linear Add	No Linear Static	DEAD	1	None
SLERR_Gr_1_S1_39	Linear Static	1_G1_trave	1		
SLERR_Gr_1_S1_39	Linear Static	2_G1_soletta	1		
SLERR_Gr_1_S1_39	Linear Static	3_G1_marciapiede	1		
SLERR_Gr_1_S1_39	Linear Static	4_G1_traverso	1		
SLERR_Gr_1_S1_39	Linear Static	5_G2_veletta	1		
SLERR_Gr_1_S1_39	Linear Static	6_G2_impianti	1		

RELAZIONE DI CALCOLO

COMMESSA	LOTTO	CODIFICA	DOCUMENTO	REV.	FOGLIO
NRIJ	01 D 29	CL	IV0104 001	B	167 di 341

SLERR_Gr_1_S1_39		Linear Static	7_G2_parapetti	1		
SLERR_Gr_1_S1_39		Linear Static	8_G2_pavimentazione	1		
SLERR_Gr_1_S1_39		Linear Static	9_G2_sicurvia	1		
SLERR_Gr_1_S1_39		Linear Static	11_Q1k	0		
SLERR_Gr_1_S1_39		Linear Static	10_q1k	0		
SLERR_Gr_1_S1_39		Linear Static	13_Q2k	0		
SLERR_Gr_1_S1_39		Linear Static	12_q2k	0		
SLERR_Gr_1_S1_39		Linear Static	16_Q_zr	0		
SLERR_Gr_1_S1_39		Linear Static	17_qfk	0		
SLERR_Gr_1_S1_39		Linear Static	20_q4_centr	0		
SLERR_Gr_1_S1_39		Linear Static	19_q3_frenatura	0		
SLERR_Gr_1_S1_39		Linear Static	15_Q3k	0		
SLERR_Gr_1_S1_39		Linear Static	14_q3k	0		
SLERR_Gr_1_S1_39		Response Combo	24_q_vento_tot	0		
SLERR_Gr_1_S1_39		Linear Static	23_q_temp F	0.6		
SLERR_Gr_1_S1_39		Linear Static	22_q_ritiro	1		
SLERR_Gr_1_S1_39		Linear Static	21_q8	0		
SLERR_Gr_1_S1_40	Linear Add	No	Linear Static	DEAD	1	None
SLERR_Gr_1_S1_40		Linear Static	1_G1_trave	1		
SLERR_Gr_1_S1_40		Linear Static	2_G1_soletta	1		
SLERR_Gr_1_S1_40		Linear Static	3_G1_marciapiede	1		
SLERR_Gr_1_S1_40		Linear Static	4_G1_traverso	1		
SLERR_Gr_1_S1_40		Linear Static	5_G2_veletta	1		
SLERR_Gr_1_S1_40		Linear Static	6_G2_impianti	1		
SLERR_Gr_1_S1_40		Linear Static	7_G2_parapetti	1		
SLERR_Gr_1_S1_40		Linear Static	8_G2_pavimentazione	1		
SLERR_Gr_1_S1_40		Linear Static	9_G2_sicurvia	1		
SLERR_Gr_1_S1_40		Linear Static	11_Q1k	0		
SLERR_Gr_1_S1_40		Linear Static	10_q1k	0		
SLERR_Gr_1_S1_40		Linear Static	13_Q2k	0		
SLERR_Gr_1_S1_40		Linear Static	12_q2k	0		
SLERR_Gr_1_S1_40		Linear Static	16_Q_zr	0		
SLERR_Gr_1_S1_40		Linear Static	17_qfk	0		
SLERR_Gr_1_S1_40		Linear Static	20_q4_centr	0		
SLERR_Gr_1_S1_40		Linear Static	19_q3_frenatura	0		
SLERR_Gr_1_S1_40		Linear Static	15_Q3k	0		
SLERR_Gr_1_S1_40		Linear Static	14_q3k	0		
SLERR_Gr_1_S1_40		Response Combo	24_q_vento_tot	0		
SLERR_Gr_1_S1_40		Linear Static	23_q_temp F	0		
SLERR_Gr_1_S1_40		Linear Static	22_q_ritiro	1		
SLERR_Gr_1_S1_40		Linear Static	21_q8	0		
SLEFR_Gr_2A_S1_1	Linear Add	No	Linear Static	DEAD	1	None
SLEFR_Gr_2A_S1_1		Linear Static	1_G1_trave	1		
SLEFR_Gr_2A_S1_1		Linear Static	2_G1_soletta	1		
SLEFR_Gr_2A_S1_1		Linear Static	3_G1_marciapiede	1		
SLEFR_Gr_2A_S1_1		Linear Static	4_G1_traverso	1		
SLEFR_Gr_2A_S1_1		Linear Static	5_G2_veletta	1		
SLEFR_Gr_2A_S1_1		Linear Static	6_G2_impianti	1		
SLEFR_Gr_2A_S1_1		Linear Static	7_G2_parapetti	1		
SLEFR_Gr_2A_S1_1		Linear Static	8_G2_pavimentazione	1		
SLEFR_Gr_2A_S1_1		Linear Static	9_G2_sicurvia	1		
SLEFR_Gr_2A_S1_1		Linear Static	11_Q1k	0.75		
SLEFR_Gr_2A_S1_1		Linear Static	10_q1k	0.4		
SLEFR_Gr_2A_S1_1		Linear Static	13_Q2k	0.75		
SLEFR_Gr_2A_S1_1		Linear Static	12_q2k	0.4		
SLEFR_Gr_2A_S1_1		Linear Static	16_Q_zr	0.75		
SLEFR_Gr_2A_S1_1		Linear Static	17_qfk	0.375		
SLEFR_Gr_2A_S1_1		Linear Static	20_q4_centr	0		
SLEFR_Gr_2A_S1_1		Linear Static	19_q3_frenatura	0.4		
SLEFR_Gr_2A_S1_1		Linear Static	15_Q3k	0.75		
SLEFR_Gr_2A_S1_1		Linear Static	14_q3k	0.4		
SLEFR_Gr_2A_S1_1		Response Combo	24_q_vento_tot	0		

RELAZIONE DI CALCOLO

COMMESSA	LOTTO	CODIFICA	DOCUMENTO	REV.	FOGLIO
NRIJ	01 D 29	CL	IV0104 001	B	168 di 341

SLEFR_Gr_2A_S1_1	Linear Static	23_q_temp F	0.6		
SLEFR_Gr_2A_S1_1	Linear Static	22_q_ritiro	1		
SLEFR_Gr_2A_S1_1	Linear Static	21_q8	0		
SLEFR_Gr_2A_S1_2	Linear Add	No Linear Static	DEAD	1	None
SLEFR_Gr_2A_S1_2	Linear Static	1_G1_trave	1		
SLEFR_Gr_2A_S1_2	Linear Static	2_G1_soletta	1		
SLEFR_Gr_2A_S1_2	Linear Static	3_G1_marciapiede	1		
SLEFR_Gr_2A_S1_2	Linear Static	4_G1_traverso	1		
SLEFR_Gr_2A_S1_2	Linear Static	5_G2_veletta	1		
SLEFR_Gr_2A_S1_2	Linear Static	6_G2_impianti	1		
SLEFR_Gr_2A_S1_2	Linear Static	7_G2_parapetti	1		
SLEFR_Gr_2A_S1_2	Linear Static	8_G2_pavimentazione	1		
SLEFR_Gr_2A_S1_2	Linear Static	9_G2_sicurvia	1		
SLEFR_Gr_2A_S1_2	Linear Static	11_Q1k	0.75		
SLEFR_Gr_2A_S1_2	Linear Static	10_q1k	0.4		
SLEFR_Gr_2A_S1_2	Linear Static	13_Q2k	0.75		
SLEFR_Gr_2A_S1_2	Linear Static	12_q2k	0.4		
SLEFR_Gr_2A_S1_2	Linear Static	16_Q_zr	0.75		
SLEFR_Gr_2A_S1_2	Linear Static	17_qfk	0.375		
SLEFR_Gr_2A_S1_2	Linear Static	20_q4_centr	0		
SLEFR_Gr_2A_S1_2	Linear Static	19_q3_frenatura	0.4		
SLEFR_Gr_2A_S1_2	Linear Static	15_Q3k	0.75		
SLEFR_Gr_2A_S1_2	Linear Static	14_q3k	0.4		
SLEFR_Gr_2A_S1_2	Response Combo	24_q_vento_tot	0		
SLEFR_Gr_2A_S1_2	Linear Static	23_q_temp F	0		
SLEFR_Gr_2A_S1_2	Linear Static	22_q_ritiro	1		
SLEFR_Gr_2A_S1_2	Linear Static	21_q8	0		
SLEFR_Gr_2A_S1_3	Linear Add	No Linear Static	DEAD	1	None
SLEFR_Gr_2A_S1_3	Linear Static	1_G1_trave	1		
SLEFR_Gr_2A_S1_3	Linear Static	2_G1_soletta	1		
SLEFR_Gr_2A_S1_3	Linear Static	3_G1_marciapiede	1		
SLEFR_Gr_2A_S1_3	Linear Static	4_G1_traverso	1		
SLEFR_Gr_2A_S1_3	Linear Static	5_G2_veletta	1		
SLEFR_Gr_2A_S1_3	Linear Static	6_G2_impianti	1		
SLEFR_Gr_2A_S1_3	Linear Static	7_G2_parapetti	1		
SLEFR_Gr_2A_S1_3	Linear Static	8_G2_pavimentazione	1		
SLEFR_Gr_2A_S1_3	Linear Static	9_G2_sicurvia	1		
SLEFR_Gr_2A_S1_3	Linear Static	11_Q1k	0.75		
SLEFR_Gr_2A_S1_3	Linear Static	10_q1k	0.4		
SLEFR_Gr_2A_S1_3	Linear Static	13_Q2k	0.75		
SLEFR_Gr_2A_S1_3	Linear Static	12_q2k	0.4		
SLEFR_Gr_2A_S1_3	Linear Static	16_Q_zr	0.75		
SLEFR_Gr_2A_S1_3	Linear Static	17_qfk	0.375		
SLEFR_Gr_2A_S1_3	Linear Static	20_q4_centr	0		
SLEFR_Gr_2A_S1_3	Linear Static	19_q3_frenatura	0.4		
SLEFR_Gr_2A_S1_3	Linear Static	15_Q3k	0.75		
SLEFR_Gr_2A_S1_3	Linear Static	14_q3k	0.4		
SLEFR_Gr_2A_S1_3	Response Combo	24_q_vento_tot	0		
SLEFR_Gr_2A_S1_3	Linear Static	23_q_temp F	0		
SLEFR_Gr_2A_S1_3	Linear Static	22_q_ritiro	1		
SLEFR_Gr_2A_S1_3	Linear Static	21_q8	0		
SLEFR_Gr_2A_S1_4	Linear Add	No Linear Static	DEAD	1	None
SLEFR_Gr_2A_S1_4	Linear Static	1_G1_trave	1		
SLEFR_Gr_2A_S1_4	Linear Static	2_G1_soletta	1		
SLEFR_Gr_2A_S1_4	Linear Static	3_G1_marciapiede	1		
SLEFR_Gr_2A_S1_4	Linear Static	4_G1_traverso	1		
SLEFR_Gr_2A_S1_4	Linear Static	5_G2_veletta	1		
SLEFR_Gr_2A_S1_4	Linear Static	6_G2_impianti	1		
SLEFR_Gr_2A_S1_4	Linear Static	7_G2_parapetti	1		
SLEFR_Gr_2A_S1_4	Linear Static	8_G2_pavimentazione	1		
SLEFR_Gr_2A_S1_4	Linear Static	9_G2_sicurvia	1		
SLEFR_Gr_2A_S1_4	Linear Static	11_Q1k	0.75		

RELAZIONE DI CALCOLO

COMMESSA	LOTTO	CODIFICA	DOCUMENTO	REV.	FOGLIO
NRIJ	01 D 29	CL	IV0104 001	B	169 di 341

SLEFR_Gr_2A_S1_4	Linear Static	10_q1k	0.4		
SLEFR_Gr_2A_S1_4	Linear Static	13_Q2k	0.75		
SLEFR_Gr_2A_S1_4	Linear Static	12_q2k	0.4		
SLEFR_Gr_2A_S1_4	Linear Static	16_Q_zr	0.75		
SLEFR_Gr_2A_S1_4	Linear Static	17_qfk	0.375		
SLEFR_Gr_2A_S1_4	Linear Static	20_q4_centr	0		
SLEFR_Gr_2A_S1_4	Linear Static	19_q3_frenatura	0.4		
SLEFR_Gr_2A_S1_4	Linear Static	15_Q3k	0.75		
SLEFR_Gr_2A_S1_4	Linear Static	14_q3k	0.4		
SLEFR_Gr_2A_S1_4	Response Combo	24_q_vento_tot		0	
SLEFR_Gr_2A_S1_4	Linear Static	23_q_temp F	0.6		
SLEFR_Gr_2A_S1_4	Linear Static	22_q_ritiro	1		
SLEFR_Gr_2A_S1_4	Linear Static	21_q8	0		
SLEFR_Gr_2A_S1_5	Linear Add	No Linear Static	DEAD	1	None
SLEFR_Gr_2A_S1_5	Linear Static	1_G1_trave	1		
SLEFR_Gr_2A_S1_5	Linear Static	2_G1_soletta	1		
SLEFR_Gr_2A_S1_5	Linear Static	3_G1_marciapiede		1	
SLEFR_Gr_2A_S1_5	Linear Static	4_G1_traverso	1		
SLEFR_Gr_2A_S1_5	Linear Static	5_G2_veletta	1		
SLEFR_Gr_2A_S1_5	Linear Static	6_G2_impianti	1		
SLEFR_Gr_2A_S1_5	Linear Static	7_G2_parapetti	1		
SLEFR_Gr_2A_S1_5	Linear Static	8_G2_pavimentazione		1	
SLEFR_Gr_2A_S1_5	Linear Static	9_G2_sicurvia	1		
SLEFR_Gr_2A_S1_5	Linear Static	11_Q1k	0.75		
SLEFR_Gr_2A_S1_5	Linear Static	10_q1k	0.4		
SLEFR_Gr_2A_S1_5	Linear Static	13_Q2k	0.75		
SLEFR_Gr_2A_S1_5	Linear Static	12_q2k	0.4		
SLEFR_Gr_2A_S1_5	Linear Static	16_Q_zr	0.75		
SLEFR_Gr_2A_S1_5	Linear Static	17_qfk	0.375		
SLEFR_Gr_2A_S1_5	Linear Static	20_q4_centr	0		
SLEFR_Gr_2A_S1_5	Linear Static	19_q3_frenatura	0.4		
SLEFR_Gr_2A_S1_5	Linear Static	15_Q3k	0.75		
SLEFR_Gr_2A_S1_5	Linear Static	14_q3k	0.4		
SLEFR_Gr_2A_S1_5	Response Combo	24_q_vento_tot		0	
SLEFR_Gr_2A_S1_5	Linear Static	23_q_temp F	0		
SLEFR_Gr_2A_S1_5	Linear Static	22_q_ritiro	1		
SLEFR_Gr_2A_S1_5	Linear Static	21_q8	0		
SLEFR_Gr_2A_S1_6	Linear Add	No Linear Static	DEAD	1	None
SLEFR_Gr_2A_S1_6	Linear Static	1_G1_trave	1		
SLEFR_Gr_2A_S1_6	Linear Static	2_G1_soletta	1		
SLEFR_Gr_2A_S1_6	Linear Static	3_G1_marciapiede		1	
SLEFR_Gr_2A_S1_6	Linear Static	4_G1_traverso	1		
SLEFR_Gr_2A_S1_6	Linear Static	5_G2_veletta	1		
SLEFR_Gr_2A_S1_6	Linear Static	6_G2_impianti	1		
SLEFR_Gr_2A_S1_6	Linear Static	7_G2_parapetti	1		
SLEFR_Gr_2A_S1_6	Linear Static	8_G2_pavimentazione		1	
SLEFR_Gr_2A_S1_6	Linear Static	9_G2_sicurvia	1		
SLEFR_Gr_2A_S1_6	Linear Static	11_Q1k	0		
SLEFR_Gr_2A_S1_6	Linear Static	10_q1k	0		
SLEFR_Gr_2A_S1_6	Linear Static	13_Q2k	0		
SLEFR_Gr_2A_S1_6	Linear Static	12_q2k	0		
SLEFR_Gr_2A_S1_6	Linear Static	16_Q_zr	0		
SLEFR_Gr_2A_S1_6	Linear Static	17_qfk	0.375		
SLEFR_Gr_2A_S1_6	Linear Static	20_q4_centr	0		
SLEFR_Gr_2A_S1_6	Linear Static	19_q3_frenatura	0		
SLEFR_Gr_2A_S1_6	Linear Static	15_Q3k	0		
SLEFR_Gr_2A_S1_6	Linear Static	14_q3k	0		
SLEFR_Gr_2A_S1_6	Response Combo	24_q_vento_tot		0	
SLEFR_Gr_2A_S1_6	Linear Static	23_q_temp F	0.6		
SLEFR_Gr_2A_S1_6	Linear Static	22_q_ritiro	1		
SLEFR_Gr_2A_S1_6	Linear Static	21_q8	0		
SLEFR_Gr_2A_S1_7	Linear Add	No Linear Static	DEAD	1	None

RELAZIONE DI CALCOLO

COMMESSA	LOTTO	CODIFICA	DOCUMENTO	REV.	FOGLIO
NRIJ	01 D 29	CL	IV0104 001	B	170 di 341

SLEFR_Gr_2A_S1_7	Linear Static	1_G1_trave	1		
SLEFR_Gr_2A_S1_7	Linear Static	2_G1_soletta	1		
SLEFR_Gr_2A_S1_7	Linear Static	3_G1_marciapiede	1		
SLEFR_Gr_2A_S1_7	Linear Static	4_G1_traverso	1		
SLEFR_Gr_2A_S1_7	Linear Static	5_G2_veletta	1		
SLEFR_Gr_2A_S1_7	Linear Static	6_G2_impianti	1		
SLEFR_Gr_2A_S1_7	Linear Static	7_G2_parapetti	1		
SLEFR_Gr_2A_S1_7	Linear Static	8_G2_pavimentazione	1		
SLEFR_Gr_2A_S1_7	Linear Static	9_G2_sicurvia	1		
SLEFR_Gr_2A_S1_7	Linear Static	11_Q1k	0		
SLEFR_Gr_2A_S1_7	Linear Static	10_q1k	0		
SLEFR_Gr_2A_S1_7	Linear Static	13_Q2k	0		
SLEFR_Gr_2A_S1_7	Linear Static	12_q2k	0		
SLEFR_Gr_2A_S1_7	Linear Static	16_Q_zr	0		
SLEFR_Gr_2A_S1_7	Linear Static	17_qfk	0.375		
SLEFR_Gr_2A_S1_7	Linear Static	20_q4_centr	0		
SLEFR_Gr_2A_S1_7	Linear Static	19_q3_frenatura	0		
SLEFR_Gr_2A_S1_7	Linear Static	15_Q3k	0		
SLEFR_Gr_2A_S1_7	Linear Static	14_q3k	0		
SLEFR_Gr_2A_S1_7	Response Combo	24_q_vento_tot	0		
SLEFR_Gr_2A_S1_7	Linear Static	23_q_temp F	0		
SLEFR_Gr_2A_S1_7	Linear Static	22_q_ritiro	1		
SLEFR_Gr_2A_S1_7	Linear Static	21_q8	0		
SLEFR_Gr_2A_S1_8	Linear Add	No Linear Static	DEAD	1	None
SLEFR_Gr_2A_S1_8	Linear Static	1_G1_trave	1		
SLEFR_Gr_2A_S1_8	Linear Static	2_G1_soletta	1		
SLEFR_Gr_2A_S1_8	Linear Static	3_G1_marciapiede	1		
SLEFR_Gr_2A_S1_8	Linear Static	4_G1_traverso	1		
SLEFR_Gr_2A_S1_8	Linear Static	5_G2_veletta	1		
SLEFR_Gr_2A_S1_8	Linear Static	6_G2_impianti	1		
SLEFR_Gr_2A_S1_8	Linear Static	7_G2_parapetti	1		
SLEFR_Gr_2A_S1_8	Linear Static	8_G2_pavimentazione	1		
SLEFR_Gr_2A_S1_8	Linear Static	9_G2_sicurvia	1		
SLEFR_Gr_2A_S1_8	Linear Static	11_Q1k	0		
SLEFR_Gr_2A_S1_8	Linear Static	10_q1k	0		
SLEFR_Gr_2A_S1_8	Linear Static	13_Q2k	0		
SLEFR_Gr_2A_S1_8	Linear Static	12_q2k	0		
SLEFR_Gr_2A_S1_8	Linear Static	16_Q_zr	0		
SLEFR_Gr_2A_S1_8	Linear Static	17_qfk	0.375		
SLEFR_Gr_2A_S1_8	Linear Static	20_q4_centr	0		
SLEFR_Gr_2A_S1_8	Linear Static	19_q3_frenatura	0		
SLEFR_Gr_2A_S1_8	Linear Static	15_Q3k	0		
SLEFR_Gr_2A_S1_8	Linear Static	14_q3k	0		
SLEFR_Gr_2A_S1_8	Response Combo	24_q_vento_tot	0		
SLEFR_Gr_2A_S1_8	Linear Static	23_q_temp F	0		
SLEFR_Gr_2A_S1_8	Linear Static	22_q_ritiro	1		
SLEFR_Gr_2A_S1_8	Linear Static	21_q8	0		
SLEFR_Gr_2A_S1_9	Linear Add	No Linear Static	DEAD	1	None
SLEFR_Gr_2A_S1_9	Linear Static	1_G1_trave	1		
SLEFR_Gr_2A_S1_9	Linear Static	2_G1_soletta	1		
SLEFR_Gr_2A_S1_9	Linear Static	3_G1_marciapiede	1		
SLEFR_Gr_2A_S1_9	Linear Static	4_G1_traverso	1		
SLEFR_Gr_2A_S1_9	Linear Static	5_G2_veletta	1		
SLEFR_Gr_2A_S1_9	Linear Static	6_G2_impianti	1		
SLEFR_Gr_2A_S1_9	Linear Static	7_G2_parapetti	1		
SLEFR_Gr_2A_S1_9	Linear Static	8_G2_pavimentazione	1		
SLEFR_Gr_2A_S1_9	Linear Static	9_G2_sicurvia	1		
SLEFR_Gr_2A_S1_9	Linear Static	11_Q1k	0		
SLEFR_Gr_2A_S1_9	Linear Static	10_q1k	0		
SLEFR_Gr_2A_S1_9	Linear Static	13_Q2k	0		
SLEFR_Gr_2A_S1_9	Linear Static	12_q2k	0		
SLEFR_Gr_2A_S1_9	Linear Static	16_Q_zr	0		

RELAZIONE DI CALCOLO

COMMESSA	LOTTO	CODIFICA	DOCUMENTO	REV.	FOGLIO
NRIJ	01 D 29	CL	IV0104 001	B	171 di 341

SLEFR_Gr_2A_S1_9	Linear Static	17_qfk	0.375		
SLEFR_Gr_2A_S1_9	Linear Static	20_q4_centr	0		
SLEFR_Gr_2A_S1_9	Linear Static	19_q3_frenatura	0		
SLEFR_Gr_2A_S1_9	Linear Static	15_Q3k	0		
SLEFR_Gr_2A_S1_9	Linear Static	14_q3k	0		
SLEFR_Gr_2A_S1_9	Response Combo	24_q_vento_tot	0		
SLEFR_Gr_2A_S1_9	Linear Static	23_q_temp F	0.6		
SLEFR_Gr_2A_S1_9	Linear Static	22_q_ritiro	1		
SLEFR_Gr_2A_S1_9	Linear Static	21_q8	0		
SLEFR_Gr_2A_S1_10	Linear Add	No	Linear Static	DEAD	1 None
SLEFR_Gr_2A_S1_10	Linear Static	1_G1_trave	1		
SLEFR_Gr_2A_S1_10	Linear Static	2_G1_soletta	1		
SLEFR_Gr_2A_S1_10	Linear Static	3_G1_marciapiede	1		
SLEFR_Gr_2A_S1_10	Linear Static	4_G1_traverso	1		
SLEFR_Gr_2A_S1_10	Linear Static	5_G2_veletta	1		
SLEFR_Gr_2A_S1_10	Linear Static	6_G2_impianti	1		
SLEFR_Gr_2A_S1_10	Linear Static	7_G2_parapetti	1		
SLEFR_Gr_2A_S1_10	Linear Static	8_G2_pavimentazione	1		
SLEFR_Gr_2A_S1_10	Linear Static	9_G2_sicurvia	1		
SLEFR_Gr_2A_S1_10	Linear Static	11_Q1k	0		
SLEFR_Gr_2A_S1_10	Linear Static	10_q1k	0		
SLEFR_Gr_2A_S1_10	Linear Static	13_Q2k	0		
SLEFR_Gr_2A_S1_10	Linear Static	12_q2k	0		
SLEFR_Gr_2A_S1_10	Linear Static	16_Q_zr	0		
SLEFR_Gr_2A_S1_10	Linear Static	17_qfk	0.375		
SLEFR_Gr_2A_S1_10	Linear Static	20_q4_centr	0		
SLEFR_Gr_2A_S1_10	Linear Static	19_q3_frenatura	0		
SLEFR_Gr_2A_S1_10	Linear Static	15_Q3k	0		
SLEFR_Gr_2A_S1_10	Linear Static	14_q3k	0		
SLEFR_Gr_2A_S1_10	Response Combo	24_q_vento_tot	0		
SLEFR_Gr_2A_S1_10	Linear Static	23_q_temp F	0		
SLEFR_Gr_2A_S1_10	Linear Static	22_q_ritiro	1		
SLEFR_Gr_2A_S1_10	Linear Static	21_q8	0		
SLEFR_Gr_2A_S1_11	Linear Add	No	Linear Static	DEAD	1 None
SLEFR_Gr_2A_S1_11	Linear Static	1_G1_trave	1		
SLEFR_Gr_2A_S1_11	Linear Static	2_G1_soletta	1		
SLEFR_Gr_2A_S1_11	Linear Static	3_G1_marciapiede	1		
SLEFR_Gr_2A_S1_11	Linear Static	4_G1_traverso	1		
SLEFR_Gr_2A_S1_11	Linear Static	5_G2_veletta	1		
SLEFR_Gr_2A_S1_11	Linear Static	6_G2_impianti	1		
SLEFR_Gr_2A_S1_11	Linear Static	7_G2_parapetti	1		
SLEFR_Gr_2A_S1_11	Linear Static	8_G2_pavimentazione	1		
SLEFR_Gr_2A_S1_11	Linear Static	9_G2_sicurvia	1		
SLEFR_Gr_2A_S1_11	Linear Static	11_Q1k	0.75		
SLEFR_Gr_2A_S1_11	Linear Static	10_q1k	0.4		
SLEFR_Gr_2A_S1_11	Linear Static	13_Q2k	0.75		
SLEFR_Gr_2A_S1_11	Linear Static	12_q2k	0.4		
SLEFR_Gr_2A_S1_11	Linear Static	16_Q_zr	0.75		
SLEFR_Gr_2A_S1_11	Linear Static	17_qfk	0.375		
SLEFR_Gr_2A_S1_11	Linear Static	20_q4_centr	0		
SLEFR_Gr_2A_S1_11	Linear Static	19_q3_frenatura	0.4		
SLEFR_Gr_2A_S1_11	Linear Static	15_Q3k	0.75		
SLEFR_Gr_2A_S1_11	Linear Static	14_q3k	0.4		
SLEFR_Gr_2A_S1_11	Response Combo	24_q_vento_tot	0		
SLEFR_Gr_2A_S1_11	Linear Static	23_q_temp F	0.6		
SLEFR_Gr_2A_S1_11	Linear Static	22_q_ritiro	1		
SLEFR_Gr_2A_S1_11	Linear Static	21_q8	0		
SLEFR_Gr_2A_S1_12	Linear Add	No	Linear Static	DEAD	1 None
SLEFR_Gr_2A_S1_12	Linear Static	1_G1_trave	1		
SLEFR_Gr_2A_S1_12	Linear Static	2_G1_soletta	1		
SLEFR_Gr_2A_S1_12	Linear Static	3_G1_marciapiede	1		
SLEFR_Gr_2A_S1_12	Linear Static	4_G1_traverso	1		

RELAZIONE DI CALCOLO

COMMESSA	LOTTO	CODIFICA	DOCUMENTO	REV.	FOGLIO
NRIJ	01 D 29	CL	IV0104 001	B	172 di 341

SLEFR_Gr_2A_S1_12	Linear Static	5_G2_veletta	1		
SLEFR_Gr_2A_S1_12	Linear Static	6_G2_impianti	1		
SLEFR_Gr_2A_S1_12	Linear Static	7_G2_parapetti	1		
SLEFR_Gr_2A_S1_12	Linear Static	8_G2_pavimentazione	1	1	
SLEFR_Gr_2A_S1_12	Linear Static	9_G2_sicurvia	1		
SLEFR_Gr_2A_S1_12	Linear Static	11_Q1k	0.75		
SLEFR_Gr_2A_S1_12	Linear Static	10_q1k	0.4		
SLEFR_Gr_2A_S1_12	Linear Static	13_Q2k	0.75		
SLEFR_Gr_2A_S1_12	Linear Static	12_q2k	0.4		
SLEFR_Gr_2A_S1_12	Linear Static	16_Q_zr	0.75		
SLEFR_Gr_2A_S1_12	Linear Static	17_qfk	0.375		
SLEFR_Gr_2A_S1_12	Linear Static	20_q4_centra	0		
SLEFR_Gr_2A_S1_12	Linear Static	19_q3_frenatura	0.4		
SLEFR_Gr_2A_S1_12	Linear Static	15_Q3k	0.75		
SLEFR_Gr_2A_S1_12	Linear Static	14_q3k	0.4		
SLEFR_Gr_2A_S1_12	Response Combo	24_q_vento_tot	0		
SLEFR_Gr_2A_S1_12	Linear Static	23_q_temp F	0		
SLEFR_Gr_2A_S1_12	Linear Static	22_q_ritiro	1		
SLEFR_Gr_2A_S1_12	Linear Static	21_q8	0		
SLEFR_Gr_2A_S1_13	Linear Add	No Linear Static	DEAD	1	None
SLEFR_Gr_2A_S1_13	Linear Static	1_G1_trave	1		
SLEFR_Gr_2A_S1_13	Linear Static	2_G1_soletta	1		
SLEFR_Gr_2A_S1_13	Linear Static	3_G1_marciapiede	1		
SLEFR_Gr_2A_S1_13	Linear Static	4_G1_traverso	1		
SLEFR_Gr_2A_S1_13	Linear Static	5_G2_veletta	1		
SLEFR_Gr_2A_S1_13	Linear Static	6_G2_impianti	1		
SLEFR_Gr_2A_S1_13	Linear Static	7_G2_parapetti	1		
SLEFR_Gr_2A_S1_13	Linear Static	8_G2_pavimentazione	1	1	
SLEFR_Gr_2A_S1_13	Linear Static	9_G2_sicurvia	1		
SLEFR_Gr_2A_S1_13	Linear Static	11_Q1k	0.75		
SLEFR_Gr_2A_S1_13	Linear Static	10_q1k	0.4		
SLEFR_Gr_2A_S1_13	Linear Static	13_Q2k	0.75		
SLEFR_Gr_2A_S1_13	Linear Static	12_q2k	0.4		
SLEFR_Gr_2A_S1_13	Linear Static	16_Q_zr	0.75		
SLEFR_Gr_2A_S1_13	Linear Static	17_qfk	0.375		
SLEFR_Gr_2A_S1_13	Linear Static	20_q4_centra	0		
SLEFR_Gr_2A_S1_13	Linear Static	19_q3_frenatura	0.4		
SLEFR_Gr_2A_S1_13	Linear Static	15_Q3k	0.75		
SLEFR_Gr_2A_S1_13	Linear Static	14_q3k	0.4		
SLEFR_Gr_2A_S1_13	Response Combo	24_q_vento_tot	0		
SLEFR_Gr_2A_S1_13	Linear Static	23_q_temp F	0		
SLEFR_Gr_2A_S1_13	Linear Static	22_q_ritiro	1		
SLEFR_Gr_2A_S1_13	Linear Static	21_q8	0		
SLEFR_Gr_2A_S1_14	Linear Add	No Linear Static	DEAD	1	None
SLEFR_Gr_2A_S1_14	Linear Static	1_G1_trave	1		
SLEFR_Gr_2A_S1_14	Linear Static	2_G1_soletta	1		
SLEFR_Gr_2A_S1_14	Linear Static	3_G1_marciapiede	1		
SLEFR_Gr_2A_S1_14	Linear Static	4_G1_traverso	1		
SLEFR_Gr_2A_S1_14	Linear Static	5_G2_veletta	1		
SLEFR_Gr_2A_S1_14	Linear Static	6_G2_impianti	1		
SLEFR_Gr_2A_S1_14	Linear Static	7_G2_parapetti	1		
SLEFR_Gr_2A_S1_14	Linear Static	8_G2_pavimentazione	1	1	
SLEFR_Gr_2A_S1_14	Linear Static	9_G2_sicurvia	1		
SLEFR_Gr_2A_S1_14	Linear Static	11_Q1k	0.75		
SLEFR_Gr_2A_S1_14	Linear Static	10_q1k	0.4		
SLEFR_Gr_2A_S1_14	Linear Static	13_Q2k	0.75		
SLEFR_Gr_2A_S1_14	Linear Static	12_q2k	0.4		
SLEFR_Gr_2A_S1_14	Linear Static	16_Q_zr	0.75		
SLEFR_Gr_2A_S1_14	Linear Static	17_qfk	0.375		
SLEFR_Gr_2A_S1_14	Linear Static	20_q4_centra	0		
SLEFR_Gr_2A_S1_14	Linear Static	19_q3_frenatura	0.4		
SLEFR_Gr_2A_S1_14	Linear Static	15_Q3k	0.75		

RELAZIONE DI CALCOLO

COMMESSA	LOTTO	CODIFICA	DOCUMENTO	REV.	FOGLIO
NRIJ	01 D 29	CL	IV0104 001	B	173 di 341

SLEFR_Gr_2A_S1_14	Linear Static	14_q3k	0.4		
SLEFR_Gr_2A_S1_14	Response Combo	24_q_vento_tot		0	
SLEFR_Gr_2A_S1_14	Linear Static	23_q_temp F	0.6		
SLEFR_Gr_2A_S1_14	Linear Static	22_q_ritiro	1		
SLEFR_Gr_2A_S1_14	Linear Static	21_q8	0		
SLEFR_Gr_2A_S1_15	Linear Add	No	Linear Static	DEAD	1
SLEFR_Gr_2A_S1_15					None
SLEFR_Gr_2A_S1_15	Linear Static	1_G1_trave	1		
SLEFR_Gr_2A_S1_15	Linear Static	2_G1_soletta	1		
SLEFR_Gr_2A_S1_15	Linear Static	3_G1_marciapiede		1	
SLEFR_Gr_2A_S1_15	Linear Static	4_G1_traverso	1		
SLEFR_Gr_2A_S1_15	Linear Static	5_G2_veletta	1		
SLEFR_Gr_2A_S1_15	Linear Static	6_G2_impianti	1		
SLEFR_Gr_2A_S1_15	Linear Static	7_G2_parapetti	1		
SLEFR_Gr_2A_S1_15	Linear Static	8_G2_pavimentazione		1	
SLEFR_Gr_2A_S1_15	Linear Static	9_G2_sicurvia	1		
SLEFR_Gr_2A_S1_15	Linear Static	11_Q1k	0.75		
SLEFR_Gr_2A_S1_15	Linear Static	10_q1k	0.4		
SLEFR_Gr_2A_S1_15	Linear Static	13_Q2k	0.75		
SLEFR_Gr_2A_S1_15	Linear Static	12_q2k	0.4		
SLEFR_Gr_2A_S1_15	Linear Static	16_Q_zr	0.75		
SLEFR_Gr_2A_S1_15	Linear Static	17_qfk	0.375		
SLEFR_Gr_2A_S1_15	Linear Static	20_q4_centra	0		
SLEFR_Gr_2A_S1_15	Linear Static	19_q3_frenatura	0.4		
SLEFR_Gr_2A_S1_15	Linear Static	15_Q3k	0.75		
SLEFR_Gr_2A_S1_15	Linear Static	14_q3k	0.4		
SLEFR_Gr_2A_S1_15	Response Combo	24_q_vento_tot		0	
SLEFR_Gr_2A_S1_15	Linear Static	23_q_temp F	0		
SLEFR_Gr_2A_S1_15	Linear Static	22_q_ritiro	1		
SLEFR_Gr_2A_S1_15	Linear Static	21_q8	0		
SLEFR_Gr_2A_S1_16	Linear Add	No	Linear Static	DEAD	1
SLEFR_Gr_2A_S1_16					None
SLEFR_Gr_2A_S1_16	Linear Static	1_G1_trave	1		
SLEFR_Gr_2A_S1_16	Linear Static	2_G1_soletta	1		
SLEFR_Gr_2A_S1_16	Linear Static	3_G1_marciapiede		1	
SLEFR_Gr_2A_S1_16	Linear Static	4_G1_traverso	1		
SLEFR_Gr_2A_S1_16	Linear Static	5_G2_veletta	1		
SLEFR_Gr_2A_S1_16	Linear Static	6_G2_impianti	1		
SLEFR_Gr_2A_S1_16	Linear Static	7_G2_parapetti	1		
SLEFR_Gr_2A_S1_16	Linear Static	8_G2_pavimentazione		1	
SLEFR_Gr_2A_S1_16	Linear Static	9_G2_sicurvia	1		
SLEFR_Gr_2A_S1_16	Linear Static	11_Q1k	0		
SLEFR_Gr_2A_S1_16	Linear Static	10_q1k	0		
SLEFR_Gr_2A_S1_16	Linear Static	13_Q2k	0		
SLEFR_Gr_2A_S1_16	Linear Static	12_q2k	0		
SLEFR_Gr_2A_S1_16	Linear Static	16_Q_zr	0		
SLEFR_Gr_2A_S1_16	Linear Static	17_qfk	0.375		
SLEFR_Gr_2A_S1_16	Linear Static	20_q4_centra	0		
SLEFR_Gr_2A_S1_16	Linear Static	19_q3_frenatura	0		
SLEFR_Gr_2A_S1_16	Linear Static	15_Q3k	0		
SLEFR_Gr_2A_S1_16	Linear Static	14_q3k	0		
SLEFR_Gr_2A_S1_16	Response Combo	24_q_vento_tot		0	
SLEFR_Gr_2A_S1_16	Linear Static	23_q_temp F	0.6		
SLEFR_Gr_2A_S1_16	Linear Static	22_q_ritiro	1		
SLEFR_Gr_2A_S1_16	Linear Static	21_q8	0		
SLEFR_Gr_2A_S1_17	Linear Add	No	Linear Static	DEAD	1
SLEFR_Gr_2A_S1_17					None
SLEFR_Gr_2A_S1_17	Linear Static	1_G1_trave	1		
SLEFR_Gr_2A_S1_17	Linear Static	2_G1_soletta	1		
SLEFR_Gr_2A_S1_17	Linear Static	3_G1_marciapiede		1	
SLEFR_Gr_2A_S1_17	Linear Static	4_G1_traverso	1		
SLEFR_Gr_2A_S1_17	Linear Static	5_G2_veletta	1		
SLEFR_Gr_2A_S1_17	Linear Static	6_G2_impianti	1		
SLEFR_Gr_2A_S1_17	Linear Static	7_G2_parapetti	1		
SLEFR_Gr_2A_S1_17	Linear Static	8_G2_pavimentazione		1	

RELAZIONE DI CALCOLO

COMMESSA	LOTTO	CODIFICA	DOCUMENTO	REV.	FOGLIO
NRIJ	01 D 29	CL	IV0104 001	B	174 di 341

SLEFR_Gr_2A_S1_17	Linear Static	9_G2_sicurvia	1		
SLEFR_Gr_2A_S1_17	Linear Static	11_Q1k	0		
SLEFR_Gr_2A_S1_17	Linear Static	10_q1k	0		
SLEFR_Gr_2A_S1_17	Linear Static	13_Q2k	0		
SLEFR_Gr_2A_S1_17	Linear Static	12_q2k	0		
SLEFR_Gr_2A_S1_17	Linear Static	16_Q_zr	0		
SLEFR_Gr_2A_S1_17	Linear Static	17_qfk	0.375		
SLEFR_Gr_2A_S1_17	Linear Static	20_q4_centra	0		
SLEFR_Gr_2A_S1_17	Linear Static	19_q3_frenatura	0		
SLEFR_Gr_2A_S1_17	Linear Static	15_Q3k	0		
SLEFR_Gr_2A_S1_17	Linear Static	14_q3k	0		
SLEFR_Gr_2A_S1_17	Response Combo	24_q_vento_tot	0		
SLEFR_Gr_2A_S1_17	Linear Static	23_q_temp F	0		
SLEFR_Gr_2A_S1_17	Linear Static	22_q_ritiro	1		
SLEFR_Gr_2A_S1_17	Linear Static	21_q8	0		
SLEFR_Gr_2A_S1_18	Linear Add	No Linear Static	DEAD	1	None
SLEFR_Gr_2A_S1_18	Linear Static	1_G1_trave	1		
SLEFR_Gr_2A_S1_18	Linear Static	2_G1_soletta	1		
SLEFR_Gr_2A_S1_18	Linear Static	3_G1_marcia piede	1		
SLEFR_Gr_2A_S1_18	Linear Static	4_G1_traverso	1		
SLEFR_Gr_2A_S1_18	Linear Static	5_G2_veletta	1		
SLEFR_Gr_2A_S1_18	Linear Static	6_G2_impianti	1		
SLEFR_Gr_2A_S1_18	Linear Static	7_G2_parapetti	1		
SLEFR_Gr_2A_S1_18	Linear Static	8_G2_pavimentazione	1		
SLEFR_Gr_2A_S1_18	Linear Static	9_G2_sicurvia	1		
SLEFR_Gr_2A_S1_18	Linear Static	11_Q1k	0		
SLEFR_Gr_2A_S1_18	Linear Static	10_q1k	0		
SLEFR_Gr_2A_S1_18	Linear Static	13_Q2k	0		
SLEFR_Gr_2A_S1_18	Linear Static	12_q2k	0		
SLEFR_Gr_2A_S1_18	Linear Static	16_Q_zr	0		
SLEFR_Gr_2A_S1_18	Linear Static	17_qfk	0.375		
SLEFR_Gr_2A_S1_18	Linear Static	20_q4_centra	0		
SLEFR_Gr_2A_S1_18	Linear Static	19_q3_frenatura	0		
SLEFR_Gr_2A_S1_18	Linear Static	15_Q3k	0		
SLEFR_Gr_2A_S1_18	Linear Static	14_q3k	0		
SLEFR_Gr_2A_S1_18	Response Combo	24_q_vento_tot	0		
SLEFR_Gr_2A_S1_18	Linear Static	23_q_temp F	0		
SLEFR_Gr_2A_S1_18	Linear Static	22_q_ritiro	1		
SLEFR_Gr_2A_S1_18	Linear Static	21_q8	0		
SLEFR_Gr_2A_S1_19	Linear Add	No Linear Static	DEAD	1	None
SLEFR_Gr_2A_S1_19	Linear Static	1_G1_trave	1		
SLEFR_Gr_2A_S1_19	Linear Static	2_G1_soletta	1		
SLEFR_Gr_2A_S1_19	Linear Static	3_G1_marcia piede	1		
SLEFR_Gr_2A_S1_19	Linear Static	4_G1_traverso	1		
SLEFR_Gr_2A_S1_19	Linear Static	5_G2_veletta	1		
SLEFR_Gr_2A_S1_19	Linear Static	6_G2_impianti	1		
SLEFR_Gr_2A_S1_19	Linear Static	7_G2_parapetti	1		
SLEFR_Gr_2A_S1_19	Linear Static	8_G2_pavimentazione	1		
SLEFR_Gr_2A_S1_19	Linear Static	9_G2_sicurvia	1		
SLEFR_Gr_2A_S1_19	Linear Static	11_Q1k	0		
SLEFR_Gr_2A_S1_19	Linear Static	10_q1k	0		
SLEFR_Gr_2A_S1_19	Linear Static	13_Q2k	0		
SLEFR_Gr_2A_S1_19	Linear Static	12_q2k	0		
SLEFR_Gr_2A_S1_19	Linear Static	16_Q_zr	0		
SLEFR_Gr_2A_S1_19	Linear Static	17_qfk	0.375		
SLEFR_Gr_2A_S1_19	Linear Static	20_q4_centra	0		
SLEFR_Gr_2A_S1_19	Linear Static	19_q3_frenatura	0		
SLEFR_Gr_2A_S1_19	Linear Static	15_Q3k	0		
SLEFR_Gr_2A_S1_19	Linear Static	14_q3k	0		
SLEFR_Gr_2A_S1_19	Response Combo	24_q_vento_tot	0		
SLEFR_Gr_2A_S1_19	Linear Static	23_q_temp F	0.6		
SLEFR_Gr_2A_S1_19	Linear Static	22_q_ritiro	1		

RELAZIONE DI CALCOLO

COMMESSA	LOTTO	CODIFICA	DOCUMENTO	REV.	FOGLIO
NRIJ	01 D 29	CL	IV0104 001	B	175 di 341

SLEFR_Gr_2A_S1_19		Linear Static	21_q8	0		
SLEFR_Gr_2A_S1_20	Linear Add	No Linear Static	DEAD	1	None	
SLEFR_Gr_2A_S1_20		Linear Static	1_G1_trave	1		
SLEFR_Gr_2A_S1_20		Linear Static	2_G1_soletta	1		
SLEFR_Gr_2A_S1_20		Linear Static	3_G1_marciapiede	1		
SLEFR_Gr_2A_S1_20		Linear Static	4_G1_traverso	1		
SLEFR_Gr_2A_S1_20		Linear Static	5_G2_veletta	1		
SLEFR_Gr_2A_S1_20		Linear Static	6_G2_impianti	1		
SLEFR_Gr_2A_S1_20		Linear Static	7_G2_parapetti	1		
SLEFR_Gr_2A_S1_20		Linear Static	8_G2_pavimentazione	1		
SLEFR_Gr_2A_S1_20		Linear Static	9_G2_sicurvia	1		
SLEFR_Gr_2A_S1_20		Linear Static	11_Q1k	0		
SLEFR_Gr_2A_S1_20		Linear Static	10_q1k	0		
SLEFR_Gr_2A_S1_20		Linear Static	13_Q2k	0		
SLEFR_Gr_2A_S1_20		Linear Static	12_q2k	0		
SLEFR_Gr_2A_S1_20		Linear Static	16_Q_zr	0		
SLEFR_Gr_2A_S1_20		Linear Static	17_qfk	0.375		
SLEFR_Gr_2A_S1_20		Linear Static	20_q4_centr	0		
SLEFR_Gr_2A_S1_20		Linear Static	19_q3_frenatura	0		
SLEFR_Gr_2A_S1_20		Linear Static	15_Q3k	0		
SLEFR_Gr_2A_S1_20		Linear Static	14_q3k	0		
SLEFR_Gr_2A_S1_20		Response Combo	24_q_vento_tot	0		
SLEFR_Gr_2A_S1_20		Linear Static	23_q_temp F	0		
SLEFR_Gr_2A_S1_20		Linear Static	22_q_ritiro	1		
SLEFR_Gr_2A_S1_20		Linear Static	21_q8	0		
SLEFR_Gr_2A_S1_21	Linear Add	No Linear Static	DEAD	1	None	
SLEFR_Gr_2A_S1_21		Linear Static	1_G1_trave	1		
SLEFR_Gr_2A_S1_21		Linear Static	2_G1_soletta	1		
SLEFR_Gr_2A_S1_21		Linear Static	3_G1_marciapiede	1		
SLEFR_Gr_2A_S1_21		Linear Static	4_G1_traverso	1		
SLEFR_Gr_2A_S1_21		Linear Static	5_G2_veletta	1		
SLEFR_Gr_2A_S1_21		Linear Static	6_G2_impianti	1		
SLEFR_Gr_2A_S1_21		Linear Static	7_G2_parapetti	1		
SLEFR_Gr_2A_S1_21		Linear Static	8_G2_pavimentazione	1		
SLEFR_Gr_2A_S1_21		Linear Static	9_G2_sicurvia	1		
SLEFR_Gr_2A_S1_21		Linear Static	11_Q1k	0.75		
SLEFR_Gr_2A_S1_21		Linear Static	10_q1k	0.4		
SLEFR_Gr_2A_S1_21		Linear Static	13_Q2k	0.75		
SLEFR_Gr_2A_S1_21		Linear Static	12_q2k	0.4		
SLEFR_Gr_2A_S1_21		Linear Static	16_Q_zr	0.75		
SLEFR_Gr_2A_S1_21		Linear Static	17_qfk	0.375		
SLEFR_Gr_2A_S1_21		Linear Static	20_q4_centr	0		
SLEFR_Gr_2A_S1_21		Linear Static	19_q3_frenatura	0.4		
SLEFR_Gr_2A_S1_21		Linear Static	15_Q3k	0.75		
SLEFR_Gr_2A_S1_21		Linear Static	14_q3k	0.4		
SLEFR_Gr_2A_S1_21		Response Combo	24_q_vento_tot	0		
SLEFR_Gr_2A_S1_21		Linear Static	23_q_temp F	1		
SLEFR_Gr_2A_S1_21		Linear Static	22_q_ritiro	1		
SLEFR_Gr_2A_S1_21		Linear Static	21_q8	0		
SLEFR_Gr_2A_S1_22	Linear Add	No Linear Static	DEAD	1	None	
SLEFR_Gr_2A_S1_22		Linear Static	1_G1_trave	1		
SLEFR_Gr_2A_S1_22		Linear Static	2_G1_soletta	1		
SLEFR_Gr_2A_S1_22		Linear Static	3_G1_marciapiede	1		
SLEFR_Gr_2A_S1_22		Linear Static	4_G1_traverso	1		
SLEFR_Gr_2A_S1_22		Linear Static	5_G2_veletta	1		
SLEFR_Gr_2A_S1_22		Linear Static	6_G2_impianti	1		
SLEFR_Gr_2A_S1_22		Linear Static	7_G2_parapetti	1		
SLEFR_Gr_2A_S1_22		Linear Static	8_G2_pavimentazione	1		
SLEFR_Gr_2A_S1_22		Linear Static	9_G2_sicurvia	1		
SLEFR_Gr_2A_S1_22		Linear Static	11_Q1k	0.75		
SLEFR_Gr_2A_S1_22		Linear Static	10_q1k	0.4		
SLEFR_Gr_2A_S1_22		Linear Static	13_Q2k	0.75		

RELAZIONE DI CALCOLO

COMMESSA	LOTTO	CODIFICA	DOCUMENTO	REV.	FOGLIO
NRIJ	01 D 29	CL	IV0104 001	B	176 di 341

SLEFR_Gr_2A_S1_22	Linear Static	12_q2k	0.4			
SLEFR_Gr_2A_S1_22	Linear Static	16_Q_zr	0.75			
SLEFR_Gr_2A_S1_22	Linear Static	17_qfk	0.375			
SLEFR_Gr_2A_S1_22	Linear Static	20_q4_centr	0			
SLEFR_Gr_2A_S1_22	Linear Static	19_q3_frenatura	0.4			
SLEFR_Gr_2A_S1_22	Linear Static	15_Q3k	0.75			
SLEFR_Gr_2A_S1_22	Linear Static	14_q3k	0.4			
SLEFR_Gr_2A_S1_22	Response Combo	24_q_vento_tot		0		
SLEFR_Gr_2A_S1_22	Linear Static	23_q_temp F		0		
SLEFR_Gr_2A_S1_22	Linear Static	22_q_ritiro		1		
SLEFR_Gr_2A_S1_22	Linear Static	21_q8		0		
SLEFR_Gr_2A_S1_23	Linear Add	No	Linear Static	DEAD	1	None
SLEFR_Gr_2A_S1_23	Linear Static	1_G1_trave		1		
SLEFR_Gr_2A_S1_23	Linear Static	2_G1_soletta		1		
SLEFR_Gr_2A_S1_23	Linear Static	3_G1_marcia piede		1		
SLEFR_Gr_2A_S1_23	Linear Static	4_G1_traverso		1		
SLEFR_Gr_2A_S1_23	Linear Static	5_G2_veletta		1		
SLEFR_Gr_2A_S1_23	Linear Static	6_G2_impianti		1		
SLEFR_Gr_2A_S1_23	Linear Static	7_G2_parapetti		1		
SLEFR_Gr_2A_S1_23	Linear Static	8_G2_pavimentazione		1		
SLEFR_Gr_2A_S1_23	Linear Static	9_G2_sicurvia		1		
SLEFR_Gr_2A_S1_23	Linear Static	11_Q1k	0.75			
SLEFR_Gr_2A_S1_23	Linear Static	10_q1k	0.4			
SLEFR_Gr_2A_S1_23	Linear Static	13_Q2k	0.75			
SLEFR_Gr_2A_S1_23	Linear Static	12_q2k	0.4			
SLEFR_Gr_2A_S1_23	Linear Static	16_Q_zr	0.75			
SLEFR_Gr_2A_S1_23	Linear Static	17_qfk	0.375			
SLEFR_Gr_2A_S1_23	Linear Static	20_q4_centr		0		
SLEFR_Gr_2A_S1_23	Linear Static	19_q3_frenatura		0.4		
SLEFR_Gr_2A_S1_23	Linear Static	15_Q3k		0.75		
SLEFR_Gr_2A_S1_23	Linear Static	14_q3k		0.4		
SLEFR_Gr_2A_S1_23	Response Combo	24_q_vento_tot			0	
SLEFR_Gr_2A_S1_23	Linear Static	23_q_temp F			0	
SLEFR_Gr_2A_S1_23	Linear Static	22_q_ritiro			1	
SLEFR_Gr_2A_S1_23	Linear Static	21_q8			0	
SLEFR_Gr_2A_S1_24	Linear Add	No	Linear Static	DEAD	1	None
SLEFR_Gr_2A_S1_24	Linear Static	1_G1_trave		1		
SLEFR_Gr_2A_S1_24	Linear Static	2_G1_soletta		1		
SLEFR_Gr_2A_S1_24	Linear Static	3_G1_marcia piede		1		
SLEFR_Gr_2A_S1_24	Linear Static	4_G1_traverso		1		
SLEFR_Gr_2A_S1_24	Linear Static	5_G2_veletta		1		
SLEFR_Gr_2A_S1_24	Linear Static	6_G2_impianti		1		
SLEFR_Gr_2A_S1_24	Linear Static	7_G2_parapetti		1		
SLEFR_Gr_2A_S1_24	Linear Static	8_G2_pavimentazione		1		
SLEFR_Gr_2A_S1_24	Linear Static	9_G2_sicurvia		1		
SLEFR_Gr_2A_S1_24	Linear Static	11_Q1k	0.75			
SLEFR_Gr_2A_S1_24	Linear Static	10_q1k	0.4			
SLEFR_Gr_2A_S1_24	Linear Static	13_Q2k	0.75			
SLEFR_Gr_2A_S1_24	Linear Static	12_q2k	0.4			
SLEFR_Gr_2A_S1_24	Linear Static	16_Q_zr	0.75			
SLEFR_Gr_2A_S1_24	Linear Static	17_qfk	0.375			
SLEFR_Gr_2A_S1_24	Linear Static	20_q4_centr		0		
SLEFR_Gr_2A_S1_24	Linear Static	19_q3_frenatura		0.4		
SLEFR_Gr_2A_S1_24	Linear Static	15_Q3k		0.75		
SLEFR_Gr_2A_S1_24	Linear Static	14_q3k		0.4		
SLEFR_Gr_2A_S1_24	Response Combo	24_q_vento_tot			0	
SLEFR_Gr_2A_S1_24	Linear Static	23_q_temp F			1	
SLEFR_Gr_2A_S1_24	Linear Static	22_q_ritiro			1	
SLEFR_Gr_2A_S1_24	Linear Static	21_q8			0	
SLEFR_Gr_2A_S1_25	Linear Add	No	Linear Static	DEAD	1	None
SLEFR_Gr_2A_S1_25	Linear Static	1_G1_trave		1		
SLEFR_Gr_2A_S1_25	Linear Static	2_G1_soletta		1		

RELAZIONE DI CALCOLO

COMMESSA	LOTTO	CODIFICA	DOCUMENTO	REV.	FOGLIO
NRIJ	01 D 29	CL	IV0104 001	B	177 di 341

SLEFR_Gr_2A_S1_25	Linear Static	3_G1_marciapiede	1		
SLEFR_Gr_2A_S1_25	Linear Static	4_G1_traverso	1		
SLEFR_Gr_2A_S1_25	Linear Static	5_G2_veletta	1		
SLEFR_Gr_2A_S1_25	Linear Static	6_G2_impianti	1		
SLEFR_Gr_2A_S1_25	Linear Static	7_G2_parapetti	1		
SLEFR_Gr_2A_S1_25	Linear Static	8_G2_pavimentazione	1		
SLEFR_Gr_2A_S1_25	Linear Static	9_G2_sicurvia	1		
SLEFR_Gr_2A_S1_25	Linear Static	11_Q1k	0.75		
SLEFR_Gr_2A_S1_25	Linear Static	10_q1k	0.4		
SLEFR_Gr_2A_S1_25	Linear Static	13_Q2k	0.75		
SLEFR_Gr_2A_S1_25	Linear Static	12_q2k	0.4		
SLEFR_Gr_2A_S1_25	Linear Static	16_Q_zr	0.75		
SLEFR_Gr_2A_S1_25	Linear Static	17_qfk	0.375		
SLEFR_Gr_2A_S1_25	Linear Static	20_q4_cent	0		
SLEFR_Gr_2A_S1_25	Linear Static	19_q3_frenatura	0.4		
SLEFR_Gr_2A_S1_25	Linear Static	15_Q3k	0.75		
SLEFR_Gr_2A_S1_25	Linear Static	14_q3k	0.4		
SLEFR_Gr_2A_S1_25	Response Combo	24_q_vento_tot	0		
SLEFR_Gr_2A_S1_25	Linear Static	23_q_temp F	0		
SLEFR_Gr_2A_S1_25	Linear Static	22_q_ritiro	1		
SLEFR_Gr_2A_S1_25	Linear Static	21_q8	0		
SLEFR_Gr_2A_S1_26	Linear Add	No Linear Static	DEAD	1	None
SLEFR_Gr_2A_S1_26	Linear Static	1_G1_trave	1		
SLEFR_Gr_2A_S1_26	Linear Static	2_G1_soletta	1		
SLEFR_Gr_2A_S1_26	Linear Static	3_G1_marciapiede	1		
SLEFR_Gr_2A_S1_26	Linear Static	4_G1_traverso	1		
SLEFR_Gr_2A_S1_26	Linear Static	5_G2_veletta	1		
SLEFR_Gr_2A_S1_26	Linear Static	6_G2_impianti	1		
SLEFR_Gr_2A_S1_26	Linear Static	7_G2_parapetti	1		
SLEFR_Gr_2A_S1_26	Linear Static	8_G2_pavimentazione	1		
SLEFR_Gr_2A_S1_26	Linear Static	9_G2_sicurvia	1		
SLEFR_Gr_2A_S1_26	Linear Static	11_Q1k	0		
SLEFR_Gr_2A_S1_26	Linear Static	10_q1k	0		
SLEFR_Gr_2A_S1_26	Linear Static	13_Q2k	0		
SLEFR_Gr_2A_S1_26	Linear Static	12_q2k	0		
SLEFR_Gr_2A_S1_26	Linear Static	16_Q_zr	0		
SLEFR_Gr_2A_S1_26	Linear Static	17_qfk	0.375		
SLEFR_Gr_2A_S1_26	Linear Static	20_q4_cent	0		
SLEFR_Gr_2A_S1_26	Linear Static	19_q3_frenatura	0		
SLEFR_Gr_2A_S1_26	Linear Static	15_Q3k	0		
SLEFR_Gr_2A_S1_26	Linear Static	14_q3k	0		
SLEFR_Gr_2A_S1_26	Response Combo	24_q_vento_tot	0		
SLEFR_Gr_2A_S1_26	Linear Static	23_q_temp F	1		
SLEFR_Gr_2A_S1_26	Linear Static	22_q_ritiro	1		
SLEFR_Gr_2A_S1_26	Linear Static	21_q8	0		
SLEFR_Gr_2A_S1_27	Linear Add	No Linear Static	DEAD	1	None
SLEFR_Gr_2A_S1_27	Linear Static	1_G1_trave	1		
SLEFR_Gr_2A_S1_27	Linear Static	2_G1_soletta	1		
SLEFR_Gr_2A_S1_27	Linear Static	3_G1_marciapiede	1		
SLEFR_Gr_2A_S1_27	Linear Static	4_G1_traverso	1		
SLEFR_Gr_2A_S1_27	Linear Static	5_G2_veletta	1		
SLEFR_Gr_2A_S1_27	Linear Static	6_G2_impianti	1		
SLEFR_Gr_2A_S1_27	Linear Static	7_G2_parapetti	1		
SLEFR_Gr_2A_S1_27	Linear Static	8_G2_pavimentazione	1		
SLEFR_Gr_2A_S1_27	Linear Static	9_G2_sicurvia	1		
SLEFR_Gr_2A_S1_27	Linear Static	11_Q1k	0		
SLEFR_Gr_2A_S1_27	Linear Static	10_q1k	0		
SLEFR_Gr_2A_S1_27	Linear Static	13_Q2k	0		
SLEFR_Gr_2A_S1_27	Linear Static	12_q2k	0		
SLEFR_Gr_2A_S1_27	Linear Static	16_Q_zr	0		
SLEFR_Gr_2A_S1_27	Linear Static	17_qfk	0.375		
SLEFR_Gr_2A_S1_27	Linear Static	20_q4_cent	0		

RELAZIONE DI CALCOLO

COMMESSA	LOTTO	CODIFICA	DOCUMENTO	REV.	FOGLIO
NRIJ	01 D 29	CL	IV0104 001	B	178 di 341

SLEFR_Gr_2A_S1_27	Linear Static	19_q3_frenatura	0		
SLEFR_Gr_2A_S1_27	Linear Static	15_Q3k	0		
SLEFR_Gr_2A_S1_27	Linear Static	14_q3k	0		
SLEFR_Gr_2A_S1_27	Response Combo	24_q_vento_tot	0		
SLEFR_Gr_2A_S1_27	Linear Static	23_q_temp F	0		
SLEFR_Gr_2A_S1_27	Linear Static	22_q_ritiro	1		
SLEFR_Gr_2A_S1_27	Linear Static	21_q8	0		
SLEFR_Gr_2A_S1_28	Linear Add	No Linear Static	DEAD	1	None
SLEFR_Gr_2A_S1_28	Linear Static	1_G1_trave	1		
SLEFR_Gr_2A_S1_28	Linear Static	2_G1_soletta	1		
SLEFR_Gr_2A_S1_28	Linear Static	3_G1_marciapiede	1		
SLEFR_Gr_2A_S1_28	Linear Static	4_G1_traverso	1		
SLEFR_Gr_2A_S1_28	Linear Static	5_G2_veletta	1		
SLEFR_Gr_2A_S1_28	Linear Static	6_G2_impianti	1		
SLEFR_Gr_2A_S1_28	Linear Static	7_G2_parapetti	1		
SLEFR_Gr_2A_S1_28	Linear Static	8_G2_pavimentazione	1		
SLEFR_Gr_2A_S1_28	Linear Static	9_G2_sicurvia	1		
SLEFR_Gr_2A_S1_28	Linear Static	11_Q1k	0		
SLEFR_Gr_2A_S1_28	Linear Static	10_q1k	0		
SLEFR_Gr_2A_S1_28	Linear Static	13_Q2k	0		
SLEFR_Gr_2A_S1_28	Linear Static	12_q2k	0		
SLEFR_Gr_2A_S1_28	Linear Static	16_Q_zr	0		
SLEFR_Gr_2A_S1_28	Linear Static	17_qfk	0.375		
SLEFR_Gr_2A_S1_28	Linear Static	20_q4_centr	0		
SLEFR_Gr_2A_S1_28	Linear Static	19_q3_frenatura	0		
SLEFR_Gr_2A_S1_28	Linear Static	15_Q3k	0		
SLEFR_Gr_2A_S1_28	Linear Static	14_q3k	0		
SLEFR_Gr_2A_S1_28	Response Combo	24_q_vento_tot	0		
SLEFR_Gr_2A_S1_28	Linear Static	23_q_temp F	0		
SLEFR_Gr_2A_S1_28	Linear Static	22_q_ritiro	1		
SLEFR_Gr_2A_S1_28	Linear Static	21_q8	0		
SLEFR_Gr_2A_S1_29	Linear Add	No Linear Static	DEAD	1	None
SLEFR_Gr_2A_S1_29	Linear Static	1_G1_trave	1		
SLEFR_Gr_2A_S1_29	Linear Static	2_G1_soletta	1		
SLEFR_Gr_2A_S1_29	Linear Static	3_G1_marciapiede	1		
SLEFR_Gr_2A_S1_29	Linear Static	4_G1_traverso	1		
SLEFR_Gr_2A_S1_29	Linear Static	5_G2_veletta	1		
SLEFR_Gr_2A_S1_29	Linear Static	6_G2_impianti	1		
SLEFR_Gr_2A_S1_29	Linear Static	7_G2_parapetti	1		
SLEFR_Gr_2A_S1_29	Linear Static	8_G2_pavimentazione	1		
SLEFR_Gr_2A_S1_29	Linear Static	9_G2_sicurvia	1		
SLEFR_Gr_2A_S1_29	Linear Static	11_Q1k	0		
SLEFR_Gr_2A_S1_29	Linear Static	10_q1k	0		
SLEFR_Gr_2A_S1_29	Linear Static	13_Q2k	0		
SLEFR_Gr_2A_S1_29	Linear Static	12_q2k	0		
SLEFR_Gr_2A_S1_29	Linear Static	16_Q_zr	0		
SLEFR_Gr_2A_S1_29	Linear Static	17_qfk	0.375		
SLEFR_Gr_2A_S1_29	Linear Static	20_q4_centr	0		
SLEFR_Gr_2A_S1_29	Linear Static	19_q3_frenatura	0		
SLEFR_Gr_2A_S1_29	Linear Static	15_Q3k	0		
SLEFR_Gr_2A_S1_29	Linear Static	14_q3k	0		
SLEFR_Gr_2A_S1_29	Response Combo	24_q_vento_tot	0		
SLEFR_Gr_2A_S1_29	Linear Static	23_q_temp F	1		
SLEFR_Gr_2A_S1_29	Linear Static	22_q_ritiro	1		
SLEFR_Gr_2A_S1_29	Linear Static	21_q8	0		
SLEFR_Gr_2A_S1_30	Linear Add	No Linear Static	DEAD	1	None
SLEFR_Gr_2A_S1_30	Linear Static	1_G1_trave	1		
SLEFR_Gr_2A_S1_30	Linear Static	2_G1_soletta	1		
SLEFR_Gr_2A_S1_30	Linear Static	3_G1_marciapiede	1		
SLEFR_Gr_2A_S1_30	Linear Static	4_G1_traverso	1		
SLEFR_Gr_2A_S1_30	Linear Static	5_G2_veletta	1		
SLEFR_Gr_2A_S1_30	Linear Static	6_G2_impianti	1		

RELAZIONE DI CALCOLO

COMMESSA	LOTTO	CODIFICA	DOCUMENTO	REV.	FOGLIO
NRIJ	01 D 29	CL	IV0104 001	B	179 di 341

SLEFR_Gr_2A_S1_30	Linear Static	7_G2_parapetti	1		
SLEFR_Gr_2A_S1_30	Linear Static	8_G2_pavimentazione	1		
SLEFR_Gr_2A_S1_30	Linear Static	9_G2_sicurvia	1		
SLEFR_Gr_2A_S1_30	Linear Static	11_Q1k	0		
SLEFR_Gr_2A_S1_30	Linear Static	10_q1k	0		
SLEFR_Gr_2A_S1_30	Linear Static	13_Q2k	0		
SLEFR_Gr_2A_S1_30	Linear Static	12_q2k	0		
SLEFR_Gr_2A_S1_30	Linear Static	16_Q_zr	0		
SLEFR_Gr_2A_S1_30	Linear Static	17_qfk	0.375		
SLEFR_Gr_2A_S1_30	Linear Static	20_q4_centra	0		
SLEFR_Gr_2A_S1_30	Linear Static	19_q3_frenatura	0		
SLEFR_Gr_2A_S1_30	Linear Static	15_Q3k	0		
SLEFR_Gr_2A_S1_30	Linear Static	14_q3k	0		
SLEFR_Gr_2A_S1_30	Response Combo	24_q_vento_tot	0		
SLEFR_Gr_2A_S1_30	Linear Static	23_q_temp F	0		
SLEFR_Gr_2A_S1_30	Linear Static	22_q_ritiro	1		
SLEFR_Gr_2A_S1_30	Linear Static	21_q8	0		
SLEFR_Gr_2A_S1_31	Linear Add	No Linear Static	DEAD	1	None
SLEFR_Gr_2A_S1_31	Linear Static	1_G1_trave	1		
SLEFR_Gr_2A_S1_31	Linear Static	2_G1_soletta	1		
SLEFR_Gr_2A_S1_31	Linear Static	3_G1_marciapiede	1		
SLEFR_Gr_2A_S1_31	Linear Static	4_G1_traverso	1		
SLEFR_Gr_2A_S1_31	Linear Static	5_G2_veletta	1		
SLEFR_Gr_2A_S1_31	Linear Static	6_G2_impianti	1		
SLEFR_Gr_2A_S1_31	Linear Static	7_G2_parapetti	1		
SLEFR_Gr_2A_S1_31	Linear Static	8_G2_pavimentazione	1		
SLEFR_Gr_2A_S1_31	Linear Static	9_G2_sicurvia	1		
SLEFR_Gr_2A_S1_31	Linear Static	11_Q1k	0.75		
SLEFR_Gr_2A_S1_31	Linear Static	10_q1k	0.4		
SLEFR_Gr_2A_S1_31	Linear Static	13_Q2k	0.75		
SLEFR_Gr_2A_S1_31	Linear Static	12_q2k	0.4		
SLEFR_Gr_2A_S1_31	Linear Static	16_Q_zr	0.75		
SLEFR_Gr_2A_S1_31	Linear Static	17_qfk	0.375		
SLEFR_Gr_2A_S1_31	Linear Static	20_q4_centra	0		
SLEFR_Gr_2A_S1_31	Linear Static	19_q3_frenatura	0.4		
SLEFR_Gr_2A_S1_31	Linear Static	15_Q3k	0.75		
SLEFR_Gr_2A_S1_31	Linear Static	14_q3k	0.4		
SLEFR_Gr_2A_S1_31	Response Combo	24_q_vento_tot	0		
SLEFR_Gr_2A_S1_31	Linear Static	23_q_temp F	0.6		
SLEFR_Gr_2A_S1_31	Linear Static	22_q_ritiro	1		
SLEFR_Gr_2A_S1_31	Linear Static	21_q8	0		
SLEFR_Gr_2A_S1_32	Linear Add	No Linear Static	DEAD	1	None
SLEFR_Gr_2A_S1_32	Linear Static	1_G1_trave	1		
SLEFR_Gr_2A_S1_32	Linear Static	2_G1_soletta	1		
SLEFR_Gr_2A_S1_32	Linear Static	3_G1_marciapiede	1		
SLEFR_Gr_2A_S1_32	Linear Static	4_G1_traverso	1		
SLEFR_Gr_2A_S1_32	Linear Static	5_G2_veletta	1		
SLEFR_Gr_2A_S1_32	Linear Static	6_G2_impianti	1		
SLEFR_Gr_2A_S1_32	Linear Static	7_G2_parapetti	1		
SLEFR_Gr_2A_S1_32	Linear Static	8_G2_pavimentazione	1		
SLEFR_Gr_2A_S1_32	Linear Static	9_G2_sicurvia	1		
SLEFR_Gr_2A_S1_32	Linear Static	11_Q1k	0.75		
SLEFR_Gr_2A_S1_32	Linear Static	10_q1k	0.4		
SLEFR_Gr_2A_S1_32	Linear Static	13_Q2k	0.75		
SLEFR_Gr_2A_S1_32	Linear Static	12_q2k	0.4		
SLEFR_Gr_2A_S1_32	Linear Static	16_Q_zr	0.75		
SLEFR_Gr_2A_S1_32	Linear Static	17_qfk	0.375		
SLEFR_Gr_2A_S1_32	Linear Static	20_q4_centra	0		
SLEFR_Gr_2A_S1_32	Linear Static	19_q3_frenatura	0.4		
SLEFR_Gr_2A_S1_32	Linear Static	15_Q3k	0.75		
SLEFR_Gr_2A_S1_32	Linear Static	14_q3k	0.4		
SLEFR_Gr_2A_S1_32	Response Combo	24_q_vento_tot	0		

RELAZIONE DI CALCOLO

COMMESSA	LOTTO	CODIFICA	DOCUMENTO	REV.	FOGLIO
NRIJ	01 D 29	CL	IV0104 001	B	180 di 341

SLEFR_Gr_2A_S1_32	Linear Static	23_q_temp F	0		
SLEFR_Gr_2A_S1_32	Linear Static	22_q_ritiro	1		
SLEFR_Gr_2A_S1_32	Linear Static	21_q8	0		
SLEFR_Gr_2A_S1_33	Linear Add	No Linear Static	DEAD	1	None
SLEFR_Gr_2A_S1_33	Linear Static	1_G1_trave	1		
SLEFR_Gr_2A_S1_33	Linear Static	2_G1_soletta	1		
SLEFR_Gr_2A_S1_33	Linear Static	3_G1_marciapiede	1		
SLEFR_Gr_2A_S1_33	Linear Static	4_G1_traverso	1		
SLEFR_Gr_2A_S1_33	Linear Static	5_G2_veletta	1		
SLEFR_Gr_2A_S1_33	Linear Static	6_G2_impianti	1		
SLEFR_Gr_2A_S1_33	Linear Static	7_G2_parapetti	1		
SLEFR_Gr_2A_S1_33	Linear Static	8_G2_pavimentazione	1		
SLEFR_Gr_2A_S1_33	Linear Static	9_G2_sicurvia	1		
SLEFR_Gr_2A_S1_33	Linear Static	11_Q1k	0.75		
SLEFR_Gr_2A_S1_33	Linear Static	10_q1k	0.4		
SLEFR_Gr_2A_S1_33	Linear Static	13_Q2k	0.75		
SLEFR_Gr_2A_S1_33	Linear Static	12_q2k	0.4		
SLEFR_Gr_2A_S1_33	Linear Static	16_Q_zr	0.75		
SLEFR_Gr_2A_S1_33	Linear Static	17_qfk	0.375		
SLEFR_Gr_2A_S1_33	Linear Static	20_q4_centra	0		
SLEFR_Gr_2A_S1_33	Linear Static	19_q3_frenatura	0.4		
SLEFR_Gr_2A_S1_33	Linear Static	15_Q3k	0.75		
SLEFR_Gr_2A_S1_33	Linear Static	14_q3k	0.4		
SLEFR_Gr_2A_S1_33	Response Combo	24_q_vento_tot	0		
SLEFR_Gr_2A_S1_33	Linear Static	23_q_temp F	0		
SLEFR_Gr_2A_S1_33	Linear Static	22_q_ritiro	1		
SLEFR_Gr_2A_S1_33	Linear Static	21_q8	0		
SLEFR_Gr_2A_S1_34	Linear Add	No Linear Static	DEAD	1	None
SLEFR_Gr_2A_S1_34	Linear Static	1_G1_trave	1		
SLEFR_Gr_2A_S1_34	Linear Static	2_G1_soletta	1		
SLEFR_Gr_2A_S1_34	Linear Static	3_G1_marciapiede	1		
SLEFR_Gr_2A_S1_34	Linear Static	4_G1_traverso	1		
SLEFR_Gr_2A_S1_34	Linear Static	5_G2_veletta	1		
SLEFR_Gr_2A_S1_34	Linear Static	6_G2_impianti	1		
SLEFR_Gr_2A_S1_34	Linear Static	7_G2_parapetti	1		
SLEFR_Gr_2A_S1_34	Linear Static	8_G2_pavimentazione	1		
SLEFR_Gr_2A_S1_34	Linear Static	9_G2_sicurvia	1		
SLEFR_Gr_2A_S1_34	Linear Static	11_Q1k	0.75		
SLEFR_Gr_2A_S1_34	Linear Static	10_q1k	0.4		
SLEFR_Gr_2A_S1_34	Linear Static	13_Q2k	0.75		
SLEFR_Gr_2A_S1_34	Linear Static	12_q2k	0.4		
SLEFR_Gr_2A_S1_34	Linear Static	16_Q_zr	0.75		
SLEFR_Gr_2A_S1_34	Linear Static	17_qfk	0.375		
SLEFR_Gr_2A_S1_34	Linear Static	20_q4_centra	0		
SLEFR_Gr_2A_S1_34	Linear Static	19_q3_frenatura	0.4		
SLEFR_Gr_2A_S1_34	Linear Static	15_Q3k	0.75		
SLEFR_Gr_2A_S1_34	Linear Static	14_q3k	0.4		
SLEFR_Gr_2A_S1_34	Response Combo	24_q_vento_tot	0		
SLEFR_Gr_2A_S1_34	Linear Static	23_q_temp F	0.6		
SLEFR_Gr_2A_S1_34	Linear Static	22_q_ritiro	1		
SLEFR_Gr_2A_S1_34	Linear Static	21_q8	0		
SLEFR_Gr_2A_S1_35	Linear Add	No Linear Static	DEAD	1	None
SLEFR_Gr_2A_S1_35	Linear Static	1_G1_trave	1		
SLEFR_Gr_2A_S1_35	Linear Static	2_G1_soletta	1		
SLEFR_Gr_2A_S1_35	Linear Static	3_G1_marciapiede	1		
SLEFR_Gr_2A_S1_35	Linear Static	4_G1_traverso	1		
SLEFR_Gr_2A_S1_35	Linear Static	5_G2_veletta	1		
SLEFR_Gr_2A_S1_35	Linear Static	6_G2_impianti	1		
SLEFR_Gr_2A_S1_35	Linear Static	7_G2_parapetti	1		
SLEFR_Gr_2A_S1_35	Linear Static	8_G2_pavimentazione	1		
SLEFR_Gr_2A_S1_35	Linear Static	9_G2_sicurvia	1		
SLEFR_Gr_2A_S1_35	Linear Static	11_Q1k	0.75		

RELAZIONE DI CALCOLO

COMMESSA	LOTTO	CODIFICA	DOCUMENTO	REV.	FOGLIO
NRIJ	01 D 29	CL	IV0104 001	B	181 di 341

SLEFR_Gr_2A_S1_35	Linear Static	10_q1k	0.4		
SLEFR_Gr_2A_S1_35	Linear Static	13_Q2k	0.75		
SLEFR_Gr_2A_S1_35	Linear Static	12_q2k	0.4		
SLEFR_Gr_2A_S1_35	Linear Static	16_Q_zr	0.75		
SLEFR_Gr_2A_S1_35	Linear Static	17_qfk	0.375		
SLEFR_Gr_2A_S1_35	Linear Static	20_q4_cent	0		
SLEFR_Gr_2A_S1_35	Linear Static	19_q3_frenatura	0.4		
SLEFR_Gr_2A_S1_35	Linear Static	15_Q3k	0.75		
SLEFR_Gr_2A_S1_35	Linear Static	14_q3k	0.4		
SLEFR_Gr_2A_S1_35	Response Combo	24_q_vento_tot		0	
SLEFR_Gr_2A_S1_35	Linear Static	23_q_temp F	0		
SLEFR_Gr_2A_S1_35	Linear Static	22_q_ritiro	1		
SLEFR_Gr_2A_S1_35	Linear Static	21_q8	0		
SLEFR_Gr_2A_S1_36	Linear Add	No Linear Static	DEAD	1	None
SLEFR_Gr_2A_S1_36	Linear Static	1_G1_trave	1		
SLEFR_Gr_2A_S1_36	Linear Static	2_G1_soletta	1		
SLEFR_Gr_2A_S1_36	Linear Static	3_G1_marcia piede	1		
SLEFR_Gr_2A_S1_36	Linear Static	4_G1_traverso	1		
SLEFR_Gr_2A_S1_36	Linear Static	5_G2_veletta	1		
SLEFR_Gr_2A_S1_36	Linear Static	6_G2_impianti	1		
SLEFR_Gr_2A_S1_36	Linear Static	7_G2_parapetti	1		
SLEFR_Gr_2A_S1_36	Linear Static	8_G2_pavimentazione		1	
SLEFR_Gr_2A_S1_36	Linear Static	9_G2_sicurvia	1		
SLEFR_Gr_2A_S1_36	Linear Static	11_Q1k	0		
SLEFR_Gr_2A_S1_36	Linear Static	10_q1k	0		
SLEFR_Gr_2A_S1_36	Linear Static	13_Q2k	0		
SLEFR_Gr_2A_S1_36	Linear Static	12_q2k	0		
SLEFR_Gr_2A_S1_36	Linear Static	16_Q_zr	0		
SLEFR_Gr_2A_S1_36	Linear Static	17_qfk	0.375		
SLEFR_Gr_2A_S1_36	Linear Static	20_q4_cent	0		
SLEFR_Gr_2A_S1_36	Linear Static	19_q3_frenatura	0		
SLEFR_Gr_2A_S1_36	Linear Static	15_Q3k	0		
SLEFR_Gr_2A_S1_36	Linear Static	14_q3k	0		
SLEFR_Gr_2A_S1_36	Response Combo	24_q_vento_tot		0	
SLEFR_Gr_2A_S1_36	Linear Static	23_q_temp F	0.6		
SLEFR_Gr_2A_S1_36	Linear Static	22_q_ritiro	1		
SLEFR_Gr_2A_S1_36	Linear Static	21_q8	0		
SLEFR_Gr_2A_S1_37	Linear Add	No Linear Static	DEAD	1	None
SLEFR_Gr_2A_S1_37	Linear Static	1_G1_trave	1		
SLEFR_Gr_2A_S1_37	Linear Static	2_G1_soletta	1		
SLEFR_Gr_2A_S1_37	Linear Static	3_G1_marcia piede	1		
SLEFR_Gr_2A_S1_37	Linear Static	4_G1_traverso	1		
SLEFR_Gr_2A_S1_37	Linear Static	5_G2_veletta	1		
SLEFR_Gr_2A_S1_37	Linear Static	6_G2_impianti	1		
SLEFR_Gr_2A_S1_37	Linear Static	7_G2_parapetti	1		
SLEFR_Gr_2A_S1_37	Linear Static	8_G2_pavimentazione		1	
SLEFR_Gr_2A_S1_37	Linear Static	9_G2_sicurvia	1		
SLEFR_Gr_2A_S1_37	Linear Static	11_Q1k	0		
SLEFR_Gr_2A_S1_37	Linear Static	10_q1k	0		
SLEFR_Gr_2A_S1_37	Linear Static	13_Q2k	0		
SLEFR_Gr_2A_S1_37	Linear Static	12_q2k	0		
SLEFR_Gr_2A_S1_37	Linear Static	16_Q_zr	0		
SLEFR_Gr_2A_S1_37	Linear Static	17_qfk	0.375		
SLEFR_Gr_2A_S1_37	Linear Static	20_q4_cent	0		
SLEFR_Gr_2A_S1_37	Linear Static	19_q3_frenatura	0		
SLEFR_Gr_2A_S1_37	Linear Static	15_Q3k	0		
SLEFR_Gr_2A_S1_37	Linear Static	14_q3k	0		
SLEFR_Gr_2A_S1_37	Response Combo	24_q_vento_tot		0	
SLEFR_Gr_2A_S1_37	Linear Static	23_q_temp F	0		
SLEFR_Gr_2A_S1_37	Linear Static	22_q_ritiro	1		
SLEFR_Gr_2A_S1_37	Linear Static	21_q8	0		
SLEFR_Gr_2A_S1_38	Linear Add	No Linear Static	DEAD	1	None

RELAZIONE DI CALCOLO

COMMESSA	LOTTO	CODIFICA	DOCUMENTO	REV.	FOGLIO
NRIJ	01 D 29	CL	IV0104 001	B	182 di 341

SLEFR_Gr_2A_S1_38	Linear Static	1_G1_trave	1		
SLEFR_Gr_2A_S1_38	Linear Static	2_G1_soletta	1		
SLEFR_Gr_2A_S1_38	Linear Static	3_G1_marciapiede	1		
SLEFR_Gr_2A_S1_38	Linear Static	4_G1_traverso	1		
SLEFR_Gr_2A_S1_38	Linear Static	5_G2_veletta	1		
SLEFR_Gr_2A_S1_38	Linear Static	6_G2_impianti	1		
SLEFR_Gr_2A_S1_38	Linear Static	7_G2_parapetti	1		
SLEFR_Gr_2A_S1_38	Linear Static	8_G2_pavimentazione	1		
SLEFR_Gr_2A_S1_38	Linear Static	9_G2_sicurvia	1		
SLEFR_Gr_2A_S1_38	Linear Static	11_Q1k	0		
SLEFR_Gr_2A_S1_38	Linear Static	10_q1k	0		
SLEFR_Gr_2A_S1_38	Linear Static	13_Q2k	0		
SLEFR_Gr_2A_S1_38	Linear Static	12_q2k	0		
SLEFR_Gr_2A_S1_38	Linear Static	16_Q_zr	0		
SLEFR_Gr_2A_S1_38	Linear Static	17_qfk	0.375		
SLEFR_Gr_2A_S1_38	Linear Static	20_q4_centr	0		
SLEFR_Gr_2A_S1_38	Linear Static	19_q3_frenatura	0		
SLEFR_Gr_2A_S1_38	Linear Static	15_Q3k	0		
SLEFR_Gr_2A_S1_38	Linear Static	14_q3k	0		
SLEFR_Gr_2A_S1_38	Response Combo	24_q_vento_tot	0		
SLEFR_Gr_2A_S1_38	Linear Static	23_q_temp F	0		
SLEFR_Gr_2A_S1_38	Linear Static	22_q_ritiro	1		
SLEFR_Gr_2A_S1_38	Linear Static	21_q8	0		
SLEFR_Gr_2A_S1_39	Linear Add	No Linear Static	DEAD	1	None
SLEFR_Gr_2A_S1_39	Linear Static	1_G1_trave	1		
SLEFR_Gr_2A_S1_39	Linear Static	2_G1_soletta	1		
SLEFR_Gr_2A_S1_39	Linear Static	3_G1_marciapiede	1		
SLEFR_Gr_2A_S1_39	Linear Static	4_G1_traverso	1		
SLEFR_Gr_2A_S1_39	Linear Static	5_G2_veletta	1		
SLEFR_Gr_2A_S1_39	Linear Static	6_G2_impianti	1		
SLEFR_Gr_2A_S1_39	Linear Static	7_G2_parapetti	1		
SLEFR_Gr_2A_S1_39	Linear Static	8_G2_pavimentazione	1		
SLEFR_Gr_2A_S1_39	Linear Static	9_G2_sicurvia	1		
SLEFR_Gr_2A_S1_39	Linear Static	11_Q1k	0		
SLEFR_Gr_2A_S1_39	Linear Static	10_q1k	0		
SLEFR_Gr_2A_S1_39	Linear Static	13_Q2k	0		
SLEFR_Gr_2A_S1_39	Linear Static	12_q2k	0		
SLEFR_Gr_2A_S1_39	Linear Static	16_Q_zr	0		
SLEFR_Gr_2A_S1_39	Linear Static	17_qfk	0.375		
SLEFR_Gr_2A_S1_39	Linear Static	20_q4_centr	0		
SLEFR_Gr_2A_S1_39	Linear Static	19_q3_frenatura	0		
SLEFR_Gr_2A_S1_39	Linear Static	15_Q3k	0		
SLEFR_Gr_2A_S1_39	Linear Static	14_q3k	0		
SLEFR_Gr_2A_S1_39	Response Combo	24_q_vento_tot	0		
SLEFR_Gr_2A_S1_39	Linear Static	23_q_temp F	0.6		
SLEFR_Gr_2A_S1_39	Linear Static	22_q_ritiro	1		
SLEFR_Gr_2A_S1_39	Linear Static	21_q8	0		
SLEFR_Gr_2A_S1_40	Linear Add	No Linear Static	DEAD	1	None
SLEFR_Gr_2A_S1_40	Linear Static	1_G1_trave	1		
SLEFR_Gr_2A_S1_40	Linear Static	2_G1_soletta	1		
SLEFR_Gr_2A_S1_40	Linear Static	3_G1_marciapiede	1		
SLEFR_Gr_2A_S1_40	Linear Static	4_G1_traverso	1		
SLEFR_Gr_2A_S1_40	Linear Static	5_G2_veletta	1		
SLEFR_Gr_2A_S1_40	Linear Static	6_G2_impianti	1		
SLEFR_Gr_2A_S1_40	Linear Static	7_G2_parapetti	1		
SLEFR_Gr_2A_S1_40	Linear Static	8_G2_pavimentazione	1		
SLEFR_Gr_2A_S1_40	Linear Static	9_G2_sicurvia	1		
SLEFR_Gr_2A_S1_40	Linear Static	11_Q1k	0		
SLEFR_Gr_2A_S1_40	Linear Static	10_q1k	0		
SLEFR_Gr_2A_S1_40	Linear Static	13_Q2k	0		
SLEFR_Gr_2A_S1_40	Linear Static	12_q2k	0		
SLEFR_Gr_2A_S1_40	Linear Static	16_Q_zr	0		

RELAZIONE DI CALCOLO

COMMESSA	LOTTO	CODIFICA	DOCUMENTO	REV.	FOGLIO
NRIJ	01 D 29	CL	IV0104 001	B	183 di 341

SLEFR_Gr_2A_S1_40	Linear Static	17_qfk	0.375		
SLEFR_Gr_2A_S1_40	Linear Static	20_q4_centra	0		
SLEFR_Gr_2A_S1_40	Linear Static	19_q3_frenatura	0		
SLEFR_Gr_2A_S1_40	Linear Static	15_Q3k	0		
SLEFR_Gr_2A_S1_40	Linear Static	14_q3k	0		
SLEFR_Gr_2A_S1_40	Response Combo	24_q_vento_tot	0		
SLEFR_Gr_2A_S1_40	Linear Static	23_q_temp F	0		
SLEFR_Gr_2A_S1_40	Linear Static	22_q_ritiro	1		
SLEFR_Gr_2A_S1_40	Linear Static	21_q8	0		
SLEQP_Gr_1_S1_1	Linear Add	No Linear Static	DEAD	1	None
SLEQP_Gr_1_S1_1	Linear Static	1_G1_trave	1		
SLEQP_Gr_1_S1_1	Linear Static	2_G1_soletta	1		
SLEQP_Gr_1_S1_1	Linear Static	3_G1_marciapiede	1		
SLEQP_Gr_1_S1_1	Linear Static	4_G1_traverso	1		
SLEQP_Gr_1_S1_1	Linear Static	5_G2_veletta	1		
SLEQP_Gr_1_S1_1	Linear Static	6_G2_impianti	1		
SLEQP_Gr_1_S1_1	Linear Static	7_G2_parapetti	1		
SLEQP_Gr_1_S1_1	Linear Static	8_G2_pavimentazione	1		
SLEQP_Gr_1_S1_1	Linear Static	9_G2_sicurvia	1		
SLEQP_Gr_1_S1_1	Linear Static	11_Q1k	0		
SLEQP_Gr_1_S1_1	Linear Static	10_q1k	0		
SLEQP_Gr_1_S1_1	Linear Static	13_Q2k	0		
SLEQP_Gr_1_S1_1	Linear Static	12_q2k	0		
SLEQP_Gr_1_S1_1	Linear Static	16_Q_zr	0		
SLEQP_Gr_1_S1_1	Linear Static	17_qfk	0		
SLEQP_Gr_1_S1_1	Linear Static	20_q4_centra	0		
SLEQP_Gr_1_S1_1	Linear Static	19_q3_frenatura	0		
SLEQP_Gr_1_S1_1	Linear Static	15_Q3k	0		
SLEQP_Gr_1_S1_1	Linear Static	14_q3k	0		
SLEQP_Gr_1_S1_1	Response Combo	24_q_vento_tot	0		
SLEQP_Gr_1_S1_1	Linear Static	23_q_temp F	0.5		
SLEQP_Gr_1_S1_1	Linear Static	22_q_ritiro	1		
SLEQP_Gr_1_S1_1	Linear Static	21_q8	0		
SLEQP_Gr_1_S1_2	Linear Add	No Linear Static	DEAD	1	None
SLEQP_Gr_1_S1_2	Linear Static	1_G1_trave	1		
SLEQP_Gr_1_S1_2	Linear Static	2_G1_soletta	1		
SLEQP_Gr_1_S1_2	Linear Static	3_G1_marciapiede	1		
SLEQP_Gr_1_S1_2	Linear Static	4_G1_traverso	1		
SLEQP_Gr_1_S1_2	Linear Static	5_G2_veletta	1		
SLEQP_Gr_1_S1_2	Linear Static	6_G2_impianti	1		
SLEQP_Gr_1_S1_2	Linear Static	7_G2_parapetti	1		
SLEQP_Gr_1_S1_2	Linear Static	8_G2_pavimentazione	1		
SLEQP_Gr_1_S1_2	Linear Static	9_G2_sicurvia	1		
SLEQP_Gr_1_S1_2	Linear Static	11_Q1k	0		
SLEQP_Gr_1_S1_2	Linear Static	10_q1k	0		
SLEQP_Gr_1_S1_2	Linear Static	13_Q2k	0		
SLEQP_Gr_1_S1_2	Linear Static	12_q2k	0		
SLEQP_Gr_1_S1_2	Linear Static	16_Q_zr	0		
SLEQP_Gr_1_S1_2	Linear Static	17_qfk	0		
SLEQP_Gr_1_S1_2	Linear Static	20_q4_centra	0		
SLEQP_Gr_1_S1_2	Linear Static	19_q3_frenatura	0		
SLEQP_Gr_1_S1_2	Linear Static	15_Q3k	0		
SLEQP_Gr_1_S1_2	Linear Static	14_q3k	0		
SLEQP_Gr_1_S1_2	Response Combo	24_q_vento_tot	0		
SLEQP_Gr_1_S1_2	Linear Static	23_q_temp F	0		
SLEQP_Gr_1_S1_2	Linear Static	22_q_ritiro	1		
SLEQP_Gr_1_S1_2	Linear Static	21_q8	0		
SLEQP_Gr_1_S1_3	Linear Add	No Linear Static	DEAD	1	None
SLEQP_Gr_1_S1_3	Linear Static	1_G1_trave	1		
SLEQP_Gr_1_S1_3	Linear Static	2_G1_soletta	1		
SLEQP_Gr_1_S1_3	Linear Static	3_G1_marciapiede	1		
SLEQP_Gr_1_S1_3	Linear Static	4_G1_traverso	1		

RELAZIONE DI CALCOLO

COMMESSA	LOTTO	CODIFICA	DOCUMENTO	REV.	FOGLIO
NRIJ	01 D 29	CL	IV0104 001	B	184 di 341

SLEQP_Gr_1_S1_3	Linear Static	5_G2_veletta	1		
SLEQP_Gr_1_S1_3	Linear Static	6_G2_impianti	1		
SLEQP_Gr_1_S1_3	Linear Static	7_G2_parapetti	1		
SLEQP_Gr_1_S1_3	Linear Static	8_G2_pavimentazione	1	1	
SLEQP_Gr_1_S1_3	Linear Static	9_G2_sicurvia	1		
SLEQP_Gr_1_S1_3	Linear Static	11_Q1k	0		
SLEQP_Gr_1_S1_3	Linear Static	10_q1k	0		
SLEQP_Gr_1_S1_3	Linear Static	13_Q2k	0		
SLEQP_Gr_1_S1_3	Linear Static	12_q2k	0		
SLEQP_Gr_1_S1_3	Linear Static	16_Q_zr	0		
SLEQP_Gr_1_S1_3	Linear Static	17_qfk	0		
SLEQP_Gr_1_S1_3	Linear Static	20_q4_centr	0		
SLEQP_Gr_1_S1_3	Linear Static	19_q3_frenatura	0		
SLEQP_Gr_1_S1_3	Linear Static	15_Q3k	0		
SLEQP_Gr_1_S1_3	Linear Static	14_q3k	0		
SLEQP_Gr_1_S1_3	Response Combo	24_q_vento_tot	0		
SLEQP_Gr_1_S1_3	Linear Static	23_q_temp F	0		
SLEQP_Gr_1_S1_3	Linear Static	22_q_ritiro	1		
SLEQP_Gr_1_S1_3	Linear Static	21_q8	0		
SLEQP_Gr_1_S1_4	Linear Add	No Linear Static	DEAD	1	None
SLEQP_Gr_1_S1_4	Linear Static	1_G1_trave	1		
SLEQP_Gr_1_S1_4	Linear Static	2_G1_soletta	1		
SLEQP_Gr_1_S1_4	Linear Static	3_G1_marciapiede	1		
SLEQP_Gr_1_S1_4	Linear Static	4_G1_traverso	1		
SLEQP_Gr_1_S1_4	Linear Static	5_G2_veletta	1		
SLEQP_Gr_1_S1_4	Linear Static	6_G2_impianti	1		
SLEQP_Gr_1_S1_4	Linear Static	7_G2_parapetti	1		
SLEQP_Gr_1_S1_4	Linear Static	8_G2_pavimentazione	1	1	
SLEQP_Gr_1_S1_4	Linear Static	9_G2_sicurvia	1		
SLEQP_Gr_1_S1_4	Linear Static	11_Q1k	0		
SLEQP_Gr_1_S1_4	Linear Static	10_q1k	0		
SLEQP_Gr_1_S1_4	Linear Static	13_Q2k	0		
SLEQP_Gr_1_S1_4	Linear Static	12_q2k	0		
SLEQP_Gr_1_S1_4	Linear Static	16_Q_zr	0		
SLEQP_Gr_1_S1_4	Linear Static	17_qfk	0		
SLEQP_Gr_1_S1_4	Linear Static	20_q4_centr	0		
SLEQP_Gr_1_S1_4	Linear Static	19_q3_frenatura	0		
SLEQP_Gr_1_S1_4	Linear Static	15_Q3k	0		
SLEQP_Gr_1_S1_4	Linear Static	14_q3k	0		
SLEQP_Gr_1_S1_4	Response Combo	24_q_vento_tot	0		
SLEQP_Gr_1_S1_4	Linear Static	23_q_temp F	0.5		
SLEQP_Gr_1_S1_4	Linear Static	22_q_ritiro	1		
SLEQP_Gr_1_S1_4	Linear Static	21_q8	0		
SLEQP_Gr_1_S1_5	Linear Add	No Linear Static	DEAD	1	None
SLEQP_Gr_1_S1_5	Linear Static	1_G1_trave	1		
SLEQP_Gr_1_S1_5	Linear Static	2_G1_soletta	1		
SLEQP_Gr_1_S1_5	Linear Static	3_G1_marciapiede	1		
SLEQP_Gr_1_S1_5	Linear Static	4_G1_traverso	1		
SLEQP_Gr_1_S1_5	Linear Static	5_G2_veletta	1		
SLEQP_Gr_1_S1_5	Linear Static	6_G2_impianti	1		
SLEQP_Gr_1_S1_5	Linear Static	7_G2_parapetti	1		
SLEQP_Gr_1_S1_5	Linear Static	8_G2_pavimentazione	1	1	
SLEQP_Gr_1_S1_5	Linear Static	9_G2_sicurvia	1		
SLEQP_Gr_1_S1_5	Linear Static	11_Q1k	0		
SLEQP_Gr_1_S1_5	Linear Static	10_q1k	0		
SLEQP_Gr_1_S1_5	Linear Static	13_Q2k	0		
SLEQP_Gr_1_S1_5	Linear Static	12_q2k	0		
SLEQP_Gr_1_S1_5	Linear Static	16_Q_zr	0		
SLEQP_Gr_1_S1_5	Linear Static	17_qfk	0		
SLEQP_Gr_1_S1_5	Linear Static	20_q4_centr	0		
SLEQP_Gr_1_S1_5	Linear Static	19_q3_frenatura	0		
SLEQP_Gr_1_S1_5	Linear Static	15_Q3k	0		

RELAZIONE DI CALCOLO

COMMESSA	LOTTO	CODIFICA	DOCUMENTO	REV.	FOGLIO
NRIJ	01 D 29	CL	IV0104 001	B	185 di 341

SLEQP_Gr_1_S1_5	Linear Static	14_q3k	0		
SLEQP_Gr_1_S1_5	Response Combo	24_q_vento_tot	0		
SLEQP_Gr_1_S1_5	Linear Static	23_q_temp F	0		
SLEQP_Gr_1_S1_5	Linear Static	22_q_ritiro	1		
SLEQP_Gr_1_S1_5	Linear Static	21_q8	0		
SLEQP_Gr_1_S1_6	Linear Add	No	Linear Static	DEAD	1 None
SLEQP_Gr_1_S1_6	Linear Static	1_G1_trave	1		
SLEQP_Gr_1_S1_6	Linear Static	2_G1_soletta	1		
SLEQP_Gr_1_S1_6	Linear Static	3_G1_marciapiede	1		
SLEQP_Gr_1_S1_6	Linear Static	4_G1_traverso	1		
SLEQP_Gr_1_S1_6	Linear Static	5_G2_veletta	1		
SLEQP_Gr_1_S1_6	Linear Static	6_G2_impianti	1		
SLEQP_Gr_1_S1_6	Linear Static	7_G2_parapetti	1		
SLEQP_Gr_1_S1_6	Linear Static	8_G2_pavimentazione	1		
SLEQP_Gr_1_S1_6	Linear Static	9_G2_sicurvia	1		
SLEQP_Gr_1_S1_6	Linear Static	11_Q1k	0		
SLEQP_Gr_1_S1_6	Linear Static	10_q1k	0		
SLEQP_Gr_1_S1_6	Linear Static	13_Q2k	0		
SLEQP_Gr_1_S1_6	Linear Static	12_q2k	0		
SLEQP_Gr_1_S1_6	Linear Static	16_Q_zr	0		
SLEQP_Gr_1_S1_6	Linear Static	17_qfk	0		
SLEQP_Gr_1_S1_6	Linear Static	20_q4_centra	0		
SLEQP_Gr_1_S1_6	Linear Static	19_q3_frenatura	0		
SLEQP_Gr_1_S1_6	Linear Static	15_Q3k	0		
SLEQP_Gr_1_S1_6	Linear Static	14_q3k	0		
SLEQP_Gr_1_S1_6	Response Combo	24_q_vento_tot	0		
SLEQP_Gr_1_S1_6	Linear Static	23_q_temp F	0.5		
SLEQP_Gr_1_S1_6	Linear Static	22_q_ritiro	1		
SLEQP_Gr_1_S1_6	Linear Static	21_q8	0		
SLV_1_q1	Linear Add	No	Linear Static	DEAD	1 None
SLV_1_q1	Linear Static	1_G1_trave	1		
SLV_1_q1	Linear Static	2_G1_soletta	1		
SLV_1_q1	Linear Static	3_G1_marciapiede	1		
SLV_1_q1	Linear Static	4_G1_traverso	1		
SLV_1_q1	Linear Static	5_G2_veletta	1		
SLV_1_q1	Linear Static	6_G2_impianti	1		
SLV_1_q1	Linear Static	7_G2_parapetti	1		
SLV_1_q1	Linear Static	8_G2_pavimentazione	1		
SLV_1_q1	Linear Static	9_G2_sicurvia	1		
SLV_1_q1	Linear Static	11_Q1k	0.2		
SLV_1_q1	Linear Static	10_q1k	0.2		
SLV_1_q1	Linear Static	13_Q2k	0.2		
SLV_1_q1	Linear Static	12_q2k	0.2		
SLV_1_q1	Linear Static	16_Q_zr	0.2		
SLV_1_q1	Linear Static	17_qfk	0.2		
SLV_1_q1	Linear Static	20_q4_centra	0		
SLV_1_q1	Linear Static	19_q3_frenatura	0		
SLV_1_q1	Linear Static	15_Q3k	0.2		
SLV_1_q1	Linear Static	14_q3k	0.2		
SLV_1_q1	Response Combo	24_q_vento_tot	0		
SLV_1_q1	Linear Static	23_q_temp F	0.5		
SLV_1_q1	Linear Static	22_q_ritiro	1		
SLV_1_q1	Linear Static	21_q8	0		
SLV_1_q1	Response Spectrum	SLV_h_U1_1	1		
SLV_1_q1	Response Spectrum	SLV_h_U2_1	0.3		
SLV_1_q1	Response Spectrum	SLV_v_1	0.3		
SLV_2_q1	Linear Add	No	Linear Static	DEAD	1 None
SLV_2_q1	Linear Static	1_G1_trave	1		
SLV_2_q1	Linear Static	2_G1_soletta	1		
SLV_2_q1	Linear Static	3_G1_marciapiede	1		
SLV_2_q1	Linear Static	4_G1_traverso	1		
SLV_2_q1	Linear Static	5_G2_veletta	1		

RELAZIONE DI CALCOLO

COMMESSA	LOTTO	CODIFICA	DOCUMENTO	REV.	FOGLIO
NRIJ	01 D 29	CL	IV0104 001	B	186 di 341

SLV_2_q1	Linear Static	6_G2_impianti	1		
SLV_2_q1	Linear Static	7_G2_parapetti	1		
SLV_2_q1	Linear Static	8_G2_pavimentazione	1		
SLV_2_q1	Linear Static	9_G2_sicurvia	1		
SLV_2_q1	Linear Static	11_Q1k	0.2		
SLV_2_q1	Linear Static	10_q1k	0.2		
SLV_2_q1	Linear Static	13_Q2k	0.2		
SLV_2_q1	Linear Static	12_q2k	0.2		
SLV_2_q1	Linear Static	16_Q_zr	0.2		
SLV_2_q1	Linear Static	17_qfk	0.2		
SLV_2_q1	Linear Static	20_q4_centr	0		
SLV_2_q1	Linear Static	19_q3_frenatura	0		
SLV_2_q1	Linear Static	15_Q3k	0.2		
SLV_2_q1	Linear Static	14_q3k	0.2		
SLV_2_q1	Response Combo	24_q_vento_tot	0		
SLV_2_q1	Linear Static	23_q_temp F	0		
SLV_2_q1	Linear Static	22_q_ritiro	1		
SLV_2_q1	Linear Static	21_q8	0		
SLV_2_q1	Response Spectrum	SLV_h_U1_1	1		
SLV_2_q1	Response Spectrum	SLV_h_U2_1	0.3		
SLV_2_q1	Response Spectrum	SLV_v_1	0.3		
SLV_3_q1	Linear Add	No Linear Static	DEAD	1	None
SLV_3_q1	Linear Static	1_G1_trave	1		
SLV_3_q1	Linear Static	2_G1_soletta	1		
SLV_3_q1	Linear Static	3_G1_marciapiede	1		
SLV_3_q1	Linear Static	4_G1_traverso	1		
SLV_3_q1	Linear Static	5_G2_veletta	1		
SLV_3_q1	Linear Static	6_G2_impianti	1		
SLV_3_q1	Linear Static	7_G2_parapetti	1		
SLV_3_q1	Linear Static	8_G2_pavimentazione	1		
SLV_3_q1	Linear Static	9_G2_sicurvia	1		
SLV_3_q1	Linear Static	11_Q1k	0.2		
SLV_3_q1	Linear Static	10_q1k	0.2		
SLV_3_q1	Linear Static	13_Q2k	0.2		
SLV_3_q1	Linear Static	12_q2k	0.2		
SLV_3_q1	Linear Static	16_Q_zr	0.2		
SLV_3_q1	Linear Static	17_qfk	0.2		
SLV_3_q1	Linear Static	20_q4_centr	0		
SLV_3_q1	Linear Static	19_q3_frenatura	0		
SLV_3_q1	Linear Static	15_Q3k	0.2		
SLV_3_q1	Linear Static	14_q3k	0.2		
SLV_3_q1	Response Combo	24_q_vento_tot	0		
SLV_3_q1	Linear Static	23_q_temp F	0		
SLV_3_q1	Linear Static	22_q_ritiro	1		
SLV_3_q1	Linear Static	21_q8	0		
SLV_3_q1	Response Spectrum	SLV_h_U1_1	1		
SLV_3_q1	Response Spectrum	SLV_h_U2_1	0.3		
SLV_3_q1	Response Spectrum	SLV_v_1	0.3		
SLV_4_q1	Linear Add	No Linear Static	DEAD	1	None
SLV_4_q1	Linear Static	1_G1_trave	1		
SLV_4_q1	Linear Static	2_G1_soletta	1		
SLV_4_q1	Linear Static	3_G1_marciapiede	1		
SLV_4_q1	Linear Static	4_G1_traverso	1		
SLV_4_q1	Linear Static	5_G2_veletta	1		
SLV_4_q1	Linear Static	6_G2_impianti	1		
SLV_4_q1	Linear Static	7_G2_parapetti	1		
SLV_4_q1	Linear Static	8_G2_pavimentazione	1		
SLV_4_q1	Linear Static	9_G2_sicurvia	1		
SLV_4_q1	Linear Static	11_Q1k	0.2		
SLV_4_q1	Linear Static	10_q1k	0.2		
SLV_4_q1	Linear Static	13_Q2k	0.2		
SLV_4_q1	Linear Static	12_q2k	0.2		

RELAZIONE DI CALCOLO

COMMESSA	LOTTO	CODIFICA	DOCUMENTO	REV.	FOGLIO
NRIJ	01 D 29	CL	IV0104 001	B	187 di 341

SLV_4_q1	Linear Static	16_Q_zr	0.2		
SLV_4_q1	Linear Static	17_qfk	0.2		
SLV_4_q1	Linear Static	20_q4_centra	0		
SLV_4_q1	Linear Static	19_q3_frenatura	0		
SLV_4_q1	Linear Static	15_Q3k	0.2		
SLV_4_q1	Linear Static	14_q3k	0.2		
SLV_4_q1	Response Combo	24_q_vento_tot	0		
SLV_4_q1	Linear Static	23_q_temp F	0.5		
SLV_4_q1	Linear Static	22_q_ritiro	1		
SLV_4_q1	Linear Static	21_q8	0		
SLV_4_q1	Response Spectrum	SLV_h_U1_1	1		
SLV_4_q1	Response Spectrum	SLV_h_U2_1	0.3		
SLV_4_q1	Response Spectrum	SLV_v_1	0.3		
SLV_5_q1	Linear Add	No Linear Static	DEAD	1	None
SLV_5_q1	Linear Static	1_G1_trave	1		
SLV_5_q1	Linear Static	2_G1_soletta	1		
SLV_5_q1	Linear Static	3_G1_marcia piede	1		
SLV_5_q1	Linear Static	4_G1_traverso	1		
SLV_5_q1	Linear Static	5_G2_veletta	1		
SLV_5_q1	Linear Static	6_G2_impianti	1		
SLV_5_q1	Linear Static	7_G2_parapetti	1		
SLV_5_q1	Linear Static	8_G2_pavimentazione	1		
SLV_5_q1	Linear Static	9_G2_sicurvia	1		
SLV_5_q1	Linear Static	11_Q1k	0.2		
SLV_5_q1	Linear Static	10_q1k	0.2		
SLV_5_q1	Linear Static	13_Q2k	0.2		
SLV_5_q1	Linear Static	12_q2k	0.2		
SLV_5_q1	Linear Static	16_Q_zr	0.2		
SLV_5_q1	Linear Static	17_qfk	0.2		
SLV_5_q1	Linear Static	20_q4_centra	0		
SLV_5_q1	Linear Static	19_q3_frenatura	0		
SLV_5_q1	Linear Static	15_Q3k	0.2		
SLV_5_q1	Linear Static	14_q3k	0.2		
SLV_5_q1	Response Combo	24_q_vento_tot	0		
SLV_5_q1	Linear Static	23_q_temp F	0		
SLV_5_q1	Linear Static	22_q_ritiro	1		
SLV_5_q1	Linear Static	21_q8	0		
SLV_5_q1	Response Spectrum	SLV_h_U1_1	1		
SLV_5_q1	Response Spectrum	SLV_h_U2_1	0.3		
SLV_5_q1	Response Spectrum	SLV_v_1	0.3		
SLV_6_q1	Linear Add	No Linear Static	DEAD	1	None
SLV_6_q1	Linear Static	1_G1_trave	1		
SLV_6_q1	Linear Static	2_G1_soletta	1		
SLV_6_q1	Linear Static	3_G1_marcia piede	1		
SLV_6_q1	Linear Static	4_G1_traverso	1		
SLV_6_q1	Linear Static	5_G2_veletta	1		
SLV_6_q1	Linear Static	6_G2_impianti	1		
SLV_6_q1	Linear Static	7_G2_parapetti	1		
SLV_6_q1	Linear Static	8_G2_pavimentazione	1		
SLV_6_q1	Linear Static	9_G2_sicurvia	1		
SLV_6_q1	Linear Static	11_Q1k	0.2		
SLV_6_q1	Linear Static	10_q1k	0.2		
SLV_6_q1	Linear Static	13_Q2k	0.2		
SLV_6_q1	Linear Static	12_q2k	0.2		
SLV_6_q1	Linear Static	16_Q_zr	0.2		
SLV_6_q1	Linear Static	17_qfk	0.2		
SLV_6_q1	Linear Static	20_q4_centra	0		
SLV_6_q1	Linear Static	19_q3_frenatura	0		
SLV_6_q1	Linear Static	15_Q3k	0.2		
SLV_6_q1	Linear Static	14_q3k	0.2		
SLV_6_q1	Response Combo	24_q_vento_tot	0		
SLV_6_q1	Linear Static	23_q_temp F	0.5		

RELAZIONE DI CALCOLO

COMMESSA	LOTTO	CODIFICA	DOCUMENTO	REV.	FOGLIO
NRIJ	01 D 29	CL	IV0104 001	B	188 di 341

SLV_6_q1	Linear Static	22_q_ritiro	1		
SLV_6_q1	Linear Static	21_q8	0		
SLV_6_q1	Response Spectrum	SLV_h_U1_1	0.3		
SLV_6_q1	Response Spectrum	SLV_h_U2_1	1		
SLV_6_q1	Response Spectrum	SLV_v_1	0.3		
SLV_7_q1	Linear Add	No	Linear Static	DEAD	1
SLV_7_q1					None
SLV_7_q1	Linear Static	1_G1_trave	1		
SLV_7_q1	Linear Static	2_G1_soletta	1		
SLV_7_q1	Linear Static	3_G1_marciapiede	1		
SLV_7_q1	Linear Static	4_G1_traverso	1		
SLV_7_q1	Linear Static	5_G2_veletta	1		
SLV_7_q1	Linear Static	6_G2_impianti	1		
SLV_7_q1	Linear Static	7_G2_parapetti	1		
SLV_7_q1	Linear Static	8_G2_pavimentazione	1		
SLV_7_q1	Linear Static	9_G2_sicurvia	1		
SLV_7_q1	Linear Static	11_Q1k	0.2		
SLV_7_q1	Linear Static	10_q1k	0.2		
SLV_7_q1	Linear Static	13_Q2k	0.2		
SLV_7_q1	Linear Static	12_q2k	0.2		
SLV_7_q1	Linear Static	16_Q_zr	0.2		
SLV_7_q1	Linear Static	17_qfk	0.2		
SLV_7_q1	Linear Static	20_q4_centr	0		
SLV_7_q1	Linear Static	19_q3_frenatura	0		
SLV_7_q1	Linear Static	15_Q3k	0.2		
SLV_7_q1	Linear Static	14_q3k	0.2		
SLV_7_q1	Response Combo	24_q_vento_tot	0		
SLV_7_q1	Linear Static	23_q_temp F	0		
SLV_7_q1	Linear Static	22_q_ritiro	1		
SLV_7_q1	Linear Static	21_q8	0		
SLV_7_q1	Response Spectrum	SLV_h_U1_1	0.3		
SLV_7_q1	Response Spectrum	SLV_h_U2_1	0.3		
SLV_7_q1	Response Spectrum	SLV_v_1	0.3		
SLV_8_q1	Linear Add	No	Linear Static	DEAD	1
SLV_8_q1					None
SLV_8_q1	Linear Static	1_G1_trave	1		
SLV_8_q1	Linear Static	2_G1_soletta	1		
SLV_8_q1	Linear Static	3_G1_marciapiede	1		
SLV_8_q1	Linear Static	4_G1_traverso	1		
SLV_8_q1	Linear Static	5_G2_veletta	1		
SLV_8_q1	Linear Static	6_G2_impianti	1		
SLV_8_q1	Linear Static	7_G2_parapetti	1		
SLV_8_q1	Linear Static	8_G2_pavimentazione	1		
SLV_8_q1	Linear Static	9_G2_sicurvia	1		
SLV_8_q1	Linear Static	11_Q1k	0.2		
SLV_8_q1	Linear Static	10_q1k	0.2		
SLV_8_q1	Linear Static	13_Q2k	0.2		
SLV_8_q1	Linear Static	12_q2k	0.2		
SLV_8_q1	Linear Static	16_Q_zr	0.2		
SLV_8_q1	Linear Static	17_qfk	0.2		
SLV_8_q1	Linear Static	20_q4_centr	0		
SLV_8_q1	Linear Static	19_q3_frenatura	0		
SLV_8_q1	Linear Static	15_Q3k	0.2		
SLV_8_q1	Linear Static	14_q3k	0.2		
SLV_8_q1	Response Combo	24_q_vento_tot	0		
SLV_8_q1	Linear Static	23_q_temp F	0		
SLV_8_q1	Linear Static	22_q_ritiro	1		
SLV_8_q1	Linear Static	21_q8	0		
SLV_8_q1	Response Spectrum	SLV_h_U1_1	0.3		
SLV_8_q1	Response Spectrum	SLV_h_U2_1	0.3		
SLV_8_q1	Response Spectrum	SLV_v_1	0.3		
SLV_9_q1	Linear Add	No	Linear Static	DEAD	1
SLV_9_q1					None
SLV_9_q1	Linear Static	1_G1_trave	1		
SLV_9_q1	Linear Static	2_G1_soletta	1		

RELAZIONE DI CALCOLO

COMMESSA	LOTTO	CODIFICA	DOCUMENTO	REV.	FOGLIO
NRIJ	01 D 29	CL	IV0104 001	B	189 di 341

SLV_9_q1	Linear Static	3_G1_marciapiede	1		
SLV_9_q1	Linear Static	4_G1_traverso	1		
SLV_9_q1	Linear Static	5_G2_veletta	1		
SLV_9_q1	Linear Static	6_G2_impianti	1		
SLV_9_q1	Linear Static	7_G2_parapetti	1		
SLV_9_q1	Linear Static	8_G2_pavimentazione	1		
SLV_9_q1	Linear Static	9_G2_sicurvia	1		
SLV_9_q1	Linear Static	11_Q1k	0.2		
SLV_9_q1	Linear Static	10_q1k	0.2		
SLV_9_q1	Linear Static	13_Q2k	0.2		
SLV_9_q1	Linear Static	12_q2k	0.2		
SLV_9_q1	Linear Static	16_Q_zr	0.2		
SLV_9_q1	Linear Static	17_qfk	0.2		
SLV_9_q1	Linear Static	20_q4_centra	0		
SLV_9_q1	Linear Static	19_q3_frenatura	0		
SLV_9_q1	Linear Static	15_Q3k	0.2		
SLV_9_q1	Linear Static	14_q3k	0.2		
SLV_9_q1	Response Combo	24_q_vento_tot	0		
SLV_9_q1	Linear Static	23_q_temp F	0.5		
SLV_9_q1	Linear Static	22_q_ritiro	1		
SLV_9_q1	Linear Static	21_q8	0		
SLV_9_q1	Response Spectrum	SLV_h_U1_1	0.3		
SLV_9_q1	Response Spectrum	SLV_h_U2_1	0.3		
SLV_9_q1	Response Spectrum	SLV_v_1	0.3		
SLV_10_q1	Linear Add	No Linear Static DEAD	1	None	
SLV_10_q1	Linear Static	1_G1_trave	1		
SLV_10_q1	Linear Static	2_G1_soletta	1		
SLV_10_q1	Linear Static	3_G1_marciapiede	1		
SLV_10_q1	Linear Static	4_G1_traverso	1		
SLV_10_q1	Linear Static	5_G2_veletta	1		
SLV_10_q1	Linear Static	6_G2_impianti	1		
SLV_10_q1	Linear Static	7_G2_parapetti	1		
SLV_10_q1	Linear Static	8_G2_pavimentazione	1		
SLV_10_q1	Linear Static	9_G2_sicurvia	1		
SLV_10_q1	Linear Static	11_Q1k	0.2		
SLV_10_q1	Linear Static	10_q1k	0.2		
SLV_10_q1	Linear Static	13_Q2k	0.2		
SLV_10_q1	Linear Static	12_q2k	0.2		
SLV_10_q1	Linear Static	16_Q_zr	0.2		
SLV_10_q1	Linear Static	17_qfk	0.2		
SLV_10_q1	Linear Static	20_q4_centra	0		
SLV_10_q1	Linear Static	19_q3_frenatura	0		
SLV_10_q1	Linear Static	15_Q3k	0.2		
SLV_10_q1	Linear Static	14_q3k	0.2		
SLV_10_q1	Response Combo	24_q_vento_tot	0		
SLV_10_q1	Linear Static	23_q_temp F	0		
SLV_10_q1	Linear Static	22_q_ritiro	1		
SLV_10_q1	Linear Static	21_q8	0		
SLV_10_q1	Response Spectrum	SLV_h_U1_1	0.3		
SLV_10_q1	Response Spectrum	SLV_h_U2_1	0.3		
SLV_10_q1	Response Spectrum	SLV_v_1	0.3		
SLV_11_q1	Linear Add	No Linear Static DEAD	1	None	
SLV_11_q1	Linear Static	1_G1_trave	1		
SLV_11_q1	Linear Static	2_G1_soletta	1		
SLV_11_q1	Linear Static	3_G1_marciapiede	1		
SLV_11_q1	Linear Static	4_G1_traverso	1		
SLV_11_q1	Linear Static	5_G2_veletta	1		
SLV_11_q1	Linear Static	6_G2_impianti	1		
SLV_11_q1	Linear Static	7_G2_parapetti	1		
SLV_11_q1	Linear Static	8_G2_pavimentazione	1		
SLV_11_q1	Linear Static	9_G2_sicurvia	1		
SLV_11_q1	Linear Static	11_Q1k	0.2		

RELAZIONE DI CALCOLO

COMMESSA	LOTTO	CODIFICA	DOCUMENTO	REV.	FOGLIO
NRIJ	01 D 29	CL	IV0104 001	B	190 di 341

SLV_11_q1	Linear Static	10_q1k	0.2		
SLV_11_q1	Linear Static	13_Q2k	0.2		
SLV_11_q1	Linear Static	12_q2k	0.2		
SLV_11_q1	Linear Static	16_Q_zr	0.2		
SLV_11_q1	Linear Static	17_qfk	0.2		
SLV_11_q1	Linear Static	20_q4_centra	0		
SLV_11_q1	Linear Static	19_q3_frenatura	0		
SLV_11_q1	Linear Static	15_Q3k	0.2		
SLV_11_q1	Linear Static	14_q3k	0.2		
SLV_11_q1	Response Combo	24_q_vento_tot	0		
SLV_11_q1	Linear Static	23_q_temp F	0.5		
SLV_11_q1	Linear Static	22_q_ritiro	1		
SLV_11_q1	Linear Static	21_q8	0		
SLV_11_q1	Response Spectrum	SLV_h_U1_1	0.3		
SLV_11_q1	Response Spectrum	SLV_h_U2_1	0.3		
SLV_11_q1	Response Spectrum	SLV_v_1	1		
SLV_12_q1	Linear Add	No Linear Static DEAD	1	None	
SLV_12_q1	Linear Static	1_G1_trave	1		
SLV_12_q1	Linear Static	2_G1_soletta	1		
SLV_12_q1	Linear Static	3_G1_marciapiede	1		
SLV_12_q1	Linear Static	4_G1_traverso	1		
SLV_12_q1	Linear Static	5_G2_veletta	1		
SLV_12_q1	Linear Static	6_G2_impianti	1		
SLV_12_q1	Linear Static	7_G2_parapetti	1		
SLV_12_q1	Linear Static	8_G2_pavimentazione	1		
SLV_12_q1	Linear Static	9_G2_sicurvia	1		
SLV_12_q1	Linear Static	11_Q1k	0.2		
SLV_12_q1	Linear Static	10_q1k	0.2		
SLV_12_q1	Linear Static	13_Q2k	0.2		
SLV_12_q1	Linear Static	12_q2k	0.2		
SLV_12_q1	Linear Static	16_Q_zr	0.2		
SLV_12_q1	Linear Static	17_qfk	0.2		
SLV_12_q1	Linear Static	20_q4_centra	0		
SLV_12_q1	Linear Static	19_q3_frenatura	0		
SLV_12_q1	Linear Static	15_Q3k	0.2		
SLV_12_q1	Linear Static	14_q3k	0.2		
SLV_12_q1	Response Combo	24_q_vento_tot	0		
SLV_12_q1	Linear Static	23_q_temp F	0		
SLV_12_q1	Linear Static	22_q_ritiro	1		
SLV_12_q1	Linear Static	21_q8	0		
SLV_12_q1	Response Spectrum	SLV_h_U1_1	0.3		
SLV_12_q1	Response Spectrum	SLV_h_U2_1	0.3		
SLV_12_q1	Response Spectrum	SLV_v_1	1		
SLV_13_q1	Linear Add	No Linear Static DEAD	1	None	
SLV_13_q1	Linear Static	1_G1_trave	1		
SLV_13_q1	Linear Static	2_G1_soletta	1		
SLV_13_q1	Linear Static	3_G1_marciapiede	1		
SLV_13_q1	Linear Static	4_G1_traverso	1		
SLV_13_q1	Linear Static	5_G2_veletta	1		
SLV_13_q1	Linear Static	6_G2_impianti	1		
SLV_13_q1	Linear Static	7_G2_parapetti	1		
SLV_13_q1	Linear Static	8_G2_pavimentazione	1		
SLV_13_q1	Linear Static	9_G2_sicurvia	1		
SLV_13_q1	Linear Static	11_Q1k	0.2		
SLV_13_q1	Linear Static	10_q1k	0.2		
SLV_13_q1	Linear Static	13_Q2k	0.2		
SLV_13_q1	Linear Static	12_q2k	0.2		
SLV_13_q1	Linear Static	16_Q_zr	0.2		
SLV_13_q1	Linear Static	17_qfk	0.2		
SLV_13_q1	Linear Static	20_q4_centra	0		
SLV_13_q1	Linear Static	19_q3_frenatura	0		
SLV_13_q1	Linear Static	15_Q3k	0.2		

RELAZIONE DI CALCOLO

COMMESSA	LOTTO	CODIFICA	DOCUMENTO	REV.	FOGLIO
NRIJ	01 D 29	CL	IV0104 001	B	191 di 341

SLV_13_q1	Linear Static	14_q3k	0.2		
SLV_13_q1	Response Combo	24_q_vento_tot		0	
SLV_13_q1	Linear Static	23_q_temp F	0		
SLV_13_q1	Linear Static	22_q_ritiro	1		
SLV_13_q1	Linear Static	21_q8	0		
SLV_13_q1	Response Spectrum	SLV_h_U1_1		0.3	
SLV_13_q1	Response Spectrum	SLV_h_U2_1		0.3	
SLV_13_q1	Response Spectrum	SLV_v_1		1	
SLV_14_q1	Linear Add	No	Linear Static	DEAD	1
SLV_14_q1					None
SLV_14_q1	Linear Static	1_G1_trave	1		
SLV_14_q1	Linear Static	2_G1_soletta	1		
SLV_14_q1	Linear Static	3_G1_marciapiede	1		
SLV_14_q1	Linear Static	4_G1_traverso	1		
SLV_14_q1	Linear Static	5_G2_veletta	1		
SLV_14_q1	Linear Static	6_G2_impianti	1		
SLV_14_q1	Linear Static	7_G2_parapetti	1		
SLV_14_q1	Linear Static	8_G2_pavimentazione		1	
SLV_14_q1	Linear Static	9_G2_sicurvia	1		
SLV_14_q1	Linear Static	11_Q1k	0.2		
SLV_14_q1	Linear Static	10_q1k	0.2		
SLV_14_q1	Linear Static	13_Q2k	0.2		
SLV_14_q1	Linear Static	12_q2k	0.2		
SLV_14_q1	Linear Static	16_Q_zr	0.2		
SLV_14_q1	Linear Static	17_qfk	0.2		
SLV_14_q1	Linear Static	20_q4_centra	0		
SLV_14_q1	Linear Static	19_q3_frenatura	0		
SLV_14_q1	Linear Static	15_Q3k	0.2		
SLV_14_q1	Linear Static	14_q3k	0.2		
SLV_14_q1	Response Combo	24_q_vento_tot		0	
SLV_14_q1	Linear Static	23_q_temp F	0.5		
SLV_14_q1	Linear Static	22_q_ritiro	1		
SLV_14_q1	Linear Static	21_q8	0		
SLV_14_q1	Response Spectrum	SLV_h_U1_1		0.3	
SLV_14_q1	Response Spectrum	SLV_h_U2_1		0.3	
SLV_14_q1	Response Spectrum	SLV_v_1		1	
SLV_15_q1	Linear Add	No	Linear Static	DEAD	1
SLV_15_q1					None
SLV_15_q1	Linear Static	1_G1_trave	1		
SLV_15_q1	Linear Static	2_G1_soletta	1		
SLV_15_q1	Linear Static	3_G1_marciapiede	1		
SLV_15_q1	Linear Static	4_G1_traverso	1		
SLV_15_q1	Linear Static	5_G2_veletta	1		
SLV_15_q1	Linear Static	6_G2_impianti	1		
SLV_15_q1	Linear Static	7_G2_parapetti	1		
SLV_15_q1	Linear Static	8_G2_pavimentazione		1	
SLV_15_q1	Linear Static	9_G2_sicurvia	1		
SLV_15_q1	Linear Static	11_Q1k	0.2		
SLV_15_q1	Linear Static	10_q1k	0.2		
SLV_15_q1	Linear Static	13_Q2k	0.2		
SLV_15_q1	Linear Static	12_q2k	0.2		
SLV_15_q1	Linear Static	16_Q_zr	0.2		
SLV_15_q1	Linear Static	17_qfk	0.2		
SLV_15_q1	Linear Static	20_q4_centra	0		
SLV_15_q1	Linear Static	19_q3_frenatura	0		
SLV_15_q1	Linear Static	15_Q3k	0.2		
SLV_15_q1	Linear Static	14_q3k	0.2		
SLV_15_q1	Response Combo	24_q_vento_tot		0	
SLV_15_q1	Linear Static	23_q_temp F	0		
SLV_15_q1	Linear Static	22_q_ritiro	1		
SLV_15_q1	Linear Static	21_q8	0		
SLV_15_q1	Response Spectrum	SLV_h_U1_1		0.3	
SLV_15_q1	Response Spectrum	SLV_h_U2_1		0.3	
SLV_15_q1	Response Spectrum	SLV_v_1		1	

RELAZIONE DI CALCOLO

COMMESSA	LOTTO	CODIFICA	DOCUMENTO	REV.	FOGLIO
NRLJ	01 D 29	CL	IV0104 001	B	192 di 341

SLU_ECC	Linear Add	No	Linear Static	1_G1_trave	1.35	None
SLU_ECC			Linear Static	2_G1_soletta	1.35	
SLU_ECC			Linear Static	3_G1_marciapiede	1.35	
SLU_ECC			Linear Static	4_G1_traverso	1.5	
SLU_ECC			Linear Static	5_G2_veletta	1.5	
SLU_ECC			Linear Static	6_G2_impianti	1.5	
SLU_ECC			Linear Static	7_G2_parapetti	1.5	
SLU_ECC			Linear Static	8_G2_pavimentazione	1.5	
SLU_ECC			Linear Static	9_G2_sicurvia	1.5	
SLU_ECC			Linear Static	21_q8	1	
ENVE_SIS_1	Envelope	No	Response Combo	SLV_1_q1	1	None
ENVE_SIS_1			Response Combo	SLV_2_q1	1	
ENVE_SIS_1			Response Combo	SLV_3_q1	1	
ENVE_SIS_1			Response Combo	SLV_4_q1	1	
ENVE_SIS_1			Response Combo	SLV_5_q1	1	
ENVE_SIS_1			Response Combo	SLV_6_q1	1	
ENVE_SIS_1			Response Combo	SLV_7_q1	1	
ENVE_SIS_1			Response Combo	SLV_8_q1	1	
ENVE_SIS_1			Response Combo	SLV_9_q1	1	
ENVE_SIS_1			Response Combo	SLV_10_q1	1	
ENVE_SIS_1			Response Combo	SLV_11_q1	1	
ENVE_SIS_1			Response Combo	SLV_12_q1	1	
ENVE_SIS_1			Response Combo	SLV_13_q1	1	
ENVE_SIS_1			Response Combo	SLV_14_q1	1	
ENVE_SIS_1			Response Combo	SLV_15_q1	1	
ENVE_SLU	Envelope	No	Response Combo	SLU_Gr_1_S1_1	1	None
ENVE_SLU			Response Combo	SLU_Gr_1_S1_2	1	
ENVE_SLU			Response Combo	SLU_Gr_1_S1_3	1	
ENVE_SLU			Response Combo	SLU_Gr_1_S1_4	1	
ENVE_SLU			Response Combo	SLU_Gr_1_S1_5	1	
ENVE_SLU			Response Combo	SLU_Gr_1_S1_6	1	
ENVE_SLU			Response Combo	SLU_Gr_1_S1_7	1	
ENVE_SLU			Response Combo	SLU_Gr_1_S1_8	1	
ENVE_SLU			Response Combo	SLU_Gr_1_S1_9	1	
ENVE_SLU			Response Combo	SLU_Gr_1_S1_10	1	
ENVE_SLU			Response Combo	SLU_Gr_1_S1_11	1	
ENVE_SLU			Response Combo	SLU_Gr_1_S1_12	1	
ENVE_SLU			Response Combo	SLU_Gr_1_S1_13	1	
ENVE_SLU			Response Combo	SLU_Gr_1_S1_14	1	
ENVE_SLU			Response Combo	SLU_Gr_1_S1_15	1	
ENVE_SLU			Response Combo	SLU_Gr_1_S1_16	1	
ENVE_SLU			Response Combo	SLU_Gr_1_S1_17	1	
ENVE_SLU			Response Combo	SLU_Gr_1_S1_18	1	
ENVE_SLU			Response Combo	SLU_Gr_1_S1_19	1	
ENVE_SLU			Response Combo	SLU_Gr_1_S1_20	1	
ENVE_SLU			Response Combo	SLU_Gr_1_S1_21	1	
ENVE_SLU			Response Combo	SLU_Gr_1_S1_22	1	
ENVE_SLU			Response Combo	SLU_Gr_1_S1_23	1	
ENVE_SLU			Response Combo	SLU_Gr_1_S1_24	1	
ENVE_SLU			Response Combo	SLU_Gr_1_S1_25	1	
ENVE_SLU			Response Combo	SLU_Gr_1_S1_26	1	
ENVE_SLU			Response Combo	SLU_Gr_1_S1_27	1	
ENVE_SLU			Response Combo	SLU_Gr_1_S1_28	1	
ENVE_SLU			Response Combo	SLU_Gr_1_S1_29	1	
ENVE_SLU			Response Combo	SLU_Gr_1_S1_30	1	
ENVE_SLU			Response Combo	SLU_Gr_1_S1_31	1	
ENVE_SLU			Response Combo	SLU_Gr_1_S1_32	1	
ENVE_SLU			Response Combo	SLU_Gr_1_S1_33	1	
ENVE_SLU			Response Combo	SLU_Gr_1_S1_34	1	
ENVE_SLU			Response Combo	SLU_Gr_1_S1_35	1	
ENVE_SLU			Response Combo	SLU_Gr_1_S1_36	1	
ENVE_SLU			Response Combo	SLU_Gr_1_S1_37	1	

RELAZIONE DI CALCOLO

COMMESSA	LOTTO	CODIFICA	DOCUMENTO	REV.	FOGLIO
NRIJ	01 D 29	CL	IV0104 001	B	193 di 341

ENVE_SLU		Response Combo	SLU_Gr_1_S1_38	1		
ENVE_SLU		Response Combo	SLU_Gr_1_S1_39	1		
ENVE_SLU		Response Combo	SLU_Gr_1_S1_40	1		
ENVE_SLU		Response Combo	SLU_Gr_2A_S1_1	1		
ENVE_SLU		Response Combo	SLU_Gr_2A_S1_2	1		
ENVE_SLU		Response Combo	SLU_Gr_2A_S1_3	1		
ENVE_SLU		Response Combo	SLU_Gr_2A_S1_4	1		
ENVE_SLU		Response Combo	SLU_Gr_2A_S1_5	1		
ENVE_SLU		Response Combo	SLU_Gr_2A_S1_6	1		
ENVE_SLU		Response Combo	SLU_Gr_2A_S1_7	1		
ENVE_SLU		Response Combo	SLU_Gr_2A_S1_8	1		
ENVE_SLU		Response Combo	SLU_Gr_2A_S1_9	1		
ENVE_SLU		Response Combo	SLU_Gr_2A_S1_10	1		
ENVE_SLU		Response Combo	SLU_Gr_2A_S1_11	1		
ENVE_SLU		Response Combo	SLU_Gr_2A_S1_12	1		
ENVE_SLU		Response Combo	SLU_Gr_2A_S1_13	1		
ENVE_SLU		Response Combo	SLU_Gr_2A_S1_14	1		
ENVE_SLU		Response Combo	SLU_Gr_2A_S1_15	1		
ENVE_SLU		Response Combo	SLU_Gr_2A_S1_16	1		
ENVE_SLU		Response Combo	SLU_Gr_2A_S1_17	1		
ENVE_SLU		Response Combo	SLU_Gr_2A_S1_18	1		
ENVE_SLU		Response Combo	SLU_Gr_2A_S1_19	1		
ENVE_SLU		Response Combo	SLU_Gr_2A_S1_20	1		
ENVE_SLU		Response Combo	SLU_Gr_2A_S1_21	1		
ENVE_SLU		Response Combo	SLU_Gr_2A_S1_22	1		
ENVE_SLU		Response Combo	SLU_Gr_2A_S1_23	1		
ENVE_SLU		Response Combo	SLU_Gr_2A_S1_24	1		
ENVE_SLU		Response Combo	SLU_Gr_2A_S1_25	1		
ENVE_SLU		Response Combo	SLU_Gr_2A_S1_26	1		
ENVE_SLU		Response Combo	SLU_Gr_2A_S1_27	1		
ENVE_SLU		Response Combo	SLU_Gr_2A_S1_28	1		
ENVE_SLU		Response Combo	SLU_Gr_2A_S1_29	1		
ENVE_SLU		Response Combo	SLU_Gr_2A_S1_30	1		
ENVE_SLU		Response Combo	SLU_Gr_2A_S1_31	1		
ENVE_SLU		Response Combo	SLU_Gr_2A_S1_32	1		
ENVE_SLU		Response Combo	SLU_Gr_2A_S1_33	1		
ENVE_SLU		Response Combo	SLU_Gr_2A_S1_34	1		
ENVE_SLU		Response Combo	SLU_Gr_2A_S1_35	1		
ENVE_SLU		Response Combo	SLU_Gr_2A_S1_36	1		
ENVE_SLU		Response Combo	SLU_Gr_2A_S1_37	1		
ENVE_SLU		Response Combo	SLU_Gr_2A_S1_38	1		
ENVE_SLU		Response Combo	SLU_Gr_2A_S1_39	1		
ENVE_SLU		Response Combo	SLU_Gr_2A_S1_40	1		
ENVE_SLERR	Envelope	No Response Combo	SLERR_Gr_1_S1_1	1	None	
ENVE_SLERR		Response Combo	SLERR_Gr_1_S1_2	1		
ENVE_SLERR		Response Combo	SLERR_Gr_1_S1_3	1		
ENVE_SLERR		Response Combo	SLERR_Gr_1_S1_4	1		
ENVE_SLERR		Response Combo	SLERR_Gr_1_S1_5	1		
ENVE_SLERR		Response Combo	SLERR_Gr_1_S1_6	1		
ENVE_SLERR		Response Combo	SLERR_Gr_1_S1_7	1		
ENVE_SLERR		Response Combo	SLERR_Gr_1_S1_8	1		
ENVE_SLERR		Response Combo	SLERR_Gr_1_S1_9	1		
ENVE_SLERR		Response Combo	SLERR_Gr_1_S1_10	1		
ENVE_SLERR		Response Combo	SLERR_Gr_1_S1_11	1		
ENVE_SLERR		Response Combo	SLERR_Gr_1_S1_12	1		
ENVE_SLERR		Response Combo	SLERR_Gr_1_S1_13	1		
ENVE_SLERR		Response Combo	SLERR_Gr_1_S1_14	1		
ENVE_SLERR		Response Combo	SLERR_Gr_1_S1_15	1		
ENVE_SLERR		Response Combo	SLERR_Gr_1_S1_16	1		
ENVE_SLERR		Response Combo	SLERR_Gr_1_S1_17	1		
ENVE_SLERR		Response Combo	SLERR_Gr_1_S1_18	1		
ENVE_SLERR		Response Combo	SLERR_Gr_1_S1_19	1		

RELAZIONE DI CALCOLO

COMMESSA	LOTTO	CODIFICA	DOCUMENTO	REV.	FOGLIO
NRIJ	01 D 29	CL	IV0104 001	B	194 di 341

ENVE_SLERR		Response Combo	SLERR_Gr_1_S1_20	1	
ENVE_SLERR		Response Combo	SLERR_Gr_1_S1_21	1	
ENVE_SLERR		Response Combo	SLERR_Gr_1_S1_22	1	
ENVE_SLERR		Response Combo	SLERR_Gr_1_S1_23	1	
ENVE_SLERR		Response Combo	SLERR_Gr_1_S1_24	1	
ENVE_SLERR		Response Combo	SLERR_Gr_1_S1_25	1	
ENVE_SLERR		Response Combo	SLERR_Gr_1_S1_26	1	
ENVE_SLERR		Response Combo	SLERR_Gr_1_S1_27	1	
ENVE_SLERR		Response Combo	SLERR_Gr_1_S1_28	1	
ENVE_SLERR		Response Combo	SLERR_Gr_1_S1_29	1	
ENVE_SLERR		Response Combo	SLERR_Gr_1_S1_30	1	
ENVE_SLERR		Response Combo	SLERR_Gr_1_S1_31	1	
ENVE_SLERR		Response Combo	SLERR_Gr_1_S1_32	1	
ENVE_SLERR		Response Combo	SLERR_Gr_1_S1_33	1	
ENVE_SLERR		Response Combo	SLERR_Gr_1_S1_34	1	
ENVE_SLERR		Response Combo	SLERR_Gr_1_S1_35	1	
ENVE_SLERR		Response Combo	SLERR_Gr_1_S1_36	1	
ENVE_SLERR		Response Combo	SLERR_Gr_1_S1_37	1	
ENVE_SLERR		Response Combo	SLERR_Gr_1_S1_38	1	
ENVE_SLERR		Response Combo	SLERR_Gr_1_S1_39	1	
ENVE_SLERR		Response Combo	SLERR_Gr_1_S1_40	1	
ENVE_SLEFR	Envelope	No Response Combo	SLEFR_Gr_2A_S1_1	1	None
ENVE_SLEFR		Response Combo	SLEFR_Gr_2A_S1_2	1	
ENVE_SLEFR		Response Combo	SLEFR_Gr_2A_S1_3	1	
ENVE_SLEFR		Response Combo	SLEFR_Gr_2A_S1_4	1	
ENVE_SLEFR		Response Combo	SLEFR_Gr_2A_S1_5	1	
ENVE_SLEFR		Response Combo	SLEFR_Gr_2A_S1_6	1	
ENVE_SLEFR		Response Combo	SLEFR_Gr_2A_S1_7	1	
ENVE_SLEFR		Response Combo	SLEFR_Gr_2A_S1_8	1	
ENVE_SLEFR		Response Combo	SLEFR_Gr_2A_S1_9	1	
ENVE_SLEFR		Response Combo	SLEFR_Gr_2A_S1_10	1	
ENVE_SLEFR		Response Combo	SLEFR_Gr_2A_S1_11	1	
ENVE_SLEFR		Response Combo	SLEFR_Gr_2A_S1_12	1	
ENVE_SLEFR		Response Combo	SLEFR_Gr_2A_S1_13	1	
ENVE_SLEFR		Response Combo	SLEFR_Gr_2A_S1_14	1	
ENVE_SLEFR		Response Combo	SLEFR_Gr_2A_S1_15	1	
ENVE_SLEFR		Response Combo	SLEFR_Gr_2A_S1_16	1	
ENVE_SLEFR		Response Combo	SLEFR_Gr_2A_S1_17	1	
ENVE_SLEFR		Response Combo	SLEFR_Gr_2A_S1_18	1	
ENVE_SLEFR		Response Combo	SLEFR_Gr_2A_S1_19	1	
ENVE_SLEFR		Response Combo	SLEFR_Gr_2A_S1_20	1	
ENVE_SLEFR		Response Combo	SLEFR_Gr_2A_S1_21	1	
ENVE_SLEFR		Response Combo	SLEFR_Gr_2A_S1_22	1	
ENVE_SLEFR		Response Combo	SLEFR_Gr_2A_S1_23	1	
ENVE_SLEFR		Response Combo	SLEFR_Gr_2A_S1_24	1	
ENVE_SLEFR		Response Combo	SLEFR_Gr_2A_S1_25	1	
ENVE_SLEFR		Response Combo	SLEFR_Gr_2A_S1_26	1	
ENVE_SLEFR		Response Combo	SLEFR_Gr_2A_S1_27	1	
ENVE_SLEFR		Response Combo	SLEFR_Gr_2A_S1_28	1	
ENVE_SLEFR		Response Combo	SLEFR_Gr_2A_S1_29	1	
ENVE_SLEFR		Response Combo	SLEFR_Gr_2A_S1_30	1	
ENVE_SLEFR		Response Combo	SLEFR_Gr_2A_S1_31	1	
ENVE_SLEFR		Response Combo	SLEFR_Gr_2A_S1_32	1	
ENVE_SLEFR		Response Combo	SLEFR_Gr_2A_S1_33	1	
ENVE_SLEFR		Response Combo	SLEFR_Gr_2A_S1_34	1	
ENVE_SLEFR		Response Combo	SLEFR_Gr_2A_S1_35	1	
ENVE_SLEFR		Response Combo	SLEFR_Gr_2A_S1_36	1	
ENVE_SLEFR		Response Combo	SLEFR_Gr_2A_S1_37	1	
ENVE_SLEFR		Response Combo	SLEFR_Gr_2A_S1_38	1	
ENVE_SLEFR		Response Combo	SLEFR_Gr_2A_S1_39	1	
ENVE_SLEFR		Response Combo	SLEFR_Gr_2A_S1_40	1	
ENVE_SLEQP	Envelope	No Response Combo	SLEQP_Gr_1_S1_1	1	None

RELAZIONE DI CALCOLO

COMMESSA	LOTTO	CODIFICA	DOCUMENTO	REV.	FOGLIO
NRIJ	01 D 29	CL	IV0104 001	B	195 di 341

ENVE_SLEQP		Response Combo	SLEQP_Gr_1_S1_2	1	
ENVE_SLEQP		Response Combo	SLEQP_Gr_1_S1_3	1	
ENVE_SLEQP		Response Combo	SLEQP_Gr_1_S1_4	1	
ENVE_SLEQP		Response Combo	SLEQP_Gr_1_S1_5	1	
ENVE_SLEQP		Response Combo	SLEQP_Gr_1_S1_6	1	
SLU/SIS Envelope	Envelope	No Response Combo	ENVE_SLU	1	None
SLU/SIS Envelope		Response Combo	ENVE_SIS_1	1	
SLU/SIS Envelope		Response Combo	SLU_ECC	1	

Table: Combination Definitions, Part 2 of 3

ComboName	CaseName	ConcDesign	AlumDesign	ColdDesign
24_q_vento_tot	q_vento_X	None	None	None
24_q_vento_tot	q_vento_Y			
24_q_vento_tot	24_q_vento			
SLU_Gr_1_S1_1	DEAD	None	None	None
SLU_Gr_1_S1_1	1_G1_trave			
SLU_Gr_1_S1_1	2_G1_soletta			
SLU_Gr_1_S1_1	3_G1_marciapiede			
SLU_Gr_1_S1_1	4_G1_traverso			
SLU_Gr_1_S1_1	5_G2_veletta			
SLU_Gr_1_S1_1	6_G2_impianti			
SLU_Gr_1_S1_1	7_G2_parapetti			
SLU_Gr_1_S1_1	8_G2_pavimentazione			
SLU_Gr_1_S1_1	9_G2_sicurvia			
SLU_Gr_1_S1_1	11_Q1k			
SLU_Gr_1_S1_1	10_q1k			
SLU_Gr_1_S1_1	13_Q2k			
SLU_Gr_1_S1_1	12_q2k			
SLU_Gr_1_S1_1	16_Q_zr			
SLU_Gr_1_S1_1	17_qfk			
SLU_Gr_1_S1_1	20_q4_centr			
SLU_Gr_1_S1_1	19_q3_frenatura			
SLU_Gr_1_S1_1	15_Q3k			
SLU_Gr_1_S1_1	14_q3k			
SLU_Gr_1_S1_1	24_q_vento_tot			
SLU_Gr_1_S1_1	23_q_temp F			
SLU_Gr_1_S1_1	22_q_ritiro			
SLU_Gr_1_S1_1	21_q8			
SLU_Gr_1_S1_2	DEAD	None	None	None
SLU_Gr_1_S1_2	1_G1_trave			
SLU_Gr_1_S1_2	2_G1_soletta			
SLU_Gr_1_S1_2	3_G1_marciapiede			
SLU_Gr_1_S1_2	4_G1_traverso			
SLU_Gr_1_S1_2	5_G2_veletta			
SLU_Gr_1_S1_2	6_G2_impianti			
SLU_Gr_1_S1_2	7_G2_parapetti			
SLU_Gr_1_S1_2	8_G2_pavimentazione			
SLU_Gr_1_S1_2	9_G2_sicurvia			
SLU_Gr_1_S1_2	11_Q1k			
SLU_Gr_1_S1_2	10_q1k			
SLU_Gr_1_S1_2	13_Q2k			
SLU_Gr_1_S1_2	12_q2k			
SLU_Gr_1_S1_2	16_Q_zr			
SLU_Gr_1_S1_2	17_qfk			
SLU_Gr_1_S1_2	20_q4_centr			
SLU_Gr_1_S1_2	19_q3_frenatura			
SLU_Gr_1_S1_2	15_Q3k			
SLU_Gr_1_S1_2	14_q3k			
SLU_Gr_1_S1_2	24_q_vento_tot			

RELAZIONE DI CALCOLO

COMMESSA	LOTTO	CODIFICA	DOCUMENTO	REV.	FOGLIO
NRIJ	01 D 29	CL	IV0104 001	B	196 di 341

SLU_Gr_1_S1_2	23_q_temp F			
SLU_Gr_1_S1_2	22_q_ritiro			
SLU_Gr_1_S1_2	21_q8			
SLU_Gr_1_S1_3	DEAD	None	None	None
SLU_Gr_1_S1_3	1_G1_trave			
SLU_Gr_1_S1_3	2_G1_soletta			
SLU_Gr_1_S1_3	3_G1_marciapiede			
SLU_Gr_1_S1_3	4_G1_traverso			
SLU_Gr_1_S1_3	5_G2_veletta			
SLU_Gr_1_S1_3	6_G2_impianti			
SLU_Gr_1_S1_3	7_G2_parapetti			
SLU_Gr_1_S1_3	8_G2_pavimentazione			
SLU_Gr_1_S1_3	9_G2_sicurvia			
SLU_Gr_1_S1_3	11_Q1k			
SLU_Gr_1_S1_3	10_q1k			
SLU_Gr_1_S1_3	13_Q2k			
SLU_Gr_1_S1_3	12_q2k			
SLU_Gr_1_S1_3	16_Q_zr			
SLU_Gr_1_S1_3	17_qfk			
SLU_Gr_1_S1_3	20_q4_centr			
SLU_Gr_1_S1_3	19_q3_frenatura			
SLU_Gr_1_S1_3	15_Q3k			
SLU_Gr_1_S1_3	14_q3k			
SLU_Gr_1_S1_3	24_q_vento_tot			
SLU_Gr_1_S1_3	23_q_temp F			
SLU_Gr_1_S1_3	22_q_ritiro			
SLU_Gr_1_S1_3	21_q8			
SLU_Gr_1_S1_4	DEAD	None	None	None
SLU_Gr_1_S1_4	1_G1_trave			
SLU_Gr_1_S1_4	2_G1_soletta			
SLU_Gr_1_S1_4	3_G1_marciapiede			
SLU_Gr_1_S1_4	4_G1_traverso			
SLU_Gr_1_S1_4	5_G2_veletta			
SLU_Gr_1_S1_4	6_G2_impianti			
SLU_Gr_1_S1_4	7_G2_parapetti			
SLU_Gr_1_S1_4	8_G2_pavimentazione			
SLU_Gr_1_S1_4	9_G2_sicurvia			
SLU_Gr_1_S1_4	11_Q1k			
SLU_Gr_1_S1_4	10_q1k			
SLU_Gr_1_S1_4	13_Q2k			
SLU_Gr_1_S1_4	12_q2k			
SLU_Gr_1_S1_4	16_Q_zr			
SLU_Gr_1_S1_4	17_qfk			
SLU_Gr_1_S1_4	20_q4_centr			
SLU_Gr_1_S1_4	19_q3_frenatura			
SLU_Gr_1_S1_4	15_Q3k			
SLU_Gr_1_S1_4	14_q3k			
SLU_Gr_1_S1_4	24_q_vento_tot			
SLU_Gr_1_S1_4	23_q_temp F			
SLU_Gr_1_S1_4	22_q_ritiro			
SLU_Gr_1_S1_4	21_q8			
SLU_Gr_1_S1_5	DEAD	None	None	None
SLU_Gr_1_S1_5	1_G1_trave			
SLU_Gr_1_S1_5	2_G1_soletta			
SLU_Gr_1_S1_5	3_G1_marciapiede			
SLU_Gr_1_S1_5	4_G1_traverso			
SLU_Gr_1_S1_5	5_G2_veletta			
SLU_Gr_1_S1_5	6_G2_impianti			
SLU_Gr_1_S1_5	7_G2_parapetti			
SLU_Gr_1_S1_5	8_G2_pavimentazione			
SLU_Gr_1_S1_5	9_G2_sicurvia			
SLU_Gr_1_S1_5	11_Q1k			

RELAZIONE DI CALCOLO

COMMESSA	LOTTO	CODIFICA	DOCUMENTO	REV.	FOGLIO
NRIJ	01 D 29	CL	IV0104 001	B	197 di 341

SLU_Gr_1_S1_5	10_q1k			
SLU_Gr_1_S1_5	13_Q2k			
SLU_Gr_1_S1_5	12_q2k			
SLU_Gr_1_S1_5	16_Q_zr			
SLU_Gr_1_S1_5	17_qfk			
SLU_Gr_1_S1_5	20_q4_centr			
SLU_Gr_1_S1_5	19_q3_frenatura			
SLU_Gr_1_S1_5	15_Q3k			
SLU_Gr_1_S1_5	14_q3k			
SLU_Gr_1_S1_5	24_q_vento_tot			
SLU_Gr_1_S1_5	23_q_temp F			
SLU_Gr_1_S1_5	22_q_ritiro			
SLU_Gr_1_S1_5	21_q8			
SLU_Gr_1_S1_6	DEAD	None	None	None
SLU_Gr_1_S1_6	1_G1_trave			
SLU_Gr_1_S1_6	2_G1_soletta			
SLU_Gr_1_S1_6	3_G1_marciapiede			
SLU_Gr_1_S1_6	4_G1_traverso			
SLU_Gr_1_S1_6	5_G2_veletta			
SLU_Gr_1_S1_6	6_G2_impianti			
SLU_Gr_1_S1_6	7_G2_parapetti			
SLU_Gr_1_S1_6	8_G2_pavimentazione			
SLU_Gr_1_S1_6	9_G2_sicurvia			
SLU_Gr_1_S1_6	11_Q1k			
SLU_Gr_1_S1_6	10_q1k			
SLU_Gr_1_S1_6	13_Q2k			
SLU_Gr_1_S1_6	12_q2k			
SLU_Gr_1_S1_6	16_Q_zr			
SLU_Gr_1_S1_6	17_qfk			
SLU_Gr_1_S1_6	20_q4_centr			
SLU_Gr_1_S1_6	19_q3_frenatura			
SLU_Gr_1_S1_6	15_Q3k			
SLU_Gr_1_S1_6	14_q3k			
SLU_Gr_1_S1_6	24_q_vento_tot			
SLU_Gr_1_S1_6	23_q_temp F			
SLU_Gr_1_S1_6	22_q_ritiro			
SLU_Gr_1_S1_6	21_q8			
SLU_Gr_1_S1_7	DEAD	None	None	None
SLU_Gr_1_S1_7	1_G1_trave			
SLU_Gr_1_S1_7	2_G1_soletta			
SLU_Gr_1_S1_7	3_G1_marciapiede			
SLU_Gr_1_S1_7	4_G1_traverso			
SLU_Gr_1_S1_7	5_G2_veletta			
SLU_Gr_1_S1_7	6_G2_impianti			
SLU_Gr_1_S1_7	7_G2_parapetti			
SLU_Gr_1_S1_7	8_G2_pavimentazione			
SLU_Gr_1_S1_7	9_G2_sicurvia			
SLU_Gr_1_S1_7	11_Q1k			
SLU_Gr_1_S1_7	10_q1k			
SLU_Gr_1_S1_7	13_Q2k			
SLU_Gr_1_S1_7	12_q2k			
SLU_Gr_1_S1_7	16_Q_zr			
SLU_Gr_1_S1_7	17_qfk			
SLU_Gr_1_S1_7	20_q4_centr			
SLU_Gr_1_S1_7	19_q3_frenatura			
SLU_Gr_1_S1_7	15_Q3k			
SLU_Gr_1_S1_7	14_q3k			
SLU_Gr_1_S1_7	24_q_vento_tot			
SLU_Gr_1_S1_7	23_q_temp F			
SLU_Gr_1_S1_7	22_q_ritiro			
SLU_Gr_1_S1_7	21_q8			
SLU_Gr_1_S1_8	DEAD	None	None	None

RELAZIONE DI CALCOLO

COMMESSA	LOTTO	CODIFICA	DOCUMENTO	REV.	FOGLIO
NRIJ	01 D 29	CL	IV0104 001	B	198 di 341

SLU_Gr_1_S1_8	1_G1_trave			
SLU_Gr_1_S1_8	2_G1_soletta			
SLU_Gr_1_S1_8	3_G1_marciapiede			
SLU_Gr_1_S1_8	4_G1_traverso			
SLU_Gr_1_S1_8	5_G2_veletta			
SLU_Gr_1_S1_8	6_G2_impianti			
SLU_Gr_1_S1_8	7_G2_parapetti			
SLU_Gr_1_S1_8	8_G2_pavimentazione			
SLU_Gr_1_S1_8	9_G2_sicurvia			
SLU_Gr_1_S1_8	11_Q1k			
SLU_Gr_1_S1_8	10_q1k			
SLU_Gr_1_S1_8	13_Q2k			
SLU_Gr_1_S1_8	12_q2k			
SLU_Gr_1_S1_8	16_Q_zr			
SLU_Gr_1_S1_8	17_qfk			
SLU_Gr_1_S1_8	20_q4_centr			
SLU_Gr_1_S1_8	19_q3_frenatura			
SLU_Gr_1_S1_8	15_Q3k			
SLU_Gr_1_S1_8	14_q3k			
SLU_Gr_1_S1_8	24_q_vento_tot			
SLU_Gr_1_S1_8	23_q_temp F			
SLU_Gr_1_S1_8	22_q_ritiro			
SLU_Gr_1_S1_8	21_q8			
SLU_Gr_1_S1_9	DEAD	None	None	None
SLU_Gr_1_S1_9	1_G1_trave			
SLU_Gr_1_S1_9	2_G1_soletta			
SLU_Gr_1_S1_9	3_G1_marciapiede			
SLU_Gr_1_S1_9	4_G1_traverso			
SLU_Gr_1_S1_9	5_G2_veletta			
SLU_Gr_1_S1_9	6_G2_impianti			
SLU_Gr_1_S1_9	7_G2_parapetti			
SLU_Gr_1_S1_9	8_G2_pavimentazione			
SLU_Gr_1_S1_9	9_G2_sicurvia			
SLU_Gr_1_S1_9	11_Q1k			
SLU_Gr_1_S1_9	10_q1k			
SLU_Gr_1_S1_9	13_Q2k			
SLU_Gr_1_S1_9	12_q2k			
SLU_Gr_1_S1_9	16_Q_zr			
SLU_Gr_1_S1_9	17_qfk			
SLU_Gr_1_S1_9	20_q4_centr			
SLU_Gr_1_S1_9	19_q3_frenatura			
SLU_Gr_1_S1_9	15_Q3k			
SLU_Gr_1_S1_9	14_q3k			
SLU_Gr_1_S1_9	24_q_vento_tot			
SLU_Gr_1_S1_9	23_q_temp F			
SLU_Gr_1_S1_9	22_q_ritiro			
SLU_Gr_1_S1_9	21_q8			
SLU_Gr_1_S1_10	DEAD	None	None	None
SLU_Gr_1_S1_10	1_G1_trave			
SLU_Gr_1_S1_10	2_G1_soletta			
SLU_Gr_1_S1_10	3_G1_marciapiede			
SLU_Gr_1_S1_10	4_G1_traverso			
SLU_Gr_1_S1_10	5_G2_veletta			
SLU_Gr_1_S1_10	6_G2_impianti			
SLU_Gr_1_S1_10	7_G2_parapetti			
SLU_Gr_1_S1_10	8_G2_pavimentazione			
SLU_Gr_1_S1_10	9_G2_sicurvia			
SLU_Gr_1_S1_10	11_Q1k			
SLU_Gr_1_S1_10	10_q1k			
SLU_Gr_1_S1_10	13_Q2k			
SLU_Gr_1_S1_10	12_q2k			
SLU_Gr_1_S1_10	16_Q_zr			

RELAZIONE DI CALCOLO

COMMESSA	LOTTO	CODIFICA	DOCUMENTO	REV.	FOGLIO
NRIJ	01 D 29	CL	IV0104 001	B	199 di 341

SLU_Gr_1_S1_10	17_qfk			
SLU_Gr_1_S1_10	20_q4_centr			
SLU_Gr_1_S1_10	19_q3_frenatura			
SLU_Gr_1_S1_10	15_Q3k			
SLU_Gr_1_S1_10	14_q3k			
SLU_Gr_1_S1_10	24_q_vento_tot			
SLU_Gr_1_S1_10	23_q_temp F			
SLU_Gr_1_S1_10	22_q_ritiro			
SLU_Gr_1_S1_10	21_q8			
SLU_Gr_1_S1_11	DEAD	None	None	None
SLU_Gr_1_S1_11	1_G1_trave			
SLU_Gr_1_S1_11	2_G1_soletta			
SLU_Gr_1_S1_11	3_G1_marciapiede			
SLU_Gr_1_S1_11	4_G1_traverso			
SLU_Gr_1_S1_11	5_G2_veletta			
SLU_Gr_1_S1_11	6_G2_impianti			
SLU_Gr_1_S1_11	7_G2_parapetti			
SLU_Gr_1_S1_11	8_G2_pavimentazione			
SLU_Gr_1_S1_11	9_G2_sicurvia			
SLU_Gr_1_S1_11	11_Q1k			
SLU_Gr_1_S1_11	10_q1k			
SLU_Gr_1_S1_11	13_Q2k			
SLU_Gr_1_S1_11	12_q2k			
SLU_Gr_1_S1_11	16_Q_zr			
SLU_Gr_1_S1_11	17_qfk			
SLU_Gr_1_S1_11	20_q4_centr			
SLU_Gr_1_S1_11	19_q3_frenatura			
SLU_Gr_1_S1_11	15_Q3k			
SLU_Gr_1_S1_11	14_q3k			
SLU_Gr_1_S1_11	24_q_vento_tot			
SLU_Gr_1_S1_11	23_q_temp F			
SLU_Gr_1_S1_11	22_q_ritiro			
SLU_Gr_1_S1_11	21_q8			
SLU_Gr_1_S1_12	DEAD	None	None	None
SLU_Gr_1_S1_12	1_G1_trave			
SLU_Gr_1_S1_12	2_G1_soletta			
SLU_Gr_1_S1_12	3_G1_marciapiede			
SLU_Gr_1_S1_12	4_G1_traverso			
SLU_Gr_1_S1_12	5_G2_veletta			
SLU_Gr_1_S1_12	6_G2_impianti			
SLU_Gr_1_S1_12	7_G2_parapetti			
SLU_Gr_1_S1_12	8_G2_pavimentazione			
SLU_Gr_1_S1_12	9_G2_sicurvia			
SLU_Gr_1_S1_12	11_Q1k			
SLU_Gr_1_S1_12	10_q1k			
SLU_Gr_1_S1_12	13_Q2k			
SLU_Gr_1_S1_12	12_q2k			
SLU_Gr_1_S1_12	16_Q_zr			
SLU_Gr_1_S1_12	17_qfk			
SLU_Gr_1_S1_12	20_q4_centr			
SLU_Gr_1_S1_12	19_q3_frenatura			
SLU_Gr_1_S1_12	15_Q3k			
SLU_Gr_1_S1_12	14_q3k			
SLU_Gr_1_S1_12	24_q_vento_tot			
SLU_Gr_1_S1_12	23_q_temp F			
SLU_Gr_1_S1_12	22_q_ritiro			
SLU_Gr_1_S1_12	21_q8			
SLU_Gr_1_S1_13	DEAD	None	None	None
SLU_Gr_1_S1_13	1_G1_trave			
SLU_Gr_1_S1_13	2_G1_soletta			
SLU_Gr_1_S1_13	3_G1_marciapiede			
SLU_Gr_1_S1_13	4_G1_traverso			

RELAZIONE DI CALCOLO

COMMESSA	LOTTO	CODIFICA	DOCUMENTO	REV.	FOGLIO
NRIJ	01 D 29	CL	IV0104 001	B	200 di 341

SLU_Gr_1_S1_13	5_G2_veletta			
SLU_Gr_1_S1_13	6_G2_impianti			
SLU_Gr_1_S1_13	7_G2_parapetti			
SLU_Gr_1_S1_13	8_G2_pavimentazione			
SLU_Gr_1_S1_13	9_G2_sicurvia			
SLU_Gr_1_S1_13	11_Q1k			
SLU_Gr_1_S1_13	10_q1k			
SLU_Gr_1_S1_13	13_Q2k			
SLU_Gr_1_S1_13	12_q2k			
SLU_Gr_1_S1_13	16_Q_zr			
SLU_Gr_1_S1_13	17_qfk			
SLU_Gr_1_S1_13	20_q4_centr			
SLU_Gr_1_S1_13	19_q3_frenatura			
SLU_Gr_1_S1_13	15_Q3k			
SLU_Gr_1_S1_13	14_q3k			
SLU_Gr_1_S1_13	24_q_vento_tot			
SLU_Gr_1_S1_13	23_q_temp F			
SLU_Gr_1_S1_13	22_q_ritiro			
SLU_Gr_1_S1_13	21_q8			
SLU_Gr_1_S1_14	DEAD	None	None	None
SLU_Gr_1_S1_14	1_G1_trave			
SLU_Gr_1_S1_14	2_G1_soletta			
SLU_Gr_1_S1_14	3_G1_marciapiede			
SLU_Gr_1_S1_14	4_G1_traverso			
SLU_Gr_1_S1_14	5_G2_veletta			
SLU_Gr_1_S1_14	6_G2_impianti			
SLU_Gr_1_S1_14	7_G2_parapetti			
SLU_Gr_1_S1_14	8_G2_pavimentazione			
SLU_Gr_1_S1_14	9_G2_sicurvia			
SLU_Gr_1_S1_14	11_Q1k			
SLU_Gr_1_S1_14	10_q1k			
SLU_Gr_1_S1_14	13_Q2k			
SLU_Gr_1_S1_14	12_q2k			
SLU_Gr_1_S1_14	16_Q_zr			
SLU_Gr_1_S1_14	17_qfk			
SLU_Gr_1_S1_14	20_q4_centr			
SLU_Gr_1_S1_14	19_q3_frenatura			
SLU_Gr_1_S1_14	15_Q3k			
SLU_Gr_1_S1_14	14_q3k			
SLU_Gr_1_S1_14	24_q_vento_tot			
SLU_Gr_1_S1_14	23_q_temp F			
SLU_Gr_1_S1_14	22_q_ritiro			
SLU_Gr_1_S1_14	21_q8			
SLU_Gr_1_S1_15	DEAD	None	None	None
SLU_Gr_1_S1_15	1_G1_trave			
SLU_Gr_1_S1_15	2_G1_soletta			
SLU_Gr_1_S1_15	3_G1_marciapiede			
SLU_Gr_1_S1_15	4_G1_traverso			
SLU_Gr_1_S1_15	5_G2_veletta			
SLU_Gr_1_S1_15	6_G2_impianti			
SLU_Gr_1_S1_15	7_G2_parapetti			
SLU_Gr_1_S1_15	8_G2_pavimentazione			
SLU_Gr_1_S1_15	9_G2_sicurvia			
SLU_Gr_1_S1_15	11_Q1k			
SLU_Gr_1_S1_15	10_q1k			
SLU_Gr_1_S1_15	13_Q2k			
SLU_Gr_1_S1_15	12_q2k			
SLU_Gr_1_S1_15	16_Q_zr			
SLU_Gr_1_S1_15	17_qfk			
SLU_Gr_1_S1_15	20_q4_centr			
SLU_Gr_1_S1_15	19_q3_frenatura			
SLU_Gr_1_S1_15	15_Q3k			

RELAZIONE DI CALCOLO

COMMESSA	LOTTO	CODIFICA	DOCUMENTO	REV.	FOGLIO
NRIJ	01 D 29	CL	IV0104 001	B	201 di 341

SLU_Gr_1_S1_15	14_q3k			
SLU_Gr_1_S1_15	24_q_vento_tot			
SLU_Gr_1_S1_15	23_q_temp F			
SLU_Gr_1_S1_15	22_q_ritiro			
SLU_Gr_1_S1_15	21_q8			
SLU_Gr_1_S1_16	DEAD	None	None	None
SLU_Gr_1_S1_16	1_G1_trave			
SLU_Gr_1_S1_16	2_G1_soletta			
SLU_Gr_1_S1_16	3_G1_marciapiede			
SLU_Gr_1_S1_16	4_G1_traverso			
SLU_Gr_1_S1_16	5_G2_veletta			
SLU_Gr_1_S1_16	6_G2_impianti			
SLU_Gr_1_S1_16	7_G2_parapetti			
SLU_Gr_1_S1_16	8_G2_pavimentazione			
SLU_Gr_1_S1_16	9_G2_sicurvia			
SLU_Gr_1_S1_16	11_Q1k			
SLU_Gr_1_S1_16	10_q1k			
SLU_Gr_1_S1_16	13_Q2k			
SLU_Gr_1_S1_16	12_q2k			
SLU_Gr_1_S1_16	16_Q_zr			
SLU_Gr_1_S1_16	17_qfk			
SLU_Gr_1_S1_16	20_q4_centra			
SLU_Gr_1_S1_16	19_q3_frenatura			
SLU_Gr_1_S1_16	15_Q3k			
SLU_Gr_1_S1_16	14_q3k			
SLU_Gr_1_S1_16	24_q_vento_tot			
SLU_Gr_1_S1_16	23_q_temp F			
SLU_Gr_1_S1_16	22_q_ritiro			
SLU_Gr_1_S1_16	21_q8			
SLU_Gr_1_S1_17	DEAD	None	None	None
SLU_Gr_1_S1_17	1_G1_trave			
SLU_Gr_1_S1_17	2_G1_soletta			
SLU_Gr_1_S1_17	3_G1_marciapiede			
SLU_Gr_1_S1_17	4_G1_traverso			
SLU_Gr_1_S1_17	5_G2_veletta			
SLU_Gr_1_S1_17	6_G2_impianti			
SLU_Gr_1_S1_17	7_G2_parapetti			
SLU_Gr_1_S1_17	8_G2_pavimentazione			
SLU_Gr_1_S1_17	9_G2_sicurvia			
SLU_Gr_1_S1_17	11_Q1k			
SLU_Gr_1_S1_17	10_q1k			
SLU_Gr_1_S1_17	13_Q2k			
SLU_Gr_1_S1_17	12_q2k			
SLU_Gr_1_S1_17	16_Q_zr			
SLU_Gr_1_S1_17	17_qfk			
SLU_Gr_1_S1_17	20_q4_centra			
SLU_Gr_1_S1_17	19_q3_frenatura			
SLU_Gr_1_S1_17	15_Q3k			
SLU_Gr_1_S1_17	14_q3k			
SLU_Gr_1_S1_17	24_q_vento_tot			
SLU_Gr_1_S1_17	23_q_temp F			
SLU_Gr_1_S1_17	22_q_ritiro			
SLU_Gr_1_S1_17	21_q8			
SLU_Gr_1_S1_18	DEAD	None	None	None
SLU_Gr_1_S1_18	1_G1_trave			
SLU_Gr_1_S1_18	2_G1_soletta			
SLU_Gr_1_S1_18	3_G1_marciapiede			
SLU_Gr_1_S1_18	4_G1_traverso			
SLU_Gr_1_S1_18	5_G2_veletta			
SLU_Gr_1_S1_18	6_G2_impianti			
SLU_Gr_1_S1_18	7_G2_parapetti			
SLU_Gr_1_S1_18	8_G2_pavimentazione			

RELAZIONE DI CALCOLO

COMMESSA	LOTTO	CODIFICA	DOCUMENTO	REV.	FOGLIO
NRIJ	01 D 29	CL	IV0104 001	B	202 di 341

SLU_Gr_1_S1_18	9_G2_sicurvia			
SLU_Gr_1_S1_18	11_Q1k			
SLU_Gr_1_S1_18	10_q1k			
SLU_Gr_1_S1_18	13_Q2k			
SLU_Gr_1_S1_18	12_q2k			
SLU_Gr_1_S1_18	16_Q_zr			
SLU_Gr_1_S1_18	17_qfk			
SLU_Gr_1_S1_18	20_q4_centr			
SLU_Gr_1_S1_18	19_q3_frenatura			
SLU_Gr_1_S1_18	15_Q3k			
SLU_Gr_1_S1_18	14_q3k			
SLU_Gr_1_S1_18	24_q_vento_tot			
SLU_Gr_1_S1_18	23_q_temp F			
SLU_Gr_1_S1_18	22_q_ritiro			
SLU_Gr_1_S1_18	21_q8			
SLU_Gr_1_S1_19	DEAD	None	None	None
SLU_Gr_1_S1_19	1_G1_trave			
SLU_Gr_1_S1_19	2_G1_soletta			
SLU_Gr_1_S1_19	3_G1_marciapiede			
SLU_Gr_1_S1_19	4_G1_traverso			
SLU_Gr_1_S1_19	5_G2_veletta			
SLU_Gr_1_S1_19	6_G2_impianti			
SLU_Gr_1_S1_19	7_G2_parapetti			
SLU_Gr_1_S1_19	8_G2_pavimentazione			
SLU_Gr_1_S1_19	9_G2_sicurvia			
SLU_Gr_1_S1_19	11_Q1k			
SLU_Gr_1_S1_19	10_q1k			
SLU_Gr_1_S1_19	13_Q2k			
SLU_Gr_1_S1_19	12_q2k			
SLU_Gr_1_S1_19	16_Q_zr			
SLU_Gr_1_S1_19	17_qfk			
SLU_Gr_1_S1_19	20_q4_centr			
SLU_Gr_1_S1_19	19_q3_frenatura			
SLU_Gr_1_S1_19	15_Q3k			
SLU_Gr_1_S1_19	14_q3k			
SLU_Gr_1_S1_19	24_q_vento_tot			
SLU_Gr_1_S1_19	23_q_temp F			
SLU_Gr_1_S1_19	22_q_ritiro			
SLU_Gr_1_S1_19	21_q8			
SLU_Gr_1_S1_20	DEAD	None	None	None
SLU_Gr_1_S1_20	1_G1_trave			
SLU_Gr_1_S1_20	2_G1_soletta			
SLU_Gr_1_S1_20	3_G1_marciapiede			
SLU_Gr_1_S1_20	4_G1_traverso			
SLU_Gr_1_S1_20	5_G2_veletta			
SLU_Gr_1_S1_20	6_G2_impianti			
SLU_Gr_1_S1_20	7_G2_parapetti			
SLU_Gr_1_S1_20	8_G2_pavimentazione			
SLU_Gr_1_S1_20	9_G2_sicurvia			
SLU_Gr_1_S1_20	11_Q1k			
SLU_Gr_1_S1_20	10_q1k			
SLU_Gr_1_S1_20	13_Q2k			
SLU_Gr_1_S1_20	12_q2k			
SLU_Gr_1_S1_20	16_Q_zr			
SLU_Gr_1_S1_20	17_qfk			
SLU_Gr_1_S1_20	20_q4_centr			
SLU_Gr_1_S1_20	19_q3_frenatura			
SLU_Gr_1_S1_20	15_Q3k			
SLU_Gr_1_S1_20	14_q3k			
SLU_Gr_1_S1_20	24_q_vento_tot			
SLU_Gr_1_S1_20	23_q_temp F			
SLU_Gr_1_S1_20	22_q_ritiro			

RELAZIONE DI CALCOLO

COMMESSA	LOTTO	CODIFICA	DOCUMENTO	REV.	FOGLIO
NRIJ	01 D 29	CL	IV0104 001	B	203 di 341

SLU_Gr_1_S1_20	21_q8			
SLU_Gr_1_S1_21	DEAD	None	None	None
SLU_Gr_1_S1_21	1_G1_trave			
SLU_Gr_1_S1_21	2_G1_soletta			
SLU_Gr_1_S1_21	3_G1_marciapiede			
SLU_Gr_1_S1_21	4_G1_traverso			
SLU_Gr_1_S1_21	5_G2_veletta			
SLU_Gr_1_S1_21	6_G2_impianti			
SLU_Gr_1_S1_21	7_G2_parapetti			
SLU_Gr_1_S1_21	8_G2_pavimentazione			
SLU_Gr_1_S1_21	9_G2_sicurvia			
SLU_Gr_1_S1_21	11_Q1k			
SLU_Gr_1_S1_21	10_q1k			
SLU_Gr_1_S1_21	13_Q2k			
SLU_Gr_1_S1_21	12_q2k			
SLU_Gr_1_S1_21	16_Q_zr			
SLU_Gr_1_S1_21	17_qfk			
SLU_Gr_1_S1_21	20_q4_centr			
SLU_Gr_1_S1_21	19_q3_frenatura			
SLU_Gr_1_S1_21	15_Q3k			
SLU_Gr_1_S1_21	14_q3k			
SLU_Gr_1_S1_21	24_q_vento_tot			
SLU_Gr_1_S1_21	23_q_temp F			
SLU_Gr_1_S1_21	22_q_ritiro			
SLU_Gr_1_S1_21	21_q8			
SLU_Gr_1_S1_22	DEAD	None	None	None
SLU_Gr_1_S1_22	1_G1_trave			
SLU_Gr_1_S1_22	2_G1_soletta			
SLU_Gr_1_S1_22	3_G1_marciapiede			
SLU_Gr_1_S1_22	4_G1_traverso			
SLU_Gr_1_S1_22	5_G2_veletta			
SLU_Gr_1_S1_22	6_G2_impianti			
SLU_Gr_1_S1_22	7_G2_parapetti			
SLU_Gr_1_S1_22	8_G2_pavimentazione			
SLU_Gr_1_S1_22	9_G2_sicurvia			
SLU_Gr_1_S1_22	11_Q1k			
SLU_Gr_1_S1_22	10_q1k			
SLU_Gr_1_S1_22	13_Q2k			
SLU_Gr_1_S1_22	12_q2k			
SLU_Gr_1_S1_22	16_Q_zr			
SLU_Gr_1_S1_22	17_qfk			
SLU_Gr_1_S1_22	20_q4_centr			
SLU_Gr_1_S1_22	19_q3_frenatura			
SLU_Gr_1_S1_22	15_Q3k			
SLU_Gr_1_S1_22	14_q3k			
SLU_Gr_1_S1_22	24_q_vento_tot			
SLU_Gr_1_S1_22	23_q_temp F			
SLU_Gr_1_S1_22	22_q_ritiro			
SLU_Gr_1_S1_22	21_q8			
SLU_Gr_1_S1_23	DEAD	None	None	None
SLU_Gr_1_S1_23	1_G1_trave			
SLU_Gr_1_S1_23	2_G1_soletta			
SLU_Gr_1_S1_23	3_G1_marciapiede			
SLU_Gr_1_S1_23	4_G1_traverso			
SLU_Gr_1_S1_23	5_G2_veletta			
SLU_Gr_1_S1_23	6_G2_impianti			
SLU_Gr_1_S1_23	7_G2_parapetti			
SLU_Gr_1_S1_23	8_G2_pavimentazione			
SLU_Gr_1_S1_23	9_G2_sicurvia			
SLU_Gr_1_S1_23	11_Q1k			
SLU_Gr_1_S1_23	10_q1k			
SLU_Gr_1_S1_23	13_Q2k			

RELAZIONE DI CALCOLO

COMMESSA	LOTTO	CODIFICA	DOCUMENTO	REV.	FOGLIO
NRIJ	01 D 29	CL	IV0104 001	B	204 di 341

SLU_Gr_1_S1_23	12_q2k			
SLU_Gr_1_S1_23	16_Q_zr			
SLU_Gr_1_S1_23	17_qfk			
SLU_Gr_1_S1_23	20_q4_centr			
SLU_Gr_1_S1_23	19_q3_frenatura			
SLU_Gr_1_S1_23	15_Q3k			
SLU_Gr_1_S1_23	14_q3k			
SLU_Gr_1_S1_23	24_q_vento_tot			
SLU_Gr_1_S1_23	23_q_temp F			
SLU_Gr_1_S1_23	22_q_ritiro			
SLU_Gr_1_S1_23	21_q8			
SLU_Gr_1_S1_24	DEAD	None	None	None
SLU_Gr_1_S1_24	1_G1_trave			
SLU_Gr_1_S1_24	2_G1_soletta			
SLU_Gr_1_S1_24	3_G1_marciapiede			
SLU_Gr_1_S1_24	4_G1_traverso			
SLU_Gr_1_S1_24	5_G2_veletta			
SLU_Gr_1_S1_24	6_G2_impianti			
SLU_Gr_1_S1_24	7_G2_parapetti			
SLU_Gr_1_S1_24	8_G2_pavimentazione			
SLU_Gr_1_S1_24	9_G2_sicurvia			
SLU_Gr_1_S1_24	11_Q1k			
SLU_Gr_1_S1_24	10_q1k			
SLU_Gr_1_S1_24	13_Q2k			
SLU_Gr_1_S1_24	12_q2k			
SLU_Gr_1_S1_24	16_Q_zr			
SLU_Gr_1_S1_24	17_qfk			
SLU_Gr_1_S1_24	20_q4_centr			
SLU_Gr_1_S1_24	19_q3_frenatura			
SLU_Gr_1_S1_24	15_Q3k			
SLU_Gr_1_S1_24	14_q3k			
SLU_Gr_1_S1_24	24_q_vento_tot			
SLU_Gr_1_S1_24	23_q_temp F			
SLU_Gr_1_S1_24	22_q_ritiro			
SLU_Gr_1_S1_24	21_q8			
SLU_Gr_1_S1_25	DEAD	None	None	None
SLU_Gr_1_S1_25	1_G1_trave			
SLU_Gr_1_S1_25	2_G1_soletta			
SLU_Gr_1_S1_25	3_G1_marciapiede			
SLU_Gr_1_S1_25	4_G1_traverso			
SLU_Gr_1_S1_25	5_G2_veletta			
SLU_Gr_1_S1_25	6_G2_impianti			
SLU_Gr_1_S1_25	7_G2_parapetti			
SLU_Gr_1_S1_25	8_G2_pavimentazione			
SLU_Gr_1_S1_25	9_G2_sicurvia			
SLU_Gr_1_S1_25	11_Q1k			
SLU_Gr_1_S1_25	10_q1k			
SLU_Gr_1_S1_25	13_Q2k			
SLU_Gr_1_S1_25	12_q2k			
SLU_Gr_1_S1_25	16_Q_zr			
SLU_Gr_1_S1_25	17_qfk			
SLU_Gr_1_S1_25	20_q4_centr			
SLU_Gr_1_S1_25	19_q3_frenatura			
SLU_Gr_1_S1_25	15_Q3k			
SLU_Gr_1_S1_25	14_q3k			
SLU_Gr_1_S1_25	24_q_vento_tot			
SLU_Gr_1_S1_25	23_q_temp F			
SLU_Gr_1_S1_25	22_q_ritiro			
SLU_Gr_1_S1_25	21_q8			
SLU_Gr_1_S1_26	DEAD	None	None	None
SLU_Gr_1_S1_26	1_G1_trave			
SLU_Gr_1_S1_26	2_G1_soletta			

RELAZIONE DI CALCOLO

COMMESSA	LOTTO	CODIFICA	DOCUMENTO	REV.	FOGLIO
NRIJ	01 D 29	CL	IV0104 001	B	205 di 341

SLU_Gr_1_S1_26	3_G1_marciapiede			
SLU_Gr_1_S1_26	4_G1_traverso			
SLU_Gr_1_S1_26	5_G2_veletta			
SLU_Gr_1_S1_26	6_G2_impianti			
SLU_Gr_1_S1_26	7_G2_parapetti			
SLU_Gr_1_S1_26	8_G2_pavimentazione			
SLU_Gr_1_S1_26	9_G2_sicurvia			
SLU_Gr_1_S1_26	11_Q1k			
SLU_Gr_1_S1_26	10_q1k			
SLU_Gr_1_S1_26	13_Q2k			
SLU_Gr_1_S1_26	12_q2k			
SLU_Gr_1_S1_26	16_Q_zr			
SLU_Gr_1_S1_26	17_qfk			
SLU_Gr_1_S1_26	20_q4_centr			
SLU_Gr_1_S1_26	19_q3_frenatura			
SLU_Gr_1_S1_26	15_Q3k			
SLU_Gr_1_S1_26	14_q3k			
SLU_Gr_1_S1_26	24_q_vento_tot			
SLU_Gr_1_S1_26	23_q_temp F			
SLU_Gr_1_S1_26	22_q_ritiro			
SLU_Gr_1_S1_26	21_q8			
SLU_Gr_1_S1_27	DEAD	None	None	None
SLU_Gr_1_S1_27	1_G1_trave			
SLU_Gr_1_S1_27	2_G1_soletta			
SLU_Gr_1_S1_27	3_G1_marciapiede			
SLU_Gr_1_S1_27	4_G1_traverso			
SLU_Gr_1_S1_27	5_G2_veletta			
SLU_Gr_1_S1_27	6_G2_impianti			
SLU_Gr_1_S1_27	7_G2_parapetti			
SLU_Gr_1_S1_27	8_G2_pavimentazione			
SLU_Gr_1_S1_27	9_G2_sicurvia			
SLU_Gr_1_S1_27	11_Q1k			
SLU_Gr_1_S1_27	10_q1k			
SLU_Gr_1_S1_27	13_Q2k			
SLU_Gr_1_S1_27	12_q2k			
SLU_Gr_1_S1_27	16_Q_zr			
SLU_Gr_1_S1_27	17_qfk			
SLU_Gr_1_S1_27	20_q4_centr			
SLU_Gr_1_S1_27	19_q3_frenatura			
SLU_Gr_1_S1_27	15_Q3k			
SLU_Gr_1_S1_27	14_q3k			
SLU_Gr_1_S1_27	24_q_vento_tot			
SLU_Gr_1_S1_27	23_q_temp F			
SLU_Gr_1_S1_27	22_q_ritiro			
SLU_Gr_1_S1_27	21_q8			
SLU_Gr_1_S1_28	DEAD	None	None	None
SLU_Gr_1_S1_28	1_G1_trave			
SLU_Gr_1_S1_28	2_G1_soletta			
SLU_Gr_1_S1_28	3_G1_marciapiede			
SLU_Gr_1_S1_28	4_G1_traverso			
SLU_Gr_1_S1_28	5_G2_veletta			
SLU_Gr_1_S1_28	6_G2_impianti			
SLU_Gr_1_S1_28	7_G2_parapetti			
SLU_Gr_1_S1_28	8_G2_pavimentazione			
SLU_Gr_1_S1_28	9_G2_sicurvia			
SLU_Gr_1_S1_28	11_Q1k			
SLU_Gr_1_S1_28	10_q1k			
SLU_Gr_1_S1_28	13_Q2k			
SLU_Gr_1_S1_28	12_q2k			
SLU_Gr_1_S1_28	16_Q_zr			
SLU_Gr_1_S1_28	17_qfk			
SLU_Gr_1_S1_28	20_q4_centr			

RELAZIONE DI CALCOLO

COMMESSA	LOTTO	CODIFICA	DOCUMENTO	REV.	FOGLIO
NRIJ	01 D 29	CL	IV0104 001	B	206 di 341

SLU_Gr_1_S1_28	19_q3_frenatura			
SLU_Gr_1_S1_28	15_Q3k			
SLU_Gr_1_S1_28	14_q3k			
SLU_Gr_1_S1_28	24_q_vento_tot			
SLU_Gr_1_S1_28	23_q_temp F			
SLU_Gr_1_S1_28	22_q_ritiro			
SLU_Gr_1_S1_28	21_q8			
SLU_Gr_1_S1_29	DEAD	None	None	None
SLU_Gr_1_S1_29	1_G1_trave			
SLU_Gr_1_S1_29	2_G1_soletta			
SLU_Gr_1_S1_29	3_G1_marciapiede			
SLU_Gr_1_S1_29	4_G1_traverso			
SLU_Gr_1_S1_29	5_G2_veletta			
SLU_Gr_1_S1_29	6_G2_impianti			
SLU_Gr_1_S1_29	7_G2_parapetti			
SLU_Gr_1_S1_29	8_G2_pavimentazione			
SLU_Gr_1_S1_29	9_G2_sicurvia			
SLU_Gr_1_S1_29	11_Q1k			
SLU_Gr_1_S1_29	10_q1k			
SLU_Gr_1_S1_29	13_Q2k			
SLU_Gr_1_S1_29	12_q2k			
SLU_Gr_1_S1_29	16_Q_zr			
SLU_Gr_1_S1_29	17_qfk			
SLU_Gr_1_S1_29	20_q4_centr			
SLU_Gr_1_S1_29	19_q3_frenatura			
SLU_Gr_1_S1_29	15_Q3k			
SLU_Gr_1_S1_29	14_q3k			
SLU_Gr_1_S1_29	24_q_vento_tot			
SLU_Gr_1_S1_29	23_q_temp F			
SLU_Gr_1_S1_29	22_q_ritiro			
SLU_Gr_1_S1_29	21_q8			
SLU_Gr_1_S1_30	DEAD	None	None	None
SLU_Gr_1_S1_30	1_G1_trave			
SLU_Gr_1_S1_30	2_G1_soletta			
SLU_Gr_1_S1_30	3_G1_marciapiede			
SLU_Gr_1_S1_30	4_G1_traverso			
SLU_Gr_1_S1_30	5_G2_veletta			
SLU_Gr_1_S1_30	6_G2_impianti			
SLU_Gr_1_S1_30	7_G2_parapetti			
SLU_Gr_1_S1_30	8_G2_pavimentazione			
SLU_Gr_1_S1_30	9_G2_sicurvia			
SLU_Gr_1_S1_30	11_Q1k			
SLU_Gr_1_S1_30	10_q1k			
SLU_Gr_1_S1_30	13_Q2k			
SLU_Gr_1_S1_30	12_q2k			
SLU_Gr_1_S1_30	16_Q_zr			
SLU_Gr_1_S1_30	17_qfk			
SLU_Gr_1_S1_30	20_q4_centr			
SLU_Gr_1_S1_30	19_q3_frenatura			
SLU_Gr_1_S1_30	15_Q3k			
SLU_Gr_1_S1_30	14_q3k			
SLU_Gr_1_S1_30	24_q_vento_tot			
SLU_Gr_1_S1_30	23_q_temp F			
SLU_Gr_1_S1_30	22_q_ritiro			
SLU_Gr_1_S1_30	21_q8			
SLU_Gr_1_S1_31	DEAD	None	None	None
SLU_Gr_1_S1_31	1_G1_trave			
SLU_Gr_1_S1_31	2_G1_soletta			
SLU_Gr_1_S1_31	3_G1_marciapiede			
SLU_Gr_1_S1_31	4_G1_traverso			
SLU_Gr_1_S1_31	5_G2_veletta			
SLU_Gr_1_S1_31	6_G2_impianti			

RELAZIONE DI CALCOLO

COMMESSA	LOTTO	CODIFICA	DOCUMENTO	REV.	FOGLIO
NRIJ	01 D 29	CL	IV0104 001	B	207 di 341

SLU_Gr_1_S1_31	7_G2_parapetti			
SLU_Gr_1_S1_31	8_G2_pavimentazione			
SLU_Gr_1_S1_31	9_G2_sicurvia			
SLU_Gr_1_S1_31	11_Q1k			
SLU_Gr_1_S1_31	10_q1k			
SLU_Gr_1_S1_31	13_Q2k			
SLU_Gr_1_S1_31	12_q2k			
SLU_Gr_1_S1_31	16_Q_zr			
SLU_Gr_1_S1_31	17_qfk			
SLU_Gr_1_S1_31	20_q4_centr			
SLU_Gr_1_S1_31	19_q3_frenatura			
SLU_Gr_1_S1_31	15_Q3k			
SLU_Gr_1_S1_31	14_q3k			
SLU_Gr_1_S1_31	24_q_vento_tot			
SLU_Gr_1_S1_31	23_q_temp F			
SLU_Gr_1_S1_31	22_q_ritiro			
SLU_Gr_1_S1_31	21_q8			
SLU_Gr_1_S1_32	DEAD	None	None	None
SLU_Gr_1_S1_32	1_G1_trave			
SLU_Gr_1_S1_32	2_G1_soletta			
SLU_Gr_1_S1_32	3_G1_marciapiede			
SLU_Gr_1_S1_32	4_G1_traverso			
SLU_Gr_1_S1_32	5_G2_veletta			
SLU_Gr_1_S1_32	6_G2_impianti			
SLU_Gr_1_S1_32	7_G2_parapetti			
SLU_Gr_1_S1_32	8_G2_pavimentazione			
SLU_Gr_1_S1_32	9_G2_sicurvia			
SLU_Gr_1_S1_32	11_Q1k			
SLU_Gr_1_S1_32	10_q1k			
SLU_Gr_1_S1_32	13_Q2k			
SLU_Gr_1_S1_32	12_q2k			
SLU_Gr_1_S1_32	16_Q_zr			
SLU_Gr_1_S1_32	17_qfk			
SLU_Gr_1_S1_32	20_q4_centr			
SLU_Gr_1_S1_32	19_q3_frenatura			
SLU_Gr_1_S1_32	15_Q3k			
SLU_Gr_1_S1_32	14_q3k			
SLU_Gr_1_S1_32	24_q_vento_tot			
SLU_Gr_1_S1_32	23_q_temp F			
SLU_Gr_1_S1_32	22_q_ritiro			
SLU_Gr_1_S1_32	21_q8			
SLU_Gr_1_S1_33	DEAD	None	None	None
SLU_Gr_1_S1_33	1_G1_trave			
SLU_Gr_1_S1_33	2_G1_soletta			
SLU_Gr_1_S1_33	3_G1_marciapiede			
SLU_Gr_1_S1_33	4_G1_traverso			
SLU_Gr_1_S1_33	5_G2_veletta			
SLU_Gr_1_S1_33	6_G2_impianti			
SLU_Gr_1_S1_33	7_G2_parapetti			
SLU_Gr_1_S1_33	8_G2_pavimentazione			
SLU_Gr_1_S1_33	9_G2_sicurvia			
SLU_Gr_1_S1_33	11_Q1k			
SLU_Gr_1_S1_33	10_q1k			
SLU_Gr_1_S1_33	13_Q2k			
SLU_Gr_1_S1_33	12_q2k			
SLU_Gr_1_S1_33	16_Q_zr			
SLU_Gr_1_S1_33	17_qfk			
SLU_Gr_1_S1_33	20_q4_centr			
SLU_Gr_1_S1_33	19_q3_frenatura			
SLU_Gr_1_S1_33	15_Q3k			
SLU_Gr_1_S1_33	14_q3k			
SLU_Gr_1_S1_33	24_q_vento_tot			

RELAZIONE DI CALCOLO

COMMESSA	LOTTO	CODIFICA	DOCUMENTO	REV.	FOGLIO
NRIJ	01 D 29	CL	IV0104 001	B	208 di 341

SLU_Gr_1_S1_33	23_q_temp F			
SLU_Gr_1_S1_33	22_q_ritiro			
SLU_Gr_1_S1_33	21_q8			
SLU_Gr_1_S1_34	DEAD	None	None	None
SLU_Gr_1_S1_34	1_G1_trave			
SLU_Gr_1_S1_34	2_G1_soletta			
SLU_Gr_1_S1_34	3_G1_marciapiede			
SLU_Gr_1_S1_34	4_G1_traverso			
SLU_Gr_1_S1_34	5_G2_veletta			
SLU_Gr_1_S1_34	6_G2_impianti			
SLU_Gr_1_S1_34	7_G2_parapetti			
SLU_Gr_1_S1_34	8_G2_pavimentazione			
SLU_Gr_1_S1_34	9_G2_sicurvia			
SLU_Gr_1_S1_34	11_Q1k			
SLU_Gr_1_S1_34	10_q1k			
SLU_Gr_1_S1_34	13_Q2k			
SLU_Gr_1_S1_34	12_q2k			
SLU_Gr_1_S1_34	16_Q_zr			
SLU_Gr_1_S1_34	17_qfk			
SLU_Gr_1_S1_34	20_q4_centr			
SLU_Gr_1_S1_34	19_q3_frenatura			
SLU_Gr_1_S1_34	15_Q3k			
SLU_Gr_1_S1_34	14_q3k			
SLU_Gr_1_S1_34	24_q_vento_tot			
SLU_Gr_1_S1_34	23_q_temp F			
SLU_Gr_1_S1_34	22_q_ritiro			
SLU_Gr_1_S1_34	21_q8			
SLU_Gr_1_S1_35	DEAD	None	None	None
SLU_Gr_1_S1_35	1_G1_trave			
SLU_Gr_1_S1_35	2_G1_soletta			
SLU_Gr_1_S1_35	3_G1_marciapiede			
SLU_Gr_1_S1_35	4_G1_traverso			
SLU_Gr_1_S1_35	5_G2_veletta			
SLU_Gr_1_S1_35	6_G2_impianti			
SLU_Gr_1_S1_35	7_G2_parapetti			
SLU_Gr_1_S1_35	8_G2_pavimentazione			
SLU_Gr_1_S1_35	9_G2_sicurvia			
SLU_Gr_1_S1_35	11_Q1k			
SLU_Gr_1_S1_35	10_q1k			
SLU_Gr_1_S1_35	13_Q2k			
SLU_Gr_1_S1_35	12_q2k			
SLU_Gr_1_S1_35	16_Q_zr			
SLU_Gr_1_S1_35	17_qfk			
SLU_Gr_1_S1_35	20_q4_centr			
SLU_Gr_1_S1_35	19_q3_frenatura			
SLU_Gr_1_S1_35	15_Q3k			
SLU_Gr_1_S1_35	14_q3k			
SLU_Gr_1_S1_35	24_q_vento_tot			
SLU_Gr_1_S1_35	23_q_temp F			
SLU_Gr_1_S1_35	22_q_ritiro			
SLU_Gr_1_S1_35	21_q8			
SLU_Gr_1_S1_36	DEAD	None	None	None
SLU_Gr_1_S1_36	1_G1_trave			
SLU_Gr_1_S1_36	2_G1_soletta			
SLU_Gr_1_S1_36	3_G1_marciapiede			
SLU_Gr_1_S1_36	4_G1_traverso			
SLU_Gr_1_S1_36	5_G2_veletta			
SLU_Gr_1_S1_36	6_G2_impianti			
SLU_Gr_1_S1_36	7_G2_parapetti			
SLU_Gr_1_S1_36	8_G2_pavimentazione			
SLU_Gr_1_S1_36	9_G2_sicurvia			
SLU_Gr_1_S1_36	11_Q1k			

RELAZIONE DI CALCOLO

COMMESSA	LOTTO	CODIFICA	DOCUMENTO	REV.	FOGLIO
NRIJ	01 D 29	CL	IV0104 001	B	209 di 341

SLU_Gr_1_S1_36	10_q1k			
SLU_Gr_1_S1_36	13_Q2k			
SLU_Gr_1_S1_36	12_q2k			
SLU_Gr_1_S1_36	16_Q_zr			
SLU_Gr_1_S1_36	17_qfk			
SLU_Gr_1_S1_36	20_q4_centr			
SLU_Gr_1_S1_36	19_q3_frenatura			
SLU_Gr_1_S1_36	15_Q3k			
SLU_Gr_1_S1_36	14_q3k			
SLU_Gr_1_S1_36	24_q_vento_tot			
SLU_Gr_1_S1_36	23_q_temp F			
SLU_Gr_1_S1_36	22_q_ritiro			
SLU_Gr_1_S1_36	21_q8			
SLU_Gr_1_S1_37	DEAD	None	None	None
SLU_Gr_1_S1_37	1_G1_trave			
SLU_Gr_1_S1_37	2_G1_soletta			
SLU_Gr_1_S1_37	3_G1_marciapiede			
SLU_Gr_1_S1_37	4_G1_traverso			
SLU_Gr_1_S1_37	5_G2_veletta			
SLU_Gr_1_S1_37	6_G2_impianti			
SLU_Gr_1_S1_37	7_G2_parapetti			
SLU_Gr_1_S1_37	8_G2_pavimentazione			
SLU_Gr_1_S1_37	9_G2_sicurvia			
SLU_Gr_1_S1_37	11_Q1k			
SLU_Gr_1_S1_37	10_q1k			
SLU_Gr_1_S1_37	13_Q2k			
SLU_Gr_1_S1_37	12_q2k			
SLU_Gr_1_S1_37	16_Q_zr			
SLU_Gr_1_S1_37	17_qfk			
SLU_Gr_1_S1_37	20_q4_centr			
SLU_Gr_1_S1_37	19_q3_frenatura			
SLU_Gr_1_S1_37	15_Q3k			
SLU_Gr_1_S1_37	14_q3k			
SLU_Gr_1_S1_37	24_q_vento_tot			
SLU_Gr_1_S1_37	23_q_temp F			
SLU_Gr_1_S1_37	22_q_ritiro			
SLU_Gr_1_S1_37	21_q8			
SLU_Gr_1_S1_38	DEAD	None	None	None
SLU_Gr_1_S1_38	1_G1_trave			
SLU_Gr_1_S1_38	2_G1_soletta			
SLU_Gr_1_S1_38	3_G1_marciapiede			
SLU_Gr_1_S1_38	4_G1_traverso			
SLU_Gr_1_S1_38	5_G2_veletta			
SLU_Gr_1_S1_38	6_G2_impianti			
SLU_Gr_1_S1_38	7_G2_parapetti			
SLU_Gr_1_S1_38	8_G2_pavimentazione			
SLU_Gr_1_S1_38	9_G2_sicurvia			
SLU_Gr_1_S1_38	11_Q1k			
SLU_Gr_1_S1_38	10_q1k			
SLU_Gr_1_S1_38	13_Q2k			
SLU_Gr_1_S1_38	12_q2k			
SLU_Gr_1_S1_38	16_Q_zr			
SLU_Gr_1_S1_38	17_qfk			
SLU_Gr_1_S1_38	20_q4_centr			
SLU_Gr_1_S1_38	19_q3_frenatura			
SLU_Gr_1_S1_38	15_Q3k			
SLU_Gr_1_S1_38	14_q3k			
SLU_Gr_1_S1_38	24_q_vento_tot			
SLU_Gr_1_S1_38	23_q_temp F			
SLU_Gr_1_S1_38	22_q_ritiro			
SLU_Gr_1_S1_38	21_q8			
SLU_Gr_1_S1_39	DEAD	None	None	None

RELAZIONE DI CALCOLO

COMMESSA	LOTTO	CODIFICA	DOCUMENTO	REV.	FOGLIO
NRIJ	01 D 29	CL	IV0104 001	B	210 di 341

SLU_Gr_1_S1_39	1_G1_trave			
SLU_Gr_1_S1_39	2_G1_soletta			
SLU_Gr_1_S1_39	3_G1_marciapiede			
SLU_Gr_1_S1_39	4_G1_traverso			
SLU_Gr_1_S1_39	5_G2_veletta			
SLU_Gr_1_S1_39	6_G2_impianti			
SLU_Gr_1_S1_39	7_G2_parapetti			
SLU_Gr_1_S1_39	8_G2_pavimentazione			
SLU_Gr_1_S1_39	9_G2_sicurvia			
SLU_Gr_1_S1_39	11_Q1k			
SLU_Gr_1_S1_39	10_q1k			
SLU_Gr_1_S1_39	13_Q2k			
SLU_Gr_1_S1_39	12_q2k			
SLU_Gr_1_S1_39	16_Q_zr			
SLU_Gr_1_S1_39	17_qfk			
SLU_Gr_1_S1_39	20_q4_centr			
SLU_Gr_1_S1_39	19_q3_frenatura			
SLU_Gr_1_S1_39	15_Q3k			
SLU_Gr_1_S1_39	14_q3k			
SLU_Gr_1_S1_39	24_q_vento_tot			
SLU_Gr_1_S1_39	23_q_temp F			
SLU_Gr_1_S1_39	22_q_ritiro			
SLU_Gr_1_S1_39	21_q8			
SLU_Gr_1_S1_40	DEAD	None	None	None
SLU_Gr_1_S1_40	1_G1_trave			
SLU_Gr_1_S1_40	2_G1_soletta			
SLU_Gr_1_S1_40	3_G1_marciapiede			
SLU_Gr_1_S1_40	4_G1_traverso			
SLU_Gr_1_S1_40	5_G2_veletta			
SLU_Gr_1_S1_40	6_G2_impianti			
SLU_Gr_1_S1_40	7_G2_parapetti			
SLU_Gr_1_S1_40	8_G2_pavimentazione			
SLU_Gr_1_S1_40	9_G2_sicurvia			
SLU_Gr_1_S1_40	11_Q1k			
SLU_Gr_1_S1_40	10_q1k			
SLU_Gr_1_S1_40	13_Q2k			
SLU_Gr_1_S1_40	12_q2k			
SLU_Gr_1_S1_40	16_Q_zr			
SLU_Gr_1_S1_40	17_qfk			
SLU_Gr_1_S1_40	20_q4_centr			
SLU_Gr_1_S1_40	19_q3_frenatura			
SLU_Gr_1_S1_40	15_Q3k			
SLU_Gr_1_S1_40	14_q3k			
SLU_Gr_1_S1_40	24_q_vento_tot			
SLU_Gr_1_S1_40	23_q_temp F			
SLU_Gr_1_S1_40	22_q_ritiro			
SLU_Gr_1_S1_40	21_q8			
SLU_Gr_2A_S1_1	DEAD	None	None	None
SLU_Gr_2A_S1_1	1_G1_trave			
SLU_Gr_2A_S1_1	2_G1_soletta			
SLU_Gr_2A_S1_1	3_G1_marciapiede			
SLU_Gr_2A_S1_1	4_G1_traverso			
SLU_Gr_2A_S1_1	5_G2_veletta			
SLU_Gr_2A_S1_1	6_G2_impianti			
SLU_Gr_2A_S1_1	7_G2_parapetti			
SLU_Gr_2A_S1_1	8_G2_pavimentazione			
SLU_Gr_2A_S1_1	9_G2_sicurvia			
SLU_Gr_2A_S1_1	11_Q1k			
SLU_Gr_2A_S1_1	10_q1k			
SLU_Gr_2A_S1_1	13_Q2k			
SLU_Gr_2A_S1_1	12_q2k			
SLU_Gr_2A_S1_1	16_Q_zr			

RELAZIONE DI CALCOLO

COMMESSA	LOTTO	CODIFICA	DOCUMENTO	REV.	FOGLIO
NRIJ	01 D 29	CL	IV0104 001	B	211 di 341

SLU_Gr_2A_S1_1	17_qfk			
SLU_Gr_2A_S1_1	20_q4_centra			
SLU_Gr_2A_S1_1	19_q3_frenatura			
SLU_Gr_2A_S1_1	15_Q3k			
SLU_Gr_2A_S1_1	14_q3k			
SLU_Gr_2A_S1_1	24_q_vento_tot			
SLU_Gr_2A_S1_1	23_q_temp F			
SLU_Gr_2A_S1_1	22_q_ritiro			
SLU_Gr_2A_S1_1	21_q8			
SLU_Gr_2A_S1_2	DEAD	None	None	None
SLU_Gr_2A_S1_2	1_G1_trave			
SLU_Gr_2A_S1_2	2_G1_soletta			
SLU_Gr_2A_S1_2	3_G1_marciapiede			
SLU_Gr_2A_S1_2	4_G1_traverso			
SLU_Gr_2A_S1_2	5_G2_veletta			
SLU_Gr_2A_S1_2	6_G2_impianti			
SLU_Gr_2A_S1_2	7_G2_parapetti			
SLU_Gr_2A_S1_2	8_G2_pavimentazione			
SLU_Gr_2A_S1_2	9_G2_sicurvia			
SLU_Gr_2A_S1_2	11_Q1k			
SLU_Gr_2A_S1_2	10_q1k			
SLU_Gr_2A_S1_2	13_Q2k			
SLU_Gr_2A_S1_2	12_q2k			
SLU_Gr_2A_S1_2	16_Q_zr			
SLU_Gr_2A_S1_2	17_qfk			
SLU_Gr_2A_S1_2	20_q4_centra			
SLU_Gr_2A_S1_2	19_q3_frenatura			
SLU_Gr_2A_S1_2	15_Q3k			
SLU_Gr_2A_S1_2	14_q3k			
SLU_Gr_2A_S1_2	24_q_vento_tot			
SLU_Gr_2A_S1_2	23_q_temp F			
SLU_Gr_2A_S1_2	22_q_ritiro			
SLU_Gr_2A_S1_2	21_q8			
SLU_Gr_2A_S1_3	DEAD	None	None	None
SLU_Gr_2A_S1_3	1_G1_trave			
SLU_Gr_2A_S1_3	2_G1_soletta			
SLU_Gr_2A_S1_3	3_G1_marciapiede			
SLU_Gr_2A_S1_3	4_G1_traverso			
SLU_Gr_2A_S1_3	5_G2_veletta			
SLU_Gr_2A_S1_3	6_G2_impianti			
SLU_Gr_2A_S1_3	7_G2_parapetti			
SLU_Gr_2A_S1_3	8_G2_pavimentazione			
SLU_Gr_2A_S1_3	9_G2_sicurvia			
SLU_Gr_2A_S1_3	11_Q1k			
SLU_Gr_2A_S1_3	10_q1k			
SLU_Gr_2A_S1_3	13_Q2k			
SLU_Gr_2A_S1_3	12_q2k			
SLU_Gr_2A_S1_3	16_Q_zr			
SLU_Gr_2A_S1_3	17_qfk			
SLU_Gr_2A_S1_3	20_q4_centra			
SLU_Gr_2A_S1_3	19_q3_frenatura			
SLU_Gr_2A_S1_3	15_Q3k			
SLU_Gr_2A_S1_3	14_q3k			
SLU_Gr_2A_S1_3	24_q_vento_tot			
SLU_Gr_2A_S1_3	23_q_temp F			
SLU_Gr_2A_S1_3	22_q_ritiro			
SLU_Gr_2A_S1_3	21_q8			
SLU_Gr_2A_S1_4	DEAD	None	None	None
SLU_Gr_2A_S1_4	1_G1_trave			
SLU_Gr_2A_S1_4	2_G1_soletta			
SLU_Gr_2A_S1_4	3_G1_marciapiede			
SLU_Gr_2A_S1_4	4_G1_traverso			

RELAZIONE DI CALCOLO

COMMESSA	LOTTO	CODIFICA	DOCUMENTO	REV.	FOGLIO
NRIJ	01 D 29	CL	IV0104 001	B	212 di 341

SLU_Gr_2A_S1_4	5_G2_veletta			
SLU_Gr_2A_S1_4	6_G2_impianti			
SLU_Gr_2A_S1_4	7_G2_parapetti			
SLU_Gr_2A_S1_4	8_G2_pavimentazione			
SLU_Gr_2A_S1_4	9_G2_sicurvia			
SLU_Gr_2A_S1_4	11_Q1k			
SLU_Gr_2A_S1_4	10_q1k			
SLU_Gr_2A_S1_4	13_Q2k			
SLU_Gr_2A_S1_4	12_q2k			
SLU_Gr_2A_S1_4	16_Q_zr			
SLU_Gr_2A_S1_4	17_qfk			
SLU_Gr_2A_S1_4	20_q4_centr			
SLU_Gr_2A_S1_4	19_q3_frenatura			
SLU_Gr_2A_S1_4	15_Q3k			
SLU_Gr_2A_S1_4	14_q3k			
SLU_Gr_2A_S1_4	24_q_vento_tot			
SLU_Gr_2A_S1_4	23_q_temp F			
SLU_Gr_2A_S1_4	22_q_ritiro			
SLU_Gr_2A_S1_4	21_q8			
SLU_Gr_2A_S1_5	DEAD	None	None	None
SLU_Gr_2A_S1_5	1_G1_trave			
SLU_Gr_2A_S1_5	2_G1_soletta			
SLU_Gr_2A_S1_5	3_G1_marciapiede			
SLU_Gr_2A_S1_5	4_G1_traverso			
SLU_Gr_2A_S1_5	5_G2_veletta			
SLU_Gr_2A_S1_5	6_G2_impianti			
SLU_Gr_2A_S1_5	7_G2_parapetti			
SLU_Gr_2A_S1_5	8_G2_pavimentazione			
SLU_Gr_2A_S1_5	9_G2_sicurvia			
SLU_Gr_2A_S1_5	11_Q1k			
SLU_Gr_2A_S1_5	10_q1k			
SLU_Gr_2A_S1_5	13_Q2k			
SLU_Gr_2A_S1_5	12_q2k			
SLU_Gr_2A_S1_5	16_Q_zr			
SLU_Gr_2A_S1_5	17_qfk			
SLU_Gr_2A_S1_5	20_q4_centr			
SLU_Gr_2A_S1_5	19_q3_frenatura			
SLU_Gr_2A_S1_5	15_Q3k			
SLU_Gr_2A_S1_5	14_q3k			
SLU_Gr_2A_S1_5	24_q_vento_tot			
SLU_Gr_2A_S1_5	23_q_temp F			
SLU_Gr_2A_S1_5	22_q_ritiro			
SLU_Gr_2A_S1_5	21_q8			
SLU_Gr_2A_S1_6	DEAD	None	None	None
SLU_Gr_2A_S1_6	1_G1_trave			
SLU_Gr_2A_S1_6	2_G1_soletta			
SLU_Gr_2A_S1_6	3_G1_marciapiede			
SLU_Gr_2A_S1_6	4_G1_traverso			
SLU_Gr_2A_S1_6	5_G2_veletta			
SLU_Gr_2A_S1_6	6_G2_impianti			
SLU_Gr_2A_S1_6	7_G2_parapetti			
SLU_Gr_2A_S1_6	8_G2_pavimentazione			
SLU_Gr_2A_S1_6	9_G2_sicurvia			
SLU_Gr_2A_S1_6	11_Q1k			
SLU_Gr_2A_S1_6	10_q1k			
SLU_Gr_2A_S1_6	13_Q2k			
SLU_Gr_2A_S1_6	12_q2k			
SLU_Gr_2A_S1_6	16_Q_zr			
SLU_Gr_2A_S1_6	17_qfk			
SLU_Gr_2A_S1_6	20_q4_centr			
SLU_Gr_2A_S1_6	19_q3_frenatura			
SLU_Gr_2A_S1_6	15_Q3k			

RELAZIONE DI CALCOLO

COMMESSA	LOTTO	CODIFICA	DOCUMENTO	REV.	FOGLIO
NRIJ	01 D 29	CL	IV0104 001	B	213 di 341

SLU_Gr_2A_S1_6	14_q3k			
SLU_Gr_2A_S1_6	24_q_vento_tot			
SLU_Gr_2A_S1_6	23_q_temp F			
SLU_Gr_2A_S1_6	22_q_ritiro			
SLU_Gr_2A_S1_6	21_q8			
SLU_Gr_2A_S1_7	DEAD	None	None	None
SLU_Gr_2A_S1_7	1_G1_trave			
SLU_Gr_2A_S1_7	2_G1_soletta			
SLU_Gr_2A_S1_7	3_G1_marciapiede			
SLU_Gr_2A_S1_7	4_G1_traverso			
SLU_Gr_2A_S1_7	5_G2_veletta			
SLU_Gr_2A_S1_7	6_G2_impianti			
SLU_Gr_2A_S1_7	7_G2_parapetti			
SLU_Gr_2A_S1_7	8_G2_pavimentazione			
SLU_Gr_2A_S1_7	9_G2_sicurvia			
SLU_Gr_2A_S1_7	11_Q1k			
SLU_Gr_2A_S1_7	10_q1k			
SLU_Gr_2A_S1_7	13_Q2k			
SLU_Gr_2A_S1_7	12_q2k			
SLU_Gr_2A_S1_7	16_Q_zr			
SLU_Gr_2A_S1_7	17_qfk			
SLU_Gr_2A_S1_7	20_q4_centra			
SLU_Gr_2A_S1_7	19_q3_frenatura			
SLU_Gr_2A_S1_7	15_Q3k			
SLU_Gr_2A_S1_7	14_q3k			
SLU_Gr_2A_S1_7	24_q_vento_tot			
SLU_Gr_2A_S1_7	23_q_temp F			
SLU_Gr_2A_S1_7	22_q_ritiro			
SLU_Gr_2A_S1_7	21_q8			
SLU_Gr_2A_S1_8	DEAD	None	None	None
SLU_Gr_2A_S1_8	1_G1_trave			
SLU_Gr_2A_S1_8	2_G1_soletta			
SLU_Gr_2A_S1_8	3_G1_marciapiede			
SLU_Gr_2A_S1_8	4_G1_traverso			
SLU_Gr_2A_S1_8	5_G2_veletta			
SLU_Gr_2A_S1_8	6_G2_impianti			
SLU_Gr_2A_S1_8	7_G2_parapetti			
SLU_Gr_2A_S1_8	8_G2_pavimentazione			
SLU_Gr_2A_S1_8	9_G2_sicurvia			
SLU_Gr_2A_S1_8	11_Q1k			
SLU_Gr_2A_S1_8	10_q1k			
SLU_Gr_2A_S1_8	13_Q2k			
SLU_Gr_2A_S1_8	12_q2k			
SLU_Gr_2A_S1_8	16_Q_zr			
SLU_Gr_2A_S1_8	17_qfk			
SLU_Gr_2A_S1_8	20_q4_centra			
SLU_Gr_2A_S1_8	19_q3_frenatura			
SLU_Gr_2A_S1_8	15_Q3k			
SLU_Gr_2A_S1_8	14_q3k			
SLU_Gr_2A_S1_8	24_q_vento_tot			
SLU_Gr_2A_S1_8	23_q_temp F			
SLU_Gr_2A_S1_8	22_q_ritiro			
SLU_Gr_2A_S1_8	21_q8			
SLU_Gr_2A_S1_9	DEAD	None	None	None
SLU_Gr_2A_S1_9	1_G1_trave			
SLU_Gr_2A_S1_9	2_G1_soletta			
SLU_Gr_2A_S1_9	3_G1_marciapiede			
SLU_Gr_2A_S1_9	4_G1_traverso			
SLU_Gr_2A_S1_9	5_G2_veletta			
SLU_Gr_2A_S1_9	6_G2_impianti			
SLU_Gr_2A_S1_9	7_G2_parapetti			
SLU_Gr_2A_S1_9	8_G2_pavimentazione			

RELAZIONE DI CALCOLO

COMMESSA	LOTTO	CODIFICA	DOCUMENTO	REV.	FOGLIO
NRIJ	01 D 29	CL	IV0104 001	B	214 di 341

SLU_Gr_2A_S1_9	9_G2_sicurvia			
SLU_Gr_2A_S1_9	11_Q1k			
SLU_Gr_2A_S1_9	10_q1k			
SLU_Gr_2A_S1_9	13_Q2k			
SLU_Gr_2A_S1_9	12_q2k			
SLU_Gr_2A_S1_9	16_Q_zr			
SLU_Gr_2A_S1_9	17_qfk			
SLU_Gr_2A_S1_9	20_q4_centra			
SLU_Gr_2A_S1_9	19_q3_frenatura			
SLU_Gr_2A_S1_9	15_Q3k			
SLU_Gr_2A_S1_9	14_q3k			
SLU_Gr_2A_S1_9	24_q_vento_tot			
SLU_Gr_2A_S1_9	23_q_temp F			
SLU_Gr_2A_S1_9	22_q_ritiro			
SLU_Gr_2A_S1_9	21_q8			
SLU_Gr_2A_S1_10	DEAD	None	None	None
SLU_Gr_2A_S1_10	1_G1_trave			
SLU_Gr_2A_S1_10	2_G1_soletta			
SLU_Gr_2A_S1_10	3_G1_marciapiede			
SLU_Gr_2A_S1_10	4_G1_traverso			
SLU_Gr_2A_S1_10	5_G2_veletta			
SLU_Gr_2A_S1_10	6_G2_impianti			
SLU_Gr_2A_S1_10	7_G2_parapetti			
SLU_Gr_2A_S1_10	8_G2_pavimentazione			
SLU_Gr_2A_S1_10	9_G2_sicurvia			
SLU_Gr_2A_S1_10	11_Q1k			
SLU_Gr_2A_S1_10	10_q1k			
SLU_Gr_2A_S1_10	13_Q2k			
SLU_Gr_2A_S1_10	12_q2k			
SLU_Gr_2A_S1_10	16_Q_zr			
SLU_Gr_2A_S1_10	17_qfk			
SLU_Gr_2A_S1_10	20_q4_centra			
SLU_Gr_2A_S1_10	19_q3_frenatura			
SLU_Gr_2A_S1_10	15_Q3k			
SLU_Gr_2A_S1_10	14_q3k			
SLU_Gr_2A_S1_10	24_q_vento_tot			
SLU_Gr_2A_S1_10	23_q_temp F			
SLU_Gr_2A_S1_10	22_q_ritiro			
SLU_Gr_2A_S1_10	21_q8			
SLU_Gr_2A_S1_11	DEAD	None	None	None
SLU_Gr_2A_S1_11	1_G1_trave			
SLU_Gr_2A_S1_11	2_G1_soletta			
SLU_Gr_2A_S1_11	3_G1_marciapiede			
SLU_Gr_2A_S1_11	4_G1_traverso			
SLU_Gr_2A_S1_11	5_G2_veletta			
SLU_Gr_2A_S1_11	6_G2_impianti			
SLU_Gr_2A_S1_11	7_G2_parapetti			
SLU_Gr_2A_S1_11	8_G2_pavimentazione			
SLU_Gr_2A_S1_11	9_G2_sicurvia			
SLU_Gr_2A_S1_11	11_Q1k			
SLU_Gr_2A_S1_11	10_q1k			
SLU_Gr_2A_S1_11	13_Q2k			
SLU_Gr_2A_S1_11	12_q2k			
SLU_Gr_2A_S1_11	16_Q_zr			
SLU_Gr_2A_S1_11	17_qfk			
SLU_Gr_2A_S1_11	20_q4_centra			
SLU_Gr_2A_S1_11	19_q3_frenatura			
SLU_Gr_2A_S1_11	15_Q3k			
SLU_Gr_2A_S1_11	14_q3k			
SLU_Gr_2A_S1_11	24_q_vento_tot			
SLU_Gr_2A_S1_11	23_q_temp F			
SLU_Gr_2A_S1_11	22_q_ritiro			

RELAZIONE DI CALCOLO

COMMESSA	LOTTO	CODIFICA	DOCUMENTO	REV.	FOGLIO
NRIJ	01 D 29	CL	IV0104 001	B	215 di 341

SLU_Gr_2A_S1_11	21_q8			
SLU_Gr_2A_S1_12	DEAD	None	None	None
SLU_Gr_2A_S1_12	1_G1_trave			
SLU_Gr_2A_S1_12	2_G1_soletta			
SLU_Gr_2A_S1_12	3_G1_marciapiede			
SLU_Gr_2A_S1_12	4_G1_traverso			
SLU_Gr_2A_S1_12	5_G2_veletta			
SLU_Gr_2A_S1_12	6_G2_impianti			
SLU_Gr_2A_S1_12	7_G2_parapetti			
SLU_Gr_2A_S1_12	8_G2_pavimentazione			
SLU_Gr_2A_S1_12	9_G2_sicurvia			
SLU_Gr_2A_S1_12	11_Q1k			
SLU_Gr_2A_S1_12	10_q1k			
SLU_Gr_2A_S1_12	13_Q2k			
SLU_Gr_2A_S1_12	12_q2k			
SLU_Gr_2A_S1_12	16_Q_zr			
SLU_Gr_2A_S1_12	17_qfk			
SLU_Gr_2A_S1_12	20_q4_centra			
SLU_Gr_2A_S1_12	19_q3_frenatura			
SLU_Gr_2A_S1_12	15_Q3k			
SLU_Gr_2A_S1_12	14_q3k			
SLU_Gr_2A_S1_12	24_q_vento_tot			
SLU_Gr_2A_S1_12	23_q_temp F			
SLU_Gr_2A_S1_12	22_q_ritiro			
SLU_Gr_2A_S1_12	21_q8			
SLU_Gr_2A_S1_13	DEAD	None	None	None
SLU_Gr_2A_S1_13	1_G1_trave			
SLU_Gr_2A_S1_13	2_G1_soletta			
SLU_Gr_2A_S1_13	3_G1_marciapiede			
SLU_Gr_2A_S1_13	4_G1_traverso			
SLU_Gr_2A_S1_13	5_G2_veletta			
SLU_Gr_2A_S1_13	6_G2_impianti			
SLU_Gr_2A_S1_13	7_G2_parapetti			
SLU_Gr_2A_S1_13	8_G2_pavimentazione			
SLU_Gr_2A_S1_13	9_G2_sicurvia			
SLU_Gr_2A_S1_13	11_Q1k			
SLU_Gr_2A_S1_13	10_q1k			
SLU_Gr_2A_S1_13	13_Q2k			
SLU_Gr_2A_S1_13	12_q2k			
SLU_Gr_2A_S1_13	16_Q_zr			
SLU_Gr_2A_S1_13	17_qfk			
SLU_Gr_2A_S1_13	20_q4_centra			
SLU_Gr_2A_S1_13	19_q3_frenatura			
SLU_Gr_2A_S1_13	15_Q3k			
SLU_Gr_2A_S1_13	14_q3k			
SLU_Gr_2A_S1_13	24_q_vento_tot			
SLU_Gr_2A_S1_13	23_q_temp F			
SLU_Gr_2A_S1_13	22_q_ritiro			
SLU_Gr_2A_S1_13	21_q8			
SLU_Gr_2A_S1_14	DEAD	None	None	None
SLU_Gr_2A_S1_14	1_G1_trave			
SLU_Gr_2A_S1_14	2_G1_soletta			
SLU_Gr_2A_S1_14	3_G1_marciapiede			
SLU_Gr_2A_S1_14	4_G1_traverso			
SLU_Gr_2A_S1_14	5_G2_veletta			
SLU_Gr_2A_S1_14	6_G2_impianti			
SLU_Gr_2A_S1_14	7_G2_parapetti			
SLU_Gr_2A_S1_14	8_G2_pavimentazione			
SLU_Gr_2A_S1_14	9_G2_sicurvia			
SLU_Gr_2A_S1_14	11_Q1k			
SLU_Gr_2A_S1_14	10_q1k			
SLU_Gr_2A_S1_14	13_Q2k			

RELAZIONE DI CALCOLO

COMMESSA	LOTTO	CODIFICA	DOCUMENTO	REV.	FOGLIO
NRIJ	01 D 29	CL	IV0104 001	B	216 di 341

SLU_Gr_2A_S1_14	12_q2k			
SLU_Gr_2A_S1_14	16_Q_zr			
SLU_Gr_2A_S1_14	17_qfk			
SLU_Gr_2A_S1_14	20_q4_centr			
SLU_Gr_2A_S1_14	19_q3_frenatura			
SLU_Gr_2A_S1_14	15_Q3k			
SLU_Gr_2A_S1_14	14_q3k			
SLU_Gr_2A_S1_14	24_q_vento_tot			
SLU_Gr_2A_S1_14	23_q_temp F			
SLU_Gr_2A_S1_14	22_q_ritiro			
SLU_Gr_2A_S1_14	21_q8			
SLU_Gr_2A_S1_15	DEAD	None	None	None
SLU_Gr_2A_S1_15	1_G1_trave			
SLU_Gr_2A_S1_15	2_G1_soletta			
SLU_Gr_2A_S1_15	3_G1_marciapiede			
SLU_Gr_2A_S1_15	4_G1_traverso			
SLU_Gr_2A_S1_15	5_G2_veletta			
SLU_Gr_2A_S1_15	6_G2_impianti			
SLU_Gr_2A_S1_15	7_G2_parapetti			
SLU_Gr_2A_S1_15	8_G2_pavimentazione			
SLU_Gr_2A_S1_15	9_G2_sicurvia			
SLU_Gr_2A_S1_15	11_Q1k			
SLU_Gr_2A_S1_15	10_q1k			
SLU_Gr_2A_S1_15	13_Q2k			
SLU_Gr_2A_S1_15	12_q2k			
SLU_Gr_2A_S1_15	16_Q_zr			
SLU_Gr_2A_S1_15	17_qfk			
SLU_Gr_2A_S1_15	20_q4_centr			
SLU_Gr_2A_S1_15	19_q3_frenatura			
SLU_Gr_2A_S1_15	15_Q3k			
SLU_Gr_2A_S1_15	14_q3k			
SLU_Gr_2A_S1_15	24_q_vento_tot			
SLU_Gr_2A_S1_15	23_q_temp F			
SLU_Gr_2A_S1_15	22_q_ritiro			
SLU_Gr_2A_S1_15	21_q8			
SLU_Gr_2A_S1_16	DEAD	None	None	None
SLU_Gr_2A_S1_16	1_G1_trave			
SLU_Gr_2A_S1_16	2_G1_soletta			
SLU_Gr_2A_S1_16	3_G1_marciapiede			
SLU_Gr_2A_S1_16	4_G1_traverso			
SLU_Gr_2A_S1_16	5_G2_veletta			
SLU_Gr_2A_S1_16	6_G2_impianti			
SLU_Gr_2A_S1_16	7_G2_parapetti			
SLU_Gr_2A_S1_16	8_G2_pavimentazione			
SLU_Gr_2A_S1_16	9_G2_sicurvia			
SLU_Gr_2A_S1_16	11_Q1k			
SLU_Gr_2A_S1_16	10_q1k			
SLU_Gr_2A_S1_16	13_Q2k			
SLU_Gr_2A_S1_16	12_q2k			
SLU_Gr_2A_S1_16	16_Q_zr			
SLU_Gr_2A_S1_16	17_qfk			
SLU_Gr_2A_S1_16	20_q4_centr			
SLU_Gr_2A_S1_16	19_q3_frenatura			
SLU_Gr_2A_S1_16	15_Q3k			
SLU_Gr_2A_S1_16	14_q3k			
SLU_Gr_2A_S1_16	24_q_vento_tot			
SLU_Gr_2A_S1_16	23_q_temp F			
SLU_Gr_2A_S1_16	22_q_ritiro			
SLU_Gr_2A_S1_16	21_q8			
SLU_Gr_2A_S1_17	DEAD	None	None	None
SLU_Gr_2A_S1_17	1_G1_trave			
SLU_Gr_2A_S1_17	2_G1_soletta			

RELAZIONE DI CALCOLO

COMMESSA	LOTTO	CODIFICA	DOCUMENTO	REV.	FOGLIO
NRIJ	01 D 29	CL	IV0104 001	B	217 di 341

SLU_Gr_2A_S1_17	3_G1_marciapiede			
SLU_Gr_2A_S1_17	4_G1_traverso			
SLU_Gr_2A_S1_17	5_G2_veletta			
SLU_Gr_2A_S1_17	6_G2_impianti			
SLU_Gr_2A_S1_17	7_G2_parapetti			
SLU_Gr_2A_S1_17	8_G2_pavimentazione			
SLU_Gr_2A_S1_17	9_G2_sicurvia			
SLU_Gr_2A_S1_17	11_Q1k			
SLU_Gr_2A_S1_17	10_q1k			
SLU_Gr_2A_S1_17	13_Q2k			
SLU_Gr_2A_S1_17	12_q2k			
SLU_Gr_2A_S1_17	16_Q_zr			
SLU_Gr_2A_S1_17	17_qfk			
SLU_Gr_2A_S1_17	20_q4_centr			
SLU_Gr_2A_S1_17	19_q3_frenatura			
SLU_Gr_2A_S1_17	15_Q3k			
SLU_Gr_2A_S1_17	14_q3k			
SLU_Gr_2A_S1_17	24_q_vento_tot			
SLU_Gr_2A_S1_17	23_q_temp F			
SLU_Gr_2A_S1_17	22_q_ritiro			
SLU_Gr_2A_S1_17	21_q8			
SLU_Gr_2A_S1_18	DEAD	None	None	None
SLU_Gr_2A_S1_18	1_G1_trave			
SLU_Gr_2A_S1_18	2_G1_soletta			
SLU_Gr_2A_S1_18	3_G1_marciapiede			
SLU_Gr_2A_S1_18	4_G1_traverso			
SLU_Gr_2A_S1_18	5_G2_veletta			
SLU_Gr_2A_S1_18	6_G2_impianti			
SLU_Gr_2A_S1_18	7_G2_parapetti			
SLU_Gr_2A_S1_18	8_G2_pavimentazione			
SLU_Gr_2A_S1_18	9_G2_sicurvia			
SLU_Gr_2A_S1_18	11_Q1k			
SLU_Gr_2A_S1_18	10_q1k			
SLU_Gr_2A_S1_18	13_Q2k			
SLU_Gr_2A_S1_18	12_q2k			
SLU_Gr_2A_S1_18	16_Q_zr			
SLU_Gr_2A_S1_18	17_qfk			
SLU_Gr_2A_S1_18	20_q4_centr			
SLU_Gr_2A_S1_18	19_q3_frenatura			
SLU_Gr_2A_S1_18	15_Q3k			
SLU_Gr_2A_S1_18	14_q3k			
SLU_Gr_2A_S1_18	24_q_vento_tot			
SLU_Gr_2A_S1_18	23_q_temp F			
SLU_Gr_2A_S1_18	22_q_ritiro			
SLU_Gr_2A_S1_18	21_q8			
SLU_Gr_2A_S1_19	DEAD	None	None	None
SLU_Gr_2A_S1_19	1_G1_trave			
SLU_Gr_2A_S1_19	2_G1_soletta			
SLU_Gr_2A_S1_19	3_G1_marciapiede			
SLU_Gr_2A_S1_19	4_G1_traverso			
SLU_Gr_2A_S1_19	5_G2_veletta			
SLU_Gr_2A_S1_19	6_G2_impianti			
SLU_Gr_2A_S1_19	7_G2_parapetti			
SLU_Gr_2A_S1_19	8_G2_pavimentazione			
SLU_Gr_2A_S1_19	9_G2_sicurvia			
SLU_Gr_2A_S1_19	11_Q1k			
SLU_Gr_2A_S1_19	10_q1k			
SLU_Gr_2A_S1_19	13_Q2k			
SLU_Gr_2A_S1_19	12_q2k			
SLU_Gr_2A_S1_19	16_Q_zr			
SLU_Gr_2A_S1_19	17_qfk			
SLU_Gr_2A_S1_19	20_q4_centr			

RELAZIONE DI CALCOLO

COMMESSA	LOTTO	CODIFICA	DOCUMENTO	REV.	FOGLIO
NRIJ	01 D 29	CL	IV0104 001	B	218 di 341

SLU_Gr_2A_S1_19	19_q3_frenatura			
SLU_Gr_2A_S1_19	15_Q3k			
SLU_Gr_2A_S1_19	14_q3k			
SLU_Gr_2A_S1_19	24_q_vento_tot			
SLU_Gr_2A_S1_19	23_q_temp F			
SLU_Gr_2A_S1_19	22_q_ritiro			
SLU_Gr_2A_S1_19	21_q8			
SLU_Gr_2A_S1_20	DEAD	None	None	None
SLU_Gr_2A_S1_20	1_G1_trave			
SLU_Gr_2A_S1_20	2_G1_soletta			
SLU_Gr_2A_S1_20	3_G1_marciapiede			
SLU_Gr_2A_S1_20	4_G1_traverso			
SLU_Gr_2A_S1_20	5_G2_veletta			
SLU_Gr_2A_S1_20	6_G2_impianti			
SLU_Gr_2A_S1_20	7_G2_parapetti			
SLU_Gr_2A_S1_20	8_G2_pavimentazione			
SLU_Gr_2A_S1_20	9_G2_sicurvia			
SLU_Gr_2A_S1_20	11_Q1k			
SLU_Gr_2A_S1_20	10_q1k			
SLU_Gr_2A_S1_20	13_Q2k			
SLU_Gr_2A_S1_20	12_q2k			
SLU_Gr_2A_S1_20	16_Q_zr			
SLU_Gr_2A_S1_20	17_qfk			
SLU_Gr_2A_S1_20	20_q4_centr			
SLU_Gr_2A_S1_20	19_q3_frenatura			
SLU_Gr_2A_S1_20	15_Q3k			
SLU_Gr_2A_S1_20	14_q3k			
SLU_Gr_2A_S1_20	24_q_vento_tot			
SLU_Gr_2A_S1_20	23_q_temp F			
SLU_Gr_2A_S1_20	22_q_ritiro			
SLU_Gr_2A_S1_20	21_q8			
SLU_Gr_2A_S1_21	DEAD	None	None	None
SLU_Gr_2A_S1_21	1_G1_trave			
SLU_Gr_2A_S1_21	2_G1_soletta			
SLU_Gr_2A_S1_21	3_G1_marciapiede			
SLU_Gr_2A_S1_21	4_G1_traverso			
SLU_Gr_2A_S1_21	5_G2_veletta			
SLU_Gr_2A_S1_21	6_G2_impianti			
SLU_Gr_2A_S1_21	7_G2_parapetti			
SLU_Gr_2A_S1_21	8_G2_pavimentazione			
SLU_Gr_2A_S1_21	9_G2_sicurvia			
SLU_Gr_2A_S1_21	11_Q1k			
SLU_Gr_2A_S1_21	10_q1k			
SLU_Gr_2A_S1_21	13_Q2k			
SLU_Gr_2A_S1_21	12_q2k			
SLU_Gr_2A_S1_21	16_Q_zr			
SLU_Gr_2A_S1_21	17_qfk			
SLU_Gr_2A_S1_21	20_q4_centr			
SLU_Gr_2A_S1_21	19_q3_frenatura			
SLU_Gr_2A_S1_21	15_Q3k			
SLU_Gr_2A_S1_21	14_q3k			
SLU_Gr_2A_S1_21	24_q_vento_tot			
SLU_Gr_2A_S1_21	23_q_temp F			
SLU_Gr_2A_S1_21	22_q_ritiro			
SLU_Gr_2A_S1_21	21_q8			
SLU_Gr_2A_S1_22	DEAD	None	None	None
SLU_Gr_2A_S1_22	1_G1_trave			
SLU_Gr_2A_S1_22	2_G1_soletta			
SLU_Gr_2A_S1_22	3_G1_marciapiede			
SLU_Gr_2A_S1_22	4_G1_traverso			
SLU_Gr_2A_S1_22	5_G2_veletta			
SLU_Gr_2A_S1_22	6_G2_impianti			

RELAZIONE DI CALCOLO

COMMESSA	LOTTO	CODIFICA	DOCUMENTO	REV.	FOGLIO
NRIJ	01 D 29	CL	IV0104 001	B	219 di 341

SLU_Gr_2A_S1_22	7_G2_parapetti			
SLU_Gr_2A_S1_22	8_G2_pavimentazione			
SLU_Gr_2A_S1_22	9_G2_sicurvia			
SLU_Gr_2A_S1_22	11_Q1k			
SLU_Gr_2A_S1_22	10_q1k			
SLU_Gr_2A_S1_22	13_Q2k			
SLU_Gr_2A_S1_22	12_q2k			
SLU_Gr_2A_S1_22	16_Q_zr			
SLU_Gr_2A_S1_22	17_qfk			
SLU_Gr_2A_S1_22	20_q4_centra			
SLU_Gr_2A_S1_22	19_q3_frenatura			
SLU_Gr_2A_S1_22	15_Q3k			
SLU_Gr_2A_S1_22	14_q3k			
SLU_Gr_2A_S1_22	24_q_vento_tot			
SLU_Gr_2A_S1_22	23_q_temp F			
SLU_Gr_2A_S1_22	22_q_ritiro			
SLU_Gr_2A_S1_22	21_q8			
SLU_Gr_2A_S1_23	DEAD	None	None	None
SLU_Gr_2A_S1_23	1_G1_trave			
SLU_Gr_2A_S1_23	2_G1_soletta			
SLU_Gr_2A_S1_23	3_G1_marciapiede			
SLU_Gr_2A_S1_23	4_G1_traverso			
SLU_Gr_2A_S1_23	5_G2_veletta			
SLU_Gr_2A_S1_23	6_G2_impianti			
SLU_Gr_2A_S1_23	7_G2_parapetti			
SLU_Gr_2A_S1_23	8_G2_pavimentazione			
SLU_Gr_2A_S1_23	9_G2_sicurvia			
SLU_Gr_2A_S1_23	11_Q1k			
SLU_Gr_2A_S1_23	10_q1k			
SLU_Gr_2A_S1_23	13_Q2k			
SLU_Gr_2A_S1_23	12_q2k			
SLU_Gr_2A_S1_23	16_Q_zr			
SLU_Gr_2A_S1_23	17_qfk			
SLU_Gr_2A_S1_23	20_q4_centra			
SLU_Gr_2A_S1_23	19_q3_frenatura			
SLU_Gr_2A_S1_23	15_Q3k			
SLU_Gr_2A_S1_23	14_q3k			
SLU_Gr_2A_S1_23	24_q_vento_tot			
SLU_Gr_2A_S1_23	23_q_temp F			
SLU_Gr_2A_S1_23	22_q_ritiro			
SLU_Gr_2A_S1_23	21_q8			
SLU_Gr_2A_S1_24	DEAD	None	None	None
SLU_Gr_2A_S1_24	1_G1_trave			
SLU_Gr_2A_S1_24	2_G1_soletta			
SLU_Gr_2A_S1_24	3_G1_marciapiede			
SLU_Gr_2A_S1_24	4_G1_traverso			
SLU_Gr_2A_S1_24	5_G2_veletta			
SLU_Gr_2A_S1_24	6_G2_impianti			
SLU_Gr_2A_S1_24	7_G2_parapetti			
SLU_Gr_2A_S1_24	8_G2_pavimentazione			
SLU_Gr_2A_S1_24	9_G2_sicurvia			
SLU_Gr_2A_S1_24	11_Q1k			
SLU_Gr_2A_S1_24	10_q1k			
SLU_Gr_2A_S1_24	13_Q2k			
SLU_Gr_2A_S1_24	12_q2k			
SLU_Gr_2A_S1_24	16_Q_zr			
SLU_Gr_2A_S1_24	17_qfk			
SLU_Gr_2A_S1_24	20_q4_centra			
SLU_Gr_2A_S1_24	19_q3_frenatura			
SLU_Gr_2A_S1_24	15_Q3k			
SLU_Gr_2A_S1_24	14_q3k			
SLU_Gr_2A_S1_24	24_q_vento_tot			

RELAZIONE DI CALCOLO

COMMESSA	LOTTO	CODIFICA	DOCUMENTO	REV.	FOGLIO
NRIJ	01 D 29	CL	IV0104 001	B	220 di 341

SLU_Gr_2A_S1_24	23_q_temp F			
SLU_Gr_2A_S1_24	22_q_ritiro			
SLU_Gr_2A_S1_24	21_q8			
SLU_Gr_2A_S1_25	DEAD	None	None	None
SLU_Gr_2A_S1_25	1_G1_trave			
SLU_Gr_2A_S1_25	2_G1_soletta			
SLU_Gr_2A_S1_25	3_G1_marciapiede			
SLU_Gr_2A_S1_25	4_G1_traverso			
SLU_Gr_2A_S1_25	5_G2_veletta			
SLU_Gr_2A_S1_25	6_G2_impianti			
SLU_Gr_2A_S1_25	7_G2_parapetti			
SLU_Gr_2A_S1_25	8_G2_pavimentazione			
SLU_Gr_2A_S1_25	9_G2_sicurvia			
SLU_Gr_2A_S1_25	11_Q1k			
SLU_Gr_2A_S1_25	10_q1k			
SLU_Gr_2A_S1_25	13_Q2k			
SLU_Gr_2A_S1_25	12_q2k			
SLU_Gr_2A_S1_25	16_Q_zr			
SLU_Gr_2A_S1_25	17_qfk			
SLU_Gr_2A_S1_25	20_q4_centra			
SLU_Gr_2A_S1_25	19_q3_frenatura			
SLU_Gr_2A_S1_25	15_Q3k			
SLU_Gr_2A_S1_25	14_q3k			
SLU_Gr_2A_S1_25	24_q_vento_tot			
SLU_Gr_2A_S1_25	23_q_temp F			
SLU_Gr_2A_S1_25	22_q_ritiro			
SLU_Gr_2A_S1_25	21_q8			
SLU_Gr_2A_S1_26	DEAD	None	None	None
SLU_Gr_2A_S1_26	1_G1_trave			
SLU_Gr_2A_S1_26	2_G1_soletta			
SLU_Gr_2A_S1_26	3_G1_marciapiede			
SLU_Gr_2A_S1_26	4_G1_traverso			
SLU_Gr_2A_S1_26	5_G2_veletta			
SLU_Gr_2A_S1_26	6_G2_impianti			
SLU_Gr_2A_S1_26	7_G2_parapetti			
SLU_Gr_2A_S1_26	8_G2_pavimentazione			
SLU_Gr_2A_S1_26	9_G2_sicurvia			
SLU_Gr_2A_S1_26	11_Q1k			
SLU_Gr_2A_S1_26	10_q1k			
SLU_Gr_2A_S1_26	13_Q2k			
SLU_Gr_2A_S1_26	12_q2k			
SLU_Gr_2A_S1_26	16_Q_zr			
SLU_Gr_2A_S1_26	17_qfk			
SLU_Gr_2A_S1_26	20_q4_centra			
SLU_Gr_2A_S1_26	19_q3_frenatura			
SLU_Gr_2A_S1_26	15_Q3k			
SLU_Gr_2A_S1_26	14_q3k			
SLU_Gr_2A_S1_26	24_q_vento_tot			
SLU_Gr_2A_S1_26	23_q_temp F			
SLU_Gr_2A_S1_26	22_q_ritiro			
SLU_Gr_2A_S1_26	21_q8			
SLU_Gr_2A_S1_27	DEAD	None	None	None
SLU_Gr_2A_S1_27	1_G1_trave			
SLU_Gr_2A_S1_27	2_G1_soletta			
SLU_Gr_2A_S1_27	3_G1_marciapiede			
SLU_Gr_2A_S1_27	4_G1_traverso			
SLU_Gr_2A_S1_27	5_G2_veletta			
SLU_Gr_2A_S1_27	6_G2_impianti			
SLU_Gr_2A_S1_27	7_G2_parapetti			
SLU_Gr_2A_S1_27	8_G2_pavimentazione			
SLU_Gr_2A_S1_27	9_G2_sicurvia			
SLU_Gr_2A_S1_27	11_Q1k			

RELAZIONE DI CALCOLO

COMMESSA	LOTTO	CODIFICA	DOCUMENTO	REV.	FOGLIO
NRIJ	01 D 29	CL	IV0104 001	B	221 di 341

SLU_Gr_2A_S1_27	10_q1k			
SLU_Gr_2A_S1_27	13_Q2k			
SLU_Gr_2A_S1_27	12_q2k			
SLU_Gr_2A_S1_27	16_Q_zr			
SLU_Gr_2A_S1_27	17_qfk			
SLU_Gr_2A_S1_27	20_q4_centr			
SLU_Gr_2A_S1_27	19_q3_frenatura			
SLU_Gr_2A_S1_27	15_Q3k			
SLU_Gr_2A_S1_27	14_q3k			
SLU_Gr_2A_S1_27	24_q_vento_tot			
SLU_Gr_2A_S1_27	23_q_temp F			
SLU_Gr_2A_S1_27	22_q_ritiro			
SLU_Gr_2A_S1_27	21_q8			
SLU_Gr_2A_S1_28	DEAD	None	None	None
SLU_Gr_2A_S1_28	1_G1_trave			
SLU_Gr_2A_S1_28	2_G1_soletta			
SLU_Gr_2A_S1_28	3_G1_marciapiede			
SLU_Gr_2A_S1_28	4_G1_traverso			
SLU_Gr_2A_S1_28	5_G2_veletta			
SLU_Gr_2A_S1_28	6_G2_impianti			
SLU_Gr_2A_S1_28	7_G2_parapetti			
SLU_Gr_2A_S1_28	8_G2_pavimentazione			
SLU_Gr_2A_S1_28	9_G2_sicurvia			
SLU_Gr_2A_S1_28	11_Q1k			
SLU_Gr_2A_S1_28	10_q1k			
SLU_Gr_2A_S1_28	13_Q2k			
SLU_Gr_2A_S1_28	12_q2k			
SLU_Gr_2A_S1_28	16_Q_zr			
SLU_Gr_2A_S1_28	17_qfk			
SLU_Gr_2A_S1_28	20_q4_centr			
SLU_Gr_2A_S1_28	19_q3_frenatura			
SLU_Gr_2A_S1_28	15_Q3k			
SLU_Gr_2A_S1_28	14_q3k			
SLU_Gr_2A_S1_28	24_q_vento_tot			
SLU_Gr_2A_S1_28	23_q_temp F			
SLU_Gr_2A_S1_28	22_q_ritiro			
SLU_Gr_2A_S1_28	21_q8			
SLU_Gr_2A_S1_29	DEAD	None	None	None
SLU_Gr_2A_S1_29	1_G1_trave			
SLU_Gr_2A_S1_29	2_G1_soletta			
SLU_Gr_2A_S1_29	3_G1_marciapiede			
SLU_Gr_2A_S1_29	4_G1_traverso			
SLU_Gr_2A_S1_29	5_G2_veletta			
SLU_Gr_2A_S1_29	6_G2_impianti			
SLU_Gr_2A_S1_29	7_G2_parapetti			
SLU_Gr_2A_S1_29	8_G2_pavimentazione			
SLU_Gr_2A_S1_29	9_G2_sicurvia			
SLU_Gr_2A_S1_29	11_Q1k			
SLU_Gr_2A_S1_29	10_q1k			
SLU_Gr_2A_S1_29	13_Q2k			
SLU_Gr_2A_S1_29	12_q2k			
SLU_Gr_2A_S1_29	16_Q_zr			
SLU_Gr_2A_S1_29	17_qfk			
SLU_Gr_2A_S1_29	20_q4_centr			
SLU_Gr_2A_S1_29	19_q3_frenatura			
SLU_Gr_2A_S1_29	15_Q3k			
SLU_Gr_2A_S1_29	14_q3k			
SLU_Gr_2A_S1_29	24_q_vento_tot			
SLU_Gr_2A_S1_29	23_q_temp F			
SLU_Gr_2A_S1_29	22_q_ritiro			
SLU_Gr_2A_S1_29	21_q8			
SLU_Gr_2A_S1_30	DEAD	None	None	None

RELAZIONE DI CALCOLO

COMMESSA	LOTTO	CODIFICA	DOCUMENTO	REV.	FOGLIO
NRIJ	01 D 29	CL	IV0104 001	B	222 di 341

SLU_Gr_2A_S1_30	1_G1_trave			
SLU_Gr_2A_S1_30	2_G1_soletta			
SLU_Gr_2A_S1_30	3_G1_marciapiede			
SLU_Gr_2A_S1_30	4_G1_traverso			
SLU_Gr_2A_S1_30	5_G2_veletta			
SLU_Gr_2A_S1_30	6_G2_impianti			
SLU_Gr_2A_S1_30	7_G2_parapetti			
SLU_Gr_2A_S1_30	8_G2_pavimentazione			
SLU_Gr_2A_S1_30	9_G2_sicurvia			
SLU_Gr_2A_S1_30	11_Q1k			
SLU_Gr_2A_S1_30	10_q1k			
SLU_Gr_2A_S1_30	13_Q2k			
SLU_Gr_2A_S1_30	12_q2k			
SLU_Gr_2A_S1_30	16_Q_zr			
SLU_Gr_2A_S1_30	17_qfk			
SLU_Gr_2A_S1_30	20_q4_centra			
SLU_Gr_2A_S1_30	19_q3_frenatura			
SLU_Gr_2A_S1_30	15_Q3k			
SLU_Gr_2A_S1_30	14_q3k			
SLU_Gr_2A_S1_30	24_q_vento_tot			
SLU_Gr_2A_S1_30	23_q_temp F			
SLU_Gr_2A_S1_30	22_q_ritiro			
SLU_Gr_2A_S1_30	21_q8			
SLU_Gr_2A_S1_31	DEAD	None	None	None
SLU_Gr_2A_S1_31	1_G1_trave			
SLU_Gr_2A_S1_31	2_G1_soletta			
SLU_Gr_2A_S1_31	3_G1_marciapiede			
SLU_Gr_2A_S1_31	4_G1_traverso			
SLU_Gr_2A_S1_31	5_G2_veletta			
SLU_Gr_2A_S1_31	6_G2_impianti			
SLU_Gr_2A_S1_31	7_G2_parapetti			
SLU_Gr_2A_S1_31	8_G2_pavimentazione			
SLU_Gr_2A_S1_31	9_G2_sicurvia			
SLU_Gr_2A_S1_31	11_Q1k			
SLU_Gr_2A_S1_31	10_q1k			
SLU_Gr_2A_S1_31	13_Q2k			
SLU_Gr_2A_S1_31	12_q2k			
SLU_Gr_2A_S1_31	16_Q_zr			
SLU_Gr_2A_S1_31	17_qfk			
SLU_Gr_2A_S1_31	20_q4_centra			
SLU_Gr_2A_S1_31	19_q3_frenatura			
SLU_Gr_2A_S1_31	15_Q3k			
SLU_Gr_2A_S1_31	14_q3k			
SLU_Gr_2A_S1_31	24_q_vento_tot			
SLU_Gr_2A_S1_31	23_q_temp F			
SLU_Gr_2A_S1_31	22_q_ritiro			
SLU_Gr_2A_S1_31	21_q8			
SLU_Gr_2A_S1_32	DEAD	None	None	None
SLU_Gr_2A_S1_32	1_G1_trave			
SLU_Gr_2A_S1_32	2_G1_soletta			
SLU_Gr_2A_S1_32	3_G1_marciapiede			
SLU_Gr_2A_S1_32	4_G1_traverso			
SLU_Gr_2A_S1_32	5_G2_veletta			
SLU_Gr_2A_S1_32	6_G2_impianti			
SLU_Gr_2A_S1_32	7_G2_parapetti			
SLU_Gr_2A_S1_32	8_G2_pavimentazione			
SLU_Gr_2A_S1_32	9_G2_sicurvia			
SLU_Gr_2A_S1_32	11_Q1k			
SLU_Gr_2A_S1_32	10_q1k			
SLU_Gr_2A_S1_32	13_Q2k			
SLU_Gr_2A_S1_32	12_q2k			
SLU_Gr_2A_S1_32	16_Q_zr			

RELAZIONE DI CALCOLO

COMMESSA	LOTTO	CODIFICA	DOCUMENTO	REV.	FOGLIO
NRIJ	01 D 29	CL	IV0104 001	B	223 di 341

SLU_Gr_2A_S1_32	17_qfk			
SLU_Gr_2A_S1_32	20_q4_centra			
SLU_Gr_2A_S1_32	19_q3_frenatura			
SLU_Gr_2A_S1_32	15_Q3k			
SLU_Gr_2A_S1_32	14_q3k			
SLU_Gr_2A_S1_32	24_q_vento_tot			
SLU_Gr_2A_S1_32	23_q_temp F			
SLU_Gr_2A_S1_32	22_q_ritiro			
SLU_Gr_2A_S1_32	21_q8			
SLU_Gr_2A_S1_33	DEAD	None	None	None
SLU_Gr_2A_S1_33	1_G1_trave			
SLU_Gr_2A_S1_33	2_G1_soletta			
SLU_Gr_2A_S1_33	3_G1_marciapiede			
SLU_Gr_2A_S1_33	4_G1_traverso			
SLU_Gr_2A_S1_33	5_G2_veletta			
SLU_Gr_2A_S1_33	6_G2_impianti			
SLU_Gr_2A_S1_33	7_G2_parapetti			
SLU_Gr_2A_S1_33	8_G2_pavimentazione			
SLU_Gr_2A_S1_33	9_G2_sicurvia			
SLU_Gr_2A_S1_33	11_Q1k			
SLU_Gr_2A_S1_33	10_q1k			
SLU_Gr_2A_S1_33	13_Q2k			
SLU_Gr_2A_S1_33	12_q2k			
SLU_Gr_2A_S1_33	16_Q_zr			
SLU_Gr_2A_S1_33	17_qfk			
SLU_Gr_2A_S1_33	20_q4_centra			
SLU_Gr_2A_S1_33	19_q3_frenatura			
SLU_Gr_2A_S1_33	15_Q3k			
SLU_Gr_2A_S1_33	14_q3k			
SLU_Gr_2A_S1_33	24_q_vento_tot			
SLU_Gr_2A_S1_33	23_q_temp F			
SLU_Gr_2A_S1_33	22_q_ritiro			
SLU_Gr_2A_S1_33	21_q8			
SLU_Gr_2A_S1_34	DEAD	None	None	None
SLU_Gr_2A_S1_34	1_G1_trave			
SLU_Gr_2A_S1_34	2_G1_soletta			
SLU_Gr_2A_S1_34	3_G1_marciapiede			
SLU_Gr_2A_S1_34	4_G1_traverso			
SLU_Gr_2A_S1_34	5_G2_veletta			
SLU_Gr_2A_S1_34	6_G2_impianti			
SLU_Gr_2A_S1_34	7_G2_parapetti			
SLU_Gr_2A_S1_34	8_G2_pavimentazione			
SLU_Gr_2A_S1_34	9_G2_sicurvia			
SLU_Gr_2A_S1_34	11_Q1k			
SLU_Gr_2A_S1_34	10_q1k			
SLU_Gr_2A_S1_34	13_Q2k			
SLU_Gr_2A_S1_34	12_q2k			
SLU_Gr_2A_S1_34	16_Q_zr			
SLU_Gr_2A_S1_34	17_qfk			
SLU_Gr_2A_S1_34	20_q4_centra			
SLU_Gr_2A_S1_34	19_q3_frenatura			
SLU_Gr_2A_S1_34	15_Q3k			
SLU_Gr_2A_S1_34	14_q3k			
SLU_Gr_2A_S1_34	24_q_vento_tot			
SLU_Gr_2A_S1_34	23_q_temp F			
SLU_Gr_2A_S1_34	22_q_ritiro			
SLU_Gr_2A_S1_34	21_q8			
SLU_Gr_2A_S1_35	DEAD	None	None	None
SLU_Gr_2A_S1_35	1_G1_trave			
SLU_Gr_2A_S1_35	2_G1_soletta			
SLU_Gr_2A_S1_35	3_G1_marciapiede			
SLU_Gr_2A_S1_35	4_G1_traverso			

RELAZIONE DI CALCOLO

COMMESSA	LOTTO	CODIFICA	DOCUMENTO	REV.	FOGLIO
NRIJ	01 D 29	CL	IV0104 001	B	224 di 341

SLU_Gr_2A_S1_35	5_G2_veletta			
SLU_Gr_2A_S1_35	6_G2_impianti			
SLU_Gr_2A_S1_35	7_G2_parapetti			
SLU_Gr_2A_S1_35	8_G2_pavimentazione			
SLU_Gr_2A_S1_35	9_G2_sicurvia			
SLU_Gr_2A_S1_35	11_Q1k			
SLU_Gr_2A_S1_35	10_q1k			
SLU_Gr_2A_S1_35	13_Q2k			
SLU_Gr_2A_S1_35	12_q2k			
SLU_Gr_2A_S1_35	16_Q_zr			
SLU_Gr_2A_S1_35	17_qfk			
SLU_Gr_2A_S1_35	20_q4_centra			
SLU_Gr_2A_S1_35	19_q3_frenatura			
SLU_Gr_2A_S1_35	15_Q3k			
SLU_Gr_2A_S1_35	14_q3k			
SLU_Gr_2A_S1_35	24_q_vento_tot			
SLU_Gr_2A_S1_35	23_q_temp F			
SLU_Gr_2A_S1_35	22_q_ritiro			
SLU_Gr_2A_S1_35	21_q8			
SLU_Gr_2A_S1_36	DEAD	None	None	None
SLU_Gr_2A_S1_36	1_G1_trave			
SLU_Gr_2A_S1_36	2_G1_soletta			
SLU_Gr_2A_S1_36	3_G1_marciapiede			
SLU_Gr_2A_S1_36	4_G1_traverso			
SLU_Gr_2A_S1_36	5_G2_veletta			
SLU_Gr_2A_S1_36	6_G2_impianti			
SLU_Gr_2A_S1_36	7_G2_parapetti			
SLU_Gr_2A_S1_36	8_G2_pavimentazione			
SLU_Gr_2A_S1_36	9_G2_sicurvia			
SLU_Gr_2A_S1_36	11_Q1k			
SLU_Gr_2A_S1_36	10_q1k			
SLU_Gr_2A_S1_36	13_Q2k			
SLU_Gr_2A_S1_36	12_q2k			
SLU_Gr_2A_S1_36	16_Q_zr			
SLU_Gr_2A_S1_36	17_qfk			
SLU_Gr_2A_S1_36	20_q4_centra			
SLU_Gr_2A_S1_36	19_q3_frenatura			
SLU_Gr_2A_S1_36	15_Q3k			
SLU_Gr_2A_S1_36	14_q3k			
SLU_Gr_2A_S1_36	24_q_vento_tot			
SLU_Gr_2A_S1_36	23_q_temp F			
SLU_Gr_2A_S1_36	22_q_ritiro			
SLU_Gr_2A_S1_36	21_q8			
SLU_Gr_2A_S1_37	DEAD	None	None	None
SLU_Gr_2A_S1_37	1_G1_trave			
SLU_Gr_2A_S1_37	2_G1_soletta			
SLU_Gr_2A_S1_37	3_G1_marciapiede			
SLU_Gr_2A_S1_37	4_G1_traverso			
SLU_Gr_2A_S1_37	5_G2_veletta			
SLU_Gr_2A_S1_37	6_G2_impianti			
SLU_Gr_2A_S1_37	7_G2_parapetti			
SLU_Gr_2A_S1_37	8_G2_pavimentazione			
SLU_Gr_2A_S1_37	9_G2_sicurvia			
SLU_Gr_2A_S1_37	11_Q1k			
SLU_Gr_2A_S1_37	10_q1k			
SLU_Gr_2A_S1_37	13_Q2k			
SLU_Gr_2A_S1_37	12_q2k			
SLU_Gr_2A_S1_37	16_Q_zr			
SLU_Gr_2A_S1_37	17_qfk			
SLU_Gr_2A_S1_37	20_q4_centra			
SLU_Gr_2A_S1_37	19_q3_frenatura			
SLU_Gr_2A_S1_37	15_Q3k			

RELAZIONE DI CALCOLO

COMMESSA	LOTTO	CODIFICA	DOCUMENTO	REV.	FOGLIO
NRIJ	01 D 29	CL	IV0104 001	B	225 di 341

SLU_Gr_2A_S1_37	14_q3k			
SLU_Gr_2A_S1_37	24_q_vento_tot			
SLU_Gr_2A_S1_37	23_q_temp F			
SLU_Gr_2A_S1_37	22_q_ritiro			
SLU_Gr_2A_S1_37	21_q8			
SLU_Gr_2A_S1_38	DEAD	None	None	None
SLU_Gr_2A_S1_38	1_G1_trave			
SLU_Gr_2A_S1_38	2_G1_soletta			
SLU_Gr_2A_S1_38	3_G1_marciapiede			
SLU_Gr_2A_S1_38	4_G1_traverso			
SLU_Gr_2A_S1_38	5_G2_veletta			
SLU_Gr_2A_S1_38	6_G2_impianti			
SLU_Gr_2A_S1_38	7_G2_parapetti			
SLU_Gr_2A_S1_38	8_G2_pavimentazione			
SLU_Gr_2A_S1_38	9_G2_sicurvia			
SLU_Gr_2A_S1_38	11_Q1k			
SLU_Gr_2A_S1_38	10_q1k			
SLU_Gr_2A_S1_38	13_Q2k			
SLU_Gr_2A_S1_38	12_q2k			
SLU_Gr_2A_S1_38	16_Q_zr			
SLU_Gr_2A_S1_38	17_qfk			
SLU_Gr_2A_S1_38	20_q4_centra			
SLU_Gr_2A_S1_38	19_q3_frenatura			
SLU_Gr_2A_S1_38	15_Q3k			
SLU_Gr_2A_S1_38	14_q3k			
SLU_Gr_2A_S1_38	24_q_vento_tot			
SLU_Gr_2A_S1_38	23_q_temp F			
SLU_Gr_2A_S1_38	22_q_ritiro			
SLU_Gr_2A_S1_38	21_q8			
SLU_Gr_2A_S1_39	DEAD	None	None	None
SLU_Gr_2A_S1_39	1_G1_trave			
SLU_Gr_2A_S1_39	2_G1_soletta			
SLU_Gr_2A_S1_39	3_G1_marciapiede			
SLU_Gr_2A_S1_39	4_G1_traverso			
SLU_Gr_2A_S1_39	5_G2_veletta			
SLU_Gr_2A_S1_39	6_G2_impianti			
SLU_Gr_2A_S1_39	7_G2_parapetti			
SLU_Gr_2A_S1_39	8_G2_pavimentazione			
SLU_Gr_2A_S1_39	9_G2_sicurvia			
SLU_Gr_2A_S1_39	11_Q1k			
SLU_Gr_2A_S1_39	10_q1k			
SLU_Gr_2A_S1_39	13_Q2k			
SLU_Gr_2A_S1_39	12_q2k			
SLU_Gr_2A_S1_39	16_Q_zr			
SLU_Gr_2A_S1_39	17_qfk			
SLU_Gr_2A_S1_39	20_q4_centra			
SLU_Gr_2A_S1_39	19_q3_frenatura			
SLU_Gr_2A_S1_39	15_Q3k			
SLU_Gr_2A_S1_39	14_q3k			
SLU_Gr_2A_S1_39	24_q_vento_tot			
SLU_Gr_2A_S1_39	23_q_temp F			
SLU_Gr_2A_S1_39	22_q_ritiro			
SLU_Gr_2A_S1_39	21_q8			
SLU_Gr_2A_S1_40	DEAD	None	None	None
SLU_Gr_2A_S1_40	1_G1_trave			
SLU_Gr_2A_S1_40	2_G1_soletta			
SLU_Gr_2A_S1_40	3_G1_marciapiede			
SLU_Gr_2A_S1_40	4_G1_traverso			
SLU_Gr_2A_S1_40	5_G2_veletta			
SLU_Gr_2A_S1_40	6_G2_impianti			
SLU_Gr_2A_S1_40	7_G2_parapetti			
SLU_Gr_2A_S1_40	8_G2_pavimentazione			

RELAZIONE DI CALCOLO

COMMESSA	LOTTO	CODIFICA	DOCUMENTO	REV.	FOGLIO
NRIJ	01 D 29	CL	IV0104 001	B	226 di 341

SLU_Gr_2A_S1_40	9_G2_sicurvia			
SLU_Gr_2A_S1_40	11_Q1k			
SLU_Gr_2A_S1_40	10_q1k			
SLU_Gr_2A_S1_40	13_Q2k			
SLU_Gr_2A_S1_40	12_q2k			
SLU_Gr_2A_S1_40	16_Q_zr			
SLU_Gr_2A_S1_40	17_qfk			
SLU_Gr_2A_S1_40	20_q4_centra			
SLU_Gr_2A_S1_40	19_q3_frenatura			
SLU_Gr_2A_S1_40	15_Q3k			
SLU_Gr_2A_S1_40	14_q3k			
SLU_Gr_2A_S1_40	24_q_vento_tot			
SLU_Gr_2A_S1_40	23_q_temp F			
SLU_Gr_2A_S1_40	22_q_ritiro			
SLU_Gr_2A_S1_40	21_q8			
SLERR_Gr_1_S1_1	DEAD	None	None	None
SLERR_Gr_1_S1_1	1_G1_trave			
SLERR_Gr_1_S1_1	2_G1_soletta			
SLERR_Gr_1_S1_1	3_G1_marciapiede			
SLERR_Gr_1_S1_1	4_G1_traverso			
SLERR_Gr_1_S1_1	5_G2_veletta			
SLERR_Gr_1_S1_1	6_G2_impianti			
SLERR_Gr_1_S1_1	7_G2_parapetti			
SLERR_Gr_1_S1_1	8_G2_pavimentazione			
SLERR_Gr_1_S1_1	9_G2_sicurvia			
SLERR_Gr_1_S1_1	11_Q1k			
SLERR_Gr_1_S1_1	10_q1k			
SLERR_Gr_1_S1_1	13_Q2k			
SLERR_Gr_1_S1_1	12_q2k			
SLERR_Gr_1_S1_1	16_Q_zr			
SLERR_Gr_1_S1_1	17_qfk			
SLERR_Gr_1_S1_1	20_q4_centra			
SLERR_Gr_1_S1_1	19_q3_frenatura			
SLERR_Gr_1_S1_1	15_Q3k			
SLERR_Gr_1_S1_1	14_q3k			
SLERR_Gr_1_S1_1	24_q_vento_tot			
SLERR_Gr_1_S1_1	23_q_temp F			
SLERR_Gr_1_S1_1	22_q_ritiro			
SLERR_Gr_1_S1_1	21_q8			
SLERR_Gr_1_S1_2	DEAD	None	None	None
SLERR_Gr_1_S1_2	1_G1_trave			
SLERR_Gr_1_S1_2	2_G1_soletta			
SLERR_Gr_1_S1_2	3_G1_marciapiede			
SLERR_Gr_1_S1_2	4_G1_traverso			
SLERR_Gr_1_S1_2	5_G2_veletta			
SLERR_Gr_1_S1_2	6_G2_impianti			
SLERR_Gr_1_S1_2	7_G2_parapetti			
SLERR_Gr_1_S1_2	8_G2_pavimentazione			
SLERR_Gr_1_S1_2	9_G2_sicurvia			
SLERR_Gr_1_S1_2	11_Q1k			
SLERR_Gr_1_S1_2	10_q1k			
SLERR_Gr_1_S1_2	13_Q2k			
SLERR_Gr_1_S1_2	12_q2k			
SLERR_Gr_1_S1_2	16_Q_zr			
SLERR_Gr_1_S1_2	17_qfk			
SLERR_Gr_1_S1_2	20_q4_centra			
SLERR_Gr_1_S1_2	19_q3_frenatura			
SLERR_Gr_1_S1_2	15_Q3k			
SLERR_Gr_1_S1_2	14_q3k			
SLERR_Gr_1_S1_2	24_q_vento_tot			
SLERR_Gr_1_S1_2	23_q_temp F			
SLERR_Gr_1_S1_2	22_q_ritiro			

RELAZIONE DI CALCOLO

COMMESSA	LOTTO	CODIFICA	DOCUMENTO	REV.	FOGLIO
NRIJ	01 D 29	CL	IV0104 001	B	227 di 341

SLERR_Gr_1_S1_2	21_q8			
SLERR_Gr_1_S1_3	DEAD	None	None	None
SLERR_Gr_1_S1_3	1_G1_trave			
SLERR_Gr_1_S1_3	2_G1_soletta			
SLERR_Gr_1_S1_3	3_G1_marciapiede			
SLERR_Gr_1_S1_3	4_G1_traverso			
SLERR_Gr_1_S1_3	5_G2_veletta			
SLERR_Gr_1_S1_3	6_G2_impianti			
SLERR_Gr_1_S1_3	7_G2_parapetti			
SLERR_Gr_1_S1_3	8_G2_pavimentazione			
SLERR_Gr_1_S1_3	9_G2_sicurvia			
SLERR_Gr_1_S1_3	11_Q1k			
SLERR_Gr_1_S1_3	10_q1k			
SLERR_Gr_1_S1_3	13_Q2k			
SLERR_Gr_1_S1_3	12_q2k			
SLERR_Gr_1_S1_3	16_Q_zr			
SLERR_Gr_1_S1_3	17_qfk			
SLERR_Gr_1_S1_3	20_q4_centra			
SLERR_Gr_1_S1_3	19_q3_frenatura			
SLERR_Gr_1_S1_3	15_Q3k			
SLERR_Gr_1_S1_3	14_q3k			
SLERR_Gr_1_S1_3	24_q_vento_tot			
SLERR_Gr_1_S1_3	23_q_temp F			
SLERR_Gr_1_S1_3	22_q_ritiro			
SLERR_Gr_1_S1_3	21_q8			
SLERR_Gr_1_S1_4	DEAD	None	None	None
SLERR_Gr_1_S1_4	1_G1_trave			
SLERR_Gr_1_S1_4	2_G1_soletta			
SLERR_Gr_1_S1_4	3_G1_marciapiede			
SLERR_Gr_1_S1_4	4_G1_traverso			
SLERR_Gr_1_S1_4	5_G2_veletta			
SLERR_Gr_1_S1_4	6_G2_impianti			
SLERR_Gr_1_S1_4	7_G2_parapetti			
SLERR_Gr_1_S1_4	8_G2_pavimentazione			
SLERR_Gr_1_S1_4	9_G2_sicurvia			
SLERR_Gr_1_S1_4	11_Q1k			
SLERR_Gr_1_S1_4	10_q1k			
SLERR_Gr_1_S1_4	13_Q2k			
SLERR_Gr_1_S1_4	12_q2k			
SLERR_Gr_1_S1_4	16_Q_zr			
SLERR_Gr_1_S1_4	17_qfk			
SLERR_Gr_1_S1_4	20_q4_centra			
SLERR_Gr_1_S1_4	19_q3_frenatura			
SLERR_Gr_1_S1_4	15_Q3k			
SLERR_Gr_1_S1_4	14_q3k			
SLERR_Gr_1_S1_4	24_q_vento_tot			
SLERR_Gr_1_S1_4	23_q_temp F			
SLERR_Gr_1_S1_4	22_q_ritiro			
SLERR_Gr_1_S1_4	21_q8			
SLERR_Gr_1_S1_5	DEAD	None	None	None
SLERR_Gr_1_S1_5	1_G1_trave			
SLERR_Gr_1_S1_5	2_G1_soletta			
SLERR_Gr_1_S1_5	3_G1_marciapiede			
SLERR_Gr_1_S1_5	4_G1_traverso			
SLERR_Gr_1_S1_5	5_G2_veletta			
SLERR_Gr_1_S1_5	6_G2_impianti			
SLERR_Gr_1_S1_5	7_G2_parapetti			
SLERR_Gr_1_S1_5	8_G2_pavimentazione			
SLERR_Gr_1_S1_5	9_G2_sicurvia			
SLERR_Gr_1_S1_5	11_Q1k			
SLERR_Gr_1_S1_5	10_q1k			
SLERR_Gr_1_S1_5	13_Q2k			

RELAZIONE DI CALCOLO

COMMESSA	LOTTO	CODIFICA	DOCUMENTO	REV.	FOGLIO
NRIJ	01 D 29	CL	IV0104 001	B	228 di 341

SLERR_Gr_1_S1_5	12_q2k			
SLERR_Gr_1_S1_5	16_Q_zr			
SLERR_Gr_1_S1_5	17_qfk			
SLERR_Gr_1_S1_5	20_q4_centr			
SLERR_Gr_1_S1_5	19_q3_frenatura			
SLERR_Gr_1_S1_5	15_Q3k			
SLERR_Gr_1_S1_5	14_q3k			
SLERR_Gr_1_S1_5	24_q_vento_tot			
SLERR_Gr_1_S1_5	23_q_temp F			
SLERR_Gr_1_S1_5	22_q_ritiro			
SLERR_Gr_1_S1_5	21_q8			
SLERR_Gr_1_S1_6	DEAD	None	None	None
SLERR_Gr_1_S1_6	1_G1_trave			
SLERR_Gr_1_S1_6	2_G1_soletta			
SLERR_Gr_1_S1_6	3_G1_marciapiede			
SLERR_Gr_1_S1_6	4_G1_traverso			
SLERR_Gr_1_S1_6	5_G2_veletta			
SLERR_Gr_1_S1_6	6_G2_impianti			
SLERR_Gr_1_S1_6	7_G2_parapetti			
SLERR_Gr_1_S1_6	8_G2_pavimentazione			
SLERR_Gr_1_S1_6	9_G2_sicurvia			
SLERR_Gr_1_S1_6	11_Q1k			
SLERR_Gr_1_S1_6	10_q1k			
SLERR_Gr_1_S1_6	13_Q2k			
SLERR_Gr_1_S1_6	12_q2k			
SLERR_Gr_1_S1_6	16_Q_zr			
SLERR_Gr_1_S1_6	17_qfk			
SLERR_Gr_1_S1_6	20_q4_centr			
SLERR_Gr_1_S1_6	19_q3_frenatura			
SLERR_Gr_1_S1_6	15_Q3k			
SLERR_Gr_1_S1_6	14_q3k			
SLERR_Gr_1_S1_6	24_q_vento_tot			
SLERR_Gr_1_S1_6	23_q_temp F			
SLERR_Gr_1_S1_6	22_q_ritiro			
SLERR_Gr_1_S1_6	21_q8			
SLERR_Gr_1_S1_7	DEAD	None	None	None
SLERR_Gr_1_S1_7	1_G1_trave			
SLERR_Gr_1_S1_7	2_G1_soletta			
SLERR_Gr_1_S1_7	3_G1_marciapiede			
SLERR_Gr_1_S1_7	4_G1_traverso			
SLERR_Gr_1_S1_7	5_G2_veletta			
SLERR_Gr_1_S1_7	6_G2_impianti			
SLERR_Gr_1_S1_7	7_G2_parapetti			
SLERR_Gr_1_S1_7	8_G2_pavimentazione			
SLERR_Gr_1_S1_7	9_G2_sicurvia			
SLERR_Gr_1_S1_7	11_Q1k			
SLERR_Gr_1_S1_7	10_q1k			
SLERR_Gr_1_S1_7	13_Q2k			
SLERR_Gr_1_S1_7	12_q2k			
SLERR_Gr_1_S1_7	16_Q_zr			
SLERR_Gr_1_S1_7	17_qfk			
SLERR_Gr_1_S1_7	20_q4_centr			
SLERR_Gr_1_S1_7	19_q3_frenatura			
SLERR_Gr_1_S1_7	15_Q3k			
SLERR_Gr_1_S1_7	14_q3k			
SLERR_Gr_1_S1_7	24_q_vento_tot			
SLERR_Gr_1_S1_7	23_q_temp F			
SLERR_Gr_1_S1_7	22_q_ritiro			
SLERR_Gr_1_S1_7	21_q8			
SLERR_Gr_1_S1_8	DEAD	None	None	None
SLERR_Gr_1_S1_8	1_G1_trave			
SLERR_Gr_1_S1_8	2_G1_soletta			

RELAZIONE DI CALCOLO

COMMESSA	LOTTO	CODIFICA	DOCUMENTO	REV.	FOGLIO
NRIJ	01 D 29	CL	IV0104 001	B	229 di 341

SLERR_Gr_1_S1_8	3_G1_marciapiede			
SLERR_Gr_1_S1_8	4_G1_traverso			
SLERR_Gr_1_S1_8	5_G2_veletta			
SLERR_Gr_1_S1_8	6_G2_impianti			
SLERR_Gr_1_S1_8	7_G2_parapetti			
SLERR_Gr_1_S1_8	8_G2_pavimentazione			
SLERR_Gr_1_S1_8	9_G2_sicurvia			
SLERR_Gr_1_S1_8	11_Q1k			
SLERR_Gr_1_S1_8	10_q1k			
SLERR_Gr_1_S1_8	13_Q2k			
SLERR_Gr_1_S1_8	12_q2k			
SLERR_Gr_1_S1_8	16_Q_zr			
SLERR_Gr_1_S1_8	17_qfk			
SLERR_Gr_1_S1_8	20_q4_centra			
SLERR_Gr_1_S1_8	19_q3_frenatura			
SLERR_Gr_1_S1_8	15_Q3k			
SLERR_Gr_1_S1_8	14_q3k			
SLERR_Gr_1_S1_8	24_q_vento_tot			
SLERR_Gr_1_S1_8	23_q_temp F			
SLERR_Gr_1_S1_8	22_q_ritiro			
SLERR_Gr_1_S1_8	21_q8			
SLERR_Gr_1_S1_9	DEAD	None	None	None
SLERR_Gr_1_S1_9	1_G1_trave			
SLERR_Gr_1_S1_9	2_G1_soletta			
SLERR_Gr_1_S1_9	3_G1_marciapiede			
SLERR_Gr_1_S1_9	4_G1_traverso			
SLERR_Gr_1_S1_9	5_G2_veletta			
SLERR_Gr_1_S1_9	6_G2_impianti			
SLERR_Gr_1_S1_9	7_G2_parapetti			
SLERR_Gr_1_S1_9	8_G2_pavimentazione			
SLERR_Gr_1_S1_9	9_G2_sicurvia			
SLERR_Gr_1_S1_9	11_Q1k			
SLERR_Gr_1_S1_9	10_q1k			
SLERR_Gr_1_S1_9	13_Q2k			
SLERR_Gr_1_S1_9	12_q2k			
SLERR_Gr_1_S1_9	16_Q_zr			
SLERR_Gr_1_S1_9	17_qfk			
SLERR_Gr_1_S1_9	20_q4_centra			
SLERR_Gr_1_S1_9	19_q3_frenatura			
SLERR_Gr_1_S1_9	15_Q3k			
SLERR_Gr_1_S1_9	14_q3k			
SLERR_Gr_1_S1_9	24_q_vento_tot			
SLERR_Gr_1_S1_9	23_q_temp F			
SLERR_Gr_1_S1_9	22_q_ritiro			
SLERR_Gr_1_S1_9	21_q8			
SLERR_Gr_1_S1_10	DEAD	None	None	None
SLERR_Gr_1_S1_10	1_G1_trave			
SLERR_Gr_1_S1_10	2_G1_soletta			
SLERR_Gr_1_S1_10	3_G1_marciapiede			
SLERR_Gr_1_S1_10	4_G1_traverso			
SLERR_Gr_1_S1_10	5_G2_veletta			
SLERR_Gr_1_S1_10	6_G2_impianti			
SLERR_Gr_1_S1_10	7_G2_parapetti			
SLERR_Gr_1_S1_10	8_G2_pavimentazione			
SLERR_Gr_1_S1_10	9_G2_sicurvia			
SLERR_Gr_1_S1_10	11_Q1k			
SLERR_Gr_1_S1_10	10_q1k			
SLERR_Gr_1_S1_10	13_Q2k			
SLERR_Gr_1_S1_10	12_q2k			
SLERR_Gr_1_S1_10	16_Q_zr			
SLERR_Gr_1_S1_10	17_qfk			
SLERR_Gr_1_S1_10	20_q4_centra			

RELAZIONE DI CALCOLO

COMMESSA	LOTTO	CODIFICA	DOCUMENTO	REV.	FOGLIO
NRIJ	01 D 29	CL	IV0104 001	B	230 di 341

SLERR_Gr_1_S1_10	19_q3_frenatura			
SLERR_Gr_1_S1_10	15_Q3k			
SLERR_Gr_1_S1_10	14_q3k			
SLERR_Gr_1_S1_10	24_q_vento_tot			
SLERR_Gr_1_S1_10	23_q_temp F			
SLERR_Gr_1_S1_10	22_q_ritiro			
SLERR_Gr_1_S1_10	21_q8			
SLERR_Gr_1_S1_11	DEAD	None	None	None
SLERR_Gr_1_S1_11	1_G1_trave			
SLERR_Gr_1_S1_11	2_G1_soletta			
SLERR_Gr_1_S1_11	3_G1_marciapiede			
SLERR_Gr_1_S1_11	4_G1_traverso			
SLERR_Gr_1_S1_11	5_G2_veletta			
SLERR_Gr_1_S1_11	6_G2_impianti			
SLERR_Gr_1_S1_11	7_G2_parapetti			
SLERR_Gr_1_S1_11	8_G2_pavimentazione			
SLERR_Gr_1_S1_11	9_G2_sicurvia			
SLERR_Gr_1_S1_11	11_Q1k			
SLERR_Gr_1_S1_11	10_q1k			
SLERR_Gr_1_S1_11	13_Q2k			
SLERR_Gr_1_S1_11	12_q2k			
SLERR_Gr_1_S1_11	16_Q_zr			
SLERR_Gr_1_S1_11	17_qfk			
SLERR_Gr_1_S1_11	20_q4_centra			
SLERR_Gr_1_S1_11	19_q3_frenatura			
SLERR_Gr_1_S1_11	15_Q3k			
SLERR_Gr_1_S1_11	14_q3k			
SLERR_Gr_1_S1_11	24_q_vento_tot			
SLERR_Gr_1_S1_11	23_q_temp F			
SLERR_Gr_1_S1_11	22_q_ritiro			
SLERR_Gr_1_S1_11	21_q8			
SLERR_Gr_1_S1_12	DEAD	None	None	None
SLERR_Gr_1_S1_12	1_G1_trave			
SLERR_Gr_1_S1_12	2_G1_soletta			
SLERR_Gr_1_S1_12	3_G1_marciapiede			
SLERR_Gr_1_S1_12	4_G1_traverso			
SLERR_Gr_1_S1_12	5_G2_veletta			
SLERR_Gr_1_S1_12	6_G2_impianti			
SLERR_Gr_1_S1_12	7_G2_parapetti			
SLERR_Gr_1_S1_12	8_G2_pavimentazione			
SLERR_Gr_1_S1_12	9_G2_sicurvia			
SLERR_Gr_1_S1_12	11_Q1k			
SLERR_Gr_1_S1_12	10_q1k			
SLERR_Gr_1_S1_12	13_Q2k			
SLERR_Gr_1_S1_12	12_q2k			
SLERR_Gr_1_S1_12	16_Q_zr			
SLERR_Gr_1_S1_12	17_qfk			
SLERR_Gr_1_S1_12	20_q4_centra			
SLERR_Gr_1_S1_12	19_q3_frenatura			
SLERR_Gr_1_S1_12	15_Q3k			
SLERR_Gr_1_S1_12	14_q3k			
SLERR_Gr_1_S1_12	24_q_vento_tot			
SLERR_Gr_1_S1_12	23_q_temp F			
SLERR_Gr_1_S1_12	22_q_ritiro			
SLERR_Gr_1_S1_12	21_q8			
SLERR_Gr_1_S1_13	DEAD	None	None	None
SLERR_Gr_1_S1_13	1_G1_trave			
SLERR_Gr_1_S1_13	2_G1_soletta			
SLERR_Gr_1_S1_13	3_G1_marciapiede			
SLERR_Gr_1_S1_13	4_G1_traverso			
SLERR_Gr_1_S1_13	5_G2_veletta			
SLERR_Gr_1_S1_13	6_G2_impianti			

RELAZIONE DI CALCOLO

COMMESSA	LOTTO	CODIFICA	DOCUMENTO	REV.	FOGLIO
NRIJ	01 D 29	CL	IV0104 001	B	231 di 341

SLERR_Gr_1_S1_13	7_G2_parapetti			
SLERR_Gr_1_S1_13	8_G2_pavimentazione			
SLERR_Gr_1_S1_13	9_G2_sicurvia			
SLERR_Gr_1_S1_13	11_Q1k			
SLERR_Gr_1_S1_13	10_q1k			
SLERR_Gr_1_S1_13	13_Q2k			
SLERR_Gr_1_S1_13	12_q2k			
SLERR_Gr_1_S1_13	16_Q_zr			
SLERR_Gr_1_S1_13	17_qfk			
SLERR_Gr_1_S1_13	20_q4_centra			
SLERR_Gr_1_S1_13	19_q3_frenatura			
SLERR_Gr_1_S1_13	15_Q3k			
SLERR_Gr_1_S1_13	14_q3k			
SLERR_Gr_1_S1_13	24_q_vento_tot			
SLERR_Gr_1_S1_13	23_q_temp F			
SLERR_Gr_1_S1_13	22_q_ritiro			
SLERR_Gr_1_S1_13	21_q8			
SLERR_Gr_1_S1_14	DEAD	None	None	None
SLERR_Gr_1_S1_14	1_G1_trave			
SLERR_Gr_1_S1_14	2_G1_soletta			
SLERR_Gr_1_S1_14	3_G1_marciapiede			
SLERR_Gr_1_S1_14	4_G1_traverso			
SLERR_Gr_1_S1_14	5_G2_veletta			
SLERR_Gr_1_S1_14	6_G2_impianti			
SLERR_Gr_1_S1_14	7_G2_parapetti			
SLERR_Gr_1_S1_14	8_G2_pavimentazione			
SLERR_Gr_1_S1_14	9_G2_sicurvia			
SLERR_Gr_1_S1_14	11_Q1k			
SLERR_Gr_1_S1_14	10_q1k			
SLERR_Gr_1_S1_14	13_Q2k			
SLERR_Gr_1_S1_14	12_q2k			
SLERR_Gr_1_S1_14	16_Q_zr			
SLERR_Gr_1_S1_14	17_qfk			
SLERR_Gr_1_S1_14	20_q4_centra			
SLERR_Gr_1_S1_14	19_q3_frenatura			
SLERR_Gr_1_S1_14	15_Q3k			
SLERR_Gr_1_S1_14	14_q3k			
SLERR_Gr_1_S1_14	24_q_vento_tot			
SLERR_Gr_1_S1_14	23_q_temp F			
SLERR_Gr_1_S1_14	22_q_ritiro			
SLERR_Gr_1_S1_14	21_q8			
SLERR_Gr_1_S1_15	DEAD	None	None	None
SLERR_Gr_1_S1_15	1_G1_trave			
SLERR_Gr_1_S1_15	2_G1_soletta			
SLERR_Gr_1_S1_15	3_G1_marciapiede			
SLERR_Gr_1_S1_15	4_G1_traverso			
SLERR_Gr_1_S1_15	5_G2_veletta			
SLERR_Gr_1_S1_15	6_G2_impianti			
SLERR_Gr_1_S1_15	7_G2_parapetti			
SLERR_Gr_1_S1_15	8_G2_pavimentazione			
SLERR_Gr_1_S1_15	9_G2_sicurvia			
SLERR_Gr_1_S1_15	11_Q1k			
SLERR_Gr_1_S1_15	10_q1k			
SLERR_Gr_1_S1_15	13_Q2k			
SLERR_Gr_1_S1_15	12_q2k			
SLERR_Gr_1_S1_15	16_Q_zr			
SLERR_Gr_1_S1_15	17_qfk			
SLERR_Gr_1_S1_15	20_q4_centra			
SLERR_Gr_1_S1_15	19_q3_frenatura			
SLERR_Gr_1_S1_15	15_Q3k			
SLERR_Gr_1_S1_15	14_q3k			
SLERR_Gr_1_S1_15	24_q_vento_tot			

RELAZIONE DI CALCOLO

COMMESSA	LOTTO	CODIFICA	DOCUMENTO	REV.	FOGLIO
NRIJ	01 D 29	CL	IV0104 001	B	232 di 341

SLERR_Gr_1_S1_15	23_q_temp F			
SLERR_Gr_1_S1_15	22_q_ritiro			
SLERR_Gr_1_S1_15	21_q8			
SLERR_Gr_1_S1_16	DEAD	None	None	None
SLERR_Gr_1_S1_16	1_G1_trave			
SLERR_Gr_1_S1_16	2_G1_soletta			
SLERR_Gr_1_S1_16	3_G1_marciapiede			
SLERR_Gr_1_S1_16	4_G1_traverso			
SLERR_Gr_1_S1_16	5_G2_veletta			
SLERR_Gr_1_S1_16	6_G2_impianti			
SLERR_Gr_1_S1_16	7_G2_parapetti			
SLERR_Gr_1_S1_16	8_G2_pavimentazione			
SLERR_Gr_1_S1_16	9_G2_sicurvia			
SLERR_Gr_1_S1_16	11_Q1k			
SLERR_Gr_1_S1_16	10_q1k			
SLERR_Gr_1_S1_16	13_Q2k			
SLERR_Gr_1_S1_16	12_q2k			
SLERR_Gr_1_S1_16	16_Q_zr			
SLERR_Gr_1_S1_16	17_qfk			
SLERR_Gr_1_S1_16	20_q4_centra			
SLERR_Gr_1_S1_16	19_q3_frenatura			
SLERR_Gr_1_S1_16	15_Q3k			
SLERR_Gr_1_S1_16	14_q3k			
SLERR_Gr_1_S1_16	24_q_vento_tot			
SLERR_Gr_1_S1_16	23_q_temp F			
SLERR_Gr_1_S1_16	22_q_ritiro			
SLERR_Gr_1_S1_16	21_q8			
SLERR_Gr_1_S1_17	DEAD	None	None	None
SLERR_Gr_1_S1_17	1_G1_trave			
SLERR_Gr_1_S1_17	2_G1_soletta			
SLERR_Gr_1_S1_17	3_G1_marciapiede			
SLERR_Gr_1_S1_17	4_G1_traverso			
SLERR_Gr_1_S1_17	5_G2_veletta			
SLERR_Gr_1_S1_17	6_G2_impianti			
SLERR_Gr_1_S1_17	7_G2_parapetti			
SLERR_Gr_1_S1_17	8_G2_pavimentazione			
SLERR_Gr_1_S1_17	9_G2_sicurvia			
SLERR_Gr_1_S1_17	11_Q1k			
SLERR_Gr_1_S1_17	10_q1k			
SLERR_Gr_1_S1_17	13_Q2k			
SLERR_Gr_1_S1_17	12_q2k			
SLERR_Gr_1_S1_17	16_Q_zr			
SLERR_Gr_1_S1_17	17_qfk			
SLERR_Gr_1_S1_17	20_q4_centra			
SLERR_Gr_1_S1_17	19_q3_frenatura			
SLERR_Gr_1_S1_17	15_Q3k			
SLERR_Gr_1_S1_17	14_q3k			
SLERR_Gr_1_S1_17	24_q_vento_tot			
SLERR_Gr_1_S1_17	23_q_temp F			
SLERR_Gr_1_S1_17	22_q_ritiro			
SLERR_Gr_1_S1_17	21_q8			
SLERR_Gr_1_S1_18	DEAD	None	None	None
SLERR_Gr_1_S1_18	1_G1_trave			
SLERR_Gr_1_S1_18	2_G1_soletta			
SLERR_Gr_1_S1_18	3_G1_marciapiede			
SLERR_Gr_1_S1_18	4_G1_traverso			
SLERR_Gr_1_S1_18	5_G2_veletta			
SLERR_Gr_1_S1_18	6_G2_impianti			
SLERR_Gr_1_S1_18	7_G2_parapetti			
SLERR_Gr_1_S1_18	8_G2_pavimentazione			
SLERR_Gr_1_S1_18	9_G2_sicurvia			
SLERR_Gr_1_S1_18	11_Q1k			

RELAZIONE DI CALCOLO

COMMESSA	LOTTO	CODIFICA	DOCUMENTO	REV.	FOGLIO
NRIJ	01 D 29	CL	IV0104 001	B	233 di 341

SLERR_Gr_1_S1_18	10_q1k			
SLERR_Gr_1_S1_18	13_Q2k			
SLERR_Gr_1_S1_18	12_q2k			
SLERR_Gr_1_S1_18	16_Q_zr			
SLERR_Gr_1_S1_18	17_qfk			
SLERR_Gr_1_S1_18	20_q4_centr			
SLERR_Gr_1_S1_18	19_q3_frenatura			
SLERR_Gr_1_S1_18	15_Q3k			
SLERR_Gr_1_S1_18	14_q3k			
SLERR_Gr_1_S1_18	24_q_vento_tot			
SLERR_Gr_1_S1_18	23_q_temp F			
SLERR_Gr_1_S1_18	22_q_ritiro			
SLERR_Gr_1_S1_18	21_q8			
SLERR_Gr_1_S1_19	DEAD	None	None	None
SLERR_Gr_1_S1_19	1_G1_trave			
SLERR_Gr_1_S1_19	2_G1_soletta			
SLERR_Gr_1_S1_19	3_G1_marciapiede			
SLERR_Gr_1_S1_19	4_G1_traverso			
SLERR_Gr_1_S1_19	5_G2_veletta			
SLERR_Gr_1_S1_19	6_G2_impianti			
SLERR_Gr_1_S1_19	7_G2_parapetti			
SLERR_Gr_1_S1_19	8_G2_pavimentazione			
SLERR_Gr_1_S1_19	9_G2_sicurvia			
SLERR_Gr_1_S1_19	11_Q1k			
SLERR_Gr_1_S1_19	10_q1k			
SLERR_Gr_1_S1_19	13_Q2k			
SLERR_Gr_1_S1_19	12_q2k			
SLERR_Gr_1_S1_19	16_Q_zr			
SLERR_Gr_1_S1_19	17_qfk			
SLERR_Gr_1_S1_19	20_q4_centr			
SLERR_Gr_1_S1_19	19_q3_frenatura			
SLERR_Gr_1_S1_19	15_Q3k			
SLERR_Gr_1_S1_19	14_q3k			
SLERR_Gr_1_S1_19	24_q_vento_tot			
SLERR_Gr_1_S1_19	23_q_temp F			
SLERR_Gr_1_S1_19	22_q_ritiro			
SLERR_Gr_1_S1_19	21_q8			
SLERR_Gr_1_S1_20	DEAD	None	None	None
SLERR_Gr_1_S1_20	1_G1_trave			
SLERR_Gr_1_S1_20	2_G1_soletta			
SLERR_Gr_1_S1_20	3_G1_marciapiede			
SLERR_Gr_1_S1_20	4_G1_traverso			
SLERR_Gr_1_S1_20	5_G2_veletta			
SLERR_Gr_1_S1_20	6_G2_impianti			
SLERR_Gr_1_S1_20	7_G2_parapetti			
SLERR_Gr_1_S1_20	8_G2_pavimentazione			
SLERR_Gr_1_S1_20	9_G2_sicurvia			
SLERR_Gr_1_S1_20	11_Q1k			
SLERR_Gr_1_S1_20	10_q1k			
SLERR_Gr_1_S1_20	13_Q2k			
SLERR_Gr_1_S1_20	12_q2k			
SLERR_Gr_1_S1_20	16_Q_zr			
SLERR_Gr_1_S1_20	17_qfk			
SLERR_Gr_1_S1_20	20_q4_centr			
SLERR_Gr_1_S1_20	19_q3_frenatura			
SLERR_Gr_1_S1_20	15_Q3k			
SLERR_Gr_1_S1_20	14_q3k			
SLERR_Gr_1_S1_20	24_q_vento_tot			
SLERR_Gr_1_S1_20	23_q_temp F			
SLERR_Gr_1_S1_20	22_q_ritiro			
SLERR_Gr_1_S1_20	21_q8			
SLERR_Gr_1_S1_21	DEAD	None	None	None

RELAZIONE DI CALCOLO

COMMESSA	LOTTO	CODIFICA	DOCUMENTO	REV.	FOGLIO
NRIJ	01 D 29	CL	IV0104 001	B	234 di 341

SLERR_Gr_1_S1_21	1_G1_trave			
SLERR_Gr_1_S1_21	2_G1_soletta			
SLERR_Gr_1_S1_21	3_G1_marciapiede			
SLERR_Gr_1_S1_21	4_G1_traverso			
SLERR_Gr_1_S1_21	5_G2_veletta			
SLERR_Gr_1_S1_21	6_G2_impianti			
SLERR_Gr_1_S1_21	7_G2_parapetti			
SLERR_Gr_1_S1_21	8_G2_pavimentazione			
SLERR_Gr_1_S1_21	9_G2_sicurvia			
SLERR_Gr_1_S1_21	11_Q1k			
SLERR_Gr_1_S1_21	10_q1k			
SLERR_Gr_1_S1_21	13_Q2k			
SLERR_Gr_1_S1_21	12_q2k			
SLERR_Gr_1_S1_21	16_Q_zr			
SLERR_Gr_1_S1_21	17_qfk			
SLERR_Gr_1_S1_21	20_q4_centra			
SLERR_Gr_1_S1_21	19_q3_frenatura			
SLERR_Gr_1_S1_21	15_Q3k			
SLERR_Gr_1_S1_21	14_q3k			
SLERR_Gr_1_S1_21	24_q_vento_tot			
SLERR_Gr_1_S1_21	23_q_temp F			
SLERR_Gr_1_S1_21	22_q_ritiro			
SLERR_Gr_1_S1_21	21_q8			
SLERR_Gr_1_S1_22	DEAD	None	None	None
SLERR_Gr_1_S1_22	1_G1_trave			
SLERR_Gr_1_S1_22	2_G1_soletta			
SLERR_Gr_1_S1_22	3_G1_marciapiede			
SLERR_Gr_1_S1_22	4_G1_traverso			
SLERR_Gr_1_S1_22	5_G2_veletta			
SLERR_Gr_1_S1_22	6_G2_impianti			
SLERR_Gr_1_S1_22	7_G2_parapetti			
SLERR_Gr_1_S1_22	8_G2_pavimentazione			
SLERR_Gr_1_S1_22	9_G2_sicurvia			
SLERR_Gr_1_S1_22	11_Q1k			
SLERR_Gr_1_S1_22	10_q1k			
SLERR_Gr_1_S1_22	13_Q2k			
SLERR_Gr_1_S1_22	12_q2k			
SLERR_Gr_1_S1_22	16_Q_zr			
SLERR_Gr_1_S1_22	17_qfk			
SLERR_Gr_1_S1_22	20_q4_centra			
SLERR_Gr_1_S1_22	19_q3_frenatura			
SLERR_Gr_1_S1_22	15_Q3k			
SLERR_Gr_1_S1_22	14_q3k			
SLERR_Gr_1_S1_22	24_q_vento_tot			
SLERR_Gr_1_S1_22	23_q_temp F			
SLERR_Gr_1_S1_22	22_q_ritiro			
SLERR_Gr_1_S1_22	21_q8			
SLERR_Gr_1_S1_23	DEAD	None	None	None
SLERR_Gr_1_S1_23	1_G1_trave			
SLERR_Gr_1_S1_23	2_G1_soletta			
SLERR_Gr_1_S1_23	3_G1_marciapiede			
SLERR_Gr_1_S1_23	4_G1_traverso			
SLERR_Gr_1_S1_23	5_G2_veletta			
SLERR_Gr_1_S1_23	6_G2_impianti			
SLERR_Gr_1_S1_23	7_G2_parapetti			
SLERR_Gr_1_S1_23	8_G2_pavimentazione			
SLERR_Gr_1_S1_23	9_G2_sicurvia			
SLERR_Gr_1_S1_23	11_Q1k			
SLERR_Gr_1_S1_23	10_q1k			
SLERR_Gr_1_S1_23	13_Q2k			
SLERR_Gr_1_S1_23	12_q2k			
SLERR_Gr_1_S1_23	16_Q_zr			

RELAZIONE DI CALCOLO

COMMESSA	LOTTO	CODIFICA	DOCUMENTO	REV.	FOGLIO
NRIJ	01 D 29	CL	IV0104 001	B	235 di 341

SLERR_Gr_1_S1_23	17_qfk			
SLERR_Gr_1_S1_23	20_q4_centra			
SLERR_Gr_1_S1_23	19_q3_frenatura			
SLERR_Gr_1_S1_23	15_Q3k			
SLERR_Gr_1_S1_23	14_q3k			
SLERR_Gr_1_S1_23	24_q_vento_tot			
SLERR_Gr_1_S1_23	23_q_temp F			
SLERR_Gr_1_S1_23	22_q_ritiro			
SLERR_Gr_1_S1_23	21_q8			
SLERR_Gr_1_S1_24	DEAD	None	None	None
SLERR_Gr_1_S1_24	1_G1_trave			
SLERR_Gr_1_S1_24	2_G1_soletta			
SLERR_Gr_1_S1_24	3_G1_marciapiede			
SLERR_Gr_1_S1_24	4_G1_traverso			
SLERR_Gr_1_S1_24	5_G2_veletta			
SLERR_Gr_1_S1_24	6_G2_impanti			
SLERR_Gr_1_S1_24	7_G2_parapetti			
SLERR_Gr_1_S1_24	8_G2_pavimentazione			
SLERR_Gr_1_S1_24	9_G2_sicurvia			
SLERR_Gr_1_S1_24	11_Q1k			
SLERR_Gr_1_S1_24	10_q1k			
SLERR_Gr_1_S1_24	13_Q2k			
SLERR_Gr_1_S1_24	12_q2k			
SLERR_Gr_1_S1_24	16_Q_zr			
SLERR_Gr_1_S1_24	17_qfk			
SLERR_Gr_1_S1_24	20_q4_centra			
SLERR_Gr_1_S1_24	19_q3_frenatura			
SLERR_Gr_1_S1_24	15_Q3k			
SLERR_Gr_1_S1_24	14_q3k			
SLERR_Gr_1_S1_24	24_q_vento_tot			
SLERR_Gr_1_S1_24	23_q_temp F			
SLERR_Gr_1_S1_24	22_q_ritiro			
SLERR_Gr_1_S1_24	21_q8			
SLERR_Gr_1_S1_25	DEAD	None	None	None
SLERR_Gr_1_S1_25	1_G1_trave			
SLERR_Gr_1_S1_25	2_G1_soletta			
SLERR_Gr_1_S1_25	3_G1_marciapiede			
SLERR_Gr_1_S1_25	4_G1_traverso			
SLERR_Gr_1_S1_25	5_G2_veletta			
SLERR_Gr_1_S1_25	6_G2_impanti			
SLERR_Gr_1_S1_25	7_G2_parapetti			
SLERR_Gr_1_S1_25	8_G2_pavimentazione			
SLERR_Gr_1_S1_25	9_G2_sicurvia			
SLERR_Gr_1_S1_25	11_Q1k			
SLERR_Gr_1_S1_25	10_q1k			
SLERR_Gr_1_S1_25	13_Q2k			
SLERR_Gr_1_S1_25	12_q2k			
SLERR_Gr_1_S1_25	16_Q_zr			
SLERR_Gr_1_S1_25	17_qfk			
SLERR_Gr_1_S1_25	20_q4_centra			
SLERR_Gr_1_S1_25	19_q3_frenatura			
SLERR_Gr_1_S1_25	15_Q3k			
SLERR_Gr_1_S1_25	14_q3k			
SLERR_Gr_1_S1_25	24_q_vento_tot			
SLERR_Gr_1_S1_25	23_q_temp F			
SLERR_Gr_1_S1_25	22_q_ritiro			
SLERR_Gr_1_S1_25	21_q8			
SLERR_Gr_1_S1_26	DEAD	None	None	None
SLERR_Gr_1_S1_26	1_G1_trave			
SLERR_Gr_1_S1_26	2_G1_soletta			
SLERR_Gr_1_S1_26	3_G1_marciapiede			
SLERR_Gr_1_S1_26	4_G1_traverso			

RELAZIONE DI CALCOLO

COMMESSA	LOTTO	CODIFICA	DOCUMENTO	REV.	FOGLIO
NRIJ	01 D 29	CL	IV0104 001	B	236 di 341

SLERR_Gr_1_S1_26	5_G2_veletta			
SLERR_Gr_1_S1_26	6_G2_impianti			
SLERR_Gr_1_S1_26	7_G2_parapetti			
SLERR_Gr_1_S1_26	8_G2_pavimentazione			
SLERR_Gr_1_S1_26	9_G2_sicurvia			
SLERR_Gr_1_S1_26	11_Q1k			
SLERR_Gr_1_S1_26	10_q1k			
SLERR_Gr_1_S1_26	13_Q2k			
SLERR_Gr_1_S1_26	12_q2k			
SLERR_Gr_1_S1_26	16_Q_zr			
SLERR_Gr_1_S1_26	17_qfk			
SLERR_Gr_1_S1_26	20_q4_centra			
SLERR_Gr_1_S1_26	19_q3_frenatura			
SLERR_Gr_1_S1_26	15_Q3k			
SLERR_Gr_1_S1_26	14_q3k			
SLERR_Gr_1_S1_26	24_q_vento_tot			
SLERR_Gr_1_S1_26	23_q_temp F			
SLERR_Gr_1_S1_26	22_q_ritiro			
SLERR_Gr_1_S1_26	21_q8			
SLERR_Gr_1_S1_27	DEAD	None	None	None
SLERR_Gr_1_S1_27	1_G1_trave			
SLERR_Gr_1_S1_27	2_G1_soletta			
SLERR_Gr_1_S1_27	3_G1_marciapiede			
SLERR_Gr_1_S1_27	4_G1_traverso			
SLERR_Gr_1_S1_27	5_G2_veletta			
SLERR_Gr_1_S1_27	6_G2_impianti			
SLERR_Gr_1_S1_27	7_G2_parapetti			
SLERR_Gr_1_S1_27	8_G2_pavimentazione			
SLERR_Gr_1_S1_27	9_G2_sicurvia			
SLERR_Gr_1_S1_27	11_Q1k			
SLERR_Gr_1_S1_27	10_q1k			
SLERR_Gr_1_S1_27	13_Q2k			
SLERR_Gr_1_S1_27	12_q2k			
SLERR_Gr_1_S1_27	16_Q_zr			
SLERR_Gr_1_S1_27	17_qfk			
SLERR_Gr_1_S1_27	20_q4_centra			
SLERR_Gr_1_S1_27	19_q3_frenatura			
SLERR_Gr_1_S1_27	15_Q3k			
SLERR_Gr_1_S1_27	14_q3k			
SLERR_Gr_1_S1_27	24_q_vento_tot			
SLERR_Gr_1_S1_27	23_q_temp F			
SLERR_Gr_1_S1_27	22_q_ritiro			
SLERR_Gr_1_S1_27	21_q8			
SLERR_Gr_1_S1_28	DEAD	None	None	None
SLERR_Gr_1_S1_28	1_G1_trave			
SLERR_Gr_1_S1_28	2_G1_soletta			
SLERR_Gr_1_S1_28	3_G1_marciapiede			
SLERR_Gr_1_S1_28	4_G1_traverso			
SLERR_Gr_1_S1_28	5_G2_veletta			
SLERR_Gr_1_S1_28	6_G2_impianti			
SLERR_Gr_1_S1_28	7_G2_parapetti			
SLERR_Gr_1_S1_28	8_G2_pavimentazione			
SLERR_Gr_1_S1_28	9_G2_sicurvia			
SLERR_Gr_1_S1_28	11_Q1k			
SLERR_Gr_1_S1_28	10_q1k			
SLERR_Gr_1_S1_28	13_Q2k			
SLERR_Gr_1_S1_28	12_q2k			
SLERR_Gr_1_S1_28	16_Q_zr			
SLERR_Gr_1_S1_28	17_qfk			
SLERR_Gr_1_S1_28	20_q4_centra			
SLERR_Gr_1_S1_28	19_q3_frenatura			
SLERR_Gr_1_S1_28	15_Q3k			

RELAZIONE DI CALCOLO

COMMESSA	LOTTO	CODIFICA	DOCUMENTO	REV.	FOGLIO
NRIJ	01 D 29	CL	IV0104 001	B	237 di 341

SLERR_Gr_1_S1_28	14_q3k			
SLERR_Gr_1_S1_28	24_q_vento_tot			
SLERR_Gr_1_S1_28	23_q_temp F			
SLERR_Gr_1_S1_28	22_q_ritiro			
SLERR_Gr_1_S1_28	21_q8			
SLERR_Gr_1_S1_29	DEAD	None	None	None
SLERR_Gr_1_S1_29	1_G1_trave			
SLERR_Gr_1_S1_29	2_G1_soletta			
SLERR_Gr_1_S1_29	3_G1_marciapiede			
SLERR_Gr_1_S1_29	4_G1_traverso			
SLERR_Gr_1_S1_29	5_G2_veletta			
SLERR_Gr_1_S1_29	6_G2_impianti			
SLERR_Gr_1_S1_29	7_G2_parapetti			
SLERR_Gr_1_S1_29	8_G2_pavimentazione			
SLERR_Gr_1_S1_29	9_G2_sicurvia			
SLERR_Gr_1_S1_29	11_Q1k			
SLERR_Gr_1_S1_29	10_q1k			
SLERR_Gr_1_S1_29	13_Q2k			
SLERR_Gr_1_S1_29	12_q2k			
SLERR_Gr_1_S1_29	16_Q_zr			
SLERR_Gr_1_S1_29	17_qfk			
SLERR_Gr_1_S1_29	20_q4_cent			
SLERR_Gr_1_S1_29	19_q3_frenatura			
SLERR_Gr_1_S1_29	15_Q3k			
SLERR_Gr_1_S1_29	14_q3k			
SLERR_Gr_1_S1_29	24_q_vento_tot			
SLERR_Gr_1_S1_29	23_q_temp F			
SLERR_Gr_1_S1_29	22_q_ritiro			
SLERR_Gr_1_S1_29	21_q8			
SLERR_Gr_1_S1_30	DEAD	None	None	None
SLERR_Gr_1_S1_30	1_G1_trave			
SLERR_Gr_1_S1_30	2_G1_soletta			
SLERR_Gr_1_S1_30	3_G1_marciapiede			
SLERR_Gr_1_S1_30	4_G1_traverso			
SLERR_Gr_1_S1_30	5_G2_veletta			
SLERR_Gr_1_S1_30	6_G2_impianti			
SLERR_Gr_1_S1_30	7_G2_parapetti			
SLERR_Gr_1_S1_30	8_G2_pavimentazione			
SLERR_Gr_1_S1_30	9_G2_sicurvia			
SLERR_Gr_1_S1_30	11_Q1k			
SLERR_Gr_1_S1_30	10_q1k			
SLERR_Gr_1_S1_30	13_Q2k			
SLERR_Gr_1_S1_30	12_q2k			
SLERR_Gr_1_S1_30	16_Q_zr			
SLERR_Gr_1_S1_30	17_qfk			
SLERR_Gr_1_S1_30	20_q4_cent			
SLERR_Gr_1_S1_30	19_q3_frenatura			
SLERR_Gr_1_S1_30	15_Q3k			
SLERR_Gr_1_S1_30	14_q3k			
SLERR_Gr_1_S1_30	24_q_vento_tot			
SLERR_Gr_1_S1_30	23_q_temp F			
SLERR_Gr_1_S1_30	22_q_ritiro			
SLERR_Gr_1_S1_30	21_q8			
SLERR_Gr_1_S1_31	DEAD	None	None	None
SLERR_Gr_1_S1_31	1_G1_trave			
SLERR_Gr_1_S1_31	2_G1_soletta			
SLERR_Gr_1_S1_31	3_G1_marciapiede			
SLERR_Gr_1_S1_31	4_G1_traverso			
SLERR_Gr_1_S1_31	5_G2_veletta			
SLERR_Gr_1_S1_31	6_G2_impianti			
SLERR_Gr_1_S1_31	7_G2_parapetti			
SLERR_Gr_1_S1_31	8_G2_pavimentazione			

RELAZIONE DI CALCOLO

COMMESSA	LOTTO	CODIFICA	DOCUMENTO	REV.	FOGLIO
NRIJ	01 D 29	CL	IV0104 001	B	238 di 341

SLERR_Gr_1_S1_31	9_G2_sicurvia			
SLERR_Gr_1_S1_31	11_Q1k			
SLERR_Gr_1_S1_31	10_q1k			
SLERR_Gr_1_S1_31	13_Q2k			
SLERR_Gr_1_S1_31	12_q2k			
SLERR_Gr_1_S1_31	16_Q_zr			
SLERR_Gr_1_S1_31	17_qfk			
SLERR_Gr_1_S1_31	20_q4_cent			
SLERR_Gr_1_S1_31	19_q3_frenatura			
SLERR_Gr_1_S1_31	15_Q3k			
SLERR_Gr_1_S1_31	14_q3k			
SLERR_Gr_1_S1_31	24_q_vento_tot			
SLERR_Gr_1_S1_31	23_q_temp F			
SLERR_Gr_1_S1_31	22_q_ritiro			
SLERR_Gr_1_S1_31	21_q8			
SLERR_Gr_1_S1_32	DEAD	None	None	None
SLERR_Gr_1_S1_32	1_G1_trave			
SLERR_Gr_1_S1_32	2_G1_soletta			
SLERR_Gr_1_S1_32	3_G1_marciapiede			
SLERR_Gr_1_S1_32	4_G1_traverso			
SLERR_Gr_1_S1_32	5_G2_veletta			
SLERR_Gr_1_S1_32	6_G2_impianti			
SLERR_Gr_1_S1_32	7_G2_parapetti			
SLERR_Gr_1_S1_32	8_G2_pavimentazione			
SLERR_Gr_1_S1_32	9_G2_sicurvia			
SLERR_Gr_1_S1_32	11_Q1k			
SLERR_Gr_1_S1_32	10_q1k			
SLERR_Gr_1_S1_32	13_Q2k			
SLERR_Gr_1_S1_32	12_q2k			
SLERR_Gr_1_S1_32	16_Q_zr			
SLERR_Gr_1_S1_32	17_qfk			
SLERR_Gr_1_S1_32	20_q4_cent			
SLERR_Gr_1_S1_32	19_q3_frenatura			
SLERR_Gr_1_S1_32	15_Q3k			
SLERR_Gr_1_S1_32	14_q3k			
SLERR_Gr_1_S1_32	24_q_vento_tot			
SLERR_Gr_1_S1_32	23_q_temp F			
SLERR_Gr_1_S1_32	22_q_ritiro			
SLERR_Gr_1_S1_32	21_q8			
SLERR_Gr_1_S1_33	DEAD	None	None	None
SLERR_Gr_1_S1_33	1_G1_trave			
SLERR_Gr_1_S1_33	2_G1_soletta			
SLERR_Gr_1_S1_33	3_G1_marciapiede			
SLERR_Gr_1_S1_33	4_G1_traverso			
SLERR_Gr_1_S1_33	5_G2_veletta			
SLERR_Gr_1_S1_33	6_G2_impianti			
SLERR_Gr_1_S1_33	7_G2_parapetti			
SLERR_Gr_1_S1_33	8_G2_pavimentazione			
SLERR_Gr_1_S1_33	9_G2_sicurvia			
SLERR_Gr_1_S1_33	11_Q1k			
SLERR_Gr_1_S1_33	10_q1k			
SLERR_Gr_1_S1_33	13_Q2k			
SLERR_Gr_1_S1_33	12_q2k			
SLERR_Gr_1_S1_33	16_Q_zr			
SLERR_Gr_1_S1_33	17_qfk			
SLERR_Gr_1_S1_33	20_q4_cent			
SLERR_Gr_1_S1_33	19_q3_frenatura			
SLERR_Gr_1_S1_33	15_Q3k			
SLERR_Gr_1_S1_33	14_q3k			
SLERR_Gr_1_S1_33	24_q_vento_tot			
SLERR_Gr_1_S1_33	23_q_temp F			
SLERR_Gr_1_S1_33	22_q_ritiro			

RELAZIONE DI CALCOLO

COMMESSA	LOTTO	CODIFICA	DOCUMENTO	REV.	FOGLIO
NRIJ	01 D 29	CL	IV0104 001	B	239 di 341

SLERR_Gr_1_S1_33	21_q8			
SLERR_Gr_1_S1_34	DEAD	None	None	None
SLERR_Gr_1_S1_34	1_G1_trave			
SLERR_Gr_1_S1_34	2_G1_soletta			
SLERR_Gr_1_S1_34	3_G1_marciapiede			
SLERR_Gr_1_S1_34	4_G1_traverso			
SLERR_Gr_1_S1_34	5_G2_veletta			
SLERR_Gr_1_S1_34	6_G2_impianti			
SLERR_Gr_1_S1_34	7_G2_parapetti			
SLERR_Gr_1_S1_34	8_G2_pavimentazione			
SLERR_Gr_1_S1_34	9_G2_sicurvia			
SLERR_Gr_1_S1_34	11_Q1k			
SLERR_Gr_1_S1_34	10_q1k			
SLERR_Gr_1_S1_34	13_Q2k			
SLERR_Gr_1_S1_34	12_q2k			
SLERR_Gr_1_S1_34	16_Q_zr			
SLERR_Gr_1_S1_34	17_qfk			
SLERR_Gr_1_S1_34	20_q4_centra			
SLERR_Gr_1_S1_34	19_q3_frenatura			
SLERR_Gr_1_S1_34	15_Q3k			
SLERR_Gr_1_S1_34	14_q3k			
SLERR_Gr_1_S1_34	24_q_vento_tot			
SLERR_Gr_1_S1_34	23_q_temp F			
SLERR_Gr_1_S1_34	22_q_ritiro			
SLERR_Gr_1_S1_34	21_q8			
SLERR_Gr_1_S1_35	DEAD	None	None	None
SLERR_Gr_1_S1_35	1_G1_trave			
SLERR_Gr_1_S1_35	2_G1_soletta			
SLERR_Gr_1_S1_35	3_G1_marciapiede			
SLERR_Gr_1_S1_35	4_G1_traverso			
SLERR_Gr_1_S1_35	5_G2_veletta			
SLERR_Gr_1_S1_35	6_G2_impianti			
SLERR_Gr_1_S1_35	7_G2_parapetti			
SLERR_Gr_1_S1_35	8_G2_pavimentazione			
SLERR_Gr_1_S1_35	9_G2_sicurvia			
SLERR_Gr_1_S1_35	11_Q1k			
SLERR_Gr_1_S1_35	10_q1k			
SLERR_Gr_1_S1_35	13_Q2k			
SLERR_Gr_1_S1_35	12_q2k			
SLERR_Gr_1_S1_35	16_Q_zr			
SLERR_Gr_1_S1_35	17_qfk			
SLERR_Gr_1_S1_35	20_q4_centra			
SLERR_Gr_1_S1_35	19_q3_frenatura			
SLERR_Gr_1_S1_35	15_Q3k			
SLERR_Gr_1_S1_35	14_q3k			
SLERR_Gr_1_S1_35	24_q_vento_tot			
SLERR_Gr_1_S1_35	23_q_temp F			
SLERR_Gr_1_S1_35	22_q_ritiro			
SLERR_Gr_1_S1_35	21_q8			
SLERR_Gr_1_S1_36	DEAD	None	None	None
SLERR_Gr_1_S1_36	1_G1_trave			
SLERR_Gr_1_S1_36	2_G1_soletta			
SLERR_Gr_1_S1_36	3_G1_marciapiede			
SLERR_Gr_1_S1_36	4_G1_traverso			
SLERR_Gr_1_S1_36	5_G2_veletta			
SLERR_Gr_1_S1_36	6_G2_impianti			
SLERR_Gr_1_S1_36	7_G2_parapetti			
SLERR_Gr_1_S1_36	8_G2_pavimentazione			
SLERR_Gr_1_S1_36	9_G2_sicurvia			
SLERR_Gr_1_S1_36	11_Q1k			
SLERR_Gr_1_S1_36	10_q1k			
SLERR_Gr_1_S1_36	13_Q2k			

RELAZIONE DI CALCOLO

COMMESSA	LOTTO	CODIFICA	DOCUMENTO	REV.	FOGLIO
NRIJ	01 D 29	CL	IV0104 001	B	240 di 341

SLERR_Gr_1_S1_36	12_q2k			
SLERR_Gr_1_S1_36	16_Q_zr			
SLERR_Gr_1_S1_36	17_qfk			
SLERR_Gr_1_S1_36	20_q4_centra			
SLERR_Gr_1_S1_36	19_q3_frenatura			
SLERR_Gr_1_S1_36	15_Q3k			
SLERR_Gr_1_S1_36	14_q3k			
SLERR_Gr_1_S1_36	24_q_vento_tot			
SLERR_Gr_1_S1_36	23_q_temp F			
SLERR_Gr_1_S1_36	22_q_ritiro			
SLERR_Gr_1_S1_36	21_q8			
SLERR_Gr_1_S1_37	DEAD	None	None	None
SLERR_Gr_1_S1_37	1_G1_trave			
SLERR_Gr_1_S1_37	2_G1_soletta			
SLERR_Gr_1_S1_37	3_G1_marciapiede			
SLERR_Gr_1_S1_37	4_G1_traverso			
SLERR_Gr_1_S1_37	5_G2_veletta			
SLERR_Gr_1_S1_37	6_G2_impianti			
SLERR_Gr_1_S1_37	7_G2_parapetti			
SLERR_Gr_1_S1_37	8_G2_pavimentazione			
SLERR_Gr_1_S1_37	9_G2_sicurvia			
SLERR_Gr_1_S1_37	11_Q1k			
SLERR_Gr_1_S1_37	10_q1k			
SLERR_Gr_1_S1_37	13_Q2k			
SLERR_Gr_1_S1_37	12_q2k			
SLERR_Gr_1_S1_37	16_Q_zr			
SLERR_Gr_1_S1_37	17_qfk			
SLERR_Gr_1_S1_37	20_q4_centra			
SLERR_Gr_1_S1_37	19_q3_frenatura			
SLERR_Gr_1_S1_37	15_Q3k			
SLERR_Gr_1_S1_37	14_q3k			
SLERR_Gr_1_S1_37	24_q_vento_tot			
SLERR_Gr_1_S1_37	23_q_temp F			
SLERR_Gr_1_S1_37	22_q_ritiro			
SLERR_Gr_1_S1_37	21_q8			
SLERR_Gr_1_S1_38	DEAD	None	None	None
SLERR_Gr_1_S1_38	1_G1_trave			
SLERR_Gr_1_S1_38	2_G1_soletta			
SLERR_Gr_1_S1_38	3_G1_marciapiede			
SLERR_Gr_1_S1_38	4_G1_traverso			
SLERR_Gr_1_S1_38	5_G2_veletta			
SLERR_Gr_1_S1_38	6_G2_impianti			
SLERR_Gr_1_S1_38	7_G2_parapetti			
SLERR_Gr_1_S1_38	8_G2_pavimentazione			
SLERR_Gr_1_S1_38	9_G2_sicurvia			
SLERR_Gr_1_S1_38	11_Q1k			
SLERR_Gr_1_S1_38	10_q1k			
SLERR_Gr_1_S1_38	13_Q2k			
SLERR_Gr_1_S1_38	12_q2k			
SLERR_Gr_1_S1_38	16_Q_zr			
SLERR_Gr_1_S1_38	17_qfk			
SLERR_Gr_1_S1_38	20_q4_centra			
SLERR_Gr_1_S1_38	19_q3_frenatura			
SLERR_Gr_1_S1_38	15_Q3k			
SLERR_Gr_1_S1_38	14_q3k			
SLERR_Gr_1_S1_38	24_q_vento_tot			
SLERR_Gr_1_S1_38	23_q_temp F			
SLERR_Gr_1_S1_38	22_q_ritiro			
SLERR_Gr_1_S1_38	21_q8			
SLERR_Gr_1_S1_39	DEAD	None	None	None
SLERR_Gr_1_S1_39	1_G1_trave			
SLERR_Gr_1_S1_39	2_G1_soletta			

RELAZIONE DI CALCOLO

COMMESSA	LOTTO	CODIFICA	DOCUMENTO	REV.	FOGLIO
NRIJ	01 D 29	CL	IV0104 001	B	241 di 341

SLERR_Gr_1_S1_39	3_G1_marcia piede			
SLERR_Gr_1_S1_39	4_G1_traverso			
SLERR_Gr_1_S1_39	5_G2_veletta			
SLERR_Gr_1_S1_39	6_G2_impianti			
SLERR_Gr_1_S1_39	7_G2_parapetti			
SLERR_Gr_1_S1_39	8_G2_pavimentazione			
SLERR_Gr_1_S1_39	9_G2_sicurvia			
SLERR_Gr_1_S1_39	11_Q1k			
SLERR_Gr_1_S1_39	10_q1k			
SLERR_Gr_1_S1_39	13_Q2k			
SLERR_Gr_1_S1_39	12_q2k			
SLERR_Gr_1_S1_39	16_Q_zr			
SLERR_Gr_1_S1_39	17_qfk			
SLERR_Gr_1_S1_39	20_q4_centra			
SLERR_Gr_1_S1_39	19_q3_frenatura			
SLERR_Gr_1_S1_39	15_Q3k			
SLERR_Gr_1_S1_39	14_q3k			
SLERR_Gr_1_S1_39	24_q_vento_tot			
SLERR_Gr_1_S1_39	23_q_temp F			
SLERR_Gr_1_S1_39	22_q_ritiro			
SLERR_Gr_1_S1_39	21_q8			
SLERR_Gr_1_S1_40	DEAD	None	None	None
SLERR_Gr_1_S1_40	1_G1_trave			
SLERR_Gr_1_S1_40	2_G1_soletta			
SLERR_Gr_1_S1_40	3_G1_marcia piede			
SLERR_Gr_1_S1_40	4_G1_traverso			
SLERR_Gr_1_S1_40	5_G2_veletta			
SLERR_Gr_1_S1_40	6_G2_impianti			
SLERR_Gr_1_S1_40	7_G2_parapetti			
SLERR_Gr_1_S1_40	8_G2_pavimentazione			
SLERR_Gr_1_S1_40	9_G2_sicurvia			
SLERR_Gr_1_S1_40	11_Q1k			
SLERR_Gr_1_S1_40	10_q1k			
SLERR_Gr_1_S1_40	13_Q2k			
SLERR_Gr_1_S1_40	12_q2k			
SLERR_Gr_1_S1_40	16_Q_zr			
SLERR_Gr_1_S1_40	17_qfk			
SLERR_Gr_1_S1_40	20_q4_centra			
SLERR_Gr_1_S1_40	19_q3_frenatura			
SLERR_Gr_1_S1_40	15_Q3k			
SLERR_Gr_1_S1_40	14_q3k			
SLERR_Gr_1_S1_40	24_q_vento_tot			
SLERR_Gr_1_S1_40	23_q_temp F			
SLERR_Gr_1_S1_40	22_q_ritiro			
SLERR_Gr_1_S1_40	21_q8			
SLEFR_Gr_2A_S1_1	DEAD	None	None	None
SLEFR_Gr_2A_S1_1	1_G1_trave			
SLEFR_Gr_2A_S1_1	2_G1_soletta			
SLEFR_Gr_2A_S1_1	3_G1_marcia piede			
SLEFR_Gr_2A_S1_1	4_G1_traverso			
SLEFR_Gr_2A_S1_1	5_G2_veletta			
SLEFR_Gr_2A_S1_1	6_G2_impianti			
SLEFR_Gr_2A_S1_1	7_G2_parapetti			
SLEFR_Gr_2A_S1_1	8_G2_pavimentazione			
SLEFR_Gr_2A_S1_1	9_G2_sicurvia			
SLEFR_Gr_2A_S1_1	11_Q1k			
SLEFR_Gr_2A_S1_1	10_q1k			
SLEFR_Gr_2A_S1_1	13_Q2k			
SLEFR_Gr_2A_S1_1	12_q2k			
SLEFR_Gr_2A_S1_1	16_Q_zr			
SLEFR_Gr_2A_S1_1	17_qfk			
SLEFR_Gr_2A_S1_1	20_q4_centra			

RELAZIONE DI CALCOLO

COMMESSA	LOTTO	CODIFICA	DOCUMENTO	REV.	FOGLIO
NRIJ	01 D 29	CL	IV0104 001	B	242 di 341

SLEFR_Gr_2A_S1_1	19_q3_frenatura			
SLEFR_Gr_2A_S1_1	15_Q3k			
SLEFR_Gr_2A_S1_1	14_q3k			
SLEFR_Gr_2A_S1_1	24_q_vento_tot			
SLEFR_Gr_2A_S1_1	23_q_temp F			
SLEFR_Gr_2A_S1_1	22_q_ritiro			
SLEFR_Gr_2A_S1_1	21_q8			
SLEFR_Gr_2A_S1_2	DEAD	None	None	None
SLEFR_Gr_2A_S1_2	1_G1_trave			
SLEFR_Gr_2A_S1_2	2_G1_soletta			
SLEFR_Gr_2A_S1_2	3_G1_marcia piede			
SLEFR_Gr_2A_S1_2	4_G1_traverso			
SLEFR_Gr_2A_S1_2	5_G2_veletta			
SLEFR_Gr_2A_S1_2	6_G2_impianti			
SLEFR_Gr_2A_S1_2	7_G2_parapetti			
SLEFR_Gr_2A_S1_2	8_G2_pavimentazione			
SLEFR_Gr_2A_S1_2	9_G2_sicurvia			
SLEFR_Gr_2A_S1_2	11_Q1k			
SLEFR_Gr_2A_S1_2	10_q1k			
SLEFR_Gr_2A_S1_2	13_Q2k			
SLEFR_Gr_2A_S1_2	12_q2k			
SLEFR_Gr_2A_S1_2	16_Q_zr			
SLEFR_Gr_2A_S1_2	17_qfk			
SLEFR_Gr_2A_S1_2	20_q4_centr			
SLEFR_Gr_2A_S1_2	19_q3_frenatura			
SLEFR_Gr_2A_S1_2	15_Q3k			
SLEFR_Gr_2A_S1_2	14_q3k			
SLEFR_Gr_2A_S1_2	24_q_vento_tot			
SLEFR_Gr_2A_S1_2	23_q_temp F			
SLEFR_Gr_2A_S1_2	22_q_ritiro			
SLEFR_Gr_2A_S1_2	21_q8			
SLEFR_Gr_2A_S1_3	DEAD	None	None	None
SLEFR_Gr_2A_S1_3	1_G1_trave			
SLEFR_Gr_2A_S1_3	2_G1_soletta			
SLEFR_Gr_2A_S1_3	3_G1_marcia piede			
SLEFR_Gr_2A_S1_3	4_G1_traverso			
SLEFR_Gr_2A_S1_3	5_G2_veletta			
SLEFR_Gr_2A_S1_3	6_G2_impianti			
SLEFR_Gr_2A_S1_3	7_G2_parapetti			
SLEFR_Gr_2A_S1_3	8_G2_pavimentazione			
SLEFR_Gr_2A_S1_3	9_G2_sicurvia			
SLEFR_Gr_2A_S1_3	11_Q1k			
SLEFR_Gr_2A_S1_3	10_q1k			
SLEFR_Gr_2A_S1_3	13_Q2k			
SLEFR_Gr_2A_S1_3	12_q2k			
SLEFR_Gr_2A_S1_3	16_Q_zr			
SLEFR_Gr_2A_S1_3	17_qfk			
SLEFR_Gr_2A_S1_3	20_q4_centr			
SLEFR_Gr_2A_S1_3	19_q3_frenatura			
SLEFR_Gr_2A_S1_3	15_Q3k			
SLEFR_Gr_2A_S1_3	14_q3k			
SLEFR_Gr_2A_S1_3	24_q_vento_tot			
SLEFR_Gr_2A_S1_3	23_q_temp F			
SLEFR_Gr_2A_S1_3	22_q_ritiro			
SLEFR_Gr_2A_S1_3	21_q8			
SLEFR_Gr_2A_S1_4	DEAD	None	None	None
SLEFR_Gr_2A_S1_4	1_G1_trave			
SLEFR_Gr_2A_S1_4	2_G1_soletta			
SLEFR_Gr_2A_S1_4	3_G1_marcia piede			
SLEFR_Gr_2A_S1_4	4_G1_traverso			
SLEFR_Gr_2A_S1_4	5_G2_veletta			
SLEFR_Gr_2A_S1_4	6_G2_impianti			

RELAZIONE DI CALCOLO

COMMESSA	LOTTO	CODIFICA	DOCUMENTO	REV.	FOGLIO
NRIJ	01 D 29	CL	IV0104 001	B	243 di 341

SLEFR_Gr_2A_S1_4	7_G2_parapetti			
SLEFR_Gr_2A_S1_4	8_G2_pavimentazione			
SLEFR_Gr_2A_S1_4	9_G2_sicurvia			
SLEFR_Gr_2A_S1_4	11_Q1k			
SLEFR_Gr_2A_S1_4	10_q1k			
SLEFR_Gr_2A_S1_4	13_Q2k			
SLEFR_Gr_2A_S1_4	12_q2k			
SLEFR_Gr_2A_S1_4	16_Q_zr			
SLEFR_Gr_2A_S1_4	17_qfk			
SLEFR_Gr_2A_S1_4	20_q4_centra			
SLEFR_Gr_2A_S1_4	19_q3_frenatura			
SLEFR_Gr_2A_S1_4	15_Q3k			
SLEFR_Gr_2A_S1_4	14_q3k			
SLEFR_Gr_2A_S1_4	24_q_vento_tot			
SLEFR_Gr_2A_S1_4	23_q_temp F			
SLEFR_Gr_2A_S1_4	22_q_ritiro			
SLEFR_Gr_2A_S1_4	21_q8			
SLEFR_Gr_2A_S1_5	DEAD	None	None	None
SLEFR_Gr_2A_S1_5	1_G1_trave			
SLEFR_Gr_2A_S1_5	2_G1_solella			
SLEFR_Gr_2A_S1_5	3_G1_marciapiede			
SLEFR_Gr_2A_S1_5	4_G1_traverso			
SLEFR_Gr_2A_S1_5	5_G2_veletta			
SLEFR_Gr_2A_S1_5	6_G2_impianti			
SLEFR_Gr_2A_S1_5	7_G2_parapetti			
SLEFR_Gr_2A_S1_5	8_G2_pavimentazione			
SLEFR_Gr_2A_S1_5	9_G2_sicurvia			
SLEFR_Gr_2A_S1_5	11_Q1k			
SLEFR_Gr_2A_S1_5	10_q1k			
SLEFR_Gr_2A_S1_5	13_Q2k			
SLEFR_Gr_2A_S1_5	12_q2k			
SLEFR_Gr_2A_S1_5	16_Q_zr			
SLEFR_Gr_2A_S1_5	17_qfk			
SLEFR_Gr_2A_S1_5	20_q4_centra			
SLEFR_Gr_2A_S1_5	19_q3_frenatura			
SLEFR_Gr_2A_S1_5	15_Q3k			
SLEFR_Gr_2A_S1_5	14_q3k			
SLEFR_Gr_2A_S1_5	24_q_vento_tot			
SLEFR_Gr_2A_S1_5	23_q_temp F			
SLEFR_Gr_2A_S1_5	22_q_ritiro			
SLEFR_Gr_2A_S1_5	21_q8			
SLEFR_Gr_2A_S1_6	DEAD	None	None	None
SLEFR_Gr_2A_S1_6	1_G1_trave			
SLEFR_Gr_2A_S1_6	2_G1_solella			
SLEFR_Gr_2A_S1_6	3_G1_marciapiede			
SLEFR_Gr_2A_S1_6	4_G1_traverso			
SLEFR_Gr_2A_S1_6	5_G2_veletta			
SLEFR_Gr_2A_S1_6	6_G2_impianti			
SLEFR_Gr_2A_S1_6	7_G2_parapetti			
SLEFR_Gr_2A_S1_6	8_G2_pavimentazione			
SLEFR_Gr_2A_S1_6	9_G2_sicurvia			
SLEFR_Gr_2A_S1_6	11_Q1k			
SLEFR_Gr_2A_S1_6	10_q1k			
SLEFR_Gr_2A_S1_6	13_Q2k			
SLEFR_Gr_2A_S1_6	12_q2k			
SLEFR_Gr_2A_S1_6	16_Q_zr			
SLEFR_Gr_2A_S1_6	17_qfk			
SLEFR_Gr_2A_S1_6	20_q4_centra			
SLEFR_Gr_2A_S1_6	19_q3_frenatura			
SLEFR_Gr_2A_S1_6	15_Q3k			
SLEFR_Gr_2A_S1_6	14_q3k			
SLEFR_Gr_2A_S1_6	24_q_vento_tot			

RELAZIONE DI CALCOLO

COMMESSA	LOTTO	CODIFICA	DOCUMENTO	REV.	FOGLIO
NRIJ	01 D 29	CL	IV0104 001	B	244 di 341

SLEFR_Gr_2A_S1_6	23_q_temp F			
SLEFR_Gr_2A_S1_6	22_q_ritiro			
SLEFR_Gr_2A_S1_6	21_q8			
SLEFR_Gr_2A_S1_7	DEAD	None	None	None
SLEFR_Gr_2A_S1_7	1_G1_trave			
SLEFR_Gr_2A_S1_7	2_G1_soletta			
SLEFR_Gr_2A_S1_7	3_G1_marcia piede			
SLEFR_Gr_2A_S1_7	4_G1_traverso			
SLEFR_Gr_2A_S1_7	5_G2_veletta			
SLEFR_Gr_2A_S1_7	6_G2_impianti			
SLEFR_Gr_2A_S1_7	7_G2_parapetti			
SLEFR_Gr_2A_S1_7	8_G2_pavimentazione			
SLEFR_Gr_2A_S1_7	9_G2_sicurvia			
SLEFR_Gr_2A_S1_7	11_Q1k			
SLEFR_Gr_2A_S1_7	10_q1k			
SLEFR_Gr_2A_S1_7	13_Q2k			
SLEFR_Gr_2A_S1_7	12_q2k			
SLEFR_Gr_2A_S1_7	16_Q_zr			
SLEFR_Gr_2A_S1_7	17_qfk			
SLEFR_Gr_2A_S1_7	20_q4_centra			
SLEFR_Gr_2A_S1_7	19_q3_frenatura			
SLEFR_Gr_2A_S1_7	15_Q3k			
SLEFR_Gr_2A_S1_7	14_q3k			
SLEFR_Gr_2A_S1_7	24_q_vento_tot			
SLEFR_Gr_2A_S1_7	23_q_temp F			
SLEFR_Gr_2A_S1_7	22_q_ritiro			
SLEFR_Gr_2A_S1_7	21_q8			
SLEFR_Gr_2A_S1_8	DEAD	None	None	None
SLEFR_Gr_2A_S1_8	1_G1_trave			
SLEFR_Gr_2A_S1_8	2_G1_soletta			
SLEFR_Gr_2A_S1_8	3_G1_marcia piede			
SLEFR_Gr_2A_S1_8	4_G1_traverso			
SLEFR_Gr_2A_S1_8	5_G2_veletta			
SLEFR_Gr_2A_S1_8	6_G2_impianti			
SLEFR_Gr_2A_S1_8	7_G2_parapetti			
SLEFR_Gr_2A_S1_8	8_G2_pavimentazione			
SLEFR_Gr_2A_S1_8	9_G2_sicurvia			
SLEFR_Gr_2A_S1_8	11_Q1k			
SLEFR_Gr_2A_S1_8	10_q1k			
SLEFR_Gr_2A_S1_8	13_Q2k			
SLEFR_Gr_2A_S1_8	12_q2k			
SLEFR_Gr_2A_S1_8	16_Q_zr			
SLEFR_Gr_2A_S1_8	17_qfk			
SLEFR_Gr_2A_S1_8	20_q4_centra			
SLEFR_Gr_2A_S1_8	19_q3_frenatura			
SLEFR_Gr_2A_S1_8	15_Q3k			
SLEFR_Gr_2A_S1_8	14_q3k			
SLEFR_Gr_2A_S1_8	24_q_vento_tot			
SLEFR_Gr_2A_S1_8	23_q_temp F			
SLEFR_Gr_2A_S1_8	22_q_ritiro			
SLEFR_Gr_2A_S1_8	21_q8			
SLEFR_Gr_2A_S1_9	DEAD	None	None	None
SLEFR_Gr_2A_S1_9	1_G1_trave			
SLEFR_Gr_2A_S1_9	2_G1_soletta			
SLEFR_Gr_2A_S1_9	3_G1_marcia piede			
SLEFR_Gr_2A_S1_9	4_G1_traverso			
SLEFR_Gr_2A_S1_9	5_G2_veletta			
SLEFR_Gr_2A_S1_9	6_G2_impianti			
SLEFR_Gr_2A_S1_9	7_G2_parapetti			
SLEFR_Gr_2A_S1_9	8_G2_pavimentazione			
SLEFR_Gr_2A_S1_9	9_G2_sicurvia			
SLEFR_Gr_2A_S1_9	11_Q1k			

RELAZIONE DI CALCOLO

COMMESSA	LOTTO	CODIFICA	DOCUMENTO	REV.	FOGLIO
NRIJ	01 D 29	CL	IV0104 001	B	245 di 341

SLEFR_Gr_2A_S1_9	10_q1k			
SLEFR_Gr_2A_S1_9	13_Q2k			
SLEFR_Gr_2A_S1_9	12_q2k			
SLEFR_Gr_2A_S1_9	16_Q_zr			
SLEFR_Gr_2A_S1_9	17_qfk			
SLEFR_Gr_2A_S1_9	20_q4_centr			
SLEFR_Gr_2A_S1_9	19_q3_frenatura			
SLEFR_Gr_2A_S1_9	15_Q3k			
SLEFR_Gr_2A_S1_9	14_q3k			
SLEFR_Gr_2A_S1_9	24_q_vento_tot			
SLEFR_Gr_2A_S1_9	23_q_temp F			
SLEFR_Gr_2A_S1_9	22_q_ritiro			
SLEFR_Gr_2A_S1_9	21_q8			
SLEFR_Gr_2A_S1_10	DEAD	None	None	None
SLEFR_Gr_2A_S1_10	1_G1_trave			
SLEFR_Gr_2A_S1_10	2_G1_soletta			
SLEFR_Gr_2A_S1_10	3_G1_marciapiede			
SLEFR_Gr_2A_S1_10	4_G1_traverso			
SLEFR_Gr_2A_S1_10	5_G2_veletta			
SLEFR_Gr_2A_S1_10	6_G2_impianti			
SLEFR_Gr_2A_S1_10	7_G2_parapetti			
SLEFR_Gr_2A_S1_10	8_G2_pavimentazione			
SLEFR_Gr_2A_S1_10	9_G2_sicurvia			
SLEFR_Gr_2A_S1_10	11_Q1k			
SLEFR_Gr_2A_S1_10	10_q1k			
SLEFR_Gr_2A_S1_10	13_Q2k			
SLEFR_Gr_2A_S1_10	12_q2k			
SLEFR_Gr_2A_S1_10	16_Q_zr			
SLEFR_Gr_2A_S1_10	17_qfk			
SLEFR_Gr_2A_S1_10	20_q4_centr			
SLEFR_Gr_2A_S1_10	19_q3_frenatura			
SLEFR_Gr_2A_S1_10	15_Q3k			
SLEFR_Gr_2A_S1_10	14_q3k			
SLEFR_Gr_2A_S1_10	24_q_vento_tot			
SLEFR_Gr_2A_S1_10	23_q_temp F			
SLEFR_Gr_2A_S1_10	22_q_ritiro			
SLEFR_Gr_2A_S1_10	21_q8			
SLEFR_Gr_2A_S1_11	DEAD	None	None	None
SLEFR_Gr_2A_S1_11	1_G1_trave			
SLEFR_Gr_2A_S1_11	2_G1_soletta			
SLEFR_Gr_2A_S1_11	3_G1_marciapiede			
SLEFR_Gr_2A_S1_11	4_G1_traverso			
SLEFR_Gr_2A_S1_11	5_G2_veletta			
SLEFR_Gr_2A_S1_11	6_G2_impianti			
SLEFR_Gr_2A_S1_11	7_G2_parapetti			
SLEFR_Gr_2A_S1_11	8_G2_pavimentazione			
SLEFR_Gr_2A_S1_11	9_G2_sicurvia			
SLEFR_Gr_2A_S1_11	11_Q1k			
SLEFR_Gr_2A_S1_11	10_q1k			
SLEFR_Gr_2A_S1_11	13_Q2k			
SLEFR_Gr_2A_S1_11	12_q2k			
SLEFR_Gr_2A_S1_11	16_Q_zr			
SLEFR_Gr_2A_S1_11	17_qfk			
SLEFR_Gr_2A_S1_11	20_q4_centr			
SLEFR_Gr_2A_S1_11	19_q3_frenatura			
SLEFR_Gr_2A_S1_11	15_Q3k			
SLEFR_Gr_2A_S1_11	14_q3k			
SLEFR_Gr_2A_S1_11	24_q_vento_tot			
SLEFR_Gr_2A_S1_11	23_q_temp F			
SLEFR_Gr_2A_S1_11	22_q_ritiro			
SLEFR_Gr_2A_S1_11	21_q8			
SLEFR_Gr_2A_S1_12	DEAD	None	None	None

RELAZIONE DI CALCOLO

COMMESSA	LOTTO	CODIFICA	DOCUMENTO	REV.	FOGLIO
NRIJ	01 D 29	CL	IV0104 001	B	246 di 341

SLEFR_Gr_2A_S1_12	1_G1_trave			
SLEFR_Gr_2A_S1_12	2_G1_soletta			
SLEFR_Gr_2A_S1_12	3_G1_marciapiede			
SLEFR_Gr_2A_S1_12	4_G1_traverso			
SLEFR_Gr_2A_S1_12	5_G2_veletta			
SLEFR_Gr_2A_S1_12	6_G2_impianti			
SLEFR_Gr_2A_S1_12	7_G2_parapetti			
SLEFR_Gr_2A_S1_12	8_G2_pavimentazione			
SLEFR_Gr_2A_S1_12	9_G2_sicurvia			
SLEFR_Gr_2A_S1_12	11_Q1k			
SLEFR_Gr_2A_S1_12	10_q1k			
SLEFR_Gr_2A_S1_12	13_Q2k			
SLEFR_Gr_2A_S1_12	12_q2k			
SLEFR_Gr_2A_S1_12	16_Q_zr			
SLEFR_Gr_2A_S1_12	17_qfk			
SLEFR_Gr_2A_S1_12	20_q4_centr			
SLEFR_Gr_2A_S1_12	19_q3_frenatura			
SLEFR_Gr_2A_S1_12	15_Q3k			
SLEFR_Gr_2A_S1_12	14_q3k			
SLEFR_Gr_2A_S1_12	24_q_vento_tot			
SLEFR_Gr_2A_S1_12	23_q_temp F			
SLEFR_Gr_2A_S1_12	22_q_ritiro			
SLEFR_Gr_2A_S1_12	21_q8			
SLEFR_Gr_2A_S1_13	DEAD	None	None	None
SLEFR_Gr_2A_S1_13	1_G1_trave			
SLEFR_Gr_2A_S1_13	2_G1_soletta			
SLEFR_Gr_2A_S1_13	3_G1_marciapiede			
SLEFR_Gr_2A_S1_13	4_G1_traverso			
SLEFR_Gr_2A_S1_13	5_G2_veletta			
SLEFR_Gr_2A_S1_13	6_G2_impianti			
SLEFR_Gr_2A_S1_13	7_G2_parapetti			
SLEFR_Gr_2A_S1_13	8_G2_pavimentazione			
SLEFR_Gr_2A_S1_13	9_G2_sicurvia			
SLEFR_Gr_2A_S1_13	11_Q1k			
SLEFR_Gr_2A_S1_13	10_q1k			
SLEFR_Gr_2A_S1_13	13_Q2k			
SLEFR_Gr_2A_S1_13	12_q2k			
SLEFR_Gr_2A_S1_13	16_Q_zr			
SLEFR_Gr_2A_S1_13	17_qfk			
SLEFR_Gr_2A_S1_13	20_q4_centr			
SLEFR_Gr_2A_S1_13	19_q3_frenatura			
SLEFR_Gr_2A_S1_13	15_Q3k			
SLEFR_Gr_2A_S1_13	14_q3k			
SLEFR_Gr_2A_S1_13	24_q_vento_tot			
SLEFR_Gr_2A_S1_13	23_q_temp F			
SLEFR_Gr_2A_S1_13	22_q_ritiro			
SLEFR_Gr_2A_S1_13	21_q8			
SLEFR_Gr_2A_S1_14	DEAD	None	None	None
SLEFR_Gr_2A_S1_14	1_G1_trave			
SLEFR_Gr_2A_S1_14	2_G1_soletta			
SLEFR_Gr_2A_S1_14	3_G1_marciapiede			
SLEFR_Gr_2A_S1_14	4_G1_traverso			
SLEFR_Gr_2A_S1_14	5_G2_veletta			
SLEFR_Gr_2A_S1_14	6_G2_impianti			
SLEFR_Gr_2A_S1_14	7_G2_parapetti			
SLEFR_Gr_2A_S1_14	8_G2_pavimentazione			
SLEFR_Gr_2A_S1_14	9_G2_sicurvia			
SLEFR_Gr_2A_S1_14	11_Q1k			
SLEFR_Gr_2A_S1_14	10_q1k			
SLEFR_Gr_2A_S1_14	13_Q2k			
SLEFR_Gr_2A_S1_14	12_q2k			
SLEFR_Gr_2A_S1_14	16_Q_zr			

RELAZIONE DI CALCOLO

COMMESSA	LOTTO	CODIFICA	DOCUMENTO	REV.	FOGLIO
NRIJ	01 D 29	CL	IV0104 001	B	247 di 341

SLEFR_Gr_2A_S1_14	17_qfk			
SLEFR_Gr_2A_S1_14	20_q4_centr			
SLEFR_Gr_2A_S1_14	19_q3_frenatura			
SLEFR_Gr_2A_S1_14	15_Q3k			
SLEFR_Gr_2A_S1_14	14_q3k			
SLEFR_Gr_2A_S1_14	24_q_vento_tot			
SLEFR_Gr_2A_S1_14	23_q_temp F			
SLEFR_Gr_2A_S1_14	22_q_ritiro			
SLEFR_Gr_2A_S1_14	21_q8			
SLEFR_Gr_2A_S1_15	DEAD	None	None	None
SLEFR_Gr_2A_S1_15	1_G1_trave			
SLEFR_Gr_2A_S1_15	2_G1_soletta			
SLEFR_Gr_2A_S1_15	3_G1_marciapiede			
SLEFR_Gr_2A_S1_15	4_G1_traverso			
SLEFR_Gr_2A_S1_15	5_G2_veletta			
SLEFR_Gr_2A_S1_15	6_G2_impianti			
SLEFR_Gr_2A_S1_15	7_G2_parapetti			
SLEFR_Gr_2A_S1_15	8_G2_pavimentazione			
SLEFR_Gr_2A_S1_15	9_G2_sicurvia			
SLEFR_Gr_2A_S1_15	11_Q1k			
SLEFR_Gr_2A_S1_15	10_q1k			
SLEFR_Gr_2A_S1_15	13_Q2k			
SLEFR_Gr_2A_S1_15	12_q2k			
SLEFR_Gr_2A_S1_15	16_Q_zr			
SLEFR_Gr_2A_S1_15	17_qfk			
SLEFR_Gr_2A_S1_15	20_q4_centr			
SLEFR_Gr_2A_S1_15	19_q3_frenatura			
SLEFR_Gr_2A_S1_15	15_Q3k			
SLEFR_Gr_2A_S1_15	14_q3k			
SLEFR_Gr_2A_S1_15	24_q_vento_tot			
SLEFR_Gr_2A_S1_15	23_q_temp F			
SLEFR_Gr_2A_S1_15	22_q_ritiro			
SLEFR_Gr_2A_S1_15	21_q8			
SLEFR_Gr_2A_S1_16	DEAD	None	None	None
SLEFR_Gr_2A_S1_16	1_G1_trave			
SLEFR_Gr_2A_S1_16	2_G1_soletta			
SLEFR_Gr_2A_S1_16	3_G1_marciapiede			
SLEFR_Gr_2A_S1_16	4_G1_traverso			
SLEFR_Gr_2A_S1_16	5_G2_veletta			
SLEFR_Gr_2A_S1_16	6_G2_impianti			
SLEFR_Gr_2A_S1_16	7_G2_parapetti			
SLEFR_Gr_2A_S1_16	8_G2_pavimentazione			
SLEFR_Gr_2A_S1_16	9_G2_sicurvia			
SLEFR_Gr_2A_S1_16	11_Q1k			
SLEFR_Gr_2A_S1_16	10_q1k			
SLEFR_Gr_2A_S1_16	13_Q2k			
SLEFR_Gr_2A_S1_16	12_q2k			
SLEFR_Gr_2A_S1_16	16_Q_zr			
SLEFR_Gr_2A_S1_16	17_qfk			
SLEFR_Gr_2A_S1_16	20_q4_centr			
SLEFR_Gr_2A_S1_16	19_q3_frenatura			
SLEFR_Gr_2A_S1_16	15_Q3k			
SLEFR_Gr_2A_S1_16	14_q3k			
SLEFR_Gr_2A_S1_16	24_q_vento_tot			
SLEFR_Gr_2A_S1_16	23_q_temp F			
SLEFR_Gr_2A_S1_16	22_q_ritiro			
SLEFR_Gr_2A_S1_16	21_q8			
SLEFR_Gr_2A_S1_17	DEAD	None	None	None
SLEFR_Gr_2A_S1_17	1_G1_trave			
SLEFR_Gr_2A_S1_17	2_G1_soletta			
SLEFR_Gr_2A_S1_17	3_G1_marciapiede			
SLEFR_Gr_2A_S1_17	4_G1_traverso			

RELAZIONE DI CALCOLO

COMMESSA	LOTTO	CODIFICA	DOCUMENTO	REV.	FOGLIO
NRIJ	01 D 29	CL	IV0104 001	B	248 di 341

SLEFR_Gr_2A_S1_17	5_G2_veletta			
SLEFR_Gr_2A_S1_17	6_G2_impianti			
SLEFR_Gr_2A_S1_17	7_G2_parapetti			
SLEFR_Gr_2A_S1_17	8_G2_pavimentazione			
SLEFR_Gr_2A_S1_17	9_G2_sicurvia			
SLEFR_Gr_2A_S1_17	11_Q1k			
SLEFR_Gr_2A_S1_17	10_q1k			
SLEFR_Gr_2A_S1_17	13_Q2k			
SLEFR_Gr_2A_S1_17	12_q2k			
SLEFR_Gr_2A_S1_17	16_Q_zr			
SLEFR_Gr_2A_S1_17	17_qfk			
SLEFR_Gr_2A_S1_17	20_q4_centr			
SLEFR_Gr_2A_S1_17	19_q3_frenatura			
SLEFR_Gr_2A_S1_17	15_Q3k			
SLEFR_Gr_2A_S1_17	14_q3k			
SLEFR_Gr_2A_S1_17	24_q_vento_tot			
SLEFR_Gr_2A_S1_17	23_q_temp F			
SLEFR_Gr_2A_S1_17	22_q_ritiro			
SLEFR_Gr_2A_S1_17	21_q8			
SLEFR_Gr_2A_S1_18	DEAD	None	None	None
SLEFR_Gr_2A_S1_18	1_G1_trave			
SLEFR_Gr_2A_S1_18	2_G1_soletta			
SLEFR_Gr_2A_S1_18	3_G1_marciapiede			
SLEFR_Gr_2A_S1_18	4_G1_traverso			
SLEFR_Gr_2A_S1_18	5_G2_veletta			
SLEFR_Gr_2A_S1_18	6_G2_impianti			
SLEFR_Gr_2A_S1_18	7_G2_parapetti			
SLEFR_Gr_2A_S1_18	8_G2_pavimentazione			
SLEFR_Gr_2A_S1_18	9_G2_sicurvia			
SLEFR_Gr_2A_S1_18	11_Q1k			
SLEFR_Gr_2A_S1_18	10_q1k			
SLEFR_Gr_2A_S1_18	13_Q2k			
SLEFR_Gr_2A_S1_18	12_q2k			
SLEFR_Gr_2A_S1_18	16_Q_zr			
SLEFR_Gr_2A_S1_18	17_qfk			
SLEFR_Gr_2A_S1_18	20_q4_centr			
SLEFR_Gr_2A_S1_18	19_q3_frenatura			
SLEFR_Gr_2A_S1_18	15_Q3k			
SLEFR_Gr_2A_S1_18	14_q3k			
SLEFR_Gr_2A_S1_18	24_q_vento_tot			
SLEFR_Gr_2A_S1_18	23_q_temp F			
SLEFR_Gr_2A_S1_18	22_q_ritiro			
SLEFR_Gr_2A_S1_18	21_q8			
SLEFR_Gr_2A_S1_19	DEAD	None	None	None
SLEFR_Gr_2A_S1_19	1_G1_trave			
SLEFR_Gr_2A_S1_19	2_G1_soletta			
SLEFR_Gr_2A_S1_19	3_G1_marciapiede			
SLEFR_Gr_2A_S1_19	4_G1_traverso			
SLEFR_Gr_2A_S1_19	5_G2_veletta			
SLEFR_Gr_2A_S1_19	6_G2_impianti			
SLEFR_Gr_2A_S1_19	7_G2_parapetti			
SLEFR_Gr_2A_S1_19	8_G2_pavimentazione			
SLEFR_Gr_2A_S1_19	9_G2_sicurvia			
SLEFR_Gr_2A_S1_19	11_Q1k			
SLEFR_Gr_2A_S1_19	10_q1k			
SLEFR_Gr_2A_S1_19	13_Q2k			
SLEFR_Gr_2A_S1_19	12_q2k			
SLEFR_Gr_2A_S1_19	16_Q_zr			
SLEFR_Gr_2A_S1_19	17_qfk			
SLEFR_Gr_2A_S1_19	20_q4_centr			
SLEFR_Gr_2A_S1_19	19_q3_frenatura			
SLEFR_Gr_2A_S1_19	15_Q3k			

RELAZIONE DI CALCOLO

COMMESSA	LOTTO	CODIFICA	DOCUMENTO	REV.	FOGLIO
NRIJ	01 D 29	CL	IV0104 001	B	249 di 341

SLEFR_Gr_2A_S1_19	14_q3k			
SLEFR_Gr_2A_S1_19	24_q_vento_tot			
SLEFR_Gr_2A_S1_19	23_q_temp F			
SLEFR_Gr_2A_S1_19	22_q_ritiro			
SLEFR_Gr_2A_S1_19	21_q8			
SLEFR_Gr_2A_S1_20	DEAD	None	None	None
SLEFR_Gr_2A_S1_20	1_G1_trave			
SLEFR_Gr_2A_S1_20	2_G1_soletta			
SLEFR_Gr_2A_S1_20	3_G1_marciapiede			
SLEFR_Gr_2A_S1_20	4_G1_traverso			
SLEFR_Gr_2A_S1_20	5_G2_veletta			
SLEFR_Gr_2A_S1_20	6_G2_impianti			
SLEFR_Gr_2A_S1_20	7_G2_parapetti			
SLEFR_Gr_2A_S1_20	8_G2_pavimentazione			
SLEFR_Gr_2A_S1_20	9_G2_sicurvia			
SLEFR_Gr_2A_S1_20	11_Q1k			
SLEFR_Gr_2A_S1_20	10_q1k			
SLEFR_Gr_2A_S1_20	13_Q2k			
SLEFR_Gr_2A_S1_20	12_q2k			
SLEFR_Gr_2A_S1_20	16_Q_zr			
SLEFR_Gr_2A_S1_20	17_qfk			
SLEFR_Gr_2A_S1_20	20_q4_centr			
SLEFR_Gr_2A_S1_20	19_q3_frenatura			
SLEFR_Gr_2A_S1_20	15_Q3k			
SLEFR_Gr_2A_S1_20	14_q3k			
SLEFR_Gr_2A_S1_20	24_q_vento_tot			
SLEFR_Gr_2A_S1_20	23_q_temp F			
SLEFR_Gr_2A_S1_20	22_q_ritiro			
SLEFR_Gr_2A_S1_20	21_q8			
SLEFR_Gr_2A_S1_21	DEAD	None	None	None
SLEFR_Gr_2A_S1_21	1_G1_trave			
SLEFR_Gr_2A_S1_21	2_G1_soletta			
SLEFR_Gr_2A_S1_21	3_G1_marciapiede			
SLEFR_Gr_2A_S1_21	4_G1_traverso			
SLEFR_Gr_2A_S1_21	5_G2_veletta			
SLEFR_Gr_2A_S1_21	6_G2_impianti			
SLEFR_Gr_2A_S1_21	7_G2_parapetti			
SLEFR_Gr_2A_S1_21	8_G2_pavimentazione			
SLEFR_Gr_2A_S1_21	9_G2_sicurvia			
SLEFR_Gr_2A_S1_21	11_Q1k			
SLEFR_Gr_2A_S1_21	10_q1k			
SLEFR_Gr_2A_S1_21	13_Q2k			
SLEFR_Gr_2A_S1_21	12_q2k			
SLEFR_Gr_2A_S1_21	16_Q_zr			
SLEFR_Gr_2A_S1_21	17_qfk			
SLEFR_Gr_2A_S1_21	20_q4_centr			
SLEFR_Gr_2A_S1_21	19_q3_frenatura			
SLEFR_Gr_2A_S1_21	15_Q3k			
SLEFR_Gr_2A_S1_21	14_q3k			
SLEFR_Gr_2A_S1_21	24_q_vento_tot			
SLEFR_Gr_2A_S1_21	23_q_temp F			
SLEFR_Gr_2A_S1_21	22_q_ritiro			
SLEFR_Gr_2A_S1_21	21_q8			
SLEFR_Gr_2A_S1_22	DEAD	None	None	None
SLEFR_Gr_2A_S1_22	1_G1_trave			
SLEFR_Gr_2A_S1_22	2_G1_soletta			
SLEFR_Gr_2A_S1_22	3_G1_marciapiede			
SLEFR_Gr_2A_S1_22	4_G1_traverso			
SLEFR_Gr_2A_S1_22	5_G2_veletta			
SLEFR_Gr_2A_S1_22	6_G2_impianti			
SLEFR_Gr_2A_S1_22	7_G2_parapetti			
SLEFR_Gr_2A_S1_22	8_G2_pavimentazione			

RELAZIONE DI CALCOLO

COMMESSA	LOTTO	CODIFICA	DOCUMENTO	REV.	FOGLIO
NRIJ	01 D 29	CL	IV0104 001	B	250 di 341

SLEFR_Gr_2A_S1_22	9_G2_sicurvia			
SLEFR_Gr_2A_S1_22	11_Q1k			
SLEFR_Gr_2A_S1_22	10_q1k			
SLEFR_Gr_2A_S1_22	13_Q2k			
SLEFR_Gr_2A_S1_22	12_q2k			
SLEFR_Gr_2A_S1_22	16_Q_zr			
SLEFR_Gr_2A_S1_22	17_qfk			
SLEFR_Gr_2A_S1_22	20_q4_centr			
SLEFR_Gr_2A_S1_22	19_q3_frenatura			
SLEFR_Gr_2A_S1_22	15_Q3k			
SLEFR_Gr_2A_S1_22	14_q3k			
SLEFR_Gr_2A_S1_22	24_q_vento_tot			
SLEFR_Gr_2A_S1_22	23_q_temp F			
SLEFR_Gr_2A_S1_22	22_q_ritiro			
SLEFR_Gr_2A_S1_22	21_q8			
SLEFR_Gr_2A_S1_23	DEAD	None	None	None
SLEFR_Gr_2A_S1_23	1_G1_trave			
SLEFR_Gr_2A_S1_23	2_G1_soletta			
SLEFR_Gr_2A_S1_23	3_G1_marciapiede			
SLEFR_Gr_2A_S1_23	4_G1_traverso			
SLEFR_Gr_2A_S1_23	5_G2_veletta			
SLEFR_Gr_2A_S1_23	6_G2_impianti			
SLEFR_Gr_2A_S1_23	7_G2_parapetti			
SLEFR_Gr_2A_S1_23	8_G2_pavimentazione			
SLEFR_Gr_2A_S1_23	9_G2_sicurvia			
SLEFR_Gr_2A_S1_23	11_Q1k			
SLEFR_Gr_2A_S1_23	10_q1k			
SLEFR_Gr_2A_S1_23	13_Q2k			
SLEFR_Gr_2A_S1_23	12_q2k			
SLEFR_Gr_2A_S1_23	16_Q_zr			
SLEFR_Gr_2A_S1_23	17_qfk			
SLEFR_Gr_2A_S1_23	20_q4_centr			
SLEFR_Gr_2A_S1_23	19_q3_frenatura			
SLEFR_Gr_2A_S1_23	15_Q3k			
SLEFR_Gr_2A_S1_23	14_q3k			
SLEFR_Gr_2A_S1_23	24_q_vento_tot			
SLEFR_Gr_2A_S1_23	23_q_temp F			
SLEFR_Gr_2A_S1_23	22_q_ritiro			
SLEFR_Gr_2A_S1_23	21_q8			
SLEFR_Gr_2A_S1_24	DEAD	None	None	None
SLEFR_Gr_2A_S1_24	1_G1_trave			
SLEFR_Gr_2A_S1_24	2_G1_soletta			
SLEFR_Gr_2A_S1_24	3_G1_marciapiede			
SLEFR_Gr_2A_S1_24	4_G1_traverso			
SLEFR_Gr_2A_S1_24	5_G2_veletta			
SLEFR_Gr_2A_S1_24	6_G2_impianti			
SLEFR_Gr_2A_S1_24	7_G2_parapetti			
SLEFR_Gr_2A_S1_24	8_G2_pavimentazione			
SLEFR_Gr_2A_S1_24	9_G2_sicurvia			
SLEFR_Gr_2A_S1_24	11_Q1k			
SLEFR_Gr_2A_S1_24	10_q1k			
SLEFR_Gr_2A_S1_24	13_Q2k			
SLEFR_Gr_2A_S1_24	12_q2k			
SLEFR_Gr_2A_S1_24	16_Q_zr			
SLEFR_Gr_2A_S1_24	17_qfk			
SLEFR_Gr_2A_S1_24	20_q4_centr			
SLEFR_Gr_2A_S1_24	19_q3_frenatura			
SLEFR_Gr_2A_S1_24	15_Q3k			
SLEFR_Gr_2A_S1_24	14_q3k			
SLEFR_Gr_2A_S1_24	24_q_vento_tot			
SLEFR_Gr_2A_S1_24	23_q_temp F			
SLEFR_Gr_2A_S1_24	22_q_ritiro			

RELAZIONE DI CALCOLO

COMMESSA	LOTTO	CODIFICA	DOCUMENTO	REV.	FOGLIO
NRIJ	01 D 29	CL	IV0104 001	B	251 di 341

SLEFR_Gr_2A_S1_24	21_q8			
SLEFR_Gr_2A_S1_25	DEAD	None	None	None
SLEFR_Gr_2A_S1_25	1_G1_trave			
SLEFR_Gr_2A_S1_25	2_G1_soletta			
SLEFR_Gr_2A_S1_25	3_G1_marciapiede			
SLEFR_Gr_2A_S1_25	4_G1_traverso			
SLEFR_Gr_2A_S1_25	5_G2_veletta			
SLEFR_Gr_2A_S1_25	6_G2_impianti			
SLEFR_Gr_2A_S1_25	7_G2_parapetti			
SLEFR_Gr_2A_S1_25	8_G2_pavimentazione			
SLEFR_Gr_2A_S1_25	9_G2_sicurvia			
SLEFR_Gr_2A_S1_25	11_Q1k			
SLEFR_Gr_2A_S1_25	10_q1k			
SLEFR_Gr_2A_S1_25	13_Q2k			
SLEFR_Gr_2A_S1_25	12_q2k			
SLEFR_Gr_2A_S1_25	16_Q_zr			
SLEFR_Gr_2A_S1_25	17_qfk			
SLEFR_Gr_2A_S1_25	20_q4_centr			
SLEFR_Gr_2A_S1_25	19_q3_frenatura			
SLEFR_Gr_2A_S1_25	15_Q3k			
SLEFR_Gr_2A_S1_25	14_q3k			
SLEFR_Gr_2A_S1_25	24_q_vento_tot			
SLEFR_Gr_2A_S1_25	23_q_temp F			
SLEFR_Gr_2A_S1_25	22_q_ritiro			
SLEFR_Gr_2A_S1_25	21_q8			
SLEFR_Gr_2A_S1_26	DEAD	None	None	None
SLEFR_Gr_2A_S1_26	1_G1_trave			
SLEFR_Gr_2A_S1_26	2_G1_soletta			
SLEFR_Gr_2A_S1_26	3_G1_marciapiede			
SLEFR_Gr_2A_S1_26	4_G1_traverso			
SLEFR_Gr_2A_S1_26	5_G2_veletta			
SLEFR_Gr_2A_S1_26	6_G2_impianti			
SLEFR_Gr_2A_S1_26	7_G2_parapetti			
SLEFR_Gr_2A_S1_26	8_G2_pavimentazione			
SLEFR_Gr_2A_S1_26	9_G2_sicurvia			
SLEFR_Gr_2A_S1_26	11_Q1k			
SLEFR_Gr_2A_S1_26	10_q1k			
SLEFR_Gr_2A_S1_26	13_Q2k			
SLEFR_Gr_2A_S1_26	12_q2k			
SLEFR_Gr_2A_S1_26	16_Q_zr			
SLEFR_Gr_2A_S1_26	17_qfk			
SLEFR_Gr_2A_S1_26	20_q4_centr			
SLEFR_Gr_2A_S1_26	19_q3_frenatura			
SLEFR_Gr_2A_S1_26	15_Q3k			
SLEFR_Gr_2A_S1_26	14_q3k			
SLEFR_Gr_2A_S1_26	24_q_vento_tot			
SLEFR_Gr_2A_S1_26	23_q_temp F			
SLEFR_Gr_2A_S1_26	22_q_ritiro			
SLEFR_Gr_2A_S1_26	21_q8			
SLEFR_Gr_2A_S1_27	DEAD	None	None	None
SLEFR_Gr_2A_S1_27	1_G1_trave			
SLEFR_Gr_2A_S1_27	2_G1_soletta			
SLEFR_Gr_2A_S1_27	3_G1_marciapiede			
SLEFR_Gr_2A_S1_27	4_G1_traverso			
SLEFR_Gr_2A_S1_27	5_G2_veletta			
SLEFR_Gr_2A_S1_27	6_G2_impianti			
SLEFR_Gr_2A_S1_27	7_G2_parapetti			
SLEFR_Gr_2A_S1_27	8_G2_pavimentazione			
SLEFR_Gr_2A_S1_27	9_G2_sicurvia			
SLEFR_Gr_2A_S1_27	11_Q1k			
SLEFR_Gr_2A_S1_27	10_q1k			
SLEFR_Gr_2A_S1_27	13_Q2k			

RELAZIONE DI CALCOLO

COMMESSA	LOTTO	CODIFICA	DOCUMENTO	REV.	FOGLIO
NRIJ	01 D 29	CL	IV0104 001	B	252 di 341

SLEFR_Gr_2A_S1_27	12_q2k			
SLEFR_Gr_2A_S1_27	16_Q_zr			
SLEFR_Gr_2A_S1_27	17_qfk			
SLEFR_Gr_2A_S1_27	20_q4_centr			
SLEFR_Gr_2A_S1_27	19_q3_frenatura			
SLEFR_Gr_2A_S1_27	15_Q3k			
SLEFR_Gr_2A_S1_27	14_q3k			
SLEFR_Gr_2A_S1_27	24_q_vento_tot			
SLEFR_Gr_2A_S1_27	23_q_temp F			
SLEFR_Gr_2A_S1_27	22_q_ritiro			
SLEFR_Gr_2A_S1_27	21_q8			
SLEFR_Gr_2A_S1_28	DEAD	None	None	None
SLEFR_Gr_2A_S1_28	1_G1_trave			
SLEFR_Gr_2A_S1_28	2_G1_soletta			
SLEFR_Gr_2A_S1_28	3_G1_marciapiede			
SLEFR_Gr_2A_S1_28	4_G1_traverso			
SLEFR_Gr_2A_S1_28	5_G2_veletta			
SLEFR_Gr_2A_S1_28	6_G2_impianti			
SLEFR_Gr_2A_S1_28	7_G2_parapetti			
SLEFR_Gr_2A_S1_28	8_G2_pavimentazione			
SLEFR_Gr_2A_S1_28	9_G2_sicurvia			
SLEFR_Gr_2A_S1_28	11_Q1k			
SLEFR_Gr_2A_S1_28	10_q1k			
SLEFR_Gr_2A_S1_28	13_Q2k			
SLEFR_Gr_2A_S1_28	12_q2k			
SLEFR_Gr_2A_S1_28	16_Q_zr			
SLEFR_Gr_2A_S1_28	17_qfk			
SLEFR_Gr_2A_S1_28	20_q4_centr			
SLEFR_Gr_2A_S1_28	19_q3_frenatura			
SLEFR_Gr_2A_S1_28	15_Q3k			
SLEFR_Gr_2A_S1_28	14_q3k			
SLEFR_Gr_2A_S1_28	24_q_vento_tot			
SLEFR_Gr_2A_S1_28	23_q_temp F			
SLEFR_Gr_2A_S1_28	22_q_ritiro			
SLEFR_Gr_2A_S1_28	21_q8			
SLEFR_Gr_2A_S1_29	DEAD	None	None	None
SLEFR_Gr_2A_S1_29	1_G1_trave			
SLEFR_Gr_2A_S1_29	2_G1_soletta			
SLEFR_Gr_2A_S1_29	3_G1_marciapiede			
SLEFR_Gr_2A_S1_29	4_G1_traverso			
SLEFR_Gr_2A_S1_29	5_G2_veletta			
SLEFR_Gr_2A_S1_29	6_G2_impianti			
SLEFR_Gr_2A_S1_29	7_G2_parapetti			
SLEFR_Gr_2A_S1_29	8_G2_pavimentazione			
SLEFR_Gr_2A_S1_29	9_G2_sicurvia			
SLEFR_Gr_2A_S1_29	11_Q1k			
SLEFR_Gr_2A_S1_29	10_q1k			
SLEFR_Gr_2A_S1_29	13_Q2k			
SLEFR_Gr_2A_S1_29	12_q2k			
SLEFR_Gr_2A_S1_29	16_Q_zr			
SLEFR_Gr_2A_S1_29	17_qfk			
SLEFR_Gr_2A_S1_29	20_q4_centr			
SLEFR_Gr_2A_S1_29	19_q3_frenatura			
SLEFR_Gr_2A_S1_29	15_Q3k			
SLEFR_Gr_2A_S1_29	14_q3k			
SLEFR_Gr_2A_S1_29	24_q_vento_tot			
SLEFR_Gr_2A_S1_29	23_q_temp F			
SLEFR_Gr_2A_S1_29	22_q_ritiro			
SLEFR_Gr_2A_S1_29	21_q8			
SLEFR_Gr_2A_S1_30	DEAD	None	None	None
SLEFR_Gr_2A_S1_30	1_G1_trave			
SLEFR_Gr_2A_S1_30	2_G1_soletta			

RELAZIONE DI CALCOLO

COMMESSA	LOTTO	CODIFICA	DOCUMENTO	REV.	FOGLIO
NRIJ	01 D 29	CL	IV0104 001	B	253 di 341

SLEFR_Gr_2A_S1_30	3_G1_marciapiede			
SLEFR_Gr_2A_S1_30	4_G1_traverso			
SLEFR_Gr_2A_S1_30	5_G2_veletta			
SLEFR_Gr_2A_S1_30	6_G2_impianti			
SLEFR_Gr_2A_S1_30	7_G2_parapetti			
SLEFR_Gr_2A_S1_30	8_G2_pavimentazione			
SLEFR_Gr_2A_S1_30	9_G2_sicurvia			
SLEFR_Gr_2A_S1_30	11_Q1k			
SLEFR_Gr_2A_S1_30	10_q1k			
SLEFR_Gr_2A_S1_30	13_Q2k			
SLEFR_Gr_2A_S1_30	12_q2k			
SLEFR_Gr_2A_S1_30	16_Q_zr			
SLEFR_Gr_2A_S1_30	17_qfk			
SLEFR_Gr_2A_S1_30	20_q4_centr			
SLEFR_Gr_2A_S1_30	19_q3_frenatura			
SLEFR_Gr_2A_S1_30	15_Q3k			
SLEFR_Gr_2A_S1_30	14_q3k			
SLEFR_Gr_2A_S1_30	24_q_vento_tot			
SLEFR_Gr_2A_S1_30	23_q_temp F			
SLEFR_Gr_2A_S1_30	22_q_ritiro			
SLEFR_Gr_2A_S1_30	21_q8			
SLEFR_Gr_2A_S1_31	DEAD	None	None	None
SLEFR_Gr_2A_S1_31	1_G1_trave			
SLEFR_Gr_2A_S1_31	2_G1_soletta			
SLEFR_Gr_2A_S1_31	3_G1_marciapiede			
SLEFR_Gr_2A_S1_31	4_G1_traverso			
SLEFR_Gr_2A_S1_31	5_G2_veletta			
SLEFR_Gr_2A_S1_31	6_G2_impianti			
SLEFR_Gr_2A_S1_31	7_G2_parapetti			
SLEFR_Gr_2A_S1_31	8_G2_pavimentazione			
SLEFR_Gr_2A_S1_31	9_G2_sicurvia			
SLEFR_Gr_2A_S1_31	11_Q1k			
SLEFR_Gr_2A_S1_31	10_q1k			
SLEFR_Gr_2A_S1_31	13_Q2k			
SLEFR_Gr_2A_S1_31	12_q2k			
SLEFR_Gr_2A_S1_31	16_Q_zr			
SLEFR_Gr_2A_S1_31	17_qfk			
SLEFR_Gr_2A_S1_31	20_q4_centr			
SLEFR_Gr_2A_S1_31	19_q3_frenatura			
SLEFR_Gr_2A_S1_31	15_Q3k			
SLEFR_Gr_2A_S1_31	14_q3k			
SLEFR_Gr_2A_S1_31	24_q_vento_tot			
SLEFR_Gr_2A_S1_31	23_q_temp F			
SLEFR_Gr_2A_S1_31	22_q_ritiro			
SLEFR_Gr_2A_S1_31	21_q8			
SLEFR_Gr_2A_S1_32	DEAD	None	None	None
SLEFR_Gr_2A_S1_32	1_G1_trave			
SLEFR_Gr_2A_S1_32	2_G1_soletta			
SLEFR_Gr_2A_S1_32	3_G1_marciapiede			
SLEFR_Gr_2A_S1_32	4_G1_traverso			
SLEFR_Gr_2A_S1_32	5_G2_veletta			
SLEFR_Gr_2A_S1_32	6_G2_impianti			
SLEFR_Gr_2A_S1_32	7_G2_parapetti			
SLEFR_Gr_2A_S1_32	8_G2_pavimentazione			
SLEFR_Gr_2A_S1_32	9_G2_sicurvia			
SLEFR_Gr_2A_S1_32	11_Q1k			
SLEFR_Gr_2A_S1_32	10_q1k			
SLEFR_Gr_2A_S1_32	13_Q2k			
SLEFR_Gr_2A_S1_32	12_q2k			
SLEFR_Gr_2A_S1_32	16_Q_zr			
SLEFR_Gr_2A_S1_32	17_qfk			
SLEFR_Gr_2A_S1_32	20_q4_centr			

RELAZIONE DI CALCOLO

COMMESSA	LOTTO	CODIFICA	DOCUMENTO	REV.	FOGLIO
NRIJ	01 D 29	CL	IV0104 001	B	254 di 341

SLEFR_Gr_2A_S1_32	19_q3_frenatura			
SLEFR_Gr_2A_S1_32	15_Q3k			
SLEFR_Gr_2A_S1_32	14_q3k			
SLEFR_Gr_2A_S1_32	24_q_vento_tot			
SLEFR_Gr_2A_S1_32	23_q_temp F			
SLEFR_Gr_2A_S1_32	22_q_ritiro			
SLEFR_Gr_2A_S1_32	21_q8			
SLEFR_Gr_2A_S1_33	DEAD	None	None	None
SLEFR_Gr_2A_S1_33	1_G1_trave			
SLEFR_Gr_2A_S1_33	2_G1_soletta			
SLEFR_Gr_2A_S1_33	3_G1_marciapiede			
SLEFR_Gr_2A_S1_33	4_G1_traverso			
SLEFR_Gr_2A_S1_33	5_G2_veletta			
SLEFR_Gr_2A_S1_33	6_G2_impianti			
SLEFR_Gr_2A_S1_33	7_G2_parapetti			
SLEFR_Gr_2A_S1_33	8_G2_pavimentazione			
SLEFR_Gr_2A_S1_33	9_G2_sicurvia			
SLEFR_Gr_2A_S1_33	11_Q1k			
SLEFR_Gr_2A_S1_33	10_q1k			
SLEFR_Gr_2A_S1_33	13_Q2k			
SLEFR_Gr_2A_S1_33	12_q2k			
SLEFR_Gr_2A_S1_33	16_Q_zr			
SLEFR_Gr_2A_S1_33	17_qfk			
SLEFR_Gr_2A_S1_33	20_q4_centr			
SLEFR_Gr_2A_S1_33	19_q3_frenatura			
SLEFR_Gr_2A_S1_33	15_Q3k			
SLEFR_Gr_2A_S1_33	14_q3k			
SLEFR_Gr_2A_S1_33	24_q_vento_tot			
SLEFR_Gr_2A_S1_33	23_q_temp F			
SLEFR_Gr_2A_S1_33	22_q_ritiro			
SLEFR_Gr_2A_S1_33	21_q8			
SLEFR_Gr_2A_S1_34	DEAD	None	None	None
SLEFR_Gr_2A_S1_34	1_G1_trave			
SLEFR_Gr_2A_S1_34	2_G1_soletta			
SLEFR_Gr_2A_S1_34	3_G1_marciapiede			
SLEFR_Gr_2A_S1_34	4_G1_traverso			
SLEFR_Gr_2A_S1_34	5_G2_veletta			
SLEFR_Gr_2A_S1_34	6_G2_impianti			
SLEFR_Gr_2A_S1_34	7_G2_parapetti			
SLEFR_Gr_2A_S1_34	8_G2_pavimentazione			
SLEFR_Gr_2A_S1_34	9_G2_sicurvia			
SLEFR_Gr_2A_S1_34	11_Q1k			
SLEFR_Gr_2A_S1_34	10_q1k			
SLEFR_Gr_2A_S1_34	13_Q2k			
SLEFR_Gr_2A_S1_34	12_q2k			
SLEFR_Gr_2A_S1_34	16_Q_zr			
SLEFR_Gr_2A_S1_34	17_qfk			
SLEFR_Gr_2A_S1_34	20_q4_centr			
SLEFR_Gr_2A_S1_34	19_q3_frenatura			
SLEFR_Gr_2A_S1_34	15_Q3k			
SLEFR_Gr_2A_S1_34	14_q3k			
SLEFR_Gr_2A_S1_34	24_q_vento_tot			
SLEFR_Gr_2A_S1_34	23_q_temp F			
SLEFR_Gr_2A_S1_34	22_q_ritiro			
SLEFR_Gr_2A_S1_34	21_q8			
SLEFR_Gr_2A_S1_35	DEAD	None	None	None
SLEFR_Gr_2A_S1_35	1_G1_trave			
SLEFR_Gr_2A_S1_35	2_G1_soletta			
SLEFR_Gr_2A_S1_35	3_G1_marciapiede			
SLEFR_Gr_2A_S1_35	4_G1_traverso			
SLEFR_Gr_2A_S1_35	5_G2_veletta			
SLEFR_Gr_2A_S1_35	6_G2_impianti			

RELAZIONE DI CALCOLO

COMMESSA	LOTTO	CODIFICA	DOCUMENTO	REV.	FOGLIO
NRIJ	01 D 29	CL	IV0104 001	B	255 di 341

SLEFR_Gr_2A_S1_35	7_G2_parapetti			
SLEFR_Gr_2A_S1_35	8_G2_pavimentazione			
SLEFR_Gr_2A_S1_35	9_G2_sicurvia			
SLEFR_Gr_2A_S1_35	11_Q1k			
SLEFR_Gr_2A_S1_35	10_q1k			
SLEFR_Gr_2A_S1_35	13_Q2k			
SLEFR_Gr_2A_S1_35	12_q2k			
SLEFR_Gr_2A_S1_35	16_Q_zr			
SLEFR_Gr_2A_S1_35	17_qfk			
SLEFR_Gr_2A_S1_35	20_q4_centr			
SLEFR_Gr_2A_S1_35	19_q3_frenatura			
SLEFR_Gr_2A_S1_35	15_Q3k			
SLEFR_Gr_2A_S1_35	14_q3k			
SLEFR_Gr_2A_S1_35	24_q_vento_tot			
SLEFR_Gr_2A_S1_35	23_q_temp F			
SLEFR_Gr_2A_S1_35	22_q_ritiro			
SLEFR_Gr_2A_S1_35	21_q8			
SLEFR_Gr_2A_S1_36	DEAD	None	None	None
SLEFR_Gr_2A_S1_36	1_G1_trave			
SLEFR_Gr_2A_S1_36	2_G1_soletta			
SLEFR_Gr_2A_S1_36	3_G1_marciapiede			
SLEFR_Gr_2A_S1_36	4_G1_traverso			
SLEFR_Gr_2A_S1_36	5_G2_veletta			
SLEFR_Gr_2A_S1_36	6_G2_impianti			
SLEFR_Gr_2A_S1_36	7_G2_parapetti			
SLEFR_Gr_2A_S1_36	8_G2_pavimentazione			
SLEFR_Gr_2A_S1_36	9_G2_sicurvia			
SLEFR_Gr_2A_S1_36	11_Q1k			
SLEFR_Gr_2A_S1_36	10_q1k			
SLEFR_Gr_2A_S1_36	13_Q2k			
SLEFR_Gr_2A_S1_36	12_q2k			
SLEFR_Gr_2A_S1_36	16_Q_zr			
SLEFR_Gr_2A_S1_36	17_qfk			
SLEFR_Gr_2A_S1_36	20_q4_centr			
SLEFR_Gr_2A_S1_36	19_q3_frenatura			
SLEFR_Gr_2A_S1_36	15_Q3k			
SLEFR_Gr_2A_S1_36	14_q3k			
SLEFR_Gr_2A_S1_36	24_q_vento_tot			
SLEFR_Gr_2A_S1_36	23_q_temp F			
SLEFR_Gr_2A_S1_36	22_q_ritiro			
SLEFR_Gr_2A_S1_36	21_q8			
SLEFR_Gr_2A_S1_37	DEAD	None	None	None
SLEFR_Gr_2A_S1_37	1_G1_trave			
SLEFR_Gr_2A_S1_37	2_G1_soletta			
SLEFR_Gr_2A_S1_37	3_G1_marciapiede			
SLEFR_Gr_2A_S1_37	4_G1_traverso			
SLEFR_Gr_2A_S1_37	5_G2_veletta			
SLEFR_Gr_2A_S1_37	6_G2_impianti			
SLEFR_Gr_2A_S1_37	7_G2_parapetti			
SLEFR_Gr_2A_S1_37	8_G2_pavimentazione			
SLEFR_Gr_2A_S1_37	9_G2_sicurvia			
SLEFR_Gr_2A_S1_37	11_Q1k			
SLEFR_Gr_2A_S1_37	10_q1k			
SLEFR_Gr_2A_S1_37	13_Q2k			
SLEFR_Gr_2A_S1_37	12_q2k			
SLEFR_Gr_2A_S1_37	16_Q_zr			
SLEFR_Gr_2A_S1_37	17_qfk			
SLEFR_Gr_2A_S1_37	20_q4_centr			
SLEFR_Gr_2A_S1_37	19_q3_frenatura			
SLEFR_Gr_2A_S1_37	15_Q3k			
SLEFR_Gr_2A_S1_37	14_q3k			
SLEFR_Gr_2A_S1_37	24_q_vento_tot			

RELAZIONE DI CALCOLO

COMMESSA	LOTTO	CODIFICA	DOCUMENTO	REV.	FOGLIO
NRIJ	01 D 29	CL	IV0104 001	B	256 di 341

SLEFR_Gr_2A_S1_37	23_q_temp F			
SLEFR_Gr_2A_S1_37	22_q_ritiro			
SLEFR_Gr_2A_S1_37	21_q8			
SLEFR_Gr_2A_S1_38	DEAD	None	None	None
SLEFR_Gr_2A_S1_38	1_G1_trave			
SLEFR_Gr_2A_S1_38	2_G1_soletta			
SLEFR_Gr_2A_S1_38	3_G1_marciapiede			
SLEFR_Gr_2A_S1_38	4_G1_traverso			
SLEFR_Gr_2A_S1_38	5_G2_veletta			
SLEFR_Gr_2A_S1_38	6_G2_impianti			
SLEFR_Gr_2A_S1_38	7_G2_parapetti			
SLEFR_Gr_2A_S1_38	8_G2_pavimentazione			
SLEFR_Gr_2A_S1_38	9_G2_sicurvia			
SLEFR_Gr_2A_S1_38	11_Q1k			
SLEFR_Gr_2A_S1_38	10_q1k			
SLEFR_Gr_2A_S1_38	13_Q2k			
SLEFR_Gr_2A_S1_38	12_q2k			
SLEFR_Gr_2A_S1_38	16_Q_zr			
SLEFR_Gr_2A_S1_38	17_qfk			
SLEFR_Gr_2A_S1_38	20_q4_centr			
SLEFR_Gr_2A_S1_38	19_q3_frenatura			
SLEFR_Gr_2A_S1_38	15_Q3k			
SLEFR_Gr_2A_S1_38	14_q3k			
SLEFR_Gr_2A_S1_38	24_q_vento_tot			
SLEFR_Gr_2A_S1_38	23_q_temp F			
SLEFR_Gr_2A_S1_38	22_q_ritiro			
SLEFR_Gr_2A_S1_38	21_q8			
SLEFR_Gr_2A_S1_39	DEAD	None	None	None
SLEFR_Gr_2A_S1_39	1_G1_trave			
SLEFR_Gr_2A_S1_39	2_G1_soletta			
SLEFR_Gr_2A_S1_39	3_G1_marciapiede			
SLEFR_Gr_2A_S1_39	4_G1_traverso			
SLEFR_Gr_2A_S1_39	5_G2_veletta			
SLEFR_Gr_2A_S1_39	6_G2_impianti			
SLEFR_Gr_2A_S1_39	7_G2_parapetti			
SLEFR_Gr_2A_S1_39	8_G2_pavimentazione			
SLEFR_Gr_2A_S1_39	9_G2_sicurvia			
SLEFR_Gr_2A_S1_39	11_Q1k			
SLEFR_Gr_2A_S1_39	10_q1k			
SLEFR_Gr_2A_S1_39	13_Q2k			
SLEFR_Gr_2A_S1_39	12_q2k			
SLEFR_Gr_2A_S1_39	16_Q_zr			
SLEFR_Gr_2A_S1_39	17_qfk			
SLEFR_Gr_2A_S1_39	20_q4_centr			
SLEFR_Gr_2A_S1_39	19_q3_frenatura			
SLEFR_Gr_2A_S1_39	15_Q3k			
SLEFR_Gr_2A_S1_39	14_q3k			
SLEFR_Gr_2A_S1_39	24_q_vento_tot			
SLEFR_Gr_2A_S1_39	23_q_temp F			
SLEFR_Gr_2A_S1_39	22_q_ritiro			
SLEFR_Gr_2A_S1_39	21_q8			
SLEFR_Gr_2A_S1_40	DEAD	None	None	None
SLEFR_Gr_2A_S1_40	1_G1_trave			
SLEFR_Gr_2A_S1_40	2_G1_soletta			
SLEFR_Gr_2A_S1_40	3_G1_marciapiede			
SLEFR_Gr_2A_S1_40	4_G1_traverso			
SLEFR_Gr_2A_S1_40	5_G2_veletta			
SLEFR_Gr_2A_S1_40	6_G2_impianti			
SLEFR_Gr_2A_S1_40	7_G2_parapetti			
SLEFR_Gr_2A_S1_40	8_G2_pavimentazione			
SLEFR_Gr_2A_S1_40	9_G2_sicurvia			
SLEFR_Gr_2A_S1_40	11_Q1k			

RELAZIONE DI CALCOLO

COMMESSA	LOTTO	CODIFICA	DOCUMENTO	REV.	FOGLIO
NRIJ	01 D 29	CL	IV0104 001	B	257 di 341

SLEFR_Gr_2A_S1_40	10_q1k			
SLEFR_Gr_2A_S1_40	13_Q2k			
SLEFR_Gr_2A_S1_40	12_q2k			
SLEFR_Gr_2A_S1_40	16_Q_zr			
SLEFR_Gr_2A_S1_40	17_qfk			
SLEFR_Gr_2A_S1_40	20_q4_centr			
SLEFR_Gr_2A_S1_40	19_q3_frenatura			
SLEFR_Gr_2A_S1_40	15_Q3k			
SLEFR_Gr_2A_S1_40	14_q3k			
SLEFR_Gr_2A_S1_40	24_q_vento_tot			
SLEFR_Gr_2A_S1_40	23_q_temp F			
SLEFR_Gr_2A_S1_40	22_q_ritiro			
SLEFR_Gr_2A_S1_40	21_q8			
SLEQP_Gr_1_S1_1	DEAD	None	None	None
SLEQP_Gr_1_S1_1	1_G1_trave			
SLEQP_Gr_1_S1_1	2_G1_soletta			
SLEQP_Gr_1_S1_1	3_G1_marciapiede			
SLEQP_Gr_1_S1_1	4_G1_traverso			
SLEQP_Gr_1_S1_1	5_G2_veletta			
SLEQP_Gr_1_S1_1	6_G2_impianti			
SLEQP_Gr_1_S1_1	7_G2_parapetti			
SLEQP_Gr_1_S1_1	8_G2_pavimentazione			
SLEQP_Gr_1_S1_1	9_G2_sicurvia			
SLEQP_Gr_1_S1_1	11_Q1k			
SLEQP_Gr_1_S1_1	10_q1k			
SLEQP_Gr_1_S1_1	13_Q2k			
SLEQP_Gr_1_S1_1	12_q2k			
SLEQP_Gr_1_S1_1	16_Q_zr			
SLEQP_Gr_1_S1_1	17_qfk			
SLEQP_Gr_1_S1_1	20_q4_centr			
SLEQP_Gr_1_S1_1	19_q3_frenatura			
SLEQP_Gr_1_S1_1	15_Q3k			
SLEQP_Gr_1_S1_1	14_q3k			
SLEQP_Gr_1_S1_1	24_q_vento_tot			
SLEQP_Gr_1_S1_1	23_q_temp F			
SLEQP_Gr_1_S1_1	22_q_ritiro			
SLEQP_Gr_1_S1_1	21_q8			
SLEQP_Gr_1_S1_2	DEAD	None	None	None
SLEQP_Gr_1_S1_2	1_G1_trave			
SLEQP_Gr_1_S1_2	2_G1_soletta			
SLEQP_Gr_1_S1_2	3_G1_marciapiede			
SLEQP_Gr_1_S1_2	4_G1_traverso			
SLEQP_Gr_1_S1_2	5_G2_veletta			
SLEQP_Gr_1_S1_2	6_G2_impianti			
SLEQP_Gr_1_S1_2	7_G2_parapetti			
SLEQP_Gr_1_S1_2	8_G2_pavimentazione			
SLEQP_Gr_1_S1_2	9_G2_sicurvia			
SLEQP_Gr_1_S1_2	11_Q1k			
SLEQP_Gr_1_S1_2	10_q1k			
SLEQP_Gr_1_S1_2	13_Q2k			
SLEQP_Gr_1_S1_2	12_q2k			
SLEQP_Gr_1_S1_2	16_Q_zr			
SLEQP_Gr_1_S1_2	17_qfk			
SLEQP_Gr_1_S1_2	20_q4_centr			
SLEQP_Gr_1_S1_2	19_q3_frenatura			
SLEQP_Gr_1_S1_2	15_Q3k			
SLEQP_Gr_1_S1_2	14_q3k			
SLEQP_Gr_1_S1_2	24_q_vento_tot			
SLEQP_Gr_1_S1_2	23_q_temp F			
SLEQP_Gr_1_S1_2	22_q_ritiro			
SLEQP_Gr_1_S1_2	21_q8			
SLEQP_Gr_1_S1_3	DEAD	None	None	None

RELAZIONE DI CALCOLO

COMMESSA	LOTTO	CODIFICA	DOCUMENTO	REV.	FOGLIO
NRIJ	01 D 29	CL	IV0104 001	B	258 di 341

SLEQP_Gr_1_S1_3	1_G1_trave			
SLEQP_Gr_1_S1_3	2_G1_soletta			
SLEQP_Gr_1_S1_3	3_G1_marciapiede			
SLEQP_Gr_1_S1_3	4_G1_traverso			
SLEQP_Gr_1_S1_3	5_G2_veletta			
SLEQP_Gr_1_S1_3	6_G2_impianti			
SLEQP_Gr_1_S1_3	7_G2_parapetti			
SLEQP_Gr_1_S1_3	8_G2_pavimentazione			
SLEQP_Gr_1_S1_3	9_G2_sicurvia			
SLEQP_Gr_1_S1_3	11_Q1k			
SLEQP_Gr_1_S1_3	10_q1k			
SLEQP_Gr_1_S1_3	13_Q2k			
SLEQP_Gr_1_S1_3	12_q2k			
SLEQP_Gr_1_S1_3	16_Q_zr			
SLEQP_Gr_1_S1_3	17_qfk			
SLEQP_Gr_1_S1_3	20_q4_centr			
SLEQP_Gr_1_S1_3	19_q3_frenatura			
SLEQP_Gr_1_S1_3	15_Q3k			
SLEQP_Gr_1_S1_3	14_q3k			
SLEQP_Gr_1_S1_3	24_q_vento_tot			
SLEQP_Gr_1_S1_3	23_q_temp F			
SLEQP_Gr_1_S1_3	22_q_ritiro			
SLEQP_Gr_1_S1_3	21_q8			
SLEQP_Gr_1_S1_4	DEAD	None	None	None
SLEQP_Gr_1_S1_4	1_G1_trave			
SLEQP_Gr_1_S1_4	2_G1_soletta			
SLEQP_Gr_1_S1_4	3_G1_marciapiede			
SLEQP_Gr_1_S1_4	4_G1_traverso			
SLEQP_Gr_1_S1_4	5_G2_veletta			
SLEQP_Gr_1_S1_4	6_G2_impianti			
SLEQP_Gr_1_S1_4	7_G2_parapetti			
SLEQP_Gr_1_S1_4	8_G2_pavimentazione			
SLEQP_Gr_1_S1_4	9_G2_sicurvia			
SLEQP_Gr_1_S1_4	11_Q1k			
SLEQP_Gr_1_S1_4	10_q1k			
SLEQP_Gr_1_S1_4	13_Q2k			
SLEQP_Gr_1_S1_4	12_q2k			
SLEQP_Gr_1_S1_4	16_Q_zr			
SLEQP_Gr_1_S1_4	17_qfk			
SLEQP_Gr_1_S1_4	20_q4_centr			
SLEQP_Gr_1_S1_4	19_q3_frenatura			
SLEQP_Gr_1_S1_4	15_Q3k			
SLEQP_Gr_1_S1_4	14_q3k			
SLEQP_Gr_1_S1_4	24_q_vento_tot			
SLEQP_Gr_1_S1_4	23_q_temp F			
SLEQP_Gr_1_S1_4	22_q_ritiro			
SLEQP_Gr_1_S1_4	21_q8			
SLEQP_Gr_1_S1_5	DEAD	None	None	None
SLEQP_Gr_1_S1_5	1_G1_trave			
SLEQP_Gr_1_S1_5	2_G1_soletta			
SLEQP_Gr_1_S1_5	3_G1_marciapiede			
SLEQP_Gr_1_S1_5	4_G1_traverso			
SLEQP_Gr_1_S1_5	5_G2_veletta			
SLEQP_Gr_1_S1_5	6_G2_impianti			
SLEQP_Gr_1_S1_5	7_G2_parapetti			
SLEQP_Gr_1_S1_5	8_G2_pavimentazione			
SLEQP_Gr_1_S1_5	9_G2_sicurvia			
SLEQP_Gr_1_S1_5	11_Q1k			
SLEQP_Gr_1_S1_5	10_q1k			
SLEQP_Gr_1_S1_5	13_Q2k			
SLEQP_Gr_1_S1_5	12_q2k			
SLEQP_Gr_1_S1_5	16_Q_zr			

RELAZIONE DI CALCOLO

COMMESSA	LOTTO	CODIFICA	DOCUMENTO	REV.	FOGLIO
NRIJ	01 D 29	CL	IV0104 001	B	259 di 341

SLEQP_Gr_1_S1_5	17_qfk			
SLEQP_Gr_1_S1_5	20_q4_centra			
SLEQP_Gr_1_S1_5	19_q3_frenatura			
SLEQP_Gr_1_S1_5	15_Q3k			
SLEQP_Gr_1_S1_5	14_q3k			
SLEQP_Gr_1_S1_5	24_q_vento_tot			
SLEQP_Gr_1_S1_5	23_q_temp F			
SLEQP_Gr_1_S1_5	22_q_ritiro			
SLEQP_Gr_1_S1_5	21_q8			
SLEQP_Gr_1_S1_6	DEAD	None	None	None
SLEQP_Gr_1_S1_6	1_G1_trave			
SLEQP_Gr_1_S1_6	2_G1_soletta			
SLEQP_Gr_1_S1_6	3_G1_marciapiede			
SLEQP_Gr_1_S1_6	4_G1_traverso			
SLEQP_Gr_1_S1_6	5_G2_veletta			
SLEQP_Gr_1_S1_6	6_G2_impianti			
SLEQP_Gr_1_S1_6	7_G2_parapetti			
SLEQP_Gr_1_S1_6	8_G2_pavimentazione			
SLEQP_Gr_1_S1_6	9_G2_sicurvia			
SLEQP_Gr_1_S1_6	11_Q1k			
SLEQP_Gr_1_S1_6	10_q1k			
SLEQP_Gr_1_S1_6	13_Q2k			
SLEQP_Gr_1_S1_6	12_q2k			
SLEQP_Gr_1_S1_6	16_Q_zr			
SLEQP_Gr_1_S1_6	17_qfk			
SLEQP_Gr_1_S1_6	20_q4_centra			
SLEQP_Gr_1_S1_6	19_q3_frenatura			
SLEQP_Gr_1_S1_6	15_Q3k			
SLEQP_Gr_1_S1_6	14_q3k			
SLEQP_Gr_1_S1_6	24_q_vento_tot			
SLEQP_Gr_1_S1_6	23_q_temp F			
SLEQP_Gr_1_S1_6	22_q_ritiro			
SLEQP_Gr_1_S1_6	21_q8			
SLV_1_q1	DEAD	None	None	None
SLV_1_q1	1_G1_trave			
SLV_1_q1	2_G1_soletta			
SLV_1_q1	3_G1_marciapiede			
SLV_1_q1	4_G1_traverso			
SLV_1_q1	5_G2_veletta			
SLV_1_q1	6_G2_impianti			
SLV_1_q1	7_G2_parapetti			
SLV_1_q1	8_G2_pavimentazione			
SLV_1_q1	9_G2_sicurvia			
SLV_1_q1	11_Q1k			
SLV_1_q1	10_q1k			
SLV_1_q1	13_Q2k			
SLV_1_q1	12_q2k			
SLV_1_q1	16_Q_zr			
SLV_1_q1	17_qfk			
SLV_1_q1	20_q4_centra			
SLV_1_q1	19_q3_frenatura			
SLV_1_q1	15_Q3k			
SLV_1_q1	14_q3k			
SLV_1_q1	24_q_vento_tot			
SLV_1_q1	23_q_temp F			
SLV_1_q1	22_q_ritiro			
SLV_1_q1	21_q8			
SLV_1_q1	SLV_h_U1_1			
SLV_1_q1	SLV_h_U2_1			
SLV_1_q1	SLV_v_1			
SLV_2_q1	DEAD	None	None	None
SLV_2_q1	1_G1_trave			

RELAZIONE DI CALCOLO

COMMESSA	LOTTO	CODIFICA	DOCUMENTO	REV.	FOGLIO
NRIJ	01 D 29	CL	IV0104 001	B	260 di 341

SLV_2_q1	2_G1_soletta			
SLV_2_q1	3_G1_marciapiede			
SLV_2_q1	4_G1_traverso			
SLV_2_q1	5_G2_veletta			
SLV_2_q1	6_G2_impianti			
SLV_2_q1	7_G2_parapetti			
SLV_2_q1	8_G2_pavimentazione			
SLV_2_q1	9_G2_sicurvia			
SLV_2_q1	11_Q1k			
SLV_2_q1	10_q1k			
SLV_2_q1	13_Q2k			
SLV_2_q1	12_q2k			
SLV_2_q1	16_Q_zr			
SLV_2_q1	17_qfk			
SLV_2_q1	20_q4_centr			
SLV_2_q1	19_q3_frenatura			
SLV_2_q1	15_Q3k			
SLV_2_q1	14_q3k			
SLV_2_q1	24_q_vento_tot			
SLV_2_q1	23_q_temp F			
SLV_2_q1	22_q_ritiro			
SLV_2_q1	21_q8			
SLV_2_q1	SLV_h_U1_1			
SLV_2_q1	SLV_h_U2_1			
SLV_2_q1	SLV_v_1			
SLV_3_q1	DEAD	None	None	None
SLV_3_q1	1_G1_trave			
SLV_3_q1	2_G1_soletta			
SLV_3_q1	3_G1_marciapiede			
SLV_3_q1	4_G1_traverso			
SLV_3_q1	5_G2_veletta			
SLV_3_q1	6_G2_impianti			
SLV_3_q1	7_G2_parapetti			
SLV_3_q1	8_G2_pavimentazione			
SLV_3_q1	9_G2_sicurvia			
SLV_3_q1	11_Q1k			
SLV_3_q1	10_q1k			
SLV_3_q1	13_Q2k			
SLV_3_q1	12_q2k			
SLV_3_q1	16_Q_zr			
SLV_3_q1	17_qfk			
SLV_3_q1	20_q4_centr			
SLV_3_q1	19_q3_frenatura			
SLV_3_q1	15_Q3k			
SLV_3_q1	14_q3k			
SLV_3_q1	24_q_vento_tot			
SLV_3_q1	23_q_temp F			
SLV_3_q1	22_q_ritiro			
SLV_3_q1	21_q8			
SLV_3_q1	SLV_h_U1_1			
SLV_3_q1	SLV_h_U2_1			
SLV_3_q1	SLV_v_1			
SLV_4_q1	DEAD	None	None	None
SLV_4_q1	1_G1_trave			
SLV_4_q1	2_G1_soletta			
SLV_4_q1	3_G1_marciapiede			
SLV_4_q1	4_G1_traverso			
SLV_4_q1	5_G2_veletta			
SLV_4_q1	6_G2_impianti			
SLV_4_q1	7_G2_parapetti			
SLV_4_q1	8_G2_pavimentazione			
SLV_4_q1	9_G2_sicurvia			

RELAZIONE DI CALCOLO

COMMESSA	LOTTO	CODIFICA	DOCUMENTO	REV.	FOGLIO
NRIJ	01 D 29	CL	IV0104 001	B	261 di 341

SLV_4_q1	11_Q1k			
SLV_4_q1	10_q1k			
SLV_4_q1	13_Q2k			
SLV_4_q1	12_q2k			
SLV_4_q1	16_Q_zr			
SLV_4_q1	17_qfk			
SLV_4_q1	20_q4_centra			
SLV_4_q1	19_q3_frenatura			
SLV_4_q1	15_Q3k			
SLV_4_q1	14_q3k			
SLV_4_q1	24_q_vento_tot			
SLV_4_q1	23_q_temp F			
SLV_4_q1	22_q_ritiro			
SLV_4_q1	21_q8			
SLV_4_q1	SLV_h_U1_1			
SLV_4_q1	SLV_h_U2_1			
SLV_4_q1	SLV_v_1			
SLV_5_q1	DEAD	None	None	None
SLV_5_q1	1_G1_trave			
SLV_5_q1	2_G1_soletta			
SLV_5_q1	3_G1_marciapiede			
SLV_5_q1	4_G1_traverso			
SLV_5_q1	5_G2_veletta			
SLV_5_q1	6_G2_impianti			
SLV_5_q1	7_G2_parapetti			
SLV_5_q1	8_G2_pavimentazione			
SLV_5_q1	9_G2_sicurvia			
SLV_5_q1	11_Q1k			
SLV_5_q1	10_q1k			
SLV_5_q1	13_Q2k			
SLV_5_q1	12_q2k			
SLV_5_q1	16_Q_zr			
SLV_5_q1	17_qfk			
SLV_5_q1	20_q4_centra			
SLV_5_q1	19_q3_frenatura			
SLV_5_q1	15_Q3k			
SLV_5_q1	14_q3k			
SLV_5_q1	24_q_vento_tot			
SLV_5_q1	23_q_temp F			
SLV_5_q1	22_q_ritiro			
SLV_5_q1	21_q8			
SLV_5_q1	SLV_h_U1_1			
SLV_5_q1	SLV_h_U2_1			
SLV_5_q1	SLV_v_1			
SLV_6_q1	DEAD	None	None	None
SLV_6_q1	1_G1_trave			
SLV_6_q1	2_G1_soletta			
SLV_6_q1	3_G1_marciapiede			
SLV_6_q1	4_G1_traverso			
SLV_6_q1	5_G2_veletta			
SLV_6_q1	6_G2_impianti			
SLV_6_q1	7_G2_parapetti			
SLV_6_q1	8_G2_pavimentazione			
SLV_6_q1	9_G2_sicurvia			
SLV_6_q1	11_Q1k			
SLV_6_q1	10_q1k			
SLV_6_q1	13_Q2k			
SLV_6_q1	12_q2k			
SLV_6_q1	16_Q_zr			
SLV_6_q1	17_qfk			
SLV_6_q1	20_q4_centra			
SLV_6_q1	19_q3_frenatura			

RELAZIONE DI CALCOLO

COMMESSA	LOTTO	CODIFICA	DOCUMENTO	REV.	FOGLIO
NRIJ	01 D 29	CL	IV0104 001	B	262 di 341

SLV_6_q1	15_Q3k			
SLV_6_q1	14_q3k			
SLV_6_q1	24_q_vento_tot			
SLV_6_q1	23_q_temp F			
SLV_6_q1	22_q_ritiro			
SLV_6_q1	21_q8			
SLV_6_q1	SLV_h_U1_1			
SLV_6_q1	SLV_h_U2_1			
SLV_6_q1	SLV_v_1			
SLV_7_q1	DEAD	None	None	None
SLV_7_q1	1_G1_trave			
SLV_7_q1	2_G1_soletta			
SLV_7_q1	3_G1_marciapiede			
SLV_7_q1	4_G1_traverso			
SLV_7_q1	5_G2_veletta			
SLV_7_q1	6_G2_impianti			
SLV_7_q1	7_G2_parapetti			
SLV_7_q1	8_G2_pavimentazione			
SLV_7_q1	9_G2_sicurvia			
SLV_7_q1	11_Q1k			
SLV_7_q1	10_q1k			
SLV_7_q1	13_Q2k			
SLV_7_q1	12_q2k			
SLV_7_q1	16_Q_zr			
SLV_7_q1	17_qfk			
SLV_7_q1	20_q4_centra			
SLV_7_q1	19_q3_frenatura			
SLV_7_q1	15_Q3k			
SLV_7_q1	14_q3k			
SLV_7_q1	24_q_vento_tot			
SLV_7_q1	23_q_temp F			
SLV_7_q1	22_q_ritiro			
SLV_7_q1	21_q8			
SLV_7_q1	SLV_h_U1_1			
SLV_7_q1	SLV_h_U2_1			
SLV_7_q1	SLV_v_1			
SLV_8_q1	DEAD	None	None	None
SLV_8_q1	1_G1_trave			
SLV_8_q1	2_G1_soletta			
SLV_8_q1	3_G1_marciapiede			
SLV_8_q1	4_G1_traverso			
SLV_8_q1	5_G2_veletta			
SLV_8_q1	6_G2_impianti			
SLV_8_q1	7_G2_parapetti			
SLV_8_q1	8_G2_pavimentazione			
SLV_8_q1	9_G2_sicurvia			
SLV_8_q1	11_Q1k			
SLV_8_q1	10_q1k			
SLV_8_q1	13_Q2k			
SLV_8_q1	12_q2k			
SLV_8_q1	16_Q_zr			
SLV_8_q1	17_qfk			
SLV_8_q1	20_q4_centra			
SLV_8_q1	19_q3_frenatura			
SLV_8_q1	15_Q3k			
SLV_8_q1	14_q3k			
SLV_8_q1	24_q_vento_tot			
SLV_8_q1	23_q_temp F			
SLV_8_q1	22_q_ritiro			
SLV_8_q1	21_q8			
SLV_8_q1	SLV_h_U1_1			
SLV_8_q1	SLV_h_U2_1			

RELAZIONE DI CALCOLO

COMMESSA	LOTTO	CODIFICA	DOCUMENTO	REV.	FOGLIO
NRIJ	01 D 29	CL	IV0104 001	B	263 di 341

SLV_8_q1	SLV_v_1			
SLV_9_q1	DEAD	None	None	None
SLV_9_q1	1_G1_trave			
SLV_9_q1	2_G1_soletta			
SLV_9_q1	3_G1_marciapiede			
SLV_9_q1	4_G1_traverso			
SLV_9_q1	5_G2_veletta			
SLV_9_q1	6_G2_impianti			
SLV_9_q1	7_G2_parapetti			
SLV_9_q1	8_G2_pavimentazione			
SLV_9_q1	9_G2_sicurvia			
SLV_9_q1	11_Q1k			
SLV_9_q1	10_q1k			
SLV_9_q1	13_Q2k			
SLV_9_q1	12_q2k			
SLV_9_q1	16_Q_zr			
SLV_9_q1	17_qfk			
SLV_9_q1	20_q4_centr			
SLV_9_q1	19_q3_frenatura			
SLV_9_q1	15_Q3k			
SLV_9_q1	14_q3k			
SLV_9_q1	24_q_vento_tot			
SLV_9_q1	23_q_temp F			
SLV_9_q1	22_q_ritiro			
SLV_9_q1	21_q8			
SLV_9_q1	SLV_h_U1_1			
SLV_9_q1	SLV_h_U2_1			
SLV_9_q1	SLV_v_1			
SLV_10_q1	DEAD	None	None	None
SLV_10_q1	1_G1_trave			
SLV_10_q1	2_G1_soletta			
SLV_10_q1	3_G1_marciapiede			
SLV_10_q1	4_G1_traverso			
SLV_10_q1	5_G2_veletta			
SLV_10_q1	6_G2_impianti			
SLV_10_q1	7_G2_parapetti			
SLV_10_q1	8_G2_pavimentazione			
SLV_10_q1	9_G2_sicurvia			
SLV_10_q1	11_Q1k			
SLV_10_q1	10_q1k			
SLV_10_q1	13_Q2k			
SLV_10_q1	12_q2k			
SLV_10_q1	16_Q_zr			
SLV_10_q1	17_qfk			
SLV_10_q1	20_q4_centr			
SLV_10_q1	19_q3_frenatura			
SLV_10_q1	15_Q3k			
SLV_10_q1	14_q3k			
SLV_10_q1	24_q_vento_tot			
SLV_10_q1	23_q_temp F			
SLV_10_q1	22_q_ritiro			
SLV_10_q1	21_q8			
SLV_10_q1	SLV_h_U1_1			
SLV_10_q1	SLV_h_U2_1			
SLV_10_q1	SLV_v_1			
SLV_11_q1	DEAD	None	None	None
SLV_11_q1	1_G1_trave			
SLV_11_q1	2_G1_soletta			
SLV_11_q1	3_G1_marciapiede			
SLV_11_q1	4_G1_traverso			
SLV_11_q1	5_G2_veletta			
SLV_11_q1	6_G2_impianti			

RELAZIONE DI CALCOLO

COMMESSA	LOTTO	CODIFICA	DOCUMENTO	REV.	FOGLIO
NRIJ	01 D 29	CL	IV0104 001	B	264 di 341

SLV_11_q1	7_G2_parapetti			
SLV_11_q1	8_G2_pavimentazione			
SLV_11_q1	9_G2_sicurvia			
SLV_11_q1	11_Q1k			
SLV_11_q1	10_q1k			
SLV_11_q1	13_Q2k			
SLV_11_q1	12_q2k			
SLV_11_q1	16_Q_zr			
SLV_11_q1	17_qfk			
SLV_11_q1	20_q4_centra			
SLV_11_q1	19_q3_frenatura			
SLV_11_q1	15_Q3k			
SLV_11_q1	14_q3k			
SLV_11_q1	24_q_vento_tot			
SLV_11_q1	23_q_temp F			
SLV_11_q1	22_q_ritiro			
SLV_11_q1	21_q8			
SLV_11_q1	SLV_h_U1_1			
SLV_11_q1	SLV_h_U2_1			
SLV_11_q1	SLV_v_1			
SLV_12_q1	DEAD	None	None	None
SLV_12_q1	1_G1_trave			
SLV_12_q1	2_G1_soletta			
SLV_12_q1	3_G1_marcia piede			
SLV_12_q1	4_G1_traverso			
SLV_12_q1	5_G2_veletta			
SLV_12_q1	6_G2_impianti			
SLV_12_q1	7_G2_parapetti			
SLV_12_q1	8_G2_pavimentazione			
SLV_12_q1	9_G2_sicurvia			
SLV_12_q1	11_Q1k			
SLV_12_q1	10_q1k			
SLV_12_q1	13_Q2k			
SLV_12_q1	12_q2k			
SLV_12_q1	16_Q_zr			
SLV_12_q1	17_qfk			
SLV_12_q1	20_q4_centra			
SLV_12_q1	19_q3_frenatura			
SLV_12_q1	15_Q3k			
SLV_12_q1	14_q3k			
SLV_12_q1	24_q_vento_tot			
SLV_12_q1	23_q_temp F			
SLV_12_q1	22_q_ritiro			
SLV_12_q1	21_q8			
SLV_12_q1	SLV_h_U1_1			
SLV_12_q1	SLV_h_U2_1			
SLV_12_q1	SLV_v_1			
SLV_13_q1	DEAD	None	None	None
SLV_13_q1	1_G1_trave			
SLV_13_q1	2_G1_soletta			
SLV_13_q1	3_G1_marcia piede			
SLV_13_q1	4_G1_traverso			
SLV_13_q1	5_G2_veletta			
SLV_13_q1	6_G2_impianti			
SLV_13_q1	7_G2_parapetti			
SLV_13_q1	8_G2_pavimentazione			
SLV_13_q1	9_G2_sicurvia			
SLV_13_q1	11_Q1k			
SLV_13_q1	10_q1k			
SLV_13_q1	13_Q2k			
SLV_13_q1	12_q2k			
SLV_13_q1	16_Q_zr			

RELAZIONE DI CALCOLO

COMMESSA	LOTTO	CODIFICA	DOCUMENTO	REV.	FOGLIO
NRIJ	01 D 29	CL	IV0104 001	B	265 di 341

SLV_13_q1	17_qfk			
SLV_13_q1	20_q4_centr			
SLV_13_q1	19_q3_frenatura			
SLV_13_q1	15_Q3k			
SLV_13_q1	14_q3k			
SLV_13_q1	24_q_vento_tot			
SLV_13_q1	23_q_temp F			
SLV_13_q1	22_q_ritiro			
SLV_13_q1	21_q8			
SLV_13_q1	SLV_h_U1_1			
SLV_13_q1	SLV_h_U2_1			
SLV_13_q1	SLV_v_1			
SLV_14_q1	DEAD	None	None	None
SLV_14_q1	1_G1_trave			
SLV_14_q1	2_G1_soletta			
SLV_14_q1	3_G1_marciapiede			
SLV_14_q1	4_G1_traverso			
SLV_14_q1	5_G2_veletta			
SLV_14_q1	6_G2_impianti			
SLV_14_q1	7_G2_parapetti			
SLV_14_q1	8_G2_pavimentazione			
SLV_14_q1	9_G2_sicurvia			
SLV_14_q1	11_Q1k			
SLV_14_q1	10_q1k			
SLV_14_q1	13_Q2k			
SLV_14_q1	12_q2k			
SLV_14_q1	16_Q_zr			
SLV_14_q1	17_qfk			
SLV_14_q1	20_q4_centr			
SLV_14_q1	19_q3_frenatura			
SLV_14_q1	15_Q3k			
SLV_14_q1	14_q3k			
SLV_14_q1	24_q_vento_tot			
SLV_14_q1	23_q_temp F			
SLV_14_q1	22_q_ritiro			
SLV_14_q1	21_q8			
SLV_14_q1	SLV_h_U1_1			
SLV_14_q1	SLV_h_U2_1			
SLV_14_q1	SLV_v_1			
SLV_15_q1	DEAD	None	None	None
SLV_15_q1	1_G1_trave			
SLV_15_q1	2_G1_soletta			
SLV_15_q1	3_G1_marciapiede			
SLV_15_q1	4_G1_traverso			
SLV_15_q1	5_G2_veletta			
SLV_15_q1	6_G2_impianti			
SLV_15_q1	7_G2_parapetti			
SLV_15_q1	8_G2_pavimentazione			
SLV_15_q1	9_G2_sicurvia			
SLV_15_q1	11_Q1k			
SLV_15_q1	10_q1k			
SLV_15_q1	13_Q2k			
SLV_15_q1	12_q2k			
SLV_15_q1	16_Q_zr			
SLV_15_q1	17_qfk			
SLV_15_q1	20_q4_centr			
SLV_15_q1	19_q3_frenatura			
SLV_15_q1	15_Q3k			
SLV_15_q1	14_q3k			
SLV_15_q1	24_q_vento_tot			
SLV_15_q1	23_q_temp F			
SLV_15_q1	22_q_ritiro			

RELAZIONE DI CALCOLO

COMMESSA	LOTTO	CODIFICA	DOCUMENTO	REV.	FOGLIO
NRIJ	01 D 29	CL	IV0104 001	B	266 di 341

SLV_15_q1	21_q8			
SLV_15_q1	SLV_h_U1_1			
SLV_15_q1	SLV_h_U2_1			
SLV_15_q1	SLV_v_1			
SLU_ECC	1_G1_trave	None	None	None
SLU_ECC	2_G1_soletta			
SLU_ECC	3_G1_marcia piede			
SLU_ECC	4_G1_traverso			
SLU_ECC	5_G2_veletta			
SLU_ECC	6_G2_impianti			
SLU_ECC	7_G2_parapetti			
SLU_ECC	8_G2_pavimentazione			
SLU_ECC	9_G2_sicurvia			
SLU_ECC	21_q8			
ENVE_SIS_1	SLV_1_q1	None	None	None
ENVE_SIS_1	SLV_2_q1			
ENVE_SIS_1	SLV_3_q1			
ENVE_SIS_1	SLV_4_q1			
ENVE_SIS_1	SLV_5_q1			
ENVE_SIS_1	SLV_6_q1			
ENVE_SIS_1	SLV_7_q1			
ENVE_SIS_1	SLV_8_q1			
ENVE_SIS_1	SLV_9_q1			
ENVE_SIS_1	SLV_10_q1			
ENVE_SIS_1	SLV_11_q1			
ENVE_SIS_1	SLV_12_q1			
ENVE_SIS_1	SLV_13_q1			
ENVE_SIS_1	SLV_14_q1			
ENVE_SIS_1	SLV_15_q1			
ENVE_SLU	SLU_Gr_1_S1_1	None	None	None
ENVE_SLU	SLU_Gr_1_S1_2			
ENVE_SLU	SLU_Gr_1_S1_3			
ENVE_SLU	SLU_Gr_1_S1_4			
ENVE_SLU	SLU_Gr_1_S1_5			
ENVE_SLU	SLU_Gr_1_S1_6			
ENVE_SLU	SLU_Gr_1_S1_7			
ENVE_SLU	SLU_Gr_1_S1_8			
ENVE_SLU	SLU_Gr_1_S1_9			
ENVE_SLU	SLU_Gr_1_S1_10			
ENVE_SLU	SLU_Gr_1_S1_11			
ENVE_SLU	SLU_Gr_1_S1_12			
ENVE_SLU	SLU_Gr_1_S1_13			
ENVE_SLU	SLU_Gr_1_S1_14			
ENVE_SLU	SLU_Gr_1_S1_15			
ENVE_SLU	SLU_Gr_1_S1_16			
ENVE_SLU	SLU_Gr_1_S1_17			
ENVE_SLU	SLU_Gr_1_S1_18			
ENVE_SLU	SLU_Gr_1_S1_19			
ENVE_SLU	SLU_Gr_1_S1_20			
ENVE_SLU	SLU_Gr_1_S1_21			
ENVE_SLU	SLU_Gr_1_S1_22			
ENVE_SLU	SLU_Gr_1_S1_23			
ENVE_SLU	SLU_Gr_1_S1_24			
ENVE_SLU	SLU_Gr_1_S1_25			
ENVE_SLU	SLU_Gr_1_S1_26			
ENVE_SLU	SLU_Gr_1_S1_27			
ENVE_SLU	SLU_Gr_1_S1_28			
ENVE_SLU	SLU_Gr_1_S1_29			
ENVE_SLU	SLU_Gr_1_S1_30			
ENVE_SLU	SLU_Gr_1_S1_31			
ENVE_SLU	SLU_Gr_1_S1_32			
ENVE_SLU	SLU_Gr_1_S1_33			

RELAZIONE DI CALCOLO

COMMESSA	LOTTO	CODIFICA	DOCUMENTO	REV.	FOGLIO
NRIJ	01 D 29	CL	IV0104 001	B	267 di 341

ENVE_SLU SLU_Gr_1_S1_34
 ENVE_SLU SLU_Gr_1_S1_35
 ENVE_SLU SLU_Gr_1_S1_36
 ENVE_SLU SLU_Gr_1_S1_37
 ENVE_SLU SLU_Gr_1_S1_38
 ENVE_SLU SLU_Gr_1_S1_39
 ENVE_SLU SLU_Gr_1_S1_40
 ENVE_SLU SLU_Gr_2A_S1_1
 ENVE_SLU SLU_Gr_2A_S1_2
 ENVE_SLU SLU_Gr_2A_S1_3
 ENVE_SLU SLU_Gr_2A_S1_4
 ENVE_SLU SLU_Gr_2A_S1_5
 ENVE_SLU SLU_Gr_2A_S1_6
 ENVE_SLU SLU_Gr_2A_S1_7
 ENVE_SLU SLU_Gr_2A_S1_8
 ENVE_SLU SLU_Gr_2A_S1_9
 ENVE_SLU SLU_Gr_2A_S1_10
 ENVE_SLU SLU_Gr_2A_S1_11
 ENVE_SLU SLU_Gr_2A_S1_12
 ENVE_SLU SLU_Gr_2A_S1_13
 ENVE_SLU SLU_Gr_2A_S1_14
 ENVE_SLU SLU_Gr_2A_S1_15
 ENVE_SLU SLU_Gr_2A_S1_16
 ENVE_SLU SLU_Gr_2A_S1_17
 ENVE_SLU SLU_Gr_2A_S1_18
 ENVE_SLU SLU_Gr_2A_S1_19
 ENVE_SLU SLU_Gr_2A_S1_20
 ENVE_SLU SLU_Gr_2A_S1_21
 ENVE_SLU SLU_Gr_2A_S1_22
 ENVE_SLU SLU_Gr_2A_S1_23
 ENVE_SLU SLU_Gr_2A_S1_24
 ENVE_SLU SLU_Gr_2A_S1_25
 ENVE_SLU SLU_Gr_2A_S1_26
 ENVE_SLU SLU_Gr_2A_S1_27
 ENVE_SLU SLU_Gr_2A_S1_28
 ENVE_SLU SLU_Gr_2A_S1_29
 ENVE_SLU SLU_Gr_2A_S1_30
 ENVE_SLU SLU_Gr_2A_S1_31
 ENVE_SLU SLU_Gr_2A_S1_32
 ENVE_SLU SLU_Gr_2A_S1_33
 ENVE_SLU SLU_Gr_2A_S1_34
 ENVE_SLU SLU_Gr_2A_S1_35
 ENVE_SLU SLU_Gr_2A_S1_36
 ENVE_SLU SLU_Gr_2A_S1_37
 ENVE_SLU SLU_Gr_2A_S1_38
 ENVE_SLU SLU_Gr_2A_S1_39
 ENVE_SLU SLU_Gr_2A_S1_40

ENVE_SLERR SLERR_Gr_1_S1_1	None	None	None
ENVE_SLERR SLERR_Gr_1_S1_2			
ENVE_SLERR SLERR_Gr_1_S1_3			
ENVE_SLERR SLERR_Gr_1_S1_4			
ENVE_SLERR SLERR_Gr_1_S1_5			
ENVE_SLERR SLERR_Gr_1_S1_6			
ENVE_SLERR SLERR_Gr_1_S1_7			
ENVE_SLERR SLERR_Gr_1_S1_8			
ENVE_SLERR SLERR_Gr_1_S1_9			
ENVE_SLERR SLERR_Gr_1_S1_10			
ENVE_SLERR SLERR_Gr_1_S1_11			
ENVE_SLERR SLERR_Gr_1_S1_12			
ENVE_SLERR SLERR_Gr_1_S1_13			
ENVE_SLERR SLERR_Gr_1_S1_14			
ENVE_SLERR SLERR_Gr_1_S1_15			

RELAZIONE DI CALCOLO

COMMESSA	LOTTO	CODIFICA	DOCUMENTO	REV.	FOGLIO
NRIJ	01 D 29	CL	IV0104 001	B	268 di 341

ENVE_SLERR SLERR_Gr_1_S1_16
 ENVE_SLERR SLERR_Gr_1_S1_17
 ENVE_SLERR SLERR_Gr_1_S1_18
 ENVE_SLERR SLERR_Gr_1_S1_19
 ENVE_SLERR SLERR_Gr_1_S1_20
 ENVE_SLERR SLERR_Gr_1_S1_21
 ENVE_SLERR SLERR_Gr_1_S1_22
 ENVE_SLERR SLERR_Gr_1_S1_23
 ENVE_SLERR SLERR_Gr_1_S1_24
 ENVE_SLERR SLERR_Gr_1_S1_25
 ENVE_SLERR SLERR_Gr_1_S1_26
 ENVE_SLERR SLERR_Gr_1_S1_27
 ENVE_SLERR SLERR_Gr_1_S1_28
 ENVE_SLERR SLERR_Gr_1_S1_29
 ENVE_SLERR SLERR_Gr_1_S1_30
 ENVE_SLERR SLERR_Gr_1_S1_31
 ENVE_SLERR SLERR_Gr_1_S1_32
 ENVE_SLERR SLERR_Gr_1_S1_33
 ENVE_SLERR SLERR_Gr_1_S1_34
 ENVE_SLERR SLERR_Gr_1_S1_35
 ENVE_SLERR SLERR_Gr_1_S1_36
 ENVE_SLERR SLERR_Gr_1_S1_37
 ENVE_SLERR SLERR_Gr_1_S1_38
 ENVE_SLERR SLERR_Gr_1_S1_39
 ENVE_SLERR SLERR_Gr_1_S1_40
 ENVE_SLEFR SLEFR_Gr_2A_S1_1
 ENVE_SLEFR SLEFR_Gr_2A_S1_2
 ENVE_SLEFR SLEFR_Gr_2A_S1_3
 ENVE_SLEFR SLEFR_Gr_2A_S1_4
 ENVE_SLEFR SLEFR_Gr_2A_S1_5
 ENVE_SLEFR SLEFR_Gr_2A_S1_6
 ENVE_SLEFR SLEFR_Gr_2A_S1_7
 ENVE_SLEFR SLEFR_Gr_2A_S1_8
 ENVE_SLEFR SLEFR_Gr_2A_S1_9
 ENVE_SLEFR SLEFR_Gr_2A_S1_10
 ENVE_SLEFR SLEFR_Gr_2A_S1_11
 ENVE_SLEFR SLEFR_Gr_2A_S1_12
 ENVE_SLEFR SLEFR_Gr_2A_S1_13
 ENVE_SLEFR SLEFR_Gr_2A_S1_14
 ENVE_SLEFR SLEFR_Gr_2A_S1_15
 ENVE_SLEFR SLEFR_Gr_2A_S1_16
 ENVE_SLEFR SLEFR_Gr_2A_S1_17
 ENVE_SLEFR SLEFR_Gr_2A_S1_18
 ENVE_SLEFR SLEFR_Gr_2A_S1_19
 ENVE_SLEFR SLEFR_Gr_2A_S1_20
 ENVE_SLEFR SLEFR_Gr_2A_S1_21
 ENVE_SLEFR SLEFR_Gr_2A_S1_22
 ENVE_SLEFR SLEFR_Gr_2A_S1_23
 ENVE_SLEFR SLEFR_Gr_2A_S1_24
 ENVE_SLEFR SLEFR_Gr_2A_S1_25
 ENVE_SLEFR SLEFR_Gr_2A_S1_26
 ENVE_SLEFR SLEFR_Gr_2A_S1_27
 ENVE_SLEFR SLEFR_Gr_2A_S1_28
 ENVE_SLEFR SLEFR_Gr_2A_S1_29
 ENVE_SLEFR SLEFR_Gr_2A_S1_30
 ENVE_SLEFR SLEFR_Gr_2A_S1_31
 ENVE_SLEFR SLEFR_Gr_2A_S1_32
 ENVE_SLEFR SLEFR_Gr_2A_S1_33
 ENVE_SLEFR SLEFR_Gr_2A_S1_34
 ENVE_SLEFR SLEFR_Gr_2A_S1_35
 ENVE_SLEFR SLEFR_Gr_2A_S1_36
 ENVE_SLEFR SLEFR_Gr_2A_S1_37

None None None

RELAZIONE DI CALCOLO

COMMESSA	LOTTO	CODIFICA	DOCUMENTO	REV.	FOGLIO
NRIJ	01 D 29	CL	IV0104 001	B	269 di 341

ENVE_SLEFR	SLEFR_Gr_2A_S1_38			
ENVE_SLEFR	SLEFR_Gr_2A_S1_39			
ENVE_SLEFR	SLEFR_Gr_2A_S1_40			
ENVE_SLEQP	SLEQP_Gr_1_S1_1	None	None	None
ENVE_SLEQP	SLEQP_Gr_1_S1_2			
ENVE_SLEQP	SLEQP_Gr_1_S1_3			
ENVE_SLEQP	SLEQP_Gr_1_S1_4			
ENVE_SLEQP	SLEQP_Gr_1_S1_5			
ENVE_SLEQP	SLEQP_Gr_1_S1_6			
SLU/SIS Envelope	ENVE_SLU	None	None	None
SLU/SIS Envelope	ENVE_SIS_1			
SLU/SIS Envelope	SLU_ECC			

Table: Combination Definitions, Part 3 of 3

ComboName	CaseName	GUID	Notes
24_q_vento_tot	q_vento_X		
24_q_vento_tot	q_vento_Y		
24_q_vento_tot	24_q_vento		
SLU_Gr_1_S1_1	DEAD		
SLU_Gr_1_S1_1	1_G1_trave		
SLU_Gr_1_S1_1	2_G1_soletta		
SLU_Gr_1_S1_1	3_G1_marciapiiede		
SLU_Gr_1_S1_1	4_G1_traverso		
SLU_Gr_1_S1_1	5_G2_veletta		
SLU_Gr_1_S1_1	6_G2_impianti		
SLU_Gr_1_S1_1	7_G2_parapetti		
SLU_Gr_1_S1_1	8_G2_pavimentazione		
SLU_Gr_1_S1_1	9_G2_sicurvia		
SLU_Gr_1_S1_1	11_Q1k		
SLU_Gr_1_S1_1	10_q1k		
SLU_Gr_1_S1_1	13_Q2k		
SLU_Gr_1_S1_1	12_q2k		
SLU_Gr_1_S1_1	16_Q_zr		
SLU_Gr_1_S1_1	17_qfk		
SLU_Gr_1_S1_1	20_q4_centr		
SLU_Gr_1_S1_1	19_q3_frenatura		
SLU_Gr_1_S1_1	15_Q3k		
SLU_Gr_1_S1_1	14_q3k		
SLU_Gr_1_S1_1	24_q_vento_tot		
SLU_Gr_1_S1_1	23_q_temp F		
SLU_Gr_1_S1_1	22_q_ritiro		
SLU_Gr_1_S1_1	21_q8		
SLU_Gr_1_S1_2	DEAD		
SLU_Gr_1_S1_2	1_G1_trave		
SLU_Gr_1_S1_2	2_G1_soletta		
SLU_Gr_1_S1_2	3_G1_marciapiiede		
SLU_Gr_1_S1_2	4_G1_traverso		
SLU_Gr_1_S1_2	5_G2_veletta		
SLU_Gr_1_S1_2	6_G2_impianti		
SLU_Gr_1_S1_2	7_G2_parapetti		
SLU_Gr_1_S1_2	8_G2_pavimentazione		
SLU_Gr_1_S1_2	9_G2_sicurvia		
SLU_Gr_1_S1_2	11_Q1k		
SLU_Gr_1_S1_2	10_q1k		
SLU_Gr_1_S1_2	13_Q2k		
SLU_Gr_1_S1_2	12_q2k		
SLU_Gr_1_S1_2	16_Q_zr		
SLU_Gr_1_S1_2	17_qfk		
SLU_Gr_1_S1_2	20_q4_centr		

RELAZIONE DI CALCOLO

COMMESSA	LOTTO	CODIFICA	DOCUMENTO	REV.	FOGLIO
NRIJ	01 D 29	CL	IV0104 001	B	270 di 341

SLU_Gr_1_S1_2 19_q3_frenatura
 SLU_Gr_1_S1_2 15_Q3k
 SLU_Gr_1_S1_2 14_q3k
 SLU_Gr_1_S1_2 24_q_vento_tot
 SLU_Gr_1_S1_2 23_q_temp F
 SLU_Gr_1_S1_2 22_q_ritiro
 SLU_Gr_1_S1_2 21_q8
 SLU_Gr_1_S1_3 DEAD
 SLU_Gr_1_S1_3 1_G1_trave
 SLU_Gr_1_S1_3 2_G1_soletta
 SLU_Gr_1_S1_3 3_G1_marciapiede
 SLU_Gr_1_S1_3 4_G1_traverso
 SLU_Gr_1_S1_3 5_G2_veletta
 SLU_Gr_1_S1_3 6_G2_impianti
 SLU_Gr_1_S1_3 7_G2_parapetti
 SLU_Gr_1_S1_3 8_G2_pavimentazione
 SLU_Gr_1_S1_3 9_G2_sicurvia
 SLU_Gr_1_S1_3 11_Q1k
 SLU_Gr_1_S1_3 10_q1k
 SLU_Gr_1_S1_3 13_Q2k
 SLU_Gr_1_S1_3 12_q2k
 SLU_Gr_1_S1_3 16_Q_zr
 SLU_Gr_1_S1_3 17_qfk
 SLU_Gr_1_S1_3 20_q4_centr
 SLU_Gr_1_S1_3 19_q3_frenatura
 SLU_Gr_1_S1_3 15_Q3k
 SLU_Gr_1_S1_3 14_q3k
 SLU_Gr_1_S1_3 24_q_vento_tot
 SLU_Gr_1_S1_3 23_q_temp F
 SLU_Gr_1_S1_3 22_q_ritiro
 SLU_Gr_1_S1_3 21_q8
 SLU_Gr_1_S1_4 DEAD
 SLU_Gr_1_S1_4 1_G1_trave
 SLU_Gr_1_S1_4 2_G1_soletta
 SLU_Gr_1_S1_4 3_G1_marciapiede
 SLU_Gr_1_S1_4 4_G1_traverso
 SLU_Gr_1_S1_4 5_G2_veletta
 SLU_Gr_1_S1_4 6_G2_impianti
 SLU_Gr_1_S1_4 7_G2_parapetti
 SLU_Gr_1_S1_4 8_G2_pavimentazione
 SLU_Gr_1_S1_4 9_G2_sicurvia
 SLU_Gr_1_S1_4 11_Q1k
 SLU_Gr_1_S1_4 10_q1k
 SLU_Gr_1_S1_4 13_Q2k
 SLU_Gr_1_S1_4 12_q2k
 SLU_Gr_1_S1_4 16_Q_zr
 SLU_Gr_1_S1_4 17_qfk
 SLU_Gr_1_S1_4 20_q4_centr
 SLU_Gr_1_S1_4 19_q3_frenatura
 SLU_Gr_1_S1_4 15_Q3k
 SLU_Gr_1_S1_4 14_q3k
 SLU_Gr_1_S1_4 24_q_vento_tot
 SLU_Gr_1_S1_4 23_q_temp F
 SLU_Gr_1_S1_4 22_q_ritiro
 SLU_Gr_1_S1_4 21_q8
 SLU_Gr_1_S1_5 DEAD
 SLU_Gr_1_S1_5 1_G1_trave
 SLU_Gr_1_S1_5 2_G1_soletta
 SLU_Gr_1_S1_5 3_G1_marciapiede
 SLU_Gr_1_S1_5 4_G1_traverso
 SLU_Gr_1_S1_5 5_G2_veletta
 SLU_Gr_1_S1_5 6_G2_impianti

RELAZIONE DI CALCOLO

COMMESSA	LOTTO	CODIFICA	DOCUMENTO	REV.	FOGLIO
NRIJ	01 D 29	CL	IV0104 001	B	271 di 341

SLU_Gr_1_S1_5 7_G2_parapetti
 SLU_Gr_1_S1_5 8_G2_pavimentazione
 SLU_Gr_1_S1_5 9_G2_sicurvia
 SLU_Gr_1_S1_5 11_Q1k
 SLU_Gr_1_S1_5 10_q1k
 SLU_Gr_1_S1_5 13_Q2k
 SLU_Gr_1_S1_5 12_q2k
 SLU_Gr_1_S1_5 16_Q_zr
 SLU_Gr_1_S1_5 17_qfk
 SLU_Gr_1_S1_5 20_q4_centr
 SLU_Gr_1_S1_5 19_q3_frenatura
 SLU_Gr_1_S1_5 15_Q3k
 SLU_Gr_1_S1_5 14_q3k
 SLU_Gr_1_S1_5 24_q_vento_tot
 SLU_Gr_1_S1_5 23_q_temp F
 SLU_Gr_1_S1_5 22_q_ritiro
 SLU_Gr_1_S1_5 21_q8
 SLU_Gr_1_S1_6 DEAD
 SLU_Gr_1_S1_6 1_G1_trave
 SLU_Gr_1_S1_6 2_G1_soletta
 SLU_Gr_1_S1_6 3_G1_marciapiede
 SLU_Gr_1_S1_6 4_G1_traverso
 SLU_Gr_1_S1_6 5_G2_veletta
 SLU_Gr_1_S1_6 6_G2_impianti
 SLU_Gr_1_S1_6 7_G2_parapetti
 SLU_Gr_1_S1_6 8_G2_pavimentazione
 SLU_Gr_1_S1_6 9_G2_sicurvia
 SLU_Gr_1_S1_6 11_Q1k
 SLU_Gr_1_S1_6 10_q1k
 SLU_Gr_1_S1_6 13_Q2k
 SLU_Gr_1_S1_6 12_q2k
 SLU_Gr_1_S1_6 16_Q_zr
 SLU_Gr_1_S1_6 17_qfk
 SLU_Gr_1_S1_6 20_q4_centr
 SLU_Gr_1_S1_6 19_q3_frenatura
 SLU_Gr_1_S1_6 15_Q3k
 SLU_Gr_1_S1_6 14_q3k
 SLU_Gr_1_S1_6 24_q_vento_tot
 SLU_Gr_1_S1_6 23_q_temp F
 SLU_Gr_1_S1_6 22_q_ritiro
 SLU_Gr_1_S1_6 21_q8
 SLU_Gr_1_S1_7 DEAD
 SLU_Gr_1_S1_7 1_G1_trave
 SLU_Gr_1_S1_7 2_G1_soletta
 SLU_Gr_1_S1_7 3_G1_marciapiede
 SLU_Gr_1_S1_7 4_G1_traverso
 SLU_Gr_1_S1_7 5_G2_veletta
 SLU_Gr_1_S1_7 6_G2_impianti
 SLU_Gr_1_S1_7 7_G2_parapetti
 SLU_Gr_1_S1_7 8_G2_pavimentazione
 SLU_Gr_1_S1_7 9_G2_sicurvia
 SLU_Gr_1_S1_7 11_Q1k
 SLU_Gr_1_S1_7 10_q1k
 SLU_Gr_1_S1_7 13_Q2k
 SLU_Gr_1_S1_7 12_q2k
 SLU_Gr_1_S1_7 16_Q_zr
 SLU_Gr_1_S1_7 17_qfk
 SLU_Gr_1_S1_7 20_q4_centr
 SLU_Gr_1_S1_7 19_q3_frenatura
 SLU_Gr_1_S1_7 15_Q3k
 SLU_Gr_1_S1_7 14_q3k
 SLU_Gr_1_S1_7 24_q_vento_tot

RELAZIONE DI CALCOLO

COMMESSA	LOTTO	CODIFICA	DOCUMENTO	REV.	FOGLIO
NRIJ	01 D 29	CL	IV0104 001	B	272 di 341

SLU_Gr_1_S1_7 23_q_temp F
 SLU_Gr_1_S1_7 22_q_ritiro
 SLU_Gr_1_S1_7 21_q8
 SLU_Gr_1_S1_8 DEAD
 SLU_Gr_1_S1_8 1_G1_trave
 SLU_Gr_1_S1_8 2_G1_soletta
 SLU_Gr_1_S1_8 3_G1_marciapiede
 SLU_Gr_1_S1_8 4_G1_traverso
 SLU_Gr_1_S1_8 5_G2_veletta
 SLU_Gr_1_S1_8 6_G2_impianti
 SLU_Gr_1_S1_8 7_G2_parapetti
 SLU_Gr_1_S1_8 8_G2_pavimentazione
 SLU_Gr_1_S1_8 9_G2_sicurvia
 SLU_Gr_1_S1_8 11_Q1k
 SLU_Gr_1_S1_8 10_q1k
 SLU_Gr_1_S1_8 13_Q2k
 SLU_Gr_1_S1_8 12_q2k
 SLU_Gr_1_S1_8 16_Q_zr
 SLU_Gr_1_S1_8 17_qfk
 SLU_Gr_1_S1_8 20_q4_centr
 SLU_Gr_1_S1_8 19_q3_frenatura
 SLU_Gr_1_S1_8 15_Q3k
 SLU_Gr_1_S1_8 14_q3k
 SLU_Gr_1_S1_8 24_q_vento_tot
 SLU_Gr_1_S1_8 23_q_temp F
 SLU_Gr_1_S1_8 22_q_ritiro
 SLU_Gr_1_S1_8 21_q8
 SLU_Gr_1_S1_9 DEAD
 SLU_Gr_1_S1_9 1_G1_trave
 SLU_Gr_1_S1_9 2_G1_soletta
 SLU_Gr_1_S1_9 3_G1_marciapiede
 SLU_Gr_1_S1_9 4_G1_traverso
 SLU_Gr_1_S1_9 5_G2_veletta
 SLU_Gr_1_S1_9 6_G2_impianti
 SLU_Gr_1_S1_9 7_G2_parapetti
 SLU_Gr_1_S1_9 8_G2_pavimentazione
 SLU_Gr_1_S1_9 9_G2_sicurvia
 SLU_Gr_1_S1_9 11_Q1k
 SLU_Gr_1_S1_9 10_q1k
 SLU_Gr_1_S1_9 13_Q2k
 SLU_Gr_1_S1_9 12_q2k
 SLU_Gr_1_S1_9 16_Q_zr
 SLU_Gr_1_S1_9 17_qfk
 SLU_Gr_1_S1_9 20_q4_centr
 SLU_Gr_1_S1_9 19_q3_frenatura
 SLU_Gr_1_S1_9 15_Q3k
 SLU_Gr_1_S1_9 14_q3k
 SLU_Gr_1_S1_9 24_q_vento_tot
 SLU_Gr_1_S1_9 23_q_temp F
 SLU_Gr_1_S1_9 22_q_ritiro
 SLU_Gr_1_S1_9 21_q8
 SLU_Gr_1_S1_10 DEAD
 SLU_Gr_1_S1_10 1_G1_trave
 SLU_Gr_1_S1_10 2_G1_soletta
 SLU_Gr_1_S1_10 3_G1_marciapiede
 SLU_Gr_1_S1_10 4_G1_traverso
 SLU_Gr_1_S1_10 5_G2_veletta
 SLU_Gr_1_S1_10 6_G2_impianti
 SLU_Gr_1_S1_10 7_G2_parapetti
 SLU_Gr_1_S1_10 8_G2_pavimentazione
 SLU_Gr_1_S1_10 9_G2_sicurvia
 SLU_Gr_1_S1_10 11_Q1k

RELAZIONE DI CALCOLO

COMMESSA	LOTTO	CODIFICA	DOCUMENTO	REV.	FOGLIO
NRIJ	01 D 29	CL	IV0104 001	B	273 di 341

SLU_Gr_1_S1_10	10_q1k
SLU_Gr_1_S1_10	13_Q2k
SLU_Gr_1_S1_10	12_q2k
SLU_Gr_1_S1_10	16_Q_zr
SLU_Gr_1_S1_10	17_qfk
SLU_Gr_1_S1_10	20_q4_centr
SLU_Gr_1_S1_10	19_q3_frenatura
SLU_Gr_1_S1_10	15_Q3k
SLU_Gr_1_S1_10	14_q3k
SLU_Gr_1_S1_10	24_q_vento_tot
SLU_Gr_1_S1_10	23_q_temp F
SLU_Gr_1_S1_10	22_q_ritiro
SLU_Gr_1_S1_10	21_q8
SLU_Gr_1_S1_11	DEAD
SLU_Gr_1_S1_11	1_G1_trave
SLU_Gr_1_S1_11	2_G1_soletta
SLU_Gr_1_S1_11	3_G1_marciapiede
SLU_Gr_1_S1_11	4_G1_traverso
SLU_Gr_1_S1_11	5_G2_veletta
SLU_Gr_1_S1_11	6_G2_impianti
SLU_Gr_1_S1_11	7_G2_parapetti
SLU_Gr_1_S1_11	8_G2_pavimentazione
SLU_Gr_1_S1_11	9_G2_sicurvia
SLU_Gr_1_S1_11	11_Q1k
SLU_Gr_1_S1_11	10_q1k
SLU_Gr_1_S1_11	13_Q2k
SLU_Gr_1_S1_11	12_q2k
SLU_Gr_1_S1_11	16_Q_zr
SLU_Gr_1_S1_11	17_qfk
SLU_Gr_1_S1_11	20_q4_centr
SLU_Gr_1_S1_11	19_q3_frenatura
SLU_Gr_1_S1_11	15_Q3k
SLU_Gr_1_S1_11	14_q3k
SLU_Gr_1_S1_11	24_q_vento_tot
SLU_Gr_1_S1_11	23_q_temp F
SLU_Gr_1_S1_11	22_q_ritiro
SLU_Gr_1_S1_11	21_q8
SLU_Gr_1_S1_12	DEAD
SLU_Gr_1_S1_12	1_G1_trave
SLU_Gr_1_S1_12	2_G1_soletta
SLU_Gr_1_S1_12	3_G1_marciapiede
SLU_Gr_1_S1_12	4_G1_traverso
SLU_Gr_1_S1_12	5_G2_veletta
SLU_Gr_1_S1_12	6_G2_impianti
SLU_Gr_1_S1_12	7_G2_parapetti
SLU_Gr_1_S1_12	8_G2_pavimentazione
SLU_Gr_1_S1_12	9_G2_sicurvia
SLU_Gr_1_S1_12	11_Q1k
SLU_Gr_1_S1_12	10_q1k
SLU_Gr_1_S1_12	13_Q2k
SLU_Gr_1_S1_12	12_q2k
SLU_Gr_1_S1_12	16_Q_zr
SLU_Gr_1_S1_12	17_qfk
SLU_Gr_1_S1_12	20_q4_centr
SLU_Gr_1_S1_12	19_q3_frenatura
SLU_Gr_1_S1_12	15_Q3k
SLU_Gr_1_S1_12	14_q3k
SLU_Gr_1_S1_12	24_q_vento_tot
SLU_Gr_1_S1_12	23_q_temp F
SLU_Gr_1_S1_12	22_q_ritiro
SLU_Gr_1_S1_12	21_q8
SLU_Gr_1_S1_13	DEAD

RELAZIONE DI CALCOLO

COMMESSA	LOTTO	CODIFICA	DOCUMENTO	REV.	FOGLIO
NRIJ	01 D 29	CL	IV0104 001	B	274 di 341

SLU_Gr_1_S1_13 1_G1_trave
 SLU_Gr_1_S1_13 2_G1_soletta
 SLU_Gr_1_S1_13 3_G1_marciapiede
 SLU_Gr_1_S1_13 4_G1_traverso
 SLU_Gr_1_S1_13 5_G2_veletta
 SLU_Gr_1_S1_13 6_G2_impianti
 SLU_Gr_1_S1_13 7_G2_parapetti
 SLU_Gr_1_S1_13 8_G2_pavimentazione
 SLU_Gr_1_S1_13 9_G2_sicurvia
 SLU_Gr_1_S1_13 11_Q1k
 SLU_Gr_1_S1_13 10_q1k
 SLU_Gr_1_S1_13 13_Q2k
 SLU_Gr_1_S1_13 12_q2k
 SLU_Gr_1_S1_13 16_Q_zr
 SLU_Gr_1_S1_13 17_qfk
 SLU_Gr_1_S1_13 20_q4_centr
 SLU_Gr_1_S1_13 19_q3_frenatura
 SLU_Gr_1_S1_13 15_Q3k
 SLU_Gr_1_S1_13 14_q3k
 SLU_Gr_1_S1_13 24_q_vento_tot
 SLU_Gr_1_S1_13 23_q_temp F
 SLU_Gr_1_S1_13 22_q_ritiro
 SLU_Gr_1_S1_13 21_q8
 SLU_Gr_1_S1_14 DEAD
 SLU_Gr_1_S1_14 1_G1_trave
 SLU_Gr_1_S1_14 2_G1_soletta
 SLU_Gr_1_S1_14 3_G1_marciapiede
 SLU_Gr_1_S1_14 4_G1_traverso
 SLU_Gr_1_S1_14 5_G2_veletta
 SLU_Gr_1_S1_14 6_G2_impianti
 SLU_Gr_1_S1_14 7_G2_parapetti
 SLU_Gr_1_S1_14 8_G2_pavimentazione
 SLU_Gr_1_S1_14 9_G2_sicurvia
 SLU_Gr_1_S1_14 11_Q1k
 SLU_Gr_1_S1_14 10_q1k
 SLU_Gr_1_S1_14 13_Q2k
 SLU_Gr_1_S1_14 12_q2k
 SLU_Gr_1_S1_14 16_Q_zr
 SLU_Gr_1_S1_14 17_qfk
 SLU_Gr_1_S1_14 20_q4_centr
 SLU_Gr_1_S1_14 19_q3_frenatura
 SLU_Gr_1_S1_14 15_Q3k
 SLU_Gr_1_S1_14 14_q3k
 SLU_Gr_1_S1_14 24_q_vento_tot
 SLU_Gr_1_S1_14 23_q_temp F
 SLU_Gr_1_S1_14 22_q_ritiro
 SLU_Gr_1_S1_14 21_q8
 SLU_Gr_1_S1_15 DEAD
 SLU_Gr_1_S1_15 1_G1_trave
 SLU_Gr_1_S1_15 2_G1_soletta
 SLU_Gr_1_S1_15 3_G1_marciapiede
 SLU_Gr_1_S1_15 4_G1_traverso
 SLU_Gr_1_S1_15 5_G2_veletta
 SLU_Gr_1_S1_15 6_G2_impianti
 SLU_Gr_1_S1_15 7_G2_parapetti
 SLU_Gr_1_S1_15 8_G2_pavimentazione
 SLU_Gr_1_S1_15 9_G2_sicurvia
 SLU_Gr_1_S1_15 11_Q1k
 SLU_Gr_1_S1_15 10_q1k
 SLU_Gr_1_S1_15 13_Q2k
 SLU_Gr_1_S1_15 12_q2k
 SLU_Gr_1_S1_15 16_Q_zr

RELAZIONE DI CALCOLO

COMMESSA	LOTTO	CODIFICA	DOCUMENTO	REV.	FOGLIO
NRIJ	01 D 29	CL	IV0104 001	B	275 di 341

SLU_Gr_1_S1_15 17_qfk
 SLU_Gr_1_S1_15 20_q4_centr
 SLU_Gr_1_S1_15 19_q3_frenatura
 SLU_Gr_1_S1_15 15_Q3k
 SLU_Gr_1_S1_15 14_q3k
 SLU_Gr_1_S1_15 24_q_vento_tot
 SLU_Gr_1_S1_15 23_q_temp F
 SLU_Gr_1_S1_15 22_q_ritiro
 SLU_Gr_1_S1_15 21_q8
 SLU_Gr_1_S1_16 DEAD
 SLU_Gr_1_S1_16 1_G1_trave
 SLU_Gr_1_S1_16 2_G1_soletta
 SLU_Gr_1_S1_16 3_G1_marciapiede
 SLU_Gr_1_S1_16 4_G1_traverso
 SLU_Gr_1_S1_16 5_G2_veletta
 SLU_Gr_1_S1_16 6_G2_impianti
 SLU_Gr_1_S1_16 7_G2_parapetti
 SLU_Gr_1_S1_16 8_G2_pavimentazione
 SLU_Gr_1_S1_16 9_G2_sicurvia
 SLU_Gr_1_S1_16 11_Q1k
 SLU_Gr_1_S1_16 10_q1k
 SLU_Gr_1_S1_16 13_Q2k
 SLU_Gr_1_S1_16 12_q2k
 SLU_Gr_1_S1_16 16_Q_zr
 SLU_Gr_1_S1_16 17_qfk
 SLU_Gr_1_S1_16 20_q4_centr
 SLU_Gr_1_S1_16 19_q3_frenatura
 SLU_Gr_1_S1_16 15_Q3k
 SLU_Gr_1_S1_16 14_q3k
 SLU_Gr_1_S1_16 24_q_vento_tot
 SLU_Gr_1_S1_16 23_q_temp F
 SLU_Gr_1_S1_16 22_q_ritiro
 SLU_Gr_1_S1_16 21_q8
 SLU_Gr_1_S1_17 DEAD
 SLU_Gr_1_S1_17 1_G1_trave
 SLU_Gr_1_S1_17 2_G1_soletta
 SLU_Gr_1_S1_17 3_G1_marciapiede
 SLU_Gr_1_S1_17 4_G1_traverso
 SLU_Gr_1_S1_17 5_G2_veletta
 SLU_Gr_1_S1_17 6_G2_impianti
 SLU_Gr_1_S1_17 7_G2_parapetti
 SLU_Gr_1_S1_17 8_G2_pavimentazione
 SLU_Gr_1_S1_17 9_G2_sicurvia
 SLU_Gr_1_S1_17 11_Q1k
 SLU_Gr_1_S1_17 10_q1k
 SLU_Gr_1_S1_17 13_Q2k
 SLU_Gr_1_S1_17 12_q2k
 SLU_Gr_1_S1_17 16_Q_zr
 SLU_Gr_1_S1_17 17_qfk
 SLU_Gr_1_S1_17 20_q4_centr
 SLU_Gr_1_S1_17 19_q3_frenatura
 SLU_Gr_1_S1_17 15_Q3k
 SLU_Gr_1_S1_17 14_q3k
 SLU_Gr_1_S1_17 24_q_vento_tot
 SLU_Gr_1_S1_17 23_q_temp F
 SLU_Gr_1_S1_17 22_q_ritiro
 SLU_Gr_1_S1_17 21_q8
 SLU_Gr_1_S1_18 DEAD
 SLU_Gr_1_S1_18 1_G1_trave
 SLU_Gr_1_S1_18 2_G1_soletta
 SLU_Gr_1_S1_18 3_G1_marciapiede
 SLU_Gr_1_S1_18 4_G1_traverso

RELAZIONE DI CALCOLO

COMMESSA	LOTTO	CODIFICA	DOCUMENTO	REV.	FOGLIO
NRIJ	01 D 29	CL	IV0104 001	B	276 di 341

SLU_Gr_1_S1_18	5_G2_veletta
SLU_Gr_1_S1_18	6_G2_impianti
SLU_Gr_1_S1_18	7_G2_parapetti
SLU_Gr_1_S1_18	8_G2_pavimentazione
SLU_Gr_1_S1_18	9_G2_sicurvia
SLU_Gr_1_S1_18	11_Q1k
SLU_Gr_1_S1_18	10_q1k
SLU_Gr_1_S1_18	13_Q2k
SLU_Gr_1_S1_18	12_q2k
SLU_Gr_1_S1_18	16_Q_zr
SLU_Gr_1_S1_18	17_qfk
SLU_Gr_1_S1_18	20_q4_centr
SLU_Gr_1_S1_18	19_q3_frenatura
SLU_Gr_1_S1_18	15_Q3k
SLU_Gr_1_S1_18	14_q3k
SLU_Gr_1_S1_18	24_q_vento_tot
SLU_Gr_1_S1_18	23_q_temp F
SLU_Gr_1_S1_18	22_q_ritiro
SLU_Gr_1_S1_18	21_q8
SLU_Gr_1_S1_19	DEAD
SLU_Gr_1_S1_19	1_G1_trave
SLU_Gr_1_S1_19	2_G1_soletta
SLU_Gr_1_S1_19	3_G1_marciapiede
SLU_Gr_1_S1_19	4_G1_traverso
SLU_Gr_1_S1_19	5_G2_veletta
SLU_Gr_1_S1_19	6_G2_impianti
SLU_Gr_1_S1_19	7_G2_parapetti
SLU_Gr_1_S1_19	8_G2_pavimentazione
SLU_Gr_1_S1_19	9_G2_sicurvia
SLU_Gr_1_S1_19	11_Q1k
SLU_Gr_1_S1_19	10_q1k
SLU_Gr_1_S1_19	13_Q2k
SLU_Gr_1_S1_19	12_q2k
SLU_Gr_1_S1_19	16_Q_zr
SLU_Gr_1_S1_19	17_qfk
SLU_Gr_1_S1_19	20_q4_centr
SLU_Gr_1_S1_19	19_q3_frenatura
SLU_Gr_1_S1_19	15_Q3k
SLU_Gr_1_S1_19	14_q3k
SLU_Gr_1_S1_19	24_q_vento_tot
SLU_Gr_1_S1_19	23_q_temp F
SLU_Gr_1_S1_19	22_q_ritiro
SLU_Gr_1_S1_19	21_q8
SLU_Gr_1_S1_20	DEAD
SLU_Gr_1_S1_20	1_G1_trave
SLU_Gr_1_S1_20	2_G1_soletta
SLU_Gr_1_S1_20	3_G1_marciapiede
SLU_Gr_1_S1_20	4_G1_traverso
SLU_Gr_1_S1_20	5_G2_veletta
SLU_Gr_1_S1_20	6_G2_impianti
SLU_Gr_1_S1_20	7_G2_parapetti
SLU_Gr_1_S1_20	8_G2_pavimentazione
SLU_Gr_1_S1_20	9_G2_sicurvia
SLU_Gr_1_S1_20	11_Q1k
SLU_Gr_1_S1_20	10_q1k
SLU_Gr_1_S1_20	13_Q2k
SLU_Gr_1_S1_20	12_q2k
SLU_Gr_1_S1_20	16_Q_zr
SLU_Gr_1_S1_20	17_qfk
SLU_Gr_1_S1_20	20_q4_centr
SLU_Gr_1_S1_20	19_q3_frenatura
SLU_Gr_1_S1_20	15_Q3k

RELAZIONE DI CALCOLO

COMMESSA	LOTTO	CODIFICA	DOCUMENTO	REV.	FOGLIO
NRIJ	01 D 29	CL	IV0104 001	B	277 di 341

SLU_Gr_1_S1_20 14_q3k
 SLU_Gr_1_S1_20 24_q_vento_tot
 SLU_Gr_1_S1_20 23_q_temp F
 SLU_Gr_1_S1_20 22_q_ritiro
 SLU_Gr_1_S1_20 21_q8
 SLU_Gr_1_S1_21 DEAD
 SLU_Gr_1_S1_21 1_G1_trave
 SLU_Gr_1_S1_21 2_G1_soletta
 SLU_Gr_1_S1_21 3_G1_marciapiede
 SLU_Gr_1_S1_21 4_G1_traverso
 SLU_Gr_1_S1_21 5_G2_veletta
 SLU_Gr_1_S1_21 6_G2_impianti
 SLU_Gr_1_S1_21 7_G2_parapetti
 SLU_Gr_1_S1_21 8_G2_pavimentazione
 SLU_Gr_1_S1_21 9_G2_sicurvia
 SLU_Gr_1_S1_21 11_Q1k
 SLU_Gr_1_S1_21 10_q1k
 SLU_Gr_1_S1_21 13_Q2k
 SLU_Gr_1_S1_21 12_q2k
 SLU_Gr_1_S1_21 16_Q_zr
 SLU_Gr_1_S1_21 17_qfk
 SLU_Gr_1_S1_21 20_q4_centr
 SLU_Gr_1_S1_21 19_q3_frenatura
 SLU_Gr_1_S1_21 15_Q3k
 SLU_Gr_1_S1_21 14_q3k
 SLU_Gr_1_S1_21 24_q_vento_tot
 SLU_Gr_1_S1_21 23_q_temp F
 SLU_Gr_1_S1_21 22_q_ritiro
 SLU_Gr_1_S1_21 21_q8
 SLU_Gr_1_S1_22 DEAD
 SLU_Gr_1_S1_22 1_G1_trave
 SLU_Gr_1_S1_22 2_G1_soletta
 SLU_Gr_1_S1_22 3_G1_marciapiede
 SLU_Gr_1_S1_22 4_G1_traverso
 SLU_Gr_1_S1_22 5_G2_veletta
 SLU_Gr_1_S1_22 6_G2_impianti
 SLU_Gr_1_S1_22 7_G2_parapetti
 SLU_Gr_1_S1_22 8_G2_pavimentazione
 SLU_Gr_1_S1_22 9_G2_sicurvia
 SLU_Gr_1_S1_22 11_Q1k
 SLU_Gr_1_S1_22 10_q1k
 SLU_Gr_1_S1_22 13_Q2k
 SLU_Gr_1_S1_22 12_q2k
 SLU_Gr_1_S1_22 16_Q_zr
 SLU_Gr_1_S1_22 17_qfk
 SLU_Gr_1_S1_22 20_q4_centr
 SLU_Gr_1_S1_22 19_q3_frenatura
 SLU_Gr_1_S1_22 15_Q3k
 SLU_Gr_1_S1_22 14_q3k
 SLU_Gr_1_S1_22 24_q_vento_tot
 SLU_Gr_1_S1_22 23_q_temp F
 SLU_Gr_1_S1_22 22_q_ritiro
 SLU_Gr_1_S1_22 21_q8
 SLU_Gr_1_S1_23 DEAD
 SLU_Gr_1_S1_23 1_G1_trave
 SLU_Gr_1_S1_23 2_G1_soletta
 SLU_Gr_1_S1_23 3_G1_marciapiede
 SLU_Gr_1_S1_23 4_G1_traverso
 SLU_Gr_1_S1_23 5_G2_veletta
 SLU_Gr_1_S1_23 6_G2_impianti
 SLU_Gr_1_S1_23 7_G2_parapetti
 SLU_Gr_1_S1_23 8_G2_pavimentazione

RELAZIONE DI CALCOLO

COMMESSA	LOTTO	CODIFICA	DOCUMENTO	REV.	FOGLIO
NRIJ	01 D 29	CL	IV0104 001	B	278 di 341

SLU_Gr_1_S1_23	9_G2_sicurvia
SLU_Gr_1_S1_23	11_Q1k
SLU_Gr_1_S1_23	10_q1k
SLU_Gr_1_S1_23	13_Q2k
SLU_Gr_1_S1_23	12_q2k
SLU_Gr_1_S1_23	16_Q_zr
SLU_Gr_1_S1_23	17_qfk
SLU_Gr_1_S1_23	20_q4_centr
SLU_Gr_1_S1_23	19_q3_frenatura
SLU_Gr_1_S1_23	15_Q3k
SLU_Gr_1_S1_23	14_q3k
SLU_Gr_1_S1_23	24_q_vento_tot
SLU_Gr_1_S1_23	23_q_temp F
SLU_Gr_1_S1_23	22_q_ritiro
SLU_Gr_1_S1_23	21_q8
SLU_Gr_1_S1_24	DEAD
SLU_Gr_1_S1_24	1_G1_trave
SLU_Gr_1_S1_24	2_G1_soletta
SLU_Gr_1_S1_24	3_G1_marcia piede
SLU_Gr_1_S1_24	4_G1_traverso
SLU_Gr_1_S1_24	5_G2_veletta
SLU_Gr_1_S1_24	6_G2_impianti
SLU_Gr_1_S1_24	7_G2_parapetti
SLU_Gr_1_S1_24	8_G2_pavimentazione
SLU_Gr_1_S1_24	9_G2_sicurvia
SLU_Gr_1_S1_24	11_Q1k
SLU_Gr_1_S1_24	10_q1k
SLU_Gr_1_S1_24	13_Q2k
SLU_Gr_1_S1_24	12_q2k
SLU_Gr_1_S1_24	16_Q_zr
SLU_Gr_1_S1_24	17_qfk
SLU_Gr_1_S1_24	20_q4_centr
SLU_Gr_1_S1_24	19_q3_frenatura
SLU_Gr_1_S1_24	15_Q3k
SLU_Gr_1_S1_24	14_q3k
SLU_Gr_1_S1_24	24_q_vento_tot
SLU_Gr_1_S1_24	23_q_temp F
SLU_Gr_1_S1_24	22_q_ritiro
SLU_Gr_1_S1_24	21_q8
SLU_Gr_1_S1_25	DEAD
SLU_Gr_1_S1_25	1_G1_trave
SLU_Gr_1_S1_25	2_G1_soletta
SLU_Gr_1_S1_25	3_G1_marcia piede
SLU_Gr_1_S1_25	4_G1_traverso
SLU_Gr_1_S1_25	5_G2_veletta
SLU_Gr_1_S1_25	6_G2_impianti
SLU_Gr_1_S1_25	7_G2_parapetti
SLU_Gr_1_S1_25	8_G2_pavimentazione
SLU_Gr_1_S1_25	9_G2_sicurvia
SLU_Gr_1_S1_25	11_Q1k
SLU_Gr_1_S1_25	10_q1k
SLU_Gr_1_S1_25	13_Q2k
SLU_Gr_1_S1_25	12_q2k
SLU_Gr_1_S1_25	16_Q_zr
SLU_Gr_1_S1_25	17_qfk
SLU_Gr_1_S1_25	20_q4_centr
SLU_Gr_1_S1_25	19_q3_frenatura
SLU_Gr_1_S1_25	15_Q3k
SLU_Gr_1_S1_25	14_q3k
SLU_Gr_1_S1_25	24_q_vento_tot
SLU_Gr_1_S1_25	23_q_temp F
SLU_Gr_1_S1_25	22_q_ritiro

RELAZIONE DI CALCOLO

COMMESSA	LOTTO	CODIFICA	DOCUMENTO	REV.	FOGLIO
NRIJ	01 D 29	CL	IV0104 001	B	279 di 341

SLU_Gr_1_S1_25 21_q8
 SLU_Gr_1_S1_26 DEAD
 SLU_Gr_1_S1_26 1_G1_trave
 SLU_Gr_1_S1_26 2_G1_soletta
 SLU_Gr_1_S1_26 3_G1_marciapiede
 SLU_Gr_1_S1_26 4_G1_traverso
 SLU_Gr_1_S1_26 5_G2_veletta
 SLU_Gr_1_S1_26 6_G2_impianti
 SLU_Gr_1_S1_26 7_G2_parapetti
 SLU_Gr_1_S1_26 8_G2_pavimentazione
 SLU_Gr_1_S1_26 9_G2_sicurvia
 SLU_Gr_1_S1_26 11_Q1k
 SLU_Gr_1_S1_26 10_q1k
 SLU_Gr_1_S1_26 13_Q2k
 SLU_Gr_1_S1_26 12_q2k
 SLU_Gr_1_S1_26 16_Q_zr
 SLU_Gr_1_S1_26 17_qfk
 SLU_Gr_1_S1_26 20_q4_centr
 SLU_Gr_1_S1_26 19_q3_frenatura
 SLU_Gr_1_S1_26 15_Q3k
 SLU_Gr_1_S1_26 14_q3k
 SLU_Gr_1_S1_26 24_q_vento_tot
 SLU_Gr_1_S1_26 23_q_temp F
 SLU_Gr_1_S1_26 22_q_ritiro
 SLU_Gr_1_S1_26 21_q8
 SLU_Gr_1_S1_27 DEAD
 SLU_Gr_1_S1_27 1_G1_trave
 SLU_Gr_1_S1_27 2_G1_soletta
 SLU_Gr_1_S1_27 3_G1_marciapiede
 SLU_Gr_1_S1_27 4_G1_traverso
 SLU_Gr_1_S1_27 5_G2_veletta
 SLU_Gr_1_S1_27 6_G2_impianti
 SLU_Gr_1_S1_27 7_G2_parapetti
 SLU_Gr_1_S1_27 8_G2_pavimentazione
 SLU_Gr_1_S1_27 9_G2_sicurvia
 SLU_Gr_1_S1_27 11_Q1k
 SLU_Gr_1_S1_27 10_q1k
 SLU_Gr_1_S1_27 13_Q2k
 SLU_Gr_1_S1_27 12_q2k
 SLU_Gr_1_S1_27 16_Q_zr
 SLU_Gr_1_S1_27 17_qfk
 SLU_Gr_1_S1_27 20_q4_centr
 SLU_Gr_1_S1_27 19_q3_frenatura
 SLU_Gr_1_S1_27 15_Q3k
 SLU_Gr_1_S1_27 14_q3k
 SLU_Gr_1_S1_27 24_q_vento_tot
 SLU_Gr_1_S1_27 23_q_temp F
 SLU_Gr_1_S1_27 22_q_ritiro
 SLU_Gr_1_S1_27 21_q8
 SLU_Gr_1_S1_28 DEAD
 SLU_Gr_1_S1_28 1_G1_trave
 SLU_Gr_1_S1_28 2_G1_soletta
 SLU_Gr_1_S1_28 3_G1_marciapiede
 SLU_Gr_1_S1_28 4_G1_traverso
 SLU_Gr_1_S1_28 5_G2_veletta
 SLU_Gr_1_S1_28 6_G2_impianti
 SLU_Gr_1_S1_28 7_G2_parapetti
 SLU_Gr_1_S1_28 8_G2_pavimentazione
 SLU_Gr_1_S1_28 9_G2_sicurvia
 SLU_Gr_1_S1_28 11_Q1k
 SLU_Gr_1_S1_28 10_q1k
 SLU_Gr_1_S1_28 13_Q2k

RELAZIONE DI CALCOLO

COMMESSA	LOTTO	CODIFICA	DOCUMENTO	REV.	FOGLIO
NRIJ	01 D 29	CL	IV0104 001	B	280 di 341

SLU_Gr_1_S1_28	12_q2k
SLU_Gr_1_S1_28	16_Q_zr
SLU_Gr_1_S1_28	17_qfk
SLU_Gr_1_S1_28	20_q4_centr
SLU_Gr_1_S1_28	19_q3_frenatura
SLU_Gr_1_S1_28	15_Q3k
SLU_Gr_1_S1_28	14_q3k
SLU_Gr_1_S1_28	24_q_vento_tot
SLU_Gr_1_S1_28	23_q_temp F
SLU_Gr_1_S1_28	22_q_ritiro
SLU_Gr_1_S1_28	21_q8
SLU_Gr_1_S1_29	DEAD
SLU_Gr_1_S1_29	1_G1_trave
SLU_Gr_1_S1_29	2_G1_soletta
SLU_Gr_1_S1_29	3_G1_marciapiede
SLU_Gr_1_S1_29	4_G1_traverso
SLU_Gr_1_S1_29	5_G2_veletta
SLU_Gr_1_S1_29	6_G2_impianti
SLU_Gr_1_S1_29	7_G2_parapetti
SLU_Gr_1_S1_29	8_G2_pavimentazione
SLU_Gr_1_S1_29	9_G2_sicurvia
SLU_Gr_1_S1_29	11_Q1k
SLU_Gr_1_S1_29	10_q1k
SLU_Gr_1_S1_29	13_Q2k
SLU_Gr_1_S1_29	12_q2k
SLU_Gr_1_S1_29	16_Q_zr
SLU_Gr_1_S1_29	17_qfk
SLU_Gr_1_S1_29	20_q4_centr
SLU_Gr_1_S1_29	19_q3_frenatura
SLU_Gr_1_S1_29	15_Q3k
SLU_Gr_1_S1_29	14_q3k
SLU_Gr_1_S1_29	24_q_vento_tot
SLU_Gr_1_S1_29	23_q_temp F
SLU_Gr_1_S1_29	22_q_ritiro
SLU_Gr_1_S1_29	21_q8
SLU_Gr_1_S1_30	DEAD
SLU_Gr_1_S1_30	1_G1_trave
SLU_Gr_1_S1_30	2_G1_soletta
SLU_Gr_1_S1_30	3_G1_marciapiede
SLU_Gr_1_S1_30	4_G1_traverso
SLU_Gr_1_S1_30	5_G2_veletta
SLU_Gr_1_S1_30	6_G2_impianti
SLU_Gr_1_S1_30	7_G2_parapetti
SLU_Gr_1_S1_30	8_G2_pavimentazione
SLU_Gr_1_S1_30	9_G2_sicurvia
SLU_Gr_1_S1_30	11_Q1k
SLU_Gr_1_S1_30	10_q1k
SLU_Gr_1_S1_30	13_Q2k
SLU_Gr_1_S1_30	12_q2k
SLU_Gr_1_S1_30	16_Q_zr
SLU_Gr_1_S1_30	17_qfk
SLU_Gr_1_S1_30	20_q4_centr
SLU_Gr_1_S1_30	19_q3_frenatura
SLU_Gr_1_S1_30	15_Q3k
SLU_Gr_1_S1_30	14_q3k
SLU_Gr_1_S1_30	24_q_vento_tot
SLU_Gr_1_S1_30	23_q_temp F
SLU_Gr_1_S1_30	22_q_ritiro
SLU_Gr_1_S1_30	21_q8
SLU_Gr_1_S1_31	DEAD
SLU_Gr_1_S1_31	1_G1_trave
SLU_Gr_1_S1_31	2_G1_soletta

RELAZIONE DI CALCOLO

COMMESSA	LOTTO	CODIFICA	DOCUMENTO	REV.	FOGLIO
NRIJ	01 D 29	CL	IV0104 001	B	281 di 341

SLU_Gr_1_S1_31 3_G1_marcia piede
 SLU_Gr_1_S1_31 4_G1_traverso
 SLU_Gr_1_S1_31 5_G2_veletta
 SLU_Gr_1_S1_31 6_G2_impianti
 SLU_Gr_1_S1_31 7_G2_parapetti
 SLU_Gr_1_S1_31 8_G2_pavimentazione
 SLU_Gr_1_S1_31 9_G2_sicurvia
 SLU_Gr_1_S1_31 11_Q1k
 SLU_Gr_1_S1_31 10_q1k
 SLU_Gr_1_S1_31 13_Q2k
 SLU_Gr_1_S1_31 12_q2k
 SLU_Gr_1_S1_31 16_Q_zr
 SLU_Gr_1_S1_31 17_qfk
 SLU_Gr_1_S1_31 20_q4_centr
 SLU_Gr_1_S1_31 19_q3_frenatura
 SLU_Gr_1_S1_31 15_Q3k
 SLU_Gr_1_S1_31 14_q3k
 SLU_Gr_1_S1_31 24_q_vento_tot
 SLU_Gr_1_S1_31 23_q_temp F
 SLU_Gr_1_S1_31 22_q_ritiro
 SLU_Gr_1_S1_31 21_q8
 SLU_Gr_1_S1_32 DEAD
 SLU_Gr_1_S1_32 1_G1_trave
 SLU_Gr_1_S1_32 2_G1_soletta
 SLU_Gr_1_S1_32 3_G1_marcia piede
 SLU_Gr_1_S1_32 4_G1_traverso
 SLU_Gr_1_S1_32 5_G2_veletta
 SLU_Gr_1_S1_32 6_G2_impianti
 SLU_Gr_1_S1_32 7_G2_parapetti
 SLU_Gr_1_S1_32 8_G2_pavimentazione
 SLU_Gr_1_S1_32 9_G2_sicurvia
 SLU_Gr_1_S1_32 11_Q1k
 SLU_Gr_1_S1_32 10_q1k
 SLU_Gr_1_S1_32 13_Q2k
 SLU_Gr_1_S1_32 12_q2k
 SLU_Gr_1_S1_32 16_Q_zr
 SLU_Gr_1_S1_32 17_qfk
 SLU_Gr_1_S1_32 20_q4_centr
 SLU_Gr_1_S1_32 19_q3_frenatura
 SLU_Gr_1_S1_32 15_Q3k
 SLU_Gr_1_S1_32 14_q3k
 SLU_Gr_1_S1_32 24_q_vento_tot
 SLU_Gr_1_S1_32 23_q_temp F
 SLU_Gr_1_S1_32 22_q_ritiro
 SLU_Gr_1_S1_32 21_q8
 SLU_Gr_1_S1_33 DEAD
 SLU_Gr_1_S1_33 1_G1_trave
 SLU_Gr_1_S1_33 2_G1_soletta
 SLU_Gr_1_S1_33 3_G1_marcia piede
 SLU_Gr_1_S1_33 4_G1_traverso
 SLU_Gr_1_S1_33 5_G2_veletta
 SLU_Gr_1_S1_33 6_G2_impianti
 SLU_Gr_1_S1_33 7_G2_parapetti
 SLU_Gr_1_S1_33 8_G2_pavimentazione
 SLU_Gr_1_S1_33 9_G2_sicurvia
 SLU_Gr_1_S1_33 11_Q1k
 SLU_Gr_1_S1_33 10_q1k
 SLU_Gr_1_S1_33 13_Q2k
 SLU_Gr_1_S1_33 12_q2k
 SLU_Gr_1_S1_33 16_Q_zr
 SLU_Gr_1_S1_33 17_qfk
 SLU_Gr_1_S1_33 20_q4_centr

RELAZIONE DI CALCOLO

COMMESSA	LOTTO	CODIFICA	DOCUMENTO	REV.	FOGLIO
NRIJ	01 D 29	CL	IV0104 001	B	282 di 341

SLU_Gr_1_S1_33 19_q3_frenatura
 SLU_Gr_1_S1_33 15_Q3k
 SLU_Gr_1_S1_33 14_q3k
 SLU_Gr_1_S1_33 24_q_vento_tot
 SLU_Gr_1_S1_33 23_q_temp F
 SLU_Gr_1_S1_33 22_q_ritiro
 SLU_Gr_1_S1_33 21_q8
 SLU_Gr_1_S1_34 DEAD
 SLU_Gr_1_S1_34 1_G1_trave
 SLU_Gr_1_S1_34 2_G1_soletta
 SLU_Gr_1_S1_34 3_G1_marciapiede
 SLU_Gr_1_S1_34 4_G1_traverso
 SLU_Gr_1_S1_34 5_G2_veletta
 SLU_Gr_1_S1_34 6_G2_impianti
 SLU_Gr_1_S1_34 7_G2_parapetti
 SLU_Gr_1_S1_34 8_G2_pavimentazione
 SLU_Gr_1_S1_34 9_G2_sicurvia
 SLU_Gr_1_S1_34 11_Q1k
 SLU_Gr_1_S1_34 10_q1k
 SLU_Gr_1_S1_34 13_Q2k
 SLU_Gr_1_S1_34 12_q2k
 SLU_Gr_1_S1_34 16_Q_zr
 SLU_Gr_1_S1_34 17_qfk
 SLU_Gr_1_S1_34 20_q4_centr
 SLU_Gr_1_S1_34 19_q3_frenatura
 SLU_Gr_1_S1_34 15_Q3k
 SLU_Gr_1_S1_34 14_q3k
 SLU_Gr_1_S1_34 24_q_vento_tot
 SLU_Gr_1_S1_34 23_q_temp F
 SLU_Gr_1_S1_34 22_q_ritiro
 SLU_Gr_1_S1_34 21_q8
 SLU_Gr_1_S1_35 DEAD
 SLU_Gr_1_S1_35 1_G1_trave
 SLU_Gr_1_S1_35 2_G1_soletta
 SLU_Gr_1_S1_35 3_G1_marciapiede
 SLU_Gr_1_S1_35 4_G1_traverso
 SLU_Gr_1_S1_35 5_G2_veletta
 SLU_Gr_1_S1_35 6_G2_impianti
 SLU_Gr_1_S1_35 7_G2_parapetti
 SLU_Gr_1_S1_35 8_G2_pavimentazione
 SLU_Gr_1_S1_35 9_G2_sicurvia
 SLU_Gr_1_S1_35 11_Q1k
 SLU_Gr_1_S1_35 10_q1k
 SLU_Gr_1_S1_35 13_Q2k
 SLU_Gr_1_S1_35 12_q2k
 SLU_Gr_1_S1_35 16_Q_zr
 SLU_Gr_1_S1_35 17_qfk
 SLU_Gr_1_S1_35 20_q4_centr
 SLU_Gr_1_S1_35 19_q3_frenatura
 SLU_Gr_1_S1_35 15_Q3k
 SLU_Gr_1_S1_35 14_q3k
 SLU_Gr_1_S1_35 24_q_vento_tot
 SLU_Gr_1_S1_35 23_q_temp F
 SLU_Gr_1_S1_35 22_q_ritiro
 SLU_Gr_1_S1_35 21_q8
 SLU_Gr_1_S1_36 DEAD
 SLU_Gr_1_S1_36 1_G1_trave
 SLU_Gr_1_S1_36 2_G1_soletta
 SLU_Gr_1_S1_36 3_G1_marciapiede
 SLU_Gr_1_S1_36 4_G1_traverso
 SLU_Gr_1_S1_36 5_G2_veletta
 SLU_Gr_1_S1_36 6_G2_impianti

RELAZIONE DI CALCOLO

COMMESSA	LOTTO	CODIFICA	DOCUMENTO	REV.	FOGLIO
NRIJ	01 D 29	CL	IV0104 001	B	283 di 341

SLU_Gr_1_S1_36 7_G2_parapetti
 SLU_Gr_1_S1_36 8_G2_pavimentazione
 SLU_Gr_1_S1_36 9_G2_sicurvia
 SLU_Gr_1_S1_36 11_Q1k
 SLU_Gr_1_S1_36 10_q1k
 SLU_Gr_1_S1_36 13_Q2k
 SLU_Gr_1_S1_36 12_q2k
 SLU_Gr_1_S1_36 16_Q_zr
 SLU_Gr_1_S1_36 17_qfk
 SLU_Gr_1_S1_36 20_q4_centr
 SLU_Gr_1_S1_36 19_q3_frenatura
 SLU_Gr_1_S1_36 15_Q3k
 SLU_Gr_1_S1_36 14_q3k
 SLU_Gr_1_S1_36 24_q_vento_tot
 SLU_Gr_1_S1_36 23_q_temp F
 SLU_Gr_1_S1_36 22_q_ritiro
 SLU_Gr_1_S1_36 21_q8
 SLU_Gr_1_S1_37 DEAD
 SLU_Gr_1_S1_37 1_G1_trave
 SLU_Gr_1_S1_37 2_G1_soletta
 SLU_Gr_1_S1_37 3_G1_marciapiede
 SLU_Gr_1_S1_37 4_G1_traverso
 SLU_Gr_1_S1_37 5_G2_veletta
 SLU_Gr_1_S1_37 6_G2_impianti
 SLU_Gr_1_S1_37 7_G2_parapetti
 SLU_Gr_1_S1_37 8_G2_pavimentazione
 SLU_Gr_1_S1_37 9_G2_sicurvia
 SLU_Gr_1_S1_37 11_Q1k
 SLU_Gr_1_S1_37 10_q1k
 SLU_Gr_1_S1_37 13_Q2k
 SLU_Gr_1_S1_37 12_q2k
 SLU_Gr_1_S1_37 16_Q_zr
 SLU_Gr_1_S1_37 17_qfk
 SLU_Gr_1_S1_37 20_q4_centr
 SLU_Gr_1_S1_37 19_q3_frenatura
 SLU_Gr_1_S1_37 15_Q3k
 SLU_Gr_1_S1_37 14_q3k
 SLU_Gr_1_S1_37 24_q_vento_tot
 SLU_Gr_1_S1_37 23_q_temp F
 SLU_Gr_1_S1_37 22_q_ritiro
 SLU_Gr_1_S1_37 21_q8
 SLU_Gr_1_S1_38 DEAD
 SLU_Gr_1_S1_38 1_G1_trave
 SLU_Gr_1_S1_38 2_G1_soletta
 SLU_Gr_1_S1_38 3_G1_marciapiede
 SLU_Gr_1_S1_38 4_G1_traverso
 SLU_Gr_1_S1_38 5_G2_veletta
 SLU_Gr_1_S1_38 6_G2_impianti
 SLU_Gr_1_S1_38 7_G2_parapetti
 SLU_Gr_1_S1_38 8_G2_pavimentazione
 SLU_Gr_1_S1_38 9_G2_sicurvia
 SLU_Gr_1_S1_38 11_Q1k
 SLU_Gr_1_S1_38 10_q1k
 SLU_Gr_1_S1_38 13_Q2k
 SLU_Gr_1_S1_38 12_q2k
 SLU_Gr_1_S1_38 16_Q_zr
 SLU_Gr_1_S1_38 17_qfk
 SLU_Gr_1_S1_38 20_q4_centr
 SLU_Gr_1_S1_38 19_q3_frenatura
 SLU_Gr_1_S1_38 15_Q3k
 SLU_Gr_1_S1_38 14_q3k
 SLU_Gr_1_S1_38 24_q_vento_tot

RELAZIONE DI CALCOLO

COMMESSA	LOTTO	CODIFICA	DOCUMENTO	REV.	FOGLIO
NRIJ	01 D 29	CL	IV0104 001	B	284 di 341

SLU_Gr_1_S1_38	23_q_temp F
SLU_Gr_1_S1_38	22_q_ritiro
SLU_Gr_1_S1_38	21_q8
SLU_Gr_1_S1_39	DEAD
SLU_Gr_1_S1_39	1_G1_trave
SLU_Gr_1_S1_39	2_G1_soletta
SLU_Gr_1_S1_39	3_G1_marciapiede
SLU_Gr_1_S1_39	4_G1_traverso
SLU_Gr_1_S1_39	5_G2_veletta
SLU_Gr_1_S1_39	6_G2_impianti
SLU_Gr_1_S1_39	7_G2_parapetti
SLU_Gr_1_S1_39	8_G2_pavimentazione
SLU_Gr_1_S1_39	9_G2_sicurvia
SLU_Gr_1_S1_39	11_Q1k
SLU_Gr_1_S1_39	10_q1k
SLU_Gr_1_S1_39	13_Q2k
SLU_Gr_1_S1_39	12_q2k
SLU_Gr_1_S1_39	16_Q_zr
SLU_Gr_1_S1_39	17_qfk
SLU_Gr_1_S1_39	20_q4_centr
SLU_Gr_1_S1_39	19_q3_frenatura
SLU_Gr_1_S1_39	15_Q3k
SLU_Gr_1_S1_39	14_q3k
SLU_Gr_1_S1_39	24_q_vento_tot
SLU_Gr_1_S1_39	23_q_temp F
SLU_Gr_1_S1_39	22_q_ritiro
SLU_Gr_1_S1_39	21_q8
SLU_Gr_1_S1_40	DEAD
SLU_Gr_1_S1_40	1_G1_trave
SLU_Gr_1_S1_40	2_G1_soletta
SLU_Gr_1_S1_40	3_G1_marciapiede
SLU_Gr_1_S1_40	4_G1_traverso
SLU_Gr_1_S1_40	5_G2_veletta
SLU_Gr_1_S1_40	6_G2_impianti
SLU_Gr_1_S1_40	7_G2_parapetti
SLU_Gr_1_S1_40	8_G2_pavimentazione
SLU_Gr_1_S1_40	9_G2_sicurvia
SLU_Gr_1_S1_40	11_Q1k
SLU_Gr_1_S1_40	10_q1k
SLU_Gr_1_S1_40	13_Q2k
SLU_Gr_1_S1_40	12_q2k
SLU_Gr_1_S1_40	16_Q_zr
SLU_Gr_1_S1_40	17_qfk
SLU_Gr_1_S1_40	20_q4_centr
SLU_Gr_1_S1_40	19_q3_frenatura
SLU_Gr_1_S1_40	15_Q3k
SLU_Gr_1_S1_40	14_q3k
SLU_Gr_1_S1_40	24_q_vento_tot
SLU_Gr_1_S1_40	23_q_temp F
SLU_Gr_1_S1_40	22_q_ritiro
SLU_Gr_1_S1_40	21_q8
SLU_Gr_2A_S1_1	DEAD
SLU_Gr_2A_S1_1	1_G1_trave
SLU_Gr_2A_S1_1	2_G1_soletta
SLU_Gr_2A_S1_1	3_G1_marciapiede
SLU_Gr_2A_S1_1	4_G1_traverso
SLU_Gr_2A_S1_1	5_G2_veletta
SLU_Gr_2A_S1_1	6_G2_impianti
SLU_Gr_2A_S1_1	7_G2_parapetti
SLU_Gr_2A_S1_1	8_G2_pavimentazione
SLU_Gr_2A_S1_1	9_G2_sicurvia
SLU_Gr_2A_S1_1	11_Q1k

RELAZIONE DI CALCOLO

COMMESSA	LOTTO	CODIFICA	DOCUMENTO	REV.	FOGLIO
NRIJ	01 D 29	CL	IV0104 001	B	285 di 341

SLU_Gr_2A_S1_1	10_q1k
SLU_Gr_2A_S1_1	13_Q2k
SLU_Gr_2A_S1_1	12_q2k
SLU_Gr_2A_S1_1	16_Q_zr
SLU_Gr_2A_S1_1	17_qfk
SLU_Gr_2A_S1_1	20_q4_cent
SLU_Gr_2A_S1_1	19_q3_frenatura
SLU_Gr_2A_S1_1	15_Q3k
SLU_Gr_2A_S1_1	14_q3k
SLU_Gr_2A_S1_1	24_q_vento_tot
SLU_Gr_2A_S1_1	23_q_temp F
SLU_Gr_2A_S1_1	22_q_ritiro
SLU_Gr_2A_S1_1	21_q8
SLU_Gr_2A_S1_2	DEAD
SLU_Gr_2A_S1_2	1_G1_trave
SLU_Gr_2A_S1_2	2_G1_soletta
SLU_Gr_2A_S1_2	3_G1_marcia piede
SLU_Gr_2A_S1_2	4_G1_traverso
SLU_Gr_2A_S1_2	5_G2_veletta
SLU_Gr_2A_S1_2	6_G2_impianti
SLU_Gr_2A_S1_2	7_G2_parapetti
SLU_Gr_2A_S1_2	8_G2_pavimentazione
SLU_Gr_2A_S1_2	9_G2_sicurvia
SLU_Gr_2A_S1_2	11_Q1k
SLU_Gr_2A_S1_2	10_q1k
SLU_Gr_2A_S1_2	13_Q2k
SLU_Gr_2A_S1_2	12_q2k
SLU_Gr_2A_S1_2	16_Q_zr
SLU_Gr_2A_S1_2	17_qfk
SLU_Gr_2A_S1_2	20_q4_cent
SLU_Gr_2A_S1_2	19_q3_frenatura
SLU_Gr_2A_S1_2	15_Q3k
SLU_Gr_2A_S1_2	14_q3k
SLU_Gr_2A_S1_2	24_q_vento_tot
SLU_Gr_2A_S1_2	23_q_temp F
SLU_Gr_2A_S1_2	22_q_ritiro
SLU_Gr_2A_S1_2	21_q8
SLU_Gr_2A_S1_3	DEAD
SLU_Gr_2A_S1_3	1_G1_trave
SLU_Gr_2A_S1_3	2_G1_soletta
SLU_Gr_2A_S1_3	3_G1_marcia piede
SLU_Gr_2A_S1_3	4_G1_traverso
SLU_Gr_2A_S1_3	5_G2_veletta
SLU_Gr_2A_S1_3	6_G2_impianti
SLU_Gr_2A_S1_3	7_G2_parapetti
SLU_Gr_2A_S1_3	8_G2_pavimentazione
SLU_Gr_2A_S1_3	9_G2_sicurvia
SLU_Gr_2A_S1_3	11_Q1k
SLU_Gr_2A_S1_3	10_q1k
SLU_Gr_2A_S1_3	13_Q2k
SLU_Gr_2A_S1_3	12_q2k
SLU_Gr_2A_S1_3	16_Q_zr
SLU_Gr_2A_S1_3	17_qfk
SLU_Gr_2A_S1_3	20_q4_cent
SLU_Gr_2A_S1_3	19_q3_frenatura
SLU_Gr_2A_S1_3	15_Q3k
SLU_Gr_2A_S1_3	14_q3k
SLU_Gr_2A_S1_3	24_q_vento_tot
SLU_Gr_2A_S1_3	23_q_temp F
SLU_Gr_2A_S1_3	22_q_ritiro
SLU_Gr_2A_S1_3	21_q8
SLU_Gr_2A_S1_4	DEAD

RELAZIONE DI CALCOLO

COMMESSA	LOTTO	CODIFICA	DOCUMENTO	REV.	FOGLIO
NRIJ	01 D 29	CL	IV0104 001	B	286 di 341

SLU_Gr_2A_S1_4 1_G1_trave
 SLU_Gr_2A_S1_4 2_G1_soletta
 SLU_Gr_2A_S1_4 3_G1_marciapiede
 SLU_Gr_2A_S1_4 4_G1_traverso
 SLU_Gr_2A_S1_4 5_G2_veletta
 SLU_Gr_2A_S1_4 6_G2_impianti
 SLU_Gr_2A_S1_4 7_G2_parapetti
 SLU_Gr_2A_S1_4 8_G2_pavimentazione
 SLU_Gr_2A_S1_4 9_G2_sicurvia
 SLU_Gr_2A_S1_4 11_Q1k
 SLU_Gr_2A_S1_4 10_q1k
 SLU_Gr_2A_S1_4 13_Q2k
 SLU_Gr_2A_S1_4 12_q2k
 SLU_Gr_2A_S1_4 16_Q_zr
 SLU_Gr_2A_S1_4 17_qfk
 SLU_Gr_2A_S1_4 20_q4_centr
 SLU_Gr_2A_S1_4 19_q3_frenatura
 SLU_Gr_2A_S1_4 15_Q3k
 SLU_Gr_2A_S1_4 14_q3k
 SLU_Gr_2A_S1_4 24_q_vento_tot
 SLU_Gr_2A_S1_4 23_q_temp F
 SLU_Gr_2A_S1_4 22_q_ritiro
 SLU_Gr_2A_S1_4 21_q8
 SLU_Gr_2A_S1_5 DEAD
 SLU_Gr_2A_S1_5 1_G1_trave
 SLU_Gr_2A_S1_5 2_G1_soletta
 SLU_Gr_2A_S1_5 3_G1_marciapiede
 SLU_Gr_2A_S1_5 4_G1_traverso
 SLU_Gr_2A_S1_5 5_G2_veletta
 SLU_Gr_2A_S1_5 6_G2_impianti
 SLU_Gr_2A_S1_5 7_G2_parapetti
 SLU_Gr_2A_S1_5 8_G2_pavimentazione
 SLU_Gr_2A_S1_5 9_G2_sicurvia
 SLU_Gr_2A_S1_5 11_Q1k
 SLU_Gr_2A_S1_5 10_q1k
 SLU_Gr_2A_S1_5 13_Q2k
 SLU_Gr_2A_S1_5 12_q2k
 SLU_Gr_2A_S1_5 16_Q_zr
 SLU_Gr_2A_S1_5 17_qfk
 SLU_Gr_2A_S1_5 20_q4_centr
 SLU_Gr_2A_S1_5 19_q3_frenatura
 SLU_Gr_2A_S1_5 15_Q3k
 SLU_Gr_2A_S1_5 14_q3k
 SLU_Gr_2A_S1_5 24_q_vento_tot
 SLU_Gr_2A_S1_5 23_q_temp F
 SLU_Gr_2A_S1_5 22_q_ritiro
 SLU_Gr_2A_S1_5 21_q8
 SLU_Gr_2A_S1_6 DEAD
 SLU_Gr_2A_S1_6 1_G1_trave
 SLU_Gr_2A_S1_6 2_G1_soletta
 SLU_Gr_2A_S1_6 3_G1_marciapiede
 SLU_Gr_2A_S1_6 4_G1_traverso
 SLU_Gr_2A_S1_6 5_G2_veletta
 SLU_Gr_2A_S1_6 6_G2_impianti
 SLU_Gr_2A_S1_6 7_G2_parapetti
 SLU_Gr_2A_S1_6 8_G2_pavimentazione
 SLU_Gr_2A_S1_6 9_G2_sicurvia
 SLU_Gr_2A_S1_6 11_Q1k
 SLU_Gr_2A_S1_6 10_q1k
 SLU_Gr_2A_S1_6 13_Q2k
 SLU_Gr_2A_S1_6 12_q2k
 SLU_Gr_2A_S1_6 16_Q_zr

RELAZIONE DI CALCOLO

COMMESSA	LOTTO	CODIFICA	DOCUMENTO	REV.	FOGLIO
NRIJ	01 D 29	CL	IV0104 001	B	287 di 341

SLU_Gr_2A_S1_6 17_qfk
 SLU_Gr_2A_S1_6 20_q4_centra
 SLU_Gr_2A_S1_6 19_q3_frenatura
 SLU_Gr_2A_S1_6 15_Q3k
 SLU_Gr_2A_S1_6 14_q3k
 SLU_Gr_2A_S1_6 24_q_vento_tot
 SLU_Gr_2A_S1_6 23_q_temp F
 SLU_Gr_2A_S1_6 22_q_ritiro
 SLU_Gr_2A_S1_6 21_q8
 SLU_Gr_2A_S1_7 DEAD
 SLU_Gr_2A_S1_7 1_G1_trave
 SLU_Gr_2A_S1_7 2_G1_soletta
 SLU_Gr_2A_S1_7 3_G1_marciapiede
 SLU_Gr_2A_S1_7 4_G1_traverso
 SLU_Gr_2A_S1_7 5_G2_veletta
 SLU_Gr_2A_S1_7 6_G2_impianti
 SLU_Gr_2A_S1_7 7_G2_parapetti
 SLU_Gr_2A_S1_7 8_G2_pavimentazione
 SLU_Gr_2A_S1_7 9_G2_sicurvia
 SLU_Gr_2A_S1_7 11_Q1k
 SLU_Gr_2A_S1_7 10_q1k
 SLU_Gr_2A_S1_7 13_Q2k
 SLU_Gr_2A_S1_7 12_q2k
 SLU_Gr_2A_S1_7 16_Q_zr
 SLU_Gr_2A_S1_7 17_qfk
 SLU_Gr_2A_S1_7 20_q4_centra
 SLU_Gr_2A_S1_7 19_q3_frenatura
 SLU_Gr_2A_S1_7 15_Q3k
 SLU_Gr_2A_S1_7 14_q3k
 SLU_Gr_2A_S1_7 24_q_vento_tot
 SLU_Gr_2A_S1_7 23_q_temp F
 SLU_Gr_2A_S1_7 22_q_ritiro
 SLU_Gr_2A_S1_7 21_q8
 SLU_Gr_2A_S1_8 DEAD
 SLU_Gr_2A_S1_8 1_G1_trave
 SLU_Gr_2A_S1_8 2_G1_soletta
 SLU_Gr_2A_S1_8 3_G1_marciapiede
 SLU_Gr_2A_S1_8 4_G1_traverso
 SLU_Gr_2A_S1_8 5_G2_veletta
 SLU_Gr_2A_S1_8 6_G2_impianti
 SLU_Gr_2A_S1_8 7_G2_parapetti
 SLU_Gr_2A_S1_8 8_G2_pavimentazione
 SLU_Gr_2A_S1_8 9_G2_sicurvia
 SLU_Gr_2A_S1_8 11_Q1k
 SLU_Gr_2A_S1_8 10_q1k
 SLU_Gr_2A_S1_8 13_Q2k
 SLU_Gr_2A_S1_8 12_q2k
 SLU_Gr_2A_S1_8 16_Q_zr
 SLU_Gr_2A_S1_8 17_qfk
 SLU_Gr_2A_S1_8 20_q4_centra
 SLU_Gr_2A_S1_8 19_q3_frenatura
 SLU_Gr_2A_S1_8 15_Q3k
 SLU_Gr_2A_S1_8 14_q3k
 SLU_Gr_2A_S1_8 24_q_vento_tot
 SLU_Gr_2A_S1_8 23_q_temp F
 SLU_Gr_2A_S1_8 22_q_ritiro
 SLU_Gr_2A_S1_8 21_q8
 SLU_Gr_2A_S1_9 DEAD
 SLU_Gr_2A_S1_9 1_G1_trave
 SLU_Gr_2A_S1_9 2_G1_soletta
 SLU_Gr_2A_S1_9 3_G1_marciapiede
 SLU_Gr_2A_S1_9 4_G1_traverso

RELAZIONE DI CALCOLO

COMMESSA	LOTTO	CODIFICA	DOCUMENTO	REV.	FOGLIO
NRIJ	01 D 29	CL	IV0104 001	B	288 di 341

SLU_Gr_2A_S1_9 5_G2_veletta
 SLU_Gr_2A_S1_9 6_G2_impianti
 SLU_Gr_2A_S1_9 7_G2_parapetti
 SLU_Gr_2A_S1_9 8_G2_pavimentazione
 SLU_Gr_2A_S1_9 9_G2_sicurvia
 SLU_Gr_2A_S1_9 11_Q1k
 SLU_Gr_2A_S1_9 10_q1k
 SLU_Gr_2A_S1_9 13_Q2k
 SLU_Gr_2A_S1_9 12_q2k
 SLU_Gr_2A_S1_9 16_Q_zr
 SLU_Gr_2A_S1_9 17_qfk
 SLU_Gr_2A_S1_9 20_q4_centr
 SLU_Gr_2A_S1_9 19_q3_frenatura
 SLU_Gr_2A_S1_9 15_Q3k
 SLU_Gr_2A_S1_9 14_q3k
 SLU_Gr_2A_S1_9 24_q_vento_tot
 SLU_Gr_2A_S1_9 23_q_temp F
 SLU_Gr_2A_S1_9 22_q_ritiro
 SLU_Gr_2A_S1_9 21_q8
 SLU_Gr_2A_S1_10 DEAD
 SLU_Gr_2A_S1_10 1_G1_trave
 SLU_Gr_2A_S1_10 2_G1_soletta
 SLU_Gr_2A_S1_10 3_G1_marciapiede
 SLU_Gr_2A_S1_10 4_G1_traverso
 SLU_Gr_2A_S1_10 5_G2_veletta
 SLU_Gr_2A_S1_10 6_G2_impianti
 SLU_Gr_2A_S1_10 7_G2_parapetti
 SLU_Gr_2A_S1_10 8_G2_pavimentazione
 SLU_Gr_2A_S1_10 9_G2_sicurvia
 SLU_Gr_2A_S1_10 11_Q1k
 SLU_Gr_2A_S1_10 10_q1k
 SLU_Gr_2A_S1_10 13_Q2k
 SLU_Gr_2A_S1_10 12_q2k
 SLU_Gr_2A_S1_10 16_Q_zr
 SLU_Gr_2A_S1_10 17_qfk
 SLU_Gr_2A_S1_10 20_q4_centr
 SLU_Gr_2A_S1_10 19_q3_frenatura
 SLU_Gr_2A_S1_10 15_Q3k
 SLU_Gr_2A_S1_10 14_q3k
 SLU_Gr_2A_S1_10 24_q_vento_tot
 SLU_Gr_2A_S1_10 23_q_temp F
 SLU_Gr_2A_S1_10 22_q_ritiro
 SLU_Gr_2A_S1_10 21_q8
 SLU_Gr_2A_S1_11 DEAD
 SLU_Gr_2A_S1_11 1_G1_trave
 SLU_Gr_2A_S1_11 2_G1_soletta
 SLU_Gr_2A_S1_11 3_G1_marciapiede
 SLU_Gr_2A_S1_11 4_G1_traverso
 SLU_Gr_2A_S1_11 5_G2_veletta
 SLU_Gr_2A_S1_11 6_G2_impianti
 SLU_Gr_2A_S1_11 7_G2_parapetti
 SLU_Gr_2A_S1_11 8_G2_pavimentazione
 SLU_Gr_2A_S1_11 9_G2_sicurvia
 SLU_Gr_2A_S1_11 11_Q1k
 SLU_Gr_2A_S1_11 10_q1k
 SLU_Gr_2A_S1_11 13_Q2k
 SLU_Gr_2A_S1_11 12_q2k
 SLU_Gr_2A_S1_11 16_Q_zr
 SLU_Gr_2A_S1_11 17_qfk
 SLU_Gr_2A_S1_11 20_q4_centr
 SLU_Gr_2A_S1_11 19_q3_frenatura
 SLU_Gr_2A_S1_11 15_Q3k

RELAZIONE DI CALCOLO

COMMESSA	LOTTO	CODIFICA	DOCUMENTO	REV.	FOGLIO
NRIJ	01 D 29	CL	IV0104 001	B	289 di 341

SLU_Gr_2A_S1_11	14_q3k
SLU_Gr_2A_S1_11	24_q_vento_tot
SLU_Gr_2A_S1_11	23_q_temp F
SLU_Gr_2A_S1_11	22_q_ritiro
SLU_Gr_2A_S1_11	21_q8
SLU_Gr_2A_S1_12	DEAD
SLU_Gr_2A_S1_12	1_G1_trave
SLU_Gr_2A_S1_12	2_G1_soletta
SLU_Gr_2A_S1_12	3_G1_marciapiede
SLU_Gr_2A_S1_12	4_G1_traverso
SLU_Gr_2A_S1_12	5_G2_veletta
SLU_Gr_2A_S1_12	6_G2_impianti
SLU_Gr_2A_S1_12	7_G2_parapetti
SLU_Gr_2A_S1_12	8_G2_pavimentazione
SLU_Gr_2A_S1_12	9_G2_sicurvia
SLU_Gr_2A_S1_12	11_Q1k
SLU_Gr_2A_S1_12	10_q1k
SLU_Gr_2A_S1_12	13_Q2k
SLU_Gr_2A_S1_12	12_q2k
SLU_Gr_2A_S1_12	16_Q_zr
SLU_Gr_2A_S1_12	17_qfk
SLU_Gr_2A_S1_12	20_q4_centra
SLU_Gr_2A_S1_12	19_q3_frenatura
SLU_Gr_2A_S1_12	15_Q3k
SLU_Gr_2A_S1_12	14_q3k
SLU_Gr_2A_S1_12	24_q_vento_tot
SLU_Gr_2A_S1_12	23_q_temp F
SLU_Gr_2A_S1_12	22_q_ritiro
SLU_Gr_2A_S1_12	21_q8
SLU_Gr_2A_S1_13	DEAD
SLU_Gr_2A_S1_13	1_G1_trave
SLU_Gr_2A_S1_13	2_G1_soletta
SLU_Gr_2A_S1_13	3_G1_marciapiede
SLU_Gr_2A_S1_13	4_G1_traverso
SLU_Gr_2A_S1_13	5_G2_veletta
SLU_Gr_2A_S1_13	6_G2_impianti
SLU_Gr_2A_S1_13	7_G2_parapetti
SLU_Gr_2A_S1_13	8_G2_pavimentazione
SLU_Gr_2A_S1_13	9_G2_sicurvia
SLU_Gr_2A_S1_13	11_Q1k
SLU_Gr_2A_S1_13	10_q1k
SLU_Gr_2A_S1_13	13_Q2k
SLU_Gr_2A_S1_13	12_q2k
SLU_Gr_2A_S1_13	16_Q_zr
SLU_Gr_2A_S1_13	17_qfk
SLU_Gr_2A_S1_13	20_q4_centra
SLU_Gr_2A_S1_13	19_q3_frenatura
SLU_Gr_2A_S1_13	15_Q3k
SLU_Gr_2A_S1_13	14_q3k
SLU_Gr_2A_S1_13	24_q_vento_tot
SLU_Gr_2A_S1_13	23_q_temp F
SLU_Gr_2A_S1_13	22_q_ritiro
SLU_Gr_2A_S1_13	21_q8
SLU_Gr_2A_S1_14	DEAD
SLU_Gr_2A_S1_14	1_G1_trave
SLU_Gr_2A_S1_14	2_G1_soletta
SLU_Gr_2A_S1_14	3_G1_marciapiede
SLU_Gr_2A_S1_14	4_G1_traverso
SLU_Gr_2A_S1_14	5_G2_veletta
SLU_Gr_2A_S1_14	6_G2_impianti
SLU_Gr_2A_S1_14	7_G2_parapetti
SLU_Gr_2A_S1_14	8_G2_pavimentazione

RELAZIONE DI CALCOLO

COMMESSA	LOTTO	CODIFICA	DOCUMENTO	REV.	FOGLIO
NRIJ	01 D 29	CL	IV0104 001	B	290 di 341

SLU_Gr_2A_S1_14	9_G2_sicurvia
SLU_Gr_2A_S1_14	11_Q1k
SLU_Gr_2A_S1_14	10_q1k
SLU_Gr_2A_S1_14	13_Q2k
SLU_Gr_2A_S1_14	12_q2k
SLU_Gr_2A_S1_14	16_Q_zr
SLU_Gr_2A_S1_14	17_qfk
SLU_Gr_2A_S1_14	20_q4_centra
SLU_Gr_2A_S1_14	19_q3_frenatura
SLU_Gr_2A_S1_14	15_Q3k
SLU_Gr_2A_S1_14	14_q3k
SLU_Gr_2A_S1_14	24_q_vento_tot
SLU_Gr_2A_S1_14	23_q_temp F
SLU_Gr_2A_S1_14	22_q_ritiro
SLU_Gr_2A_S1_14	21_q8
SLU_Gr_2A_S1_15	DEAD
SLU_Gr_2A_S1_15	1_G1_trave
SLU_Gr_2A_S1_15	2_G1_soletta
SLU_Gr_2A_S1_15	3_G1_marciapiede
SLU_Gr_2A_S1_15	4_G1_traverso
SLU_Gr_2A_S1_15	5_G2_veletta
SLU_Gr_2A_S1_15	6_G2_impianti
SLU_Gr_2A_S1_15	7_G2_parapetti
SLU_Gr_2A_S1_15	8_G2_pavimentazione
SLU_Gr_2A_S1_15	9_G2_sicurvia
SLU_Gr_2A_S1_15	11_Q1k
SLU_Gr_2A_S1_15	10_q1k
SLU_Gr_2A_S1_15	13_Q2k
SLU_Gr_2A_S1_15	12_q2k
SLU_Gr_2A_S1_15	16_Q_zr
SLU_Gr_2A_S1_15	17_qfk
SLU_Gr_2A_S1_15	20_q4_centra
SLU_Gr_2A_S1_15	19_q3_frenatura
SLU_Gr_2A_S1_15	15_Q3k
SLU_Gr_2A_S1_15	14_q3k
SLU_Gr_2A_S1_15	24_q_vento_tot
SLU_Gr_2A_S1_15	23_q_temp F
SLU_Gr_2A_S1_15	22_q_ritiro
SLU_Gr_2A_S1_15	21_q8
SLU_Gr_2A_S1_16	DEAD
SLU_Gr_2A_S1_16	1_G1_trave
SLU_Gr_2A_S1_16	2_G1_soletta
SLU_Gr_2A_S1_16	3_G1_marciapiede
SLU_Gr_2A_S1_16	4_G1_traverso
SLU_Gr_2A_S1_16	5_G2_veletta
SLU_Gr_2A_S1_16	6_G2_impianti
SLU_Gr_2A_S1_16	7_G2_parapetti
SLU_Gr_2A_S1_16	8_G2_pavimentazione
SLU_Gr_2A_S1_16	9_G2_sicurvia
SLU_Gr_2A_S1_16	11_Q1k
SLU_Gr_2A_S1_16	10_q1k
SLU_Gr_2A_S1_16	13_Q2k
SLU_Gr_2A_S1_16	12_q2k
SLU_Gr_2A_S1_16	16_Q_zr
SLU_Gr_2A_S1_16	17_qfk
SLU_Gr_2A_S1_16	20_q4_centra
SLU_Gr_2A_S1_16	19_q3_frenatura
SLU_Gr_2A_S1_16	15_Q3k
SLU_Gr_2A_S1_16	14_q3k
SLU_Gr_2A_S1_16	24_q_vento_tot
SLU_Gr_2A_S1_16	23_q_temp F
SLU_Gr_2A_S1_16	22_q_ritiro

RELAZIONE DI CALCOLO

COMMESSA	LOTTO	CODIFICA	DOCUMENTO	REV.	FOGLIO
NRIJ	01 D 29	CL	IV0104 001	B	291 di 341

SLU_Gr_2A_S1_16 21_q8
 SLU_Gr_2A_S1_17 DEAD
 SLU_Gr_2A_S1_17 1_G1_trave
 SLU_Gr_2A_S1_17 2_G1_soletta
 SLU_Gr_2A_S1_17 3_G1_marciapiede
 SLU_Gr_2A_S1_17 4_G1_traverso
 SLU_Gr_2A_S1_17 5_G2_veletta
 SLU_Gr_2A_S1_17 6_G2_impianti
 SLU_Gr_2A_S1_17 7_G2_parapetti
 SLU_Gr_2A_S1_17 8_G2_pavimentazione
 SLU_Gr_2A_S1_17 9_G2_sicurvia
 SLU_Gr_2A_S1_17 11_Q1k
 SLU_Gr_2A_S1_17 10_q1k
 SLU_Gr_2A_S1_17 13_Q2k
 SLU_Gr_2A_S1_17 12_q2k
 SLU_Gr_2A_S1_17 16_Q_zr
 SLU_Gr_2A_S1_17 17_qfk
 SLU_Gr_2A_S1_17 20_q4_centr
 SLU_Gr_2A_S1_17 19_q3_frenatura
 SLU_Gr_2A_S1_17 15_Q3k
 SLU_Gr_2A_S1_17 14_q3k
 SLU_Gr_2A_S1_17 24_q_vento_tot
 SLU_Gr_2A_S1_17 23_q_temp F
 SLU_Gr_2A_S1_17 22_q_ritiro
 SLU_Gr_2A_S1_17 21_q8
 SLU_Gr_2A_S1_18 DEAD
 SLU_Gr_2A_S1_18 1_G1_trave
 SLU_Gr_2A_S1_18 2_G1_soletta
 SLU_Gr_2A_S1_18 3_G1_marciapiede
 SLU_Gr_2A_S1_18 4_G1_traverso
 SLU_Gr_2A_S1_18 5_G2_veletta
 SLU_Gr_2A_S1_18 6_G2_impianti
 SLU_Gr_2A_S1_18 7_G2_parapetti
 SLU_Gr_2A_S1_18 8_G2_pavimentazione
 SLU_Gr_2A_S1_18 9_G2_sicurvia
 SLU_Gr_2A_S1_18 11_Q1k
 SLU_Gr_2A_S1_18 10_q1k
 SLU_Gr_2A_S1_18 13_Q2k
 SLU_Gr_2A_S1_18 12_q2k
 SLU_Gr_2A_S1_18 16_Q_zr
 SLU_Gr_2A_S1_18 17_qfk
 SLU_Gr_2A_S1_18 20_q4_centr
 SLU_Gr_2A_S1_18 19_q3_frenatura
 SLU_Gr_2A_S1_18 15_Q3k
 SLU_Gr_2A_S1_18 14_q3k
 SLU_Gr_2A_S1_18 24_q_vento_tot
 SLU_Gr_2A_S1_18 23_q_temp F
 SLU_Gr_2A_S1_18 22_q_ritiro
 SLU_Gr_2A_S1_18 21_q8
 SLU_Gr_2A_S1_19 DEAD
 SLU_Gr_2A_S1_19 1_G1_trave
 SLU_Gr_2A_S1_19 2_G1_soletta
 SLU_Gr_2A_S1_19 3_G1_marciapiede
 SLU_Gr_2A_S1_19 4_G1_traverso
 SLU_Gr_2A_S1_19 5_G2_veletta
 SLU_Gr_2A_S1_19 6_G2_impianti
 SLU_Gr_2A_S1_19 7_G2_parapetti
 SLU_Gr_2A_S1_19 8_G2_pavimentazione
 SLU_Gr_2A_S1_19 9_G2_sicurvia
 SLU_Gr_2A_S1_19 11_Q1k
 SLU_Gr_2A_S1_19 10_q1k
 SLU_Gr_2A_S1_19 13_Q2k

RELAZIONE DI CALCOLO

COMMESSA	LOTTO	CODIFICA	DOCUMENTO	REV.	FOGLIO
NRIJ	01 D 29	CL	IV0104 001	B	292 di 341

SLU_Gr_2A_S1_19	12_q2k
SLU_Gr_2A_S1_19	16_Q_zr
SLU_Gr_2A_S1_19	17_qfk
SLU_Gr_2A_S1_19	20_q4_centr
SLU_Gr_2A_S1_19	19_q3_frenatura
SLU_Gr_2A_S1_19	15_Q3k
SLU_Gr_2A_S1_19	14_q3k
SLU_Gr_2A_S1_19	24_q_vento_tot
SLU_Gr_2A_S1_19	23_q_temp F
SLU_Gr_2A_S1_19	22_q_ritiro
SLU_Gr_2A_S1_19	21_q8
SLU_Gr_2A_S1_20	DEAD
SLU_Gr_2A_S1_20	1_G1_trave
SLU_Gr_2A_S1_20	2_G1_soletta
SLU_Gr_2A_S1_20	3_G1_marciapiede
SLU_Gr_2A_S1_20	4_G1_traverso
SLU_Gr_2A_S1_20	5_G2_veletta
SLU_Gr_2A_S1_20	6_G2_impianti
SLU_Gr_2A_S1_20	7_G2_parapetti
SLU_Gr_2A_S1_20	8_G2_pavimentazione
SLU_Gr_2A_S1_20	9_G2_sicurvia
SLU_Gr_2A_S1_20	11_Q1k
SLU_Gr_2A_S1_20	10_q1k
SLU_Gr_2A_S1_20	13_Q2k
SLU_Gr_2A_S1_20	12_q2k
SLU_Gr_2A_S1_20	16_Q_zr
SLU_Gr_2A_S1_20	17_qfk
SLU_Gr_2A_S1_20	20_q4_centr
SLU_Gr_2A_S1_20	19_q3_frenatura
SLU_Gr_2A_S1_20	15_Q3k
SLU_Gr_2A_S1_20	14_q3k
SLU_Gr_2A_S1_20	24_q_vento_tot
SLU_Gr_2A_S1_20	23_q_temp F
SLU_Gr_2A_S1_20	22_q_ritiro
SLU_Gr_2A_S1_20	21_q8
SLU_Gr_2A_S1_21	DEAD
SLU_Gr_2A_S1_21	1_G1_trave
SLU_Gr_2A_S1_21	2_G1_soletta
SLU_Gr_2A_S1_21	3_G1_marciapiede
SLU_Gr_2A_S1_21	4_G1_traverso
SLU_Gr_2A_S1_21	5_G2_veletta
SLU_Gr_2A_S1_21	6_G2_impianti
SLU_Gr_2A_S1_21	7_G2_parapetti
SLU_Gr_2A_S1_21	8_G2_pavimentazione
SLU_Gr_2A_S1_21	9_G2_sicurvia
SLU_Gr_2A_S1_21	11_Q1k
SLU_Gr_2A_S1_21	10_q1k
SLU_Gr_2A_S1_21	13_Q2k
SLU_Gr_2A_S1_21	12_q2k
SLU_Gr_2A_S1_21	16_Q_zr
SLU_Gr_2A_S1_21	17_qfk
SLU_Gr_2A_S1_21	20_q4_centr
SLU_Gr_2A_S1_21	19_q3_frenatura
SLU_Gr_2A_S1_21	15_Q3k
SLU_Gr_2A_S1_21	14_q3k
SLU_Gr_2A_S1_21	24_q_vento_tot
SLU_Gr_2A_S1_21	23_q_temp F
SLU_Gr_2A_S1_21	22_q_ritiro
SLU_Gr_2A_S1_21	21_q8
SLU_Gr_2A_S1_22	DEAD
SLU_Gr_2A_S1_22	1_G1_trave
SLU_Gr_2A_S1_22	2_G1_soletta

RELAZIONE DI CALCOLO

COMMESSA	LOTTO	CODIFICA	DOCUMENTO	REV.	FOGLIO
NRIJ	01 D 29	CL	IV0104 001	B	293 di 341

SLU_Gr_2A_S1_22 3_G1_marciapiede
 SLU_Gr_2A_S1_22 4_G1_traverso
 SLU_Gr_2A_S1_22 5_G2_veletta
 SLU_Gr_2A_S1_22 6_G2_impianti
 SLU_Gr_2A_S1_22 7_G2_parapetti
 SLU_Gr_2A_S1_22 8_G2_pavimentazione
 SLU_Gr_2A_S1_22 9_G2_sicurvia
 SLU_Gr_2A_S1_22 11_Q1k
 SLU_Gr_2A_S1_22 10_q1k
 SLU_Gr_2A_S1_22 13_Q2k
 SLU_Gr_2A_S1_22 12_q2k
 SLU_Gr_2A_S1_22 16_Q_zr
 SLU_Gr_2A_S1_22 17_qfk
 SLU_Gr_2A_S1_22 20_q4_centr
 SLU_Gr_2A_S1_22 19_q3_frenatura
 SLU_Gr_2A_S1_22 15_Q3k
 SLU_Gr_2A_S1_22 14_q3k
 SLU_Gr_2A_S1_22 24_q_vento_tot
 SLU_Gr_2A_S1_22 23_q_temp F
 SLU_Gr_2A_S1_22 22_q_ritiro
 SLU_Gr_2A_S1_22 21_q8
 SLU_Gr_2A_S1_23 DEAD
 SLU_Gr_2A_S1_23 1_G1_trave
 SLU_Gr_2A_S1_23 2_G1_soletta
 SLU_Gr_2A_S1_23 3_G1_marciapiede
 SLU_Gr_2A_S1_23 4_G1_traverso
 SLU_Gr_2A_S1_23 5_G2_veletta
 SLU_Gr_2A_S1_23 6_G2_impianti
 SLU_Gr_2A_S1_23 7_G2_parapetti
 SLU_Gr_2A_S1_23 8_G2_pavimentazione
 SLU_Gr_2A_S1_23 9_G2_sicurvia
 SLU_Gr_2A_S1_23 11_Q1k
 SLU_Gr_2A_S1_23 10_q1k
 SLU_Gr_2A_S1_23 13_Q2k
 SLU_Gr_2A_S1_23 12_q2k
 SLU_Gr_2A_S1_23 16_Q_zr
 SLU_Gr_2A_S1_23 17_qfk
 SLU_Gr_2A_S1_23 20_q4_centr
 SLU_Gr_2A_S1_23 19_q3_frenatura
 SLU_Gr_2A_S1_23 15_Q3k
 SLU_Gr_2A_S1_23 14_q3k
 SLU_Gr_2A_S1_23 24_q_vento_tot
 SLU_Gr_2A_S1_23 23_q_temp F
 SLU_Gr_2A_S1_23 22_q_ritiro
 SLU_Gr_2A_S1_23 21_q8
 SLU_Gr_2A_S1_24 DEAD
 SLU_Gr_2A_S1_24 1_G1_trave
 SLU_Gr_2A_S1_24 2_G1_soletta
 SLU_Gr_2A_S1_24 3_G1_marciapiede
 SLU_Gr_2A_S1_24 4_G1_traverso
 SLU_Gr_2A_S1_24 5_G2_veletta
 SLU_Gr_2A_S1_24 6_G2_impianti
 SLU_Gr_2A_S1_24 7_G2_parapetti
 SLU_Gr_2A_S1_24 8_G2_pavimentazione
 SLU_Gr_2A_S1_24 9_G2_sicurvia
 SLU_Gr_2A_S1_24 11_Q1k
 SLU_Gr_2A_S1_24 10_q1k
 SLU_Gr_2A_S1_24 13_Q2k
 SLU_Gr_2A_S1_24 12_q2k
 SLU_Gr_2A_S1_24 16_Q_zr
 SLU_Gr_2A_S1_24 17_qfk
 SLU_Gr_2A_S1_24 20_q4_centr

RELAZIONE DI CALCOLO

COMMESSA	LOTTO	CODIFICA	DOCUMENTO	REV.	FOGLIO
NRIJ	01 D 29	CL	IV0104 001	B	294 di 341

SLU_Gr_2A_S1_24	19_q3_frenatura
SLU_Gr_2A_S1_24	15_Q3k
SLU_Gr_2A_S1_24	14_q3k
SLU_Gr_2A_S1_24	24_q_vento_tot
SLU_Gr_2A_S1_24	23_q_temp F
SLU_Gr_2A_S1_24	22_q_ritiro
SLU_Gr_2A_S1_24	21_q8
SLU_Gr_2A_S1_25	DEAD
SLU_Gr_2A_S1_25	1_G1_trave
SLU_Gr_2A_S1_25	2_G1_soletta
SLU_Gr_2A_S1_25	3_G1_marciapiede
SLU_Gr_2A_S1_25	4_G1_traverso
SLU_Gr_2A_S1_25	5_G2_veletta
SLU_Gr_2A_S1_25	6_G2_impianti
SLU_Gr_2A_S1_25	7_G2_parapetti
SLU_Gr_2A_S1_25	8_G2_pavimentazione
SLU_Gr_2A_S1_25	9_G2_sicurvia
SLU_Gr_2A_S1_25	11_Q1k
SLU_Gr_2A_S1_25	10_q1k
SLU_Gr_2A_S1_25	13_Q2k
SLU_Gr_2A_S1_25	12_q2k
SLU_Gr_2A_S1_25	16_Q_zr
SLU_Gr_2A_S1_25	17_qfk
SLU_Gr_2A_S1_25	20_q4_centr
SLU_Gr_2A_S1_25	19_q3_frenatura
SLU_Gr_2A_S1_25	15_Q3k
SLU_Gr_2A_S1_25	14_q3k
SLU_Gr_2A_S1_25	24_q_vento_tot
SLU_Gr_2A_S1_25	23_q_temp F
SLU_Gr_2A_S1_25	22_q_ritiro
SLU_Gr_2A_S1_25	21_q8
SLU_Gr_2A_S1_26	DEAD
SLU_Gr_2A_S1_26	1_G1_trave
SLU_Gr_2A_S1_26	2_G1_soletta
SLU_Gr_2A_S1_26	3_G1_marciapiede
SLU_Gr_2A_S1_26	4_G1_traverso
SLU_Gr_2A_S1_26	5_G2_veletta
SLU_Gr_2A_S1_26	6_G2_impianti
SLU_Gr_2A_S1_26	7_G2_parapetti
SLU_Gr_2A_S1_26	8_G2_pavimentazione
SLU_Gr_2A_S1_26	9_G2_sicurvia
SLU_Gr_2A_S1_26	11_Q1k
SLU_Gr_2A_S1_26	10_q1k
SLU_Gr_2A_S1_26	13_Q2k
SLU_Gr_2A_S1_26	12_q2k
SLU_Gr_2A_S1_26	16_Q_zr
SLU_Gr_2A_S1_26	17_qfk
SLU_Gr_2A_S1_26	20_q4_centr
SLU_Gr_2A_S1_26	19_q3_frenatura
SLU_Gr_2A_S1_26	15_Q3k
SLU_Gr_2A_S1_26	14_q3k
SLU_Gr_2A_S1_26	24_q_vento_tot
SLU_Gr_2A_S1_26	23_q_temp F
SLU_Gr_2A_S1_26	22_q_ritiro
SLU_Gr_2A_S1_26	21_q8
SLU_Gr_2A_S1_27	DEAD
SLU_Gr_2A_S1_27	1_G1_trave
SLU_Gr_2A_S1_27	2_G1_soletta
SLU_Gr_2A_S1_27	3_G1_marciapiede
SLU_Gr_2A_S1_27	4_G1_traverso
SLU_Gr_2A_S1_27	5_G2_veletta
SLU_Gr_2A_S1_27	6_G2_impianti

RELAZIONE DI CALCOLO

COMMESSA	LOTTO	CODIFICA	DOCUMENTO	REV.	FOGLIO
NRIJ	01 D 29	CL	IV0104 001	B	295 di 341

SLU_Gr_2A_S1_27 7_G2_parapetti
 SLU_Gr_2A_S1_27 8_G2_pavimentazione
 SLU_Gr_2A_S1_27 9_G2_sicurvia
 SLU_Gr_2A_S1_27 11_Q1k
 SLU_Gr_2A_S1_27 10_q1k
 SLU_Gr_2A_S1_27 13_Q2k
 SLU_Gr_2A_S1_27 12_q2k
 SLU_Gr_2A_S1_27 16_Q_zr
 SLU_Gr_2A_S1_27 17_qfk
 SLU_Gr_2A_S1_27 20_q4_centra
 SLU_Gr_2A_S1_27 19_q3_frenatura
 SLU_Gr_2A_S1_27 15_Q3k
 SLU_Gr_2A_S1_27 14_q3k
 SLU_Gr_2A_S1_27 24_q_vento_tot
 SLU_Gr_2A_S1_27 23_q_temp F
 SLU_Gr_2A_S1_27 22_q_ritiro
 SLU_Gr_2A_S1_27 21_q8
 SLU_Gr_2A_S1_28 DEAD
 SLU_Gr_2A_S1_28 1_G1_trave
 SLU_Gr_2A_S1_28 2_G1_soletta
 SLU_Gr_2A_S1_28 3_G1_marciapiede
 SLU_Gr_2A_S1_28 4_G1_traverso
 SLU_Gr_2A_S1_28 5_G2_veletta
 SLU_Gr_2A_S1_28 6_G2_impianti
 SLU_Gr_2A_S1_28 7_G2_parapetti
 SLU_Gr_2A_S1_28 8_G2_pavimentazione
 SLU_Gr_2A_S1_28 9_G2_sicurvia
 SLU_Gr_2A_S1_28 11_Q1k
 SLU_Gr_2A_S1_28 10_q1k
 SLU_Gr_2A_S1_28 13_Q2k
 SLU_Gr_2A_S1_28 12_q2k
 SLU_Gr_2A_S1_28 16_Q_zr
 SLU_Gr_2A_S1_28 17_qfk
 SLU_Gr_2A_S1_28 20_q4_centra
 SLU_Gr_2A_S1_28 19_q3_frenatura
 SLU_Gr_2A_S1_28 15_Q3k
 SLU_Gr_2A_S1_28 14_q3k
 SLU_Gr_2A_S1_28 24_q_vento_tot
 SLU_Gr_2A_S1_28 23_q_temp F
 SLU_Gr_2A_S1_28 22_q_ritiro
 SLU_Gr_2A_S1_28 21_q8
 SLU_Gr_2A_S1_29 DEAD
 SLU_Gr_2A_S1_29 1_G1_trave
 SLU_Gr_2A_S1_29 2_G1_soletta
 SLU_Gr_2A_S1_29 3_G1_marciapiede
 SLU_Gr_2A_S1_29 4_G1_traverso
 SLU_Gr_2A_S1_29 5_G2_veletta
 SLU_Gr_2A_S1_29 6_G2_impianti
 SLU_Gr_2A_S1_29 7_G2_parapetti
 SLU_Gr_2A_S1_29 8_G2_pavimentazione
 SLU_Gr_2A_S1_29 9_G2_sicurvia
 SLU_Gr_2A_S1_29 11_Q1k
 SLU_Gr_2A_S1_29 10_q1k
 SLU_Gr_2A_S1_29 13_Q2k
 SLU_Gr_2A_S1_29 12_q2k
 SLU_Gr_2A_S1_29 16_Q_zr
 SLU_Gr_2A_S1_29 17_qfk
 SLU_Gr_2A_S1_29 20_q4_centra
 SLU_Gr_2A_S1_29 19_q3_frenatura
 SLU_Gr_2A_S1_29 15_Q3k
 SLU_Gr_2A_S1_29 14_q3k
 SLU_Gr_2A_S1_29 24_q_vento_tot

RELAZIONE DI CALCOLO

COMMESSA	LOTTO	CODIFICA	DOCUMENTO	REV.	FOGLIO
NRIJ	01 D 29	CL	IV0104 001	B	296 di 341

SLU_Gr_2A_S1_29	23_q_temp F
SLU_Gr_2A_S1_29	22_q_ritiro
SLU_Gr_2A_S1_29	21_q8
SLU_Gr_2A_S1_30	DEAD
SLU_Gr_2A_S1_30	1_G1_trave
SLU_Gr_2A_S1_30	2_G1_soletta
SLU_Gr_2A_S1_30	3_G1_marciapiede
SLU_Gr_2A_S1_30	4_G1_traverso
SLU_Gr_2A_S1_30	5_G2_veletta
SLU_Gr_2A_S1_30	6_G2_impianti
SLU_Gr_2A_S1_30	7_G2_parapetti
SLU_Gr_2A_S1_30	8_G2_pavimentazione
SLU_Gr_2A_S1_30	9_G2_sicurvia
SLU_Gr_2A_S1_30	11_Q1k
SLU_Gr_2A_S1_30	10_q1k
SLU_Gr_2A_S1_30	13_Q2k
SLU_Gr_2A_S1_30	12_q2k
SLU_Gr_2A_S1_30	16_Q_zr
SLU_Gr_2A_S1_30	17_qfk
SLU_Gr_2A_S1_30	20_q4_centr
SLU_Gr_2A_S1_30	19_q3_frenatura
SLU_Gr_2A_S1_30	15_Q3k
SLU_Gr_2A_S1_30	14_q3k
SLU_Gr_2A_S1_30	24_q_vento_tot
SLU_Gr_2A_S1_30	23_q_temp F
SLU_Gr_2A_S1_30	22_q_ritiro
SLU_Gr_2A_S1_30	21_q8
SLU_Gr_2A_S1_31	DEAD
SLU_Gr_2A_S1_31	1_G1_trave
SLU_Gr_2A_S1_31	2_G1_soletta
SLU_Gr_2A_S1_31	3_G1_marciapiede
SLU_Gr_2A_S1_31	4_G1_traverso
SLU_Gr_2A_S1_31	5_G2_veletta
SLU_Gr_2A_S1_31	6_G2_impianti
SLU_Gr_2A_S1_31	7_G2_parapetti
SLU_Gr_2A_S1_31	8_G2_pavimentazione
SLU_Gr_2A_S1_31	9_G2_sicurvia
SLU_Gr_2A_S1_31	11_Q1k
SLU_Gr_2A_S1_31	10_q1k
SLU_Gr_2A_S1_31	13_Q2k
SLU_Gr_2A_S1_31	12_q2k
SLU_Gr_2A_S1_31	16_Q_zr
SLU_Gr_2A_S1_31	17_qfk
SLU_Gr_2A_S1_31	20_q4_centr
SLU_Gr_2A_S1_31	19_q3_frenatura
SLU_Gr_2A_S1_31	15_Q3k
SLU_Gr_2A_S1_31	14_q3k
SLU_Gr_2A_S1_31	24_q_vento_tot
SLU_Gr_2A_S1_31	23_q_temp F
SLU_Gr_2A_S1_31	22_q_ritiro
SLU_Gr_2A_S1_31	21_q8
SLU_Gr_2A_S1_32	DEAD
SLU_Gr_2A_S1_32	1_G1_trave
SLU_Gr_2A_S1_32	2_G1_soletta
SLU_Gr_2A_S1_32	3_G1_marciapiede
SLU_Gr_2A_S1_32	4_G1_traverso
SLU_Gr_2A_S1_32	5_G2_veletta
SLU_Gr_2A_S1_32	6_G2_impianti
SLU_Gr_2A_S1_32	7_G2_parapetti
SLU_Gr_2A_S1_32	8_G2_pavimentazione
SLU_Gr_2A_S1_32	9_G2_sicurvia
SLU_Gr_2A_S1_32	11_Q1k

RELAZIONE DI CALCOLO

COMMESSA	LOTTO	CODIFICA	DOCUMENTO	REV.	FOGLIO
NRIJ	01 D 29	CL	IV0104 001	B	297 di 341

SLU_Gr_2A_S1_32	10_q1k
SLU_Gr_2A_S1_32	13_Q2k
SLU_Gr_2A_S1_32	12_q2k
SLU_Gr_2A_S1_32	16_Q_zr
SLU_Gr_2A_S1_32	17_qfk
SLU_Gr_2A_S1_32	20_q4_centr
SLU_Gr_2A_S1_32	19_q3_frenatura
SLU_Gr_2A_S1_32	15_Q3k
SLU_Gr_2A_S1_32	14_q3k
SLU_Gr_2A_S1_32	24_q_vento_tot
SLU_Gr_2A_S1_32	23_q_temp F
SLU_Gr_2A_S1_32	22_q_ritiro
SLU_Gr_2A_S1_32	21_q8
SLU_Gr_2A_S1_33	DEAD
SLU_Gr_2A_S1_33	1_G1_trave
SLU_Gr_2A_S1_33	2_G1_soletta
SLU_Gr_2A_S1_33	3_G1_marciapiede
SLU_Gr_2A_S1_33	4_G1_traverso
SLU_Gr_2A_S1_33	5_G2_veletta
SLU_Gr_2A_S1_33	6_G2_impianti
SLU_Gr_2A_S1_33	7_G2_parapetti
SLU_Gr_2A_S1_33	8_G2_pavimentazione
SLU_Gr_2A_S1_33	9_G2_sicurvia
SLU_Gr_2A_S1_33	11_Q1k
SLU_Gr_2A_S1_33	10_q1k
SLU_Gr_2A_S1_33	13_Q2k
SLU_Gr_2A_S1_33	12_q2k
SLU_Gr_2A_S1_33	16_Q_zr
SLU_Gr_2A_S1_33	17_qfk
SLU_Gr_2A_S1_33	20_q4_centr
SLU_Gr_2A_S1_33	19_q3_frenatura
SLU_Gr_2A_S1_33	15_Q3k
SLU_Gr_2A_S1_33	14_q3k
SLU_Gr_2A_S1_33	24_q_vento_tot
SLU_Gr_2A_S1_33	23_q_temp F
SLU_Gr_2A_S1_33	22_q_ritiro
SLU_Gr_2A_S1_33	21_q8
SLU_Gr_2A_S1_34	DEAD
SLU_Gr_2A_S1_34	1_G1_trave
SLU_Gr_2A_S1_34	2_G1_soletta
SLU_Gr_2A_S1_34	3_G1_marciapiede
SLU_Gr_2A_S1_34	4_G1_traverso
SLU_Gr_2A_S1_34	5_G2_veletta
SLU_Gr_2A_S1_34	6_G2_impianti
SLU_Gr_2A_S1_34	7_G2_parapetti
SLU_Gr_2A_S1_34	8_G2_pavimentazione
SLU_Gr_2A_S1_34	9_G2_sicurvia
SLU_Gr_2A_S1_34	11_Q1k
SLU_Gr_2A_S1_34	10_q1k
SLU_Gr_2A_S1_34	13_Q2k
SLU_Gr_2A_S1_34	12_q2k
SLU_Gr_2A_S1_34	16_Q_zr
SLU_Gr_2A_S1_34	17_qfk
SLU_Gr_2A_S1_34	20_q4_centr
SLU_Gr_2A_S1_34	19_q3_frenatura
SLU_Gr_2A_S1_34	15_Q3k
SLU_Gr_2A_S1_34	14_q3k
SLU_Gr_2A_S1_34	24_q_vento_tot
SLU_Gr_2A_S1_34	23_q_temp F
SLU_Gr_2A_S1_34	22_q_ritiro
SLU_Gr_2A_S1_34	21_q8
SLU_Gr_2A_S1_35	DEAD

RELAZIONE DI CALCOLO

COMMESSA	LOTTO	CODIFICA	DOCUMENTO	REV.	FOGLIO
NRIJ	01 D 29	CL	IV0104 001	B	298 di 341

SLU_Gr_2A_S1_35 1_G1_trave
 SLU_Gr_2A_S1_35 2_G1_soletta
 SLU_Gr_2A_S1_35 3_G1_marciapiede
 SLU_Gr_2A_S1_35 4_G1_traverso
 SLU_Gr_2A_S1_35 5_G2_veletta
 SLU_Gr_2A_S1_35 6_G2_impianti
 SLU_Gr_2A_S1_35 7_G2_parapetti
 SLU_Gr_2A_S1_35 8_G2_pavimentazione
 SLU_Gr_2A_S1_35 9_G2_sicurvia
 SLU_Gr_2A_S1_35 11_Q1k
 SLU_Gr_2A_S1_35 10_q1k
 SLU_Gr_2A_S1_35 13_Q2k
 SLU_Gr_2A_S1_35 12_q2k
 SLU_Gr_2A_S1_35 16_Q_zr
 SLU_Gr_2A_S1_35 17_qfk
 SLU_Gr_2A_S1_35 20_q4_centr
 SLU_Gr_2A_S1_35 19_q3_frenatura
 SLU_Gr_2A_S1_35 15_Q3k
 SLU_Gr_2A_S1_35 14_q3k
 SLU_Gr_2A_S1_35 24_q_vento_tot
 SLU_Gr_2A_S1_35 23_q_temp F
 SLU_Gr_2A_S1_35 22_q_ritiro
 SLU_Gr_2A_S1_35 21_q8
 SLU_Gr_2A_S1_36 DEAD
 SLU_Gr_2A_S1_36 1_G1_trave
 SLU_Gr_2A_S1_36 2_G1_soletta
 SLU_Gr_2A_S1_36 3_G1_marciapiede
 SLU_Gr_2A_S1_36 4_G1_traverso
 SLU_Gr_2A_S1_36 5_G2_veletta
 SLU_Gr_2A_S1_36 6_G2_impianti
 SLU_Gr_2A_S1_36 7_G2_parapetti
 SLU_Gr_2A_S1_36 8_G2_pavimentazione
 SLU_Gr_2A_S1_36 9_G2_sicurvia
 SLU_Gr_2A_S1_36 11_Q1k
 SLU_Gr_2A_S1_36 10_q1k
 SLU_Gr_2A_S1_36 13_Q2k
 SLU_Gr_2A_S1_36 12_q2k
 SLU_Gr_2A_S1_36 16_Q_zr
 SLU_Gr_2A_S1_36 17_qfk
 SLU_Gr_2A_S1_36 20_q4_centr
 SLU_Gr_2A_S1_36 19_q3_frenatura
 SLU_Gr_2A_S1_36 15_Q3k
 SLU_Gr_2A_S1_36 14_q3k
 SLU_Gr_2A_S1_36 24_q_vento_tot
 SLU_Gr_2A_S1_36 23_q_temp F
 SLU_Gr_2A_S1_36 22_q_ritiro
 SLU_Gr_2A_S1_36 21_q8
 SLU_Gr_2A_S1_37 DEAD
 SLU_Gr_2A_S1_37 1_G1_trave
 SLU_Gr_2A_S1_37 2_G1_soletta
 SLU_Gr_2A_S1_37 3_G1_marciapiede
 SLU_Gr_2A_S1_37 4_G1_traverso
 SLU_Gr_2A_S1_37 5_G2_veletta
 SLU_Gr_2A_S1_37 6_G2_impianti
 SLU_Gr_2A_S1_37 7_G2_parapetti
 SLU_Gr_2A_S1_37 8_G2_pavimentazione
 SLU_Gr_2A_S1_37 9_G2_sicurvia
 SLU_Gr_2A_S1_37 11_Q1k
 SLU_Gr_2A_S1_37 10_q1k
 SLU_Gr_2A_S1_37 13_Q2k
 SLU_Gr_2A_S1_37 12_q2k
 SLU_Gr_2A_S1_37 16_Q_zr

RELAZIONE DI CALCOLO

COMMESSA	LOTTO	CODIFICA	DOCUMENTO	REV.	FOGLIO
NRIJ	01 D 29	CL	IV0104 001	B	299 di 341

SLU_Gr_2A_S1_37	17_qfk
SLU_Gr_2A_S1_37	20_q4_centra
SLU_Gr_2A_S1_37	19_q3_frenatura
SLU_Gr_2A_S1_37	15_Q3k
SLU_Gr_2A_S1_37	14_q3k
SLU_Gr_2A_S1_37	24_q_vento_tot
SLU_Gr_2A_S1_37	23_q_temp F
SLU_Gr_2A_S1_37	22_q_ritiro
SLU_Gr_2A_S1_37	21_q8
SLU_Gr_2A_S1_38	DEAD
SLU_Gr_2A_S1_38	1_G1_trave
SLU_Gr_2A_S1_38	2_G1_soletta
SLU_Gr_2A_S1_38	3_G1_marciapiede
SLU_Gr_2A_S1_38	4_G1_traverso
SLU_Gr_2A_S1_38	5_G2_veletta
SLU_Gr_2A_S1_38	6_G2_impianti
SLU_Gr_2A_S1_38	7_G2_parapetti
SLU_Gr_2A_S1_38	8_G2_pavimentazione
SLU_Gr_2A_S1_38	9_G2_sicurvia
SLU_Gr_2A_S1_38	11_Q1k
SLU_Gr_2A_S1_38	10_q1k
SLU_Gr_2A_S1_38	13_Q2k
SLU_Gr_2A_S1_38	12_q2k
SLU_Gr_2A_S1_38	16_Q_zr
SLU_Gr_2A_S1_38	17_qfk
SLU_Gr_2A_S1_38	20_q4_centra
SLU_Gr_2A_S1_38	19_q3_frenatura
SLU_Gr_2A_S1_38	15_Q3k
SLU_Gr_2A_S1_38	14_q3k
SLU_Gr_2A_S1_38	24_q_vento_tot
SLU_Gr_2A_S1_38	23_q_temp F
SLU_Gr_2A_S1_38	22_q_ritiro
SLU_Gr_2A_S1_38	21_q8
SLU_Gr_2A_S1_39	DEAD
SLU_Gr_2A_S1_39	1_G1_trave
SLU_Gr_2A_S1_39	2_G1_soletta
SLU_Gr_2A_S1_39	3_G1_marciapiede
SLU_Gr_2A_S1_39	4_G1_traverso
SLU_Gr_2A_S1_39	5_G2_veletta
SLU_Gr_2A_S1_39	6_G2_impianti
SLU_Gr_2A_S1_39	7_G2_parapetti
SLU_Gr_2A_S1_39	8_G2_pavimentazione
SLU_Gr_2A_S1_39	9_G2_sicurvia
SLU_Gr_2A_S1_39	11_Q1k
SLU_Gr_2A_S1_39	10_q1k
SLU_Gr_2A_S1_39	13_Q2k
SLU_Gr_2A_S1_39	12_q2k
SLU_Gr_2A_S1_39	16_Q_zr
SLU_Gr_2A_S1_39	17_qfk
SLU_Gr_2A_S1_39	20_q4_centra
SLU_Gr_2A_S1_39	19_q3_frenatura
SLU_Gr_2A_S1_39	15_Q3k
SLU_Gr_2A_S1_39	14_q3k
SLU_Gr_2A_S1_39	24_q_vento_tot
SLU_Gr_2A_S1_39	23_q_temp F
SLU_Gr_2A_S1_39	22_q_ritiro
SLU_Gr_2A_S1_39	21_q8
SLU_Gr_2A_S1_40	DEAD
SLU_Gr_2A_S1_40	1_G1_trave
SLU_Gr_2A_S1_40	2_G1_soletta
SLU_Gr_2A_S1_40	3_G1_marciapiede
SLU_Gr_2A_S1_40	4_G1_traverso

RELAZIONE DI CALCOLO

COMMESSA	LOTTO	CODIFICA	DOCUMENTO	REV.	FOGLIO
NRIJ	01 D 29	CL	IV0104 001	B	300 di 341

SLU_Gr_2A_S1_40	5_G2_veletta
SLU_Gr_2A_S1_40	6_G2_impianti
SLU_Gr_2A_S1_40	7_G2_parapetti
SLU_Gr_2A_S1_40	8_G2_pavimentazione
SLU_Gr_2A_S1_40	9_G2_sicurvia
SLU_Gr_2A_S1_40	11_Q1k
SLU_Gr_2A_S1_40	10_q1k
SLU_Gr_2A_S1_40	13_Q2k
SLU_Gr_2A_S1_40	12_q2k
SLU_Gr_2A_S1_40	16_Q_zr
SLU_Gr_2A_S1_40	17_qfk
SLU_Gr_2A_S1_40	20_q4_centra
SLU_Gr_2A_S1_40	19_q3_frenatura
SLU_Gr_2A_S1_40	15_Q3k
SLU_Gr_2A_S1_40	14_q3k
SLU_Gr_2A_S1_40	24_q_vento_tot
SLU_Gr_2A_S1_40	23_q_temp F
SLU_Gr_2A_S1_40	22_q_ritiro
SLU_Gr_2A_S1_40	21_q8
SLERR_Gr_1_S1_1	DEAD
SLERR_Gr_1_S1_1	1_G1_trave
SLERR_Gr_1_S1_1	2_G1_soletta
SLERR_Gr_1_S1_1	3_G1_marciapiede
SLERR_Gr_1_S1_1	4_G1_traverso
SLERR_Gr_1_S1_1	5_G2_veletta
SLERR_Gr_1_S1_1	6_G2_impianti
SLERR_Gr_1_S1_1	7_G2_parapetti
SLERR_Gr_1_S1_1	8_G2_pavimentazione
SLERR_Gr_1_S1_1	9_G2_sicurvia
SLERR_Gr_1_S1_1	11_Q1k
SLERR_Gr_1_S1_1	10_q1k
SLERR_Gr_1_S1_1	13_Q2k
SLERR_Gr_1_S1_1	12_q2k
SLERR_Gr_1_S1_1	16_Q_zr
SLERR_Gr_1_S1_1	17_qfk
SLERR_Gr_1_S1_1	20_q4_centra
SLERR_Gr_1_S1_1	19_q3_frenatura
SLERR_Gr_1_S1_1	15_Q3k
SLERR_Gr_1_S1_1	14_q3k
SLERR_Gr_1_S1_1	24_q_vento_tot
SLERR_Gr_1_S1_1	23_q_temp F
SLERR_Gr_1_S1_1	22_q_ritiro
SLERR_Gr_1_S1_1	21_q8
SLERR_Gr_1_S1_2	DEAD
SLERR_Gr_1_S1_2	1_G1_trave
SLERR_Gr_1_S1_2	2_G1_soletta
SLERR_Gr_1_S1_2	3_G1_marciapiede
SLERR_Gr_1_S1_2	4_G1_traverso
SLERR_Gr_1_S1_2	5_G2_veletta
SLERR_Gr_1_S1_2	6_G2_impianti
SLERR_Gr_1_S1_2	7_G2_parapetti
SLERR_Gr_1_S1_2	8_G2_pavimentazione
SLERR_Gr_1_S1_2	9_G2_sicurvia
SLERR_Gr_1_S1_2	11_Q1k
SLERR_Gr_1_S1_2	10_q1k
SLERR_Gr_1_S1_2	13_Q2k
SLERR_Gr_1_S1_2	12_q2k
SLERR_Gr_1_S1_2	16_Q_zr
SLERR_Gr_1_S1_2	17_qfk
SLERR_Gr_1_S1_2	20_q4_centra
SLERR_Gr_1_S1_2	19_q3_frenatura
SLERR_Gr_1_S1_2	15_Q3k

RELAZIONE DI CALCOLO

COMMESSA	LOTTO	CODIFICA	DOCUMENTO	REV.	FOGLIO
NRIJ	01 D 29	CL	IV0104 001	B	301 di 341

SLERR_Gr_1_S1_2 14_q3k
 SLERR_Gr_1_S1_2 24_q_vento_tot
 SLERR_Gr_1_S1_2 23_q_temp F
 SLERR_Gr_1_S1_2 22_q_ritiro
 SLERR_Gr_1_S1_2 21_q8
 SLERR_Gr_1_S1_3 DEAD
 SLERR_Gr_1_S1_3 1_G1_trave
 SLERR_Gr_1_S1_3 2_G1_soletta
 SLERR_Gr_1_S1_3 3_G1_marciapiede
 SLERR_Gr_1_S1_3 4_G1_traverso
 SLERR_Gr_1_S1_3 5_G2_veletta
 SLERR_Gr_1_S1_3 6_G2_impianti
 SLERR_Gr_1_S1_3 7_G2_parapetti
 SLERR_Gr_1_S1_3 8_G2_pavimentazione
 SLERR_Gr_1_S1_3 9_G2_sicurvia
 SLERR_Gr_1_S1_3 11_Q1k
 SLERR_Gr_1_S1_3 10_q1k
 SLERR_Gr_1_S1_3 13_Q2k
 SLERR_Gr_1_S1_3 12_q2k
 SLERR_Gr_1_S1_3 16_Q_zr
 SLERR_Gr_1_S1_3 17_qfk
 SLERR_Gr_1_S1_3 20_q4_centra
 SLERR_Gr_1_S1_3 19_q3_frenatura
 SLERR_Gr_1_S1_3 15_Q3k
 SLERR_Gr_1_S1_3 14_q3k
 SLERR_Gr_1_S1_3 24_q_vento_tot
 SLERR_Gr_1_S1_3 23_q_temp F
 SLERR_Gr_1_S1_3 22_q_ritiro
 SLERR_Gr_1_S1_3 21_q8
 SLERR_Gr_1_S1_4 DEAD
 SLERR_Gr_1_S1_4 1_G1_trave
 SLERR_Gr_1_S1_4 2_G1_soletta
 SLERR_Gr_1_S1_4 3_G1_marciapiede
 SLERR_Gr_1_S1_4 4_G1_traverso
 SLERR_Gr_1_S1_4 5_G2_veletta
 SLERR_Gr_1_S1_4 6_G2_impianti
 SLERR_Gr_1_S1_4 7_G2_parapetti
 SLERR_Gr_1_S1_4 8_G2_pavimentazione
 SLERR_Gr_1_S1_4 9_G2_sicurvia
 SLERR_Gr_1_S1_4 11_Q1k
 SLERR_Gr_1_S1_4 10_q1k
 SLERR_Gr_1_S1_4 13_Q2k
 SLERR_Gr_1_S1_4 12_q2k
 SLERR_Gr_1_S1_4 16_Q_zr
 SLERR_Gr_1_S1_4 17_qfk
 SLERR_Gr_1_S1_4 20_q4_centra
 SLERR_Gr_1_S1_4 19_q3_frenatura
 SLERR_Gr_1_S1_4 15_Q3k
 SLERR_Gr_1_S1_4 14_q3k
 SLERR_Gr_1_S1_4 24_q_vento_tot
 SLERR_Gr_1_S1_4 23_q_temp F
 SLERR_Gr_1_S1_4 22_q_ritiro
 SLERR_Gr_1_S1_4 21_q8
 SLERR_Gr_1_S1_5 DEAD
 SLERR_Gr_1_S1_5 1_G1_trave
 SLERR_Gr_1_S1_5 2_G1_soletta
 SLERR_Gr_1_S1_5 3_G1_marciapiede
 SLERR_Gr_1_S1_5 4_G1_traverso
 SLERR_Gr_1_S1_5 5_G2_veletta
 SLERR_Gr_1_S1_5 6_G2_impianti
 SLERR_Gr_1_S1_5 7_G2_parapetti
 SLERR_Gr_1_S1_5 8_G2_pavimentazione

RELAZIONE DI CALCOLO

COMMESSA	LOTTO	CODIFICA	DOCUMENTO	REV.	FOGLIO
NRIJ	01 D 29	CL	IV0104 001	B	302 di 341

SLERR_Gr_1_S1_5 9_G2_sicurvia
 SLERR_Gr_1_S1_5 11_Q1k
 SLERR_Gr_1_S1_5 10_q1k
 SLERR_Gr_1_S1_5 13_Q2k
 SLERR_Gr_1_S1_5 12_q2k
 SLERR_Gr_1_S1_5 16_Q_zr
 SLERR_Gr_1_S1_5 17_qfk
 SLERR_Gr_1_S1_5 20_q4_centr
 SLERR_Gr_1_S1_5 19_q3_frenatura
 SLERR_Gr_1_S1_5 15_Q3k
 SLERR_Gr_1_S1_5 14_q3k
 SLERR_Gr_1_S1_5 24_q_vento_tot
 SLERR_Gr_1_S1_5 23_q_temp F
 SLERR_Gr_1_S1_5 22_q_ritiro
 SLERR_Gr_1_S1_5 21_q8
 SLERR_Gr_1_S1_6 DEAD
 SLERR_Gr_1_S1_6 1_G1_trave
 SLERR_Gr_1_S1_6 2_G1_soletta
 SLERR_Gr_1_S1_6 3_G1_marciapiede
 SLERR_Gr_1_S1_6 4_G1_traverso
 SLERR_Gr_1_S1_6 5_G2_veletta
 SLERR_Gr_1_S1_6 6_G2_impianti
 SLERR_Gr_1_S1_6 7_G2_parapetti
 SLERR_Gr_1_S1_6 8_G2_pavimentazione
 SLERR_Gr_1_S1_6 9_G2_sicurvia
 SLERR_Gr_1_S1_6 11_Q1k
 SLERR_Gr_1_S1_6 10_q1k
 SLERR_Gr_1_S1_6 13_Q2k
 SLERR_Gr_1_S1_6 12_q2k
 SLERR_Gr_1_S1_6 16_Q_zr
 SLERR_Gr_1_S1_6 17_qfk
 SLERR_Gr_1_S1_6 20_q4_centr
 SLERR_Gr_1_S1_6 19_q3_frenatura
 SLERR_Gr_1_S1_6 15_Q3k
 SLERR_Gr_1_S1_6 14_q3k
 SLERR_Gr_1_S1_6 24_q_vento_tot
 SLERR_Gr_1_S1_6 23_q_temp F
 SLERR_Gr_1_S1_6 22_q_ritiro
 SLERR_Gr_1_S1_6 21_q8
 SLERR_Gr_1_S1_7 DEAD
 SLERR_Gr_1_S1_7 1_G1_trave
 SLERR_Gr_1_S1_7 2_G1_soletta
 SLERR_Gr_1_S1_7 3_G1_marciapiede
 SLERR_Gr_1_S1_7 4_G1_traverso
 SLERR_Gr_1_S1_7 5_G2_veletta
 SLERR_Gr_1_S1_7 6_G2_impianti
 SLERR_Gr_1_S1_7 7_G2_parapetti
 SLERR_Gr_1_S1_7 8_G2_pavimentazione
 SLERR_Gr_1_S1_7 9_G2_sicurvia
 SLERR_Gr_1_S1_7 11_Q1k
 SLERR_Gr_1_S1_7 10_q1k
 SLERR_Gr_1_S1_7 13_Q2k
 SLERR_Gr_1_S1_7 12_q2k
 SLERR_Gr_1_S1_7 16_Q_zr
 SLERR_Gr_1_S1_7 17_qfk
 SLERR_Gr_1_S1_7 20_q4_centr
 SLERR_Gr_1_S1_7 19_q3_frenatura
 SLERR_Gr_1_S1_7 15_Q3k
 SLERR_Gr_1_S1_7 14_q3k
 SLERR_Gr_1_S1_7 24_q_vento_tot
 SLERR_Gr_1_S1_7 23_q_temp F
 SLERR_Gr_1_S1_7 22_q_ritiro

RELAZIONE DI CALCOLO

COMMESSA	LOTTO	CODIFICA	DOCUMENTO	REV.	FOGLIO
NRIJ	01 D 29	CL	IV0104 001	B	303 di 341

SLERR_Gr_1_S1_7 21_q8
 SLERR_Gr_1_S1_8 DEAD
 SLERR_Gr_1_S1_8 1_G1_trave
 SLERR_Gr_1_S1_8 2_G1_soletta
 SLERR_Gr_1_S1_8 3_G1_marciapiede
 SLERR_Gr_1_S1_8 4_G1_traverso
 SLERR_Gr_1_S1_8 5_G2_veletta
 SLERR_Gr_1_S1_8 6_G2_impianti
 SLERR_Gr_1_S1_8 7_G2_parapetti
 SLERR_Gr_1_S1_8 8_G2_pavimentazione
 SLERR_Gr_1_S1_8 9_G2_sicurvia
 SLERR_Gr_1_S1_8 11_Q1k
 SLERR_Gr_1_S1_8 10_q1k
 SLERR_Gr_1_S1_8 13_Q2k
 SLERR_Gr_1_S1_8 12_q2k
 SLERR_Gr_1_S1_8 16_Q_zr
 SLERR_Gr_1_S1_8 17_qfk
 SLERR_Gr_1_S1_8 20_q4_centr
 SLERR_Gr_1_S1_8 19_q3_frenatura
 SLERR_Gr_1_S1_8 15_Q3k
 SLERR_Gr_1_S1_8 14_q3k
 SLERR_Gr_1_S1_8 24_q_vento_tot
 SLERR_Gr_1_S1_8 23_q_temp F
 SLERR_Gr_1_S1_8 22_q_ritiro
 SLERR_Gr_1_S1_8 21_q8
 SLERR_Gr_1_S1_9 DEAD
 SLERR_Gr_1_S1_9 1_G1_trave
 SLERR_Gr_1_S1_9 2_G1_soletta
 SLERR_Gr_1_S1_9 3_G1_marciapiede
 SLERR_Gr_1_S1_9 4_G1_traverso
 SLERR_Gr_1_S1_9 5_G2_veletta
 SLERR_Gr_1_S1_9 6_G2_impianti
 SLERR_Gr_1_S1_9 7_G2_parapetti
 SLERR_Gr_1_S1_9 8_G2_pavimentazione
 SLERR_Gr_1_S1_9 9_G2_sicurvia
 SLERR_Gr_1_S1_9 11_Q1k
 SLERR_Gr_1_S1_9 10_q1k
 SLERR_Gr_1_S1_9 13_Q2k
 SLERR_Gr_1_S1_9 12_q2k
 SLERR_Gr_1_S1_9 16_Q_zr
 SLERR_Gr_1_S1_9 17_qfk
 SLERR_Gr_1_S1_9 20_q4_centr
 SLERR_Gr_1_S1_9 19_q3_frenatura
 SLERR_Gr_1_S1_9 15_Q3k
 SLERR_Gr_1_S1_9 14_q3k
 SLERR_Gr_1_S1_9 24_q_vento_tot
 SLERR_Gr_1_S1_9 23_q_temp F
 SLERR_Gr_1_S1_9 22_q_ritiro
 SLERR_Gr_1_S1_9 21_q8
 SLERR_Gr_1_S1_10 DEAD
 SLERR_Gr_1_S1_10 1_G1_trave
 SLERR_Gr_1_S1_10 2_G1_soletta
 SLERR_Gr_1_S1_10 3_G1_marciapiede
 SLERR_Gr_1_S1_10 4_G1_traverso
 SLERR_Gr_1_S1_10 5_G2_veletta
 SLERR_Gr_1_S1_10 6_G2_impianti
 SLERR_Gr_1_S1_10 7_G2_parapetti
 SLERR_Gr_1_S1_10 8_G2_pavimentazione
 SLERR_Gr_1_S1_10 9_G2_sicurvia
 SLERR_Gr_1_S1_10 11_Q1k
 SLERR_Gr_1_S1_10 10_q1k
 SLERR_Gr_1_S1_10 13_Q2k

RELAZIONE DI CALCOLO

COMMESSA	LOTTO	CODIFICA	DOCUMENTO	REV.	FOGLIO
NRIJ	01 D 29	CL	IV0104 001	B	304 di 341

SLERR_Gr_1_S1_10 12_q2k
 SLERR_Gr_1_S1_10 16_Q_zr
 SLERR_Gr_1_S1_10 17_qfk
 SLERR_Gr_1_S1_10 20_q4_centra
 SLERR_Gr_1_S1_10 19_q3_frenatura
 SLERR_Gr_1_S1_10 15_Q3k
 SLERR_Gr_1_S1_10 14_q3k
 SLERR_Gr_1_S1_10 24_q_vento_tot
 SLERR_Gr_1_S1_10 23_q_temp F
 SLERR_Gr_1_S1_10 22_q_ritiro
 SLERR_Gr_1_S1_10 21_q8
 SLERR_Gr_1_S1_11 DEAD
 SLERR_Gr_1_S1_11 1_G1_trave
 SLERR_Gr_1_S1_11 2_G1_soletta
 SLERR_Gr_1_S1_11 3_G1_marciapiede
 SLERR_Gr_1_S1_11 4_G1_traverso
 SLERR_Gr_1_S1_11 5_G2_veletta
 SLERR_Gr_1_S1_11 6_G2_impianti
 SLERR_Gr_1_S1_11 7_G2_parapetti
 SLERR_Gr_1_S1_11 8_G2_pavimentazione
 SLERR_Gr_1_S1_11 9_G2_sicurvia
 SLERR_Gr_1_S1_11 11_Q1k
 SLERR_Gr_1_S1_11 10_q1k
 SLERR_Gr_1_S1_11 13_Q2k
 SLERR_Gr_1_S1_11 12_q2k
 SLERR_Gr_1_S1_11 16_Q_zr
 SLERR_Gr_1_S1_11 17_qfk
 SLERR_Gr_1_S1_11 20_q4_centra
 SLERR_Gr_1_S1_11 19_q3_frenatura
 SLERR_Gr_1_S1_11 15_Q3k
 SLERR_Gr_1_S1_11 14_q3k
 SLERR_Gr_1_S1_11 24_q_vento_tot
 SLERR_Gr_1_S1_11 23_q_temp F
 SLERR_Gr_1_S1_11 22_q_ritiro
 SLERR_Gr_1_S1_11 21_q8
 SLERR_Gr_1_S1_12 DEAD
 SLERR_Gr_1_S1_12 1_G1_trave
 SLERR_Gr_1_S1_12 2_G1_soletta
 SLERR_Gr_1_S1_12 3_G1_marciapiede
 SLERR_Gr_1_S1_12 4_G1_traverso
 SLERR_Gr_1_S1_12 5_G2_veletta
 SLERR_Gr_1_S1_12 6_G2_impianti
 SLERR_Gr_1_S1_12 7_G2_parapetti
 SLERR_Gr_1_S1_12 8_G2_pavimentazione
 SLERR_Gr_1_S1_12 9_G2_sicurvia
 SLERR_Gr_1_S1_12 11_Q1k
 SLERR_Gr_1_S1_12 10_q1k
 SLERR_Gr_1_S1_12 13_Q2k
 SLERR_Gr_1_S1_12 12_q2k
 SLERR_Gr_1_S1_12 16_Q_zr
 SLERR_Gr_1_S1_12 17_qfk
 SLERR_Gr_1_S1_12 20_q4_centra
 SLERR_Gr_1_S1_12 19_q3_frenatura
 SLERR_Gr_1_S1_12 15_Q3k
 SLERR_Gr_1_S1_12 14_q3k
 SLERR_Gr_1_S1_12 24_q_vento_tot
 SLERR_Gr_1_S1_12 23_q_temp F
 SLERR_Gr_1_S1_12 22_q_ritiro
 SLERR_Gr_1_S1_12 21_q8
 SLERR_Gr_1_S1_13 DEAD
 SLERR_Gr_1_S1_13 1_G1_trave
 SLERR_Gr_1_S1_13 2_G1_soletta

RELAZIONE DI CALCOLO

COMMESSA	LOTTO	CODIFICA	DOCUMENTO	REV.	FOGLIO
NRIJ	01 D 29	CL	IV0104 001	B	305 di 341

SLERR_Gr_1_S1_13 3_G1_marciapiede
 SLERR_Gr_1_S1_13 4_G1_traverso
 SLERR_Gr_1_S1_13 5_G2_veletta
 SLERR_Gr_1_S1_13 6_G2_impianti
 SLERR_Gr_1_S1_13 7_G2_parapetti
 SLERR_Gr_1_S1_13 8_G2_pavimentazione
 SLERR_Gr_1_S1_13 9_G2_sicurvia
 SLERR_Gr_1_S1_13 11_Q1k
 SLERR_Gr_1_S1_13 10_q1k
 SLERR_Gr_1_S1_13 13_Q2k
 SLERR_Gr_1_S1_13 12_q2k
 SLERR_Gr_1_S1_13 16_Q_zr
 SLERR_Gr_1_S1_13 17_qfk
 SLERR_Gr_1_S1_13 20_q4_centra
 SLERR_Gr_1_S1_13 19_q3_frenatura
 SLERR_Gr_1_S1_13 15_Q3k
 SLERR_Gr_1_S1_13 14_q3k
 SLERR_Gr_1_S1_13 24_q_vento_tot
 SLERR_Gr_1_S1_13 23_q_temp F
 SLERR_Gr_1_S1_13 22_q_ritiro
 SLERR_Gr_1_S1_13 21_q8
 SLERR_Gr_1_S1_14 DEAD
 SLERR_Gr_1_S1_14 1_G1_trave
 SLERR_Gr_1_S1_14 2_G1_soletta
 SLERR_Gr_1_S1_14 3_G1_marciapiede
 SLERR_Gr_1_S1_14 4_G1_traverso
 SLERR_Gr_1_S1_14 5_G2_veletta
 SLERR_Gr_1_S1_14 6_G2_impianti
 SLERR_Gr_1_S1_14 7_G2_parapetti
 SLERR_Gr_1_S1_14 8_G2_pavimentazione
 SLERR_Gr_1_S1_14 9_G2_sicurvia
 SLERR_Gr_1_S1_14 11_Q1k
 SLERR_Gr_1_S1_14 10_q1k
 SLERR_Gr_1_S1_14 13_Q2k
 SLERR_Gr_1_S1_14 12_q2k
 SLERR_Gr_1_S1_14 16_Q_zr
 SLERR_Gr_1_S1_14 17_qfk
 SLERR_Gr_1_S1_14 20_q4_centra
 SLERR_Gr_1_S1_14 19_q3_frenatura
 SLERR_Gr_1_S1_14 15_Q3k
 SLERR_Gr_1_S1_14 14_q3k
 SLERR_Gr_1_S1_14 24_q_vento_tot
 SLERR_Gr_1_S1_14 23_q_temp F
 SLERR_Gr_1_S1_14 22_q_ritiro
 SLERR_Gr_1_S1_14 21_q8
 SLERR_Gr_1_S1_15 DEAD
 SLERR_Gr_1_S1_15 1_G1_trave
 SLERR_Gr_1_S1_15 2_G1_soletta
 SLERR_Gr_1_S1_15 3_G1_marciapiede
 SLERR_Gr_1_S1_15 4_G1_traverso
 SLERR_Gr_1_S1_15 5_G2_veletta
 SLERR_Gr_1_S1_15 6_G2_impianti
 SLERR_Gr_1_S1_15 7_G2_parapetti
 SLERR_Gr_1_S1_15 8_G2_pavimentazione
 SLERR_Gr_1_S1_15 9_G2_sicurvia
 SLERR_Gr_1_S1_15 11_Q1k
 SLERR_Gr_1_S1_15 10_q1k
 SLERR_Gr_1_S1_15 13_Q2k
 SLERR_Gr_1_S1_15 12_q2k
 SLERR_Gr_1_S1_15 16_Q_zr
 SLERR_Gr_1_S1_15 17_qfk
 SLERR_Gr_1_S1_15 20_q4_centra

RELAZIONE DI CALCOLO

COMMESSA	LOTTO	CODIFICA	DOCUMENTO	REV.	FOGLIO
NRIJ	01 D 29	CL	IV0104 001	B	306 di 341

SLERR_Gr_1_S1_15 19_q3_frenatura
 SLERR_Gr_1_S1_15 15_Q3k
 SLERR_Gr_1_S1_15 14_q3k
 SLERR_Gr_1_S1_15 24_q_vento_tot
 SLERR_Gr_1_S1_15 23_q_temp F
 SLERR_Gr_1_S1_15 22_q_ritiro
 SLERR_Gr_1_S1_15 21_q8
 SLERR_Gr_1_S1_16 DEAD
 SLERR_Gr_1_S1_16 1_G1_trave
 SLERR_Gr_1_S1_16 2_G1_soletta
 SLERR_Gr_1_S1_16 3_G1_marciapiede
 SLERR_Gr_1_S1_16 4_G1_traverso
 SLERR_Gr_1_S1_16 5_G2_veletta
 SLERR_Gr_1_S1_16 6_G2_impianti
 SLERR_Gr_1_S1_16 7_G2_parapetti
 SLERR_Gr_1_S1_16 8_G2_pavimentazione
 SLERR_Gr_1_S1_16 9_G2_sicurvia
 SLERR_Gr_1_S1_16 11_Q1k
 SLERR_Gr_1_S1_16 10_q1k
 SLERR_Gr_1_S1_16 13_Q2k
 SLERR_Gr_1_S1_16 12_q2k
 SLERR_Gr_1_S1_16 16_Q_zr
 SLERR_Gr_1_S1_16 17_qfk
 SLERR_Gr_1_S1_16 20_q4_centra
 SLERR_Gr_1_S1_16 19_q3_frenatura
 SLERR_Gr_1_S1_16 15_Q3k
 SLERR_Gr_1_S1_16 14_q3k
 SLERR_Gr_1_S1_16 24_q_vento_tot
 SLERR_Gr_1_S1_16 23_q_temp F
 SLERR_Gr_1_S1_16 22_q_ritiro
 SLERR_Gr_1_S1_16 21_q8
 SLERR_Gr_1_S1_17 DEAD
 SLERR_Gr_1_S1_17 1_G1_trave
 SLERR_Gr_1_S1_17 2_G1_soletta
 SLERR_Gr_1_S1_17 3_G1_marciapiede
 SLERR_Gr_1_S1_17 4_G1_traverso
 SLERR_Gr_1_S1_17 5_G2_veletta
 SLERR_Gr_1_S1_17 6_G2_impianti
 SLERR_Gr_1_S1_17 7_G2_parapetti
 SLERR_Gr_1_S1_17 8_G2_pavimentazione
 SLERR_Gr_1_S1_17 9_G2_sicurvia
 SLERR_Gr_1_S1_17 11_Q1k
 SLERR_Gr_1_S1_17 10_q1k
 SLERR_Gr_1_S1_17 13_Q2k
 SLERR_Gr_1_S1_17 12_q2k
 SLERR_Gr_1_S1_17 16_Q_zr
 SLERR_Gr_1_S1_17 17_qfk
 SLERR_Gr_1_S1_17 20_q4_centra
 SLERR_Gr_1_S1_17 19_q3_frenatura
 SLERR_Gr_1_S1_17 15_Q3k
 SLERR_Gr_1_S1_17 14_q3k
 SLERR_Gr_1_S1_17 24_q_vento_tot
 SLERR_Gr_1_S1_17 23_q_temp F
 SLERR_Gr_1_S1_17 22_q_ritiro
 SLERR_Gr_1_S1_17 21_q8
 SLERR_Gr_1_S1_18 DEAD
 SLERR_Gr_1_S1_18 1_G1_trave
 SLERR_Gr_1_S1_18 2_G1_soletta
 SLERR_Gr_1_S1_18 3_G1_marciapiede
 SLERR_Gr_1_S1_18 4_G1_traverso
 SLERR_Gr_1_S1_18 5_G2_veletta
 SLERR_Gr_1_S1_18 6_G2_impianti

RELAZIONE DI CALCOLO

COMMESSA	LOTTO	CODIFICA	DOCUMENTO	REV.	FOGLIO
NRIJ	01 D 29	CL	IV0104 001	B	307 di 341

SLERR_Gr_1_S1_18 7_G2_parapetti
 SLERR_Gr_1_S1_18 8_G2_pavimentazione
 SLERR_Gr_1_S1_18 9_G2_sicurvia
 SLERR_Gr_1_S1_18 11_Q1k
 SLERR_Gr_1_S1_18 10_q1k
 SLERR_Gr_1_S1_18 13_Q2k
 SLERR_Gr_1_S1_18 12_q2k
 SLERR_Gr_1_S1_18 16_Q_zr
 SLERR_Gr_1_S1_18 17_qfk
 SLERR_Gr_1_S1_18 20_q4_centra
 SLERR_Gr_1_S1_18 19_q3_frenatura
 SLERR_Gr_1_S1_18 15_Q3k
 SLERR_Gr_1_S1_18 14_q3k
 SLERR_Gr_1_S1_18 24_q_vento_tot
 SLERR_Gr_1_S1_18 23_q_temp F
 SLERR_Gr_1_S1_18 22_q_ritiro
 SLERR_Gr_1_S1_18 21_q8
 SLERR_Gr_1_S1_19 DEAD
 SLERR_Gr_1_S1_19 1_G1_trave
 SLERR_Gr_1_S1_19 2_G1_soletta
 SLERR_Gr_1_S1_19 3_G1_marciapiede
 SLERR_Gr_1_S1_19 4_G1_traverso
 SLERR_Gr_1_S1_19 5_G2_veletta
 SLERR_Gr_1_S1_19 6_G2_impiantri
 SLERR_Gr_1_S1_19 7_G2_parapetti
 SLERR_Gr_1_S1_19 8_G2_pavimentazione
 SLERR_Gr_1_S1_19 9_G2_sicurvia
 SLERR_Gr_1_S1_19 11_Q1k
 SLERR_Gr_1_S1_19 10_q1k
 SLERR_Gr_1_S1_19 13_Q2k
 SLERR_Gr_1_S1_19 12_q2k
 SLERR_Gr_1_S1_19 16_Q_zr
 SLERR_Gr_1_S1_19 17_qfk
 SLERR_Gr_1_S1_19 20_q4_centra
 SLERR_Gr_1_S1_19 19_q3_frenatura
 SLERR_Gr_1_S1_19 15_Q3k
 SLERR_Gr_1_S1_19 14_q3k
 SLERR_Gr_1_S1_19 24_q_vento_tot
 SLERR_Gr_1_S1_19 23_q_temp F
 SLERR_Gr_1_S1_19 22_q_ritiro
 SLERR_Gr_1_S1_19 21_q8
 SLERR_Gr_1_S1_20 DEAD
 SLERR_Gr_1_S1_20 1_G1_trave
 SLERR_Gr_1_S1_20 2_G1_soletta
 SLERR_Gr_1_S1_20 3_G1_marciapiede
 SLERR_Gr_1_S1_20 4_G1_traverso
 SLERR_Gr_1_S1_20 5_G2_veletta
 SLERR_Gr_1_S1_20 6_G2_impiantri
 SLERR_Gr_1_S1_20 7_G2_parapetti
 SLERR_Gr_1_S1_20 8_G2_pavimentazione
 SLERR_Gr_1_S1_20 9_G2_sicurvia
 SLERR_Gr_1_S1_20 11_Q1k
 SLERR_Gr_1_S1_20 10_q1k
 SLERR_Gr_1_S1_20 13_Q2k
 SLERR_Gr_1_S1_20 12_q2k
 SLERR_Gr_1_S1_20 16_Q_zr
 SLERR_Gr_1_S1_20 17_qfk
 SLERR_Gr_1_S1_20 20_q4_centra
 SLERR_Gr_1_S1_20 19_q3_frenatura
 SLERR_Gr_1_S1_20 15_Q3k
 SLERR_Gr_1_S1_20 14_q3k
 SLERR_Gr_1_S1_20 24_q_vento_tot

RELAZIONE DI CALCOLO

COMMESSA	LOTTO	CODIFICA	DOCUMENTO	REV.	FOGLIO
NRIJ	01 D 29	CL	IV0104 001	B	308 di 341

SLERR_Gr_1_S1_20	23_q_temp F
SLERR_Gr_1_S1_20	22_q_ritiro
SLERR_Gr_1_S1_20	21_q8
SLERR_Gr_1_S1_21	DEAD
SLERR_Gr_1_S1_21	1_G1_trave
SLERR_Gr_1_S1_21	2_G1_soletta
SLERR_Gr_1_S1_21	3_G1_marciapiede
SLERR_Gr_1_S1_21	4_G1_traverso
SLERR_Gr_1_S1_21	5_G2_veletta
SLERR_Gr_1_S1_21	6_G2_impianti
SLERR_Gr_1_S1_21	7_G2_parapetti
SLERR_Gr_1_S1_21	8_G2_pavimentazione
SLERR_Gr_1_S1_21	9_G2_sicurvia
SLERR_Gr_1_S1_21	11_Q1k
SLERR_Gr_1_S1_21	10_q1k
SLERR_Gr_1_S1_21	13_Q2k
SLERR_Gr_1_S1_21	12_q2k
SLERR_Gr_1_S1_21	16_Q_zr
SLERR_Gr_1_S1_21	17_qfk
SLERR_Gr_1_S1_21	20_q4_centra
SLERR_Gr_1_S1_21	19_q3_frenatura
SLERR_Gr_1_S1_21	15_Q3k
SLERR_Gr_1_S1_21	14_q3k
SLERR_Gr_1_S1_21	24_q_vento_tot
SLERR_Gr_1_S1_21	23_q_temp F
SLERR_Gr_1_S1_21	22_q_ritiro
SLERR_Gr_1_S1_21	21_q8
SLERR_Gr_1_S1_22	DEAD
SLERR_Gr_1_S1_22	1_G1_trave
SLERR_Gr_1_S1_22	2_G1_soletta
SLERR_Gr_1_S1_22	3_G1_marciapiede
SLERR_Gr_1_S1_22	4_G1_traverso
SLERR_Gr_1_S1_22	5_G2_veletta
SLERR_Gr_1_S1_22	6_G2_impianti
SLERR_Gr_1_S1_22	7_G2_parapetti
SLERR_Gr_1_S1_22	8_G2_pavimentazione
SLERR_Gr_1_S1_22	9_G2_sicurvia
SLERR_Gr_1_S1_22	11_Q1k
SLERR_Gr_1_S1_22	10_q1k
SLERR_Gr_1_S1_22	13_Q2k
SLERR_Gr_1_S1_22	12_q2k
SLERR_Gr_1_S1_22	16_Q_zr
SLERR_Gr_1_S1_22	17_qfk
SLERR_Gr_1_S1_22	20_q4_centra
SLERR_Gr_1_S1_22	19_q3_frenatura
SLERR_Gr_1_S1_22	15_Q3k
SLERR_Gr_1_S1_22	14_q3k
SLERR_Gr_1_S1_22	24_q_vento_tot
SLERR_Gr_1_S1_22	23_q_temp F
SLERR_Gr_1_S1_22	22_q_ritiro
SLERR_Gr_1_S1_22	21_q8
SLERR_Gr_1_S1_23	DEAD
SLERR_Gr_1_S1_23	1_G1_trave
SLERR_Gr_1_S1_23	2_G1_soletta
SLERR_Gr_1_S1_23	3_G1_marciapiede
SLERR_Gr_1_S1_23	4_G1_traverso
SLERR_Gr_1_S1_23	5_G2_veletta
SLERR_Gr_1_S1_23	6_G2_impianti
SLERR_Gr_1_S1_23	7_G2_parapetti
SLERR_Gr_1_S1_23	8_G2_pavimentazione
SLERR_Gr_1_S1_23	9_G2_sicurvia
SLERR_Gr_1_S1_23	11_Q1k

RELAZIONE DI CALCOLO

COMMESSA	LOTTO	CODIFICA	DOCUMENTO	REV.	FOGLIO
NRIJ	01 D 29	CL	IV0104 001	B	309 di 341

SLERR_Gr_1_S1_23	10_q1k
SLERR_Gr_1_S1_23	13_Q2k
SLERR_Gr_1_S1_23	12_q2k
SLERR_Gr_1_S1_23	16_Q_zr
SLERR_Gr_1_S1_23	17_qfk
SLERR_Gr_1_S1_23	20_q4_centr
SLERR_Gr_1_S1_23	19_q3_frenatura
SLERR_Gr_1_S1_23	15_Q3k
SLERR_Gr_1_S1_23	14_q3k
SLERR_Gr_1_S1_23	24_q_vento_tot
SLERR_Gr_1_S1_23	23_q_temp F
SLERR_Gr_1_S1_23	22_q_ritiro
SLERR_Gr_1_S1_23	21_q8
SLERR_Gr_1_S1_24	DEAD
SLERR_Gr_1_S1_24	1_G1_trave
SLERR_Gr_1_S1_24	2_G1_soletta
SLERR_Gr_1_S1_24	3_G1_marciapiede
SLERR_Gr_1_S1_24	4_G1_traverso
SLERR_Gr_1_S1_24	5_G2_veletta
SLERR_Gr_1_S1_24	6_G2_impianti
SLERR_Gr_1_S1_24	7_G2_parapetti
SLERR_Gr_1_S1_24	8_G2_pavimentazione
SLERR_Gr_1_S1_24	9_G2_sicurvia
SLERR_Gr_1_S1_24	11_Q1k
SLERR_Gr_1_S1_24	10_q1k
SLERR_Gr_1_S1_24	13_Q2k
SLERR_Gr_1_S1_24	12_q2k
SLERR_Gr_1_S1_24	16_Q_zr
SLERR_Gr_1_S1_24	17_qfk
SLERR_Gr_1_S1_24	20_q4_centr
SLERR_Gr_1_S1_24	19_q3_frenatura
SLERR_Gr_1_S1_24	15_Q3k
SLERR_Gr_1_S1_24	14_q3k
SLERR_Gr_1_S1_24	24_q_vento_tot
SLERR_Gr_1_S1_24	23_q_temp F
SLERR_Gr_1_S1_24	22_q_ritiro
SLERR_Gr_1_S1_24	21_q8
SLERR_Gr_1_S1_25	DEAD
SLERR_Gr_1_S1_25	1_G1_trave
SLERR_Gr_1_S1_25	2_G1_soletta
SLERR_Gr_1_S1_25	3_G1_marciapiede
SLERR_Gr_1_S1_25	4_G1_traverso
SLERR_Gr_1_S1_25	5_G2_veletta
SLERR_Gr_1_S1_25	6_G2_impianti
SLERR_Gr_1_S1_25	7_G2_parapetti
SLERR_Gr_1_S1_25	8_G2_pavimentazione
SLERR_Gr_1_S1_25	9_G2_sicurvia
SLERR_Gr_1_S1_25	11_Q1k
SLERR_Gr_1_S1_25	10_q1k
SLERR_Gr_1_S1_25	13_Q2k
SLERR_Gr_1_S1_25	12_q2k
SLERR_Gr_1_S1_25	16_Q_zr
SLERR_Gr_1_S1_25	17_qfk
SLERR_Gr_1_S1_25	20_q4_centr
SLERR_Gr_1_S1_25	19_q3_frenatura
SLERR_Gr_1_S1_25	15_Q3k
SLERR_Gr_1_S1_25	14_q3k
SLERR_Gr_1_S1_25	24_q_vento_tot
SLERR_Gr_1_S1_25	23_q_temp F
SLERR_Gr_1_S1_25	22_q_ritiro
SLERR_Gr_1_S1_25	21_q8
SLERR_Gr_1_S1_26	DEAD

RELAZIONE DI CALCOLO

COMMESSA	LOTTO	CODIFICA	DOCUMENTO	REV.	FOGLIO
NRIJ	01 D 29	CL	IV0104 001	B	310 di 341

SLERR_Gr_1_S1_26 1_G1_trave
 SLERR_Gr_1_S1_26 2_G1_soletta
 SLERR_Gr_1_S1_26 3_G1_marciapiede
 SLERR_Gr_1_S1_26 4_G1_traverso
 SLERR_Gr_1_S1_26 5_G2_veletta
 SLERR_Gr_1_S1_26 6_G2_impianti
 SLERR_Gr_1_S1_26 7_G2_parapetti
 SLERR_Gr_1_S1_26 8_G2_pavimentazione
 SLERR_Gr_1_S1_26 9_G2_sicurvia
 SLERR_Gr_1_S1_26 11_Q1k
 SLERR_Gr_1_S1_26 10_q1k
 SLERR_Gr_1_S1_26 13_Q2k
 SLERR_Gr_1_S1_26 12_q2k
 SLERR_Gr_1_S1_26 16_Q_zr
 SLERR_Gr_1_S1_26 17_qfk
 SLERR_Gr_1_S1_26 20_q4_centra
 SLERR_Gr_1_S1_26 19_q3_frenatura
 SLERR_Gr_1_S1_26 15_Q3k
 SLERR_Gr_1_S1_26 14_q3k
 SLERR_Gr_1_S1_26 24_q_vento_tot
 SLERR_Gr_1_S1_26 23_q_temp F
 SLERR_Gr_1_S1_26 22_q_ritiro
 SLERR_Gr_1_S1_26 21_q8
 SLERR_Gr_1_S1_27 DEAD
 SLERR_Gr_1_S1_27 1_G1_trave
 SLERR_Gr_1_S1_27 2_G1_soletta
 SLERR_Gr_1_S1_27 3_G1_marciapiede
 SLERR_Gr_1_S1_27 4_G1_traverso
 SLERR_Gr_1_S1_27 5_G2_veletta
 SLERR_Gr_1_S1_27 6_G2_impianti
 SLERR_Gr_1_S1_27 7_G2_parapetti
 SLERR_Gr_1_S1_27 8_G2_pavimentazione
 SLERR_Gr_1_S1_27 9_G2_sicurvia
 SLERR_Gr_1_S1_27 11_Q1k
 SLERR_Gr_1_S1_27 10_q1k
 SLERR_Gr_1_S1_27 13_Q2k
 SLERR_Gr_1_S1_27 12_q2k
 SLERR_Gr_1_S1_27 16_Q_zr
 SLERR_Gr_1_S1_27 17_qfk
 SLERR_Gr_1_S1_27 20_q4_centra
 SLERR_Gr_1_S1_27 19_q3_frenatura
 SLERR_Gr_1_S1_27 15_Q3k
 SLERR_Gr_1_S1_27 14_q3k
 SLERR_Gr_1_S1_27 24_q_vento_tot
 SLERR_Gr_1_S1_27 23_q_temp F
 SLERR_Gr_1_S1_27 22_q_ritiro
 SLERR_Gr_1_S1_27 21_q8
 SLERR_Gr_1_S1_28 DEAD
 SLERR_Gr_1_S1_28 1_G1_trave
 SLERR_Gr_1_S1_28 2_G1_soletta
 SLERR_Gr_1_S1_28 3_G1_marciapiede
 SLERR_Gr_1_S1_28 4_G1_traverso
 SLERR_Gr_1_S1_28 5_G2_veletta
 SLERR_Gr_1_S1_28 6_G2_impianti
 SLERR_Gr_1_S1_28 7_G2_parapetti
 SLERR_Gr_1_S1_28 8_G2_pavimentazione
 SLERR_Gr_1_S1_28 9_G2_sicurvia
 SLERR_Gr_1_S1_28 11_Q1k
 SLERR_Gr_1_S1_28 10_q1k
 SLERR_Gr_1_S1_28 13_Q2k
 SLERR_Gr_1_S1_28 12_q2k
 SLERR_Gr_1_S1_28 16_Q_zr

RELAZIONE DI CALCOLO

COMMESSA	LOTTO	CODIFICA	DOCUMENTO	REV.	FOGLIO
NRIJ	01 D 29	CL	IV0104 001	B	311 di 341

SLERR_Gr_1_S1_28 17_qfk
 SLERR_Gr_1_S1_28 20_q4_centra
 SLERR_Gr_1_S1_28 19_q3_frenatura
 SLERR_Gr_1_S1_28 15_Q3k
 SLERR_Gr_1_S1_28 14_q3k
 SLERR_Gr_1_S1_28 24_q_vento_tot
 SLERR_Gr_1_S1_28 23_q_temp F
 SLERR_Gr_1_S1_28 22_q_ritiro
 SLERR_Gr_1_S1_28 21_q8
 SLERR_Gr_1_S1_29 DEAD
 SLERR_Gr_1_S1_29 1_G1_trave
 SLERR_Gr_1_S1_29 2_G1_soletta
 SLERR_Gr_1_S1_29 3_G1_marciapiede
 SLERR_Gr_1_S1_29 4_G1_traverso
 SLERR_Gr_1_S1_29 5_G2_veletta
 SLERR_Gr_1_S1_29 6_G2_impianti
 SLERR_Gr_1_S1_29 7_G2_parapetti
 SLERR_Gr_1_S1_29 8_G2_pavimentazione
 SLERR_Gr_1_S1_29 9_G2_sicurvia
 SLERR_Gr_1_S1_29 11_Q1k
 SLERR_Gr_1_S1_29 10_q1k
 SLERR_Gr_1_S1_29 13_Q2k
 SLERR_Gr_1_S1_29 12_q2k
 SLERR_Gr_1_S1_29 16_Q_zr
 SLERR_Gr_1_S1_29 17_qfk
 SLERR_Gr_1_S1_29 20_q4_centra
 SLERR_Gr_1_S1_29 19_q3_frenatura
 SLERR_Gr_1_S1_29 15_Q3k
 SLERR_Gr_1_S1_29 14_q3k
 SLERR_Gr_1_S1_29 24_q_vento_tot
 SLERR_Gr_1_S1_29 23_q_temp F
 SLERR_Gr_1_S1_29 22_q_ritiro
 SLERR_Gr_1_S1_29 21_q8
 SLERR_Gr_1_S1_30 DEAD
 SLERR_Gr_1_S1_30 1_G1_trave
 SLERR_Gr_1_S1_30 2_G1_soletta
 SLERR_Gr_1_S1_30 3_G1_marciapiede
 SLERR_Gr_1_S1_30 4_G1_traverso
 SLERR_Gr_1_S1_30 5_G2_veletta
 SLERR_Gr_1_S1_30 6_G2_impianti
 SLERR_Gr_1_S1_30 7_G2_parapetti
 SLERR_Gr_1_S1_30 8_G2_pavimentazione
 SLERR_Gr_1_S1_30 9_G2_sicurvia
 SLERR_Gr_1_S1_30 11_Q1k
 SLERR_Gr_1_S1_30 10_q1k
 SLERR_Gr_1_S1_30 13_Q2k
 SLERR_Gr_1_S1_30 12_q2k
 SLERR_Gr_1_S1_30 16_Q_zr
 SLERR_Gr_1_S1_30 17_qfk
 SLERR_Gr_1_S1_30 20_q4_centra
 SLERR_Gr_1_S1_30 19_q3_frenatura
 SLERR_Gr_1_S1_30 15_Q3k
 SLERR_Gr_1_S1_30 14_q3k
 SLERR_Gr_1_S1_30 24_q_vento_tot
 SLERR_Gr_1_S1_30 23_q_temp F
 SLERR_Gr_1_S1_30 22_q_ritiro
 SLERR_Gr_1_S1_30 21_q8
 SLERR_Gr_1_S1_31 DEAD
 SLERR_Gr_1_S1_31 1_G1_trave
 SLERR_Gr_1_S1_31 2_G1_soletta
 SLERR_Gr_1_S1_31 3_G1_marciapiede
 SLERR_Gr_1_S1_31 4_G1_traverso

RELAZIONE DI CALCOLO

COMMESSA	LOTTO	CODIFICA	DOCUMENTO	REV.	FOGLIO
NRIJ	01 D 29	CL	IV0104 001	B	312 di 341

SLERR_Gr_1_S1_31 5_G2_veletta
 SLERR_Gr_1_S1_31 6_G2_impianti
 SLERR_Gr_1_S1_31 7_G2_parapetti
 SLERR_Gr_1_S1_31 8_G2_pavimentazione
 SLERR_Gr_1_S1_31 9_G2_sicurvia
 SLERR_Gr_1_S1_31 11_Q1k
 SLERR_Gr_1_S1_31 10_q1k
 SLERR_Gr_1_S1_31 13_Q2k
 SLERR_Gr_1_S1_31 12_q2k
 SLERR_Gr_1_S1_31 16_Q_zr
 SLERR_Gr_1_S1_31 17_qfk
 SLERR_Gr_1_S1_31 20_q4_centra
 SLERR_Gr_1_S1_31 19_q3_frenatura
 SLERR_Gr_1_S1_31 15_Q3k
 SLERR_Gr_1_S1_31 14_q3k
 SLERR_Gr_1_S1_31 24_q_vento_tot
 SLERR_Gr_1_S1_31 23_q_temp F
 SLERR_Gr_1_S1_31 22_q_ritiro
 SLERR_Gr_1_S1_31 21_q8
 SLERR_Gr_1_S1_32 DEAD
 SLERR_Gr_1_S1_32 1_G1_trave
 SLERR_Gr_1_S1_32 2_G1_soletta
 SLERR_Gr_1_S1_32 3_G1_marciapiede
 SLERR_Gr_1_S1_32 4_G1_traverso
 SLERR_Gr_1_S1_32 5_G2_veletta
 SLERR_Gr_1_S1_32 6_G2_impianti
 SLERR_Gr_1_S1_32 7_G2_parapetti
 SLERR_Gr_1_S1_32 8_G2_pavimentazione
 SLERR_Gr_1_S1_32 9_G2_sicurvia
 SLERR_Gr_1_S1_32 11_Q1k
 SLERR_Gr_1_S1_32 10_q1k
 SLERR_Gr_1_S1_32 13_Q2k
 SLERR_Gr_1_S1_32 12_q2k
 SLERR_Gr_1_S1_32 16_Q_zr
 SLERR_Gr_1_S1_32 17_qfk
 SLERR_Gr_1_S1_32 20_q4_centra
 SLERR_Gr_1_S1_32 19_q3_frenatura
 SLERR_Gr_1_S1_32 15_Q3k
 SLERR_Gr_1_S1_32 14_q3k
 SLERR_Gr_1_S1_32 24_q_vento_tot
 SLERR_Gr_1_S1_32 23_q_temp F
 SLERR_Gr_1_S1_32 22_q_ritiro
 SLERR_Gr_1_S1_32 21_q8
 SLERR_Gr_1_S1_33 DEAD
 SLERR_Gr_1_S1_33 1_G1_trave
 SLERR_Gr_1_S1_33 2_G1_soletta
 SLERR_Gr_1_S1_33 3_G1_marciapiede
 SLERR_Gr_1_S1_33 4_G1_traverso
 SLERR_Gr_1_S1_33 5_G2_veletta
 SLERR_Gr_1_S1_33 6_G2_impianti
 SLERR_Gr_1_S1_33 7_G2_parapetti
 SLERR_Gr_1_S1_33 8_G2_pavimentazione
 SLERR_Gr_1_S1_33 9_G2_sicurvia
 SLERR_Gr_1_S1_33 11_Q1k
 SLERR_Gr_1_S1_33 10_q1k
 SLERR_Gr_1_S1_33 13_Q2k
 SLERR_Gr_1_S1_33 12_q2k
 SLERR_Gr_1_S1_33 16_Q_zr
 SLERR_Gr_1_S1_33 17_qfk
 SLERR_Gr_1_S1_33 20_q4_centra
 SLERR_Gr_1_S1_33 19_q3_frenatura
 SLERR_Gr_1_S1_33 15_Q3k

RELAZIONE DI CALCOLO

COMMESSA	LOTTO	CODIFICA	DOCUMENTO	REV.	FOGLIO
NRIJ	01 D 29	CL	IV0104 001	B	313 di 341

SLERR_Gr_1_S1_33 14_q3k
 SLERR_Gr_1_S1_33 24_q_vento_tot
 SLERR_Gr_1_S1_33 23_q_temp F
 SLERR_Gr_1_S1_33 22_q_ritiro
 SLERR_Gr_1_S1_33 21_q8
 SLERR_Gr_1_S1_34 DEAD
 SLERR_Gr_1_S1_34 1_G1_trave
 SLERR_Gr_1_S1_34 2_G1_soletta
 SLERR_Gr_1_S1_34 3_G1_marciapiede
 SLERR_Gr_1_S1_34 4_G1_traverso
 SLERR_Gr_1_S1_34 5_G2_veletta
 SLERR_Gr_1_S1_34 6_G2_impianti
 SLERR_Gr_1_S1_34 7_G2_parapetti
 SLERR_Gr_1_S1_34 8_G2_pavimentazione
 SLERR_Gr_1_S1_34 9_G2_sicurvia
 SLERR_Gr_1_S1_34 11_Q1k
 SLERR_Gr_1_S1_34 10_q1k
 SLERR_Gr_1_S1_34 13_Q2k
 SLERR_Gr_1_S1_34 12_q2k
 SLERR_Gr_1_S1_34 16_Q_zr
 SLERR_Gr_1_S1_34 17_qfk
 SLERR_Gr_1_S1_34 20_q4_centra
 SLERR_Gr_1_S1_34 19_q3_frenatura
 SLERR_Gr_1_S1_34 15_Q3k
 SLERR_Gr_1_S1_34 14_q3k
 SLERR_Gr_1_S1_34 24_q_vento_tot
 SLERR_Gr_1_S1_34 23_q_temp F
 SLERR_Gr_1_S1_34 22_q_ritiro
 SLERR_Gr_1_S1_34 21_q8
 SLERR_Gr_1_S1_35 DEAD
 SLERR_Gr_1_S1_35 1_G1_trave
 SLERR_Gr_1_S1_35 2_G1_soletta
 SLERR_Gr_1_S1_35 3_G1_marciapiede
 SLERR_Gr_1_S1_35 4_G1_traverso
 SLERR_Gr_1_S1_35 5_G2_veletta
 SLERR_Gr_1_S1_35 6_G2_impianti
 SLERR_Gr_1_S1_35 7_G2_parapetti
 SLERR_Gr_1_S1_35 8_G2_pavimentazione
 SLERR_Gr_1_S1_35 9_G2_sicurvia
 SLERR_Gr_1_S1_35 11_Q1k
 SLERR_Gr_1_S1_35 10_q1k
 SLERR_Gr_1_S1_35 13_Q2k
 SLERR_Gr_1_S1_35 12_q2k
 SLERR_Gr_1_S1_35 16_Q_zr
 SLERR_Gr_1_S1_35 17_qfk
 SLERR_Gr_1_S1_35 20_q4_centra
 SLERR_Gr_1_S1_35 19_q3_frenatura
 SLERR_Gr_1_S1_35 15_Q3k
 SLERR_Gr_1_S1_35 14_q3k
 SLERR_Gr_1_S1_35 24_q_vento_tot
 SLERR_Gr_1_S1_35 23_q_temp F
 SLERR_Gr_1_S1_35 22_q_ritiro
 SLERR_Gr_1_S1_35 21_q8
 SLERR_Gr_1_S1_36 DEAD
 SLERR_Gr_1_S1_36 1_G1_trave
 SLERR_Gr_1_S1_36 2_G1_soletta
 SLERR_Gr_1_S1_36 3_G1_marciapiede
 SLERR_Gr_1_S1_36 4_G1_traverso
 SLERR_Gr_1_S1_36 5_G2_veletta
 SLERR_Gr_1_S1_36 6_G2_impianti
 SLERR_Gr_1_S1_36 7_G2_parapetti
 SLERR_Gr_1_S1_36 8_G2_pavimentazione

RELAZIONE DI CALCOLO

COMMESSA	LOTTO	CODIFICA	DOCUMENTO	REV.	FOGLIO
NRIJ	01 D 29	CL	IV0104 001	B	314 di 341

SLERR_Gr_1_S1_36	9_G2_sicurvia
SLERR_Gr_1_S1_36	11_Q1k
SLERR_Gr_1_S1_36	10_q1k
SLERR_Gr_1_S1_36	13_Q2k
SLERR_Gr_1_S1_36	12_q2k
SLERR_Gr_1_S1_36	16_Q_zr
SLERR_Gr_1_S1_36	17_qfk
SLERR_Gr_1_S1_36	20_q4_centr
SLERR_Gr_1_S1_36	19_q3_frenatura
SLERR_Gr_1_S1_36	15_Q3k
SLERR_Gr_1_S1_36	14_q3k
SLERR_Gr_1_S1_36	24_q_vento_tot
SLERR_Gr_1_S1_36	23_q_temp F
SLERR_Gr_1_S1_36	22_q_ritiro
SLERR_Gr_1_S1_36	21_q8
SLERR_Gr_1_S1_37	DEAD
SLERR_Gr_1_S1_37	1_G1_trave
SLERR_Gr_1_S1_37	2_G1_soletta
SLERR_Gr_1_S1_37	3_G1_marciapiede
SLERR_Gr_1_S1_37	4_G1_traverso
SLERR_Gr_1_S1_37	5_G2_veletta
SLERR_Gr_1_S1_37	6_G2_impianti
SLERR_Gr_1_S1_37	7_G2_parapetti
SLERR_Gr_1_S1_37	8_G2_pavimentazione
SLERR_Gr_1_S1_37	9_G2_sicurvia
SLERR_Gr_1_S1_37	11_Q1k
SLERR_Gr_1_S1_37	10_q1k
SLERR_Gr_1_S1_37	13_Q2k
SLERR_Gr_1_S1_37	12_q2k
SLERR_Gr_1_S1_37	16_Q_zr
SLERR_Gr_1_S1_37	17_qfk
SLERR_Gr_1_S1_37	20_q4_centr
SLERR_Gr_1_S1_37	19_q3_frenatura
SLERR_Gr_1_S1_37	15_Q3k
SLERR_Gr_1_S1_37	14_q3k
SLERR_Gr_1_S1_37	24_q_vento_tot
SLERR_Gr_1_S1_37	23_q_temp F
SLERR_Gr_1_S1_37	22_q_ritiro
SLERR_Gr_1_S1_37	21_q8
SLERR_Gr_1_S1_38	DEAD
SLERR_Gr_1_S1_38	1_G1_trave
SLERR_Gr_1_S1_38	2_G1_soletta
SLERR_Gr_1_S1_38	3_G1_marciapiede
SLERR_Gr_1_S1_38	4_G1_traverso
SLERR_Gr_1_S1_38	5_G2_veletta
SLERR_Gr_1_S1_38	6_G2_impianti
SLERR_Gr_1_S1_38	7_G2_parapetti
SLERR_Gr_1_S1_38	8_G2_pavimentazione
SLERR_Gr_1_S1_38	9_G2_sicurvia
SLERR_Gr_1_S1_38	11_Q1k
SLERR_Gr_1_S1_38	10_q1k
SLERR_Gr_1_S1_38	13_Q2k
SLERR_Gr_1_S1_38	12_q2k
SLERR_Gr_1_S1_38	16_Q_zr
SLERR_Gr_1_S1_38	17_qfk
SLERR_Gr_1_S1_38	20_q4_centr
SLERR_Gr_1_S1_38	19_q3_frenatura
SLERR_Gr_1_S1_38	15_Q3k
SLERR_Gr_1_S1_38	14_q3k
SLERR_Gr_1_S1_38	24_q_vento_tot
SLERR_Gr_1_S1_38	23_q_temp F
SLERR_Gr_1_S1_38	22_q_ritiro

RELAZIONE DI CALCOLO

COMMESSA	LOTTO	CODIFICA	DOCUMENTO	REV.	FOGLIO
NRIJ	01 D 29	CL	IV0104 001	B	315 di 341

SLERR_Gr_1_S1_38 21_q8
 SLERR_Gr_1_S1_39 DEAD
 SLERR_Gr_1_S1_39 1_G1_trave
 SLERR_Gr_1_S1_39 2_G1_soletta
 SLERR_Gr_1_S1_39 3_G1_marciapiede
 SLERR_Gr_1_S1_39 4_G1_traverso
 SLERR_Gr_1_S1_39 5_G2_veletta
 SLERR_Gr_1_S1_39 6_G2_impianti
 SLERR_Gr_1_S1_39 7_G2_parapetti
 SLERR_Gr_1_S1_39 8_G2_pavimentazione
 SLERR_Gr_1_S1_39 9_G2_sicurvia
 SLERR_Gr_1_S1_39 11_Q1k
 SLERR_Gr_1_S1_39 10_q1k
 SLERR_Gr_1_S1_39 13_Q2k
 SLERR_Gr_1_S1_39 12_q2k
 SLERR_Gr_1_S1_39 16_Q_zr
 SLERR_Gr_1_S1_39 17_qfk
 SLERR_Gr_1_S1_39 20_q4_centr
 SLERR_Gr_1_S1_39 19_q3_frenatura
 SLERR_Gr_1_S1_39 15_Q3k
 SLERR_Gr_1_S1_39 14_q3k
 SLERR_Gr_1_S1_39 24_q_vento_tot
 SLERR_Gr_1_S1_39 23_q_temp F
 SLERR_Gr_1_S1_39 22_q_ritiro
 SLERR_Gr_1_S1_39 21_q8
 SLERR_Gr_1_S1_40 DEAD
 SLERR_Gr_1_S1_40 1_G1_trave
 SLERR_Gr_1_S1_40 2_G1_soletta
 SLERR_Gr_1_S1_40 3_G1_marciapiede
 SLERR_Gr_1_S1_40 4_G1_traverso
 SLERR_Gr_1_S1_40 5_G2_veletta
 SLERR_Gr_1_S1_40 6_G2_impianti
 SLERR_Gr_1_S1_40 7_G2_parapetti
 SLERR_Gr_1_S1_40 8_G2_pavimentazione
 SLERR_Gr_1_S1_40 9_G2_sicurvia
 SLERR_Gr_1_S1_40 11_Q1k
 SLERR_Gr_1_S1_40 10_q1k
 SLERR_Gr_1_S1_40 13_Q2k
 SLERR_Gr_1_S1_40 12_q2k
 SLERR_Gr_1_S1_40 16_Q_zr
 SLERR_Gr_1_S1_40 17_qfk
 SLERR_Gr_1_S1_40 20_q4_centr
 SLERR_Gr_1_S1_40 19_q3_frenatura
 SLERR_Gr_1_S1_40 15_Q3k
 SLERR_Gr_1_S1_40 14_q3k
 SLERR_Gr_1_S1_40 24_q_vento_tot
 SLERR_Gr_1_S1_40 23_q_temp F
 SLERR_Gr_1_S1_40 22_q_ritiro
 SLERR_Gr_1_S1_40 21_q8
 SLEFR_Gr_2A_S1_1 DEAD
 SLEFR_Gr_2A_S1_1 1_G1_trave
 SLEFR_Gr_2A_S1_1 2_G1_soletta
 SLEFR_Gr_2A_S1_1 3_G1_marciapiede
 SLEFR_Gr_2A_S1_1 4_G1_traverso
 SLEFR_Gr_2A_S1_1 5_G2_veletta
 SLEFR_Gr_2A_S1_1 6_G2_impianti
 SLEFR_Gr_2A_S1_1 7_G2_parapetti
 SLEFR_Gr_2A_S1_1 8_G2_pavimentazione
 SLEFR_Gr_2A_S1_1 9_G2_sicurvia
 SLEFR_Gr_2A_S1_1 11_Q1k
 SLEFR_Gr_2A_S1_1 10_q1k
 SLEFR_Gr_2A_S1_1 13_Q2k

RELAZIONE DI CALCOLO

COMMESSA	LOTTO	CODIFICA	DOCUMENTO	REV.	FOGLIO
NRIJ	01 D 29	CL	IV0104 001	B	316 di 341

SLEFR_Gr_2A_S1_1 12_q2k
 SLEFR_Gr_2A_S1_1 16_Q_zr
 SLEFR_Gr_2A_S1_1 17_qfk
 SLEFR_Gr_2A_S1_1 20_q4_centra
 SLEFR_Gr_2A_S1_1 19_q3_frenatura
 SLEFR_Gr_2A_S1_1 15_Q3k
 SLEFR_Gr_2A_S1_1 14_q3k
 SLEFR_Gr_2A_S1_1 24_q_vento_tot
 SLEFR_Gr_2A_S1_1 23_q_temp F
 SLEFR_Gr_2A_S1_1 22_q_ritiro
 SLEFR_Gr_2A_S1_1 21_q8
 SLEFR_Gr_2A_S1_2 DEAD
 SLEFR_Gr_2A_S1_2 1_G1_trave
 SLEFR_Gr_2A_S1_2 2_G1_soletta
 SLEFR_Gr_2A_S1_2 3_G1_marcia piede
 SLEFR_Gr_2A_S1_2 4_G1_traverso
 SLEFR_Gr_2A_S1_2 5_G2_veletta
 SLEFR_Gr_2A_S1_2 6_G2_impianti
 SLEFR_Gr_2A_S1_2 7_G2_parapetti
 SLEFR_Gr_2A_S1_2 8_G2_pavimentazione
 SLEFR_Gr_2A_S1_2 9_G2_sicurvia
 SLEFR_Gr_2A_S1_2 11_Q1k
 SLEFR_Gr_2A_S1_2 10_q1k
 SLEFR_Gr_2A_S1_2 13_Q2k
 SLEFR_Gr_2A_S1_2 12_q2k
 SLEFR_Gr_2A_S1_2 16_Q_zr
 SLEFR_Gr_2A_S1_2 17_qfk
 SLEFR_Gr_2A_S1_2 20_q4_centra
 SLEFR_Gr_2A_S1_2 19_q3_frenatura
 SLEFR_Gr_2A_S1_2 15_Q3k
 SLEFR_Gr_2A_S1_2 14_q3k
 SLEFR_Gr_2A_S1_2 24_q_vento_tot
 SLEFR_Gr_2A_S1_2 23_q_temp F
 SLEFR_Gr_2A_S1_2 22_q_ritiro
 SLEFR_Gr_2A_S1_2 21_q8
 SLEFR_Gr_2A_S1_3 DEAD
 SLEFR_Gr_2A_S1_3 1_G1_trave
 SLEFR_Gr_2A_S1_3 2_G1_soletta
 SLEFR_Gr_2A_S1_3 3_G1_marcia piede
 SLEFR_Gr_2A_S1_3 4_G1_traverso
 SLEFR_Gr_2A_S1_3 5_G2_veletta
 SLEFR_Gr_2A_S1_3 6_G2_impianti
 SLEFR_Gr_2A_S1_3 7_G2_parapetti
 SLEFR_Gr_2A_S1_3 8_G2_pavimentazione
 SLEFR_Gr_2A_S1_3 9_G2_sicurvia
 SLEFR_Gr_2A_S1_3 11_Q1k
 SLEFR_Gr_2A_S1_3 10_q1k
 SLEFR_Gr_2A_S1_3 13_Q2k
 SLEFR_Gr_2A_S1_3 12_q2k
 SLEFR_Gr_2A_S1_3 16_Q_zr
 SLEFR_Gr_2A_S1_3 17_qfk
 SLEFR_Gr_2A_S1_3 20_q4_centra
 SLEFR_Gr_2A_S1_3 19_q3_frenatura
 SLEFR_Gr_2A_S1_3 15_Q3k
 SLEFR_Gr_2A_S1_3 14_q3k
 SLEFR_Gr_2A_S1_3 24_q_vento_tot
 SLEFR_Gr_2A_S1_3 23_q_temp F
 SLEFR_Gr_2A_S1_3 22_q_ritiro
 SLEFR_Gr_2A_S1_3 21_q8
 SLEFR_Gr_2A_S1_4 DEAD
 SLEFR_Gr_2A_S1_4 1_G1_trave
 SLEFR_Gr_2A_S1_4 2_G1_soletta

RELAZIONE DI CALCOLO

COMMESSA	LOTTO	CODIFICA	DOCUMENTO	REV.	FOGLIO
NRIJ	01 D 29	CL	IV0104 001	B	317 di 341

SLEFR_Gr_2A_S1_4 3_G1_marcia piede
 SLEFR_Gr_2A_S1_4 4_G1_traverso
 SLEFR_Gr_2A_S1_4 5_G2_veletta
 SLEFR_Gr_2A_S1_4 6_G2_impianti
 SLEFR_Gr_2A_S1_4 7_G2_parapetti
 SLEFR_Gr_2A_S1_4 8_G2_pavimentazione
 SLEFR_Gr_2A_S1_4 9_G2_sicurvia
 SLEFR_Gr_2A_S1_4 11_Q1k
 SLEFR_Gr_2A_S1_4 10_q1k
 SLEFR_Gr_2A_S1_4 13_Q2k
 SLEFR_Gr_2A_S1_4 12_q2k
 SLEFR_Gr_2A_S1_4 16_Q_zr
 SLEFR_Gr_2A_S1_4 17_qfk
 SLEFR_Gr_2A_S1_4 20_q4_centr
 SLEFR_Gr_2A_S1_4 19_q3_frenatura
 SLEFR_Gr_2A_S1_4 15_Q3k
 SLEFR_Gr_2A_S1_4 14_q3k
 SLEFR_Gr_2A_S1_4 24_q_vento_tot
 SLEFR_Gr_2A_S1_4 23_q_temp F
 SLEFR_Gr_2A_S1_4 22_q_ritiro
 SLEFR_Gr_2A_S1_4 21_q8
 SLEFR_Gr_2A_S1_5 DEAD
 SLEFR_Gr_2A_S1_5 1_G1_trave
 SLEFR_Gr_2A_S1_5 2_G1_soletta
 SLEFR_Gr_2A_S1_5 3_G1_marcia piede
 SLEFR_Gr_2A_S1_5 4_G1_traverso
 SLEFR_Gr_2A_S1_5 5_G2_veletta
 SLEFR_Gr_2A_S1_5 6_G2_impianti
 SLEFR_Gr_2A_S1_5 7_G2_parapetti
 SLEFR_Gr_2A_S1_5 8_G2_pavimentazione
 SLEFR_Gr_2A_S1_5 9_G2_sicurvia
 SLEFR_Gr_2A_S1_5 11_Q1k
 SLEFR_Gr_2A_S1_5 10_q1k
 SLEFR_Gr_2A_S1_5 13_Q2k
 SLEFR_Gr_2A_S1_5 12_q2k
 SLEFR_Gr_2A_S1_5 16_Q_zr
 SLEFR_Gr_2A_S1_5 17_qfk
 SLEFR_Gr_2A_S1_5 20_q4_centr
 SLEFR_Gr_2A_S1_5 19_q3_frenatura
 SLEFR_Gr_2A_S1_5 15_Q3k
 SLEFR_Gr_2A_S1_5 14_q3k
 SLEFR_Gr_2A_S1_5 24_q_vento_tot
 SLEFR_Gr_2A_S1_5 23_q_temp F
 SLEFR_Gr_2A_S1_5 22_q_ritiro
 SLEFR_Gr_2A_S1_5 21_q8
 SLEFR_Gr_2A_S1_6 DEAD
 SLEFR_Gr_2A_S1_6 1_G1_trave
 SLEFR_Gr_2A_S1_6 2_G1_soletta
 SLEFR_Gr_2A_S1_6 3_G1_marcia piede
 SLEFR_Gr_2A_S1_6 4_G1_traverso
 SLEFR_Gr_2A_S1_6 5_G2_veletta
 SLEFR_Gr_2A_S1_6 6_G2_impianti
 SLEFR_Gr_2A_S1_6 7_G2_parapetti
 SLEFR_Gr_2A_S1_6 8_G2_pavimentazione
 SLEFR_Gr_2A_S1_6 9_G2_sicurvia
 SLEFR_Gr_2A_S1_6 11_Q1k
 SLEFR_Gr_2A_S1_6 10_q1k
 SLEFR_Gr_2A_S1_6 13_Q2k
 SLEFR_Gr_2A_S1_6 12_q2k
 SLEFR_Gr_2A_S1_6 16_Q_zr
 SLEFR_Gr_2A_S1_6 17_qfk
 SLEFR_Gr_2A_S1_6 20_q4_centr

RELAZIONE DI CALCOLO

COMMESSA	LOTTO	CODIFICA	DOCUMENTO	REV.	FOGLIO
NRIJ	01 D 29	CL	IV0104 001	B	318 di 341

SLEFR_Gr_2A_S1_6 19_q3_frenatura
 SLEFR_Gr_2A_S1_6 15_Q3k
 SLEFR_Gr_2A_S1_6 14_q3k
 SLEFR_Gr_2A_S1_6 24_q_vento_tot
 SLEFR_Gr_2A_S1_6 23_q_temp F
 SLEFR_Gr_2A_S1_6 22_q_ritiro
 SLEFR_Gr_2A_S1_6 21_q8
 SLEFR_Gr_2A_S1_7 DEAD
 SLEFR_Gr_2A_S1_7 1_G1_trave
 SLEFR_Gr_2A_S1_7 2_G1_soletta
 SLEFR_Gr_2A_S1_7 3_G1_marcia piede
 SLEFR_Gr_2A_S1_7 4_G1_traverso
 SLEFR_Gr_2A_S1_7 5_G2_veletta
 SLEFR_Gr_2A_S1_7 6_G2_impianti
 SLEFR_Gr_2A_S1_7 7_G2_parapetti
 SLEFR_Gr_2A_S1_7 8_G2_pavimentazione
 SLEFR_Gr_2A_S1_7 9_G2_sicurvia
 SLEFR_Gr_2A_S1_7 11_Q1k
 SLEFR_Gr_2A_S1_7 10_q1k
 SLEFR_Gr_2A_S1_7 13_Q2k
 SLEFR_Gr_2A_S1_7 12_q2k
 SLEFR_Gr_2A_S1_7 16_Q_zr
 SLEFR_Gr_2A_S1_7 17_qfk
 SLEFR_Gr_2A_S1_7 20_q4_centr
 SLEFR_Gr_2A_S1_7 19_q3_frenatura
 SLEFR_Gr_2A_S1_7 15_Q3k
 SLEFR_Gr_2A_S1_7 14_q3k
 SLEFR_Gr_2A_S1_7 24_q_vento_tot
 SLEFR_Gr_2A_S1_7 23_q_temp F
 SLEFR_Gr_2A_S1_7 22_q_ritiro
 SLEFR_Gr_2A_S1_7 21_q8
 SLEFR_Gr_2A_S1_8 DEAD
 SLEFR_Gr_2A_S1_8 1_G1_trave
 SLEFR_Gr_2A_S1_8 2_G1_soletta
 SLEFR_Gr_2A_S1_8 3_G1_marcia piede
 SLEFR_Gr_2A_S1_8 4_G1_traverso
 SLEFR_Gr_2A_S1_8 5_G2_veletta
 SLEFR_Gr_2A_S1_8 6_G2_impianti
 SLEFR_Gr_2A_S1_8 7_G2_parapetti
 SLEFR_Gr_2A_S1_8 8_G2_pavimentazione
 SLEFR_Gr_2A_S1_8 9_G2_sicurvia
 SLEFR_Gr_2A_S1_8 11_Q1k
 SLEFR_Gr_2A_S1_8 10_q1k
 SLEFR_Gr_2A_S1_8 13_Q2k
 SLEFR_Gr_2A_S1_8 12_q2k
 SLEFR_Gr_2A_S1_8 16_Q_zr
 SLEFR_Gr_2A_S1_8 17_qfk
 SLEFR_Gr_2A_S1_8 20_q4_centr
 SLEFR_Gr_2A_S1_8 19_q3_frenatura
 SLEFR_Gr_2A_S1_8 15_Q3k
 SLEFR_Gr_2A_S1_8 14_q3k
 SLEFR_Gr_2A_S1_8 24_q_vento_tot
 SLEFR_Gr_2A_S1_8 23_q_temp F
 SLEFR_Gr_2A_S1_8 22_q_ritiro
 SLEFR_Gr_2A_S1_8 21_q8
 SLEFR_Gr_2A_S1_9 DEAD
 SLEFR_Gr_2A_S1_9 1_G1_trave
 SLEFR_Gr_2A_S1_9 2_G1_soletta
 SLEFR_Gr_2A_S1_9 3_G1_marcia piede
 SLEFR_Gr_2A_S1_9 4_G1_traverso
 SLEFR_Gr_2A_S1_9 5_G2_veletta
 SLEFR_Gr_2A_S1_9 6_G2_impianti

RELAZIONE DI CALCOLO

COMMESSA	LOTTO	CODIFICA	DOCUMENTO	REV.	FOGLIO
NRIJ	01 D 29	CL	IV0104 001	B	319 di 341

SLEFR_Gr_2A_S1_9 7_G2_parapetti
 SLEFR_Gr_2A_S1_9 8_G2_pavimentazione
 SLEFR_Gr_2A_S1_9 9_G2_sicurvia
 SLEFR_Gr_2A_S1_9 11_Q1k
 SLEFR_Gr_2A_S1_9 10_q1k
 SLEFR_Gr_2A_S1_9 13_Q2k
 SLEFR_Gr_2A_S1_9 12_q2k
 SLEFR_Gr_2A_S1_9 16_Q_zr
 SLEFR_Gr_2A_S1_9 17_qfk
 SLEFR_Gr_2A_S1_9 20_q4_centr
 SLEFR_Gr_2A_S1_9 19_q3_frenatura
 SLEFR_Gr_2A_S1_9 15_Q3k
 SLEFR_Gr_2A_S1_9 14_q3k
 SLEFR_Gr_2A_S1_9 24_q_vento_tot
 SLEFR_Gr_2A_S1_9 23_q_temp F
 SLEFR_Gr_2A_S1_9 22_q_ritiro
 SLEFR_Gr_2A_S1_9 21_q8
 SLEFR_Gr_2A_S1_10 DEAD
 SLEFR_Gr_2A_S1_10 1_G1_trave
 SLEFR_Gr_2A_S1_10 2_G1_soletta
 SLEFR_Gr_2A_S1_10 3_G1_marciapiede
 SLEFR_Gr_2A_S1_10 4_G1_traverso
 SLEFR_Gr_2A_S1_10 5_G2_veletta
 SLEFR_Gr_2A_S1_10 6_G2_impiantri
 SLEFR_Gr_2A_S1_10 7_G2_parapetti
 SLEFR_Gr_2A_S1_10 8_G2_pavimentazione
 SLEFR_Gr_2A_S1_10 9_G2_sicurvia
 SLEFR_Gr_2A_S1_10 11_Q1k
 SLEFR_Gr_2A_S1_10 10_q1k
 SLEFR_Gr_2A_S1_10 13_Q2k
 SLEFR_Gr_2A_S1_10 12_q2k
 SLEFR_Gr_2A_S1_10 16_Q_zr
 SLEFR_Gr_2A_S1_10 17_qfk
 SLEFR_Gr_2A_S1_10 20_q4_centr
 SLEFR_Gr_2A_S1_10 19_q3_frenatura
 SLEFR_Gr_2A_S1_10 15_Q3k
 SLEFR_Gr_2A_S1_10 14_q3k
 SLEFR_Gr_2A_S1_10 24_q_vento_tot
 SLEFR_Gr_2A_S1_10 23_q_temp F
 SLEFR_Gr_2A_S1_10 22_q_ritiro
 SLEFR_Gr_2A_S1_10 21_q8
 SLEFR_Gr_2A_S1_11 DEAD
 SLEFR_Gr_2A_S1_11 1_G1_trave
 SLEFR_Gr_2A_S1_11 2_G1_soletta
 SLEFR_Gr_2A_S1_11 3_G1_marciapiede
 SLEFR_Gr_2A_S1_11 4_G1_traverso
 SLEFR_Gr_2A_S1_11 5_G2_veletta
 SLEFR_Gr_2A_S1_11 6_G2_impiantri
 SLEFR_Gr_2A_S1_11 7_G2_parapetti
 SLEFR_Gr_2A_S1_11 8_G2_pavimentazione
 SLEFR_Gr_2A_S1_11 9_G2_sicurvia
 SLEFR_Gr_2A_S1_11 11_Q1k
 SLEFR_Gr_2A_S1_11 10_q1k
 SLEFR_Gr_2A_S1_11 13_Q2k
 SLEFR_Gr_2A_S1_11 12_q2k
 SLEFR_Gr_2A_S1_11 16_Q_zr
 SLEFR_Gr_2A_S1_11 17_qfk
 SLEFR_Gr_2A_S1_11 20_q4_centr
 SLEFR_Gr_2A_S1_11 19_q3_frenatura
 SLEFR_Gr_2A_S1_11 15_Q3k
 SLEFR_Gr_2A_S1_11 14_q3k
 SLEFR_Gr_2A_S1_11 24_q_vento_tot

RELAZIONE DI CALCOLO

COMMESSA	LOTTO	CODIFICA	DOCUMENTO	REV.	FOGLIO
NRIJ	01 D 29	CL	IV0104 001	B	320 di 341

SLEFR_Gr_2A_S1_11	23_q_temp F
SLEFR_Gr_2A_S1_11	22_q_ritiro
SLEFR_Gr_2A_S1_11	21_q8
SLEFR_Gr_2A_S1_12	DEAD
SLEFR_Gr_2A_S1_12	1_G1_trave
SLEFR_Gr_2A_S1_12	2_G1_soletta
SLEFR_Gr_2A_S1_12	3_G1_marciapiede
SLEFR_Gr_2A_S1_12	4_G1_traverso
SLEFR_Gr_2A_S1_12	5_G2_veletta
SLEFR_Gr_2A_S1_12	6_G2_impianti
SLEFR_Gr_2A_S1_12	7_G2_parapetti
SLEFR_Gr_2A_S1_12	8_G2_pavimentazione
SLEFR_Gr_2A_S1_12	9_G2_sicurvia
SLEFR_Gr_2A_S1_12	11_Q1k
SLEFR_Gr_2A_S1_12	10_q1k
SLEFR_Gr_2A_S1_12	13_Q2k
SLEFR_Gr_2A_S1_12	12_q2k
SLEFR_Gr_2A_S1_12	16_Q_zr
SLEFR_Gr_2A_S1_12	17_qfk
SLEFR_Gr_2A_S1_12	20_q4_centr
SLEFR_Gr_2A_S1_12	19_q3_frenatura
SLEFR_Gr_2A_S1_12	15_Q3k
SLEFR_Gr_2A_S1_12	14_q3k
SLEFR_Gr_2A_S1_12	24_q_vento_tot
SLEFR_Gr_2A_S1_12	23_q_temp F
SLEFR_Gr_2A_S1_12	22_q_ritiro
SLEFR_Gr_2A_S1_12	21_q8
SLEFR_Gr_2A_S1_13	DEAD
SLEFR_Gr_2A_S1_13	1_G1_trave
SLEFR_Gr_2A_S1_13	2_G1_soletta
SLEFR_Gr_2A_S1_13	3_G1_marciapiede
SLEFR_Gr_2A_S1_13	4_G1_traverso
SLEFR_Gr_2A_S1_13	5_G2_veletta
SLEFR_Gr_2A_S1_13	6_G2_impianti
SLEFR_Gr_2A_S1_13	7_G2_parapetti
SLEFR_Gr_2A_S1_13	8_G2_pavimentazione
SLEFR_Gr_2A_S1_13	9_G2_sicurvia
SLEFR_Gr_2A_S1_13	11_Q1k
SLEFR_Gr_2A_S1_13	10_q1k
SLEFR_Gr_2A_S1_13	13_Q2k
SLEFR_Gr_2A_S1_13	12_q2k
SLEFR_Gr_2A_S1_13	16_Q_zr
SLEFR_Gr_2A_S1_13	17_qfk
SLEFR_Gr_2A_S1_13	20_q4_centr
SLEFR_Gr_2A_S1_13	19_q3_frenatura
SLEFR_Gr_2A_S1_13	15_Q3k
SLEFR_Gr_2A_S1_13	14_q3k
SLEFR_Gr_2A_S1_13	24_q_vento_tot
SLEFR_Gr_2A_S1_13	23_q_temp F
SLEFR_Gr_2A_S1_13	22_q_ritiro
SLEFR_Gr_2A_S1_13	21_q8
SLEFR_Gr_2A_S1_14	DEAD
SLEFR_Gr_2A_S1_14	1_G1_trave
SLEFR_Gr_2A_S1_14	2_G1_soletta
SLEFR_Gr_2A_S1_14	3_G1_marciapiede
SLEFR_Gr_2A_S1_14	4_G1_traverso
SLEFR_Gr_2A_S1_14	5_G2_veletta
SLEFR_Gr_2A_S1_14	6_G2_impianti
SLEFR_Gr_2A_S1_14	7_G2_parapetti
SLEFR_Gr_2A_S1_14	8_G2_pavimentazione
SLEFR_Gr_2A_S1_14	9_G2_sicurvia
SLEFR_Gr_2A_S1_14	11_Q1k

RELAZIONE DI CALCOLO

COMMESSA	LOTTO	CODIFICA	DOCUMENTO	REV.	FOGLIO
NRIJ	01 D 29	CL	IV0104 001	B	321 di 341

SLEFR_Gr_2A_S1_14	10_q1k
SLEFR_Gr_2A_S1_14	13_Q2k
SLEFR_Gr_2A_S1_14	12_q2k
SLEFR_Gr_2A_S1_14	16_Q_zr
SLEFR_Gr_2A_S1_14	17_qfk
SLEFR_Gr_2A_S1_14	20_q4_centr
SLEFR_Gr_2A_S1_14	19_q3_frenatura
SLEFR_Gr_2A_S1_14	15_Q3k
SLEFR_Gr_2A_S1_14	14_q3k
SLEFR_Gr_2A_S1_14	24_q_vento_tot
SLEFR_Gr_2A_S1_14	23_q_temp F
SLEFR_Gr_2A_S1_14	22_q_ritiro
SLEFR_Gr_2A_S1_14	21_q8
SLEFR_Gr_2A_S1_15	DEAD
SLEFR_Gr_2A_S1_15	1_G1_trave
SLEFR_Gr_2A_S1_15	2_G1_soletta
SLEFR_Gr_2A_S1_15	3_G1_marciapiede
SLEFR_Gr_2A_S1_15	4_G1_traverso
SLEFR_Gr_2A_S1_15	5_G2_veletta
SLEFR_Gr_2A_S1_15	6_G2_impianti
SLEFR_Gr_2A_S1_15	7_G2_parapetti
SLEFR_Gr_2A_S1_15	8_G2_pavimentazione
SLEFR_Gr_2A_S1_15	9_G2_sicurvia
SLEFR_Gr_2A_S1_15	11_Q1k
SLEFR_Gr_2A_S1_15	10_q1k
SLEFR_Gr_2A_S1_15	13_Q2k
SLEFR_Gr_2A_S1_15	12_q2k
SLEFR_Gr_2A_S1_15	16_Q_zr
SLEFR_Gr_2A_S1_15	17_qfk
SLEFR_Gr_2A_S1_15	20_q4_centr
SLEFR_Gr_2A_S1_15	19_q3_frenatura
SLEFR_Gr_2A_S1_15	15_Q3k
SLEFR_Gr_2A_S1_15	14_q3k
SLEFR_Gr_2A_S1_15	24_q_vento_tot
SLEFR_Gr_2A_S1_15	23_q_temp F
SLEFR_Gr_2A_S1_15	22_q_ritiro
SLEFR_Gr_2A_S1_15	21_q8
SLEFR_Gr_2A_S1_16	DEAD
SLEFR_Gr_2A_S1_16	1_G1_trave
SLEFR_Gr_2A_S1_16	2_G1_soletta
SLEFR_Gr_2A_S1_16	3_G1_marciapiede
SLEFR_Gr_2A_S1_16	4_G1_traverso
SLEFR_Gr_2A_S1_16	5_G2_veletta
SLEFR_Gr_2A_S1_16	6_G2_impianti
SLEFR_Gr_2A_S1_16	7_G2_parapetti
SLEFR_Gr_2A_S1_16	8_G2_pavimentazione
SLEFR_Gr_2A_S1_16	9_G2_sicurvia
SLEFR_Gr_2A_S1_16	11_Q1k
SLEFR_Gr_2A_S1_16	10_q1k
SLEFR_Gr_2A_S1_16	13_Q2k
SLEFR_Gr_2A_S1_16	12_q2k
SLEFR_Gr_2A_S1_16	16_Q_zr
SLEFR_Gr_2A_S1_16	17_qfk
SLEFR_Gr_2A_S1_16	20_q4_centr
SLEFR_Gr_2A_S1_16	19_q3_frenatura
SLEFR_Gr_2A_S1_16	15_Q3k
SLEFR_Gr_2A_S1_16	14_q3k
SLEFR_Gr_2A_S1_16	24_q_vento_tot
SLEFR_Gr_2A_S1_16	23_q_temp F
SLEFR_Gr_2A_S1_16	22_q_ritiro
SLEFR_Gr_2A_S1_16	21_q8
SLEFR_Gr_2A_S1_17	DEAD

RELAZIONE DI CALCOLO

COMMESSA	LOTTO	CODIFICA	DOCUMENTO	REV.	FOGLIO
NRIJ	01 D 29	CL	IV0104 001	B	322 di 341

SLEFR_Gr_2A_S1_17 1_G1_trave
 SLEFR_Gr_2A_S1_17 2_G1_soletta
 SLEFR_Gr_2A_S1_17 3_G1_marciapiede
 SLEFR_Gr_2A_S1_17 4_G1_traverso
 SLEFR_Gr_2A_S1_17 5_G2_veletta
 SLEFR_Gr_2A_S1_17 6_G2_impianti
 SLEFR_Gr_2A_S1_17 7_G2_parapetti
 SLEFR_Gr_2A_S1_17 8_G2_pavimentazione
 SLEFR_Gr_2A_S1_17 9_G2_sicurvia
 SLEFR_Gr_2A_S1_17 11_Q1k
 SLEFR_Gr_2A_S1_17 10_q1k
 SLEFR_Gr_2A_S1_17 13_Q2k
 SLEFR_Gr_2A_S1_17 12_q2k
 SLEFR_Gr_2A_S1_17 16_Q_zr
 SLEFR_Gr_2A_S1_17 17_qfk
 SLEFR_Gr_2A_S1_17 20_q4_centr
 SLEFR_Gr_2A_S1_17 19_q3_frenatura
 SLEFR_Gr_2A_S1_17 15_Q3k
 SLEFR_Gr_2A_S1_17 14_q3k
 SLEFR_Gr_2A_S1_17 24_q_vento_tot
 SLEFR_Gr_2A_S1_17 23_q_temp F
 SLEFR_Gr_2A_S1_17 22_q_ritiro
 SLEFR_Gr_2A_S1_17 21_q8
 SLEFR_Gr_2A_S1_18 DEAD
 SLEFR_Gr_2A_S1_18 1_G1_trave
 SLEFR_Gr_2A_S1_18 2_G1_soletta
 SLEFR_Gr_2A_S1_18 3_G1_marciapiede
 SLEFR_Gr_2A_S1_18 4_G1_traverso
 SLEFR_Gr_2A_S1_18 5_G2_veletta
 SLEFR_Gr_2A_S1_18 6_G2_impianti
 SLEFR_Gr_2A_S1_18 7_G2_parapetti
 SLEFR_Gr_2A_S1_18 8_G2_pavimentazione
 SLEFR_Gr_2A_S1_18 9_G2_sicurvia
 SLEFR_Gr_2A_S1_18 11_Q1k
 SLEFR_Gr_2A_S1_18 10_q1k
 SLEFR_Gr_2A_S1_18 13_Q2k
 SLEFR_Gr_2A_S1_18 12_q2k
 SLEFR_Gr_2A_S1_18 16_Q_zr
 SLEFR_Gr_2A_S1_18 17_qfk
 SLEFR_Gr_2A_S1_18 20_q4_centr
 SLEFR_Gr_2A_S1_18 19_q3_frenatura
 SLEFR_Gr_2A_S1_18 15_Q3k
 SLEFR_Gr_2A_S1_18 14_q3k
 SLEFR_Gr_2A_S1_18 24_q_vento_tot
 SLEFR_Gr_2A_S1_18 23_q_temp F
 SLEFR_Gr_2A_S1_18 22_q_ritiro
 SLEFR_Gr_2A_S1_18 21_q8
 SLEFR_Gr_2A_S1_19 DEAD
 SLEFR_Gr_2A_S1_19 1_G1_trave
 SLEFR_Gr_2A_S1_19 2_G1_soletta
 SLEFR_Gr_2A_S1_19 3_G1_marciapiede
 SLEFR_Gr_2A_S1_19 4_G1_traverso
 SLEFR_Gr_2A_S1_19 5_G2_veletta
 SLEFR_Gr_2A_S1_19 6_G2_impianti
 SLEFR_Gr_2A_S1_19 7_G2_parapetti
 SLEFR_Gr_2A_S1_19 8_G2_pavimentazione
 SLEFR_Gr_2A_S1_19 9_G2_sicurvia
 SLEFR_Gr_2A_S1_19 11_Q1k
 SLEFR_Gr_2A_S1_19 10_q1k
 SLEFR_Gr_2A_S1_19 13_Q2k
 SLEFR_Gr_2A_S1_19 12_q2k
 SLEFR_Gr_2A_S1_19 16_Q_zr

RELAZIONE DI CALCOLO

COMMESSA	LOTTO	CODIFICA	DOCUMENTO	REV.	FOGLIO
NRIJ	01 D 29	CL	IV0104 001	B	323 di 341

SLEFR_Gr_2A_S1_19 17_qfk
 SLEFR_Gr_2A_S1_19 20_q4_centr
 SLEFR_Gr_2A_S1_19 19_q3_frenatura
 SLEFR_Gr_2A_S1_19 15_Q3k
 SLEFR_Gr_2A_S1_19 14_q3k
 SLEFR_Gr_2A_S1_19 24_q_vento_tot
 SLEFR_Gr_2A_S1_19 23_q_temp F
 SLEFR_Gr_2A_S1_19 22_q_ritiro
 SLEFR_Gr_2A_S1_19 21_q8
 SLEFR_Gr_2A_S1_20 DEAD
 SLEFR_Gr_2A_S1_20 1_G1_trave
 SLEFR_Gr_2A_S1_20 2_G1_soletta
 SLEFR_Gr_2A_S1_20 3_G1_marciapiede
 SLEFR_Gr_2A_S1_20 4_G1_traverso
 SLEFR_Gr_2A_S1_20 5_G2_veletta
 SLEFR_Gr_2A_S1_20 6_G2_impianti
 SLEFR_Gr_2A_S1_20 7_G2_parapetti
 SLEFR_Gr_2A_S1_20 8_G2_pavimentazione
 SLEFR_Gr_2A_S1_20 9_G2_sicurvia
 SLEFR_Gr_2A_S1_20 11_Q1k
 SLEFR_Gr_2A_S1_20 10_q1k
 SLEFR_Gr_2A_S1_20 13_Q2k
 SLEFR_Gr_2A_S1_20 12_q2k
 SLEFR_Gr_2A_S1_20 16_Q_zr
 SLEFR_Gr_2A_S1_20 17_qfk
 SLEFR_Gr_2A_S1_20 20_q4_centr
 SLEFR_Gr_2A_S1_20 19_q3_frenatura
 SLEFR_Gr_2A_S1_20 15_Q3k
 SLEFR_Gr_2A_S1_20 14_q3k
 SLEFR_Gr_2A_S1_20 24_q_vento_tot
 SLEFR_Gr_2A_S1_20 23_q_temp F
 SLEFR_Gr_2A_S1_20 22_q_ritiro
 SLEFR_Gr_2A_S1_20 21_q8
 SLEFR_Gr_2A_S1_21 DEAD
 SLEFR_Gr_2A_S1_21 1_G1_trave
 SLEFR_Gr_2A_S1_21 2_G1_soletta
 SLEFR_Gr_2A_S1_21 3_G1_marciapiede
 SLEFR_Gr_2A_S1_21 4_G1_traverso
 SLEFR_Gr_2A_S1_21 5_G2_veletta
 SLEFR_Gr_2A_S1_21 6_G2_impianti
 SLEFR_Gr_2A_S1_21 7_G2_parapetti
 SLEFR_Gr_2A_S1_21 8_G2_pavimentazione
 SLEFR_Gr_2A_S1_21 9_G2_sicurvia
 SLEFR_Gr_2A_S1_21 11_Q1k
 SLEFR_Gr_2A_S1_21 10_q1k
 SLEFR_Gr_2A_S1_21 13_Q2k
 SLEFR_Gr_2A_S1_21 12_q2k
 SLEFR_Gr_2A_S1_21 16_Q_zr
 SLEFR_Gr_2A_S1_21 17_qfk
 SLEFR_Gr_2A_S1_21 20_q4_centr
 SLEFR_Gr_2A_S1_21 19_q3_frenatura
 SLEFR_Gr_2A_S1_21 15_Q3k
 SLEFR_Gr_2A_S1_21 14_q3k
 SLEFR_Gr_2A_S1_21 24_q_vento_tot
 SLEFR_Gr_2A_S1_21 23_q_temp F
 SLEFR_Gr_2A_S1_21 22_q_ritiro
 SLEFR_Gr_2A_S1_21 21_q8
 SLEFR_Gr_2A_S1_22 DEAD
 SLEFR_Gr_2A_S1_22 1_G1_trave
 SLEFR_Gr_2A_S1_22 2_G1_soletta
 SLEFR_Gr_2A_S1_22 3_G1_marciapiede
 SLEFR_Gr_2A_S1_22 4_G1_traverso

RELAZIONE DI CALCOLO

COMMESSA	LOTTO	CODIFICA	DOCUMENTO	REV.	FOGLIO
NRIJ	01 D 29	CL	IV0104 001	B	324 di 341

SLEFR_Gr_2A_S1_22 5_G2_veletta
 SLEFR_Gr_2A_S1_22 6_G2_impianti
 SLEFR_Gr_2A_S1_22 7_G2_parapetti
 SLEFR_Gr_2A_S1_22 8_G2_pavimentazione
 SLEFR_Gr_2A_S1_22 9_G2_sicurvia
 SLEFR_Gr_2A_S1_22 11_Q1k
 SLEFR_Gr_2A_S1_22 10_q1k
 SLEFR_Gr_2A_S1_22 13_Q2k
 SLEFR_Gr_2A_S1_22 12_q2k
 SLEFR_Gr_2A_S1_22 16_Q_zr
 SLEFR_Gr_2A_S1_22 17_qfk
 SLEFR_Gr_2A_S1_22 20_q4_centr
 SLEFR_Gr_2A_S1_22 19_q3_frenatura
 SLEFR_Gr_2A_S1_22 15_Q3k
 SLEFR_Gr_2A_S1_22 14_q3k
 SLEFR_Gr_2A_S1_22 24_q_vento_tot
 SLEFR_Gr_2A_S1_22 23_q_temp F
 SLEFR_Gr_2A_S1_22 22_q_ritiro
 SLEFR_Gr_2A_S1_22 21_q8
 SLEFR_Gr_2A_S1_23 DEAD
 SLEFR_Gr_2A_S1_23 1_G1_trave
 SLEFR_Gr_2A_S1_23 2_G1_soletta
 SLEFR_Gr_2A_S1_23 3_G1_marciapiede
 SLEFR_Gr_2A_S1_23 4_G1_traverso
 SLEFR_Gr_2A_S1_23 5_G2_veletta
 SLEFR_Gr_2A_S1_23 6_G2_impianti
 SLEFR_Gr_2A_S1_23 7_G2_parapetti
 SLEFR_Gr_2A_S1_23 8_G2_pavimentazione
 SLEFR_Gr_2A_S1_23 9_G2_sicurvia
 SLEFR_Gr_2A_S1_23 11_Q1k
 SLEFR_Gr_2A_S1_23 10_q1k
 SLEFR_Gr_2A_S1_23 13_Q2k
 SLEFR_Gr_2A_S1_23 12_q2k
 SLEFR_Gr_2A_S1_23 16_Q_zr
 SLEFR_Gr_2A_S1_23 17_qfk
 SLEFR_Gr_2A_S1_23 20_q4_centr
 SLEFR_Gr_2A_S1_23 19_q3_frenatura
 SLEFR_Gr_2A_S1_23 15_Q3k
 SLEFR_Gr_2A_S1_23 14_q3k
 SLEFR_Gr_2A_S1_23 24_q_vento_tot
 SLEFR_Gr_2A_S1_23 23_q_temp F
 SLEFR_Gr_2A_S1_23 22_q_ritiro
 SLEFR_Gr_2A_S1_23 21_q8
 SLEFR_Gr_2A_S1_24 DEAD
 SLEFR_Gr_2A_S1_24 1_G1_trave
 SLEFR_Gr_2A_S1_24 2_G1_soletta
 SLEFR_Gr_2A_S1_24 3_G1_marciapiede
 SLEFR_Gr_2A_S1_24 4_G1_traverso
 SLEFR_Gr_2A_S1_24 5_G2_veletta
 SLEFR_Gr_2A_S1_24 6_G2_impianti
 SLEFR_Gr_2A_S1_24 7_G2_parapetti
 SLEFR_Gr_2A_S1_24 8_G2_pavimentazione
 SLEFR_Gr_2A_S1_24 9_G2_sicurvia
 SLEFR_Gr_2A_S1_24 11_Q1k
 SLEFR_Gr_2A_S1_24 10_q1k
 SLEFR_Gr_2A_S1_24 13_Q2k
 SLEFR_Gr_2A_S1_24 12_q2k
 SLEFR_Gr_2A_S1_24 16_Q_zr
 SLEFR_Gr_2A_S1_24 17_qfk
 SLEFR_Gr_2A_S1_24 20_q4_centr
 SLEFR_Gr_2A_S1_24 19_q3_frenatura
 SLEFR_Gr_2A_S1_24 15_Q3k

RELAZIONE DI CALCOLO

COMMESSA	LOTTO	CODIFICA	DOCUMENTO	REV.	FOGLIO
NRIJ	01 D 29	CL	IV0104 001	B	325 di 341

SLEFR_Gr_2A_S1_24 14_q3k
 SLEFR_Gr_2A_S1_24 24_q_vento_tot
 SLEFR_Gr_2A_S1_24 23_q_temp F
 SLEFR_Gr_2A_S1_24 22_q_ritiro
 SLEFR_Gr_2A_S1_24 21_q8
 SLEFR_Gr_2A_S1_25 DEAD
 SLEFR_Gr_2A_S1_25 1_G1_trave
 SLEFR_Gr_2A_S1_25 2_G1_soletta
 SLEFR_Gr_2A_S1_25 3_G1_marciapiede
 SLEFR_Gr_2A_S1_25 4_G1_traverso
 SLEFR_Gr_2A_S1_25 5_G2_veletta
 SLEFR_Gr_2A_S1_25 6_G2_impianti
 SLEFR_Gr_2A_S1_25 7_G2_parapetti
 SLEFR_Gr_2A_S1_25 8_G2_pavimentazione
 SLEFR_Gr_2A_S1_25 9_G2_sicurvia
 SLEFR_Gr_2A_S1_25 11_Q1k
 SLEFR_Gr_2A_S1_25 10_q1k
 SLEFR_Gr_2A_S1_25 13_Q2k
 SLEFR_Gr_2A_S1_25 12_q2k
 SLEFR_Gr_2A_S1_25 16_Q_zr
 SLEFR_Gr_2A_S1_25 17_qfk
 SLEFR_Gr_2A_S1_25 20_q4_centr
 SLEFR_Gr_2A_S1_25 19_q3_frenatura
 SLEFR_Gr_2A_S1_25 15_Q3k
 SLEFR_Gr_2A_S1_25 14_q3k
 SLEFR_Gr_2A_S1_25 24_q_vento_tot
 SLEFR_Gr_2A_S1_25 23_q_temp F
 SLEFR_Gr_2A_S1_25 22_q_ritiro
 SLEFR_Gr_2A_S1_25 21_q8
 SLEFR_Gr_2A_S1_26 DEAD
 SLEFR_Gr_2A_S1_26 1_G1_trave
 SLEFR_Gr_2A_S1_26 2_G1_soletta
 SLEFR_Gr_2A_S1_26 3_G1_marciapiede
 SLEFR_Gr_2A_S1_26 4_G1_traverso
 SLEFR_Gr_2A_S1_26 5_G2_veletta
 SLEFR_Gr_2A_S1_26 6_G2_impianti
 SLEFR_Gr_2A_S1_26 7_G2_parapetti
 SLEFR_Gr_2A_S1_26 8_G2_pavimentazione
 SLEFR_Gr_2A_S1_26 9_G2_sicurvia
 SLEFR_Gr_2A_S1_26 11_Q1k
 SLEFR_Gr_2A_S1_26 10_q1k
 SLEFR_Gr_2A_S1_26 13_Q2k
 SLEFR_Gr_2A_S1_26 12_q2k
 SLEFR_Gr_2A_S1_26 16_Q_zr
 SLEFR_Gr_2A_S1_26 17_qfk
 SLEFR_Gr_2A_S1_26 20_q4_centr
 SLEFR_Gr_2A_S1_26 19_q3_frenatura
 SLEFR_Gr_2A_S1_26 15_Q3k
 SLEFR_Gr_2A_S1_26 14_q3k
 SLEFR_Gr_2A_S1_26 24_q_vento_tot
 SLEFR_Gr_2A_S1_26 23_q_temp F
 SLEFR_Gr_2A_S1_26 22_q_ritiro
 SLEFR_Gr_2A_S1_26 21_q8
 SLEFR_Gr_2A_S1_27 DEAD
 SLEFR_Gr_2A_S1_27 1_G1_trave
 SLEFR_Gr_2A_S1_27 2_G1_soletta
 SLEFR_Gr_2A_S1_27 3_G1_marciapiede
 SLEFR_Gr_2A_S1_27 4_G1_traverso
 SLEFR_Gr_2A_S1_27 5_G2_veletta
 SLEFR_Gr_2A_S1_27 6_G2_impianti
 SLEFR_Gr_2A_S1_27 7_G2_parapetti
 SLEFR_Gr_2A_S1_27 8_G2_pavimentazione

RELAZIONE DI CALCOLO

COMMESSA	LOTTO	CODIFICA	DOCUMENTO	REV.	FOGLIO
NRIJ	01 D 29	CL	IV0104 001	B	326 di 341

SLEFR_Gr_2A_S1_27	9_G2_sicurvia
SLEFR_Gr_2A_S1_27	11_Q1k
SLEFR_Gr_2A_S1_27	10_q1k
SLEFR_Gr_2A_S1_27	13_Q2k
SLEFR_Gr_2A_S1_27	12_q2k
SLEFR_Gr_2A_S1_27	16_Q_zr
SLEFR_Gr_2A_S1_27	17_qfk
SLEFR_Gr_2A_S1_27	20_q4_centr
SLEFR_Gr_2A_S1_27	19_q3_frenatura
SLEFR_Gr_2A_S1_27	15_Q3k
SLEFR_Gr_2A_S1_27	14_q3k
SLEFR_Gr_2A_S1_27	24_q_vento_tot
SLEFR_Gr_2A_S1_27	23_q_temp F
SLEFR_Gr_2A_S1_27	22_q_ritiro
SLEFR_Gr_2A_S1_27	21_q8
SLEFR_Gr_2A_S1_28	DEAD
SLEFR_Gr_2A_S1_28	1_G1_trave
SLEFR_Gr_2A_S1_28	2_G1_soletta
SLEFR_Gr_2A_S1_28	3_G1_marciapiede
SLEFR_Gr_2A_S1_28	4_G1_traverso
SLEFR_Gr_2A_S1_28	5_G2_veletta
SLEFR_Gr_2A_S1_28	6_G2_impianti
SLEFR_Gr_2A_S1_28	7_G2_parapetti
SLEFR_Gr_2A_S1_28	8_G2_pavimentazione
SLEFR_Gr_2A_S1_28	9_G2_sicurvia
SLEFR_Gr_2A_S1_28	11_Q1k
SLEFR_Gr_2A_S1_28	10_q1k
SLEFR_Gr_2A_S1_28	13_Q2k
SLEFR_Gr_2A_S1_28	12_q2k
SLEFR_Gr_2A_S1_28	16_Q_zr
SLEFR_Gr_2A_S1_28	17_qfk
SLEFR_Gr_2A_S1_28	20_q4_centr
SLEFR_Gr_2A_S1_28	19_q3_frenatura
SLEFR_Gr_2A_S1_28	15_Q3k
SLEFR_Gr_2A_S1_28	14_q3k
SLEFR_Gr_2A_S1_28	24_q_vento_tot
SLEFR_Gr_2A_S1_28	23_q_temp F
SLEFR_Gr_2A_S1_28	22_q_ritiro
SLEFR_Gr_2A_S1_28	21_q8
SLEFR_Gr_2A_S1_29	DEAD
SLEFR_Gr_2A_S1_29	1_G1_trave
SLEFR_Gr_2A_S1_29	2_G1_soletta
SLEFR_Gr_2A_S1_29	3_G1_marciapiede
SLEFR_Gr_2A_S1_29	4_G1_traverso
SLEFR_Gr_2A_S1_29	5_G2_veletta
SLEFR_Gr_2A_S1_29	6_G2_impianti
SLEFR_Gr_2A_S1_29	7_G2_parapetti
SLEFR_Gr_2A_S1_29	8_G2_pavimentazione
SLEFR_Gr_2A_S1_29	9_G2_sicurvia
SLEFR_Gr_2A_S1_29	11_Q1k
SLEFR_Gr_2A_S1_29	10_q1k
SLEFR_Gr_2A_S1_29	13_Q2k
SLEFR_Gr_2A_S1_29	12_q2k
SLEFR_Gr_2A_S1_29	16_Q_zr
SLEFR_Gr_2A_S1_29	17_qfk
SLEFR_Gr_2A_S1_29	20_q4_centr
SLEFR_Gr_2A_S1_29	19_q3_frenatura
SLEFR_Gr_2A_S1_29	15_Q3k
SLEFR_Gr_2A_S1_29	14_q3k
SLEFR_Gr_2A_S1_29	24_q_vento_tot
SLEFR_Gr_2A_S1_29	23_q_temp F
SLEFR_Gr_2A_S1_29	22_q_ritiro

RELAZIONE DI CALCOLO

COMMESSA	LOTTO	CODIFICA	DOCUMENTO	REV.	FOGLIO
NRIJ	01 D 29	CL	IV0104 001	B	327 di 341

SLEFR_Gr_2A_S1_29 21_q8
 SLEFR_Gr_2A_S1_30 DEAD
 SLEFR_Gr_2A_S1_30 1_G1_trave
 SLEFR_Gr_2A_S1_30 2_G1_soletta
 SLEFR_Gr_2A_S1_30 3_G1_marciapiede
 SLEFR_Gr_2A_S1_30 4_G1_traverso
 SLEFR_Gr_2A_S1_30 5_G2_veletta
 SLEFR_Gr_2A_S1_30 6_G2_impianti
 SLEFR_Gr_2A_S1_30 7_G2_parapetti
 SLEFR_Gr_2A_S1_30 8_G2_pavimentazione
 SLEFR_Gr_2A_S1_30 9_G2_sicurvia
 SLEFR_Gr_2A_S1_30 11_Q1k
 SLEFR_Gr_2A_S1_30 10_q1k
 SLEFR_Gr_2A_S1_30 13_Q2k
 SLEFR_Gr_2A_S1_30 12_q2k
 SLEFR_Gr_2A_S1_30 16_Q_zr
 SLEFR_Gr_2A_S1_30 17_qfk
 SLEFR_Gr_2A_S1_30 20_q4_centr
 SLEFR_Gr_2A_S1_30 19_q3_frenatura
 SLEFR_Gr_2A_S1_30 15_Q3k
 SLEFR_Gr_2A_S1_30 14_q3k
 SLEFR_Gr_2A_S1_30 24_q_vento_tot
 SLEFR_Gr_2A_S1_30 23_q_temp F
 SLEFR_Gr_2A_S1_30 22_q_ritiro
 SLEFR_Gr_2A_S1_30 21_q8
 SLEFR_Gr_2A_S1_31 DEAD
 SLEFR_Gr_2A_S1_31 1_G1_trave
 SLEFR_Gr_2A_S1_31 2_G1_soletta
 SLEFR_Gr_2A_S1_31 3_G1_marciapiede
 SLEFR_Gr_2A_S1_31 4_G1_traverso
 SLEFR_Gr_2A_S1_31 5_G2_veletta
 SLEFR_Gr_2A_S1_31 6_G2_impianti
 SLEFR_Gr_2A_S1_31 7_G2_parapetti
 SLEFR_Gr_2A_S1_31 8_G2_pavimentazione
 SLEFR_Gr_2A_S1_31 9_G2_sicurvia
 SLEFR_Gr_2A_S1_31 11_Q1k
 SLEFR_Gr_2A_S1_31 10_q1k
 SLEFR_Gr_2A_S1_31 13_Q2k
 SLEFR_Gr_2A_S1_31 12_q2k
 SLEFR_Gr_2A_S1_31 16_Q_zr
 SLEFR_Gr_2A_S1_31 17_qfk
 SLEFR_Gr_2A_S1_31 20_q4_centr
 SLEFR_Gr_2A_S1_31 19_q3_frenatura
 SLEFR_Gr_2A_S1_31 15_Q3k
 SLEFR_Gr_2A_S1_31 14_q3k
 SLEFR_Gr_2A_S1_31 24_q_vento_tot
 SLEFR_Gr_2A_S1_31 23_q_temp F
 SLEFR_Gr_2A_S1_31 22_q_ritiro
 SLEFR_Gr_2A_S1_31 21_q8
 SLEFR_Gr_2A_S1_32 DEAD
 SLEFR_Gr_2A_S1_32 1_G1_trave
 SLEFR_Gr_2A_S1_32 2_G1_soletta
 SLEFR_Gr_2A_S1_32 3_G1_marciapiede
 SLEFR_Gr_2A_S1_32 4_G1_traverso
 SLEFR_Gr_2A_S1_32 5_G2_veletta
 SLEFR_Gr_2A_S1_32 6_G2_impianti
 SLEFR_Gr_2A_S1_32 7_G2_parapetti
 SLEFR_Gr_2A_S1_32 8_G2_pavimentazione
 SLEFR_Gr_2A_S1_32 9_G2_sicurvia
 SLEFR_Gr_2A_S1_32 11_Q1k
 SLEFR_Gr_2A_S1_32 10_q1k
 SLEFR_Gr_2A_S1_32 13_Q2k

RELAZIONE DI CALCOLO

COMMESSA	LOTTO	CODIFICA	DOCUMENTO	REV.	FOGLIO
NRIJ	01 D 29	CL	IV0104 001	B	328 di 341

SLEFR_Gr_2A_S1_32	12_q2k
SLEFR_Gr_2A_S1_32	16_Q_zr
SLEFR_Gr_2A_S1_32	17_qfk
SLEFR_Gr_2A_S1_32	20_q4_centr
SLEFR_Gr_2A_S1_32	19_q3_frenatura
SLEFR_Gr_2A_S1_32	15_Q3k
SLEFR_Gr_2A_S1_32	14_q3k
SLEFR_Gr_2A_S1_32	24_q_vento_tot
SLEFR_Gr_2A_S1_32	23_q_temp F
SLEFR_Gr_2A_S1_32	22_q_ritiro
SLEFR_Gr_2A_S1_32	21_q8
SLEFR_Gr_2A_S1_33	DEAD
SLEFR_Gr_2A_S1_33	1_G1_trave
SLEFR_Gr_2A_S1_33	2_G1_soletta
SLEFR_Gr_2A_S1_33	3_G1_marciapiede
SLEFR_Gr_2A_S1_33	4_G1_traverso
SLEFR_Gr_2A_S1_33	5_G2_veletta
SLEFR_Gr_2A_S1_33	6_G2_impianti
SLEFR_Gr_2A_S1_33	7_G2_parapetti
SLEFR_Gr_2A_S1_33	8_G2_pavimentazione
SLEFR_Gr_2A_S1_33	9_G2_sicurvia
SLEFR_Gr_2A_S1_33	11_Q1k
SLEFR_Gr_2A_S1_33	10_q1k
SLEFR_Gr_2A_S1_33	13_Q2k
SLEFR_Gr_2A_S1_33	12_q2k
SLEFR_Gr_2A_S1_33	16_Q_zr
SLEFR_Gr_2A_S1_33	17_qfk
SLEFR_Gr_2A_S1_33	20_q4_centr
SLEFR_Gr_2A_S1_33	19_q3_frenatura
SLEFR_Gr_2A_S1_33	15_Q3k
SLEFR_Gr_2A_S1_33	14_q3k
SLEFR_Gr_2A_S1_33	24_q_vento_tot
SLEFR_Gr_2A_S1_33	23_q_temp F
SLEFR_Gr_2A_S1_33	22_q_ritiro
SLEFR_Gr_2A_S1_33	21_q8
SLEFR_Gr_2A_S1_34	DEAD
SLEFR_Gr_2A_S1_34	1_G1_trave
SLEFR_Gr_2A_S1_34	2_G1_soletta
SLEFR_Gr_2A_S1_34	3_G1_marciapiede
SLEFR_Gr_2A_S1_34	4_G1_traverso
SLEFR_Gr_2A_S1_34	5_G2_veletta
SLEFR_Gr_2A_S1_34	6_G2_impianti
SLEFR_Gr_2A_S1_34	7_G2_parapetti
SLEFR_Gr_2A_S1_34	8_G2_pavimentazione
SLEFR_Gr_2A_S1_34	9_G2_sicurvia
SLEFR_Gr_2A_S1_34	11_Q1k
SLEFR_Gr_2A_S1_34	10_q1k
SLEFR_Gr_2A_S1_34	13_Q2k
SLEFR_Gr_2A_S1_34	12_q2k
SLEFR_Gr_2A_S1_34	16_Q_zr
SLEFR_Gr_2A_S1_34	17_qfk
SLEFR_Gr_2A_S1_34	20_q4_centr
SLEFR_Gr_2A_S1_34	19_q3_frenatura
SLEFR_Gr_2A_S1_34	15_Q3k
SLEFR_Gr_2A_S1_34	14_q3k
SLEFR_Gr_2A_S1_34	24_q_vento_tot
SLEFR_Gr_2A_S1_34	23_q_temp F
SLEFR_Gr_2A_S1_34	22_q_ritiro
SLEFR_Gr_2A_S1_34	21_q8
SLEFR_Gr_2A_S1_35	DEAD
SLEFR_Gr_2A_S1_35	1_G1_trave
SLEFR_Gr_2A_S1_35	2_G1_soletta

RELAZIONE DI CALCOLO

COMMESSA	LOTTO	CODIFICA	DOCUMENTO	REV.	FOGLIO
NRIJ	01 D 29	CL	IV0104 001	B	329 di 341

SLEFR_Gr_2A_S1_35	3_G1_marciapiede
SLEFR_Gr_2A_S1_35	4_G1_traverso
SLEFR_Gr_2A_S1_35	5_G2_veletta
SLEFR_Gr_2A_S1_35	6_G2_impianti
SLEFR_Gr_2A_S1_35	7_G2_parapetti
SLEFR_Gr_2A_S1_35	8_G2_pavimentazione
SLEFR_Gr_2A_S1_35	9_G2_sicurvia
SLEFR_Gr_2A_S1_35	11_Q1k
SLEFR_Gr_2A_S1_35	10_q1k
SLEFR_Gr_2A_S1_35	13_Q2k
SLEFR_Gr_2A_S1_35	12_q2k
SLEFR_Gr_2A_S1_35	16_Q_zr
SLEFR_Gr_2A_S1_35	17_qfk
SLEFR_Gr_2A_S1_35	20_q4_centr
SLEFR_Gr_2A_S1_35	19_q3_frenatura
SLEFR_Gr_2A_S1_35	15_Q3k
SLEFR_Gr_2A_S1_35	14_q3k
SLEFR_Gr_2A_S1_35	24_q_vento_tot
SLEFR_Gr_2A_S1_35	23_q_temp F
SLEFR_Gr_2A_S1_35	22_q_ritiro
SLEFR_Gr_2A_S1_35	21_q8
SLEFR_Gr_2A_S1_36	DEAD
SLEFR_Gr_2A_S1_36	1_G1_trave
SLEFR_Gr_2A_S1_36	2_G1_soletta
SLEFR_Gr_2A_S1_36	3_G1_marciapiede
SLEFR_Gr_2A_S1_36	4_G1_traverso
SLEFR_Gr_2A_S1_36	5_G2_veletta
SLEFR_Gr_2A_S1_36	6_G2_impianti
SLEFR_Gr_2A_S1_36	7_G2_parapetti
SLEFR_Gr_2A_S1_36	8_G2_pavimentazione
SLEFR_Gr_2A_S1_36	9_G2_sicurvia
SLEFR_Gr_2A_S1_36	11_Q1k
SLEFR_Gr_2A_S1_36	10_q1k
SLEFR_Gr_2A_S1_36	13_Q2k
SLEFR_Gr_2A_S1_36	12_q2k
SLEFR_Gr_2A_S1_36	16_Q_zr
SLEFR_Gr_2A_S1_36	17_qfk
SLEFR_Gr_2A_S1_36	20_q4_centr
SLEFR_Gr_2A_S1_36	19_q3_frenatura
SLEFR_Gr_2A_S1_36	15_Q3k
SLEFR_Gr_2A_S1_36	14_q3k
SLEFR_Gr_2A_S1_36	24_q_vento_tot
SLEFR_Gr_2A_S1_36	23_q_temp F
SLEFR_Gr_2A_S1_36	22_q_ritiro
SLEFR_Gr_2A_S1_36	21_q8
SLEFR_Gr_2A_S1_37	DEAD
SLEFR_Gr_2A_S1_37	1_G1_trave
SLEFR_Gr_2A_S1_37	2_G1_soletta
SLEFR_Gr_2A_S1_37	3_G1_marciapiede
SLEFR_Gr_2A_S1_37	4_G1_traverso
SLEFR_Gr_2A_S1_37	5_G2_veletta
SLEFR_Gr_2A_S1_37	6_G2_impianti
SLEFR_Gr_2A_S1_37	7_G2_parapetti
SLEFR_Gr_2A_S1_37	8_G2_pavimentazione
SLEFR_Gr_2A_S1_37	9_G2_sicurvia
SLEFR_Gr_2A_S1_37	11_Q1k
SLEFR_Gr_2A_S1_37	10_q1k
SLEFR_Gr_2A_S1_37	13_Q2k
SLEFR_Gr_2A_S1_37	12_q2k
SLEFR_Gr_2A_S1_37	16_Q_zr
SLEFR_Gr_2A_S1_37	17_qfk
SLEFR_Gr_2A_S1_37	20_q4_centr

RELAZIONE DI CALCOLO

COMMESSA	LOTTO	CODIFICA	DOCUMENTO	REV.	FOGLIO
NRIJ	01 D 29	CL	IV0104 001	B	330 di 341

SLEFR_Gr_2A_S1_37 19_q3_frenatura
 SLEFR_Gr_2A_S1_37 15_Q3k
 SLEFR_Gr_2A_S1_37 14_q3k
 SLEFR_Gr_2A_S1_37 24_q_vento_tot
 SLEFR_Gr_2A_S1_37 23_q_temp F
 SLEFR_Gr_2A_S1_37 22_q_ritiro
 SLEFR_Gr_2A_S1_37 21_q8
 SLEFR_Gr_2A_S1_38 DEAD
 SLEFR_Gr_2A_S1_38 1_G1_trave
 SLEFR_Gr_2A_S1_38 2_G1_soletta
 SLEFR_Gr_2A_S1_38 3_G1_marciapiede
 SLEFR_Gr_2A_S1_38 4_G1_traverso
 SLEFR_Gr_2A_S1_38 5_G2_veletta
 SLEFR_Gr_2A_S1_38 6_G2_impianti
 SLEFR_Gr_2A_S1_38 7_G2_parapetti
 SLEFR_Gr_2A_S1_38 8_G2_pavimentazione
 SLEFR_Gr_2A_S1_38 9_G2_sicurvia
 SLEFR_Gr_2A_S1_38 11_Q1k
 SLEFR_Gr_2A_S1_38 10_q1k
 SLEFR_Gr_2A_S1_38 13_Q2k
 SLEFR_Gr_2A_S1_38 12_q2k
 SLEFR_Gr_2A_S1_38 16_Q_zr
 SLEFR_Gr_2A_S1_38 17_qfk
 SLEFR_Gr_2A_S1_38 20_q4_centr
 SLEFR_Gr_2A_S1_38 19_q3_frenatura
 SLEFR_Gr_2A_S1_38 15_Q3k
 SLEFR_Gr_2A_S1_38 14_q3k
 SLEFR_Gr_2A_S1_38 24_q_vento_tot
 SLEFR_Gr_2A_S1_38 23_q_temp F
 SLEFR_Gr_2A_S1_38 22_q_ritiro
 SLEFR_Gr_2A_S1_38 21_q8
 SLEFR_Gr_2A_S1_39 DEAD
 SLEFR_Gr_2A_S1_39 1_G1_trave
 SLEFR_Gr_2A_S1_39 2_G1_soletta
 SLEFR_Gr_2A_S1_39 3_G1_marciapiede
 SLEFR_Gr_2A_S1_39 4_G1_traverso
 SLEFR_Gr_2A_S1_39 5_G2_veletta
 SLEFR_Gr_2A_S1_39 6_G2_impianti
 SLEFR_Gr_2A_S1_39 7_G2_parapetti
 SLEFR_Gr_2A_S1_39 8_G2_pavimentazione
 SLEFR_Gr_2A_S1_39 9_G2_sicurvia
 SLEFR_Gr_2A_S1_39 11_Q1k
 SLEFR_Gr_2A_S1_39 10_q1k
 SLEFR_Gr_2A_S1_39 13_Q2k
 SLEFR_Gr_2A_S1_39 12_q2k
 SLEFR_Gr_2A_S1_39 16_Q_zr
 SLEFR_Gr_2A_S1_39 17_qfk
 SLEFR_Gr_2A_S1_39 20_q4_centr
 SLEFR_Gr_2A_S1_39 19_q3_frenatura
 SLEFR_Gr_2A_S1_39 15_Q3k
 SLEFR_Gr_2A_S1_39 14_q3k
 SLEFR_Gr_2A_S1_39 24_q_vento_tot
 SLEFR_Gr_2A_S1_39 23_q_temp F
 SLEFR_Gr_2A_S1_39 22_q_ritiro
 SLEFR_Gr_2A_S1_39 21_q8
 SLEFR_Gr_2A_S1_40 DEAD
 SLEFR_Gr_2A_S1_40 1_G1_trave
 SLEFR_Gr_2A_S1_40 2_G1_soletta
 SLEFR_Gr_2A_S1_40 3_G1_marciapiede
 SLEFR_Gr_2A_S1_40 4_G1_traverso
 SLEFR_Gr_2A_S1_40 5_G2_veletta
 SLEFR_Gr_2A_S1_40 6_G2_impianti

RELAZIONE DI CALCOLO

COMMESSA	LOTTO	CODIFICA	DOCUMENTO	REV.	FOGLIO
NRIJ	01 D 29	CL	IV0104 001	B	331 di 341

SLEFR_Gr_2A_S1_40 7_G2_parapetti
 SLEFR_Gr_2A_S1_40 8_G2_pavimentazione
 SLEFR_Gr_2A_S1_40 9_G2_sicurvia
 SLEFR_Gr_2A_S1_40 11_Q1k
 SLEFR_Gr_2A_S1_40 10_q1k
 SLEFR_Gr_2A_S1_40 13_Q2k
 SLEFR_Gr_2A_S1_40 12_q2k
 SLEFR_Gr_2A_S1_40 16_Q_zr
 SLEFR_Gr_2A_S1_40 17_qfk
 SLEFR_Gr_2A_S1_40 20_q4_centra
 SLEFR_Gr_2A_S1_40 19_q3_frenatura
 SLEFR_Gr_2A_S1_40 15_Q3k
 SLEFR_Gr_2A_S1_40 14_q3k
 SLEFR_Gr_2A_S1_40 24_q_vento_tot
 SLEFR_Gr_2A_S1_40 23_q_temp F
 SLEFR_Gr_2A_S1_40 22_q_ritiro
 SLEFR_Gr_2A_S1_40 21_q8
 SLEQP_Gr_1_S1_1 DEAD
 SLEQP_Gr_1_S1_1 1_G1_trave
 SLEQP_Gr_1_S1_1 2_G1_soletta
 SLEQP_Gr_1_S1_1 3_G1_marciapiede
 SLEQP_Gr_1_S1_1 4_G1_traverso
 SLEQP_Gr_1_S1_1 5_G2_veletta
 SLEQP_Gr_1_S1_1 6_G2_impianti
 SLEQP_Gr_1_S1_1 7_G2_parapetti
 SLEQP_Gr_1_S1_1 8_G2_pavimentazione
 SLEQP_Gr_1_S1_1 9_G2_sicurvia
 SLEQP_Gr_1_S1_1 11_Q1k
 SLEQP_Gr_1_S1_1 10_q1k
 SLEQP_Gr_1_S1_1 13_Q2k
 SLEQP_Gr_1_S1_1 12_q2k
 SLEQP_Gr_1_S1_1 16_Q_zr
 SLEQP_Gr_1_S1_1 17_qfk
 SLEQP_Gr_1_S1_1 20_q4_centra
 SLEQP_Gr_1_S1_1 19_q3_frenatura
 SLEQP_Gr_1_S1_1 15_Q3k
 SLEQP_Gr_1_S1_1 14_q3k
 SLEQP_Gr_1_S1_1 24_q_vento_tot
 SLEQP_Gr_1_S1_1 23_q_temp F
 SLEQP_Gr_1_S1_1 22_q_ritiro
 SLEQP_Gr_1_S1_1 21_q8
 SLEQP_Gr_1_S1_2 DEAD
 SLEQP_Gr_1_S1_2 1_G1_trave
 SLEQP_Gr_1_S1_2 2_G1_soletta
 SLEQP_Gr_1_S1_2 3_G1_marciapiede
 SLEQP_Gr_1_S1_2 4_G1_traverso
 SLEQP_Gr_1_S1_2 5_G2_veletta
 SLEQP_Gr_1_S1_2 6_G2_impianti
 SLEQP_Gr_1_S1_2 7_G2_parapetti
 SLEQP_Gr_1_S1_2 8_G2_pavimentazione
 SLEQP_Gr_1_S1_2 9_G2_sicurvia
 SLEQP_Gr_1_S1_2 11_Q1k
 SLEQP_Gr_1_S1_2 10_q1k
 SLEQP_Gr_1_S1_2 13_Q2k
 SLEQP_Gr_1_S1_2 12_q2k
 SLEQP_Gr_1_S1_2 16_Q_zr
 SLEQP_Gr_1_S1_2 17_qfk
 SLEQP_Gr_1_S1_2 20_q4_centra
 SLEQP_Gr_1_S1_2 19_q3_frenatura
 SLEQP_Gr_1_S1_2 15_Q3k
 SLEQP_Gr_1_S1_2 14_q3k
 SLEQP_Gr_1_S1_2 24_q_vento_tot

RELAZIONE DI CALCOLO

COMMESSA	LOTTO	CODIFICA	DOCUMENTO	REV.	FOGLIO
NRIJ	01 D 29	CL	IV0104 001	B	332 di 341

SLEQP_Gr_1_S1_2	23_q_temp F
SLEQP_Gr_1_S1_2	22_q_ritiro
SLEQP_Gr_1_S1_2	21_q8
SLEQP_Gr_1_S1_3	DEAD
SLEQP_Gr_1_S1_3	1_G1_trave
SLEQP_Gr_1_S1_3	2_G1_soletta
SLEQP_Gr_1_S1_3	3_G1_marciapiede
SLEQP_Gr_1_S1_3	4_G1_traverso
SLEQP_Gr_1_S1_3	5_G2_veletta
SLEQP_Gr_1_S1_3	6_G2_impianti
SLEQP_Gr_1_S1_3	7_G2_parapetti
SLEQP_Gr_1_S1_3	8_G2_pavimentazione
SLEQP_Gr_1_S1_3	9_G2_sicurvia
SLEQP_Gr_1_S1_3	11_Q1k
SLEQP_Gr_1_S1_3	10_q1k
SLEQP_Gr_1_S1_3	13_Q2k
SLEQP_Gr_1_S1_3	12_q2k
SLEQP_Gr_1_S1_3	16_Q_zr
SLEQP_Gr_1_S1_3	17_qfk
SLEQP_Gr_1_S1_3	20_q4_centr
SLEQP_Gr_1_S1_3	19_q3_frenatura
SLEQP_Gr_1_S1_3	15_Q3k
SLEQP_Gr_1_S1_3	14_q3k
SLEQP_Gr_1_S1_3	24_q_vento_tot
SLEQP_Gr_1_S1_3	23_q_temp F
SLEQP_Gr_1_S1_3	22_q_ritiro
SLEQP_Gr_1_S1_3	21_q8
SLEQP_Gr_1_S1_4	DEAD
SLEQP_Gr_1_S1_4	1_G1_trave
SLEQP_Gr_1_S1_4	2_G1_soletta
SLEQP_Gr_1_S1_4	3_G1_marciapiede
SLEQP_Gr_1_S1_4	4_G1_traverso
SLEQP_Gr_1_S1_4	5_G2_veletta
SLEQP_Gr_1_S1_4	6_G2_impianti
SLEQP_Gr_1_S1_4	7_G2_parapetti
SLEQP_Gr_1_S1_4	8_G2_pavimentazione
SLEQP_Gr_1_S1_4	9_G2_sicurvia
SLEQP_Gr_1_S1_4	11_Q1k
SLEQP_Gr_1_S1_4	10_q1k
SLEQP_Gr_1_S1_4	13_Q2k
SLEQP_Gr_1_S1_4	12_q2k
SLEQP_Gr_1_S1_4	16_Q_zr
SLEQP_Gr_1_S1_4	17_qfk
SLEQP_Gr_1_S1_4	20_q4_centr
SLEQP_Gr_1_S1_4	19_q3_frenatura
SLEQP_Gr_1_S1_4	15_Q3k
SLEQP_Gr_1_S1_4	14_q3k
SLEQP_Gr_1_S1_4	24_q_vento_tot
SLEQP_Gr_1_S1_4	23_q_temp F
SLEQP_Gr_1_S1_4	22_q_ritiro
SLEQP_Gr_1_S1_4	21_q8
SLEQP_Gr_1_S1_5	DEAD
SLEQP_Gr_1_S1_5	1_G1_trave
SLEQP_Gr_1_S1_5	2_G1_soletta
SLEQP_Gr_1_S1_5	3_G1_marciapiede
SLEQP_Gr_1_S1_5	4_G1_traverso
SLEQP_Gr_1_S1_5	5_G2_veletta
SLEQP_Gr_1_S1_5	6_G2_impianti
SLEQP_Gr_1_S1_5	7_G2_parapetti
SLEQP_Gr_1_S1_5	8_G2_pavimentazione
SLEQP_Gr_1_S1_5	9_G2_sicurvia
SLEQP_Gr_1_S1_5	11_Q1k

RELAZIONE DI CALCOLO

COMMESSA	LOTTO	CODIFICA	DOCUMENTO	REV.	FOGLIO
NRIJ	01 D 29	CL	IV0104 001	B	333 di 341

SLEQP_Gr_1_S1_5	10_q1k
SLEQP_Gr_1_S1_5	13_Q2k
SLEQP_Gr_1_S1_5	12_q2k
SLEQP_Gr_1_S1_5	16_Q_zr
SLEQP_Gr_1_S1_5	17_qfk
SLEQP_Gr_1_S1_5	20_q4_centra
SLEQP_Gr_1_S1_5	19_q3_frenatura
SLEQP_Gr_1_S1_5	15_Q3k
SLEQP_Gr_1_S1_5	14_q3k
SLEQP_Gr_1_S1_5	24_q_vento_tot
SLEQP_Gr_1_S1_5	23_q_temp F
SLEQP_Gr_1_S1_5	22_q_ritiro
SLEQP_Gr_1_S1_5	21_q8
SLEQP_Gr_1_S1_6	DEAD
SLEQP_Gr_1_S1_6	1_G1_trave
SLEQP_Gr_1_S1_6	2_G1_soletta
SLEQP_Gr_1_S1_6	3_G1_marciapiede
SLEQP_Gr_1_S1_6	4_G1_traverso
SLEQP_Gr_1_S1_6	5_G2_veletta
SLEQP_Gr_1_S1_6	6_G2_impianti
SLEQP_Gr_1_S1_6	7_G2_parapetti
SLEQP_Gr_1_S1_6	8_G2_pavimentazione
SLEQP_Gr_1_S1_6	9_G2_sicurvia
SLEQP_Gr_1_S1_6	11_Q1k
SLEQP_Gr_1_S1_6	10_q1k
SLEQP_Gr_1_S1_6	13_Q2k
SLEQP_Gr_1_S1_6	12_q2k
SLEQP_Gr_1_S1_6	16_Q_zr
SLEQP_Gr_1_S1_6	17_qfk
SLEQP_Gr_1_S1_6	20_q4_centra
SLEQP_Gr_1_S1_6	19_q3_frenatura
SLEQP_Gr_1_S1_6	15_Q3k
SLEQP_Gr_1_S1_6	14_q3k
SLEQP_Gr_1_S1_6	24_q_vento_tot
SLEQP_Gr_1_S1_6	23_q_temp F
SLEQP_Gr_1_S1_6	22_q_ritiro
SLEQP_Gr_1_S1_6	21_q8
SLV_1_q1	DEAD
SLV_1_q1	1_G1_trave
SLV_1_q1	2_G1_soletta
SLV_1_q1	3_G1_marciapiede
SLV_1_q1	4_G1_traverso
SLV_1_q1	5_G2_veletta
SLV_1_q1	6_G2_impianti
SLV_1_q1	7_G2_parapetti
SLV_1_q1	8_G2_pavimentazione
SLV_1_q1	9_G2_sicurvia
SLV_1_q1	11_Q1k
SLV_1_q1	10_q1k
SLV_1_q1	13_Q2k
SLV_1_q1	12_q2k
SLV_1_q1	16_Q_zr
SLV_1_q1	17_qfk
SLV_1_q1	20_q4_centra
SLV_1_q1	19_q3_frenatura
SLV_1_q1	15_Q3k
SLV_1_q1	14_q3k
SLV_1_q1	24_q_vento_tot
SLV_1_q1	23_q_temp F
SLV_1_q1	22_q_ritiro
SLV_1_q1	21_q8
SLV_1_q1	SLV_h_U1_1

RELAZIONE DI CALCOLO

COMMESSA	LOTTO	CODIFICA	DOCUMENTO	REV.	FOGLIO
NRIJ	01 D 29	CL	IV0104 001	B	334 di 341

SLV_1_q1 SLV_h_U2_1
 SLV_1_q1 SLV_v_1
 SLV_2_q1 DEAD
 SLV_2_q1 1_G1_trave
 SLV_2_q1 2_G1_soletta
 SLV_2_q1 3_G1_marcia piede
 SLV_2_q1 4_G1_traverso
 SLV_2_q1 5_G2_veletta
 SLV_2_q1 6_G2_impianti
 SLV_2_q1 7_G2_parapetti
 SLV_2_q1 8_G2_pavimentazione
 SLV_2_q1 9_G2_sicurvia
 SLV_2_q1 11_Q1k
 SLV_2_q1 10_q1k
 SLV_2_q1 13_Q2k
 SLV_2_q1 12_q2k
 SLV_2_q1 16_Q_zr
 SLV_2_q1 17_qfk
 SLV_2_q1 20_q4_centr
 SLV_2_q1 19_q3_frenatura
 SLV_2_q1 15_Q3k
 SLV_2_q1 14_q3k
 SLV_2_q1 24_q_vento_tot
 SLV_2_q1 23_q_temp F
 SLV_2_q1 22_q_ritiro
 SLV_2_q1 21_q8
 SLV_2_q1 SLV_h_U1_1
 SLV_2_q1 SLV_h_U2_1
 SLV_2_q1 SLV_v_1
 SLV_3_q1 DEAD
 SLV_3_q1 1_G1_trave
 SLV_3_q1 2_G1_soletta
 SLV_3_q1 3_G1_marcia piede
 SLV_3_q1 4_G1_traverso
 SLV_3_q1 5_G2_veletta
 SLV_3_q1 6_G2_impianti
 SLV_3_q1 7_G2_parapetti
 SLV_3_q1 8_G2_pavimentazione
 SLV_3_q1 9_G2_sicurvia
 SLV_3_q1 11_Q1k
 SLV_3_q1 10_q1k
 SLV_3_q1 13_Q2k
 SLV_3_q1 12_q2k
 SLV_3_q1 16_Q_zr
 SLV_3_q1 17_qfk
 SLV_3_q1 20_q4_centr
 SLV_3_q1 19_q3_frenatura
 SLV_3_q1 15_Q3k
 SLV_3_q1 14_q3k
 SLV_3_q1 24_q_vento_tot
 SLV_3_q1 23_q_temp F
 SLV_3_q1 22_q_ritiro
 SLV_3_q1 21_q8
 SLV_3_q1 SLV_h_U1_1
 SLV_3_q1 SLV_h_U2_1
 SLV_3_q1 SLV_v_1
 SLV_4_q1 DEAD
 SLV_4_q1 1_G1_trave
 SLV_4_q1 2_G1_soletta
 SLV_4_q1 3_G1_marcia piede
 SLV_4_q1 4_G1_traverso
 SLV_4_q1 5_G2_veletta

RELAZIONE DI CALCOLO

COMMESSA	LOTTO	CODIFICA	DOCUMENTO	REV.	FOGLIO
NRIJ	01 D 29	CL	IV0104 001	B	335 di 341

SLV_4_q1 6_G2_impianti
 SLV_4_q1 7_G2_parapetti
 SLV_4_q1 8_G2_pavimentazione
 SLV_4_q1 9_G2_sicurvia
 SLV_4_q1 11_Q1k
 SLV_4_q1 10_q1k
 SLV_4_q1 13_Q2k
 SLV_4_q1 12_q2k
 SLV_4_q1 16_Q_zr
 SLV_4_q1 17_qfk
 SLV_4_q1 20_q4_centra
 SLV_4_q1 19_q3_frenatura
 SLV_4_q1 15_Q3k
 SLV_4_q1 14_q3k
 SLV_4_q1 24_q_vento_tot
 SLV_4_q1 23_q_temp F
 SLV_4_q1 22_q_ritiro
 SLV_4_q1 21_q8
 SLV_4_q1 SLV_h_U1_1
 SLV_4_q1 SLV_h_U2_1
 SLV_4_q1 SLV_v_1
 SLV_5_q1 DEAD
 SLV_5_q1 1_G1_trave
 SLV_5_q1 2_G1_soletta
 SLV_5_q1 3_G1_marciapiede
 SLV_5_q1 4_G1_traverso
 SLV_5_q1 5_G2_veletta
 SLV_5_q1 6_G2_impianti
 SLV_5_q1 7_G2_parapetti
 SLV_5_q1 8_G2_pavimentazione
 SLV_5_q1 9_G2_sicurvia
 SLV_5_q1 11_Q1k
 SLV_5_q1 10_q1k
 SLV_5_q1 13_Q2k
 SLV_5_q1 12_q2k
 SLV_5_q1 16_Q_zr
 SLV_5_q1 17_qfk
 SLV_5_q1 20_q4_centra
 SLV_5_q1 19_q3_frenatura
 SLV_5_q1 15_Q3k
 SLV_5_q1 14_q3k
 SLV_5_q1 24_q_vento_tot
 SLV_5_q1 23_q_temp F
 SLV_5_q1 22_q_ritiro
 SLV_5_q1 21_q8
 SLV_5_q1 SLV_h_U1_1
 SLV_5_q1 SLV_h_U2_1
 SLV_5_q1 SLV_v_1
 SLV_6_q1 DEAD
 SLV_6_q1 1_G1_trave
 SLV_6_q1 2_G1_soletta
 SLV_6_q1 3_G1_marciapiede
 SLV_6_q1 4_G1_traverso
 SLV_6_q1 5_G2_veletta
 SLV_6_q1 6_G2_impianti
 SLV_6_q1 7_G2_parapetti
 SLV_6_q1 8_G2_pavimentazione
 SLV_6_q1 9_G2_sicurvia
 SLV_6_q1 11_Q1k
 SLV_6_q1 10_q1k
 SLV_6_q1 13_Q2k
 SLV_6_q1 12_q2k

RELAZIONE DI CALCOLO

COMMESSA	LOTTO	CODIFICA	DOCUMENTO	REV.	FOGLIO
NRIJ	01 D 29	CL	IV0104 001	B	336 di 341

SLV_6_q1 16_Q_zr
 SLV_6_q1 17_qfk
 SLV_6_q1 20_q4_centra
 SLV_6_q1 19_q3_frenatura
 SLV_6_q1 15_Q3k
 SLV_6_q1 14_q3k
 SLV_6_q1 24_q_vento_tot
 SLV_6_q1 23_q_temp F
 SLV_6_q1 22_q_ritiro
 SLV_6_q1 21_q8
 SLV_6_q1 SLV_h_U1_1
 SLV_6_q1 SLV_h_U2_1
 SLV_6_q1 SLV_v_1
 SLV_7_q1 DEAD
 SLV_7_q1 1_G1_trave
 SLV_7_q1 2_G1_soletta
 SLV_7_q1 3_G1_marciapiede
 SLV_7_q1 4_G1_traverso
 SLV_7_q1 5_G2_veletta
 SLV_7_q1 6_G2_impianti
 SLV_7_q1 7_G2_parapetti
 SLV_7_q1 8_G2_pavimentazione
 SLV_7_q1 9_G2_sicurvia
 SLV_7_q1 11_Q1k
 SLV_7_q1 10_q1k
 SLV_7_q1 13_Q2k
 SLV_7_q1 12_q2k
 SLV_7_q1 16_Q_zr
 SLV_7_q1 17_qfk
 SLV_7_q1 20_q4_centra
 SLV_7_q1 19_q3_frenatura
 SLV_7_q1 15_Q3k
 SLV_7_q1 14_q3k
 SLV_7_q1 24_q_vento_tot
 SLV_7_q1 23_q_temp F
 SLV_7_q1 22_q_ritiro
 SLV_7_q1 21_q8
 SLV_7_q1 SLV_h_U1_1
 SLV_7_q1 SLV_h_U2_1
 SLV_7_q1 SLV_v_1
 SLV_8_q1 DEAD
 SLV_8_q1 1_G1_trave
 SLV_8_q1 2_G1_soletta
 SLV_8_q1 3_G1_marciapiede
 SLV_8_q1 4_G1_traverso
 SLV_8_q1 5_G2_veletta
 SLV_8_q1 6_G2_impianti
 SLV_8_q1 7_G2_parapetti
 SLV_8_q1 8_G2_pavimentazione
 SLV_8_q1 9_G2_sicurvia
 SLV_8_q1 11_Q1k
 SLV_8_q1 10_q1k
 SLV_8_q1 13_Q2k
 SLV_8_q1 12_q2k
 SLV_8_q1 16_Q_zr
 SLV_8_q1 17_qfk
 SLV_8_q1 20_q4_centra
 SLV_8_q1 19_q3_frenatura
 SLV_8_q1 15_Q3k
 SLV_8_q1 14_q3k
 SLV_8_q1 24_q_vento_tot
 SLV_8_q1 23_q_temp F

RELAZIONE DI CALCOLO

COMMESSA	LOTTO	CODIFICA	DOCUMENTO	REV.	FOGLIO
NRIJ	01 D 29	CL	IV0104 001	B	337 di 341

SLV_8_q1 22_q_ritiro
 SLV_8_q1 21_q8
 SLV_8_q1 SLV_h_U1_1
 SLV_8_q1 SLV_h_U2_1
 SLV_8_q1 SLV_v_1
 SLV_9_q1 DEAD
 SLV_9_q1 1_G1_trave
 SLV_9_q1 2_G1_soletta
 SLV_9_q1 3_G1_marciapiede
 SLV_9_q1 4_G1_traverso
 SLV_9_q1 5_G2_veletta
 SLV_9_q1 6_G2_impianti
 SLV_9_q1 7_G2_parapetti
 SLV_9_q1 8_G2_pavimentazione
 SLV_9_q1 9_G2_sicurvia
 SLV_9_q1 11_Q1k
 SLV_9_q1 10_q1k
 SLV_9_q1 13_Q2k
 SLV_9_q1 12_q2k
 SLV_9_q1 16_Q_zr
 SLV_9_q1 17_qfk
 SLV_9_q1 20_q4_centr
 SLV_9_q1 19_q3_frenatura
 SLV_9_q1 15_Q3k
 SLV_9_q1 14_q3k
 SLV_9_q1 24_q_vento_tot
 SLV_9_q1 23_q_temp F
 SLV_9_q1 22_q_ritiro
 SLV_9_q1 21_q8
 SLV_9_q1 SLV_h_U1_1
 SLV_9_q1 SLV_h_U2_1
 SLV_9_q1 SLV_v_1
 SLV_10_q1 DEAD
 SLV_10_q1 1_G1_trave
 SLV_10_q1 2_G1_soletta
 SLV_10_q1 3_G1_marciapiede
 SLV_10_q1 4_G1_traverso
 SLV_10_q1 5_G2_veletta
 SLV_10_q1 6_G2_impianti
 SLV_10_q1 7_G2_parapetti
 SLV_10_q1 8_G2_pavimentazione
 SLV_10_q1 9_G2_sicurvia
 SLV_10_q1 11_Q1k
 SLV_10_q1 10_q1k
 SLV_10_q1 13_Q2k
 SLV_10_q1 12_q2k
 SLV_10_q1 16_Q_zr
 SLV_10_q1 17_qfk
 SLV_10_q1 20_q4_centr
 SLV_10_q1 19_q3_frenatura
 SLV_10_q1 15_Q3k
 SLV_10_q1 14_q3k
 SLV_10_q1 24_q_vento_tot
 SLV_10_q1 23_q_temp F
 SLV_10_q1 22_q_ritiro
 SLV_10_q1 21_q8
 SLV_10_q1 SLV_h_U1_1
 SLV_10_q1 SLV_h_U2_1
 SLV_10_q1 SLV_v_1
 SLV_11_q1 DEAD
 SLV_11_q1 1_G1_trave
 SLV_11_q1 2_G1_soletta

RELAZIONE DI CALCOLO

COMMESSA	LOTTO	CODIFICA	DOCUMENTO	REV.	FOGLIO
NRIJ	01 D 29	CL	IV0104 001	B	338 di 341

SLV_11_q1 3_G1_marciapiede
 SLV_11_q1 4_G1_traverso
 SLV_11_q1 5_G2_veletta
 SLV_11_q1 6_G2_impianti
 SLV_11_q1 7_G2_parapetti
 SLV_11_q1 8_G2_pavimentazione
 SLV_11_q1 9_G2_sicurvia
 SLV_11_q1 11_Q1k
 SLV_11_q1 10_q1k
 SLV_11_q1 13_Q2k
 SLV_11_q1 12_q2k
 SLV_11_q1 16_Q_zr
 SLV_11_q1 17_qfk
 SLV_11_q1 20_q4_centr
 SLV_11_q1 19_q3_frenatura
 SLV_11_q1 15_Q3k
 SLV_11_q1 14_q3k
 SLV_11_q1 24_q_vento_tot
 SLV_11_q1 23_q_temp F
 SLV_11_q1 22_q_ritiro
 SLV_11_q1 21_q8
 SLV_11_q1 SLV_h_U1_1
 SLV_11_q1 SLV_h_U2_1
 SLV_11_q1 SLV_v_1
 SLV_12_q1 DEAD
 SLV_12_q1 1_G1_trave
 SLV_12_q1 2_G1_soletta
 SLV_12_q1 3_G1_marciapiede
 SLV_12_q1 4_G1_traverso
 SLV_12_q1 5_G2_veletta
 SLV_12_q1 6_G2_impianti
 SLV_12_q1 7_G2_parapetti
 SLV_12_q1 8_G2_pavimentazione
 SLV_12_q1 9_G2_sicurvia
 SLV_12_q1 11_Q1k
 SLV_12_q1 10_q1k
 SLV_12_q1 13_Q2k
 SLV_12_q1 12_q2k
 SLV_12_q1 16_Q_zr
 SLV_12_q1 17_qfk
 SLV_12_q1 20_q4_centr
 SLV_12_q1 19_q3_frenatura
 SLV_12_q1 15_Q3k
 SLV_12_q1 14_q3k
 SLV_12_q1 24_q_vento_tot
 SLV_12_q1 23_q_temp F
 SLV_12_q1 22_q_ritiro
 SLV_12_q1 21_q8
 SLV_12_q1 SLV_h_U1_1
 SLV_12_q1 SLV_h_U2_1
 SLV_12_q1 SLV_v_1
 SLV_13_q1 DEAD
 SLV_13_q1 1_G1_trave
 SLV_13_q1 2_G1_soletta
 SLV_13_q1 3_G1_marciapiede
 SLV_13_q1 4_G1_traverso
 SLV_13_q1 5_G2_veletta
 SLV_13_q1 6_G2_impianti
 SLV_13_q1 7_G2_parapetti
 SLV_13_q1 8_G2_pavimentazione
 SLV_13_q1 9_G2_sicurvia
 SLV_13_q1 11_Q1k

RELAZIONE DI CALCOLO

COMMESSA	LOTTO	CODIFICA	DOCUMENTO	REV.	FOGLIO
NRIJ	01 D 29	CL	IV0104 001	B	339 di 341

SLV_13_q1 10_q1k
 SLV_13_q1 13_Q2k
 SLV_13_q1 12_q2k
 SLV_13_q1 16_Q_zr
 SLV_13_q1 17_qfk
 SLV_13_q1 20_q4_centr
 SLV_13_q1 19_q3_frenatura
 SLV_13_q1 15_Q3k
 SLV_13_q1 14_q3k
 SLV_13_q1 24_q_vento_tot
 SLV_13_q1 23_q_temp F
 SLV_13_q1 22_q_ritiro
 SLV_13_q1 21_q8
 SLV_13_q1 SLV_h_U1_1
 SLV_13_q1 SLV_h_U2_1
 SLV_13_q1 SLV_v_1
 SLV_14_q1 DEAD
 SLV_14_q1 1_G1_trave
 SLV_14_q1 2_G1_soletta
 SLV_14_q1 3_G1_marciapiede
 SLV_14_q1 4_G1_traverso
 SLV_14_q1 5_G2_veletta
 SLV_14_q1 6_G2_impianti
 SLV_14_q1 7_G2_parapetti
 SLV_14_q1 8_G2_pavimentazione
 SLV_14_q1 9_G2_sicurvia
 SLV_14_q1 11_Q1k
 SLV_14_q1 10_q1k
 SLV_14_q1 13_Q2k
 SLV_14_q1 12_q2k
 SLV_14_q1 16_Q_zr
 SLV_14_q1 17_qfk
 SLV_14_q1 20_q4_centr
 SLV_14_q1 19_q3_frenatura
 SLV_14_q1 15_Q3k
 SLV_14_q1 14_q3k
 SLV_14_q1 24_q_vento_tot
 SLV_14_q1 23_q_temp F
 SLV_14_q1 22_q_ritiro
 SLV_14_q1 21_q8
 SLV_14_q1 SLV_h_U1_1
 SLV_14_q1 SLV_h_U2_1
 SLV_14_q1 SLV_v_1
 SLV_15_q1 DEAD
 SLV_15_q1 1_G1_trave
 SLV_15_q1 2_G1_soletta
 SLV_15_q1 3_G1_marciapiede
 SLV_15_q1 4_G1_traverso
 SLV_15_q1 5_G2_veletta
 SLV_15_q1 6_G2_impianti
 SLV_15_q1 7_G2_parapetti
 SLV_15_q1 8_G2_pavimentazione
 SLV_15_q1 9_G2_sicurvia
 SLV_15_q1 11_Q1k
 SLV_15_q1 10_q1k
 SLV_15_q1 13_Q2k
 SLV_15_q1 12_q2k
 SLV_15_q1 16_Q_zr
 SLV_15_q1 17_qfk
 SLV_15_q1 20_q4_centr
 SLV_15_q1 19_q3_frenatura
 SLV_15_q1 15_Q3k

RELAZIONE DI CALCOLO

COMMESSA	LOTTO	CODIFICA	DOCUMENTO	REV.	FOGLIO
NRLJ	01 D 29	CL	IV0104 001	B	340 di 341

SLV_15_q1 14_q3k
 SLV_15_q1 24_q_vento_tot
 SLV_15_q1 23_q_temp F
 SLV_15_q1 22_q_ritiro
 SLV_15_q1 21_q8
 SLV_15_q1 SLV_h_U1_1
 SLV_15_q1 SLV_h_U2_1
 SLV_15_q1 SLV_v_1
 SLU_ECC 1_G1_trave
 SLU_ECC 2_G1_soletta
 SLU_ECC 3_G1_marcia piede
 SLU_ECC 4_G1_traverso
 SLU_ECC 5_G2_veletta
 SLU_ECC 6_G2_impianti
 SLU_ECC 7_G2_parapetti
 SLU_ECC 8_G2_pavimentazione
 SLU_ECC 9_G2_sicurvia
 SLU_ECC 21_q8

12.2 Combinazioni da urto

urto1x	Linear Add	No	Linear Static	DEAD	1	None
urto1x			Linear Static	G2	1	
urto1x			Linear Static	Spalla temp F+	0.5	
urto1x			Linear Static	Spalla temp F-	0	
urto1x			Linear Static	Spalla temp U+	0.5	
urto1x			Linear Static	Spalla temp U-	0	
urto1x			Linear Static	q_ritiro	1	
urto1x			Linear Static	urtoX	1	
Urto1y	Linear Add	No	Linear Static	DEAD	1	None
Urto1y			Linear Static	G2	1	
Urto1y			Linear Static	Spalla temp F+	0.5	
Urto1y			Linear Static	Spalla temp F-	0	
Urto1y			Linear Static	Spalla temp U+	0.5	
Urto1y			Linear Static	Spalla temp U-	0	
Urto1y			Linear Static	q_ritiro	1	
Urto1y			Linear Static	urtoY	1	
Urto2x	Linear Add	No	Linear Static	DEAD	1	None
Urto2x			Linear Static	G2	1	
Urto2x			Linear Static	Spalla temp F+	-0.5	
Urto2x			Linear Static	Spalla temp F-	0	
Urto2x			Linear Static	Spalla temp U+	0.5	
Urto2x			Linear Static	Spalla temp U-	0	
Urto2x			Linear Static	q_ritiro	1	
Urto2x			Linear Static	urtoX	1	
Urto2y	Linear Add	No	Linear Static	DEAD	1	None
Urto2y			Linear Static	G2	1	
Urto2y			Linear Static	Spalla temp F+	-0.5	
Urto2y			Linear Static	Spalla temp F-	0	
Urto2y			Linear Static	Spalla temp U+	0.5	
Urto2y			Linear Static	Spalla temp U-	0	
Urto2y			Linear Static	q_ritiro	1	
Urto2y			Linear Static	urtoY	1	
Urto3x	Linear Add	No	Linear Static	DEAD	1	None
Urto3x			Linear Static	G2	1	
Urto3x			Linear Static	Spalla temp F+	0.5	
Urto3x			Linear Static	Spalla temp F-	0	

RELAZIONE DI CALCOLO

COMMESSA	LOTTO	CODIFICA	DOCUMENTO	REV.	FOGLIO
NRLJ	01 D 29	CL	IV0104 001	B	341 di 341

Urto3x			Linear Static	Spalla temp U+	-0.5	
Urto3x			Linear Static	Spalla temp U-	0	
Urto3x			Linear Static	q_ritiro	1	
Urto3x			Linear Static	urtoX	1	
Urto3y	Linear Add	No	Linear Static	DEAD	1	None
Urto3y			Linear Static	G2	1	
Urto3y			Linear Static	Spalla temp F+	0.5	
Urto3y			Linear Static	Spalla temp F-	0	
Urto3y			Linear Static	Spalla temp U+	-0.5	
Urto3y			Linear Static	Spalla temp U-	0	
Urto3y			Linear Static	q_ritiro	1	
Urto3y			Linear Static	urtoY	1	
Urto4x	Linear Add	No	Linear Static	DEAD	1	None
Urto4x			Linear Static	G2	1	
Urto4x			Linear Static	Spalla temp F+	-0.5	
Urto4x			Linear Static	Spalla temp F-	0	
Urto4x			Linear Static	Spalla temp U+	-0.5	
Urto4x			Linear Static	Spalla temp U-	0	
Urto4x			Linear Static	q_ritiro	1	
Urto4x			Linear Static	urtoX	1	
Urto4y	Linear Add	No	Linear Static	DEAD	1	None
Urto4y			Linear Static	G2	1	
Urto4y			Linear Static	Spalla temp F+	-0.5	
Urto4y			Linear Static	Spalla temp F-	0	
Urto4y			Linear Static	Spalla temp U+	-0.5	
Urto4y			Linear Static	Spalla temp U-	0	
Urto4y			Linear Static	q_ritiro	1	
Urto4y			Linear Static	urtoY	1	